# (12) ОПИСАНИЕ ИЗОБРЕТЕНИЯ К ЕВРАЗИЙСКОЙ ЗАЯВКЕ

- (43) Дата публикации заявки 2023.07.31
- (22) Дата подачи заявки 2018.04.27

(51) Int. Cl. *C07D 515/22* (2006.01) *A61P 35/00* (2006.01) *A61K 31/4995* (2006.01)

# (54) ПРОТИВООПУХОЛЕВЫЕ СОЕДИНЕНИЯ

- (31) 17382228.9; 17382497.0
- (32) 2017.04.27; 2017.07.26
- (33) EP
- (62) 201992557; 2018.04.27
- (71) Заявитель: ФАРМА МАР, С.А. (ES)

(72) Изобретатель: Куэвас Марчанте Мария дель Кармен,

Франсесч Сольосо Андрес, Мартинес Барраса Валентин (ES)

(74) Представитель: Медведев В.Н. (RU)

**(57)** Соединение общей формулы I, где X,  $R_1$ - $R_4$  имеют разные значения, для применения в лечении рака

## ПРОТИВООПУХОЛЕВЫЕ СОЕДИНЕНИЯ

#### ОБЛАСТЬ ТЕХНИКИ

Данное изобретение относится к синтетическим аналогам эктеинасцидинов, в частности, эктеинасцидина 736 (ЕТ–736), фармацевтическим композициям, содержащим их способам их производства и их применению в качестве противоопухолевых агентов.

#### УРОВЕНЬ ТЕХНИКИ

Эктеинасцидины являются исключительно эффективными противоопухолевыми агентами, выделенными из морского оболочника *Ecteinascidia turbinata*. Одно из этих соединений, ET–743 формулы:

применяют в качестве противоракового лекарственного средства, под международным непатентованным наименованием (МНН) трабактедин, для лечения пациентов с распространенной и метастатической саркомой мягких тканей (СМТ) после неудачи с антрациклинами и ифосфамидом, или таких, которые не подходят для получения таких агентов, и для лечения рецидивирующего платина—чувствительного рака яичников в сочетании с пэгилированным липосомным доксорубицином.

Эктеинасцидин 736 (ЕТ–736) сначала был обнаружен Рейнхартом и имеет тетрагидро–β–карбонитрильную единицу вместо тетрагидроизожинолиновой единицы, более часто встречающейся в соединениях эктеинасцидина, выделенных из природных источников; см., например, Sakai et al., *Proc. Natl. Acad. Sci. USA* 1992, vol. 89, 11456–11460.

#### ET-736

В патенте США № **5,149,804** описан Эктеинасцидин 736 (ЕТ–736), выделенный из карибского оболочника *Ecteinascidia turbinata*, и его структура. ЕТ–736 защищает мышей *in vivo* при очень низких концентрациях от P388 лимфомы, B16 меланомы и карциномы легких Льюиса.

В **WO03014127** описано несколько синтетических аналогов ET-736 и их цитотоксической активности против опухолевых клеток. В частности, в **WO03014127** описаны соединения **A-D**, а также их цитотоксическая активность против панели колоний раковых клеток.

Другое соединение, описанное в этой заявке на патент, **PM01183**, в настоящее время проходит клинические исследования на лечение рака. **PM01183** имеет следующую химическую структуру:

**PM01183** продемонстрировало очень мощную *in vitro* активность против колоний клеток не солидных опухолей, а также значительную *in vivo* активность в нескольких колониях клеток ксенотрансплантатов опухолей у мышей, например, опухолей молочной железы, почек и яичников. **PM01183** демонстрирует противоопухолевое действие через ковалентную модификацию гуанинов в малой бороздке ДНК, в итоге вызывая двухцепочечный разрыв ДНК, остановку S—фазы и апоптоз в раковых клетках.

Несмотря на положительные результаты, полученные при клиническом применении в химиотерапии, поиск в области соединений эктеинасцидина все еще открыт для идентификации новых соединений с оптимальными характеристиками активности,

селективности к опухоли, с пониженной системной токсичностью и/или улучшенными фармакокинетическими свойствами.

## СУЩНОСТЬ ИЗОБРЕТЕНИЯ

В первом аспекте данного изобретения представлено соединение формулы I или его фармацевтически приемлемая соль или сложный эфир:

I

где:

Х является – NH – или – О – ;

 $R_1$  является –OH или –CN;

 $R_2$  является  $-C(=O)R^a$  группой;

 $R_3$  является водородом или  $-OR^b$  группой;

 $R_4$  выбирают из водорода,  $-CH_2OH$ ,  $-CH_2OC(=O)R^c$ ,  $-CH_2NH_2$  и  $-CH_2NH$ Prot<sup>NH</sup>;

 $R^a$  выбирают из водорода, замещенного или незамещенного  $C_1$ – $C_{12}$ алкила, замещенного или незамещенного  $C_2$ – $C_{12}$  алкенила и замещенного или незамещенного  $C_2$ – $C_{12}$  алкинила;

 $R^b$  выбирают из замещенного или незамещенного  $C_1$ – $C_{12}$  алкила, замещенного или незамещенного  $C_2$ – $C_{12}$  алкинила и замещенного или незамещенного  $C_2$ – $C_{12}$  алкинила;

 $R^c$  выбирают из замещенного или незамещенного  $C_1$ – $C_{12}$  алкила, замещенного или незамещенного  $C_2$ – $C_{12}$  алкинила и замещенного или незамещенного  $C_2$ – $C_{12}$  алкинила; и

 $\operatorname{Prot}^{\operatorname{NH}}$  является защитной группой для амино,

при условии, что если R<sub>4</sub> является водородом, X является -O-.

Также представлено соединение формулы **IC** или его фармацевтически приемлемая соль или сложный эфир:

где:

Х является – NH-;

 $R_1$  является -OH или -CN;

 $R_2$  является  $-C(=O)R^a$  группой;

 $R_3$  является водородом или  $-OR^b$  группой;

 $R_4$  выбирают из – $CH_2OH$ , – $CH_2O-(C=O)R^c$ , – $CH_2NH_2$  и – $CH_2NHProt^{NH}$ ;

 $R^a$  выбирают из водорода, замещенного или незамещенного  $C_1$ – $C_{12}$  алкила, замещенного или незамещенного  $C_2$ – $C_{12}$  алкинила и замещенного или незамещенного  $C_2$ – $C_{12}$  алкинила;

 $R^b$  выбирают из замещенного или незамещенного  $C_1$ – $C_{12}$  алкила, замещенного или незамещенного  $C_2$ – $C_{12}$  алкинила и замещенного или незамещенного  $C_2$ – $C_{12}$  алкинила;

 $R^c$  выбирают из замещенного или незамещенного  $C_1$ – $C_{12}$  алкила, замещенного или незамещенного  $C_2$ – $C_{12}$  алкинила и замещенного или незамещенного  $C_2$ – $C_{12}$  алкинила; и  $Prot^{NH}$  является защитной группой для амино.

Также представлено соединение формулы **ID**, или его фармацевтически приемлемая соль или сложный эфир:

# ID

где:

Х является -О-:

 $R_1$  является -OH или -CN;

 $R_2$  является  $-C(=O)R^a$  группой;

 $R_3$  является водородом или  $-OR^b$  группой;

 $R_4$  выбирают из водорода,  $-CH_2OH$ ,  $-CH_2O-(C=O)R^c$ ,  $-CH_2NH_2$  и  $-CH_2NHProt^{NH}$ ;

 $R^a$  выбирают из водорода, замещенного или незамещенного  $C_1$ – $C_{12}$  алкила, замещенного или незамещенного  $C_2$ – $C_{12}$  алкинила и замещенного или незамещенного  $C_2$ – $C_{12}$  алкинила;

 $R^b$  выбирают из замещенного или незамещенного  $C_1$ – $C_{12}$  алкила, замещенного или незамещенного  $C_2$ – $C_{12}$  алкинила и замещенного или незамещенного  $C_2$ – $C_{12}$  алкинила;

 $R^c$  выбирают из замещенного или незамещенного  $C_1$ – $C_{12}$  алкила, замещенного или незамещенного  $C_2$ – $C_{12}$  алкинила; и

 $\operatorname{Prot}^{\operatorname{NH}}$  является защитной группой для амино.

Также представлено соединение формулы ІЕ, или его фармацевтически

приемлемая соль или сложный эфир:

## IE

где:

Х является – NH – или – О – ;

R<sub>1</sub> является –ОН или –СN;

 $R_2$  является  $-C(=O)R^a$  группой;

 $R_3$  является водородом или  $-OR^b$  группой;

 $R_4$  выбирают из  $-CH_2NH_2$  и  $-CH_2NHProt^{NH}$ ;

 $R^a$  выбирают из водорода, замещенного или незамещенного  $C_1$ – $C_{12}$  алкила, замещенного или незамещенного  $C_2$ – $C_{12}$  алкенила и замещенного или незамещенного  $C_2$ – $C_{12}$  алкинила;

 $R^b$  выбирают из замещенного или незамещенного  $C_1$ – $C_{12}$  алкила, замещенного или незамещенного  $C_2$ – $C_{12}$  алкинила; и  $C_2$ – $C_{12}$  алкинила и замещенного или незамещенного  $C_2$ – $C_{12}$  алкинила; и  $C_2$ – $C_3$ 

Также представлено соединение формулы **IA** или его фармацевтически приемлемая соль или сложный эфир:

### IA

где:

Х является – NH – или – О – ;

 $R_1$  является -OH или -CN;

 $R_2$  является  $-C(=O)R^a$  группой;

R<sub>3</sub> является водородом;

 $R_4$  выбирают из водорода,  $-CH_2OH$ ,  $-CH_2O-(C=O)R^c$ ,  $-CH_2NH_2$  и  $-CH_2NHProt^{NH}$ ;

R<sup>а</sup> выбирают из водорода, замещенного или незамещенного C<sub>1</sub>-C<sub>12</sub> алкила,

замещенного или незамещенного  $C_2$ — $C_{12}$  алкенила и замещенного или незамещенного  $C_{2-}$   $C_{12}$  алкинила;

 $R^c$  выбирают из замещенного или незамещенного  $C_1$ – $C_{12}$  алкила, замещенного или незамещенного  $C_2$ – $C_{12}$  алкинила и замещенного или незамещенного  $C_2$ – $C_{12}$  алкинила; и

Prot<sup>NH</sup> является защитной группой для амино;

при условии, что если R4 является водородом, то X является -О-.

Также представлено соединение формулы **IB** или его фармацевтически приемлемая соль или сложный эфир:

#### ΙB

где:

Х является – NH – или – О – ;

 $R_1$  является -OH или -CN;

 $R_2$  является  $-C(=O)R^a$  группой;

 $R_3$  является  $-OR^b$  группой;

 $R_4$  выбирают из водорода,  $-CH_2OH$ ,  $-CH_2O-(C=O)R^c$ ,  $-CH_2NH_2$  и  $-CH_2NHProt^{NH}$ ;

 $R^a$  выбирают из водорода, замещенного или незамещенного  $C_1$ – $C_{12}$  алкила, замещенного или незамещенного  $C_2$ – $C_{12}$  алкинила и замещенного или незамещенного  $C_2$ – $C_{12}$  алкинила;

 $R^b$  выбирают из замещенного или незамещенного  $C_1$ – $C_{12}$  алкила, замещенного или незамещенного  $C_2$ – $C_{12}$  алкинила;

 $R^c$  выбирают из замещенного или незамещенного  $C_1$ – $C_{12}$  алкила, замещенного или незамещенного  $C_2$ – $C_{12}$  алкинила; и

Prot<sup>NH</sup> является защитной группой для амино;

при условии, что если R<sub>4</sub> является водородом, то X является -O-.

Также представлено соединение формулы **IF** или его фармацевтически приемлемая соль или сложный эфир:

#### IF

где:

Х является – NH – или – О – ;

 $R_1$  является -OH;

 $R_2$  является  $-C(=O)R^a$  группой;

 $R_3$  является водородом или  $-OR^b$  группой;

 $R_4$  выбирают из водорода,  $-CH_2OH$ ,  $-CH_2OC(=O)R^c$ ,  $-CH_2NH_2$  и  $-CH_2NHProt^{NH}$ ;

 $R^a$  выбирают из водорода, замещенного или незамещенного  $C_1$ – $C_{12}$  алкила, замещенного или незамещенного  $C_2$ – $C_{12}$  алкинила и замещенного или незамещенного  $C_2$ – $C_{12}$  алкинила;

 $R^b$  выбирают из замещенного или незамещенного  $C_1$ – $C_{12}$  алкила, замещенного или незамещенного  $C_2$ – $C_{12}$  алкинила и замещенного или незамещенного  $C_2$ – $C_{12}$  алкинила;

 $R^c$  выбирают из замещенного или незамещенного  $C_1$ – $C_{12}$  алкила, замещенного или незамещенного  $C_2$ – $C_{12}$  алкинила и замещенного или незамещенного  $C_2$ – $C_{12}$  алкинила; и

Prot<sup>NH</sup> является защитной группой для амино,

при условии, что если R<sub>4</sub> является водородом, то X является -O-.

Также представлено соединение формулы **IG** или его фармацевтически приемлемая соль или сложный эфир:

$$R_3$$
 $NH$ 
 $OMe$ 
 $HO$ 
 $Me$ 
 $R_2O$ 
 $S$ 
 $R_1$ 

# IG

где:

Х является – NH – или – О – ;

 $R_1$  является -OH или -CN;

R<sub>2</sub> является ацетилом;

 $R_3$  является водородом или  $-OR^b$  группой;

 $R_4$  выбирают из водорода,  $-CH_2OH$ ,  $-CH_2OC(=O)R^c$ ,  $-CH_2NH_2$  и  $-CH_2NHProt^{NH}$ ;

 $R^b$  выбирают из замещенного или незамещенного  $C_1$ – $C_{12}$  алкила, замещенного или незамещенного  $C_2$ – $C_{12}$  алкинила и замещенного или незамещенного  $C_2$ – $C_{12}$  алкинила;

 $R^c$  выбирают из замещенного или незамещенного  $C_1$ – $C_{12}$  алкила, замещенного или незамещенного  $C_2$ – $C_{12}$  алкинила и замещенного или незамещенного  $C_2$ – $C_{12}$  алкинила; и

Prot<sup>NH</sup> является защитной группой для амино,

при условии, что если R4 является водородом, то X является -О-.

В другом аспекте данного изобретения представлена фармацевтическая композиция, содержащая соединение в соответствии с данным изобретением и фармацевтически приемлемый носитель.

В еще одном аспекте данного изобретения, представлена дозированная форма, содержащая фармацевтическую композицию в соответствии с данным изобретением.

В еще одном аспекте данного изобретения, представлено соединение, фармацевтическая композиция или дозированная форма в соответствии с данным изобретением для применения в качестве лекарственного средства.

В еще одном аспекте данного изобретения, представлено соединение, фармацевтическая композиция или дозированная форма в соответствии с данным изобретением для применения в лечении рака.

В еще одном аспекте данного изобретения, представлено применение соединения, фармацевтической композиции или дозированной формы в соответствии с данным изобретением для производства лекарственного средства для лечения рака.

В еще одном аспекте данного изобретения, представлен способ профилактики или лечения рака, включающий введение эффективного количества соединения в соответствии с данным изобретением, введение эффективного количества фармацевтической композиции в соответствии с данным изобретением или введение эффективного количества дозированной формы в соответствии с данным изобретением пациенту, нуждающемуся в таковом, а именно, человеку.

В еще одном аспекте данного изобретения, представлено применение соединения в соответствии с данным изобретением для лечения рака, или в получении лекарственного средства, предпочтительно для лечения рака.

В еще одном аспекте данного изобретения, представлен набор, содержащий терапевтически эффективное количество соединения в соответствии с данным изобретением и фармацевтически приемлемый носитель. Набор предназначен для применения в лечении рака.

В еще одном аспекте данного изобретения, представлен способ получения соединений формулы I или их фармацевтически приемлемой соли или сложного эфира, соединений формулы IA или их фармацевтически приемлемой соли или сложного эфира, соединений формулы IB или их фармацевтически приемлемой соли или сложного эфира, соединений формулы IC или их фармацевтически приемлемой соли или сложного эфира, соединений формулы ID или их фармацевтически приемлемой соли или сложного эфира,

соединений формулы **IE** или их фармацевтически приемлемой соли или сложного эфира, соединений формулы **IF** или их фармацевтически приемлемой соли или сложного эфира, соединений формулы **IG** или их фармацевтически приемлемой соли или сложного эфира; включающий стадию взаимодействия соединения формулы **II** с соединением формулы **III** с получением соединения формулы **IV**:

где (насколько это допускается возможными замещающими группами):

Х является – NH – или – О – ;

 $R_2$  является  $-C(=O)R^a$  группой;

 $R_3$  является водородом или  $-OR^b$  группой;

 $R_4$  выбирают из водорода,  $-CH_2OH$ ,  $-CH_2OC(=O)R^c$  и  $-CH_2NHProt^{NH}$ ;

 $R^a$  выбирают из водорода, замещенного или незамещенного  $C_1$ – $C_{12}$  алкила, замещенного или незамещенного  $C_2$ – $C_{12}$  алкенила и замещенного или незамещенного  $C_2$ – $C_{12}$  алкинила;

 $R^b$  выбирают из замещенного или незамещенного  $C_1$ – $C_{12}$  алкила, замещенного или незамещенного  $C_2$ – $C_{12}$  алкинила и замещенного или незамещенного  $C_2$ – $C_{12}$  алкинила;

 $R^c$  выбирают из замещенного или незамещенного  $C_1$ – $C_{12}$  алкила, замещенного или незамещенного  $C_2$ – $C_{12}$  алкинила и замещенного или незамещенного  $C_2$ – $C_{12}$  алкинила; и

Prot<sup>NH</sup> является защитной группой для амино;

при условии, что если R<sub>4</sub> является водородом, то X является –O–.

Способ может включать дополнительную стадию замены цианогруппы в соединении формулы IV гидроксигруппой с получением соединения формулы I, IA, IB, IC, ID, IE, IF или IG, где R<sub>1</sub> является OH.

# КРАТКОЕ ОПИСАНИЕ ЧЕРТЕЖЕЙ

**Фигура 1.** Оценка общего диаметра опухоли для опухолей HT1080 у мышей, леченных плацебо, соединением **C**, **4–S** и **12–S**.

**Фигура 2.** Оценка объема опухоли для MDA–MB–231 опухолей у мышей, леченных плацебо, соединением **C**, **4–S** и **12–S**.

**Фигура 3.**Оценка объема опухоли для H460 опухолей у мышей, леченных плацебо, соединением **C,4–S** и **12–S**.

**Фигура 4**. Оценка объема опухоли для H526 опухолей у мышей, леченных плацебо, соединением **C**, **4–S** и **12–S**.

Фигура 5. Оценка объема опухоли для Н82 опухолей у мышей, леченных плацебо,

- соединением C, 4-S и 12-S.
- **Фигура 6.**Оценка объема опухоли для A2780 опухолей у мышей, леченных плацебо, соединением **C,4–S** и **12–S**.
- **Фигура** 7. Оценка объема опухоли для HGC–27 опухолей у мышей, леченных плацебо, соединением C, 4–S и 12–S.
- **Фигура 8.** Оценка общего диаметра опухоли для HT1080 опухолей у мышей, леченных плацебо, **PM01183** и **4–R**.
- **Фигура 9**. Оценка общего диаметра опухоли для HT1080 опухолей у мышей, леченных плацебо, **PM01183** и соединением **D**.
- **Фигура 10.** Оценка объема опухоли для MDA–MB–231 опухолей у мышей, леченных плацебо, **PM01183** и **4–R**.
- **Фигура 11**. Оценка объема опухоли для MDA–MB–231 опухолей у мышей, леченных плацебо, **PM01183** и соединением **D**.
- **Фигура 12.** Оценка объема опухоли для H460 опухолей у мышей, леченных плацебо, **PM01183** и **4–R**.
- **Фигура 13.** Оценка объема опухоли для H460 опухолей у мышей, леченных плацебо, **PM01183** и соединением **D**.
- **Фигура 14.** Оценка объема опухоли для A2780 опухолей у мышей, леченных плацебо, **PM01183** и **4–R**.
- **Фигура 15.** Оценка объема опухоли для A2780 опухолей у мышей, леченных плацебо, **PM01183** и соединением **D**.
- **Фигура 16.** Оценка объема опухоли для HGC-27 опухолей у мышей, леченных плацебо, **PM01183** и **4-R.**
- **Фигура 17.** Оценка объема опухоли для HGC-27 опухолей у мышей, леченных плацебо, **PM01183** и соединением **D.**
- **Фигура 18.** Оценка общего диаметра опухоли для HT1080 опухолей у мышей, леченных плацебо, соединением **D** и **12–R**.
- **Фигура 19.** Оценка объема опухоли для MDA–MB–231 опухолей у мышей, леченных плацебо, соединением **D** и **12–R**.
- **Фигура 20.** Оценка объема опухоли для H460 опухолей у мышей, леченных плацебо, соединением **D и 12–R**.
- **Фигура 21**. Оценка объема опухоли для H526 опухолей у мышей, леченных плацебо, соединением **D** и **12–R**.
- **Фигура 22**. Оценка объема опухоли для H82 опухолей у мышей, леченных плацебо, соединением **D** и **12–R**.
- **Фигура 23.** Оценка объема опухоли для A2780 опухолей у мышей, леченных плацебо, соединением **D** и 12–**R**.
- **Фигура 24.** Оценка объема опухоли для HGC–27 опухолей у мышей, леченных плацебо, соединением **D** и **12–R**.
  - Фигура 25. Оценка общего диаметра опухоли для НТ1080 опухолей у мышей,

- леченных плацебо, PM01183 и 19-S.
- **Фигура 26**. Оценка объема опухоли для MDA–MB–231 опухолей у мышей, леченных плацебо, **PM01183** и **19–S**.
- **Фигура 27**. Оценка объема опухоли для H460 опухолей у мышей, леченных плацебо, **PM01183** и **19–S**.
- **Фигура 28**. Оценка объема опухоли для A2780 опухолей у мышей, леченных плацебо, **PM01183** и **19–S**.
- **Фигура 29**. Оценка объема опухоли для HGC27 опухолей у мышей, леченных плацебо, **PM01183** и **19–S**.
- **Фигура 30**. Оценка общего диаметра опухоли для HT1080 опухолей у мышей, леченных плацебо, **PM01183** и **19–R**.
- **Фигура 31**. Оценка объема опухоли для MDA–MB–231 опухолей у мышей, леченных плацебо, **PM01183** и **19–R**.
- **Фигура 32**. Оценка объема опухоли для H460 опухолей у мышей, леченных плацебо, **PM01183** и **19–R**.
- **Фигура 33**. Оценка объема опухоли для A2780 опухолей у мышей, леченных плацебо, **PM01183** и **19–R**.
- **Фигура 34**. Оценка объема опухоли для HGC–27 опухолей у мышей, леченных плацебо, **PM01183** и **19–R**.
- **Фигура 35**. Оценка общего диаметра опухоли для HT1080 опухолей у мышей, леченных плацебо, соединением **С** и **39–S**.
- **Фигура 36**. Оценка объема опухоли для MDA–MB–231 опухолей у мышей, леченных плацебо, соединением **С** и **39–S**.
- **Фигура 37**. Оценка объема опухоли для H460 опухолей у мышей, леченных плацебо, соединением **С** и **39–S**.
- **Фигура 38**. Оценка объема опухоли для H526 опухолей у мышей, леченных плацебо, соединением **С** и **39–S**.
- **Фигура 39**. Оценка объема опухоли для H82 опухолей у мышей, леченных плацебо, соединением **C** и **39–S**.
- **Фигура 40**. Оценка объема опухоли для A2780 опухолей у мышей, леченных плацебо, соединением **C** и **39–S**.
- **Фигура 41**. Оценка объема опухоли для HGC27 опухолей у мышей, леченных плацебо, соединением **C** и **39–S**.
- **Фигура 42**. Оценка общего диаметра опухоли для HT1080 опухолей у мышей, леченных плацебо, соединением **D** и **47–R**.
- **Фигура 43**. Оценка объема опухоли для MDA–MB–231 опухолей у мышей, леченных плацебо, соединением **D** и **47–R**.
- **Фигура 44**. Оценка объема опухоли для H460 опухолей у мышей, леченных плацебо, соединением **D** и **47**–**R**.
  - Фигура 45. Оценка объема опухоли для Н526 опухолей у мышей, леченных

плацебо, соединением **D** и 47-**R**.

**Фигура 46**. Оценка объема опухоли для H82 опухолей у мышей, леченных плацебо, соединением **D** и 47–**R**.

**Фигура 47**. Оценка объема опухоли для A2780 опухолей у мышей, леченных плацебо, соединением **D** и **47**–**R**.

**Фигура 48**. Оценка объема опухоли для HGC27 опухолей у мышей, леченных плацебо, соединением **D** и **47**–**R**.

**Фигура 49**. Оценка общего диаметра опухоли для HT1080 опухолей у мышей, леченных плацебо, **ET**–736 и 32.

**Фигура 50**. Оценка объема опухоли для MDA–MB–231 опухолей у мышей, леченных плацебо, **ET**–736 и 32.

**Фигура 51**. Оценка объема опухоли для H460 опухолей у мышей, леченных плацебо, **ET**–**736** и **32**.

**Фигура 52**. Оценка объема опухоли для H526 опухолей у мышей, леченных плацебо, **ET**–**736** и **32**.

**Фигура 53**. Оценка объема опухоли для H82 опухолей у мышей, леченных плацебо, **ET**–**736** и **32**.

**Фигура 54.** Оценка объема опухоли для A2780 опухолей у мышей, леченных плацебо, **ET**–**736** и **32**.

**Фигура 55**. Оценка объема опухоли для HGC27 опухолей у мышей, леченных плацебо, ET-736 и 32.

**Фигура 56**. Оценка общего диаметра опухоли для HT1080 опухолей у мышей, леченных плацебо, **PM01183** и **35**.

**Фигура 57**. Оценка объема опухоли для MDA–MB–231 опухолей у мышей, леченных плацебо, **PM01183** и **35**.

**Фигура 58**. Оценка объема опухоли для H460 опухолей у мышей, леченных плацебо, **PM01183** и **35**.

**Фигура 59**. Оценка объема опухоли для A2780 опухолей у мышей, леченных плацебо, **PM01183** и **35**.

**Фигура 60**. Оценка объема опухоли для HGC27 опухолей у мышей, леченных плацебо, **PM01183** и **35**.

**Фигура 61**. Оценка объема опухоли для PC-3 опухолей у мышей, леченных плацебо, **12–S** и **12–R**.

**Фигура 62**. Оценка объема опухоли для PC-3 опухолей у мышей, леченных плацебо и **4-S**.

**Фигура 63**.Оценка объема опухоли для DU–145 опухолей у мышей, леченных плацебо и **4–S**.

**Фигура 64**.Оценка объема опухоли для 22Rv1 опухолей у мышей, леченных плацебо и **4–S**.

Фигура 65.Оценка объема опухоли для РС-3 опухолей у мышей, леченных

плацебо и **39-S**.

**Фигура 66**.Оценка объема опухоли для DU–145 опухолей у мышей, леченных плацебо и **39–S**.

**Фигура 67**.Оценка объема опухоли для 22Rv1 опухолей у мышей, леченных плацебо и **39–S**.

# ПОДРОБНОЕ ОПИСАНИЕ ПРЕДПОЧТИТЕЛЬНЫХ ВАРИАНТОВ

Следующее применимо ко всем аспектам данного изобретения:

В соединениях в соответствии с данным изобретением алкильные группы могут быть разветвленными или неразветвленными, и предпочтительно имеют от 1 до около 12 атомов углерода. Еще один предпочтительный класс алкильных групп имеет от 1 до около 6 атомов углерода. Даже более предпочтительными являются алкильные группы, имеющие 1, 2, 3 или 4 атома углерода. Метил, этил, *н*–пропил, изопропил и бутил, включая *н*–бутил, изобутил, *втор*–бутил и *трет*–бутил, являются особенно предпочтительными алкильными группами в соединениях в соответствии с данным изобретением.

В соединениях в соответствии с данным изобретением алкенильные группы могут быть разветвленными или неразветвленными, имеют одну или несколько двойных связей и от 2 до около 12 атомов углерода. Еще один предпочтительный класс алкенильных групп имеет от 2 до около 6 атомов углерода. Еще более предпочтительными являются алкенильные группы, имеющие 2, 3 или 4 атома углерода. Этилен, 1-пропенил, 2-пропенил, 1-метилетенил, 1-бутенил, 2-бутенил и 3-бутенил являются особенно предпочтительными алкенильными группами в соединениях в соответствии с данным изобретением.

В соединениях в соответствии с данным изобретением алкильные группы могут быть разветвленными или неразветвленными, имеют одну или несколько тройных связей и от 2 до около 12 атомов углерода. Еще один предпочтительный класс алкинильных групп имеет от 2 до около 6 атомов углерода. Еще более предпочтительными являются алкинильные группы, имеющие 2, 3 или 4 атома углерода.

Подходящие арильные группы в соединениях в соответствии с данным изобретением включают соединения с одним или несколькими кольцами, включая соединения c несколькими кольцами, которые содержат отдельные и/или конденсированные арильные группы. Типовые арильные группы содержат от 1 до 3 отдельных и/или конденсированных колец и от 6 до около 18 атомов углерода. Предпочтительно арильные группы содержат от 6 до около 10 атомов углерода. Особенно предпочтительные арильные группы включают замещенный или незамещенный фенил, замещенный или незамещенный нафтил, замещенный или незамещенный бифенил, замещенный или незамещенный фенантрил и замещенный или незамещенный антрил.

Подходящие гетероциклические группы включают гетероароматические и гетероалициклические группы, содержащие от 1 до 3 отдельных и/или конденсированных колец и от 5 до примерно 18 атомов в кольце. Предпочтительно гетероароматические и

гетероалициклические группы содержат от 5 до около 10 атомов в кольце, наиболее предпочтительно, 5, 6 или 7 атомов в кольце. Подходящие гетероароматические группы в соединениях в соответствии с данным изобретением содержат один, два или три гетероатома, выбранных из атомов N, O или S, и включают, например, кумаринил, в том числе 8-кумаринил, хинолил, в том числе 8-хинолил, изохинолил, пиридил, пиразинил, пиразолил, пиримидинил, фурил, пирролил, тиенил, тиазолил, изотиазолил, триазолил, тетразолил, изоксазолил, оксазолил, имидазолил, индолил, изоиндолил, индазолил, индолизинил, фталазинил, птеридил, пуринил, оксадиазолил, тиадиазолил, фуразанил, пиридазинил, триазинил, циннолинил, бензимидазолил, бензофуранил, бензофуразанил, бензотиофенил, бензотиазолил, бензоксазолил, хиназолинил, хиноксалинил, нафтиридинил и фуропиридил. Подходящие гетероалициклические группы в соединениях в соответствии с данным изобретением содержат один, два или три гетероатома, выбранных из N, O или S, и включают, например, пирролидинил, тетрагидрофуранил, тетрагидротиенил, тетрагидротиопиранил, пиперидил, морфолинил, тиоморфолинил, тиоксанил, пиперазинил, азетидинил, оксетанил, тиетанил, гомопиперидил, оксепанил, тиепанил, оксазепинил, диазепинил, тиазепинил, 1,2,3,6-тетрагидропиридил, пирролинил, 3-пирролинил, индолинил, 2H-пиранил, 4H-пиранил, диоксанил, 1,3диоксоланил, пиразолинил, дитианил, дитиоланил, дигидропиранил, дигидротиенил, 3дигидрофуранил, пиразолидинил, имидазолинил, имидазолидинил, азабицикло[3.1.0] гексил, 3—азабицикло[4.1.0] гептил, 3H—индолил и хинолизинил.

Указанные выше группы могут быть замещены на одном или более доступных положениях одной или более подходящими группами, такими как OR', =O, SR', SOR', SO<sub>2</sub>R', NO<sub>2</sub>, NHR', NR'R', =N-R', NHCOR', N(COR')<sub>2</sub>, NHSO<sub>2</sub>R', NR'C(=NR')NR'R', CN, галоген, COR', COOR', OCOR', OCONHR', OCONR'R', CONHR', CONR'R', защищенная ОН, защищенная амино, защищенная SH, замещенная или незамещенная C<sub>1</sub>-C<sub>12</sub> алкильная, замещенная или незамещенная С2-С12 алкенильная, замещенная или незамещенная С2-С12 алкинильная, замещенная или незамещенная арильная и замещенная или незамещенная гетероциклическая группа, где каждую из R' групп независимо выбирают из группы, состоящей из водорода, OH, NO2, NH2, SH, CN, галогена, СОН, СОалкила,  $CO_2H$ , замещенной или незамещенной  $C_1-C_{12}$  алкильной, замещенной или незамещенной С2-С12 алкенильной, замещенной или незамещенной С2-С12 алкинильной, замещенной или незамещенной арильной И замещенной или незамещенной гетероциклической группы. Где такие группы сами замещены, заместители могут быть выбраны из представленного выше списка. Кроме того, если на заместителе имеется более одной группы R', каждая R' может быть одинаковыми или разными.

В соединениях в соответствии с данным изобретением галогеновые заместители включают F, Cl, Br и I.

Термины «фармацевтически приемлемая соль» и «сложный эфир» относятся к любой фармацевтически приемлемой соли или сложному эфиру, которая при введении пациенту способна дать (прямо или косвенно) соединение, описанное здесь. Однако

следует понимать, что не фармацевтически приемлемые соли также входят в объем изобретения, поскольку они могут быть полезны при получении фармацевтически приемлемых солей. Получение солей может проводиться способами, известными в данной области.

Например, фармацевтически приемлемые соли соединений, представленных здесь, синтезируют из исходных соединений, которые содержат основную или кислотную часть, обычными химическими способами. Обычно такие соли получают, например, путем взаимодействия свободной кислоты или основания этих соединений стехиометрическим количеством подходящего основания или кислоты в воде или в органическом растворителе или в смеси обоих. Обычно предпочтительными являются не водные среды, такие как простой эфир, этилацетат, этанол, 2-пропанол или ацетонитрил. Примеры кислотно-аддитивных солей включают аддитивные соли минеральных кислот, такие как, например, гидрохлорид, гидробромид, гидройодид, сульфат, нитрат, фосфат, и аддитивные соли органических кислот, такие как, например, ацетат, трифторацетат, малеат, фумарат, цитрат, оксалат, сукцинат, тартрат, малат, миндалят, метансульфонат и п-толуолсульфонат. Примеры щелочных аддитивных солей включают неорганические соли, такие как, например, соли натрия, калия, кальция и аммония, и органические щелочные соли, такие как, например, этилендиамин, этаноламин, диалкиленэтаноламин, триэтаноламин и соли основных аминокислот.

Соединения в соответствии с данным изобретением могут быть в кристаллической или аморфной форме, либо в виде свободных соединений, либо в виде сольватов (например, гидратов), и предполагается, что все формы включены в объем данного изобретения. Способы сольватации обычно известны в данной области техники.

Возможна стереоизомерия относительно асимметричных атомов углерода с неопределенной стереохимией, поэтому в таких случаях асимметричные атомы углерода могут иметь (R) или (S) конфигурацию. Все диастереомеры, образованные определенной конфигурацией таких асимметричных атомов углерода в сочетании с другими асимметричными атомами углерода, присутствующими в молекуле и их смесях, рассматриваются в объеме настоящего изобретения. Стереоизомерия относительно двойной связи (геометрическая изомерия) также возможна, поэтому в некоторых случаях молекула может существовать как (E)-изомер или (Z)-изомер. Если молекула содержит несколько двойных связей, каждая двойная связь будет иметь свою собственную стереоизомерию, которая может быть такой же или отличаться от стереоизомерии других двойных связей молекулы. Кроме того, упомянутые здесь соединения могут существовать в виде атропоизомеров. Отдельные стереоизомеры, включая диастереоизомеры, геометрические изомеры и атропоизомеры соединений, упомянутых в настоящем документе, и их смеси входят в объем настоящего изобретения.

Кроме того, упомянутые здесь соединения могут существовать в изотопномеченных формах. Все фармацевтически приемлемые соли, сложные эфиры и изотопно меченные формы соединений, упомянутых в настоящем документе, и их смеси рассматриваются в объеме настоящего изобретения.

Защищенные формы соединений, описанных здесь, рассматриваются в объеме настоящего изобретения. Подходящие защитные группы хорошо известны специалистам в данной области. Общий обзор защитных групп в органической химии представлен у Wuts, PGM и Greene TW в Protecting Groups in Organic Synthesis, 4<sup>th</sup> Ed. Wiley–Interscience и у Косіеnski PJ in Protecting Groups, 3<sup>rd</sup> Ed. Georg Thieme Verlag. В этих ссылках представлены разделы по защитным группам для ОН, амино и SH группам. Все эти ссылки включены в качестве ссылки полностью.

В объеме настоящего изобретения ОН защитная группа определена как Освязанная группа, образующаяся в результате защиты ОН посредством образования подходящей защищенной ОН группы. Примеры таких защищенных ОН групп включают простые эфиры, силиловые эфиры, сложные эфиры, сульфонаты, сульфенаты и сульфинаты, карбонаты и карбаматы. Для простых эфиров защитная группа для ОН может быть выбрана из метила, метоксиметила, метилтиометила, (фенилдиметилсилил)метоксиметила, бензилоксиметила, n-метоксибензилоксиметила, [(3,4–диметоксибензил)окси]метила, *п*–нитробензилоксиметила, 0нитробензилоксиметила, [(R)-1-(2-нитрофенил)этокси]метила, (4метоксифенокси) метила, гваяколметила,  $[(n-\phi)$  енилфенил) окси] метила,  $m-\phi$  утоксиметила, 4-пентенилоксиметила, силоксиметила, 2-метоксиэтоксиметила, 2-цианоэтоксиметила, бис(2-хлорэтокси)метила, 2,2,2-трихлорэтоксиметила, 2-(триметилсилил)этоксиметила, метоксиметила, O-бис(2-ацетоксиэтокси)метила, тетрагидропиранила, фтористого тетрагидропиранила, 3-бромтетрагидропиранила, тетрагидротиопиранила, метоксициклогексила, 4-метокситетрагидропиранила, 4-метокситетрагидротиопиранила, S, *S*–диоксида 4-метокситетрагидротиопиранила, 1-[(2-хлор-4-метил)фенил]-4метоксипиперидин-4-ила, 1-(2-фторфенил)-4-метоксипиперидин-4-ила, 1-(4хлорфенил)-4-метоксипиперидин-4-ила, 1,4-диоксан-2-ила, тетрагидрофуранила, 2,3,3*a*,4,5,6,7,7*a*-октагидро-7,8,8-триметил-4,7тетрагидротиофуранила, метанобензофуран–2-ила, 1-этоксиэтила, 1-(2-хлорэтокси)этила, 2-гидроксиэтила, 2бромэтила, 1-[2-(триметилсилил)этокси]этила, 1-метил-1-метоксиэтила, 1-метил-1бензилоксиэтила, 1-метил-1-бензилокси-2-фторэтила, 1-метил-1-феноксиэтила, 2,2,2-1,1-дианизил-2,2,2-трихлорэтила, 1,1,1,3,3,3-гексафтор-2трихлорэтила, фенилизопропила, 1-(2-цианоэтокси)этила, 2-триметилсилилэтила, 2-(бензилтио)этила, 2–(фенилселенил)этила, m–бутила, циклогексила, 1-метил-1'-циклопропилметила, аллила, пренила, циннамила, 2-феналлила, пропаргила, *n*-хлорфенила, *n*-метоксифенила, n-нитрофенила, 2,4-динитрофенила, 2,3,5,6-тетрафтор-4-(трифторметил)фенила, n—метоксибензила. 3,4-диметоксибензила, 2,6-диметоксибензила, бензила, нитробензила, п-нитробензила, пентадиенилнитробензила, пентадиенилнитропиперонила, галобензила, 2,6—дихлорбензила, 2,4—дихлорбензила, 2,6—дифторбензила, n—цианобензила, фтористого бензила, 4-фтористого алкоксибензила, триметилсилилксилила, фенилбензила, 2-фенил-2-пропила, n-ациламинобензила, n-азидобензила, 4-азидо-3хлорбензила, 2-трифторметилбензила, 4-трифторметилбензила, n-(метилсульфинил)бензила, *n*—силетанилбензила, 4-ацетоксибензила, 4-(2триметилсилил) этоксиметоксибензила, 2 — нафтилметила, 2 — пиколила, 4 — пиколила, N — 3-метил-2-пиколила, 2-хинолинилметила, 6-метокси-2-(4-метилфенил)-4хинолинметила, 1-пиренилметила, дифенилметила, 4-метоксидифенилметила, фенилдифенилметила, п, п'-динитробензгидрила, 5-дибензосуберила, трифенилметила, трис(4-m-6утилфенил)метила,  $\alpha$ -нафтилдифенилметила, n-метоксифенилдифенилметила, ди(*п*–метоксифенил)фенилметила, три(n-метоксифенил)метила, 4,4',4''-трис(4,5бромфенацилокси)фенилдифенилметила, 4,4',4''-трис(левулиноилоксифенил)метила, 4,4',4''дихлорфталимидофенил)метила, 4,4'-диметокси-3''-[N-(имидазолилметил)]тритила, трис(бензоилоксифенил)метила, 4,4'-диметокси-3''-[N-(имидазолилэтил)карбамоил]тритила, бис(4-метоксифенил)-1'пиренилметила, 4-(17-тетрабензо[a, c,g, i]флуоренилметил)-4,4''-диметокситритила, 9антрила, 9-(9-фенил) ксантенила, 9-фенилтиоксантила, 9-(9-фенил-10-оксо) антрила, 1,3бензодитиолан-2-ила, 4,5-бис(этоксикарбонил)-[1,3]-диоксолан-2-ила, S, S-диоксида бензизотиазолила. Для силильных эфиров защитная группа для ОН может быть выбрана из триметилсилила, триэтилсилила, триизопропилсилила, диметилизопропилсилила, диэтилизопропилсилила, диметилгексилсилила, 2-норборнилдиметилсилила, бутилдиметилсилила, m-бутилдифенилсилила, трибензилсилила, три-n-ксилилсилила, трифенилсилила, дифенилметилсилила, ди-m—бутилметилсилила, бис(m-бутил)-1пиренилметоксисилила, трис(триметилсилил)силила, (2-гидроксистирил)диметилсилила, (2-гидроксистирил) диизопропилсилила, *т*—бутилметоксифенилсилила, бутоксидифенилсилила, 1,1,3,3-тетраизопропил-3-[2-(трифенилметокси)этокси]дисилоксан-1-ила и фтористого силила. Для сложных эфиров защитная группа для ОН вместе с атомом кислорода незащищенной ОН, к которой она присоединена, образует сложный эфир, который может быть выбран из формиата, бензоилформиата, ацетата, хлорацетата, дихлорацетата, трихлорацетата, трихлорацетамидата, трифторацетата, метоксиацетата, трифенилметоксиацетата, феноксиацетата, n—хлорфеноксиацетата, фенилацетата, дифенилацетата, фенилпропионата, пропаноила с цепью бисфтористого типа, 4-пентеноата, 4-4,4-(этилендитио)пентаноата, 5[3-бис(4оксопентаноата, метоксифенил) гидроксиметилфенокси] левулината, пивалоата, 1-адамантоата, кротоната, n—фенилбензоата, 4-метоксикротоната, бензоата, 2,4,6-триметилбензоата, бромбензоата, 2,5—дифторбензоата, n—нитробензоата, пиколината, никотината, 2-(азидометил)бензоата, 4-азидобутирата, (2-азидометил)фенилацетата, 2- $\{[(тритилтио)окси] метил \}$  бензоата,  $2-\{[(4-метокситритилтио)окси] метил <math>\}$  бензоата, 2-{[метил(тритилтио)амино]метил}бензоата, 2-{{[(4метокситритил)тио]метиламино}метил}бензоата, 2-(аллилокси)фенилацетата, 2-(пренилоксиметил)бензоата, 6-(левулинилоксиметил)-3-метокси-2-нитробензоата, 6-(левулинилоксиметил)—3-метокси—4-нитробензоата, 4-бензилоксибутирата, 4–

4-ацетокси-2,2-диметилбутирата, триалкилсилилоксибутирата, 2,2-диметил-4пентеноата, 2-йодбензоата, 4-нитро-4-метилпентаноата, о-(дибромметил)бензоата, 2-4–(метилтиометокси)бутирата, формилбензолсульфоната, (метилтиометоксиметил)бензоата, 2-(хлорацетоксиметил)бензоата, 2 - [(2 хлорацетокси) этил Тоензоата, 2-[2-(бензилокси)этил]бензоата, 2-[2-(4метоксибензилокси) этил] бензоата, 2,6-дихлор-4-метилфеноксиацетата, 2,6-дихлор-4-(1,1,3,3-тетраметилбутил)феноксиацетата, 2,4-бис(1,1-диметилпропил)феноксиацетата, хлордифенилацетата, изобутирата, моносукциноата, (E)-2-метил-2-бутеноата, o-N,N',N'-(метоксикарбонил)бензоата, α-нафтоата, N. нитрата, алкил тетраметилфосфородиамидата и 2-хлорбензоата. Для сульфонатов, сульфенатов и сульфинатов защитная группа для ОН вместе с атомом кислорода незащищенной ОН, к которой она присоединена, образует сульфонат, сульфенат или сульфинаты, которые могут быть выбраны из сульфата, аллилсульфоната, метансульфоната, бензилсульфоната, тозилата, 2-[(4-нитрофенил)этил]сульфоната, 2-трифторметилбензолсульфоната, монометокситритилсульфената, алкил 2,4-динитрофенилсульфената, 2,2,5,5тетраметилпирролидин-3-он-1-сульфината и диметилфосфинотиоила. Для карбонатов защитная группа для ОН вместе с атомом кислорода незащищенной ОН, к которой она присоединена, образует карбонат, который может быть выбран из метилкарбоната, метоксиметилкарбоната, 9-флуоренилметилкарбоната, этилкарбоната, бромэтилкарбоната, 2–(метилтиометокси)этилкарбоната, 2,2,2-трихлорэтилкарбоната, 1,1-диметил-2,2,2-трихлорэтилкарбоната, 2-(триметилсилил)этилкарбоната, [диметил(2-нафтилметил)силил]этилкарбоната, 2-(фенилсульфонил)этилкарбоната, 2-(трифенилфосфонио)этилкарбоната, uuc - [4 -[[(метокситритил)сульфенил]окси]тетрагидрофуран-3-ил]оксикарбоната, изобутилкарбоната, m—бутилкарбоната, винилкарбоната, аллилкарбоната, циннамилкарбоната, пропаргилкарбоната, *n*–хлорфенилкарбоната, 4-этокси-1-нафтилкарбоната, нитрофенилкарбоната, 6-бром-7-гидроксикумарин-4илметилкарбоната, бензилкарбоната, o-нитробензилкарбоната, n-нитробензилкарбоната, 3,4-диметоксибензилкарбоната, *n*—метоксибензилкарбоната, антрахинон-2илметилкарбоната, 2-дансилэтилкарбоната, 2-(4-нитрофенил)этилкарбоната, 2-(2,4динитрофенил)этилкарбоната, 2-(2-нитрофенил)пропилкарбоната, 2-(3,4метилендиокси-6-нитрофенил)пропилкарбоната, 2-циано-1-фенилэтилкарбоната, 2-(2-2-[N-метил-N-(2-пиридил)]амино-1пиридил)амино-1-фенилэтилкарбоната, 3',5'-диметоксибензоинкарбоната, фенилэтилкарбоната, фенацилкарбоната, метилдитиокарбоната и S-бензилтиокарбоната. И для карбаматов защитная группа для ОН вместе с атомом кислорода незащищенной ОН, к которой она присоединена, образует карбамат, который может быть выбран из диметилтиокарбамата, N-фенилкарбамата и Nметил-N-(o-нитрофенил)карбамата.

В объеме настоящего изобретения амино защитная группа определяется как Nсвязанная группа, полученная в результате защиты аминогруппы через образование

подходящих защищенных аминогрупп. Примеры защищенных аминогрупп включают мочевины, амиды, гетероциклические системы, N-алкиламины, карбаматы, алкениламины, N-алкиниламины, N-ариламины, имины, енамины, производные Nметаллов, N-N производные, N-P производные, N-Si производные и N-S производные. Для карбаматов защитная группа для аминогруппы вместе с аминогруппой, к которой она присоединена, образует карбамат, который может быть выбран из метилкарбамата, этилкарбамата, 9-флуоренилметилкарбамата, 2,6-ди-*m*-бутил-9флуоренилметилкарбамата, 2,7-бис(триметилсилил)флуоренилметилкарбамата, 9-(2-9-(2,7-дибром)флуоренилметилкарбамата, 17сульфо)флуоренилметилкарбамата, тетрабензо[а, c,gi]флуоренилметилкарбамата, 2-хлор-3-инденилметилкарбамата, бенз[f]инден-3-илметилкарбамата, 1,1-диоксобензо[b]тиофен-2-илметилкарбамата, метилсульфонил-3-фенил-1-проп-2-енилкарбамата, 2,7-ди-m-бутил-[9,(10,10)-диоксо-10,10,10,10-тетрагидротиоксантил)]метилкарбамата, 2,2,2-трихлорэтилкарбамата, триметилсилилэтилкарбамата, (2-фенил-2-триметилсилил)этилкарбамата, 2фенилэтилкарбамата, 2-хлорэтилкарбамата, 1,1-диметил-2-галоэтилкарбамата, 1,1диметил-2,2-дибромэтилкарбамата, 1,1-диметил-2,2,2-трихлорэтилкарбамата, 2-(2'пиридил)этилкарбамата, 2-(4'-пиридил)этилкарбамата, 2,2-бис(4'нитрофенил) этилкарбамата, 2-[(2-нитрофенил)дитио]-1-фенил этилкарбамата, <math>2-(N, N-1)дициклогексилкарбоксамидо) = m — бутилкарбамата, = m — бутилкарбамата, **BOC** фтористого карбамата, 1-адамантилкарбамата, 2-адамантилкарбамата, 1-(1-адамантил)-1-1-метил-1-(4-бифенилил)этилкарбамата, метилэтилкарбамата, 1-(3,5-ди-mбутилфенил)—1-метилэтилкарбамата, триизопропилсилилоксикарбамата, винилкарбамата, аллилкарбамата, пренилкарбамата, 1-изопропилаллилкарбамата, циннамилкарбамата, 4нитроциннамилкарбамата, 3-(3'-пиридил)проп-2-енилкарбамата, гексадиенилкарбамата, пропаргилкарбамата, 1,4-бут-2-инилбискарбамата, 8-хинолилкарбамата, Nгидроксипиперидинилкарбамата, алкилдитиокарбамата, бензилкарбамата, 3,5-ди-тбутилбензилкарбамата, *п*–метоксибензилкарбамата, *n*–нитробензилкарбамата, nбромбензилкарбамата. n—хлорбензилкарбамата, 2,4-дихлорбензилкарбамата, 4– 4-трифторметилбензилкарбамата, метилсульфинилбензилкарбамата, фтористого бензилкарбамата, 2-нафтилметилкарбамата, 9-антрилметилкарбамата, дифенилметилкарбамата, 4-фенилацетоксибензилкарбамата, 4-азидобензилкарбамата, 4азидометоксибензилкарбамата, *м*–хлор–*n*–ацилоксибензилкарбамата, n-(дигидроксиборил)бензилкарбамата, 2-5-бензизоксазолилметилкарбамата, 2-(трифторметил)-6-хромонилметилкарбамата, 2-метилтиоэтилкарбамата, метилсульфонилэтилкарбамата, 2-(п-толуолсульфонил) этилкарбамата, 2-(4нитрофенилсульфонил)этилкарбамата, 2-(2,4-динитрофенилсульфонил)этилкарбамата, 2-(4-трифторметилфенилсульфонил)этилкарбамата, [2-(1,3-дитианил)]метилкарбамата, 2фосфониоэтилкарбамата, 2-[фенил(метил)сульфонил]этилкарбамата, 2-(трифенилфосфонио)этилкарбамата, 1,1-диметил-2-цианоэтилкарбамата, дансилэтилкарбамата, 2-(4-нитрофенил)этилкарбамата, 4-метилтиофенилкарбамата, 2,4диметилтиофенилкарбамата, м-нитрофенилкарбамата, 3,5-диметоксибензилкарбамата, 1метил-1-(3,5-диметоксифенил)этилкарбамата, α-метилнитропиперонилкарбамата, 3,4-диметокси-6-нитробензилкарбамата, нитробензилкарбамата, нитрофенил)метилкарбамата, 2-нитрофенилэтилкарбамата, 6-нитровератрилкарбамата, 4-3',5'-диметоксибензоинкарбамата, 9\_ метоксифенацилкарбамата, ксантенилметилкарбамата, N-метил-N-(o-нитрофенил)карбамата, m-амилкарбамата, 1метилциклобутилкарбамата, 1-метилциклогексилкарбамата, 1-метил-1циклопропилметилкарбамата, циклобутилкарбамата, циклопентилкарбамата, изоборнилкарбамата, циклогексилкарбамата, изобутилкарбамата, циклопропилметилкарбамата, *п*–децилоксибензилкарбамата, диизопропилметилкарбамата, 2,2-диметоксикарбонилвинилкарбамата, o–(N, Nдиметилкарбоксамидо)бензилкарбамата, N-1,1-диметил-3-(N,диметилкарбоксамидо)пропилкарбамата, 1,1бутинилкарбамата, диметилпропинилкарбамата, 2-йодэтилкарбамата, 1-метил-1-(4'-пиридил)этилкарбамата, 1-метил-1-(p-фенилазофенил)этилкарбамата, n—(p'—метоксифенилазо)бензилкарбамата, n—(фенилазо)бензилкарбамата, 2,4,6—триметилбензилкарбамата, изоникотинилкарбамата, 4-(триметиламмоний)бензилкарбамата, n—цианобензилкарбамата, ди(2пиридил)метилкарбамата, 2-фуранилметилкарбамата, фенилкарбамата, бутилфенилкарбамата, 1-метил-1-фенилэтилкарбамата и S-бензилтиокарбамата. Для мочевин защитные группы для аминогруппы могут быть выбраны из фенотиазинил-(10)карбонила, N'-n-толуолсульфониламинокарбонила, N'-фениламинотиокарбонила, N'гидроксифениламинокарбонила, 3-гидрокситриптаминокарбонила фениламинотиокарбонила. Для амидов защитная группа для аминогруппы вместе с аминогруппой, к которой она присоединена, образует амид, который может быть выбран формамида, ацетамида, хлорацетамида, трихлорацетамида, трифторацетамида, фенилацетамида, 3-фенилпропанамида, пент-4-енамида, пиколинамида, пиридилкарбоксамида, *N*-бензоилфенилаланиламида, бензамида, *n*-фенилбензамида, *o*-2,2-диметил-2-(о-нитрофенил)ацетамида, нитрофенилацетамида, нитрофеноксиацетамида, 3-(о-нитрофенил)пропанамида, 2-метил-2-(онитрофенокси)пропанамида, 3-метил-3-нитробутанамида, о-нитроцинамида, нитробензамида, 3-(4-m-6утил-2,6-динитрофенил)-2,2-диметилпропанамида,o-2-(ацетоксиметил)бензамида, (бензоилоксиметил)бензамида, 2-[(m-3-(3',6'-диоксо-2',4',5'-триметилциклогексабутилдифенилсилокси)метил Тензамида, 1',4'-диен)-3,3-диметилпропионамида, *о*-гидрокси-*транс*-циннамида, 2-метил-2-(офенилазофенокси)пропанамида, 4-хлорбутанамида, 3-(pацетоацетамида, (*N*-дитиобензилоксикарбониламино)ацетамида Nгидроксифенил)пропанамида, ацетилметионинамида. Для гетероциклических систем, защитная группа для аминогруппы вместе с аминогруппой, к которой она присоединена, образует гетероциклическую систему, которая может быть выбрана из 4,5-дифенил-3-оксазолин-2-она, *N*-фталимида, N–дихлорфталимида, N–тетрахлорфталимида, N–4–нитрофталимида, N–тиодигликолоила, N–дитиасукцинимида, N-2,3-дифенилмалеимида, N-2,3-диметилмалеимида, N-2.5диметилпиррола, N-2,5-бис(триизопропилсилокси)пиррола, аддукт N-1,1,4,4тетраметилдисилилазациклопентана, N-1,1,3,3-тетраметил-1,3-дисилаизоиндолина, N-1,1,3,3-тетраметил-1,3-дисилаизоиндолина, N-1,1,3,3-тетраметил-1,3-дисилаизоиндолина, N-5-замещенного-1,3-диметил-1,3,5-триазациклогексан-2дифенилсилилдиэтилена, она, N-5-замещенного-1,3-бензил-1,3,5-триазациклогексан-2-она, 1-замещенного 3,5динитро—4—пиридона и 1,3,5—диоксазина. Для N—алкил—, N—алкини—, N—алкинил— или N ариламиновая защитная группа для аминогруппы может быть выбрана из N-метила, N-mбутила, N-аллила, N-пренила, N-циннамила, N-фенилаллила, N-пропаргила, N-Nметоксиметила, N–[2–(триметилсилил)этокси]метила, N-3-ацетоксипропила, цианометила, N-2-азанорборненов, N–бензила, N–4-метоксибензила, N-2,4диметоксибензила, N-2-гидроксибензила, N-ферроценилметила, N-2,4-динитрофенила, o-метоксифенила, n-метоксифенила, N-9-фенилфлуоренила, N-флуоренила, N-оксида N-2-пиколиламина, N-7-метоксикумар-4-илметила, N–дифенилметила, *N*-бис(4метоксифенил)метила, N-5-дибензосуберила, N–трифенилметила, N-(4метилфенил) дифенилметила и N–(4–метоксифенил) дифенилметила. Для иминов защитная группа для аминогруппы может быть выбрана из N-1, 1-диметилтиометилена, N-1, 1-диметилиометилена, N-1, 1-диметилена, N-1, 1-диметилиометилена, N-1, 1-диметилиометилена, N-1, 1-диметилена, N-1бензилидена, N-p-метоксибензилидена, N–дифенилметилена, N-[2-N-(N',N'-N–(N,N–диметиламинометилена), пиридил)мезитил]метилена, дибензиламинометилена), N-(N-m-6утиламинометилена), N, N'-изопропилидена, N-nнитробензилидена, N-салицилидена, N–5-хлорсалицилидена, N-(5-хлор-2гидроксифенил)фенилметилена, *N*-циклогексилидена и *N-т*-бутилидена. Для енаминов защитная группа для аминогруппы может быть выбрана из N–(5,5–диметил–3–оксо–1– N-2,7–дихлор–9–флуоренилметилена, N-1-(4,4-диметил-2,6диоксоциклогексилиден) этила, N-(1,3-диметил-2,4,6-(1H,3H,5H)-триоксопиримидин-5илиден)метила, N–4,4,4–трифтор–3–оксо–1–бутенила и N–(1–изопропил–4–нитро–2–оксо– 3-пирролин-3-ила). Для производных N-металла защитная группа для аминогруппы может быть выбрана из N-борана, N-дифенилборинового эфира, N-диэтилборинового N–9–борабициклононана, N–дифторборинового 3,5эфира бис(трифторметил)фенилбороновой Nкислоты; также И включая фенил (пентакар бонил хром) кар бенил, N – фенил (пентакар бонил воль фрам) кар бенил, Nметил (пентакар бонил хром) кар бенил, N-метил (пентакар бонил воль фрам) кар бенил, хелат N-медь, хелат N-цинк и 18-краун-6-производное. Для N-N производных защитная группа для аминогруппы вместе с аминогруппой, к которой она присоединена, образует N-N производное, которое может быть выбрано из N-нитроамино, N-нитрозомино, Nоксида производного N-триметилсилилметил-Nамина, азида, триазена бензилгидразина. Для N-Р производных защитная группа для аминогруппы вместе с аминогруппой, к которой она присоединена, образует N-Р производное, которое может быть выбрано дифенилфосфинамида, диметилтиофосфинамида, ИЗ дифенилтиофосфинамида, диалкилфосфорамидата, дибензилфосфорамидата, дифенилфосфорамидата и иминотрифенилфосфорана. Для N-Si производных защитная

группа для NH<sub>2</sub> может быть выбрана из *m*-бутилдифенилсилила и трифенилсилила. Для N-S производных защитная группа для аминогруппы может быть выбрана из производных N-сульфенила или N-сульфонила. Производные N-сульфенила могут быть выбраны бензолсульфенамида, 2-нитробензолсульфенамида, 2,4динитробензолсульфенамида, пентахлорбензолсульфенамида, 2-нитро-4метоксибензолсульфенамида, трифенилметилсульфенамида, 1-(2,2,2-трифтор-1,1дифенил) 3тилсульфенамида и N-3 – нитро 3 – пиридинсульфенамида. Производные N-1сульфонила могут быть выбраны из метансульфонамида, трифторметансульфонамида, трифторметансульфо бутилсульфонамида, бензилсульфонамида, 2-(триметилсилил) этансульфонамида, толуолсульфонамида, бензолсульфонамида, о-анизилсульфонамида, 2нитробензолсульфонамида, 4-нитробензолсульфонамида, 2,4динитробензолсульфонамида, 2-нафталинсульфонамида, 4-(4',8'диметоксинафтилметил)бензолсульфонамида, 2-(4-метилфенил)-6-метокси-4метилсульфонамида, 9-антраценсульфонамида, пиридин-2-сульфонамида, бензотиазол-2-сульфонамида, фенацилсульфонамида, 2,3,6-триметил-4-метоксибензолсульфонамида, 2,4,6-триметоксибензолсульфонамида, 2,6-диметил-4-метоксибензолсульфонамида, пентаметилбензолсульфонамида, 2,3,5,6-тетраметил-4-метоксибензолсульфонамида, 4метоксибензолсульфонамида, 2,4,6-триметилбензолсульфонамида, метилбензолсульфонамида, 3-метокси-4-*т*-бутилбензолсульфонамида 2,2,5,7,8пентаметилхроман-6-сульфонамида.

В объеме настоящего изобретения защитная группа для SH определена как Sсвязанная группа, полученная в результате защиты SH группы посредством образования подходящей защищенной SH группы. Примеры таких защищенных групп SH включают простые тиоэфиры, дисульфиды, простые силилтиоэфиры, сложные тиоэфиры, тиокарбонаты и тиокарбаматы. Для простых тиоэфиров защитная группа для SH может быть выбрана из S-алкила, S-бензила, S-n-метоксибензила, S-o-гидроксибензила, S-nгидроксибензила, S-o-ацетоксибензила, S-n-ацетоксибензила, S-n-нитробензила, S-oнитробензила, S–2,4,6-триметилбензила, S–2,4,6,-триметоксибензила, S–4-пиколила, S–2пиколил-N-оксида, S-2-хинолинилметила, S-9-антрилметила, S-9-флуоренилметила, Sксантенила, S-ферроценилметила, S-дифенилметила, S-бис(4-метоксифенил)метила, S-5дибензосуберила, *S*-трифенилметила, 4-метокситритила, *S*-дифенил-4-пиридилметила, S-фенила, S-2,4-динитрофенила, S-2-хинолила, S-m-бутила, S-1-адамантила, Sметоксиметила, S-изобутоксиметила, S-бензилоксиметила, S-1-этоксиэтила, S-2тетрагидропиранила, *S*-бензилтиометила, *S*-фенилтиометила, *S*-ацетамидометила (Acm), S-триметилацетамидометила, S-бензамидометила, S-аллилоксикарбониламинометила, S-N–[2,3,5,6–тетрафтор–4–(N–пиперидино)фенил–N–аллилоксикарбониламинометила, фталимидометила, S-фенилацетамидометила, S-ацетилметила, S-карбоксиметила, S-S–2–(2,4–динитрофенил)этила, S-2-(4'цианометила, S–(2–нитро–1–фенил)этила, S-2-цианоэтила, S-2-(триметилсилил)этила, S-2.2пиридил)этила, бис(карбоэтокси)этила, S–(1–M–нитрофенил–2–бензоил)этила, S–2–фенилсульфонилэтила, S-1-(4-метилфенилсульфонил)-2-метилргор-2-илаИ S-n-гидроксифенацила. дисульфидов защитная SH группа может быть выбрана из S-этилдисульфида, S-mбутилдисульфида, S-2-нитрофенилдисульфида, S-2,4-динитрофенилдисульфида, S-2фенилазофенилдисульфида, *S*–2–карбоксифенилдисульфида *S*–3–нитро–2– пиридилдисульфида. Для простых силилтиоэфиров защитная группа для SH может быть выбрана из списка группа, который представлен выше для защиты ОН простыми эфирами силила. Для сложных тиоэфиров защитная группа для SH может быть выбрана из S-S-2-метоксиизобутирила, *S*–трифторацетила, S-N-[[n-*S*–бензоила, S–N–(*m*– бифенилил) изопропилокси] карбонил] -N – метил –  $\gamma$  – аминотиобутирата  $\delta y m$ оксикарбонил)–N–метил– $\gamma$ -аминотиобутирата. Для тиокарбоната защитная группа для SH может быть выбрана из S-2,2,2-трихлорэтоксикарбонила, S-m-бутоксикарбонила, Sбензилоксикарбонила, *S*–*n*–метоксибензилоксикарбонила и *S*–флуоренилметилкарбонила. Для тиокарбамата защитная SH группа может быть выбрана из S–(N–этилкарбамата) и S– (*N*-метоксиметилкарбамата).

Упоминание этих групп не следует интерпретировать как ограничение объема изобретения, поскольку они были упомянуты в качестве простой иллюстрации защитных групп для ОН, аминогрупп и SH групп, но дополнительные группы, имеющие указанную функцию, могут быть известны специалисту в данной области техники, и следует понимать, что они также охватываются настоящим изобретением.

Чтобы дать более краткое описание, некоторые количественные выражения, приведенные в данном документе, не ограничены термином «около». Понятно, что независимо от того, используется ли термин «около» явно или нет, каждая величина, приведенная в данном документе, предназначена для обозначения фактического заданного значения, а также для ссылки на приближение к такому заданному значению, которое было бы разумно выведено на основании обычному навыков в данной области техники, включая эквиваленты и приближения из–за условий эксперимента и/или измерения для данного заданного значения.

В одном варианте, соединением может быть соединение формулы I или его фармацевтически приемлемая соль или сложный эфир:

I

где:

X является –NH– или –O-;

 $R_1$  является -OH или -CN;

 $R_2$  является  $-C(=O)R^a$  группой;

R<sub>3</sub> является водородом или –OR<sup>b</sup> группой;

 $R_4$  выбирают из водорода,  $-CH_2OH$ ,  $-CH_2OC(=O)R^c$ ,  $-CH_2NH_2$  и  $-CH_2NHProt^{NH}$ ;

 $R^a$  выбирают из водорода, замещенного или незамещенного  $C_1$ – $C_{12}$  алкила, замещенного или незамещенного  $C_2$ – $C_{12}$  алкинила и замещенного или незамещенного  $C_2$ – $C_{12}$  алкинила;

 $R^b$  выбирают из замещенного или незамещенного  $C_1$ – $C_{12}$  алкила, замещенного или незамещенного  $C_2$ – $C_{12}$  алкинила и замещенного или незамещенного  $C_2$ – $C_{12}$  алкинила;

 $R^c$  выбирают из замещенного или незамещенного  $C_1$ – $C_{12}$  алкила, замещенного или незамещенного  $C_2$ – $C_{12}$  алкинила и замещенного или незамещенного  $C_2$ – $C_{12}$  алкинила; и

Prot<sup>NH</sup> является защитной группой для амино,

при условии, что если R<sub>4</sub> является водородом, то X является -O-.

В другом варианте, соединением формулы **I** может быть соединение формулы **IC**, или его фармацевтически приемлемая соль или сложный эфир:

IC

где:

Х является – NH-;

 $R_1$  является -OH или -CN;

 $R_2$  является  $-C(=O)R^a$  группой;

 $R_3$  является водородом или  $-OR^b$  группой;

 $R_4$  выбирают из –CH2OH, –CH2O–(C=O) $R^c$ , –CH2NH2 и –CH2NHProt<sup>NH</sup>;

 $R^a$  выбирают из водорода, замещенного или незамещенного  $C_1$ – $C_{12}$  алкила, замещенного или незамещенного  $C_2$ – $C_{12}$  алкинила и замещенного или незамещенного  $C_2$ – $C_{12}$  алкинила;

 $R^b$  выбирают из замещенного или незамещенного  $C_1$ – $C_{12}$  алкила, замещенного или незамещенного  $C_2$ – $C_{12}$  алкинила и замещенного или незамещенного  $C_2$ – $C_{12}$  алкинила;

 $R^c$  выбирают из замещенного или незамещенного  $C_1$ – $C_{12}$  алкила, замещенного или незамещенного  $C_2$ – $C_{12}$  алкинила; и

Prot<sup>NH</sup> является защитной группой для амино.

 ${f B}$  еще одном варианте, соединением формулы  ${f I}$  может быть соединение формулы  ${f ID}$ , или его фармацевтически приемлемая соль или сложный эфир:

#### ID

где:

Х является -О-;

 $R_1$  является -OH или -CN;

 $R_2$  является  $-C(=O)R^a$  группой;

 $R_3$  является водородом или  $-OR^b$  группой;

 $R_4$  выбирают из водорода,  $-CH_2OH$ ,  $-CH_2O-(C=O)R^c$ ,  $-CH_2NH_2$  и  $-CH_2NHProt^{NH}$ ;

 $R^a$  выбирают из водорода, замещенного или незамещенного  $C_1$ – $C_{12}$  алкила, замещенного или незамещенного  $C_2$ – $C_{12}$  алкинила и замещенного или незамещенного  $C_2$ – $C_{12}$  алкинила;

 $R^b$  выбирают из замещенного или незамещенного  $C_1$ – $C_{12}$  алкила, замещенного или незамещенного  $C_2$ – $C_{12}$  алкинила;

 $R^c$  выбирают из замещенного или незамещенного  $C_1$ – $C_{12}$  алкила, замещенного или незамещенного  $C_2$ – $C_{12}$  алкинила; и  $Prot^{NH}$  является защитной группой для амино.

В еще одном варианте, соединением формулы I может быть соединение формулы IE, или его фармацевтически приемлемая соль или сложный эфир:

## $\mathbf{IE}$

где:

Х является – NH – или – O – ;

 $R_1$  является -OH или -CN;

 $R_2$  является  $-C(=O)R^a$  группой;

 $R_3$  является водородом или  $-OR^b$  группой;

 $R_4$  выбирают из  $-CH_2NH_2$  и  $-CH_2NHProt^{NH}$ ;

 $R^a$  выбирают из водорода, замещенного или незамещенного  $C_1$ – $C_{12}$  алкила, замещенного или незамещенного  $C_2$ – $C_{12}$  алкинила и замещенного или незамещенного  $C_2$ – $C_{12}$  алкинила;

 $R^b$  выбирают из замещенного или незамещенного  $C_1$ – $C_{12}$  алкила, замещенного или незамещенного  $C_2$ – $C_{12}$  алкинила; и  $C_1$ – $C_2$ – $C_1$ 2 алкинила; и  $C_2$ – $C_3$ 2 алкинила; и  $C_3$ – $C_4$ 2 алкинила; и  $C_4$ 

В еще одном варианте, соединением формулы I может быть соединение формулы IA или его фармацевтически приемлемая соль или сложный эфир:

#### IA

где:

Х является – NH – или – О – ;

 $R_1$  является –OH или –CN;

 $R_2$  является  $-C(=O)R^a$  группой;

R<sub>3</sub> является водородом;

 $R_4$  выбирают из водорода,  $-CH_2OH$ ,  $-CH_2O-(C=O)R^c$ ,  $-CH_2NH_2$  и  $-CH_2NHProt^{NH}$ ;

 $R^a$  выбирают из водорода, замещенного или незамещенного  $C_1$ – $C_{12}$  алкила, замещенного или незамещенного  $C_2$ – $C_{12}$  алкинила и замещенного или незамещенного  $C_2$ – $C_{12}$  алкинила;

 $R^c$  выбирают из замещенного или незамещенного  $C_1$ – $C_{12}$  алкила, замещенного или незамещенного  $C_2$ – $C_{12}$  алкинила и замещенного или незамещенного  $C_2$ – $C_{12}$  алкинила; и

Prot<sup>NH</sup> является защитной группой для амино;

при условии, что если  $R_4$  является водородом, то X является -O-.

В еще одном варианте, соединением формулы I может быть соединение формулы IB или его фармацевтически приемлемая соль или сложный эфир:

## ΙB

где:

Х является – NH – или – О – ;

 $R_1$  является -OH или -CN;

 $R_2$  является  $-C(=O)R^a$  группой;

 $R_3$  является  $-OR^b$  группой;

 $R_4$  выбирают из водорода,  $-CH_2OH$ ,  $-CH_2O-(C=O)R^c$ ,  $-CH_2NH_2$  и  $-CH_2NHProt^{NH}$ ;

 $R^a$  выбирают из водорода, замещенного или незамещенного  $C_1$ – $C_{12}$  алкила, замещенного или незамещенного  $C_2$ – $C_{12}$  алкинила и замещенного или незамещенного  $C_2$ – $C_{12}$  алкинила;

 $R^b$  выбирают из замещенного или незамещенного  $C_1$ – $C_{12}$  алкила, замещенного или незамещенного  $C_2$ – $C_{12}$  алкинила и замещенного или незамещенного  $C_2$ – $C_{12}$  алкинила;

 $R^c$  выбирают из замещенного или незамещенного  $C_1$ – $C_{12}$  алкила, замещенного или незамещенного  $C_2$ – $C_{12}$  алкинила и замещенного или незамещенного  $C_2$ – $C_{12}$  алкинила; и

Prot<sup>NH</sup> является защитной группой для амино;

при условии, что если R4 является водородом, то X является -О-.

В еще одном варианте, соединением формулы I может быть соединение формулы IF или его фармацевтически приемлемая соль или сложный эфир:

#### IF

где:

Х является – NH – или – О – ;

 $R_1$  является -OH;

 $R_2$  является  $-C(=O)R^a$  группой;

 $R_3$  является водородом или  $-OR^b$  группой;

 $R_4$  выбирают из водорода,  $-CH_2OH$ ,  $-CH_2OC(=O)R^c$ ,  $-CH_2NH_2$  и  $-CH_2NHProt^{NH}$ ;

 $R^a$  выбирают из водорода, замещенного или незамещенного  $C_1$ – $C_{12}$  алкила, замещенного или незамещенного  $C_2$ – $C_{12}$  алкинила и замещенного или незамещенного  $C_2$ – $C_{12}$  алкинила;

 $R^b$  выбирают из замещенного или незамещенного  $C_1$ – $C_{12}$  алкила, замещенного или незамещенного  $C_2$ – $C_{12}$  алкинила и замещенного или незамещенного  $C_2$ – $C_{12}$  алкинила;

 $R^c$  выбирают из замещенного или незамещенного  $C_1$ – $C_{12}$  алкила, замещенного или незамещенного  $C_2$ – $C_{12}$  алкинила и замещенного или незамещенного  $C_2$ – $C_{12}$  алкинила; и

 $\operatorname{Prot}^{\operatorname{NH}}$  является защитной группой для амино,

при условии, что если R<sub>4</sub> является водородом, то X является -O-.

В еще одном варианте, соединением формулы I может быть соединение формулы IG или его фармацевтически приемлемая соль или сложный эфир:

# IG

где:

Х является – NH – или – О – ;

 $R_1$  является -OH или -CN;

R<sub>2</sub> является ацетилом;

 $R_3$  является водородом или  $-OR^b$  группой;

 $R_4$  выбирают из водорода,  $-CH_2OH$ ,  $-CH_2OC(=O)R^c$ ,  $-CH_2NH_2$  и  $-CH_2NHProt^{NH}$ ;

 $R^b$  выбирают из замещенного или незамещенного  $C_1$ – $C_{12}$  алкила, замещенного или незамещенного  $C_2$ – $C_{12}$  алкинила;

 $R^c$  выбирают из замещенного или незамещенного  $C_1$ – $C_{12}$  алкила, замещенного или незамещенного  $C_2$ – $C_{12}$  алкинила и замещенного или незамещенного  $C_2$ – $C_{12}$  алкинила; и

Prot<sup>NH</sup> является защитной группой для амино,

при условии, что если R<sub>4</sub> является водородом, то X является -O-.

Предпочтительными соединениями соединений формулы **I**, **IA**, **IB**, **IC**, **ID**, **IE**, **IF**, или **IG** являются те, которые имеют общую формулу **a** или **b** или их фармацевтически приемлемые соль или сложный эфир:

Обратите внимание, что если соединения имеют общую формулу а или b,  $R_4$  может не быть водородом.

Предпочтительными соединениями соединений формулы I, IA, IB, ID, IF или IG являются те, которые имеют формулу c или их фармацевтически приемлемая соль или

сложный эфир:

где:

 $R_1$  является -OH или -CN;

 $R_2$  является  $-C(=O)R^a$  групп;

 $R_3$  является водородом или а  $-OR^b$  групп;

 $R^a$  выбирают из водорода, замещенного или незамещенного  $C_1$ – $C_{12}$  алкил, замещенного или незамещенного  $C_2$ – $C_{12}$  алкенила и замещенного или незамещенного  $C_2$ – $C_{12}$  алкинила; and

 $R^b$  выбирают из замещенного или незамещенного  $C_1$ – $C_{12}$  алкил, замещенного или незамещенного  $C_2$ – $C_{12}$  алкинила и замещенного или незамещенного  $C_2$ – $C_{12}$  алкинила.

Предпочтительные соединения включают соединения общей формулы **I, IA, IB, IE, IF, IG, Ia, IAa, IBa, IEa, IFa, IGa, Ib, IAb, IBb, IEb, IFb** и **IGb,** где:

Х является – NH-;

и R<sub>1</sub>; R<sub>2</sub>; R<sub>3</sub>; R<sub>4</sub>; R<sup>a</sup>; R<sup>b</sup>; R<sup>c</sup>; и Prot<sup>NH</sup> такие, как определены выше.

Предпочтительные соединения включают соединения общей формулы **I, IA, IB, IE, IF, IG, Ia, IAa, IBa, IEa, IFa, IGa, Ib, IAb, IBb, IEb, IFb** и **IGb,** где:

Х является -О-;

и R<sub>1</sub>; R<sub>2</sub>; R<sub>3</sub>; R<sub>4</sub>; R<sup>a</sup>; R<sup>b</sup>; R<sup>c</sup>; и Prot<sup>NH</sup> такие, как определены выше.

Дополнительные предпочтительные соединения включают соединения общей формулы I, IA, IB, IC, ID, IE, IG, Ia, IAa, IBa, ICa, IDa, IEa, IGa, Ib, IAb, IBb, ICb, IDb, IEb и IGb, где:

 $R_1$  является -OH;

и X; R<sub>2</sub>; R<sub>3</sub>; R<sub>4</sub>; R<sup>a</sup>; R<sup>b</sup>; R<sup>c</sup>; и Prot<sup>NH</sup> такие, как определены выше.

Дополнительные предпочтительные соединения включают соединения общей формулы I, IA, IB, IC, ID, IE, IF, Ia, IAa, IBa, ICa, IDa, IEa, IFa, Ib, IAb, IBb, ICb, IDb, IEb и IFb, где:

 $R_2$  является  $-C(=O)R^a$  группой, где  $R^a$  является замещенным или незамещенным  $C_1$ – $C_6$  алкилом. Особенно предпочтительный  $R^a$  выбирают из замещенного или незамещенного метила, замещенного или незамещенного этила, замещенного или незамещенного изопропила, замещенного или незамещенного изобутила, замещенного или незамещенного изобутила, замещенного или незамещенного изобутила замещенного или незамещенного или незамещенного *трем*–бутила.

Наиболее предпочтительный  $R_2$  является ацетилом;

и X;  $R_1$ ;  $R_3$ ;  $R_4$ ;  $R^b$ ;  $R^c$ ; и  $Prot^{NH}$  такие, как определены выше.

Дополнительные предпочтительные соединения включают соединения общей формулы I, IB, IC, ID, IE, IF, IG, Ia, IBa, ICa, IDa, IEa, IFa, IGa, Ib, IBb, ICb, IDb, IEb, IFb и IGb, где:

 $R_3$  является водородом или  $-OR^b$  группой для соединений формулы I, IC, ID, IE, IF, IG, Ia, ICa, IDa, IEa, IFa, IGa, Ib, ICb, IDb, IEb, IFb или IGb; и  $R_3$  является  $-OR^b$  группой для соединений формулы IB, IBa или IBb; где  $R^b$  является замещенным или незамещенным  $C_1$ — $C_6$  алкилом. Особенно предпочтительный  $R^b$  выбирают из замещенного или незамещенного этила, замещенного или незамещенного этила, замещенного или незамещенного изопропила, замещенного или незамещенного изобутила, замещенного или незамещенного изобутила, замещенного или незамещенного *трет*—бутила и замещенного или незамещенного *трет*—бутила. Более предпочтительный  $R_3$  является водородом и метокси, где водород является наиболее предпочтительной  $R_3$  группой;

и X;  $R_1$ ;  $R_2$ ;  $R_4$ ;  $R^a$ ;  $R^c$ ; и  $Prot^{NH}$  такие, как определены выше.

Дополнительные предпочтительные соединения включают соединения общей формулы I, IA, IB, IC, ID, IE, IF, IG, Ia, IAa, IBa, ICa, IDa, IEa, IFa, IGa, Ib, IAb, IBb, ICb, IDb, IEb, IFb и IGb, где:

 $R_4$  выбирают из  $-CH_2OH$ ,  $-CH_2OC(=O)R^c$ ,  $-CH_2NH_2$  и  $-CH_2NHProt^{NH}$  для соединений формулы I, IA, IB, IC, ID, IF, IG, Ia, IAa, IBa, ICa, IDa, IFa, IGa, Ib, IAb, IBb, ICb, IDb, IFb, или IGb; и  $R_4$  выбирают из $-CH_2NH_2$  и  $-CH_2NHProt^{NH}$  для соединений формулы IE, IEa или IEb; где  $R^c$  является замещенным или незамещенным  $C_1-C_6$  алкилом. Особенно предпочтительный  $R^c$  выбирают из замещенного или незамещенного метила, замещенного или незамещенного или незамещенного или незамещенного или незамещенного или незамещенного или незамещенного n-бутила, замещенного или незамещенного или незамещенного n-бутила, замещенного или незамещенного или незамещенного n-бутила и замещенного или незамещенного или незамещенного n-бутила. Наиболее предпочтительный n-бутила и замещенного n-бутила и замещенног

и  $X; R_1; R_2; R_3; R^a;$  и  $R^b$  такие, как определены выше.

Дополнительные предпочтительные соединения включают соединения общей формулы I, IA, IB, IC, IE, IF, IG, Ia, IAa, IBa, ICa, IEa, IFa, IGa, Ib, IAb, IBb, ICb, IEb, IFb и IGb, где:

Х является – NH-;

 $R_1$  является -OH;

и R<sub>2</sub>; R<sub>3</sub>; R<sub>4</sub>; R<sup>a</sup>; R<sup>b</sup>; R<sup>c</sup>; и Prot<sup>NH</sup> такие, как определены выше.

Дополнительные предпочтительные соединения включают соединения общей формулы I, IA, IB, IC, IE, IF, IG, Ia, IAa, IBa, ICa, IEa, IFa, IGa, Ib, IAb, IBb, ICb, IEb,

IFb и IGb, где:

Х является – NH-;

 $R_2$  является  $-C(=O)R^a$  для соединений формулы I, IA, IB, IC, IE, IF, Ia, IAa, IBa, ICa, IEa, IFa, Ib, IAb, IBb, ICb, IEb или IFb; и  $R_2$  является ацетилом для соединений формулы IG, IGa или IGb; где  $R^a$  является замещенным или незамещенным  $C_1$ – $C_6$  алкилом. Особенно предпочтительный  $R^a$  выбирают из замещенного или незамещенного метила, замещенного или незамещенного этила, замещенного или незамещенного или незамещенного или незамещенного или незамещенного H–бутила, замещенного или незамещенного или незамещенного или незамещенного H–бутила, замещенного или незамещенного или незамещенного или незамещенного H–бутила. Наиболее предпочтительный H2 является ацетилом;

и R<sub>1</sub>; R<sub>3</sub>; R<sub>4</sub>; R<sup>b</sup>; R<sup>c</sup>; и Prot<sup>NH</sup> такие, как определены выше.

Дополнительные предпочтительные соединения включают соединения общей формулы I, IA, IB, IC, IE, IF, IG, Ia, IAa, IBa, ICa, IEa, IFa, IGa, Ib, IAb, IBb, ICb, IEb, IFb и IGb, где:

Х является –NH-;

 $R_3$  является водородом или  $-OR^b$  группой для соединений формулы I, IC, IE, IF, IG, Ia, ICa, IEa, IFa, IGa, Ib, ICb, IEb, IFb или IGb;  $R_3$  является водородом для соединений формулы IA, IAa или IAb; и  $R_3$  является  $-OR^b$  группой для соединений формулы IB, IBa или IBb; где  $R^b$  является замещенным или незамещенным  $C_1$ — $C_6$  алкилом. Особенно предпочтительный  $R^b$  выбирают из замещенного или незамещенного метила, замещенного или незамещенного или незамещенного изопропила, замещенного или незамещенного H—бутила, замещенного или незамещенного H0 утила и замещенного или незамещенного H3 является водородом и метокси, где водород является наиболее предпочтительной H3 группой;

и R<sub>1</sub>; R<sub>2</sub>; R<sub>4</sub>; R<sup>a</sup>; R<sup>c</sup>; и Prot<sup>NH</sup> такие, как определены выше.

Дополнительные предпочтительные соединения включают соединения общей формулы I, IA, IB, IC, IE, IF, IG, Ia, IAa, IBa, ICa, IEa, IFa, IGa, Ib, IAb, IBb, ICb, IEb, IFb и IGb, где:

Х является –NH-;

 $R_4$  выбирают из  $-CH_2OH$ ,  $-CH_2OC(=O)R^c$ ,  $-CH_2NH_2$  и  $-CH_2NHProt^{NH}$  для соединений формулы I, IA, IB, IC, IF, IG, Ia, IAa, IBa, ICa, IFa, IGa, Ib, IAb, IBb, ICb, IFb или IGb; и  $R_4$  выбирают из  $-CH_2NH_2$  и  $-CH_2NHProt^{NH}$  для соединений формулы IE, IEa или IEb; где  $R^c$  является замещенным или незамещенным  $C_1$ – $C_6$  алкилом. Особенно предпочтительный  $R^c$  выбирают из замещенного или незамещенного метила, замещенного или незамещенного изопропила, замещенного или незамещенного изопропила, замещенного или незамещенного n–бутила, замещенного или незамещенного изобутила, замещенного или незамещенного n–бутила, или замещенного или незамещенного или

метил. Более предпочтительный  $R_4$  выбирают из  $CH_2OH$  и  $CH_2NH_2$ . Более предпочтительно,  $R_4$  может быть  $-CH_2NH_2$ . Наиболее предпочтительный  $R_4$  является  $-CH_2OH$ ;

и  $R_1$ ;  $R_2$ ;  $R_3$ ;  $R^a$ ; и  $R^b$  такие, как определены выше.

Дополнительные предпочтительные соединения включают соединения общей формулы I, IA, IB, IC, IE, IF, IG, Ia, IAa, IBa, ICa, IEa, IFa, IGa, Ib, IAb, IBb, ICb, IEb, IFb и IGb, где:

Х является – NH-;

 $R_1$  является -OH;

 $R_2$  является  $-C(=O)R^a$  группой для соединений формулы I, IA, IB, IC, IE, IF, Ia, IAa, IBa, ICa, IEa, IFa, Ib, IAb, IBb, ICb, IEb или IFb; и  $R_2$  является ацетилом для соединений формулы IG, IGa или IGb; где  $R^a$  является замещенным или незамещенным  $C_1$ – $C_6$  алкилом. Особенно предпочтительный  $R^a$  выбирают из замещенного или незамещенного метила, замещенного или незамещенного этила, замещенного или незамещенного предпочтительный  $R_2$  является ацетилом;

и  $R_3$ ;  $R_4$ ;  $R^b$ ;  $R^c$ ; и  $Prot^{NH}$  такие, как определены выше.

Дополнительные предпочтительные соединения включают соединения общей формулы I, IA, IB, IC, IE, IF, IG, Ia, IAa, IBa, ICa, IEa, IFa, IGa, Ib, IAb, IBb, ICb, IEb, IFb и IGb, где:

Х является – NH-;

 $R_1$  является -OH;

 $R_3$  является водородом или  $-OR^b$  группой для соединений формулы I, IC, IE, IF, IG, Ia, ICa, IEa, IFa, IGa, Ib, ICb, IEb, IFb или IGb;  $R_3$  является водородом для соединений формулы IA, IAa или IAb; и  $R_3$  является  $-OR^b$  группой для соединений формулы IB, IBa или IBb; где  $R^b$  является замещенным или незамещенным  $C_1$ — $C_6$  алкилом. Особенно предпочтительный  $R^b$  выбирают из замещенного или незамещенного метила, замещенного или незамещенного или незамещенного изопропила, замещенного или незамещенного H—пропила, замещенного или незамещенного изобутила, замещенного или незамещенного H—бутила и замещенного или незамещенного H0 утила и замещенного или незамещенного H1 утила и замещенного или незамещенного H3 является водородом и метокси, где водород является наиболее предпочтительной H3 группой;

и  $R_2$ ;  $R_4$ ;  $R^a$ ;  $R^c$ ; и Prot<sup>NH</sup> такие, как определены выше.

Дополнительные предпочтительные соединения включают соединения общей формулы I, IA, IB, IC, IE, IF, IG, Ia, IAa, IBa, ICa, IEa, IFa, IGa, Ib, IAb, IBb, ICb, IEb, IFb и IGb, где:

Х является – NH-;

 $R_1$  является -OH;

 $R_4$  выбирают из  $-CH_2OH$ ,  $-CH_2OC(=O)R^c$ ,  $-CH_2NH_2$  и  $-CH_2NHProt^{NH}$  для соединений формулы I, IA, IB, IC, IF, IG, Ia, IAa, IBa, ICa, IFa, IGa, Ib, IAb, IBb, ICb, IFb или IGb; и  $R_4$  выбирают из  $-CH_2NH_2$  и  $-CH_2NHProt^{NH}$  для соединений формулы IE, IEa или IEb; где  $R^c$  является замещенным или незамещенным  $C_1$ – $C_6$  алкилом. Особенно предпочтительный  $R^c$  выбирают из замещенного или незамещенного метила, замещенного или незамещенного и-пропила, замещенного или незамещенного изопропила, замещенного или незамещенного H-бутила, замещенного или незамещенного изобутила, замещенного или незамещенного H-бутила и замещенного или незамещенного изобутила. Наиболее предпочтительный H0 квляется метилом. Более предпочтительный H1 выбирают из H2 квляется —H3 квляется —H4 квляется —H4 квляется —H4 квляется —H4 квляется —H6 квляется —H8 квляется —H9 квляется —H1 квляется —

и  $R_2$ ;  $R_3$ ;  $R^a$ , и  $R^b$  такие, как определены выше.

Дополнительные предпочтительные соединения включают соединения общей формулы I, IA, IB, IC, IE, IF, IG, Ia, IAa, IBa, ICa, IEa, IFa, IGa, Ib, IAb, IBb, ICb, IEb, IFb и IGb, где:

X является –NH-;

 $R_2$  является  $-C(=O)R^a$  группой для соединений формулы I, IA, IB, IC, IE, IF, Ia, IAa, IBa, ICa, IEa, IFa, Ib, IAb, IBb, ICb, IEb или IFb; и  $R_2$  является ацетилом для соединений формулы IG, IGa или IGb; где  $R^a$  является замещенным или незамещенным  $C_1$ – $C_6$  алкилом. Особенно предпочтительный  $R^a$  выбирают из замещенного или незамещенного метила, замещенного или незамещенного этила, замещенного или незамещенного предпочтительный  $R_2$  является ацетилом;

 $R_3$  является водородом или –ORb группой для соединений формулы I, IC, IE, IF, IG, Ia, ICa, IEa, IFa, IGa, Ib, ICb, IEb, IFb или IGb;  $R_3$  является водородом для соединений формулы IA, IAa, или IAb; и  $R_3$  является –ORb группой для соединений формулы IB, IBa или IBb; где  $R^b$  является замещенным или незамещенным  $C_1$ – $C_6$  алкилом. Особенно предпочтительный  $R^b$  выбирают из замещенного или незамещенного метила, замещенного или незамещенного H–пропила, замещенного или незамещенного изопропила, замещенного или незамещенного H–бутила, замещенного или незамещенного изобутила, замещенного или незамещенного H–бутила и замещенного или незамещенного H0 утила и замещенного или незамещенного H1 утила и замещенного или незамещенного H3 является водородом и метокси, где водород является наиболее предпочтительной H3 группой;

и  $R_1$ ;  $R_4$ ;  $R^c$ ; и  $Prot^{NH}$  такие, как определены выше.

Дополнительные предпочтительные соединения включают соединения общей формулы I, IA, IB, IC, IE, IF, IG, Ia, IAa, IBa, ICa, IEa, IFa, IGa, Ib, IAb, IBb, ICb, IEb, IFb и IGb, где:

Х является – NH-;

 $R_2$  является  $-C(=O)R^a$  группой для соединений формулы I, IA, IB, IC, IE, IF, Ia, IAa, IBa, ICa, IEa, IFa, Ib, IAb, IBb, ICb, IEb или IFb; и  $R_2$  является ацетилом для соединений формулы IG, IGa или IGb; где  $R^a$  является замещенным или незамещенным  $C_1$ – $C_6$  алкилом. Особенно предпочтительный  $R^a$  выбирают из замещенного или незамещенного метила, замещенного или незамещенного этила, замещенного или незамещенного предпочтительный  $R_2$  является ацетилом;

 $R_4$  выбирают из  $-CH_2OH$ ,  $-CH_2OC(=O)R^c$ ,  $-CH_2NH_2$  и  $-CH_2NHProt^{NH}$  для соединений формулы I, IA, IB, IC, IF, IG, Ia, IAa, IBa, ICa, IFa, IGa, Ib, IAb, IBb, ICb, IFb или IGb; и  $R_4$  выбирают из  $-CH_2NH_2$  и  $-CH_2NHProt^{NH}$  для соединений формулы IE, IEa или IEb; где  $R^c$  является замещенным или незамещенным  $C_1-C_6$  алкилом. Особенно предпочтительный  $R^c$  выбирают из замещенного или незамещенного метила, замещенного или незамещенного H-пропила, замещенного или незамещенного изопропила, замещенного или незамещенного H-бутила, замещенного или незамещенного изобутила, замещенного или незамещенного H-бутила и замещенного или незамещенного изобутила. Наиболее предпочтительный H0 является метилом. Более предпочтительный H1 выбирают из H2 волее предпочтительно, H3 может быть H4 наиболее предпочтительный H4 является H5 волее предпочтительно, H6 может быть H7 наиболее предпочтительный H8 является H9 наиболее предпочтительной H9 наиболее предпочтительный H9 наиболе

и  $R_1$ ;  $R_3$ ; и  $R^b$  такие, как определены выше.

Дополнительные предпочтительные соединения включают соединения общей формулы I, IA, IB, IC, IE, IF, IG, Ia, IAa, IBa, ICa, IEa, IFa, IGa, Ib, IAb, IBb, ICb, IEb, IFb и IGb, где:

Х является – NH-;

 $R_3$  является водородом или –ORb группой для соединений формулы I, IC, IE, IF, IG, Ia, ICa, IEa, IFa, IGa, Ib, ICb, IEb, IFb или IGb;  $R_3$  является водородом для соединений формулы IA, IAa или IAb; и  $R_3$  является –ORb группой для соединений формулы IB, IBa или IBb; где  $R^b$  является замещенным или незамещенным  $C_1$ – $C_6$  алкилом. Особенно предпочтительный  $R^b$  выбирают из замещенного или незамещенного метила, замещенного или незамещенного H–пропила, замещенного или незамещенного изопропила, замещенного или незамещенного H–бутила, замещенного или незамещенного изобутила, замещенного или незамещенного H–бутила и замещенного или незамещенного H0 водородом и метокси, где водород является наиболее предпочтительной H3 группой;

 $R_4$  выбирают из  $-CH_2OH$ ,  $-CH_2OC(=O)R^c$ ,  $-CH_2NH_2$  и  $-CH_2NHProt^{NH}$  для соединений формулы I, IA, IB, IC, IF, IG, Ia, IAa, IBa, ICa, IFa, IGa, Ib, IAb, IBb, ICb, IFb или IGb; и  $R_4$  выбирают из  $-CH_2NH_2$  и  $-CH_2NHProt^{NH}$  для соединений формулы IE, IEa или IEb; где  $R^c$  является замещенным или незамещенным  $C_1$ – $C_6$  алкилом. Особенно предпочтительный  $R^c$  выбирают из замещенного или незамещенного метила, замещенного

или незамещенного этила, замещенного или незамещенного H-пропила, замещенного или незамещенного изопропила, замещенного или незамещенного H-бутила, замещенного или незамещенного E-бутила и замещенного или незамещенного E-бутила и замещенного или незамещенного E-бутила и замещенного или незамещенного E-бутила. Наиболее предпочтительный E0 является метилом. Более предпочтительный E4 выбирают из E0 и E1 и E2 Более предпочтительно, E4 может быть E4 наиболее предпочтительный E4 является E4 наиболее предпочтительный E4 является E6 наиболее предпочтительный E8 наиболее предпочтительный E9 наиболее предпочтитель

и R<sub>1</sub>; R<sub>2</sub>; и R<sup>a</sup>; такие, как определены выше.

Дополнительные предпочтительные соединения включают соединения общей формулы I, IA, IB, IC, IE, IF, IG, Ia, IAa, IBa, ICa, IEa, IFa, IGa, Ib, IAb, IBb, ICb, IEb, IFb и IGb, где:

Х является –NH-;

 $R_1$  является -OH;

 $R_2$  является  $-C(=O)R^a$  группой для соединений формулы I, IA, IB, IC, IE, IF, Ia, IAa, IBa, ICa, IEa, IFa, Ib, IAb, IBb, ICb, IEb или IFb; и  $R_2$  является ацетилом для соединений формулы IG, IGa или IGb; где  $R^a$  является замещенным или незамещенным  $C_1$ – $C_6$  алкилом. Особенно предпочтительный  $R^a$  выбирают из замещенного или незамещенного метила, замещенного или незамещенного этила, замещенного или незамещенного предпочтительный  $R_2$  является ацетилом;

 $R_3$  является водородом или  $-OR^b$  группой для соединений формулы I, IC, IE, IF, IG, Ia, ICa, IEa, IFa, IGa, Ib, ICb, IEb, IFb или IGb;  $R_3$  является водородом для соединений формулы IA, IAa или IAb; и  $R_3$  является  $-OR^b$  группой для соединений формулы IB, IBa или IBb; где  $R^b$  является замещенным или незамещенным  $C_1$ – $C_6$  алкилом. Особенно предпочтительный  $R^b$  выбирают из замещенного или незамещенного метила, замещенного или незамещенного или амещенного или незамещенного изопропила, замещенного или незамещенного n–бутила, замещенного или незамещенного изобутила, замещенного или незамещенного n0 утила и замещенного или незамещенного или незамещенного n1 утила и замещенного или незамещенного n2 утила и замещенного или незамещенного n3 является водородом и метокси, где водород является наиболее предпочтительной n3 группой;

и R<sub>4</sub>; R<sup>c</sup>; и Prot<sup>NH</sup> такие, как определены выше.

Дополнительные предпочтительные соединения включают соединения общей формулы I, IA, IB, IC, IE, IF, IG, Ia, IAa, IBa, ICa, IEa, IFa, IGa, Ib, IAb, IBb, ICb, IEb, IFb и IGb, где:

Х является – NH-;

 $R_1$  является -OH;

 $R_2$  является  $-C(=O)R^a$  группой для соединений формулы I, IA, IB, IC, IE, IF, Ia, IAa, IBa, ICa, IEa, IFa, Ib, IAb, IBb, ICb, IEb или IFb; и  $R_2$  является ацетилом для соединений формулы IG, IGa или IGb; где  $R^a$  является замещенным или незамещенным  $C_1$ – $C_6$ 

алкилом. Особенно предпочтительный  $R^a$  выбирают из замещенного или незамещенного метила, замещенного или незамещенного этила, замещенного или незамещенного или пропила, замещенного или незамещенного изопропила, замещенного или незамещенного и

 $R_4$  выбирают из  $-CH_2OH$ ,  $-CH_2OC(=O)R^c$ ,  $-CH_2NH_2$  и  $-CH_2NHProt^{NH}$  для соединений формулы I, IA, IB, IC, IF, IG, Ia, IAa, IBa, ICa, IFa, IGa, Ib, IAb, IBb, ICb, IFb или IGb; и  $R_4$  выбирают из $-CH_2NH_2$  и  $-CH_2NHProt^{NH}$  для соединений формулы IE, IEa или IEb; где  $R^c$  является замещенным или незамещенным  $C_1-C_6$  алкилом. Особенно предпочтительный  $R^c$  выбирают из замещенного или незамещенного метила, замещенного или незамещенного H-пропила, замещенного или незамещенного изопропила, замещенного или незамещенного H-бутила, замещенного или незамещенного изобутила, замещенного или незамещенного H-бутила и замещенного или незамещенного изобутила. Наиболее предпочтительный H0 является метилом. Более предпочтительный H1 выбирают из H2 волее предпочтительно, H3 может быть H4 наиболее предпочтительный H4 является H4 является H6.

и  $R_3$ ; и  $R^b$  такие, как определены выше.

Дополнительные предпочтительные соединения включают соединения общей формулы I, IA, IB, IC, IE, IF, IG, Ia, IAa, IBa, ICa, IEa, IFa, IGa, Ib, IAb, IBb, ICb, IEb, IFb и IGb, где:

Х является – NH-;

 $R_2$  является  $-C(=O)R^a$  группой для соединений формулы I, IA, IB, IC, IE, IF, Ia, IAa, IBa, ICa, IEa, IFa, Ib, IAb, IBb, ICb, IEb или IFb; и  $R_2$  является ацетилом для соединений формулы IG, IGa или IGb; где  $R^a$  является замещенным или незамещенным  $C_1$ – $C_6$  алкилом. Особенно предпочтительный  $R^a$  выбирают из замещенного или незамещенного метила, замещенного или незамещенного этила, замещенного или незамещенного предпочтительный  $R_2$  является ацетилом;

 $R_3$  является водородом или  $-OR^b$  группой для соединений формулы I, IC, IE, IF, IG, Ia, ICa, IEa, IFa, IGa, Ib, ICb, IEb, IFb или IGb;  $R_3$  является водородом для соединений формулы IA, IAa или IAb; и  $R_3$  является  $-OR^b$  группой для соединений формулы IB, IBa или IBb; где  $R^b$  является замещенным или незамещенным  $C_1$ — $C_6$  алкилом. Особенно предпочтительный  $R^b$  выбирают из замещенного или незамещенного метила, замещенного или незамещенного или незамещенного изопропила, замещенного или незамещенного H—пропила, замещенного или незамещенного изобутила, замещенного или незамещенного H—бутила и замещенного или незамещенного изобутила. Более предпочтительный  $H_3$  является водородом и или незамещенного  $H_3$ 0 является водородом и

метокси, где водород является наиболее предпочтительной  $R_3$  группой;

 $R_4$  выбирают из  $-CH_2OH$ ,  $-CH_2OC(=O)R^c$ ,  $-CH_2NH_2$  и  $-CH_2NHProt^{NH}$  для соединений формулы I, IA, IB, IC, IF, IG, Ia, IAa, IBa, ICa, IFa, IGa, Ib, IAb, IBb, ICb, IFb или IGb; и  $R_4$  выбирают из  $-CH_2NH_2$  и  $-CH_2NHProt^{NH}$  для соединений формулы IE, IEa или IEb; где  $R^c$  является замещенным или незамещенным  $C_1-C_6$  алкилом. Особенно предпочтительный  $R^c$  выбирают из замещенного или незамещенного метила, замещенного или незамещенного H-пропила, замещенного или незамещенного изопропила, замещенного или незамещенного H-бутила, замещенного или незамещенного изобутила, замещенного или незамещенного H-бутила и замещенного или незамещенного изобутила. Наиболее предпочтительный H0 квляется метилом. Более предпочтительный H1 квляется —H2 квляется предпочтительно, H3 квляется —H4 квляется —H5 кмлет быть —H4 квляется —H4 квляется —H5 кмлет быть —H4 квляется —H5 кмлет быть —H6 кмлет быть —H8 кмлет быть —H8 кмлет быть —H9 кмлет быть —H1 кмл

и R<sub>1</sub> такой, как определен выше.

Дополнительные предпочтительные соединения включают соединения общей формулы I, IA, IB, IC, IE, IF, IG, Ia, IAa, IBa, ICa, IEa, IFa, IGa, Ib, IAb, IBb, ICb, IEb, IFb и IGb, где:

Х является – NH-;

 $R_1$  является -OH;

 $R_2$  является  $-C(=O)R^a$  группой для соединений формулы I, IA, IB, IC, IE, IF, Ia, IAa, IBa, ICa, IEa, IFa, Ib, IAb, IBb, ICb, IEb или IFb; и  $R_2$  является ацетилом для соединений формулы IG, IGa или IGb; где  $R^a$  является замещенным или незамещенным  $C_1$ – $C_6$  алкилом. Особенно предпочтительный  $R^a$  выбирают из замещенного или незамещенного метила, замещенного или незамещенного этила, замещенного или незамещенного предпочтительный  $R_2$  является ацетилом;

 $R_3$  является водородом или  $-OR^b$  группой для соединений формулы I, IC, IE, IF, IG, Ia, ICa, IEa, IFa, IGa, Ib, ICb, IEb, IFb или IGb;  $R_3$  является водородом для соединений формулы IA, IAa или IAb; и  $R_3$  является  $-OR^b$  группой для соединений формулы IB, IBa или IBb; где  $R^b$  является замещенным или незамещенным  $C_1$ – $C_6$  алкилом. Особенно предпочтительный  $R^b$  выбирают из замещенного или незамещенного метила, замещенного или незамещенного или амещенного или незамещенного изопропила, замещенного или незамещенного n–бутила, замещенного или незамещенного n–бутила и замещенного или незамещенного n0 водородом и метокси, где водород является наиболее предпочтительный n3 группой;

 $R_4$  выбирают из  $-CH_2OH$ ,  $-CH_2OC(=O)R^c$ ,  $-CH_2NH_2$  и  $-CH_2NHProt^{NH}$  для соединений формулы I, IA, IB, IC, IF, IG, Ia, IAa, IBa, ICa, IFa, IGa, Ib, IAb, IBb, ICb, IFb или IGb; и  $R_4$  выбирают из  $-CH_2NH_2$  и  $-CH_2NHProt^{NH}$  для соединений формулы IE, IEa

или IEb; где  $R^c$  является замещенным или незамещенным  $C_1$ – $C_6$  алкилом. Особенно предпочтительный  $R^c$  выбирают из замещенного или незамещенного метила, замещенного или незамещенного или незамещенного изопропила, замещенного или незамещенного H–бутила, замещенного или незамещенного изобутила, замещенного или незамещенного H–бутила, замещенного или незамещенного H–бутила и замещенного или незамещенного H0 вутила и замещенного или незамещенного H1 виболее предпочтительный H2 выбирают из H3 выбирают из H4 выбирают из H4 выбирают из H4 выбирают из H4 является H6.

Дополнительные предпочтительные соединения включают соединения общей формулы I, IA, IB, ID, IE, IF, IG, Ia, IAa, IBa, IDa, IEa, IFa, IGa, Ib, IAb, IBb, IDb, IEb, IFb и IGb, где:

Х является –О-;

 $R_1$  является -OH;

и  $R_2; R_3; R_4; R^a; R^b; R^c;$  и  $Prot^{NH}$  такие, как определены выше.

Дополнительные предпочтительные соединения включают соединения общей формулы I, IA, IB, ID, IE, IF, IG, Ia, IAa, IBa, IDa, IEa, IFa, IGa, Ib, IAb, IBb, IDb, IEb, IFb и IGb, где:

Х является -О-;

 $R_2$  является  $-C(=O)R^a$  группой для соединений формулы I, IA, IB, ID, IE, IF, Ia, IAa, IBa, IDa, IEa, IFa, Ib, IAb, IBb, IDb, IEb или IFb; и  $R_2$  является ацетилом для соединений формулы IG, IGa или IGb; где  $R^a$  является замещенным или незамещенным  $C_1$ – $C_6$  алкилом. Особенно предпочтительный  $R^a$  выбирают из замещенного или незамещенного метила, замещенного или незамещенного этила, замещенного или незамещенного или незамещенного

и  $R_1$ ;  $R_3$ ;  $R_4$ ;  $R^b$ ;  $R^c$ ; и Prot<sup>NH</sup> такие, как определены выше.

Дополнительные предпочтительные соединения включают соединения общей формулы I, IA, IB, ID, IE, IF, IG, Ia, IAa, IBa, IDa, IEa, IFa, IGa, Ib, IAb, IBb, IDb, IEb, IFb и IGb, где:

Х является –О-;

 $R_3$  является водородом или а  $-OR^b$  группой для соединений формулы I, ID, IE, IF, IG, Ia, IDa, IEa, IFa, IGa, Ib, IDb, IEb, IFb или IGb;  $R_3$  является водородом для соединений формулы IA, IAa или IAb; и  $R_3$  является  $-OR^b$  группой для соединений формулы IB, IBa или IBb; где  $R^b$  является замещенным или незамещенным  $C_1$ – $C_6$  алкилом. Особенно предпочтительный  $R^b$  выбирают из замещенного или незамещенного метила, замещенного или незамещенного или незамещенного изопропила, замещенного или незамещенного H–бутила, замещенного или незамещенного изобутила, замещенного или незамещенного H–бутила и замещенного или

или незамещенного *трет*—бутила. Более предпочтительный  $R_3$  является водородом и метокси, где водород является наиболее предпочтительной  $R_3$  группой;

и R<sub>1</sub>; R<sub>2</sub>; R<sub>4</sub>; R<sup>a</sup>; R<sup>c</sup>; и Prot<sup>NH</sup> такие, как определены выше.

Дополнительные предпочтительные соединения включают соединения общей формулы I, IA, IB, ID, IE, IF, IG, Ia, IAa, IBa, IDa, IEa, IFa, IGa, Ib, IAb, IBb, IDb, IEb, IFb и IGb, где:

Х является -О-;

 $R_4$  выбирают из  $-CH_2OH$ ,  $-CH_2OC(=O)R^c$ ,  $-CH_2NH_2$  и  $-CH_2NHProt^{NH}$  для соединений формулы I, IA, IB, ID, IF, IG, Ia, IAa, IBa, IDa, IFa, IGa, Ib, IAb, IBb, IDb, IFb или IGb; и  $R_4$  выбирают из $-CH_2NH_2$  и  $-CH_2NHProt^{NH}$  для соединений формулы IE, IEa или IEb; где  $R^c$  является замещенным или незамещенным  $C_1-C_6$  алкилом. Особенно предпочтительный  $R^c$  выбирают из замещенного или незамещенного метила, замещенного или незамещенного H-пропила, замещенного или незамещенного изопропила, замещенного или незамещенного H-бутила, замещенного или незамещенного изобутила, замещенного или незамещенного H-бутила и замещенного или незамещенного или незамещенного H-бутила и замещенного H-бутила H-бутила и замещенного H-бутила H-бутила

и  $R_1$ ;  $R_2$ ;  $R_3$ ;  $R^a$ ; и  $R^b$  такие, как определены выше.

Дополнительные предпочтительные соединения включают соединения общей формулы I, IA, IB, ID, IE, IF, IG, Ia, IAa, IBa, IDa, IEa, IFa, IGa, Ib, IAb, IBb, IDb, IEb, IFb и IGb, где:

Х является -О-;

 $R_1$  является -OH;

 $R_2$  является  $-C(=O)R^a$  группой для соединений формулы I, IA, IB, ID, IE, IF, Ia, IAa, IBa, IDa, IEa, IFa, Ib, IAb, IBb, IDb, IEb или IFb; и  $R_2$  является ацетилом для соединений формулы IG, IGa или IGb; где  $R^a$  является замещенным или незамещенным  $C_1$ – $C_6$  алкилом. Особенно предпочтительный  $R^a$  выбирают из замещенного или незамещенного метила, замещенного или незамещенного этила, замещенного или незамещенного или незамещенного

и  $R_3$ ;  $R_4$ ;  $R^b$ ;  $R^c$ ; и  $Prot^{NH}$  такие, как определены выше.

Дополнительные предпочтительные соединения включают соединения общей формулы I, IA, IB, ID, IE, IF, IG, Ia, IAa, IBa, IDa, IEa, IFa, IGa, Ib, IAb, IBb, IDb, IEb, IFb и IGb, где:

Х является -О-;

R<sub>1</sub> является –ОН:

 $R_3$  является водородом или  $-OR^b$  группой для соединений формулы I, ID, IE, IF, IG,

Іа, IDa, IEa, IFa, IGa, Ib, IDb, IEb, IFb или IGb;  $R_3$  является водородом для соединений формулы IA, IAa или IAb; и  $R_3$  является  $-OR^b$  группой для соединений формулы IB, IBa или IBb; где  $R^b$  является замещенным или незамещенным  $C_1$ – $C_6$  алкилом. Особенно предпочтительный  $R^b$  выбирают из замещенного или незамещенного метила, замещенного или незамещенного или, замещенного или незамещенного изопропила, замещенного или незамещенного H–бутила, замещенного или незамещенного изобутила, замещенного или незамещенного H–бутила и замещенного или незамещенного H0 водородом и метокси, где водород является наиболее предпочтительный H3 группой;

и  $R_2$ ;  $R_4$ ;  $R^a$ ;  $R^c$ ; и  $Prot^{NH}$  такие, как определены выше.

Дополнительные предпочтительные соединения включают соединения общей формулы I, IA, IB, ID, IE, IF, IG, Ia, IAa, IBa, IDa, IEa, IFa, IGa, Ib, IAb, IBb, IDb, IEb, IFb и IGb, где:

Х является -О-;

 $R_1$  является -OH;

 $R_4$  выбирают из  $-CH_2OH$ ,  $-CH_2OC(=O)R^c$ ,  $-CH_2NH_2$  и  $-CH_2NHProt^{NH}$  для соединений формулы I, IA, IB, ID, IF, IG, Ia, IAa, IBa, IDa, IFa, IGa, Ib, IAb, IBb, IDb, IFb или IGb; и  $R_4$  выбирают из  $-CH_2NH_2$  и  $-CH_2NHProt^{NH}$  для соединений формулы IE, IEa или IEb; где  $R^c$  является замещенным или незамещенным  $C_1-C_6$  алкилом. Особенно предпочтительный  $R^c$  выбирают из замещенного или незамещенного метила, замещенного или незамещенного и-пропила, замещенного или незамещенного изопропила, замещенного или незамещенного H-бутила, замещенного или незамещенного изобутила, замещенного или незамещенного H-бутила и замещенного или незамещенного или незамещенного изобутила. Наиболее предпочтительный H0 волее предпочтительный H1 выбирают из H2 выбирают из H3 выбирают из H4 выбирают из H4 выбирают из H4 выбирают из H4 является H5 волее предпочтительной H6 выбирают из H6 выбирают из H8 выбирают из H9 выбирают из H1 выбирам из

и R<sub>2</sub>; R<sub>3</sub>; R<sup>a</sup>; и R<sup>b</sup> такие, как определены выше.

Дополнительные предпочтительные соединения включают соединения общей формулы I, IA, IB, ID, IE, IF, IG, Ia, IAa, IBa, IDa, IEa, IFa, IGa, Ib, IAb, IBb, IDb, IEb, IFb и IGb, где:

Х является -О-;

 $R_2$  является  $-C(=O)R^a$  группой для соединений формулы I, IA, IB, ID, IE, IF, Ia, IAa, IBa, IDa, IEa, IFa, Ib, IAb, IBb, IDb, IEb или IFb; и  $R_2$  является ацетилом для соединений формулы IG, IGa или IGb; где  $R^a$  является замещенным или незамещенным  $C_1$ – $C_6$  алкилом. Особенно предпочтительный  $R^a$  выбирают из замещенного или незамещенного метила, замещенного или незамещенного этила, замещенного или незамещенного предпочтита, замещенного или незамещенного или незаме

 $R_3$  является водородом или  $-OR^b$  группой для соединений формулы I, ID, IE, IF, IG, Ia, IDa, IEa, IFa, IGa, Ib, IDb, IEb, IFb или IGb;  $R_3$  является водородом для соединений формулы IA, IAa или IAb; и  $R_3$  является  $-OR^b$  группой для соединений формулы IB, IBa или IBb; где  $R^b$  является замещенным или незамещенным  $C_1$ – $C_6$  алкилом. Особенно предпочтительный  $R^b$  выбирают из замещенного или незамещенного метила, замещенного или незамещенного или амещенного или незамещенного изопропила, замещенного или незамещенного H–бутила, замещенного или незамещенного изобутила, замещенного или незамещенного H–бутила и замещенного или незамещенного или незамещенного H0 утила и замещенного или незамещенного H1 утила и замещенного или незамещенного H2 утила и замещенного или незамещенного H3 является водородом и метокси, где водород является наиболее предпочтительной H3 группой;

и  $R_1$ ;  $R_4$ ;  $R^c$ ; и  $Prot^{NH}$  такие, как определены выше.

Дополнительные предпочтительные соединения включают соединения общей формулы I, IA, IB, ID, IE, IF, IG, Ia, IAa, IBa, IDa, IEa, IFa, IGa, Ib, IAb, IBb, IDb, IEb, IFb и IGb, где:

Х является -О-;

 $R_2$  является  $-C(=O)R^a$  группой для соединений формулы I, IA, IB, ID, IE, IF, Ia, IAa, IBa, IDa, IEa, IFa, Ib, IAb, IBb, IDb, IEb или IFb; и  $R_2$  является ацетилом для соединений формулы IG, IGa или IGb; где  $R^a$  является замещенным или незамещенным  $C_1$ – $C_6$  алкилом. Особенно предпочтительный  $R^a$  выбирают из замещенного или незамещенного метила, замещенного или незамещенного этила, замещенного или незамещенного или незамещенного или незамещенного или незамещенного или незамещенного обутила, замещенного или незамещенного обутила, замещенного или незамещенного или незамещ

 $R_4$  выбирают из  $-CH_2OH$ ,  $-CH_2OC(=O)R^c$ ,  $-CH_2NH_2$  и  $-CH_2NHProt^{NH}$  для соединений формулы I, IA, IB, ID, IF, IG, Ia, IAa, IBa, IDa, IFa, IGa, Ib, IAb, IBb, IDb, IFb или IGb; и  $R_4$  выбирают из  $-CH_2NH_2$  и  $-CH_2NHProt^{NH}$  для соединений формулы IE, IEa или IEb; где  $R^c$  является замещенным или незамещенным  $C_1-C_6$  алкилом. Особенно предпочтительный  $R^c$  выбирают из замещенного или незамещенного метила, замещенного или незамещенного H-пропила, замещенного или незамещенного изопропила, замещенного или незамещенного H-бутила, замещенного или незамещенного изобутила, замещенного или незамещенного H-бутила и замещенного или незамещенного изобутила. Наиболее предпочтительный H0 является метилом. Более предпочтительный H1 выбирают из H2 выбирают из H3 выбирают из H4 является H4 является H5 волее предпочтительно, H6 может быть H6 H8 наиболее предпочтительный H8 выбирают из H9 выбирам из H9 выбирам из H9 выбирам из H1 выбирам из H1 выбирам из H1 выбирам из H1 выбирам из

и  $R_1$ ;  $R_3$ ; и  $R^b$  такие, как определены выше.

Дополнительные предпочтительные соединения включают соединения общей формулы I, IA, IB, ID, IE, IF, IG, Ia, IAa, IBa, IDa, IEa, IFa, IGa, Ib, IAb, IBb, IDb, IEb, IFb и IGb, где:

Х является -О-;

 $R_3$  является водородом или –ORb группой для соединений формулы I, ID, IE, IF, IG, Ia, IDa, IEa, IFa, IGa, Ib, IDb, IEb, IFb или IGb;  $R_3$  является водородом для соединений формулы IA, IAa или IAb; и  $R_3$  является –ORb группой для соединений формулы IB, IBa или IBb; где  $R^b$  является замещенным или незамещенным  $C_1$ – $C_6$  алкилом. Особенно предпочтительный  $R^b$  выбирают из замещенного или незамещенного метила, замещенного или незамещенного H–пропила, замещенного или незамещенного изопропила, замещенного или незамещенного H–бутила, замещенного или незамещенного изобутила, замещенного или незамещенного H–бутила и замещенного или незамещенного H0 утила и замещенного или незамещенного H1 утила и замещенного или незамещенного H3 является водородом и метокси, где водород является наиболее предпочтительной H3 группой;

 $R_4$  выбирают из  $-CH_2OH$ ,  $-CH_2OC(=O)R^c$ ,  $-CH_2NH_2$  и  $-CH_2NHProt^{NH}$  для соединений формулы I, IA, IB, ID, IF, IG, Ia, IAa, IBa, IDa, IFa, IGa, Ib, IAb, IBb, IDb, IFb или IGb; и  $R_4$  выбирают из $-CH_2NH_2$  и  $-CH_2NHProt^{NH}$  для соединений формулы IE, IEa или IEb; где  $R^c$  является замещенным или незамещенным  $C_1-C_6$  алкилом. Особенно предпочтительный  $R^c$  выбирают из замещенного или незамещенного метила, замещенного или незамещенного H-пропила, замещенного или незамещенного изопропила, замещенного или незамещенного H-бутила, замещенного или незамещенного изобутила, замещенного или незамещенного H-бутила и замещенного или незамещенного или незамещенного H-бутила и замещенного H-бутила H-

и R<sub>1</sub>; R<sub>2</sub>; и R<sup>а</sup>; такие, как определены выше.

Дополнительные предпочтительные соединения включают соединения общей формулы I, IA, IB, ID, IE, IF, IG, Ia, IAa, IBa, IDa, IEa, IFa, IGa, Ib, IAb, IBb, IDb, IEb, IFb и IGb, где:

Х является –О-;

 $R_1$  является -OH;

 $R_2$  является  $-C(=O)R^a$  группой для соединений формулы I, IA, IB, ID, IE, IF, Ia, IAa, IBa, IDa, IEa, IFa, Ib, IAb, IBb, IDb, IEb или IFb; и  $R_2$  является ацетилом для соединений формулы IG, IGa или IGb; где  $R^a$  является замещенным или незамещенным  $C_1$ – $C_6$  алкилом. Особенно предпочтительный  $R^a$  выбирают из замещенного или незамещенного метила, замещенного или незамещенного этила, замещенного или незамещенного предпочтительный  $R_2$  является ацетилом;

 $R_3$  является водородом или  $-OR^b$  группой для соединений формулы I, ID, IE, IF, IG, Ia, IDa, IEa, IFa, IGa, Ib, IDb, IEb, IFb или IGb;  $R_3$  является водородом для соединений формулы IA, IAa или IAb; и  $R_3$  является  $-OR^b$  групп для соединений формулы IB, IBa или IBb; где  $R^b$  является замещенным или незамещенным  $C_1$ – $C_6$  алкилом. Особенно

предпочтительный  $R^b$  выбирают из замещенного или незамещенного метила, замещенного или незамещенного H-пропила, замещенного или незамещенного H-бутила, замещенного или незамещенного или незамещенного изобутила, замещенного или незамещенного H-бутила, замещенного или незамещенного H-бутила и замещенного или незамещенного H-бутила. Более предпочтительный H-бутила водородом и метокси, где водород является наиболее предпочтительной H-бутилой;

и  $R_4$ ;  $R^c$ ; и  $Prot^{NH}$  такие, как определены выше.

Дополнительные предпочтительные соединения включают соединения общей формулы I, IA, IB, ID, IE, IF, IG, Ia, IAa, IBa, IDa, IEa, IFa, IGa, Ib, IAb, IBb, IDb, IEb, IFb и IGb, где:

Х является -О-;

 $R_1$  является -OH;

 $R_2$  является  $-C(=O)R^a$  группой для соединений формулы I, IA, IB, ID, IE, IF, Ia, IAa, IBa, IDa, IEa, IFa, Ib, IAb, IBb, IDb, IEb или IFb; и  $R_2$  является ацетилом для соединений формулы IG, IGa или IGb; где  $R^a$  является замещенным или незамещенным  $C_1$ – $C_6$  алкилом. Особенно предпочтительный  $R^a$  выбирают из замещенного или незамещенного метила, замещенного или незамещенного этила, замещенного или незамещенного предпочтительный  $R_2$  является ацетилом;

 $R_4$  выбирают из  $-CH_2OH$ ,  $-CH_2OC(=O)R^c$ ,  $-CH_2NH_2$  и  $-CH_2NHProt^{NH}$  для соединений формулы I, IA, IB, ID, IF, IG, Ia, IAa, IBa, IDa, IFa, IGa, Ib, IAb, IBb, IDb, IFb или IGb; и  $R_4$  выбирают из  $-CH_2NH_2$  и  $-CH_2NHProt^{NH}$  для соединений формулы IE, IEa или IEb; где  $R^c$  является замещенным или незамещенным  $C_1-C_6$  алкилом. Особенно предпочтительный  $R^c$  выбирают из замещенного или незамещенного метила, замещенного или незамещенного и-пропила, замещенного или незамещенного изопропила, замещенного или незамещенного H-бутила, замещенного или незамещенного изобутила, замещенного или незамещенного H-бутила и замещенного или незамещенного или незамещенного изобутила. Наиболее предпочтительный H0 волее предпочтительный H1 выбирают из H2 выбирают из H3 выбирают из H4 выбирают из H4 является H5 волее предпочтительно, H6 выбирают из H6 выбирают из H8 выбирают из H8 выбирают из H9 выбирают из H1 выбирают из H1 выбирают из H2 волее предпочтительный H4 является H9 выбирают из H9 выбирают из H1 выбирают из H2 выбирают из H3 выбирают из H4 является H4 выбирают из H4 является H4 является H4 выбирают из H4 выбирают из H4 является H4 выбирают из H4 выбирают из H4 выбирают из H4 является H4 является H4 выбирают из H4 является H5 выбирам H6 выбирам H6 выбирам H6 выбирам H8 выбирам H8 выбирам H8 выбирам H9 выбир

и  $R_3$ ; и  $R^b$  такие, как определены выше.

Дополнительные предпочтительные соединения включают соединения общей формулы I, IA, IB, ID, IE, IF, IG, Ia, IAa, IBa, IDa, IEa, IFa, IGa, Ib, IAb, IBb, IDb, IEb, IFb и IGb, где:

Х является -О-;

 $R_2$  является  $-C(=O)R^a$  группой для соединений формулы I, IA, IB, ID, IE, IF, Ia, IAa, IBa, IDa, IEa, IFa, Ib, IAb, IBb, IDb, IEb или IFb; и  $R_2$  является ацетилом для соединений формулы IG, IGa или IGb; где  $R^a$  является замещенным или незамещенным  $C_1$ – $C_6$ 

алкилом. Особенно предпочтительный  $R^a$  выбирают из замещенного или незамещенного метила, замещенного или незамещенного этила, замещенного или незамещенного или пропила, замещенного или незамещенного изопропила, замещенного или незамещенного и

 $R_3$  является водородом или  $-OR^b$  группой для соединений формулы I, ID, IE, IF, IG, Ia, IDa, IEa, IFa, IGa, Ib, IDb, IEb, IFb или IGb;  $R_3$  является водородом для соединений формулы IA, IAa или IAb; и  $R_3$  является  $-OR^b$  группой для соединений формулы IB, IBa или IBb; где  $R^b$  является замещенным или незамещенным  $C_1$ – $C_6$  алкилом. Особенно предпочтительный  $R^b$  выбирают из замещенного или незамещенного метила, замещенного или незамещенного или амещенного или незамещенного изопропила, замещенного или незамещенного H–бутила, замещенного или незамещенного изобутила, замещенного или незамещенного H–бутила и замещенного или незамещенного или незамещенного H0 утила и замещенного или незамещенного H1 утила и замещенного или незамещенного H2 утила и замещенного или незамещенного H3 является водородом и метокси, где водород является наиболее предпочтительной H3 группой;

 $R_4$  выбирают из  $-CH_2OH$ ,  $-CH_2OC(=O)R^c$ ,  $-CH_2NH_2$  и  $-CH_2NHProt^{NH}$  для соединений формулы I, IA, IB, ID, IF, IG, Ia, IAa, IBa, IDa, IFa, IGa, Ib, IAb, IBb, IDb, IFb или IGb; и  $R_4$  выбирают из $-CH_2NH_2$  и  $-CH_2NHProt^{NH}$  для соединений формулы IE, IEa или IEb; где  $R^c$  является замещенным или незамещенным  $C_1-C_6$  алкилом. Особенно предпочтительный  $R^c$  выбирают из замещенного или незамещенного метила, замещенного или незамещенного H-пропила, замещенного или незамещенного изопропила, замещенного или незамещенного H-бутила, замещенного или незамещенного изобутила, замещенного или незамещенного H-бутила и замещенного или незамещенного изобутила. Наиболее предпочтительный H0 выбирают из H1 выбирают из H2 выбирают из H3 выбирают из H4 выбирают из H4 является H5 волее предпочтительно, H6 может быть H6 наиболее предпочтительный H6 выбирают из H6 наиболее предпочтительный H8 выбирают из H9 выбирают из H9 выбирают из H9 выбирают из H1 выбирают из H1 выбирают из H2 выбирают из H3 выбирают из H4 является H4 является H6 выбирают из H6 выбирают из H6 выбирают из H8 выбирают из H8 выбирают из H9 выбирают из H9 выбирают из H9 выбирают из H1 выбирают из H1 выбирают из H1 выбирают из H1 выбирают из H2 выбирают из H3 выбирают из H4 выбирают из H6 выбирают из H8 выбирают из H8 выбирают из H9 выбирают из H9 выбирают из H9 выбирают из H1 выбирают из H1 выбирают из H1 выбирают из H1 выбирают из H2 выбирают из H3 выбирают из H4 выбирают из H6 выбирают из H8 выбирают из H8 выбирают из H9 выбирают из H9 выбирают из H9 выбирают из H1 выбирают из H2 выбирают из H4 выбирам из H4 выби

и R<sub>1</sub> такой, как определен выше.

Дополнительные предпочтительные соединения включают соединения общей формулы I, IA, IB, ID, IE, IF, IG, Ia, IAa, IBa, IDa, IEa, IFa, IGa, Ib, IAb, IBb, IDb, IEb, IFb и IGb, где:

Х является -О-;

 $R_1$  является -OH;

 $R_2$  является  $-C(=O)R^a$  группой для соединений формулы I, IA, IB, ID, IE, IF, Ia, IAa, IBa, IDa, IEa, IFa, Ib, IAb, IBb, IDb, IEb или IFb; и  $R_2$  является ацетилом для соединений формулы IG, IGa или IGb; где  $R^a$  является замещенным или незамещенным  $C_1$ – $C_6$  алкилом. Особенно предпочтительный  $R^a$  выбирают из замещенного или незамещенного метила, замещенного или незамещенного этила, замещенного или незамещенного или незамещенного

втор–бутила и замещенного или незамещенного mpem–бутила. Наиболее предпочтительный  $R_2$  является ацетилом;

 $R_3$  является водородом или  $-OR^b$  группой для соединений формулы I, ID, IE, IF, IG, Ia, IDa, IEa, IFa, IGa, Ib, IDb, IEb, IFb или IGb;  $R_3$  является водородом для соединений формулы IA, IAa или IAb; и  $R_3$  является  $-OR^b$  группой для соединений формулы IB, IBa или IBb; где  $R^b$  является замещенным или незамещенным  $C_1$ — $C_6$  алкилом. Особенно предпочтительный  $R^b$  выбирают из замещенного или незамещенного метила, замещенного или незамещенного или амещенного или незамещенного изопропила, замещенного или незамещенного n—бутила, замещенного или незамещенного изобутила, замещенного или незамещенного n0 бутила и замещенного или незамещенного n1 водородом и метокси, где водород является наиболее предпочтительной n3 группой;

 $R_4$  выбирают из  $-CH_2OH$ ,  $-CH_2OC(=O)R^c$ ,  $-CH_2NH_2$  и  $-CH_2NHProt^{NH}$  для соединений формулы I, IA, IB, ID, IF, IG, Ia, IAa, IBa, IDa, IFa, IGa, Ib, IAb, IBb, IDb, IFb или IGb; и  $R_4$  выбирают из  $-CH_2NH_2$  и  $-CH_2NHProt^{NH}$  для соединений формулы IE, IEa или IEb; где  $R^c$  является замещенным или незамещенным  $C_1-C_6$  алкилом. Особенно предпочтительный  $R^c$  выбирают из замещенного или незамещенного метила, замещенного или незамещенного H-пропила, замещенного или незамещенного изопропила, замещенного или незамещенного H-бутила, замещенного или незамещенного изобутила, замещенного или незамещенного H-бутила и замещенного или незамещенного изобутила. Наиболее предпочтительный H0 выбирают из H1 выбирают из H2 выбирают из H3 выбирают из H4 выбирают из H4 является H5 волее предпочтительно, H6 может быть H6 Наиболее предпочтительный H8 выбирают из H9 выбирают из H9 выбирают из H9 выбирают из H1 выбирают из H1 выбирают из H2 выбирают из H3 выбирают из H4 является H4 является H4 является H4 выбирают из H4 является H6 выбирают из H8 выбирают из H9 выбирают из H9 выбирают из H9 выбирают из H9 выбирают из H1 выбирают из H1 выбирают из H2 выбирают из H4 является H4 выбирают из H4 является H4 выбирают из H4 выбирают из H4 является H6 выбирают из H6 выбирают из H8 выбирают из H8 выбирают из H9 выбирают из H9 выбирают из H9 выбирают из H9 выбирают из H1 выбирают из H2 выбирают из H1 выбирам H2 выбирам H1 выбирам H2 выбирам H3 выбирам H4 выбирам H4 выбирам H4 выбир

Дополнительные предпочтительные соединения включают соединения общей формулы **Ic**, **IAc**, **IBc**, **IDc** и **IGc** где:

 $R_1$  является -OH;

и  $R_2$ ;  $R_3$ ;  $R^a$  и  $R^b$  такие, как определены выше.

Дополнительные предпочтительные соединения включают соединения общей формулы **Ic**, **IAc**, **IBc**, **IDc**, **IFc** и **IGc**, где:

 $R_2$  является  $-C(=O)R^a$  группой для соединений формулы Ic, IAc, IBc, IDc или IFc; и  $R_2$  является ацетилом для соединений формулы IGc; где  $R^a$  является замещенным или незамещенным  $C_1$ – $C_6$  алкилом. Особенно предпочтительный  $R^a$  выбирают из замещенного или незамещенного этила, замещенного или незамещенного этила, замещенного или незамещенного изопропила, замещенного или незамещенного изобутила, замещенного или незамещенного изобутила, замещенного или незамещенного или незамещенного *втор*–бутила и замещенного или незамещенного *трет*–бутила. Наиболее предпочтительный  $R_2$  является ацетилом;

и  $R_1$ ;  $R_3$ ;  $R^b$  такие, как определены выше.

Дополнительные предпочтительные соединения включают соединения общей формулы **Ic**, **IAc**, **IBc**, **IDc**, **IFc** и **IGc**, где:

 $R_3$  является водородом или  $-OR^b$  группой для соединений формулы Ic, IDc, IFc или IGc;  $R_3$  является водородом для соединений формулы IAc; и  $R_3$  является  $-OR^b$  группой для соединений формулы IBc; где  $R^b$  является замещенным или незамещенным  $C_1$ – $C_6$  алкилом. Особенно предпочтительный  $R^b$  выбирают из замещенного или незамещенного метила, замещенного или незамещенного этила, замещенного или незамещенного H-пропила, замещенного или незамещенного изопропила, замещенного или незамещенного H-бутила, замещенного или незамещенного изобутила, замещенного или незамещенного H-бутила и замещенного H-бутила и

и  $R_1$ ;  $R_2$ ; и  $R^a$  такие, как определены выше.

Дополнительные предпочтительные соединения включают соединения общей формулы **Ic, IAc, IBc, IDc, IFc** и **IGc**, где:

 $R_1$  является -OH;

 $R_2$  является  $-C(=O)R^a$  группой для соединений формулы Ic, IAc, IBc, IDc или IFc; и  $R_2$  является ацетилом для соединений формулы IGc; где  $R^a$  является замещенным или незамещенным  $C_1$ – $C_6$  алкилом. Особенно предпочтительный  $R^a$  выбирают из замещенного или незамещенного метила, замещенного или незамещенного этила, замещенного или незамещенного изопропила, замещенного или незамещенного изобутила, замещенного или незамещенного изобутила, замещенного или незамещенного или незамещенного *втор*–бутила и замещенного или незамещенного *трет*–бутила. Наиболее предпочтительный  $R_2$  является ацетилом;

и  $R_3$ ; и  $R^b$  такие, как определены выше.

Дополнительные предпочтительные соединения включают соединения общей формулы **Ic**, **IAc**, **IBc**, **IDc**, **IFc** и **IGc**, где:

 $R_1$  является -OH;

 $R_3$  является водородом или  $-OR^b$  группой для соединений формулы Ic, IDc, IFc или IGc;  $R_3$  является водородом для соединений формулы IAc; и  $R_3$  является  $-OR^b$  группой для соединений формулы IBc; где  $R^b$  является замещенным или незамещенным  $C_1$ – $C_6$  алкилом. Особенно предпочтительный  $R^b$  выбирают из замещенного или незамещенного метила, замещенного или незамещенного этила, замещенного или незамещенного H-пропила, замещенного или незамещенного изопропила, замещенного или незамещенного H-бутила, замещенного или незамещенного изобутила, замещенного или незамещенного H-бутила и замещенного H-бутила и

и R<sub>2</sub>; и R<sup>а</sup> такие, как определены выше.

Дополнительные предпочтительные соединения включают соединения общей формулы **Ic, IAc, IBc, IDc, IFc** и **IGc**, где:

 $R_2$  является  $-C(=O)R^a$  группой для соединений формулы Ic, IAc, IBc, IDc или IFc; и

 $R_2$  является ацетилом для соединений формулы IGc; где  $R^a$  является замещенным или незамещенным  $C_1$ – $C_6$  алкилом. Особенно предпочтительный  $R^a$  выбирают из замещенного или незамещенного этила, замещенного или незамещенного этила, замещенного или незамещенного изопропила, замещенного или незамещенного изобутила, замещенного или незамещенного изобутила, замещенного или незамещенного изобутила, замещенного или незамещенного или незамещенного *втор*–бутила и замещенного или незамещенного *трет*–бутила. Наиболее предпочтительный  $R_2$  является ацетилом;

 $R_3$  является водородом или  $-OR^b$  группой для соединений формулы Ic, IDc, IFc или IGc;  $R_3$  является водородом для соединений формулы IAc; и  $R_3$  является  $-OR^b$  группой для соединений формулы IBc; где  $R^b$  является замещенным или незамещенным  $C_1$ – $C_6$  алкилом. Особенно предпочтительный  $R^b$  выбирают из замещенного или незамещенного метила, замещенного или незамещенного этила, замещенного или незамещенного или незамещенного или незамещенного или незамещенного или незамещенного или незамещенного изобутила, замещенного или незамещенного втор—бутила и замещенного или незамещенного мрет—бутила. Более предпочтительный  $R_3$  является водородом и метокси, где водород является наиболее предпочтительной  $R_3$  группой;

и R<sub>1</sub> такой, как определен выше.

Дополнительные предпочтительные соединения включают соединения общей формулы **Ic**, **IAc**, **IBc**, **IDc**, **IFc** и **IGc**, где:

 $R_1$  является -OH;

 $R_2$  является  $-C(=O)R^a$  группой для соединений формулы Ic, IAc, IBc, IDc или IFc; и  $R_2$  является ацетилом для соединений формулы IGc; где  $R^a$  является замещенным или незамещенным  $C_1$ – $C_6$  алкилом. Особенно предпочтительный  $R^a$  выбирают из замещенного или незамещенного метила, замещенного или незамещенного этила, замещенного или незамещенного изопропила, замещенного или незамещенного изобутила, замещенного или незамещенного изобутила, замещенного или незамещенного или незамещенного *втор*–бутила и замещенного или незамещенного *трет*–бутила. Наиболее предпочтительный  $R_2$  является ацетилом;

 $R_3$  является водородом или  $-OR^b$  группой для соединений формулы Ic, IDc, IFc или IGc;  $R_3$  является водородом для соединений формулы IAc; и  $R_3$  является  $-OR^b$  группой для соединений формулы IBc; где  $R^b$  является замещенным или незамещенным  $C_1$ – $C_6$  алкилом. Особенно предпочтительный  $R^b$  выбирают из замещенного или незамещенного метила, замещенного или незамещенного этила, замещенного или незамещенного втор—бутила, замещенного или незамещенного или незамещенного или незамещенного втор—бутила и замещенного или незамещенного втор—бутила и замещенного или незамещенного или незамещенног

Следующие предпочтительные заместители (где допускается возможными

группами заместителей) применимы к соединениям формулы I, IA, IB, IC, ID, IE, IF, IG, Ia, IAa, IBa, ICa, IDa, IEa, IFa, IGa, Ib, IAb, IBb, ICb, IDb, IEb, IFb, IGb, Ic, IAc, IBc, IDc, IFc и IGc:

B соединениях в соответствии с данным изобретением, особенно предпочтительный  $R_1$  является –OH.

В соединениях в соответствии с данным изобретением, особенно предпочтительный  $R_2$  является  $-C(=O)R^a$ группой, где  $R^a$  является замещенным или незамещенным  $C_1$ – $C_6$  алкилом. Особенно предпочтительный  $R^a$  выбирают из замещенного или незамещенного метила, замещенного или незамещенного этила, замещенного или незамещенного изопропила, замещенного или незамещенного изобутила, замещенного или незамещенного изобутила, замещенного или незамещенного изобутила, замещенного или незамещенного или незамещенного *втор*–бутила и замещенного или незамещенного *трет*–бутила. Наиболее предпочтительный  $R_2$  является ацетилом.

В соединениях в соответствии с данным изобретением, особенно предпочтительный  $R_3$  является водородом или  $-OR^b$  группой, где  $R^b$  является замещенным или незамещенным  $C_1$ – $C_6$  алкилом. Особенно предпочтительный  $R^b$  выбирают из замещенного или незамещенного метила, замещенного или незамещенного этила, замещенного или незамещенного или незамещенного изопропила, замещенного или незамещенного или незамещенного или незамещенного или незамещенного изобутила, замещенного или незамещенного втор—бутила и замещенного или незамещенного или незамещенного или незамещенного или незамещенного втор—бутила и замещенного или незамещенного или незамещенного или незамещенного или незамещенного втор—бутила и замещенного или незамещенного или незамеще

В соединениях в соответствии с данным изобретением, особенно предпочтительный  $R_4$  выбирают из H,  $-CH_2OH$ ,  $-CH_2OC(=O)R^c$ , $-CH_2NH_2$  и  $-CH_2NHProt^{NH}$ , где  $R^c$  является замещенным или незамещенным  $C_1$ — $C_6$  алкилом. Особенно предпочтительный  $R^c$  выбирают из замещенного или незамещенного метила, замещенного или незамещенного этила, замещенного или незамещенного H—пропила, замещенного или незамещенного изопропила, замещенного или незамещенного H—бутила, замещенного или незамещенного изобутила, замещенного или незамещенного H—бутила и замещенного или незамещенного H0 и H1 и H2 и H3 выбирают из H4 выбирают из H4. СH2 H4 и H4 выбирают из H5. Наиболее предпочтительный H4 является H4 выбирают из H5.

В соединениях общей формулы **I, IA, IB, IC, ID, IE, IF, IG, Ia, IAa, IBa, ICa, IDa, IEa, IFa, IGa, Ib, IAb, IBb, ICb, IDb, IEb, IFb и IGb особенно предпочтительный R\_4 выбирают из -CH\_2OH, -CH\_2OC(=O)R^c, -CH\_2NH\_2 и -CH\_2NHProt^{NH} для соединений формулы I, IA, IB, IC, ID, IF, IG, Ia, IAa, IBa, ICa, IDa, IFa, IGa, Ib, IAb, IBb, ICb, IDb, IFb или IGb; и R\_4 выбирают из -CH\_2NH\_2 и -CH\_2NHProt^{NH} для соединений формулы IE, IEa или IEb; где R^c является замещенным или незамещенным C\_1-C\_6 алкилом. Особенно предпочтительный R^c является замещенным или незамещенным метилом, замещенным или незамещенным H-пропилом, замещенным или незамещенным H-пропилом, замещенным** 

или незамещенным изопропилом, замещенным или незамещенным  $\mu$ -бутилом, замещенным или незамещенным изобутилом, замещенным или незамещенным  $\epsilon mop$ -бутилом и замещенным или незамещенным  $\epsilon mpem$ -бутилом. Наиболее предпочтительный  $\epsilon mpem$ -бутилом. Более предпочтительный  $\epsilon mpem$ -бутилом из  $\epsilon mpem$ -бутилом. Более предпочтительный  $\epsilon mpem$ -бутилом. Наиболее предпочтительный  $\epsilon mpem$ -бутилом. Наиболее предпочтительный  $\epsilon mpem$ -бутилом. Наиболее предпочтительный  $\epsilon mpem$ -бутилом.

Особенно предпочтительны соединения формулы **Ia, IAa, IBa, ICa, IDa, IFa, IGa**, где  $R_4$  является  $-CH_2OH$  или  $-CH_2OC(=O)R^c$ , и соединения формулы **Ib, IAb, IBb, ICb, IDb, IEb, IGb**, где  $R_4$  является  $-CH_2NH_2$  или  $-CH_2NHProt^{NH}$ .

В соединениях в соответствии с данным изобретением, особенно предпочтительный X является –NH–.

Альтернативно, в соединениях в соответствии с данным изобретением, особенно предпочтительный X является –O–.

Предпочтительные соединения в соответствии с данным изобретением включают:

– Соединения формулы I, IA, IB, IC, ID, IF, IG, Ia, IAa, IBa, ICa, IDa, IFa, IGa, Ib, IAb, IBb, ICb, IDb, IFb и IGb, где:

 $R_4$  выбирают из  $-CH_2OH$  и  $-CH_2OC(=O)R^c$ ;

Особенно предпочтительны соединения формулы **Ia, IAa, IBa, ICa, IDa, IFa и IGa** и/или соединения, где R<sub>4</sub> является –CH<sub>2</sub>OH.

– Соединения формулы I, IA, IB, IC, ID, IE IF, IG, Ia, IAa, IBa, ICa, IDa, IEa, IFa, IGa, Ib, IAb, IBb, ICb, IDb, IEb, IFb и IGb, где

R<sub>4</sub> выбирают из -CH<sub>2</sub>NH<sub>2</sub> и -CH<sub>2</sub>NHProt<sup>NH</sup>; и

 $\operatorname{Prot}^{\operatorname{NH}}$  является защитной группой для амино.

Особенно предпочтительны соединения формулы **Ib, IAb, IBb, ICb, IDb, IEb, IFb и IGb** и/или соединения, где  $R_4$  является  $-CH_2NH_2$ .

– Соединения формулы **Ic**, **IAc**, **IBc**, **IDc**, **IFc**, **IGc**, где

 $R_2$  является  $-C(=O)R^a$  группой для соединений формулы Ic, IAc, IBc, IDc или IFc; и  $R_2$  является ацетилом для соединений формулы IGc;

 $R_3$  является водородом или  $-OR^b$  группой для соединений формулы Ic, IDc, IFc, IGc;  $R_3$  является водородом для соединений формулы IAc; или  $R_3$  является  $-OR^b$  группой для соединений формулы IBc;

 $R^{a}$  выбирают из водорода и замещенного или незамещенного  $C_{1}\!\!-\!\!C_{6}$  алкила; и

 $R^{b}$  является замещенным или незамещенным  $C_{1}$ – $C_{6}$  алкилом.

Особенно предпочтительные соединения в соответствии с данным изобретением включают:

– Соединения формулы I, IA, IB, IC, IF, IG, Ia, IAa, IBa, ICa, IFa, IGa, Ib, IAb, IBb, ICb, IFb и IGb где

Х является – NH-;

 $R_4$  выбирают из  $-CH_2OH$  и  $-CH_2OC(=O)R^c$ ;

и

 $R^c$  выбирают из замещенного или незамещенного  $C_1$ – $C_{12}$  алкила, замещенного или

незамещенного  $C_2$ – $C_{12}$  алкенила и замещенного или незамещенного  $C_2$ – $C_{12}$  алкинила.

Более предпочтительны соединения формулы **Ia, IAa, IBa, ICa, IFa, IGa** и/или соединения, где R<sub>4</sub> является –CH<sub>2</sub>OH.

– Соединения формулы I, IA, IB, ID, IF, IG, Ia, IAa, IBa, IDa, IFa, IGa, Ib, IAb, IBb, IDb, IFb и IGb, где

Х является -О-;

 $R_4$  выбирают из  $-CH_2OH$  и  $-CH_2OC(=O)R^c$ ;

И

 $R^c$  выбирают из замещенного или незамещенного  $C_1$ – $C_{12}$  алкила, замещенного или незамещенного  $C_2$ – $C_{12}$  алкинила и замещенного или незамещенного  $C_2$ – $C_{12}$  алкинила.

Более предпочтительны соединения формулы **Ia, IAa, IBa, IDa, IFa, IGa** и/или соединения, где R<sub>4</sub> является –CH<sub>2</sub>OH.

– Соединения формулы I, IA, IB, IC, IE, IF, IG, Ia, IAa, IBa, ICa, IEa, IFa, IGa, Ib, IAb, IBb, ICb, IFb и IGb, где

Х является –NH-;

 $R_4$  выбирают из  $-CH_2NH_2$  и  $-CH_2NHProt^{NH}$ ;

И

Prot<sup>NH</sup> является защитной группой для амино.

Более предпочтительны соединения формулы **Ib, IAb, IBb, ICb, IEb, IFb, IGb** и/или соединения, где  $R_4$  является  $-CH_2NH_2$ .

– Соединения формулы I, IA, IB, ID, IE, IF, IG, Ia, IAa, IBa, IDa, IEa, IFa, IGa, Ib, IAb, IBb, IDb, IEb, IFb и IGb, где

Х является -О-;

 $R_4$  выбирают из  $-CH_2NH_2$  и  $-CH_2NHProt^{NH}$ ;

и

Prot<sup>NH</sup> является защитной группой для амино.

Более предпочтительны соединения формулы **Ib, IAb, IBb, IDb, IEb, IFb, IGb** и/или соединения, где R<sub>4</sub> является –CH<sub>2</sub>NH<sub>2</sub>.

– Соединения формулы I, IA, IB, IC, ID, IF, IG, Ia, IAa, IBa, ICa, IDa, IFa, IGa, Ib, IAb, IBb, ICb, IDb, IFb, IGb, где

 $R_2$  является  $-C(=O)R^a$  группой для соединений формулы I, IA, IB, IC, ID, IF, Ia, IAa, IBa, ICa, IDa, IFa, Ib, IAb, IBb, ICb, IDb или IFb; и  $R_2$  является ацетилом для соединений формулы IG, IGa или IGb;

 $R_3$  является водородом или  $-OR^b$  группой для соединений формулы I, IC, ID, IF, IG, Ia, ICa, IDa, IFa, IGa, Ib, ICb, IDb, IFb или IGb;  $R_3$  является водородом для соединений формулы IA, IAa или IAb; или  $R_3$  является  $-OR^b$  группой для соединений формулы IB, IBa или IBb;

 $R_4$  выбирают из  $-CH_2OH$  и  $-CH_2OC(=O)R^c$ ;

 $R^{a}$  выбирают из водорода и замещенного или незамещенного  $C_{1}$ — $C_{6}$  алкила;

 $R^{b}$  является замещенным или незамещенным  $C_{1}$ – $C_{6}$  алкилом; и

 $R^{c}$  является замещенным или незамещенным  $C_{1}$ – $C_{6}$  алкилом.

Более предпочтительны соединения формулы **Ia, IAa, IBa, ICa, IDa, IFa, IGa** и/или соединения, где R<sub>4</sub> является –CH<sub>2</sub>OH.

– Соединения формулы **I, IA, IB, IC, ID, IE, IF, IG, Ia, IAa, IBa, ICa, IDa, IEa, IFa, IGa, Ib, IAb, IBb, ICb, IDb, IEb, IFb** и **IGb**, где

 $R_2$  является  $-C(=O)R^a$  группой для соединений формулы I, IA, IB, IC, ID, IF, Ia, IAa, IBa, ICa, IDa, IFa, Ib, IAb, IBb, ICb, IDb или IFb; и  $R_2$  является ацетилом для соединений формулы IG, IGa или IGb;

 $R_3$  является водородом или  $-OR^b$  группой для соединений формулы I, IC, ID, IE, IF, IG, Ia, ICa, IDa, IEa, IFa, IGa, Ib, ICb, IDb, IEb, IFb или IGb;  $R_3$  является водородом для соединений формулы IA, IAa или IAb; или  $R_3$  является  $-OR^b$  группой для соединений формулы IB, IBa или IBb;

R<sub>4</sub> выбирают из -CH<sub>2</sub>NH<sub>2</sub> и -CH<sub>2</sub>NHProt<sup>NH</sup>;

 $R^{a}$  выбирают из водорода и замещенного или незамещенного  $C_{1}$ – $C_{6}$  алкила;

 $R^{b}$  является замещенным или незамещенным  $C_{1}$ – $C_{6}$  алкилом; и

Prot<sup>NH</sup> является защитной группой для амино.

Более предпочтительны соединения формулы **Ib, IAb, IBb, ICb, IDb, IEb, IFb, IGb** и/или соединения, где  $R_4$  является  $-CH_2NH_2$ .

- Соединения формулы **Ic**, **IAc**, **IBc**, **IDc**, **IFc**, **IGc**, где

 $R_2$  является  $-C(=O)R^a$  группой для соединений формулы Ic, IAc, IBc, IDc или IFc; и  $R_2$  является ацетилом для соединений формулы IGc;

 $R_3$  является водородом или  $-OR^b$  группой для соединений формулы Ic, IDc, IFc, IGc;  $R_3$  является водородом для соединений формулы IAc; или  $R_3$  является  $-OR^b$  группой для соединений формулы IBc;

 $R^{a}$  является замещенным или незамещенным  $C_{1}$ – $C_{6}$  алкилом; и

 $R^{b}$  является замещенным или незамещенным  $C_{1}$ – $C_{6}$  алкилом.

Более предпочтительные соединения в соответствии с данным изобретением включают

– Соединения формулы I, IA, IB, IC, IF, IG, Ia, IAa, IBa, ICa, IFa, IGa, Ib, IAb, IBb, ICb, IFb и IGb, где

Х является – NH-;

 $R_2$  является  $-C(=O)R^a$  группой для соединений формулы I, IA, IB, IC, IF, Ia, IAa, IBa, ICa, IFa, Ib, IAb, IBb, ICb или IFb; и  $R_2$  является ацетилом для соединений формулы IG, IGa или IGb;

 $R_3$  является водородом или  $-OR^b$  группой для соединений формулы I, IC, IF, IG, Ia, ICa, IFa, IGa, Ib, ICb, IFb или IGb;  $R_3$  является водородом для соединений формулы IA, IAa или IAb; или  $R_3$  является  $-OR^b$  группой для соединений формулы IB, IBa или IBb;

R<sub>4</sub> является –CH<sub>2</sub>OH;

 $R^a$  выбирают из водорода и замещенного или незамещенного  $C_1\!\!-\!\!C_6$  алкила; и

 $R^b$  является замещенным или незамещенным  $C_1$ – $C_6$  алкилом.

Особенно предпочтительны соединения формулы Ia, IAa или IBa, ICa, IFa, IGa.

– Соединения формулы I, IA, IB, ID, IF, IG, Ia, IAa, IBa, IDa, IFa, IGa, Ib, IAb, IBb, IDb, IFb и IGb, где

Х является -О-;

 $R_2$  является  $-C(=O)R^a$  группой для соединений формулы I, IA, IB, ID, IF, Ia, IAa, IBa, IDa, IFa, Ib, IAb, IBb, IDb или IFb; и  $R_2$  является ацетилом для соединений формулы IG, IGa или IGb;

 $R_3$  является водородом или  $-OR^b$  группой для соединений формулы I, ID, IF, IG, Ia, IDa, IFa, IGa, Ib, IDb, IFb или IGb;  $R_3$  является водородом для соединений формулы IA, IAa или IAb; или  $R_3$  является  $-OR^b$  группой для соединений формулы IB, IBa или IBb;

 $R_4$  является  $-CH_2OH$ ;

 $R^{a}$  выбирают из водорода и замещенного или незамещенного  $C_{1}$ – $C_{6}$  алкила; и

 $R^{b}$  является замещенным или незамещенным  $C_{1}\!-\!C_{6}$  алкилом.

Особенно предпочтительны соединения формулы Ia, IAa, IBa, IDa, IFa или IGa.

– Соединения формулы I, IA, IB, IC, IE, IF, IG, Ia, IAa, IBa, ICa, IEa, IFa, IGa, Ib, IAb, IBb, ICb, IFb и IGb, где

Х является – NH-;

 $R_2$  является  $-C(=O)R^a$  группой для соединений формулы I, IA, IB, IC, IE, IF, Ia, IAa, IBa, ICa, IEa, IFa, Ib, IAb, IBb, ICb, IEb или IFb; и  $R_2$  является ацетилом для соединений формулы IG, IGa или IGb;

 $R_3$  является водородом или  $-OR^b$  группой для соединений формулы I, IC, IE, IF, IG, Ia, ICa, IEa, IFa, IGa, Ib, ICb, IEb, IFb или IGb;  $R_3$  является водородом для соединений формулы IA, IAa или IAb; или  $R_3$  является  $-OR^b$  группой для соединений формулы IB, IBa или IBb;

R<sub>4</sub> выбирают из -CH<sub>2</sub>NH<sub>2</sub> и -CH<sub>2</sub>NHProt<sup>NH</sup>.

R<sup>а</sup> выбирают из водорода и замещенного или незамещенного C<sub>1</sub>-C<sub>6</sub> алкила;

 $R^{b}$  является замещенным или незамещенным  $C_{1}$ – $C_{6}$  алкилом; и

Prot<sup>NH</sup> является защитной группой для амино.

Особенно предпочтительны соединения формулы **Ib, IAb, IBb, ICb, IEb, IFb, IGb** и/или соединения, где  $R_4$  является  $-CH_2NH_2$ .

– Соединения формулы I, IA, IB, ID, IE, IF, IG, Ia, IAa, IBa, IDa, IEa, IFa, IGa, Ib, IAb, IBb, IDb, IEb, IFb и IGb, где

Х является -О-;

 $R_2$  является  $-C(=O)R^a$  группой для соединений формулы I, IA, IB, ID, IE, IF, Ia, IAa, IBa, IDa, IEa, IFa, Ib, IAb, IBb, IDb, IEb или IFb; и  $R_2$  является ацетилом для соединений формулы IG, IGa или IGb;

 $R_3$  является водородом или  $-OR^b$  группой для соединений формулы I, ID, IE, IF, IG, Ia, IDa, IEa, IFa, IGa, Ib, IDb, IEb, IFb или IGb;  $R_3$  является водородом для соединений формулы IA, IAa или IAb; или  $R_3$  является  $-OR^b$  группой для соединений формулы IB, IBa или IBb;

 $R_4$  выбирают из  $-CH_2NH_2$  и  $-CH_2NHProt^{NH}$ ;

 $R^{a}$  выбирают из водорода и замещенного или незамещенного  $C_{1}$ – $C_{6}$  алкила;

 $R^{b}$  является замещенным или незамещенным  $C_{1}$ – $C_{6}$  алкилом; и

Prot<sup>NH</sup> является защитной группой для амино.

Особенно предпочтительны соединения формулы **Ib, IAb, IBb, IDb, IEb, IFb, IGb** и/или соединения, где  $R_4$  является  $CH_2NH_2$ .

– Соединения формулы I, IA, IB, IC, ID, IF, IG, Ia, IAa, IBa, ICa, IDa, IFa, IGa, Ib, IAb, IBb, ICb, IDb, IFb и IGb, где

 $R_2$  является  $-C(=O)R^a$  группой для соединений формулы I, IA, IB, IC, ID, IF, Ia, IAa, IBa, ICa, IDa, IFa, Ib, IAb, IBb, ICb, IDb или IFb; и  $R_2$  является ацетилом для соединений формулы IG, IGa или IGb;

 $R_3$  является водородом или  $-OR^b$  группой для соединений формулы I, IC, ID, IF, IG, Ia, ICa, IDa, IFa, IGa, Ib, ICb, IDb, IFb или IGb;  $R_3$  является водородом для соединений формулы IA, IAa или IAb; или  $R_3$  является  $-OR^b$  групп для соединений формулы IB, IBa или IBb;

R<sub>4</sub> является –СH<sub>2</sub>OH;

 $R^{a}$  является замещенным или незамещенным  $C_{1}$ – $C_{6}$  алкилом; и

 $R^b$  является замещенным или незамещенным  $C_1$ – $C_6$  алкилом.

Особенно предпочтительны соединения формулы **Ia, IAa, IBa, ICa, IDa, IFa** или **IGa**.

– Соединения формулы I, IA, IB, IC, ID, IE, IF, IG, Ia, IAa, IBa, ICa, IDa, IEa, IFa, IGa, Ib, IAb, IBb, ICb, IDb, IEb, IFb и IGb, где

 $R_2$  является  $-C(=O)R^a$  группой для соединений формулы I, IA, IB, IC, ID, IE, IF, Ia, IAa, IBa, ICa, IDa, IEa, IFa, Ib, IAb, IBb, ICb, IDb, IEb или IFb; и  $R_2$  является ацетилом для соединений формулы IG, IGa или IGb;

 $R_3$  является водородом или  $-OR^b$  группой для соединений формулы I, IC, ID, IE, IF, IG, Ia, ICa, IDa, IEa, IFa, IGa, Ib, ICb, IDb, IEb, IFb или IGb;  $R_3$  является водородом для соединений формулы IA, IAa или IAb; или  $R_3$  является  $-OR^b$  группой для соединений формулы IB, IBa или IBb;

R<sub>4</sub> выбирают из -CH<sub>2</sub>NH<sub>2</sub> и -CH<sub>2</sub>NHProt<sup>NH</sup>;

 $R^{a}$  является замещенным или незамещенным  $C_{1}$ – $C_{6}$  алкилом;

 $R^b$  является замещенным или незамещенным  $C_1$ – $C_6$  алкилом; и

Prot<sup>NH</sup> является защитной группой для амино.

Особенно предпочтительны соединения формулы **Ib, IAb, IBb, ICb, IDb, IEb, IFb, IGb** и/или соединения, где  $R_4$  является  $-CH_2NH_2$ .

– Соединения формулы I, IA, IB, IC, IF, IG, Ia, IAa, IBa, ICa, IFa, IGa, Ib, IAb, IBb, ICb, IFb и IGb, где

Х является – NH-;

 $R_2$  является  $-C(=O)R^a$  группой для соединений формулы I, IA, IB, IC, IF, Ia, IAa, IBa, ICa, IFa, Ib, IAb, IBb, ICb или IFb; и  $R_2$  является ацетилом для соединений формулы

IG, IGa или IGb;

 $R_3$  является водородом или  $-OR^b$  группой для соединений формулы I, IC, IF, IG, Ia, ICa, IFa, IGa, Ib, ICb, IFb или IGb;  $R_3$  является водородом для соединений формулы IA, IAa или IAb; или  $R_3$  является  $-OR^b$  группой для соединений формулы IB, IBa или IBb;

 $R_4$  является  $-CH_2OC(=O)R^c$ ;

 $R^{a}$  выбирают из водорода и замещенного или незамещенного  $C_{1}$ – $C_{6}$  алкила;

 $R^{b}$  является замещенным или незамещенным  $C_{1}$ – $C_{6}$  алкилом; и

 $R^{c}$  является замещенным или незамещенным  $C_{1}$ – $C_{6}$  алкилом.

Более предпочтительны соединения формулы Ia, IAa, IBa, ICa, IFa или IGa.

- Соединения формулы **Ic**, **IAc**, **IBc**, **IDc**, **IFc** и **IGc**, где

 $R_2$  является  $-C(=O)R^a$  группой для соединений формулы Ic, IAc, IBc, IDc или IFc; и  $R_2$  является ацетилом для соединений формулы IGc;

 $R_3$  является водородом или метокси для соединений формулы Ic, IDc, IFc или IGc;  $R_3$  является водородом для соединений формулы IAc; или  $R_3$  является метокси для соединений формулы IBc; и

 $R^{a}$  является замещенным или незамещенным  $C_{1}$ – $C_{6}$  алкилом.

Особенно предпочтительные соединения в соответствии с данным изобретением включают:

– Соединения формулы I, IA, IB, IC, IF, IG, Ia, IAa, IBa, ICa, IFa, IGa, Ib, IAb, IBb, ICb, IFb и IGb, где

Х является – NH-;

 $R_2$  является  $-C(=O)R^a$  группой для соединений формулы I, IA, IB, IC, IF, Ia, IAa, IBa, ICa, IFa, Ib, IAb, IBb, ICb или IFb; и  $R_2$  является ацетилом для соединений формулы IG, IGa или IGb;

 $R_3$  является водородом или метокси для соединений формулы I, IC, IF, IG, Ia, ICa, IFa, IGa, Ib, ICb, IFb или IGb;  $R_3$  является водородом для соединений формулы IA, IAa или IAb; и  $R_3$  является метокси для соединений формулы IB, IBa или IBb;

R<sub>4</sub> является –СH<sub>2</sub>OH; и

 $R^{a}$  является замещенным или незамещенным  $C_{1}$ – $C_{6}$  алкилом.

Даже более предпочтительны соединения формулы Ia, IAa, IBa, ICa, IFa, IGa.

– Соединения формулы I, IA, IB, ID, IF, IG, Ia, IAa, IBa, IDa, IFa, IGa, Ib, IAb, IBb, IDb, IFb и IGb, где

Х является -О-;

 $R_2$  является  $-C(=O)R^a$  группой для соединений формулы I, IA, IB, ID, IF, Ia, IAa, IBa, IDa, IFa, Ib, IAb, IBb, IDb или IFb; и  $R_2$  является ацетилом для соединений формулы IG, IGa или IGb;

 $R_3$  является водородом или метокси для соединений формулы I, ID, IF, IG, Ia, IDa, IFa, IGa, Ib, IDb, IFb или IGb;  $R_3$  является водородом для соединений формулы IA, IAa или IAb; или  $R_3$  является метокси для соединений формулы IB, IBa или IBb;

R<sub>4</sub> является –СH<sub>2</sub>OH; и

 $R^{a}$  является замещенным или незамещенным  $C_{1}$ – $C_{6}$  алкилом.

Даже более предпочтительны соединения формулы **Ia**, **IAa**, **IBa**, **IDa**, **IEa**, **IGa**.

– Соединения формулы I, IA, IB, IC, IE, IF, IG, Ia, IAa, IBa, ICa, IEa, IFa, IGa, Ib, IAb, IBb, ICb, IEb, IFb и IGb, где

Х является –NH-;

 $R_2$  является  $-C(=O)R^a$  группой для соединений формулы I, IA, IB, IC, IE, IF, Ia, IAa, IBa, ICa, IEa, IFa, Ib, IAb, IBb, ICb, IEb или IFb; и  $R_2$  является ацетилом для соединений формулы IG, IGa или IGb;

 $R_3$  является водородом или метокси для соединений формулы I, IC, IE, IF, IG, Ia, ICa, IEa, IFa, IGa, Ib, ICb, IEb, IFb или IGb;  $R_3$  является водородом для соединений формулы IA, IAa или IAb; или  $R_3$  является метокси для соединений формулы IB, IBa или IBb;

R<sub>4</sub> выбирают из -CH<sub>2</sub>NH<sub>2</sub> и -CH<sub>2</sub>NHProt<sup>NH</sup>;

 $R^{a}$  является замещенным или незамещенным  $C_{1}$ – $C_{6}$  алкилом; и

Prot<sup>NH</sup> является защитной группой для амино.

Даже более предпочтительны соединения формулы **Ib**, **IAb**, **IBb**, **ICb**, **IEb**, **IFb**, **IGb** и/или соединения, где  $R_4$  является  $-CH_2NH_2$ .

– Соединения формулы I, IA, IB, ID, IE, IF, IG, Ia, IAa, IBa, IDa, IEa, IFa, IGa, Ib, IAb, IBb, IDb, IEb, IFb и IGb, где

Х является –О-;

 $R_2$  является  $-C(=O)R^a$  группой для соединений формулы I, IA, IB, ID, IE, IF, Ia, IAa, IBa, IDa, IEa, IFa, Ib, IAb, IBb, IDb, IEb или IFb; и  $R_2$  является ацетилом для соединений формулы IG, IGa или IGb;

 $R_3$  является водородом или метокси для соединений формулы I, ID, IE, IF, IG, Ia, IDa, IEa, IFa, IGa, Ib, IDb, IEb, IFb или IGb;  $R_3$  является водородом для соединений формулы IA, IAa или IAb; или  $R_3$  является метокси для соединений формулы IB, IBa или IBb;

R<sub>4</sub> выбирают из -CH<sub>2</sub>NH<sub>2</sub> и -CH<sub>2</sub>NHProt<sup>NH</sup>;

 $R^{a}$  является замещенным или незамещенным  $C_{1}$ – $C_{6}$  алкилом; и

 $\operatorname{Prot}^{\operatorname{NH}}$  является защитной группой для амино.

Даже более предпочтительны соединения формулы **Ib**, **IAb**, **IBb**, **IDb**, **IEb**, **IFb**, **IGb** и/или соединения, где  $R_4$  является  $-CH_2NH_2$ .

– Соединения формулы I, IA, IB, IC, ID, IF, IG, Ia, IAa, IBa, ICa, IDa, IFa, IGa, Ib, IAb, IBb, ICb, IDb, IFb и IGb, где

 $R_2$  является  $-C(=O)R^a$  группой для соединений формулы I, IA, IB, IC, ID, IF, Ia, IAa, IBa, ICa, IDa, IFa, Ib, IAb, IBb, ICb, IDb или IFb; и  $R_2$  является ацетилом для соединений формулы IG, IGa или IGb;

 $R_3$  является водородом или метокси для соединений формулы I, IC, ID, IF, IG, Ia, ICa, IDa, IFa, IGa, Ib, ICb, IDb, IFb и IGb;  $R_3$  является водородом для соединений формулы

IA, IAa или IAb; или R<sub>3</sub> является метокси для соединений формулы IB, IBa или IBb;

R<sub>4</sub> является –СH<sub>2</sub>OH; и

 ${
m R}^{
m a}$  выбирают из метила, этила,  ${
m \emph{\it H}-}$ пропила, изопропила и бутила, включая  ${
m \emph{\it H}-}$ бутил,  ${
m \emph{\it emop}-}$ бутил, изобутил и  ${
m \emph{\it mpem}-}$ бутил.

Даже более предпочтительны соединения формулы **Ia**, **IAa**, **IBa**, **ICa**, **IDa**, **IEa**, **IFa** или **IGa**.

– Соединения формулы I, IA, IB, IC, ID, IE, IF, IG, Ia, IAa, IBa, ICa, IDa, IEa, IFa, IGa, Ib, IAb, IBb, ICb, IDb, IEb, IFb и IGb, где

 $R_2$  является  $-C(=O)R^a$  группой для соединений формулы I, IA, IB, IC, ID, IE, IF, Ia, IAa, IBa, ICa, IDa, IEa, IFa, Ib, IAb, IBb, ICb, IDb, IEb или IFb; и  $R_2$  является ацетилом для соединений формулы IG, IGa или IGb;

 $R_3$  является водородом или метокси для соединений формулы I, IC, ID, IE, IF, IG, Ia, ICa, IDa, IEa, IFa, IGa, Ib, ICb, IDb, IEb, IFb и IGb;  $R_3$  является водородом для соединений формулы IA, IAa или IAb; или  $R_3$  является метокси для соединений формулы IB, IBa или IBb;

R<sub>4</sub> выбирают из -CH<sub>2</sub>NH<sub>2</sub> и -CH<sub>2</sub>NHProt<sup>NH</sup>;

 ${
m R}^{
m a}$  выбирают из метила, этила, *н*–пропила, изопропила и бутила, включая *н*–бутил, *втор*–бутил, изобутил и *трет*–бутил; и

 $\operatorname{Prot}^{\operatorname{NH}}$  является защитной группой для амино.

Даже более предпочтительны соединения формулы **Ib**, **IAb**, **IBb**, **ICb**, **IDb**, **IEb**, **IFb**, **IGb** и/или соединения где  $R_4$  является  $-CH_2NH_2$ .

- Соединения формулы **Ic** или **IAc**, **IDc**, **IFc** и **IGc**, где

 $R_2$  является  $-C(=O)R^a$  группой для соединений формулы Ic, IAc, IDc или IFc; и  $R_2$  является ацетилом для соединений формулы IGc;

R<sub>3</sub> является водородом; и

 ${
m R}^{
m a}$  выбирают из метила, этила,  ${
m \emph{\it H}-}$ пропила, изопропила и бутила, включая  ${
m \emph{\it H}-}$ бутил,  ${
m \emph{\it втор}-}$ бутил, изобутил и  ${
m \emph{\it mpem}-}$ бутил.

- Соединения формулы **Ic**, **IBc**, **IDc**, **IFc** и **IGc**, где

 $R_2$  является  $-C(=O)R^a$  группой для соединений формулы Ic, IBc, IDc или IFc; и  $R_2$  является ацетилом для соединений формулы IGc;

R<sub>3</sub> является метокси; и

 ${
m R}^{
m a}$  выбирают из метила, этила,  ${
m \emph{\it H}-}$ пропила, изопропила и бутила, включая  ${
m \emph{\it H}-}$ бутил,  ${
m \emph{\it emop}-}$ бутил, изобутил и  ${
m \emph{\it mpem}-}$ бутил.

Даже более предпочтительные соединения в соответствии с данным изобретением включают:

– Соединения формулы **I, IA, IC, IF, IG, Ia, IAa, ICa, IFa, IGa, Ib, IAb, ICb, IFb** и **IGb**, где

Х является – NH-;

R<sub>2</sub> является ацетилом;

R<sub>3</sub> является водородом; и

R<sub>4</sub> является –СH<sub>2</sub>OH.

Наиболее предпочтительны соединения формулы Ia, IAa, ICa, IFa или IGa.

– Соединения формулы **I, IA, ID, IF, IG, Ia, IAa, IDa, IFa, IGa, Ib, IAb, IDb, IFb** и **IGb**, где

Х является –О-;

R<sub>2</sub> является ацетилом;

R<sub>3</sub> является водородом; и

R<sub>4</sub> является –CH<sub>2</sub>OH.

Наиболее предпочтительны соединения формулы Ia, IAa, IDa, IFa или IGa

– Соединения формулы I, IA, IC, IE, IF, IG, Ia, IAa, ICa, IEa, IFa, IGa, Ib, IAb, ICb, IEb, IFb и IGb, где

Х является –NH-;

R<sub>2</sub> является ацетилом;

R<sub>3</sub> является водородом; и

R<sub>4</sub> является –CH<sub>2</sub>NH<sub>2</sub>.

Наиболее предпочтительны соединения формулы **Ib**, **IAb**, **ICb**, **IEb**, **IFb** или **IGb**.

– Соединения формулы I, IA, ID, IE, IF, IG, Ia, IAa, IDa, IEa, IFa, IGa, Ib, IAb,

### **IDb, IEb, IFb** и **IGb**, где

Х является -О-;

R<sub>2</sub> является ацетилом;

R<sub>3</sub> является водородом; и

R<sub>4</sub> является –CH<sub>2</sub>NH<sub>2</sub>.

Наиболее предпочтительны соединения формулы **Ib**, **IAb**, **IDb**, **IEb**, **IFb** или **IGb**.

- Соединения формулы I, IA, IC, ID, IF, IG, Ia, IAa, ICa, IDa, IFa, IGa, Ib, IAb,

### ICb, IDb, IFb и IGb, где

R<sub>2</sub> является ацетилом;

R<sub>3</sub> является водородом; и

R<sub>4</sub> является –СH<sub>2</sub>OH.

Наиболее предпочтительны соединения формулы Ia, IAa, ICa, IDa, IFa или IGa.

- Соединения формулы I, IA, IC, ID, IF, IG, Ia, IAa, ICa, IDa, IFa, IGa, Ib, IAb,

# ICb, IDb, IFb и IGb, где

 $R_1$  является -OH;

R<sub>2</sub> является ацетилом;

R<sub>3</sub> является водородом; и

R<sub>4</sub> является –СH<sub>2</sub>OH.

Наиболее предпочтительны соединения формулы Ia, IAa, ICa, IDa, IFa или IGa.

– Соединения формулы I, IA, IC, ID, IE, IF, IG, Ia, IAa, ICa, IDa, IEa, IFa, IGa, Ib,

#### IAb, ICb, IDb, IEb, IFb и IGb, где

R<sub>2</sub> является ацетилом;

R<sub>3</sub> является водородом; и

 $R_4$  является  $-CH_2NH_2$ .

Наиболее предпочтительны соединения формулы **Ib, IAb, ICb, IDb, IEb, IFb** или **IGb**.

- Соединения формулы **Ic** или **IAc**, **IDc**, **IFc**, **IGc**, где

R<sub>2</sub> является ацетилом; и

 $R_3$  является водородом.

– Соединения формулы **Ic** или **IBc**, **IDc**, **IFc**, **IGc**, где

R<sub>2</sub> является ацетилом; и

 $R_3$  является метокси.

- Соединение в соответствии с данным изобретением формулы:

Особенно предпочтительно соединение формулы:

## – Соединение в соответствии с данным изобретением формулы:

# Особенно предпочтительно соединение формулы:

Особенно предпочтительно соединение формулы:

или его фармацевтически приемлемая соль или сложный эфир.

Даже более предпочтительными соединениями в соответствии с данным изобретением являются соединения формулы:

Наиболее предпочтительными соединениями в соответствии с данным изобретением являются соединения формулы:

или его фармацевтически приемлемая соль или сложный эфир.

В дополнительных предпочтительных вариантах объединены предпочтения, описанные выше для разных заместителей. Данное изобретение также относится к таким сочетаниям предпочтительных замещений (где допустимо возможными группами заместителей) в соединениях формулы I, IA, IB, IC, ID, IE, IF, IG, Ia, IAa, IBa, ICa, IDa, IEa, IFa, IGa, Ib, IAb, IBb, ICb, IDb, IEb, IFb, IGb, Ic, IAc, IBc, IDc, IFc или IGc в соответствии с данным изобретением.

Важной характеристикой описанных выше соединений является их биологическая активность и, в частности, их цитотоксическая активность. В связи с этим мы неожиданно обнаружили, что соединения в соответствии с данным изобретением проявляют повышенную противоопухолевую активность, как это показано в примерах 27 и 29–40.

Композиции, содержащие соединение формулы I, IA, IB, IC, ID, IE, IF, IG, Ia, IAa, IBa, ICa, IDa, IEa, IFa, IGa, Ib, IAb, IBb, ICb, IDb, IEb, IFb, IGb, Ic, IAc, IBc, IDc, IFc или IGc в соответствии с данным изобретением и их применение

В дополнительном варианте данного изобретения представлена фармацевтическая композиция, содержащая соединение в соответствии с данным изобретением и

фармацевтически приемлемый носитель. Примеры способов введения включают, без ограничения, пероральный, местный, парентеральный, подъязычный, ректальный, вагинальный, глазной и интраназальный способы. Парентеральное введение включает подкожные инъекции, внутривенную, внутримышечную, интрастернальную инъекцию Предпочтительно, композиции парентерально. или методы вливания. вводят Фармацевтические композиции в соответствии с данным изобретением могут быть составлены так, чтобы позволять соединению в соответствии с данным изобретением быть биодоступным при введении композиции животному, предпочтительно, человеку. Композиции могут принимать форму одной или более дозированных единиц, и контейнер с соединением в соответствии с данным изобретением может содержать соединение в жидкой или аэрозольной форме, и может содержать одну или множество дозированных единиц.

Фармацевтически приемлемый носитель или наполнитель может быть в виде частиц так, что композиции имеют, например, форму таблетки или порошка. Носитель(и) может быть жидким, если композициями являются, например, пероральный сироп или жидкость для инъекций. Кроме того, носитель(и) может быть газообразным или жидким для получения аэрозольной композиции, применяемой для, например, ингаляционного введения. Порошки также могут применяться для ингалируемых дозированных форм. Термин "носитель" относится к разбавителю, адъюванту или эксципиенту, с которым вводят соединение в соответствии с данным изобретением. Такие фармацевтические носители могут быть жидкостями, такими как вода и масла, включая масла нефтяного, животного, растительного или синтетического происхождения, такие как арахисовое масло, соевое масло, минеральное масло, конопляное масло и подобные. Носителями могут быть солевой раствор, аравийская камедь, желатин, крахмальная паста, тальк, кератин, коллоидная двуокись кремния, мочевина, дисахариды и подобное. Кроме того, могут применяться вспомогательные, стабилизирующие, загущающие, смазывающие и красящие агенты. В одном варианте, при введении животному, соединения и композиции в соответствии с данным изобретением и фармацевтически приемлемые носители стерильны. Вода является предпочтительным носителем, если соединения в соответствии с данным изобретением вводят внутривенно. Солевые растворы м водные растворы декстрозы и глицерина также могут применяться в качестве жидких носителей, особенно для растворов для инъекций. Подходящие фармацевтические носители также включают эксципиенты, такие как крахмал, глюкоза, лактоза, сахароза, желатин, солод, рис, мука, стеарат натрия, глицеринмоностереат, тальк, хлорид натрия, силикагель, обезжиренное сухое молоко, глицерин, пропиленгликоль, вода, этанол и подобные. Данные композиции, при желании, также могут содержать незначительные количества смачивающих или эмульгирующих агентов или рН буферных агентов.

Если они предназначены для перорального введения, композиции предпочтительно имеют твердую или жидкую форму, где полутвердые, полужидкие, суспензионные и гелевые формы включены в формы, рассматриваемые здесь, как твердые или жидкие.

В качестве твердой композиции для перорального введения композиция может быть составлена в виде порошка, гранулы, прессованной таблетки, пилюли, капсулы, жевательной резинки, вафли или подобной формы. Такая твердая композиция обычно содержит один или несколько инертных разбавителей. Кроме того, могут присутствовать следующих: связующие одно или несколько из такие агенты, как карбоксиметилцеллюлоза, этилцеллюлоза, микрокристаллическая целлюлоза или желатин; эксципиенты, такие как крахмал, лактоза или декстрины, разрыхлители, такие как альгиновая кислота, альгинат натрия, кукурузный крахмал и подобные; смазывающие вещества, такие как стеарат магния; глиданты, такие как коллоидная двуокись кремния; подсластитель, такой как сахароза или сахарин; ароматизатор, такой как перечная мята перечная, метилсалицилат или апельсиновый ароматизатор; и краситель.

Если композиция имеет форму капсулы (например, желатиновой капсулы), она может содержать, в дополнение к материалам вышеуказанного типа, жидкий носитель, такой как полиэтиленгликоль, циклодекстрины или жирное масло.

Композиция может быть в форме жидкости, например эликсира, сиропа, раствора, эмульсии или суспензии. Жидкость может быть полезна для перорального введения или для доставки инъекцией. Если композиция предназначена для перорального введения, она может содержать один или более подсластителей, консервантов, красителей/пигментов и усилителей вкуса. В композицию для введения инъекцией также могут быть включены одно или несколько из поверхностно–активного вещества, консерванта, смачивающего агента, диспергирующего агента, суспендирующего агента, буфера, стабилизатора и изотонического агента.

Предпочтительным путем введения является парентеральное введение, включая, но не ограниченное ими, внутрикожное, внутримышечное, внутрибрюшинное, внутривенное, подкожное, интраназальное, эпидуральное, интрацеребральное, интравентрикулярное, интратекальное, интравагинальное или трансдермальное. Предпочтительный способ введения оставлен на усмотрение практикующего врача и будет зависеть отчасти от места медицинского состояния (такого как место рака). В более предпочтительном варианте, изобретением соединения соответствии c внутривенно. данным вводят Предпочтительны периоды инфузии вплоть до 24 часов, более предпочтительно, 1-12 часов, и наиболее предпочтительно, 1-6 часов. Особенно желательны короткие периоды инфузии, которые позволяют проводить лечение без ночевки в стационаре. Тем не менее, инфузия может длиться 12-24 часа или даже дольше, если требуется. Инфузия может проводиться с подходящими интервалами, например, 1–4 недели.

Жидкие композиции в соответствии с данным изобретением, будь то растворы, суспензии или другие подобные формы, также могут включать одно или несколько из следующих: стерильные разбавители, такие как вода для инъекций, солевой раствор, предпочтительно физиологический раствор, раствор Рингера, изотонический хлорид натрия, жирные масла, такие как синтетические моно— или диглицериды, полиэтиленгликоли, глицерин или другие растворители; антибактериальные агенты, такие

как бензиловый спирт или метилпарабен; и агенты для регулировки тоничности, такие как хлорид натрия или декстроза. Парентеральная композиция может быть заключена в ампулу, одноразовый шприц или флакон с многократной дозой, изготовленный из стекла, пластика или другого материала. Физиологический раствор является предпочтительным адъювантом.

Количество соединения в соответствии с данным изобретением, которое эффективно при лечении конкретного расстройства или состояния, будет зависеть от природы расстройства или состояния и может быть определено стандартными клиническими методами. Кроме того, анализы *in vitro* или *in vivo* необязательно можно использовать для определения оптимальных интервалов доз. Точная доза, применяемая в композициях, также будет зависеть от пути введения и серьезности заболевания или расстройства, и ее следует выбирать в соответствии с мнением практикующего врача и обстоятельствами каждого пациента.

Композиции содержат эффективное количество соединения в соответствии с данным изобретением, так чтобы получить подходящую дозу. Правильная дозировка соединений будет варьироваться в зависимости от конкретной композиции, способа применения и его конкретного места, хозяина и лечимого заболевания, например, рака, и, если так, то типа опухоли. Другие факторы, такие как возраст, масса тела, пол, режим питания, время введения, скорость выведения, состояние хозяина, комбинации лекарственных средств, чувствительность реакции и тяжесть заболевания, должны быть приняты во внимание. Введение может осуществляться непрерывно или периодически в пределах максимально переносимой дозы.

Обычно, количество составляет, по крайней мере, около 0,01% соединения в соответствии с данным изобретением, и может составлять, по крайней мере, 80% массовых композиции. Если оно предназначено для перорального введения, это количество может варьироваться в интервале от около 0,1% до около 80% массовых композиции. Предпочтительные пероральные композиции могут содержать от около 4% до около 50% соединения в соответствии с данным изобретением к массе композиции.

Предпочтительные композиции в соответствии с данным изобретением готовят таким образом, чтобы парентеральная дозированная единица содержала от около 0,01% до около 10% массовых соединения в соответствии с данным изобретением. Более предпочтительная парентеральная дозированная единица содержит от около 0,5% до около 5% массовых соединения в соответствии с данным изобретением.

Для внутривенного введения, композиция подходит для доз от около 0,1 мг/кг до около 250 мг/кг массы тела животного, предпочтительно от около 0,1 мг/кг до около 20 мг/кг массы тела животного, и более предпочтительно, от около 1 мг/кг до около 10 мг/кг массы тела животного.

Соединение в соответствии с данным изобретением можно вводить любым удобным путем, например, путем инфузии или болюсной инъекции, путем всасывания через эпителиальные или слизистые оболочки.

В конкретных вариантах может быть желательно вводить одно или несколько соединений в соответствии с данным изобретением или композиций локально в область, нуждающуюся в лечении. В одном варианте, введение может осуществляться прямой инъекцией в место (или прежнее место) рака, опухоли или опухолевой или предопухолевой ткани.

Легочное введение также может быть применяться, например, путем использования ингалятора или распылителя и состава с аэрозольным агентом или перфузией во фторуглероде или синтетическом легочном поверхностно—активном веществе. В определенных вариантах, соединение в соответствии с данным изобретением может быть составлено в виде суппозитория с традиционными связующими агентами и носителями, такими как триглицериды.

Настоящие композиции могут принимать форму растворов, суспензий, эмульсий, таблеток, пилюль, пеллет, капсул, капсул, содержащих жидкости, порошков, составов с замедленным высвобождением, суппозиториев, эмульсий, аэрозолей, спреев, суспензий или любую другую формы, подходящей для использования. Другие примеры подходящих фармацевтических носителей описаны в "Remington's Pharmaceutical Sciences" by E. W. Martin.

Фармацевтические композиции могут быть получены с использованием методологии, хорошо известной в области фармацевтики. Например, композиция, предназначенная для введения инъекцией, может быть приготовлена путем объединения соединения в соответствии с данным изобретением с водой или другим физиологически подходящим разбавителем, таким как физиологический раствор с фосфатным буфером, для получения раствора. Поверхностно–активное вещество может быть добавлено для облегчения образования гомогенного раствора или суспензии.

Предпочтительные композиции в соответствии с данным изобретением включают:

- Фармацевтические композиции, содержащие соединение в соответствии с данным изобретением и дисахарид. Особенно предпочтительные дисахариды выбирают из лактозы, трегалозы, сахарозы, мальтозы, изомальтозы, целлобиозы, изосахарозы, изотрегалозы, туранозы, мелибиозы, гентиобиозы и их смесей.
- Лиофилизированные фармацевтические композиции, содержащие соединение в соответствии с данным изобретением и дисахарид. Особенно предпочтительные дисахариды выбирают из лактозы, трегалозы, сахарозы, мальтозы, изомальтозы, целлобиозы, изосахарозы, изотрегалозы, туранозы, мелибиозы, гентиобиозы и их смесей.

Отношение активного вещества к дисахариду в вариантах настоящего изобретения определяется в соответствии с растворимостью дисахарида и, если состав является лиофилизированным, также в соответствии со способностью к лиофилизации дисахарида. Предполагается, что это соотношение активное вещество:дисахарид (масс./масс.) может составлять около 1:10 в некоторых вариантах, около 1:20 в других вариантах, около 1:50 в еще других вариантах. Предполагается, что другие варианты имеют такие соотношения в интервале от около 1:5 до около 1:500, и еще другие варианты имеют такие соотношения в

интервале от около 1:10 до около 1:500.

Композиция, содержащая соединение в соответствии с данным изобретением, может быть лиофилизирована. Композиция, содержащая соединение в соответствии с данным изобретением, обычно представлена во флаконе, который содержит определенное количество такого соединения.

Мы обнаружили, что соединения в соответствии с данным изобретением и композиции в соответствии с данным изобретением особенно эффективны при лечении рака.

Таким образом, как описано ранее, в настоящем изобретении представлен способ лечения пациента, нуждающегося в таковом, в частности, человека, пораженного раком, который включает введение пораженному индивидууму терапевтически эффективного количества соединения или композиции в соответствии с данным изобретением. В данном изобретении представлено соединение или композиция для применения в качестве лекарственного средства. В данном изобретении представлено соединение или композиция для применения при лечении рака, и более предпочтительно, рака, выбранного из рака легкого, включая немелкоклеточный рак легкого и мелкоклеточный рак легкого, рака толстой кишки, рака молочной железы, рака поджелудочной железы, саркомы, рака яичника, рака простаты и рака желудка.

Таким образом, соединения и композиции в соответствии с данным изобретением полезны для ингибирования размножения или пролиферации опухолевой клетки или раковой клетки, или для лечения рака у животного.

Соединения и композиции в соответствии с данным изобретением проявляют превосходную активность при лечении раков, таких как рак легких, включая немелкоклеточный рак легких и мелкоклеточный рак легких, рак толстой кишки, рак молочной железы, рак поджелудочной железы, саркома, рак яичников, рак предстательной железы и рак желудка. Наиболее предпочтительные раки выбирают из рака легкого, включая немелкоклеточный рак легкого и мелкоклеточный рак легкого, рака молочной железы, рака поджелудочной железы и рака прямой и ободочной кишки.

В настоящей заявке под «раком» подразумевают опухоли, новообразования и любые другие злокачественные заболевания, имеющие в качестве причины злокачественную ткань или клетки.

Термин «лечение» в данном документе, если не указано иное, означает изменение, ослабление, облегчение или ингибирование развития заболевания или состояния, к которому относится такой термин, или одного или нескольких симптомов такого расстройства или состояния. Термин «лечение» в данном документе, если не указано иное, относится к акту лечения, при этом «лечение» определено непосредственно выше.

Соединения и композиции в соответствии с данным изобретением могут вводиться животному, которое также подверглось хирургическому вмешательству в качестве лечения рака. В одном варианте данного изобретения дополнительным способом лечения является лучевая терапия.

В конкретном варианте настоящего изобретения соединение или композицию в соответствии с данным изобретением вводят одновременно с лучевой терапией. В другом конкретном варианте, лучевую терапию вводят до или после введения соединения или композиции в соответствии с данным изобретением, предпочтительно, по крайней мере, за один час, три часа, пять часов, 12 часов, день, неделя, месяц, более предпочтительно, несколько месяцев (например, до трех месяцев) до или после введения соединения или композиции в соответствии с данным изобретением.

Любой протокол лучевой терапии может быть использован в зависимости от типа рака, подлежащего лечению. Например, но не для ограничения, может быть введено рентгеновское излучение; в частности, высокоэнергетическая мегавольтная лучевая терапия (излучение мощностью более 1 MeB) может быть использована для глубоких опухолей, а электронно–лучевая и ортовольтная лучевая терапия может применяться для раков кожи. Радиоизотопы, излучающие гамма–лучи, такие как радиоактивные изотопы радия, кобальта и других элементов, также могут быть введены.

В другом варианте настоящего изобретения, предлагается набор, содержащий терапевтически эффективное количество соединения в соответствии с данным изобретением и фармацевтически приемлемый носитель.

В одном варианте осуществления набор в соответствии с этим вариантом предназначен для применения при лечении рака, и более предпочтительно, рака, выбранного из рака легких, включая немелкоклеточный рак легких и мелкоклеточный рак легких, рака толстой кишки, рака молочной железы, рака поджелудочной железы, саркомы, рака яичников, рака предстательной железы и рака желудка.

В другом варианте данного изобретения представлен способ получения соединения формулы I, IA, IB, IC, ID, IE, IF, IG, Ia, IAa, IBa, ICa, IDa, IEa, IFa, IGa, Ib, IAb, IBb, ICb, IDb, IEb, IFb или IGb или его фармацевтически приемлемой соли или сложного эфира, включающий стадию взаимодействия соединения формулы II с соединением формулы IV:

где (если позволено возможными группами заместителей):

Х является – NH – или – О – ;

 $R_2$  является  $-C(=O)R^a$  группой;

 $R_3$  является водородом или  $-OR^b$  группой;

 $R_4$  выбирают из водорода,  $-CH_2OH$ ,  $-CH_2OC(=O)R^c$  и  $-CH_2NHProt^{NH}$ ;

 $R^a$  выбирают из водорода, замещенного или незамещенного  $C_1$ – $C_{12}$  алкила, замещенного или незамещенного  $C_2$ – $C_{12}$  алкинила, замещенного или незамещенного  $C_2$ – $C_{12}$  алкинила;

 $R^b$  выбирают из замещенного или незамещенного  $C_1$ – $C_{12}$  алкила, замещенного или незамещенного  $C_2$ – $C_{12}$  алкинила и замещенного или незамещенного  $C_2$ – $C_{12}$  алкинила;

 $R^c$  выбирают из замещенного или незамещенного  $C_1$ – $C_{12}$  алкила, замещенного или незамещенного  $C_2$ – $C_{12}$  алкинила и замещенного или незамещенного  $C_2$ – $C_{12}$  алкинила; и

Prot<sup>NH</sup> является защитной группой для амино;

при условии, что если R<sub>4</sub> является водородом, то X является -O-.

Особенно предпочтительно, если  $R_4$  является  $-CH_2NHProt^{NH}$  в соединении формулы IV, способ дополнительно включает стадию снятия защиты с такой аминогруппы с получением соединения формулы I, IA, IB, IC, ID, IE, IG, Ia, IAa, IBa, ICa, IDa, IEa, IGa, Ib, IAb, IBb, ICb, IDb, IEb или IGb, rge  $R_4$  является  $-CH_2NH_2$  и  $R_1$  является циано.

В более предпочтительном варианте, способ также включает стадию замещения цианогруппы в соединении формулы IV или в соединении формулы I, IA, IB, IC, ID, IE, IG, Ia, IAa, IBa, ICa, IDa, IEa, IGa, Ib, IAb, IBb, ICb, IDb, IEb или IGb, где R<sub>4</sub> является – CH<sub>2</sub>NH<sub>2</sub> и R<sub>1</sub> является циано, гидроксигруппой с получением соединения формулы I, IA, IB, IC, ID, IE, IF, IG, Ia, IAa, IBa, ICa, IDa, IEa, IFa, IGa, Ib, IAb, IBb, ICb, IDb, IEb, IFb или IGb, где R<sub>1</sub> является OH:

Предпочтительные способы в соответствии с данным изобретением включают:

– Способ, в котором применяется соединение формулы **II**, где:

 $R_2$  является  $-C(=O)R^a$  группой, где  $R^a$  является замещенным или незамещенным  $C_1-C_{12}$  алкилом. Особенно предпочтительный  $R^a$  является замещенным или незамещенным  $C_1-C_6$  алкилом. Более предпочтительный  $R^a$  является замещенной или незамещенной алкильной группой, выбранное из метила, этила, H-пропила, изопропила и бутила, включая H-бутил, E включая H-бутил, E включая H-бутил, E метил является наиболее предпочтительной E группой.

– Способ, где соединение формулы **III** выбирают из соединения формулы **IIIa**, **IIIb** и **IIIc**:

$$R_3$$
 $R_4$ 
 $R_4$ 

где

Х выбирают из –NH- и –О-;

 $R_3$  выбирают из водорода и  $OR^b$ , где  $R^b$  является замещенным или незамещенным  $C_1 \! - \! C_{12}$  алкилом. Особенно предпочтительный  $R^b$  является замещенным или

незамещенным  $C_1$ – $C_6$  алкилом. Более предпочтительный  $R^b$  является замещенной или незамещенной алкильной группой, выбранной из метила, этила, H–пропила, изопропила и бутила, включая H–бутил, E водородом или метокси. Наиболее предпочтительный  $R^3$  является водородом;

 $R^4$  выбирают из –CH<sub>2</sub>OH и –CH<sub>2</sub>NHProt<sup>NH</sup>, где Prot<sup>NH</sup> является защитной группой для амино.

Особенно предпочтительный, соединением формулы **III** является соединение формулы **IIIa** или **IIIb.** 

– Способ, в котором применяют соединение формулы **III, IIIa** или **IIIb,** где  $R_4$  является – $CH_2OH$ .

Предпочтителен способ, в котором применяют соединение формулы  $\mathbf{IIIa}$  или  $\mathbf{IIIb}$ , где  $R_4$  такой, как определен выше.

Более предпочтителен способ, в котором применяют соединение формулы **Ша,** где  $R_4$  такой, как определен выше.

– Способ, в котором применяется соединение формулы **III**, **IIIa** или **IIIb**, где  $R_4$  является – $CH_2NHProt^{NH}$ .

Предпочтителен способ, в котором применяют соединение формулы  ${\bf IIIa}$  или  ${\bf IIIb}$  где  ${\bf R}_4$  такой, как определен выше.

Более предпочтителен способ, в котором применяют соединение формулы  ${\bf IIIb}$  где  $R_4$  такой, как определен выше.

## ПРИМЕРЫ

Соединение 1 получают, как описано в примере 20 из WO 01/87895.

Ссылочные соединения **A**, **B**, **C**, **D**, **E**, **F**, **E**T–736 и **P**M01183 получают, как описано в **WO** 03/014127 (Соединения 19, 18, 44, 43, 2, 1, 26 и 27, соответственно).

## Пример 1.

К раствору **1** (0,5 г, 0,80 ммоль) в уксусной кислоте (20 мл, 0,04 М) добавляют L-триптофанол (**2–S**) (533 мг, 3,0 ммоль, Sigma–Aldrich). Реакционную смесь перемешивают при 23°C в течение 16 ч и затем уксусную кислоту выпаривают. Добавляют водный насыщенный раствор NaHCO<sub>3</sub>, и смесь экстрагируют  $CH_2Cl_2$ . Объединенные органические слои сушат над безводным  $Na_2SO_4$ , фильтруют и концентрируют в вакууме. Флэш–хроматография (Гексан:EtOAc, 1:1) дает соединения **3–S** (616 мг, 97%) и **3а–S** (12 мг, 2%).

3-S

 $R_f$ =0,50 (Гексан:EtOAc, 1:1).

<sup>1</sup>Н ЯМР (300 МГц, CDCl<sub>3</sub>):  $\delta$   $\square$ 7,71 (c, 1H), 7,36 (дд, J=7,9, 1,0 Гц, 1H), 7,27 (дд, J=8,2, 0,9 Гц, 1H), 7,13 (ддд, J=8,3, 7,0, 1,2 Гц, 1H), 7,03 (ддд, J=8,0, 7,0, 1,0 Гц, 1H), 6,62 (с, 1H), 6,26 (д, J=1,4 Гц, 1H), 6,04 (д, J=1,3 Гц, 1H), 5,75 (с, 1H), 5,14 (дд, J=11,7, 1,2 Гц, 1H), 4,60 (с, 1H), 4,41 (с, 1H), 4,36–4,24 (м, 2H), 4,21 (д, J=2,7 Гц, 1H), 3,82 (с, 3H), 3,52 (с, 1H), 3,50–3,47 (м, 1H), 3,45 (дкв, J=8,4, 2,2 Гц, 1H), 3,35 (т, J=10,1 Гц, 1H), 3,01–2,78 (м, 5H), 2,62 (дд, J=15,3, 4,7 Гц, 1H), 2,41 (с, 1H), 2,38 (с, 3H), 2,37–2,31 (м, 1H), 2,28 (с, 3H), 2,17 (с, 3H), 2,06 (с, 3H).

ИЭР-МС m/z: 794,2 (M+H)<sup>+</sup>.

#### 3a-S

 $R_f$ =0,70 (Гексан:EtOAc, 1:1).

 $^{1}$ Н ЯМР (500 МГц, CDCl<sub>3</sub>):  $\delta$  7,83 (c, 1H), 7,38 (дт, J=7,9, 0,9 Гц, 1H), 7,25 (дт, J=8,3, 0,9 Гц, 1H), 7,11 (ддд, J=8,2, 7,1, 1,2 Гц, 1H), 7,02 (ддд, J=8,0, 7,0, 1,0 Гц, 1H), 6,62 (c, 1H), 6,24 (д, J=1,4 Гц, 1H), 6,03 (д, J=1,3 Гц, 1H), 5,79 (c, 1H), 5,13 (д, J=11,7 Гц, 1H), 4,60 (с, 1H), 4,39 (c, 1H), 4,36–4,22 (м, 3H), 4,17–4,09 (м, 1H), 3,91 (дд, J=10,5, 8,6 Гц, 1H), 3,83 (с, 3H), 3,51–3,41 (м, 2H), 3,04–2,92 (м, 3H), 2,72 (дд, J=15,1, 4,0 Гц, 1H), 2,54–2,41 (м, 2H), 2,38 (c, 3H), 2,35–2,30 (м, 1H), 2,29 (c, 3H), 2,21–2,16 (м, 1H), 2,18 (c, 3H), 2,12 (c, 3H); 2,05 (c, 3H).

 $^{13}$ C ЯМР (101 МГц, CDCl<sub>3</sub>): δ 171,2, 170,7, 168,6, 147,5, 145,8, 143,0, 141,1, 140,4, 135,6, 130,1, 129,5, 126,7, 122,2, 121,2, 120,9, 119,4, 118,4, 118,2, 118,2, 113,6, 113,5, 110,9, 110,0, 109,1, 102,1, 91,4, 67,2, 63,4, 61,3, 60,4, 59,7, 59,1, 54,8, 54,6, 47,7, 42,0, 41,6, 31,6, 24,0, 22,6, 21,0, 15,9, 14,2, 9,7.

ИЭР-МС m/z: 836,2 (M+H)<sup>+</sup>.

К раствору 3–S (616 мг, 0,77 ммоль) в  $CH_3CN:H_2O$  (1,39:1, 51 мл, 0,015 М) добавляют  $AgNO_3$  (3,40 г, 23,3 ммоль). Через 3 ч при 23°C реакционную смесь гасят смесью 1:1 насыщенных водных растворов NaCl и  $NaHCO_3$ , перемешивают в течение 15 мин, разбавляют  $CH_2Cl_2$ , перемешивают в течение 5 мин и экстрагируют  $CH_2Cl_2$ . Объединенные органические слои сушат над безводным  $Na_2SO_4$ , фильтруют и концентрируют в вакууме. Полученный остаток очищают флэш–хроматографией  $(CH_2Cl_2:CH_3OH, \text{ от } 99:1 \text{ до } 85:15)$  с получением 4–S (471 мг, 78%).

R<sub>f</sub>=0,50 (CH<sub>2</sub>Cl<sub>2</sub>:CH<sub>3</sub>OH, 9:1).

 $^{1}$ Н ЯМР (500 МГц, CDCl<sub>3</sub>):  $\delta$  7,71 (c, 1H), 7,36 (дд, J=7,8, 1,1 Гц, 1H), 7,26 (дд, J=7,8, 1,1 Гц, 1H), 7,12 (ддд, J=8,2, 7,0, 1,2 Гц, 1H), 7,03 (ддд, J=8,0, 7,1, 1,0 Гц, 1H), 6,64 (c, 1H), 6,23 (д, J=1,3 Гц, 1H), 6,01 (д, J=1,4 Гц, 1H), 5,75 (c, 1H), 5,25 (д, J=11,4 Гц, 1H), 4,92 (с, 1H), 4,52 (шс, 3H), 4,22 (дд, J=11,4, 2,2 Гц, 1H), 4,19 (с, 1H), 3,83 (с, 3H), 3,54 (шс, 2H), 3,35 (т, J=10,2 Гц, 1H), 3,26 (с, 1H), 3,01–2,93 (м, 3H), 2,88 (шс, 3H), 2,63 (дд, J=15,2, 4,8 Гц, 1H), 2,38 (с, 3H), 2,36–2,31 (м, 2H), 2,28 (с, 3H), 2,05 (с, 3H).

<sup>13</sup>C ЯМР (126 МГц, CDCl<sub>3</sub>): δ 171,9, 168,6, 147,5, 145,4, 142,9, 141,2, 140,7, 135,5, 130,4, 126,8, 122,3, 122,0, 121,3, 119,4, 118,4, 115,2, 112,8, 111,0, 110,0, 109,6, 101,8, 81,9, 76,8, 65,2, 62,8, 62,5, 60,4, 58,1, 57,9, 55,9, 55,1, 53,4, 51,6, 41,8, 41,3, 39,6, 24,1, 23,8, 20,5, 15,8, 9,7.

ИЭР-МС m/z: 767,3 (M-H<sub>2</sub>O+H)<sup>+</sup>.

(+)–HR–ИЭР–ВП–МС m/z 767,2788  $[M-H_2O+H]^+$  (Рассч. для  $C_{41}H_{43}N_4O_9S$ : 767,2745).

К раствору 3a–S (30 мг, 0,035 ммоль) в  $CH_3CN:H_2O$  (1,39:1, 2,4 мл, 0,015 М) добавляют  $AgNO_3$  (180 мг, 1,07 ммоль). Через 3 ч при  $23^{\circ}C$ , реакционную смесь гасят смесью 1:1 насыщенных водных растворов NaCl и  $NaHCO_3$ , перемешивают в течение 15 мин, разбавляют  $CH_2Cl_2$ , перемешивают в течение 5 мин и экстрагируют  $CH_2Cl_2$ . Объединенные органические слои сушат над безводным  $Na_2SO_4$ , фильтруют и концентрируют в вакууме. Полученный остаток очищают флэш–хроматографией  $(CH_2Cl_2:CH_3OH, \text{ от } 99:1 \text{ до } 85:15)$  с получением 4a–S (24 мг, 83%).

 $R_f = 0,60$  (CH<sub>2</sub>Cl<sub>2</sub>:CH<sub>3</sub>OH, 9:1).

<sup>1</sup>Н ЯМР (400 МГц, CDCl<sub>3</sub>): δ 7,81 (c, 1H), 7,37 (д, *J*=7,8 Гц, 1H), 7,30–7,21 (м, 1H), 7,06 (дддт, *J*=34,7, 8,0, 7,1, 1,1 Гц, 2H), 6,63 (c, 1H), 6,22 (д, *J*=1,3 Гц, 1H), 6,02 (дд, *J*=12,9, 1,4 Гц, 1H), 5,74 (c, 1H), 5,25–5,21 (м, 1H), 4,89 (д, *J*=8,7 Гц, 1H), 4,55–4,45 (м, 2H), 4,30–4,18 (м, 1H), 4,14 (дд, *J*=10,5, 4,2 Гц, 1H), 4,00–3,88 (м, 2H), 3,82 (c, 3H), 3,56–3,44 (м, 2H), 3,23 (д, *J*=9,0 Гц, 1H), 2,95 (д, *J*=15,7 Гц, 2H), 2,87–2,78 (м, 2H), 2,71 (дд, *J*=15,0, 3,9 Гц, 1H), 2,48 (дд, *J*=15,1, 9,6 Гц, 1H), 2,37 (c, 3H), 2,35–2,29 (м, 1H), 2,28 (c, 3H), 2,22–2,16 (м, 1H), 2,15 (c, 3H), 2,12 (c, 3H), 2,03 (c, 3H).

ИЭР-МС m/z: 809,2 (M-H<sub>2</sub>O+H)<sup>+</sup>.

### Пример 2

К раствору **1** (0,5 г, 0,80 ммоль) в уксусной кислоте (20 мл, 0,04 М) добавляют D-триптофанол (**2–R**) (533 мг, 3,0 ммоль, Sigma–Aldrich). Реакционную смесь перемешивают при 23°C в течение 16 ч, и затем уксусную кислоту выпаривают. Добавляют водный насыщенный раствор NaHCO<sub>3</sub> и смесь экстрагируют  $CH_2Cl_2$ . Объединенные органические слои сушат над безводным  $Na_2SO_4$ , фильтруют и концентрируют в вакууме. Флэш–хроматография (Гексан:EtOAc, 1:1) дает соединение **3–R** (479 мг, 75%).

 $R_f$ =0,44 (Гексан:EtOAc, 1:1).

<sup>1</sup>Н ЯМР (400 МГц, CDCl<sub>3</sub>):  $\delta$  7,61 (c, 1H), 7,39 (д, J=7,8 Гц, 1H), 7,29 (д, J=9,6 Гц, 1H), 7,12 (т, J=7,3 Гц, 1H), 7,03 (т, J=7,3 Гц, 1H), 6,60 (с, 1H), 6,25 (с, 1H), 6,03 (с, 1H), 5,75 (с, 1H), 5,04 (д, J=11,7 Гц, 1H), 4,62 (с, 1H), 4,37 (с, 1H), 4,32–4,25 (м, 1H), 4,22 (д, J=2,7 Гц, 1H), 4,19–4,09 (м, 1H), 3,82 (с, 3H), 3,77 (с, 1H), 3,64 (д, J=9,0 Гц, 1H), 3,49–3,41 (м, 2H), 3,02–2,90 (м, 2H), 2,60–2,52 (м, 2H), 2,45 (д, J=14,7 Гц, 2H), 2,40 (с, 3H), 2,28 (с, 3H), 2,22–2,14 (м, 2H), 2,18 (с, 3H), 2,10 (м, 3H).

ИЭР-МС m/z: 794,3 (M+H)<sup>+</sup>.

К раствору 3–R (479 мг, 0,60 ммоль) in CH<sub>3</sub>CN:H<sub>2</sub>O (1,39:1, 40 мл, 0,015 M) добавляют AgNO<sub>3</sub> (3,03 г, 18,1 ммоль). Через 3 ч при 23°C, реакционную смесь гасят смесью 1:1 насыщенных водных растворов NaCland NaHCO<sub>3</sub>, перемешивают в течение 15 min, разбавляют CH<sub>2</sub>Cl<sub>2</sub>, перемешивают в течение 5 min и экстрагируют CH<sub>2</sub>Cl<sub>2</sub>. Объединенные органические слои сушат над безводным Na<sub>2</sub>SO<sub>4</sub>, фильтруют и концентрируют в вакууме. Полученный остаток очищают флэш–хроматография (CH<sub>2</sub>Cl<sub>2</sub>:CH<sub>3</sub>OH, from 99:1 to 85:15) to afford 4–R (428 мг, 91%).

R<sub>f</sub>=0,45 (CH<sub>2</sub>Cl<sub>2</sub>:CH<sub>3</sub>OH, 9:1).

<sup>1</sup>Н ЯМР (400 МГц, CDCl<sub>3</sub>): δ 7,62 (c, 1H), 7,39 (д, *J*=8,1 Гц, 1H), 7,28 (д, *J*=8,1 Гц, 1H), 7,11 (ддд, *J*=8,2, 7,0, 1,2 Гц, 1H), 7,02 (ддд, *J*=7,9, 7,1, 1,0 Гц, 1H), 6,61 (c, 1H), 6,22 (д,

J=1,3  $\Gamma$ ц, 1H), 5,99 (д, J=1,3  $\Gamma$ ц, 1H), 5,73 (с, 1H), 5,17 (дд, J=11,5, 1,2  $\Gamma$ ц, 1H), 4,86 (с, 1H), 4,56–4,47 (м, 2H), 4,17 (дд, J=5,1, 1,6  $\Gamma$ ц, 1H), 4,08 (дд, J=11,5, 2,1  $\Gamma$ ц, 1H), 3,81 (с, 3H), 3,78 (д, J=3,8  $\Gamma$ ц, 1H), 3,64 (дд, J=10,8, 3,8  $\Gamma$ ц, 2H), 3,51 (д, J=5,1  $\Gamma$ ц, 1H), 3,48–3,43 (м, 2H), 3,24 (д, J=8,6  $\Gamma$ ц, 1H), 3,00–2,80 (м, 2H), 2,57 (с, 1H), 2,55–2,43 (м, 1H), 2,40 (с, 3H), 2,27 (с, 3H), 2,19–2,12 (м, 1H), 2,16 (с, 3H), 2,08 (с, 3H).

<sup>13</sup>C ЯМР (101 МГц, CDCl<sub>3</sub>): δ 171,8, 168,6, 147,6, 145,4, 143,0, 141,3, 140,7, 136,0, 131,1, 130,0, 129,6, 126,6, 122,1, 121,6, 121,2, 119,4, 118,4, 115,6, 112,9, 111,1, 110,6, 101,8, 81,7, 65,8, 62,7, 61,8, 60,4, 60,3, 57,9, 57,8, 56,1, 55,0, 52,1, 42,2, 41,3, 41,1, 23,8, 23,4, 20,5, 15,7, 9,8.

ИЭР-МС m/z: 767,6 (M-H<sub>2</sub>O+H)<sup>+</sup>.

(+)–HR–ИЭР–ВП–МС m/z: 767,2799  $[M-H_2O+H]^+$  (Рассч. для  $C_{41}H_{43}N_4O_9S$ : 767,2745).

**Пример 3.** Синтез аллил N–[(R)–(2–амино–3–(1H–индол–3–ил)пропил)]карбамата (9– $\mathbf{R}$ )

К раствору D-триптофанола (**2–R**) (2,0 г, 10,4 ммоль) в CH<sub>3</sub>CN (42 мл, 4 мл/ммоль) добавляют ди-*трет*-бутил дикарбонат (4,6 г, 20,8 ммоль). Реакционную смесь перемешивают при 23°C в течение 3 ч и концентрируют в вакууме. Флэш-хроматография (CH<sub>2</sub>Cl<sub>2</sub>:CH<sub>3</sub>OH от 99:1 до 85:15) дает **5–R** (2,2 г, 73%).

R<sub>f</sub>=0,5 (CH<sub>2</sub>Cl<sub>2</sub>:CH<sub>3</sub>OH, 9:1).

<sup>1</sup>Н ЯМР (400 МГц, CDCl<sub>3</sub>):  $\delta$  8,13 (c, 1H), 7,67 (дд, J=7,8, 1,1 Гц, 1H), 7,38 (дд, J=8,1, 1,3 Гц, 1H), 7,29–7,10 (м, 2H), 7,06 (c, 1H), 4,82 (c, 1H), 4,00 (c, 1H), 3,71 (дд, J=11,0, 3,8 Гц, 1H), 3,62 (дд, J=11,0, 5,5 Гц, 1H), 3,01 (д, J=6,7 Гц, 2H), 2,14 (c, 1H), 1,44 (c, 9H).

К раствору 5–R (2,4 г, 8,2 ммоль) в  $CH_2Cl_2$  (50 мл, 6 мл/ммоль) добавляют фталимид (2,7 г, 18,2 ммоль), трифенилфосфин (4,8 г, 18,2 ммоль) и смесь охлаждают при 0°. Добавляют раствор диэтилазодикарбоксилата в  $CH_2Cl_2$  (25 мл, 3 мл/ммоль) в течение 15 мин. Реакционную смесь перемешивают при 23°C в течение 16 ч, концентрируют в вакууме. Полученный остаток очищают флэш–хроматографией ( $CH_2Cl_2:CH_3OH$ , от 99:1 до 85:15) с получением **6–R** (3,3 г, 96%).

 $R_f = 0.7 (CH_2Cl_2:CH_3OH, 9:1).$ 

 $^{1}$ Н ЯМР (400 МГц, CDCl<sub>3</sub>): δ 8,50 (c, 1H), 7,81 (дд, J=5,5, 3,1 Гц, 2H), 7,66 (дд, J=5,6, 3,2 Гц, 2H), 7,60 (д, J=7,8 Гц, 1H), 7,35 (д, J=8,0 Гц, 1H), 7,19–7,04 (м, 3H), 4,81 (c, 1H), 4,40 (c, 1H), 3,83 (дд, J=13,9, 3,7 Гц, 1H), 3,72 (дд, J=13,9, 9,9 Гц, 1H), 3,08–3,01 (м, 2H), 1,23 (c, 9H).

К раствору **6–R** (3,25 г, 7,74 ммоль) в этаноле (231 мл, 30 мл/ммоль) добавляют моногидрат гидразина (37 мл, 774 ммоль). Реакционную смесь перемешивают при  $80^{\circ}$ С в герметично закрытой пробирке в течение 2,25 ч, концентрируют в вакууме. Флэш–хроматография (EtOAc:CH<sub>3</sub>OH, от 100:1 до 50:50) дает 7–**R** (2,15 г, 96%).

R<sub>f</sub>=0,2 (EtOAc:CH<sub>3</sub>OH, 6:4).

<sup>1</sup>Н ЯМР (400 МГц, CD<sub>3</sub>OD): δ 7,60 (д, *J*=7,9 Гц, 1H), 7,33 (д, *J*=8,1 Гц, 1H), 7,13–7,04 (м, 2H), 7,05–6,96 (м, 1H), 4,02–3,94 (м, 1H), 2,99–2,87 (м, 3H), 2,78 (дд, *J*=13,1, 9,7 Гц, 1H), 1,39 (с, 9H).

ИЭР-MC m/z: 290,2 (M+H)<sup>+</sup>.

К раствору 7–R (2,15 г, 7,4 ммоль) в  $CH_3CN$  (74 мл, 10 мл/ммоль) и ДМФ (7,4 мл, 1 мл/ммоль) добавляют N, N–диизопропилэтиламин (1,06 мл, 5,9 ммоль) и аллил хлорформиат (7,9 мл, 74 ммоль). Реакционную смесь перемешивают при 23°C в течение 16 ч. Смесь разбавляют EtOAc,  $NH_4Cl$  добавляют и смесь экстрагируют EtOAc. Объединенные органические слои сушат над безводным  $Na_2SO_4$ , фильтруют и

концентрируют в вакууме. Полученный остаток очищают флэш–хроматографией (Гексан:EtOAc, от 100:1 до 1:100) с получением **8–R** (1,69 г, 61%).

 $R_f$ =0,4 (Гексан:EtOAc, 1:1).

 $^{1}$ Н ЯМР (400 МГц, CDCl<sub>3</sub>):  $\delta$  8,25 (c, 1H), 7,62 (д, J=7,8 Гц, 1H), 7,35 (дд, J=8,1, 0,9 Гц, 1H), 7,16 (дддд, J=27,8, 8,0, 7,0, 1,1 Гц, 2H), 7,04 (д, J=2,4 Гц, 1H), 5,90 (ддт, J=17,3, 10,7, 5,6 Гц, 1H), 5,34–5,22 (м, 1H), 5,20 (дт, J=10,5, 1,4 Гц, 1H), 5,12 (с, 1H), 4,82 (с, 1H), 4,55 (дкв, J=5,4, 1,7 Гц, 2H), 4,02 (с, 1H), 3,35 (дт, J=10,0, 4,7 Гц, 1H), 3,21 (с, 1H), 2,95 (ддд, J=21,6, 15,4, 9,1 Гц, 2H), 1,42 (с, 9H).

ИЭР-МС m/z: 274,3 (M-Boc+H)<sup>+</sup>.

К раствору **8–R** (1,30 г, 3,50 ммоль) в  $CH_2Cl_2$  (58 мл, 16,6 мл/ммоль) добавляют трифторуксусную кислоту (30 мл, 8,3 мл/ммоль). Реакционную смесь перемешивают при 23°C в течение 1,5 ч, концентрируют в вакууме с получением неочищенного **9–R**, который применяют на следующих стадиях без дальнейшей очистки.

R<sub>f</sub>=0,2 (CH<sub>2</sub>Cl<sub>2</sub>:CH<sub>3</sub>OH, 9:1).

<sup>1</sup>Н ЯМР (400 МГц, CDCl<sub>3</sub>):  $\delta$  7,95 (c, 1H), 7,53 (д, J=7,8 Гц, 1H), 7,36 (д, J=8,1 Гц, 1H), 7,17 (c, 1H), 7,09 (т, J=7,5 Гц, 1H), 7,03 (т, J=7,5 Гц, 1H), 5,87 (ддт, J=16,4, 10,8, 5,6 Гц, 1H), 5,34–5,13 (м, 2H), 4,50 (д, J=5,5 Гц, 2H), 3,62 (шс, 1H), 3,42 (дд, J=14,9, 3,9 Гц, 1H), 3,36–3,20 (м, 1H), 3,11–3,00 (м, 2H).

ИЭР-MC m/z: 274,3 (M+H)<sup>+</sup>.

**Пример 4.** Синтез аллил N–[(S)–(2–амино–3–(1H–индол–3–ил)пропил)]карбамата (9–S)

К раствору L-триптофанола (2-S) (2,0 г, 10,4 ммоль) в CH<sub>3</sub>CN (42 мл, 4 мл/ммоль)

добавляют ди-*трет*-бутилдикарбонат (4,6 г, 20,8 ммоль). Реакционную смесь перемешивают при 23°C в течение 3 ч, концентрируют в вакууме. Флэш-хроматография ( $CH_2Cl_2:CH_3OH$ , от 99:1 до 85:15) дает 5–S (2,24 г, 73%).

R<sub>f</sub>=0,5 (CH<sub>2</sub>Cl<sub>2</sub>:CH<sub>3</sub>OH, 9:1).

<sup>1</sup>Н ЯМР (400 МГц, CDCl<sub>3</sub>):  $\delta$  8,10 (c, 1H), 7,65 (дд, J=7,8, 1,1 Гц, 1H), 7,37 (дд, J=8,1, 1,3 Гц, 1H), 7,23–7,11 (м, 2H), 7,06 (c, 1H), 4,81 (c, 1H), 3,99 (c, 1H), 3,70 (дд, J=11,0, 3,8 Гц, 1H), 3,61 (дд, J=11,0, 5,5 Гц, 1H), 3,00 (д, J=6,7 Гц, 2H), 2,01 (c, 1H), 1,42 (c, 9H).

К раствору 5–S (1,2 г, 4,13 ммоль) в  $CH_2Cl_2$  (24,8 мл, 6 мл/ммоль) добавляют фталимид (1,33 г, 9,1 ммоль), трифенилфосфин (2,4 г, 9,1 ммоль) и смесь охлаждают при 0°С. Добавляют раствор диэтилазодикарбоксилата (3 мл, 10,32 ммоль) в  $CH_2Cl_2$  (12,4 мл, 3 мл/ммоль) в течение 15 мин. Реакционную смесь перемешивают при 23°С в течение 16 ч, концентрируют в вакууме. Полученный остаток очищают флэш–хроматографией ( $CH_2Cl_2:CH_3OH$ , от 99:1 до 85:15) с получением **6–S** (2,8 г, >100%).

R<sub>f</sub>=0,7 (CH<sub>2</sub>Cl<sub>2</sub>:CH<sub>3</sub>OH, 9:1).

<sup>1</sup>Н ЯМР (400 МГц, CDCl<sub>3</sub>):  $\delta$  8,49 (c, 1H), 7,80 (дд, J=5,4, 3,1 Гц, 2H), 7,66 (дд, J=5,6, 3,2 Гц, 2H), 7,60 (д, J=7,8 Гц, 1H), 7,34 (д, J=8,0 Гц, 1H), 7,21–7,04 (м, 3H), 4,74 (c, 1H), 4,42 (c, 1H), 3,83 (дд, J=13,9, 3,7 Гц, 1H), 3,72 (дд, J=13,9, 9,9 Гц, 1H), 3,10–3,01 (м, 2H), 1,23 (c, 9H).

К раствору **6–S** (0,86 г, 2,07 ммоль) в этаноле (72 мл, 36 мл/ммоль) добавляют моногидрат гидразина (10 мл, 207 ммоль). Реакционную смесь перемешивают при  $80^{\circ}$ С в герметично закрытой пробирке в течение 2,25 ч, концентрируют в вакууме. Флэш–хроматография (EtOAc:CH<sub>3</sub>OH, от 100:1 до 50:50) дает 7–S (1,0 г, 84%).

R<sub>f</sub>=0,2 (EtOAc:CH<sub>3</sub>OH, 6:4).

 $^{1}$ Н ЯМР (400 МГц, CD<sub>3</sub>OD):  $\delta$  7,61 (д, J=7,9 Гц, 1H), 7,35 (д, J=8,1 Гц, 1H), 7,13–6,97 (м, 2H), 7,09 (с, 1H), 4,06–3,96 (м, 1H), 3,01–2,76 (м, 4H), 1,38 (с, 9H).

ИЭР-МС m/z: 290,3 (M+H)<sup>+</sup>.

К раствору 7-S (0,95 г, 3,3 ммоль) в CH<sub>3</sub>CN(33 мл, 10 мл/ммоль) и ДМФ (3,3 мл, 1 мл/ммоль) добавляют N, N-диизопропилэтиламин (0,5 мл, 2,6 ммоль) и аллилхлорформиат (3,5 мл, 33 ммоль). Реакционную смесь перемешивают при 23°C в течение 20 ч. Смесь разбавляют EtOAc, добавляют NH<sub>4</sub>Cl и смесь экстрагируют EtOAc. Объединенные органические слои сушат над безводным Na<sub>2</sub>SO<sub>4</sub>, фильтруют и концентрируют в вакууме. Полученный остаток очищают флэш-хроматографией (Гексан: EtOAc, от 100:1 до 1:100) с получением 8–S (0,88 г, 73%).

 $R_f$ =0,5 (Гексан:EtOAc, 1:1).

¹Н ЯМР (400 МГц, CDCl<sub>3</sub>): δ 8,17 (с, 1H), 7,63 (д, *J*=7,8 Гц, 1H), 7,20 (дд, *J*=8,1, 0,9  $\Gamma$ ц, 1H), 7,13 (дддд, J=27,8, 8,0, 7,0, 1,1  $\Gamma$ ц, 2H), 7,06 (д, J=2,4  $\Gamma$ ц, 1H), 5,90 (ддт, J=17,3, 10,7, 5,6 Гц, 1H), 5,31-5,18 (м, 2H), 5,09 (с, 1H), 4,80 (с, 1H), 4,59-4,52 (м, 2H), 4,03 (с, 1H), 3,37 (дт, J=10,0,4,7 Гц, 1H), 3,21 (с, 1H), 3,05-2,87 (м, 2H), 1,42 (с, 9H).

ИЭР-МС m/z: 274,3 (M-Boc+H)<sup>+</sup>.

К раствору 8-S (0,875 г, 2,3 ммоль) в CH<sub>2</sub>Cl<sub>2</sub> (38 мл, 16,6 мл/ммоль) добавляют трифторуксусную кислоту (19 мл, 8,3 мл/ммоль). Реакционную смесь перемешивают при 23°C в течение 2 ч, концентрируют в вакууме с получением неочищенного 9-S, который применяют на следующей стадии без дальнейшей очистки.

R<sub>f</sub>=0,2 (CH<sub>2</sub>Cl<sub>2</sub>:CH<sub>3</sub>OH, 9:1).

 $^{1}$ Н ЯМР (400 МГц, CD<sub>3</sub>OD):  $\delta$  7,56 (д, J=7,8 Гц, 1H), 7,37 (д, J=8,1 Гц, 1H), 7,21 (с, 1Н), 7,13 (т, Ј=7,5 Гц, 1Н), 7,05 (т, Ј=7,5 Гц, 1Н), 5,94 (ддт, Ј=16,4, 10,8, 5,6 Гц, 1Н), 5,34-5,16 (м, 2H), 4,56 (д, *J*=5,5 Гц, 2H), 3,60 (шс, 1H), 3,43 (дд, *J*=14,9, 3,9 Гц, 1H), 3,37–3,31 (м, 1H), 3,14–2,99 (M, 2H).

ИЭР-МС m/z: 274,3 (M+H)<sup>+</sup>.

### Пример 5

К раствору 1 (1,45 г, 2,33 ммоль) в уксусной кислоте (58 мл, 0,08 М) добавляют 9-

**R** (0,95 г, 3,50 ммоль). Реакционную смесь перемешивают при 50°C в течение 18 ч, и затем уксусную кислоту выпаривают. Добавляют водный насыщенный раствор NaHCO<sub>3</sub>, и смесь экстрагируют  $CH_2Cl_2$ . Объединенные органические слои сушат над безводным  $Na_2SO_4$ . Флэш–хроматография (Гексан:EtOAc, 1:1) дает соединение **10–R** (1,3 г, 64%).

 $R_f$ =0,5 (Гексан:EtOAc, 1:1).

<sup>1</sup>Н ЯМР (400 МГц, CDCl<sub>3</sub>):  $\delta$  7,66 (c, 1H), 7,36 (д, J=7,9 Гц, 1H), 7,27 (д, J=7,9 Гц, 1H), 7,10 (ддд, J=8,3, 7,0, 1,3 Гц, 1H), 7,01 (тд, J=7,5, 7,0, 1,0 Гц, 1H), 6,62 (c, 1H), 6,23 (д, J=1,4 Гц, 1H), 6,01 (д, J=1,4 Гц, 1H), 5,99–5,89 (м, 1H), 5,79 (c, 1H), 5,44–5,21 (м, 2H), 5,14–4,99 (м, 2H), 4,63 (ддд, J=7,3, 4,4, 1,5 Гц, 2H), 4,36 (с, 1H), 4,33–4,24 (м, 1H), 4,29–4,26 (м, 1H), 4,21 (д, J=2,7 Гц, 1H), 4,19–4,13 (м, 3H), 3,80 (с, 3H), 3,56 (с, 1H), 3,48–3,43 (м, 3H), 3,27 (дт, J=13,2, 4,0 Гц, 1H), 3,04–2,88 (м, 2H), 2,56 (дд, J=15,2, 3,8 Гц, 1H), 2,49–2,35 (м, 2H), 2,31 (с, 3H), 2,28 (с, 3H), 2,17 (с, 3H), 2,07 (с, 3H).

ИЭР-МС m/z: 877,3 (M+H)<sup>+</sup>.

К раствору **10–R** (600 мг, 0,68 ммоль) в  $CH_2Cl_2$  (12 мл, 18 мл/ммоль) добавляют дихлорид бис(трифенилфосфин)палладия(II) (77 мг, 0,1 ммоль) и уксусную кислоту (0,4 мл, 6,8 ммоль). Добавляют гидрид трибутилолова (1,1 мл, 4,08 ммоль) при 0°С, реакционную смесь перемешивают при 0°С в течение 0,5 ч и концентрируют в вакууме. Неочищенный продукт разбавляют EtOAc, добавляют насыщенный водный раствор  $NH_4Cl$ , и смесь экстрагируют EtOAc. Объединенные органические слои сушат над безводным  $Na_2SO_4$ , фильтруют и концентрируют в вакууме. Флэш–хроматография (Гексан:EtOAc, от 100:1 до 1:100 и EtOAc: $CH_3OH$ , от 100:1 до 1:100) дает **11–R** (440 мг, 82%).

 $R_f=0.5$  (CH<sub>2</sub>Cl<sub>2</sub>:CH<sub>3</sub>OH, 1:1).

<sup>1</sup>Н ЯМР (400 МГц, CDCl<sub>3</sub>):  $\delta$  7,64 (c, 1H), 7,38 (д, J=7,9 Гц, 1H), 7,29 (д, J=8,1 Гц, 1H), 7,11 (ддт, J=8,3, 7,0, 1,4 Гц, 1H), 7,03 (ддт, J=8,3, 7,0, 1,4 Гц, 1H), 6,58 (c, 1H), 6,24 (д, J=1,5 Гц, 1H), 6,02 (д, J=1,5 Гц, 1H), 5,02 (д, J=11,8 Гц, 1H), 4,63 (c, 1H), 4,36 (c, 1H), 4,28 (д, J=5,1 Гц, 1H), 4,21 (д, J=2,2 Гц, 1H), 4,16 (c, 1H), 3,80 (c, 3H), 3,51–3,39 (м, 4H), 3,32–3,13 (м, 3H), 2,95 (д, J=8,9 Гц, 2H), 2,89–2,76 (м, 2H), 2,73–2,57 (м, 1H), 2,42 (д, J=14,8 Гц, 1H), 2,36 (c, 3H), 2,25 (c, 3H), 2,16 (c,3H), 2,09 (c, 3H).

ИЭР-МС m/z: 793,2 (M+H)<sup>+</sup>.

C)

$$NH_2$$
 $NH_2$ 
 $NH_$ 

К раствору 11–R (850 мг, 1,07 ммоль) in  $CH_3CN:H_2O$  (1,39:1, 70 мл, 0,015 M) добавляют  $AgNO_3$  (3,64 г, 21,4 ммоль). After 17 h at 23 °C, the reaction was quenched with a mixture 1:1 насыщенных водных растворов NaCland NaHCO<sub>3</sub>, перемешивают в течение 15 min, разбавляют  $CH_2Cl_2$ , перемешивают в течение 5 min и экстрагируют  $CH_2Cl_2$ . Объединенные органические слои сушат над безводным  $Na_2SO_4$ , фильтруют и концентрируют в вакууме. Полученный остаток очищают флэш–хроматография  $(CH_2Cl_2:CH_3OH, from 99:1 to 85:15)$  с получением 12–R (553 мг, 66%).

R<sub>f</sub>=0,3 (CH<sub>2</sub>Cl<sub>2</sub>:CH<sub>3</sub>OH, 9:1).

<sup>1</sup>Н ЯМР (500 МГц, CDCl<sub>3</sub>):  $\delta$  7,60 (c, 1H), 7,38 (д, J=7,9 Гц, 1H), 7,28 (д, J=7,9 Гц, 1H), 7,11 (ддт, J=8,3, 7,1, 1,2 Гц, 1H), 7,02 (ддт, J=8,3, 7,1, 1,2 Гц, 1H), 6,58 (c, 1H), 6,22 (c, 1H), 6,00 (c, 1H), 5,16 (д, J=11,5 Гц, 1H), 4,87 (c, 1H), 4,54 (c, 1H), 4,51 (д, J=3,3 Гц, 1H), 4,17 (д, J=5,4 Гц, 1H), 4,07 (дд, J=11,3, 2,2 Гц, 1H), 3,81 (c, 3H), 3,52 (д, J=5,1 Гц, 1H), 3,24 (д, J=8,8 Гц, 2H), 2,99–2,78 (м, 4H), 2,66 (дд, J=14,9, 3,5 Гц, 1H), 2,49–2,39 (м, 2H), 2,38 (с, 3H), 2,28 (м, 2H), 2,25 (c, 3H), 2,21–2,16 (м, 2H), 2,15 (c, 3H), 2,08 (c, 3H).

<sup>13</sup>C ЯМР (101 МГц, CD<sub>3</sub>OD): δ 171,7, 169,4, 148,7, 145,9, 143,7, 141,4, 140,9, 136,9, 130,8, 130,0, 129,7, 126,0, 121,4, 121,0, 119,7, 119,1, 118,4, 117,5, 114,9, 110,8, 107,5, 106,4, 102,1, 91,3, 63,2, 60,0, 59,0, 58,6, 55,3, 54,6, 52,7, 52,4, 48,4, 45,8, 42,5, 40,2, 24,5, 23,2, 19,2, 15,0, 8,2.

ИЭР-МС m/z: 766,2 (M-H<sub>2</sub>O+H)<sup>+</sup>.

(+)–HR–ИЭР–ВП–МС m/z: 766,2972  $[M-H_2O+H]^+$  (Рассч. для  $C_{41}H_{44}N_5O_8S^+$ : 766,2905).

К раствору **10–R** (700 мг, 0,8 ммоль) in  $CH_3CN:H_2O$  (1,39:1, 87,5 мл, 0,015 М) добавляют  $AgNO_3$  (2,66 г, 16 ммоль). After 20 h at 23 °C, реакционную смесь гасят смесью 1:1 насыщенных водных растворов NaCland NaHCO<sub>3</sub>, перемешивают в течение 15 min, разбавляют  $CH_2Cl_2$ , перемешивают в течение 5 min и экстрагируют  $CH_2Cl_2$ . Объединенные органические слои сушат над безводным  $Na_2SO_4$ , фильтруют и

концентрируют в вакууме. Полученный остаток очищают флэш-хроматография (CH<sub>2</sub>Cl<sub>2</sub>: CH<sub>3</sub>OH, from 99:1 to 85:15) с получением **13–R** (438 мг, 63%).

Rf=0,40 (CH<sub>2</sub>Cl<sub>2</sub>:CH<sub>3</sub>OH, 9:1).

 $^{1}$ Н ЯМР (400 МГц, CDCl<sub>3</sub>):  $\delta$  7,64 (c, 1H), 7,37 (д, J=7,9 Гц, 1H), 7,32–7,20 (м, 1H), 7,11 ( $\tau$ , J=7,7  $\Gamma$  $\mu$ , 1H), 7,01 ( $\tau$ , J=7,4  $\Gamma$  $\mu$ , 1H), 6,62 ( $\tau$ , 1H), 6,21 ( $\tau$ , 1H), 6,05–5,90 ( $\tau$ , 1H), 5,99 (c, 1H), 5,75 (д, J=6,0 Гц, 1H), 5,40-5,07 (м, 4H), 4,88 (д, J=14,7 Гц, 1H), 4,68-4,50 (м, 3H), 4,28–4,13 (м, 1H), 4,08 (дт, J=11,4, 2,4 Гц, 1H), 3,83 (с, 3H), 3,68–3,40 (м, 4H), 3,37– 3,19 (M, 2H), 2,98–2,79 (M, 2H), 2,59–2,36 (M, 3H), 2,29 (c, 3H), 2,27 (c, 3H), 2,14 (c, 3H), 2,10-2,16 (M, 1H), 2,08 (C, 3H).

ИЭР-МС m/z: 850,3 (M-H<sub>2</sub>O+H)<sup>+</sup>.

# Пример 6

К раствору 1 (955 мг, 1,5 ммоль) в уксусной кислоте (37,5 мл, 0,08 М) добавляют 9-S (627 мг, 2,29 ммоль). Реакционную смесь перемешивают при 50°C в течение 18 ч и затем уксусную кислоту выпаривают. Добавляют водный насыщенный раствор NaHCO3, и смесь экстрагируют CH<sub>2</sub>Cl<sub>2</sub>. Объединенные органические слои сушат над безводным Na<sub>2</sub>SO<sub>4</sub>. Флэш-хроматография (Гексан: EtOAc, 1:1) дает соединение **10–S** (756 мг, 58%).

 $R_f=0,4$  (Гексан:EtOAc, 1:1).

 $^{1}$ Н ЯМР (400 МГц, CDCl<sub>3</sub>):  $\delta$  7,78 (c, 1H), 7,36 (д, J=7,9 Гц, 1H), 7,24 (д, J=7,9 Гц, 1H), 7,10 (ддд, *J*=8,3, 7,0, 1,3 Гц, 1H), 7,01 (тд, *J*=7,5, 7,0, 1,0 Гц, 1H), 6,68 (с, 1H), 6,23 (д, J=1,4  $\Gamma$ ц, 1H), 6,01 (д, J=1,4  $\Gamma$ ц, 1H), 6,07–5,93 (м, 1H), 5,82 (с, 1H), 5,41–5,19 (м, 2H), 5,1  $(д, J=11,7 \Gamma ц, 1H), 4,66 (дт, J=5,9, 1,3 \Gamma ц, 1H), 4,57 (c, 1H), 4,37 (c, 1H), 4,33-4,20 (м, 3H),$ 3,81 (c, 3H), 3,46 (д, J=4,2  $\Gamma$ ц, 2H), 3,22–3,13 (м, 1H), 3,11–2,88 (м, 4H), 2,66 (дд, J=15,2, 4,2  $\Gamma$ ц, 1H), 2,51 (дд, J=15,3, 6,0  $\Gamma$ ц, 1H), 2,43–2,32 (м, 2H), 2,31 (с, 3H), 2,26 (с, 3H), 2,19 (с, 3H), 2,04 (c, 3H).

ИЭР-МС m/z: 877,3 (M+H)<sup>+</sup>.

К раствору 10-S (650 мг, 0,72 ммоль) в CH<sub>2</sub>Cl<sub>2</sub> (13,3 мл, 18 мл/ммоль) добавляют

дихлорид бис(трифенилфосфин)палладия(II) (83 мг, 0,11 ммоль) и уксусную кислоту (0,42 мл, 7,4 ммоль). Добавляют гидрид трибутилолова (1,2 мл, 4,4 ммоль) при 0°С, реакционную смесь перемешивают при 23°С в течение 0,5 ч и концентрируют в вакууме. Флэш–хроматография (Гексан: EtOAc, от 100:1 до 1:100 и EtOAc:  $CH_3OH$ , от 100:1 до 1:100) дает **11–S** (445 мг, 78%).

 $R_f=0.5$  (CH<sub>2</sub>Cl<sub>2</sub>:CH<sub>3</sub>OH, 1:1).

<sup>1</sup>Н ЯМР (400 МГц, CDCl<sub>3</sub>):  $\delta$  7,74 (c, 1H), 7,36 (д, J=7,9 Гц, 1H), 7,26 (д, J=8,1 Гц, 1H), 7,12 (ддт, J=8,3, 7,0, 1,4 Гц, 1H), 7,02 (ддт, J=8,3, 7,0, 1,4 Гц, 1H), 6,62 (c, 1H), 6,26 (д, J=1,5 Гц, 1H), 6,04 (д, J=1,5 Гц, 1H), 5,12 (д, J=11,8 Гц, 1H), 4,59 (c, 1H), 4,42 (c, 1H), 4,36–4,17 (м, 3H), 3,81 (c, 3H), 3,51–3,39 (м, 3H), 2,98–2,75 (м, 4H), 2,69–2,60 (м, 2H), 2,47 (д, J=16,1 Гц, 1H), 2,38 (c, 3H), 2,35–2,17 (м, 2H), 2,28 (c, 3H), 2,13 (c,3H), 2,04 (c, 3H).

ИЭР-МС m/z: 793,3 (M+H)<sup>+</sup>.

C)

$$NH_2$$
 $NH_2$ 
 $NH_$ 

К раствору **11–S** (435 мг, 0,55 ммоль) в CH<sub>3</sub>CN:H<sub>2</sub>O (1,39:1, 38,5 мл, 0,015 М) добавляют AgNO<sub>3</sub> (1,84 г, 11 ммоль). Через 24 ч при 23°C реакцию гасят смесью 1:1 насыщенных водных растворов NaCl и NaHCO<sub>3</sub>, перемешивают в течение 15 мин, разбавляют CH<sub>2</sub>Cl<sub>2</sub>, перемешивают в течение 5 мин и экстрагируют CH<sub>2</sub>Cl<sub>2</sub>. Объединенные органические слои сушат над безводным Na<sub>2</sub>SO<sub>4</sub>, фильтруют и концентрируют в вакууме. Полученный остаток очищают флэш–хроматографией (CH<sub>2</sub>Cl<sub>2</sub>:CH<sub>3</sub>OH, от 99:1 до 85:15) с получением **12–S** (152 мг, 35%).

R<sub>f</sub>=0,2 (CH<sub>2</sub>Cl<sub>2</sub>:CH<sub>3</sub>OH, 9:1).

<sup>1</sup>Н ЯМР (500 МГц, CD<sub>3</sub>OD):  $\delta$  7,34 (дд, J=7,7, 1,5 Гц, 1H), 7,28 (дд, J=7,7, 1,5 Гц, 1H), 7,04 (ддт, J=8,2, 7,0, 1,1 Гц, 1H), 6,95 (ддт, J=8,2, 7,0, 1,2 Гц, 1H), 6,55 (с, 1H), 6,31–6,25 (м, 1H), 6,15–6,05 (м, 1H), 5,31 (д, J=11,4 Гц, 1H), 4,91 (с, 1H), 4,64 (с, 1H), 4,40–4,19 (м, 3H), 3,76 (с, 3H), 3,64 (д, J=5,2 Гц, 1H), 3,44 (д, J=9,0 Гц, 1H), 3,03–2,85 (м, 4H), 2,85–2,65 (м, 2H), 2,59 (д, J=15,6 Гц, 1H), 2,52–2,39 (м, 2H), 2,37 (с, 3H), 2,27 (с, 3H), 2,09 (с, 3H), 2,00 (с, 3H).

<sup>13</sup>C ЯМР (126 МГц, CD<sub>3</sub>OD): δ 171,4, 169,3, 148,6, 145,8, 143,5, 141,2, 140,8, 136,5, 131,2, 130,3, 129,5, 126,3, 121,6, 121,2, 119,8, 119,4, 118,6, 117,5, 114,9, 111,0, 107,5, 107,4, 102,2, 91,1, 63,5, 60,5, 59,2, 58,5, 55,3, 54,7, 53,4, 52,7, 48,6, 44,7, 42,7, 39,9, 24,3, 23,4, 19,2, 15,1, 8,2.

ИЭР-МС m/z: 766,2 (M-H<sub>2</sub>O+H)<sup>+</sup>.

(+)–HR–ИЭР–ВП–МС m/z: 766,2958  $[M-H_2O+H]^+$  (Рассч. для  $C_{41}H_{44}N_5O_8S$ : 766,2905).

К раствору **10–S** (5 мг, 0,006 ммоль) в CH<sub>3</sub>CN:H<sub>2</sub>O (1,39:1, 0,5 мл, 0,015 М) добавляют AgNO<sub>3</sub> (29 мг, 0,17 ммоль). Через 20 ч при 23°C реакционную смесь гасят смесью 1:1 насыщенных водных растворов NaCl и NaHCO<sub>3</sub>, перемешивают в течение 15 мин, разбавляют CH<sub>2</sub>Cl<sub>2</sub>, перемешивают в течение 5 мин и экстрагируют CH<sub>2</sub>Cl<sub>2</sub>. Объединенные органические слои сушат над безводным Na<sub>2</sub>SO<sub>4</sub>, фильтруют и концентрируют в вакууме. Полученный остаток очищают флэш–хроматографией (CH<sub>2</sub>Cl<sub>2</sub>:CH<sub>3</sub>OH, от 99:1 до 85:15) с получением **13–S** (5 мг, 100%).

R<sub>f</sub>=0,40 (CH<sub>2</sub>Cl<sub>2</sub>:CH<sub>3</sub>OH, 9:1).

 $^{1}$ Н ЯМР (400 МГц, CDCl<sub>3</sub>):  $\delta$  7,75 (c, 1H), 7,37 (д, J=7,9 Гц, 1H), 7,32–7,20 (м, 1H), 7,12 (т, J=7,7 Гц, 1H), 7,02 (т, J=7,4 Гц, 1H), 6,84 (с, 1H), 6,24 (с, 1H), 6,08–5,97 (м, 1H), 6,01 (с, 1H), 5,87 (с, 1H), 5,42–5,19 (м, 4H), 4,88 (с, 1H), 4,69–4,65 (м, 2H), 4,58 (с, 1H), 4,28–4,13 (м, 2H), 3,84 (с, 3H), 3,68–3,40 (м, 2H), 3,24–3,15 (м, 2H), 3,08–2,90 (м, 2H), 2,73–2,57 (м, 2H), 2,53–2,37 (м, 3H), 2,34 (с, 3H), 2,25 (с, 3H), 2,14 (с, 3H), 2,10–2,16 (м, 1H), 2,03 (с, 3H).

ИЭР-МС m/z: 850,3 (M-H<sub>2</sub>O+H)<sup>+</sup>.

**Пример** 7. Синтез ссылочных соединений 14–S и 15–S

A) 
$$\begin{array}{c} & & & & & & \\ & & & & \\ & & & & \\ & & & \\ & & & \\ & & & \\ & & & \\ & & & \\$$

К раствору **1** (50 мг, 0,08 ммоль) в уксусной кислоте (1 мл, 0,08 М) добавляют L-триптофан (50 мг, 0,24 ммоль). Реакционную смесь перемешивают при  $50^{\circ}$ C в течение 17 ч, и затем уксусную кислоту выпаривают. Добавляют водный насыщенный раствор NaHCO<sub>3</sub>, и смесь экстрагируют CH<sub>2</sub>Cl<sub>2</sub>. Объединенные органические слои сушат над безводным Na<sub>2</sub>SO<sub>4</sub>, фильтруют и концентрируют в вакууме. Флэш–хроматография (CH<sub>2</sub>Cl<sub>2</sub>:CH<sub>3</sub>OH, от 99:1 до 80:20) дает соединение **14–S** (58 мг, 90%).

 $R_f = 0.20$  (CH<sub>2</sub>Cl<sub>2</sub>:CH<sub>3</sub>OH, 10:1).

<sup>1</sup>H ЯМР (400 МГц, CDCl<sub>3</sub>): δ 7,77 (c, 1H), 7,39 (д, *J*=7,9 Гц, 1H), 7,25 (д, *J*=7,9 Гц, 1H), 7,13 (ддд, *J*=8,2, 7,0, 1,2 Гц, 1H), 7,04 (тд, *J*=7,5, 7,1, 1,0 Гц, 1H), 6,56 (c, 1H), 6,24 (д,

J=1,3  $\Gamma$ ц, 1H), 6,03 (д, J=1,3  $\Gamma$ ц, 1H), 5,15 (д, J=11,7  $\Gamma$ ц, 1H), 4,62 (с, 1H), 4,43 (с, 1H), 4,35 (дд, J=11,7, 2,1  $\Gamma$ ц, 1H), 4,28 (дд, J=5,2, 1,6  $\Gamma$ ц, 1H), 4,20 (с, 1H), 3,78 (с, 3H), 3,52–3,41 (м, 4H), 3,07–2,88 (м, 2H), 2,91–2,80 (м, 2H), 2,42–2,21 (м, 2H), 2,35 (с, 3H), 2,27 (с, 3H), 2,14 (с, 3H), 2,04 (с, 3H).

ИЭР-МС m/z: 808,6 (M+H)<sup>+</sup>.

К раствору **14–S** (52 мг, 0,066 ммоль) в  $CH_3CN:H_2O$  (2:1, 4,5 мл, 0,015 М) добавляют  $AgNO_3$  (164 мг, 1,45 ммоль). Через 20 ч при 23°C добавляют смесь 1:1 насыщенных водных растворов NaCl и NaHCO<sub>3</sub>, перемешивают в течение 15 мин, разбавляют  $CH_2Cl_2$ , перемешивают в течение 30 мин и экстрагируют  $CH_2Cl_2$ . Объединенные органические слои сушат над безводным  $Na_2SO_4$ , фильтруют и концентрируют в вакууме. Полученный остаток очищают флэш–хроматографией  $(CH_2Cl_2:CH_3OH, \text{ от } 99:1 \text{ до } 70:30)$  дает **15–S** (18 мг, 35%).

R<sub>f</sub>=0,15 (CH<sub>2</sub>Cl<sub>2</sub>:CH<sub>3</sub>OH, 9:1).

<sup>1</sup>Н ЯМР (400 МГц, CD<sub>3</sub>OD): δ 7,76 (c, 1H), 7,40 (д, J=7,8 Гц, 1H), 7,25 (д, J=7,8 Гц, 1H), 7,14 (т, J=7,4 Гц, 1H), 7,04 (т, J=7,4 Гц, 1H), 6,58 (с, 1H), 6,23 (д, J=1,3 Гц, 1H), 6,01 (д, J=1,3 Гц, 1H), 5,28 (д, J=12,7 Гц, 1H), 4,95 (с, 1H), 4,53 (с, 1H), 4,28 (дд, J=11,4, 2,0 Гц, 1H), 4,21 (с, 1H), 3,80 (с, 3H), 3,58 (с, 1H), 3,52–3,47 (м, 2H), 3,28 (с, 1H), 3,03 (дд, J=15,8, 5,2 Гц, 1H), 2,91–2,82 (м, 3H), 2,44 (д, J=15,4 Гц, 1H), 2,36 (с, 3H), 2,35–2,31 (м, 1H), 2,28 (с, 3H), 2,15 (с, 3H), 2,03 (с, 3H).

<sup>13</sup>C ЯМР (101 МГц, CDCl<sub>3</sub>): δ 173,7, 171,2, 168,7, 147,5, 145,7, 142,8, 141,2, 140,8, 135,6, 129,8, 126,3, 122,8, 121,5, 121,2, 119,9, 118,6, 117,7, 115,0, 111,1, 101,9, 81,5, 66,8, 62,9, 60,4, 57,9, 55,8, 55,1, 52,3, 42,3, 41,3, 38,3, 31,9, 29,4, 28,9, 24,5, 24,0, 23,8, 22,7, 20,5, 16,0, 9,7.

ИЭР-МС m/z: 781,6 (M-H<sub>2</sub>O+H)<sup>+</sup>.

(+)–HR–ИЭР–ВП–МС m/z: 781,2610  $[M-H_2O+H]^+$  (Рассч. для  $C_{41}H_{41}N_4O_{10}S$ : 781,2538).

# Пример 8.

**А)** Синтез (S)—5—метокси—триптофанола (17—**S**)

MeO 
$$CO_2H$$
  $CO_2H$   $CO_2H$ 

К раствору LiAlH<sub>4</sub> (23,4 мл, 1,0 M в  $T\Gamma\Phi$ , 23,4 ммоль) при  $-40^{\circ}$ С осторожно добавляют  $H_2SO_4$  (0,31 мл, 5,57 ммоль) и суспензию 5-метокси-L-триптофана (16-S) (1,0 г, 4,26 ммоль, Chem-Impex) в ТГФ (13,4 мл, 0,3 М). Реакционную смесь оставляют выделять газ при 23°C, нагревают в течение 3 ч при 80°C и 18 ч при 23°C. Охлаждая при – 21°C, реакционную смесь осторожно гасят NaOH 2N до щелочного рН. EtOAc добавляют, и смесь фильтруют через Celite® и промывают СН<sub>3</sub>ОН. Неочищенный продукт концентрируют в вакууме с получением 17-S в виде неочищенного продукта, который применяют на следующей стадии без дальнейшей очистки.

 $R_f=0.2$  (CH<sub>2</sub>Cl<sub>2</sub>:CH<sub>3</sub>OH, 4:1).

¹Н ЯМР (400 МГц, CDCl<sub>3</sub>): δ 7,19 (дт, *J*=8,8, 0,7 Гц, 1Н), 7,06–7,00 (м, 2Н), 6,72 (дд, J=8,8, 2,4 Гц, 1H), 3,77 (с, 3H), 3,63–3,48 (м, 1H), 3,42–3,33 (м, 1H), 3,17–3,06 (м, 1H), 2,86 (ддт, *J*=14,3, 6,1, 0,8 Гц, 1Н), 2,66 (дд, *J*=14,3, 7,5 Гц, 1Н).

ИЭР-МС m/z: 221,4 (M+H)<sup>+</sup>.

**В**) Синтез (R)–5-метокси-триптофанола (17-**R**)

MeO MeO OH NH2 LiAlH4 
$$H_2SO_4$$
  $T\Gamma\Phi$  17-R

К раствору LiAlH<sub>4</sub> (11,7 мл, 1,0 М в ТГФ, 11,7 ммоль) при -40°C осторожно добавляют  $H_2SO_4$  (0,31 мл, 5,75 ммоль) и суспензию 5-метокси-D-триптофана (16-**R**) (0,5 г, 2,13 ммоль, Aldrich) в ТГФ (6,7 мл, 0,3 М). Реакционную смесь оставляют выделять газ при 23°C, нагревают в течение 3,5 ч при 80°C и 18 ч при 23°C. Охлаждая при -21°C, реакционную смесь осторожно гасят NaOH 2N до щелочного рН. EtOAc добавляют, и фильтруют через Celite® и промывают CH<sub>3</sub>OH. Неочищенный продукт концентрируют в вакууме с получением 17-R в виде неочищенного продукта, который применяют на следующей стадии без дальнейшей очистки.

 $R_f=0.2$  (CH<sub>2</sub>Cl<sub>2</sub>:CH<sub>3</sub>OH, 4:1).

 $^{1}$ Н ЯМР (400 МГц, CD<sub>3</sub>OD):  $\delta$  7,20 (д, J=8,9 Гц, 1H), 7,06–6,96 (м, 2H), 6,71 (дд, J=8,8, 2,5 Гц, 1H), 3,75 (с, 3H), 3,62–3,52 (м, 1H), 3,37 (дд, J=10,8, 7,0 Гц, 1H), 3,09 (шс, 1Н), 2,82 (дд, *J*=14,3, 5,9 Гц, 1Н), 2,62 (дд, *J*=14,4, 7,6 Гц, 1Н).

ИЭР-МС m/z: 221,6 (M+H)<sup>+</sup>.

## Пример 9

К раствору **1** (530 мг, 0,85 ммоль) в уксусной кислоте (10,6 мл, 0,08 М) добавляют **17–S** (469 мг, 2,13 ммоль). Реакционную смесь перемешивают при 50°C в течение 18 ч, и затем уксусную кислоту выпаривают. Добавляют водный насыщенный раствор NaHCO<sub>3</sub>, и смесь экстрагируют  $CH_2Cl_2$ . Объединенные органические слои сушат над безводным  $Na_2SO_4$ , фильтруют и концентрируют в вакууме. Флэш–хроматография (Гексан:EtOAc, 1:1) дает соединение **18–S** (420 мг, 60%).

 $R_f$ =0,3 (Гексан:EtOAc, 1:1).

<sup>1</sup>Н ЯМР (400 МГц, CD<sub>3</sub>OD): δ 7,13 (д, J=8,8 Гц, 1H), 6,80 (д, J=2,4 Гц, 1H), 6,66 (дд, J=8,8, 2,5 Гц, 1H), 6,51 (с, 1H), 6,27 (с, 1H), 6,11 (с, 1H), 5,21 (д, J=11,7 Гц, 1H), 4,67 (с, 1H), 4,49–4,29 (м, 4H), 3,75 (с, 3H), 3,73 (с, 3H), 3,47 (т, J=5,8 Гц, 3H), 3,37 (д, J=5,1 Гц, 1H), 3,01–2,81 (м, 2H), 2,75 (д, J=7,4 Гц, 1H), 2,66 (дд, J=15,1, 4,1 Гц, 1H), 2,55–2,35 (м, 4H), 2,34 (с, 3H), 2,28 (с, 3H), 2,11 (с, 3H), 1,99 (с, 3H).

ИЭР-МС m/z: 824,3 (M+H)<sup>+</sup>.

К раствору **18–S** (420 мг, 0,519 ммоль) в  $CH_3CN:H_2O$  (1,39:1, 36 мл, 0,015 М) добавляют  $AgNO_3$  (2,60 г, 15,3 ммоль). Через 3 ч при 23°C реакционную смесь гасят смесью 1:1 насыщенных водных растворов NaCl и  $NaHCO_3$ , перемешивают в течение 15 мин, разбавляют  $CH_2Cl_2$ , перемешивают в течение 5 мин и экстрагируют  $CH_2Cl_2$ . Объединенные органические слои сушат над безводным  $Na_2SO_4$ , фильтруют и концентрируют в вакууме. Полученный остаток очищают флэш–хроматографией  $(CH_2Cl_2:CH_3OH, \text{ от } 99:1 \text{ до } 85:15)$  с получением **19–S** (250 мг, 60%).

R<sub>f</sub>=0,45 (CH<sub>2</sub>Cl<sub>2</sub>:CH<sub>3</sub>OH, 9:1).

<sup>1</sup>Н ЯМР (500 МГц, CD<sub>3</sub>OD):  $\delta$  7,15 (дд, J=8,9, 0,6 Гц, 1H), 6,82 (дд, J=2,4, 0,6 Гц, 1H), 6,68 (дд, J=8,8, 2,5 Гц, 1H), 6,54 (с, 1H), 6,27 (д, J=1,3 Гц, 1H), 6,08 (д, J=1,3 Гц, 1H), 5,30 (д, J=11,5 Гц, 1H), 4,62 (с, 1H), 4,34 (дд, J=11,4, 2,0 Гц, 1H), 4,31–4,27 (м, 2H), 3,76 (с, 3H), 3,75 (с, 3H), 3,66–3,58 (м, 1H), 3,55–3,45 (м, 2H), 3,42 (д, J=7,8 Гц, 1H), 2,93–2,73 (м, 3H), 2,68 (дд, J=15,1, 4,2 Гц, 1H), 2,54 (д, J=15,4 Гц, 1H), 2,42 (дд, J=15,1, 10,1 Гц, 2H), 2,35 (с, 3H), 2,29 (с, 3H), 2,09 (с, 3H), 2,00 (с, 3H).

<sup>13</sup>C ЯМР (126 МГц, CD<sub>3</sub>OD): δ 172,7, 170,8, 155,1, 149,9, 147,2, 145,0, 142,6, 142,2, 133,1, 132,4, 132,1, 131,3, 128,1, 122,5, 121,6, 120,3, 116,4, 113,0, 112,9, 111,4, 109,0, 103,6, 100,8, 92,5, 66,6, 65,0, 61,7, 60,4, 59,9, 56,7, 56,1, 54,8, 54,1, 51,7, 44,1, 41,3, 30,7, 25,4, 24,7, 20,6, 16,3, 9,5.

ИЭР-МС m/z: 798,1 (M-H<sub>2</sub>O+H)<sup>+</sup>.

(+)–HR–ИЭР–ВП–МС m/z:797,2899 [M–H $_2$ O+H $]^+$  (Рассч. для  $C_{42}$ H $_{45}$ N $_4$ O $_{10}$ S 797,2851).

1

18-R

К раствору **1** (311 мг, 0,50 ммоль) в уксусной кислоте (6,25 мл, 0,08 М) добавляют **17–R** (220 мг, 1,0 ммоль). Реакционную смесь перемешивают при  $50^{\circ}$ С в течение 18 ч, и затем уксусную кислоту выпаривают. Водный насыщенный раствор NaHCO<sub>3</sub> добавляют и смесь экстрагируют  $CH_2Cl_2$ . Объединенные органические слои сушат над безводным  $Na_2SO_4$ , фильтруют и концентрируют в вакууме. Флэш–хроматография (Гексан:EtOAc, 1:1) с получением соединения **18–R** (280 мг, 68%).

R<sub>f</sub>=0,3 (Гексан: EtOAc, 1:1).

<sup>1</sup>Н ЯМР (400 МГц, CDCl<sub>3</sub>):  $\delta$  7,53 (c, 1H), 7,18 (д, J=8,7 Гц, 1H), 6,82 (д, J=2,4 Гц, 1H), 6,78 (дд, J=8,6, 2,3 Гц, 1H), 6,60 (c, 1H), 6,23 (c, 1H), 6,02 (c, 1H), 5,76 (c, 1H), 5,04 (д, J=11,7 Гц, 1H), 4,62 (c, 1H), 4,36 (c, 1H), 4,28 (д, J=5,0 Гц, 1H), 4,24–4,09 (м, 3H), 3,81 (c, 3H), 3,79 (c, 3H), 3,64 (c, 1H), 3,47–3,40 (м, 3H), 3,01–2,90 (м, 2H), 2,53 (д, J=6,9 Гц, 2H), 2,45–2,41 (м, 1H), 2,40 (c, 3H), 2,27 (c, 3H), 2,22–2,14 (м, 1H), 2,18 (c, 3H), 2,06 (c, 3H).

ИЭР-МС m/z: 824,3(M+H)<sup>+</sup>.

К раствору **18–R** (330 мг, 0,40 ммоль) в CH<sub>3</sub>CN:H<sub>2</sub>O (1,39:1, 28 мл, 0,015 М) добавляют AgNO<sub>3</sub> (2,04 г, 12,0 ммоль). Через 3 ч при 23°C, реакцию гасят смесью 1:1 насыщенных водных растворов NaCland NaHCO<sub>3</sub>, перемешивают в течение 15 мин, разбавляют CH<sub>2</sub>Cl<sub>2</sub>, перемешивают в течение 5 мин и экстрагируют CH<sub>2</sub>Cl<sub>2</sub>. Объединенные органические слои сушат над безводным Na<sub>2</sub>SO<sub>4</sub>, фильтруют и концентрируют в вакууме. Полученный остаток очищают флэш–хроматографией (CH<sub>2</sub>Cl<sub>2</sub>:CH<sub>3</sub>OH, от 99:1 до 85:15) с получением **19–R** (224 мг, 69%).

R<sub>f</sub>=0,44 (CH<sub>2</sub>Cl<sub>2</sub>:CH<sub>3</sub>OH, 9:1).

 $^{1}$ Н ЯМР (500 МГц, CD<sub>3</sub>OD):  $\delta$  7,14 (дд, J=8,8, 0,5 Гц, 1H), 6,83 (д, J=2,5 Гц, 1H),

6,68 (дд, J=8,8, 2,5  $\Gamma$ ц, 1H), 6,59 (с, 1H), 6,26 (д, J=1,4  $\Gamma$ ц, 1H), 6,07 (д, J=1,4  $\Gamma$ ц, 1H), 5,21 (д, J=11,5  $\Gamma$ ц, 1H), 4,68–4,55 (м, 1H), 4,32–4,25 (м, 2H), 4,12 (дд, J=11,5, 2,1  $\Gamma$ ц, 1H), 3,75 (с, 3H), 3,74 (с, 3H), 3,60 (д, J=5,2  $\Gamma$ ц, 1H), 3,57–3,45 (м, 3H), 3,41 (д, J=8,8  $\Gamma$ ц, 1H), 2,97–2,83 (м, 3H), 2,73 (дд, J=15,0, 3,4  $\Gamma$ ц, 1H), 2,69 (д, J=14,9  $\Gamma$ ц, 1H), 2,34 (с, 3H), 2,30 (с, 3H), 2,20 (дд, J=15,1, 10,4  $\Gamma$ ц, 1H), 2,12 (с, 3H), 2,11–2,08 (м, 1H), 2,05 (с, 3H).

<sup>13</sup>C ЯМР (126 МГц, CD<sub>3</sub>OD): δ 173,0, 170,8, 155,0, 149,8, 147,3, 145,0, 142,8, 142,3, 133,5, 133,1, 132,2, 132,1, 131,1, 130,5, 127,8, 122,5, 121,7, 120,0, 116,4, 113,5, 112,9, 111,4, 110,2, 103,5, 100,9, 92,6, 66,8, 64,5, 61,3, 60,4, 60,0, 56,8, 56,1, 55,9, 54,1, 44,1, 41,3, 25,6, 24,5, 20,6, 16,2, 9,6.

ИЭР-МС m/z: 797,4 (M-H<sub>2</sub>O+H)<sup>+</sup>.

(+)–HR–ИЭР–ВП–МС m/z: 797,2896 [M–H $_2$ O+H $]^+$  (Рассч. для  $C_{42}$ H $_45$ N $_4$ O $_{10}$ S 797,2851).

**Пример 11**. Синтез аллил N–[(S)–2–амино–3–(5–метокси–IH–индол–3–ил)пропил)]карбамата (**24–S**)

К раствору **17–S** (6,9 г, 31,4 ммоль) в CH<sub>3</sub>CN (126 мл, 4 мл/ммоль) добавляют ди-*трет*—бутилдикарбонат (13,7 г, 62,8 ммоль). Реакционную смесь перемешивают при 23°C в течение 5,5 ч, концентрируют в вакууме. Флэш–хроматография (CH<sub>2</sub>Cl<sub>2</sub>:CH<sub>3</sub>OH, от 99:1 до 85:15) дает **20–S** (4,5 г, 45%).

R<sub>f</sub>=0,6 (CH<sub>2</sub>Cl<sub>2</sub>:CH<sub>3</sub>OH, 9:1).

<sup>1</sup>Н ЯМР (400 МГц, CDCl<sub>3</sub>): δ 8,04 (c, 1H), 7,25 (д, *J*=8,4 Гц, 1H), 7,10 (д, *J*=2,4 Гц, 1H), 7,03 (c, 1H), 6,87 (дд, *J*=8,8, 2,5 Гц, 1H), 4,83 (c, 1H), 3,98 (c, 1H), 3,87 (c, 3H), 3,73–3,58 (м, 2H), 2,96 (д, *J*=6,6 Гц, 2H), 1,42 (c, 9H).

К раствору **20–S** (4,5 г, 14 ммоль) в  $CH_2Cl_2$  (84 мл, 6 мл/ммоль) добавляют фталимид (4,5 г, 30,9 ммоль), трифенилфосфин (8,1 г, 30,9 ммоль) и смесь охлаждают при 0°С. Добавляют раствор 40% диэтилазодикарбоксилата в  $CH_2Cl_2$  (10,4 мл, 35 ммоль) в течение 15 мин. Реакционную смесь перемешивают при 23°С в течение 18 ч, концентрируют в вакууме. Полученный остаток очищают флэш–хроматографией (Гексан:EtOAc, от 99:1 до 85:15) с получением **21–S** (5,8 г, 92%).

 $R_f$ =0,55 (Гексан:EtOAc, 1:1).

<sup>1</sup>Н ЯМР (400 МГц, CDCl<sub>3</sub>): δ 8,48 (c, 1H), 7,78 (дд, *J*=5,5, 3,1 Гц, 2H), 7,69–7,61 (м, 2H), 7,21 (д, *J*=8,8 Гц, 1H), 7,06 (дд, *J*=18,5, 2,4 Гц, 2H), 6,81 (дд, *J*=8,8, 2,4 Гц, 1H), 4,87 (с, 1H); 4,39 (с, 1H), 3,87 (с, 3H), 3,83–3,66 (м, 2H), 2,98 (д, *J*=6,1 Гц, 2H), 1,20 (с, 9H).

К раствору **21–S** (6,29 г, 14 ммоль) в этаноле (420 мл, 30 мл/ммоль) добавляют моногидрат гидразина (61,1 мл, 1260 ммоль). Реакционную смесь перемешивают при  $80^{\circ}$ С в герметично закрытой пробирке в течение 2 ч, концентрируют в вакууме. Флэш–хроматография (CH<sub>2</sub>Cl<sub>2</sub>:CH<sub>3</sub>OH, от 100:1 до 50:50) дает **22–S** (4,2 г, 95%).

R<sub>f</sub>=0,1 (CH<sub>2</sub>Cl<sub>2</sub>:CH<sub>3</sub>OH, 8:2).

<sup>1</sup>Н ЯМР (400 МГц, CDCl<sub>3</sub>): δ 7,22 (д, *J*=8,8 Гц, 1H), 7,12 (д, *J*=2,4 Гц, 1H), 7,06 (с, 1H), 6,76 (дд, *J*=8,8, 2,4 Гц, 1H), 4,06–3,97 (м, 1H), 3,82 (с, 3H), 3,06–2,82 (м, 4H), 1,37 (с, 9H).

К раствору **22–S** (4,0 г, 12,52 ммоль) в CH<sub>3</sub>CN (125 мл, 10 мл/ммоль) и ДМФ (12 мл, 1 мл/ммоль) добавляют N, N-диизопропилэтиламин (1,8 мл, 10 ммоль) и аллилхлорформиат (13,3 мл, 125 ммоль). Реакционную смесь перемешивают при 23°C в течение 5 ч. Смесь разбавляют EtOAc и добавляют NH<sub>4</sub>Cl, и смесь экстрагируют EtOAc. Объединенные органические слои сушат над безводным Na<sub>2</sub>SO<sub>4</sub>, фильтруют и концентрируют в вакууме. Полученный остаток очищают флэш-хроматографией

(Гексан: EtOAc, от 100:1 до 1:100) с получением **23–S** (2,65 г, 52%).

 $R_f=0,5$  (Гексан:EtOAc, 1:1).

<sup>1</sup>H ЯМР (400 МГц, CDCl<sub>3</sub>): δ 8,11 (c, 1H), 7,28–7,20 (м, 1H), 7,04 (д, *J*=13,1 Гц, 2H), 6,85 (дд, *J*=8,9, 2,4 Гц, 1H), 5,97–5,82 (м, 1H), 5,33–5,24 (м, 1H), 5,19 (дт, *J*=10,4, 1,3 Гц, 1H), 5,11 (c, 1H), 4,82 (c, 1H), 4,55 (д, *J*=5,6 Гц, 2H), 4,01 (c, 1H), 3,86 (c, 3H), 3,37 (д, *J*=13,7 Гц, 1H), 3,21 (c, 1H), 2,89 (дд, *J*=14,5, 7,0 Гц, 1H), 1,41 (c, 9H).

MeO NHAlloc 
$$T\Phi$$
 NHAlloc  $NH_2$  NHAlloc  $NH_2$  23-S 24-S

К раствору **23–S** (2,60 г, 6,44 ммоль) в  $CH_2Cl_2$  (106 мл, 16,6 мл/ммоль) добавляют трифторуксусную кислоту (54 мл, 8,3 мл/ммоль). Реакционную смесь перемешивают при 23°C в течение 1,5 ч, концентрируют в вакууме с получением **24–S** (3,9 г, 100%).

R<sub>f</sub>=0,1 (CH<sub>2</sub>Cl<sub>2</sub>:CH<sub>3</sub>OH, 9:1).

 $^{1}$ Н ЯМР (400 МГц, CD<sub>3</sub>OD): δ 8,27 (c, 1H), 7,25 (дд, J=9,0, 2,4 Гц, 1H), 7,10 (c, 1H), 6,96 (д, J=2,3 Гц, 1H), 6,87 (дд, J=9,0, 2,4 Гц, 1H), 5,81 (ддт, J=16,3, 10,9, 5,7 Гц, 1H), 5,23 (дд, J=19,3, 13,6 Гц, 2H), 4,49 (д, J=5,9 Гц, 2H), 3,82 (c, 3H), 3,81–3,55 (м, 1H), 3,62–3,39 (м, 2H), 3,08 (квд, J=15,1, 7,3 Гц, 2H).

К раствору **1** (120 мг, 0,19 ммоль) в уксусной кислоте (6 мл, 0,08 М) добавляют **24**— **S** (117 мг, 0,35 ммоль). Реакционную смесь перемешивают при 23°С в течение 18 ч, и затем уксусную кислоту выпаривают. Добавляют водный насыщенный раствор NaHCO<sub>3</sub> и смесь экстрагируют  $CH_2Cl_2$ . Объединенные органические слои сушат над безводным  $Na_2SO_4$ , фильтруют и концентрируют в вакууме. Флэш–хроматография (Гексан:EtOAc, 1:1) дает соединение **25–S** (95 мг, 54%).

 $R_f=0,4$  (Гексан:EtOAc, 1:1).

 $^{1}$ Н ЯМР (400 МГц, CDCl<sub>3</sub>):  $\delta$  7,64 (c, 1H), 7,14 (д, J=8,8 Гц, 1H), 6,80 (c, 1H), 6,77 (д, J=8,8 Гц, 1H), 6,68 (c, 1H), 6,24 (c, 1H), 6,03 (c, 1H), 6,02–5,93 (м, 1H), 5,76 (c, 1H), 5,38 (д, J=10,5 Гц, 1H), 5,26 (д, J=10,5 Гц, 1H), 5,11 (д, J=11,7 Гц, 1H), 4,66 (д, J=5,6 Гц, 2H), 4,57 (c, 1H), 4,37 (c, 1H), 4,33–4,19 (м, 3H), 3,82 (c, 3H), 3,79 (c, 3H), 3,46 (c, 2H), 3,17 (c, 1H), 3,10–2,90 (м, 3H), 2,68–2,45 (м, 2H), 2,38–2,33 (м, 1H), 2,32 (c, 3H), 2,27 (c, 3H), 2,16 (c, 3H), 2,04 (c, 2H).

К раствору **25–S** (90 мг, 0,1 ммоль) в  $CH_2Cl_2$  (2 мл, 18 мл/ммоль) добавляют дихлорид бис(трифенилфосфин)палладия(II) (12 мг, 0,1 ммоль) и уксусную кислоту (0,056 мл, 0,99 ммоль). Добавляют гидрид трибутилолова (0,16 мл, 0,60 ммоль) при 0°С, реакционную смесь перемешивают при 0°С в течение 0,5 ч и концентрируют в вакууме. Флэш–хроматография (Гексан:EtOAc, от 100:1 до 1:100 и EtOAc:CH<sub>3</sub>OH, от 100:1 до 1:100) дает **26–S** (75 мг, 92%).

 $R_f=0.25$  (CH<sub>2</sub>Cl<sub>2</sub>:CH<sub>3</sub>OH, 1:1).

 $^{1}$ Н ЯМР (400 МГц, CDCl<sub>3</sub>):  $\delta$  7,62 (c, 1H), 7,15 (д, J=9,3 Гц, 1H), 6,81–6,76 (м, 2H), 6,72 (c, 1H), 6,25 (д, J=1,2 Гц, 1H), 6,03 (д, J=1,2 Гц, 1H), 5,12 (д, J=11,7 Гц, 1H), 4,57 (c, 1H), 4,41 (c, 1H), 4,36–4,24 (м, 2H), 4,20 (д, J=11,7 Гц, 1H), 3,82 (c, 3H), 3,79 (c, 3H), 3,44 (дд, J=22,0, 7,1 Гц, 2H), 3,08–2,78 (м, 4H), 2,73–2,64 (м, 2H), 2,41–2,22 (м, 3H), 2,28 (c, 3H), 2,25–2,15 (м, 1H), 2,14 (c, 3H), 2,08 (c, 3H), 2,04 (c, 3H).

ИЭР-МС m/z: 823,3 (M+H)<sup>+</sup>.

$$\begin{array}{c} \text{MeO} \\ \text{NH} \\ \text{NH} \\ \text{NH} \\ \text{NH} \\ \text{OMe} \\$$

К раствору **26–S** (70 мг, 0,085 ммоль) in CH<sub>3</sub>CN:H<sub>2</sub>O (1,39:1, 6 мл, 0,015 М) добавляют AgNO<sub>3</sub> (335 мг, 1,7 ммоль). After 18 h at 23 °C, реакцию гасят смесью 1:1 насыщенных водных растворов NaCland NaHCO<sub>3</sub>, перемешивают в течение 15 min, разбавляют CH<sub>2</sub>Cl<sub>2</sub>, перемешивают в течение 5 min и экстрагируют CH<sub>2</sub>Cl<sub>2</sub>. Объединенные органические слои сушат над безводным Na<sub>2</sub>SO<sub>4</sub>, фильтруют и концентрируют в вакууме. Полученный остаток очищают флэш–хроматография (CH<sub>2</sub>Cl<sub>2</sub>:CH<sub>3</sub>OH, from 99:1 to 85:15) с получением **27–S** (23 мг, 33%).

 $R_f=0.2$  (CH<sub>2</sub>Cl<sub>2</sub>:CH<sub>3</sub>OH, 9:1).

<sup>1</sup>Н ЯМР (400 МГц, CDCl<sub>3</sub>): δ 7,62 (c, 1H), 7,15 (д, *J*=7,8 Гц, 1H), 6,78 (c, 1H), 6,75 (д, *J*=7,8 Гц, 1H), 6,21 (д, *J*=1,5 Гц, 1H), 6,01 (д, *J*=1,5 Гц, 1H), 5,78 (c, 1H), 5,22 (д, *J*=11,5 Гц, 1H), 4,90 (c, 1H), 4,58–4,42 (м, 3H), 4,29–4,10 (м, 2H), 3,84–3,80 (м, 1H), 3,83 (c, 3H), 3,79

(c, 3H), 3,53–3,48 (M, 2H), 3,22 ( $_{\rm H}$ ,  $_{\rm J=8,7}$   $_{\rm Fu}$ , 1H), 3,12 (c, 1H), 3,02 ( $_{\rm H}$ ,  $_{\rm J=12,8}$   $_{\rm Fu}$ , 1H), 2,89–2,64 (M, 3H), 2,46 (c, 3H), 2,42–2,34 (M, 2H), 2,27 (c, 3H), 2,12 (c, 3H), 2,03 (c, 3H).

<sup>13</sup>C ЯМР (126 МГц, CDCl<sub>3</sub>): δ 172,1, 168,7, 154,0, 147,6, 145,6, 143,0, 141,2, 140,8, 131,6, 130,6, 129,6, 127,1, 121,8, 120,9, 118,4, 115,2, 112,5, 111,8, 101,8, 100,2, 81,5, 62,6, 60,6, 58,0, 57,8, 56,0, 55,8, 55,0, 42,3, 41,4, 31,9, 29,7, 27,8, 26,9, 25,6, 24,0, 22,7, 20,5, 16,0, 14,1, 13,6, 9,7.

ИЭР-МС m/z: 796,3 (M-H<sub>2</sub>O+H)<sup>+</sup>.

(+)–HR–ИЭР–ВП–МС m/z: 796,3062  $[M-H_2O+H]^+$  (Рассч. для  $C_{42}H_{46}N_5O_9S$  796,3011).

**Пример 13**. Синтез аллил N–[(R)–2–амино–3–(5–метокси–IH–индол–3–ил)пропил)]карбамата (**24–R**)

К раствору **17–R** (2,35 г, 10,7 ммоль) в CH<sub>3</sub>CN(43 мл, 4 мл/ммоль) добавляют ди-*трет*—бутилдикарбонат (4,67 г, 21,4 ммоль). Реакционную смесь перемешивают при 23°C в течение 2,5 ч, концентрируют в вакууме. Флэш–хроматография (CH<sub>2</sub>Cl<sub>2</sub>:CH<sub>3</sub>OH, от 99:1 до 85:15) дает **20–R** (1,7 г, 50%).

R<sub>f</sub>=0,6 (CH<sub>2</sub>Cl<sub>2</sub>:CH<sub>3</sub>OH, 9:1).

<sup>1</sup>Н ЯМР (400 МГц, CDCl<sub>3</sub>):  $\delta$  8,05 (c, 1H), 7,25 (д, J=8,9 Гц, 1H), 7,09 (д, J=2,4 Гц, 1H), 7,02 (д, J=2,4 Гц, 1H), 6,86 (дд, J=8,8, 2,4 Гц, 1H), 4,83 (c, 1H), 3,98 (c, 1H), 3,87 (c, 3H), 3,69 (тд, J=9,2, 7,5, 5,3 Гц, 1H), 3,61 (дд, J=10,9, 5,6 Гц, 1H), 2,95 (д, J=6,8 Гц, 2H), 1,42 (c, 9H).

К раствору **20–R** (1,7 г, 5,3 ммоль) в  $CH_2Cl_2$  (32 мл, 6 мл/ммоль) добавляют фталимид (1,72 г, 11,7 ммоль), трифенилфосфин (3,06 г, 11,7 ммоль) и смесь охлаждают при 0°С. Раствор 40% диэтилазодикарбоксилата в  $CH_2Cl_2$  (4,0 мл, 13,2 ммоль) добавляют в течение 15 мин. Реакционную смесь перемешивают при 23°С в течение 16 ч, концентрируют в вакууме. Полученный остаток очищают флэш–хроматографией (Гексан:EtOAc, от 99:1 до 85:15) дает **21–R** (2,0 г, 84%).

R<sub>f</sub>=0,45 (Гексан:EtOAc, 1:1).

<sup>1</sup>Н ЯМР (400 МГц, CDCl<sub>3</sub>):  $\delta$  8,31 (c, 1H), 7,80 (дд, J=5,4, 3,0 Гц, 2H), 7,67 (дд, J=5,4, 3,0 Гц, 2H), 7,30–7,12 (м, 2H), 7,08 (дд, J=15,2, 2,4 Гц, 1H), 6,84 (дд, J=8,8, 2,4 Гц, 1H), 4,85 (д, J=9,2 Гц, 1H), 4,43 (кв, J=5,3 Гц, 1H), 3,86 (с, 3H), 3,83–3,68 (м, 2H), 3,01 (д, J=5,4 Гц, 2H), 1,22 (с, 9H).

К раствору **21–R** (2,0 г, 4,45 ммоль) в этаноле (133 мл, 30 мл/ммоль) добавляют моногидрат гидразина (21,6 мл, 445 ммоль). Реакционную смесь перемешивают при  $80^{\circ}$ С в герметично закрытой пробирке в течение 2 ч, концентрируют в вакууме. Флэш–хроматография (CH<sub>2</sub>Cl<sub>2</sub>:CH<sub>3</sub>OH, от 100:1 до 50:50) дает **22–R** (1,15 г, 81%).

R<sub>f</sub>=0,1 (CH<sub>2</sub>Cl<sub>2</sub>:CH<sub>3</sub>OH, 8:2).

 $^{1}$ Н ЯМР (400 МГц, CDCl<sub>3</sub>):  $\delta$  7,21 (д, J=8,8 Гц, 1H), 7,12 (с, 1H), 7,05 (с, 1H), 6,75 (дд, J=8,8, 2,4 Гц, 1H), 3,95 (ддд, J=10,7, 8,7, 5,4 Гц, 1H), 3,82 (с, 3H), 2,98–2,79 (м, 3H), 2,75 (дд, J=13,1, 9,4 Гц, 1H), 1,37 (с, 9H).

К раствору **22–R** (1,1 г, 3,4 ммоль) в CH<sub>3</sub>CN(34 мл, 10 мл/ммоль) и ДМФ (3,4 мл, 1 мл/ммоль) добавляют N, N—диизопропилэтиламин (0,5 мл, 2,7 ммоль) и аллилхлорформиат (3,7 мл, 34 ммоль). Реакционную смесь перемешивают при 23°C в течение 19 ч. Смесь разбавляют EtOAc и добавляют NH<sub>4</sub>Cl, и смесь экстрагируют EtOAc. Объединенные органические слои сушат над безводным Na<sub>2</sub>SO<sub>4</sub>, фильтруют и концентрируют в вакууме.

Полученный остаток очищают флэш–хроматографией (Гексан: EtOAc, от 100:1 до 1:100) с получением **23–R** (0,95 г, 69%).

 $R_f=0,5$  (Гексан:EtOAc, 1:1).

<sup>1</sup>H ЯМР (400 МГц, CDCl<sub>3</sub>):  $\delta$  8,55 (c, 1H), 7,20 (д, J=8,8 Гц, 1H), 7,05 (c, 1H), 6,98–6,87 (м, 1H), 6,82 (дт, J=8,8, 1,8 Гц, 1H), 5,96–5,81 (м, 1H), 5,37–5,22 (м, 2H), 5,22–5,14 (м, 1H), 5,02–4,97 (м, 1H), 4,60–4,47 (м, 2H), 4,00 (с, 1H), 3,84 (с, 3H), 3,31 (с, 1H), 3,19 (с, 1H), 2,88 (тд, J=14,5, 13,3, 5,9 Гц, 2H), 1,40 (с, 9H).

К раствору **23–R** (0,94 г, 2,3 ммоль) в  $CH_2Cl_2$  (39 мл, 16,6 мл/ммоль) добавляют трифторуксусную кислоту (19 мл, 8,3 мл/ммоль). Реакционную смесь перемешивают при 23°C в течение 1,5 ч, концентрируют в вакууме с получением **24–R** (0,72 г, 100%).

R<sub>f</sub>=0,1 (CH<sub>2</sub>Cl<sub>2</sub>:CH<sub>3</sub>OH, 9:1).

 $^{1}$ Н ЯМР (400 МГц, CD<sub>3</sub>OD): δ 7,27 (д, J=8,8, 1H), 7,18 (c, 1H), 7,04 (д, J=2,4 Гц, 1H), 6,80 (ддд, J=8,8, 2,4, 0,9 Гц, 1H), 5,95 (ддт, J=16,4, 10,8, 5,5 Гц, 1H), 5,32 (д, J=17,1 Гц, 1H), 5,20 (д, J=10,5 Гц, 1H), 4,60–4,53 (м, 2H), 3,83 (c, 3H), 3,59 (дт, J=11,4, 5,5 Гц, 1H), 3,47–3,30 (м, 2H), 3,13–2,94 (м, 2H).

К раствору **1** (0,71 г, 1,14 ммоль) в уксусной кислоте (45 мл, 0,08 М) добавляют **24– R** (0,54 мг, 1,8 ммоль). Реакционную смесь перемешивают при  $23^{\circ}$ С в течение 7 ч, и затем уксусную кислоту выпаривают. Добавляют водный насыщенный раствор NaHCO<sub>3</sub> и смесь экстрагируют CH<sub>2</sub>Cl<sub>2</sub>. Объединенные органические слои сушат над безводным Na<sub>2</sub>SO<sub>4</sub>, фильтруют и концентрируют в вакууме. Флэш–хроматография (Гексан:EtOAc, 1:1) дает соединение **25–R** (670 мг, 65%).

 $R_f=0,4$  (Гексан: EtOAc, 1:1).

 $^{1}$ Н ЯМР (400 МГц, CDCl<sub>3</sub>):  $\delta$  7,52 (c, 1H), 7,17 (д, J=8,8 Гц, 1H), 6,83–6,73 (м, 2H), 6,61 (c, 1H), 6,23 (д, J=1,0 Гц, 1H), 6,02 (д, J=1,0 Гц, 1H), 6,05–5,89 (м, 1H), 5,75 (c, 1H), 5,44–5,30 (м, 1H), 5,25 (д, J=10,4 Гц, 1H), 5,13–4,99 (м, 2H), 4,71–4,59 (м, 2H), 4,36 (c, 1H), 4,30–4,07 (м, 3H), 3,80 (c, 3H), 3,79 (c, 3H), 3,61–3,53 (м, 1H); 3,48–3,41 (м, 3H), 3,26 (дт, J=13,3, 3,8 Гц, 1H), 3,04–2,88 (м, 2H), 2,52 (дд, J=14,9, 3,7 Гц, 1H), 2,46–2,35 (м, 2H), 2,31

(c, 3H), 2,29 (c, 3H), 2,16 (c, 3H), 2,12–2,02 (м, 1H), 2,09 (c, 3H).

ИЭР-МС 
$$m/z$$
: 907,3 (M+H)<sup>+</sup>.

К раствору **25–R** (745 мг, 0,82 ммоль) в  $CH_2Cl_2$  (15 мл, 18 мл/ммоль) добавляют дихлорид бис(трифенилфосфин)палладия(II) (92 мг, 0,1 ммоль) и уксусную кислоту (0,47 мл, 8,2 ммоль). Гидрид трибутилолова (1,33 мл, 4,9 ммоль) добавляют при 0°С, реакционную смесь перемешивают при 0°С в течение 0,75 ч и концентрируют в вакууме. Флэш–хроматография (Гексан:EtOAc, от 100:1 до 1:100 и EtOAc:CH<sub>3</sub>OH, от 100:1 до 1:100) дает **26–R** (680 мг, >100%).

R<sub>f</sub>=0,25 (CH<sub>2</sub>Cl<sub>2</sub>:CH<sub>3</sub>OH, 1:1).

 $^{1}$ Н ЯМР (400 МГц, CDCl<sub>3</sub>):  $\delta$  7,57 (c, 1H), 7,16 (д, J=8,8 Гц, 1H), 6,85–6,72 (м, 2H), 6,57 (с, 1H), 6,21 (д, J=1,4 Гц, 1H), 6,00 (д, J=1,3 Гц, 1H), 5,05–4,97 (м, 1H), 4,63 (с, 1H), 4,35 (с, 1H), 4,31–4,09 (м, 4H), 3,80 (с, 3H), 3,78 (с, 3H), 3,50–3,40 (м, 3H), 3,24 (дкв, J=9,9, 5,3 Гц, 1H), 2,95 (с, 1H), 2,91–2,75 (м, 2H), 2,62 (дд, J=14,8, 3,6 Гц, 1H), 2,43–2,28 (м, 2H), 2,36 (с, 3H), 2,25 (с, 3H), 2,22–2,14 (м, 1H), 2,15 (с, 3H), 2,08 (с, 3H).

ИЭР-МС m/z: 823,3 (M+H)<sup>+</sup>.

К раствору **26–R** (660 мг, 0,80 ммоль) в CH<sub>3</sub>CN:H<sub>2</sub>O (1,39:1, 56 мл, 0,015 М) добавляют AgNO<sub>3</sub> (2,70 г, 16,0 ммоль). Через 16,5 ч при 23°C реакцию гасят смесью 1:1 насыщенных водных растворов NaCl и NaHCO<sub>3</sub>, перемешивают в течение 15 мин, разбавляют CH<sub>2</sub>Cl<sub>2</sub>, перемешивают в течение 5 мин и экстрагируют CH<sub>2</sub>Cl<sub>2</sub>. Объединенные органические слои сушат над безводным Na<sub>2</sub>SO<sub>4</sub>, фильтруют и концентрируют в вакууме. Полученный остаток очищают флэш–хроматографией (CH<sub>2</sub>Cl<sub>2</sub>:CH<sub>3</sub>OH, от 99:1 до 85:15) с получением **27–R** (271 мг, 42%).

R<sub>f</sub>=0,1 (CH<sub>2</sub>Cl<sub>2</sub>:CH<sub>3</sub>OH, 9:1).

 $^{1}$ Н ЯМР (400 МГц, CDCl<sub>3</sub>):  $\delta$  7,46 (c, 1H), 7,16 (д, J=8,9 Гц, 1H), 6,83 (c, 1H), 6,72 (д, J=8,9 Гц, 1H), 6,58 (c, 1H), 6,20 (д, J=1,8 Гц, 1H), 5,99 (д, J=1,8 Гц, 1H), 5,76 (c, 1H), 5,15 (д,

J=11,4  $\Gamma$ ц, 1H), 4,86 (c, 1H), 4,52 (м, 2H), 4,17 (д, J=5,3  $\Gamma$ ц, 1H), 4,07 (д, J=11,4  $\Gamma$ ц, 1H), 3,80 (c, 3H), 3,78 (c, 3H), 3,55–3,43 (м, 2H), 3,32–3,20 (м, 2H), 3,01–2,82 (м, 4H), 2,68–2,59 (м, 1H), 2,44–2,31 (м, 1H), 2,38 (c, 3H), 2,30–2,19 (м, 1H), 2,26 (c, 3H), 2,15 (c, 3H), 2,07 (c, 3H).

<sup>13</sup>C ЯМР (101 МГц, CD<sub>3</sub>OD): δ 171,7, 171,3, 153,8, 153,3, 148,0, 147,6, 145,4, 145,4, 143,1, 141,3, 140,7, 131,6, 131,4, 131,2, 129,3, 126,8, 121,6, 120,9, 118,3, 115,6, 112,2, 111,8, 101,8, 100,2, 81,7, 63,5, 63,1, 61,7, 58,0, 57,8, 56,1, 55,8, 55,0, 42,2, 42,1, 41,4, 41,0, 25,1, 23,8, 20,5, 16,0, 9,7.

ИЭР-МС m/z: 796,3 (M-H<sub>2</sub>O+H)<sup>+</sup>.

(+)–HR–ИЭР–ВП–МС m/z: 796,3045  $[M-H_2O+H]^+$  (Рассч. для  $C_{42}H_{46}N_5O_9S$  796,3011).

Пример 15. Синтез ссылочных соединений 28-S и 29-S.

К раствору **1** (450 мг, 0,72 ммоль) в уксусной кислоте (9 мл, 0,08 М) добавляют **16**— **S** (675 мг, 2,88 ммоль). Реакционную смесь перемешивают при  $52^{\circ}$ С в течение 3 ч и затем уксусную кислоту выпаривают. Водный насыщенный раствор NaHCO<sub>3</sub> добавляют, и смесь экстрагируют CH<sub>2</sub>Cl<sub>2</sub>. Объединенные органические слои сушат над безводным Na<sub>2</sub>SO<sub>4</sub>, фильтруют и концентрируют в вакууме. Флэш–хроматография (CH<sub>2</sub>Cl<sub>2</sub>:CH<sub>3</sub>OH, от 99:1 до 80:20) дает соединение **28–S** (400 мг, 66%).

 $R_f = 0.35$  (CH<sub>2</sub>Cl<sub>2</sub>:CH<sub>3</sub>OH, 10:1).

<sup>1</sup>Н ЯМР (400 МГц, CDCl<sub>3</sub>):  $\delta$  7,65 (c, 1H), 7,15 (д, J=8,7 Гц, 1H), 6,85–6,76 (м, 2H), 6,57 (c, 1H), 6,25 (д, J=1,4 Гц, 1H), 6,04 (д, J=1,3 Гц, 1H), 5,16 (д, J=11,7 Гц, 1H), 4,62 (с, 1H), 4,44 (c, 1H), 4,35 (дд, J=11,7, 2,0 Гц, 1H), 4,29 (дд, J=5,2, 1,6 Гц, 1H), 4,22 (д, J=2,7 Гц, 1H), 3,80 (c, 3H), 3,79 (c, 3H), 3,52–3,43 (м, 3H), 3,02–2,81 (м, 4H), 2,41–2,31 (м, 2H), 2,36 (c, 3H), 2,29 (c, 3H), 2,15 (c, 3H), 2,05 (c, 3H).

ИЭР-МС m/z: 838,6 (M+H)<sup>+</sup>.

К раствору **28–S** (400 мг, 0,48 ммоль) в  $CH_3CN:H_2O$  (2:1, 33 мл, 0,015 M) добавляют  $AgNO_3$  (1,20 г, 7,16 ммоль). Через 16 ч при 23°C добавляют смесь 1:1 насыщенных водных растворов NaCl и NaHCO<sub>3</sub>, перемешивают в течение 15 мин, разбавляют  $CH_2Cl_2$ , перемешивают в течение 30 мин и экстрагируют  $CH_2Cl_2$ . Объединенные органические слои сушат над безводным  $Na_2SO_4$ , фильтруют и концентрируют в вакууме. Полученный остаток очищают флэш–хроматографией ( $CH_2Cl_2:CH_3OH$ , от 99:1 до 70:30) с получением **29–S** (179 мг, 45%).

R<sub>f</sub>=0,25 (CH<sub>2</sub>Cl<sub>2</sub>:CH<sub>3</sub>OH, 9:1).

<sup>1</sup>Н ЯМР (500 МГц, CD<sub>3</sub>OD): δ 7,17 (д, *J*=8,9 Гц, 1H), 6,83 (д, *J*=2,4 Гц, 1H), 6,70 (дд, *J*=8,9, 2,4 Гц, 1H), 6,66 (с, 1H), 6,29 (д, *J*=1,3 Гц, 1H), 6,10 (д, *J*=1,3 Гц, 1H), 5,32 (д, *J*=11,6 Гц, 1H), 4,65 (с, 1H), 4,57 (с, 1H), 4,48 (с, 1H), 4,38 (дд, *J*=11,7, 2,1 Гц, 1H), 3,75 (с, 3H), 3,73 (с, 3H), 3,41–3,35 (м, 1H), 3,16–2,91 (м, 5H), 2,71 (дд, *J*=15,3, 11,4 Гц, 2H), 2,54 (с, 1H), 2,42–2,36 (м, 2H), 2,38 (с, 3H), 2,37 (с, 3H), 2,28 (с, 3H), 1,99 (с, 3H).

 $^{13}$ C ЯМР (126 МГц, CDCl<sub>3</sub>): δ 171,3, 170,6, 155,2, 149,8, 147,5, 145,4, 142,8, 142,4, 133,0, 131,8, 130,0, 128,0, 122,2, 121,8, 115,5, 113,9, 113,3, 113,2, 111,4, 109,1, 103,8, 100,9, 91,6, 65,4, 61,9, 60,3, 59,4, 57,1, 56,4, 56,2, 55,2, 53,4, 43,7, 40,8, 38,3, 30,7, 26,4, 24,7, 20,4, 16,5, 9,6.

ИЭР-МС m/z: 811,3 (M-H<sub>2</sub>O+H)<sup>+</sup>.

(+)–HR–ИЭР–ВП–МС m/z: 811,2682 [M–H $_2$ O+H $]^+$  (Рассч. для  $C_{42}$ H $_43$ N $_4$ O $_{11}$ S 811,2644).

**Пример 16**.Синтез ссылочных соединений **28–R** и **29–R** 

К раствору **1** (50 мг, 0,08 ммоль) в уксусной кислоте (1 мл, 0,08 М) добавляют **16–R** (66 мг, 0,3 ммоль). Реакционную смесь перемешивают при  $50^{\circ}$ С в течение 6 ч, и затем уксусную кислоту выпаривают. Добавляют водный насыщенный раствор NaHCO<sub>3</sub> и смесь экстрагируют  $CH_2Cl_2$ . Объединенные органические слои сушат над безводным  $Na_2SO_4$ , фильтруют и концентрируют в вакууме. Флэш–хроматография ( $CH_2Cl_2:CH_3OH$ , от 99:1 до 80:20) дает соединение **28–R** (50 мг, 75%).

R<sub>f</sub>=0,20 (CH<sub>2</sub>Cl<sub>2</sub>:CH<sub>3</sub>OH, 10:1).

<sup>1</sup>Н ЯМР (400 МГц, CDCl<sub>3</sub>): 7,63 (c, 1H), 7,16 (д, J=8,8 Гц, 1H), 6,81 (д, J=2,4 Гц, 1H), 6,77 (дд, J=8,8, 2,3 Гц, 1H), 6,56 (c, 1H), 6,21 (д, J=1,2 Гц, 1H), 6,00 (д, J=1,2 Гц, 1H), 5,77 (c, 1H), 5,00 (д, J=11,8 Гц, 1H), 4,63 (c, 1H), 4,35 (c, 1H), 4,27 (д, J=5,0 Гц, 1H), 4,22–4,04 (м, 3H), 3,79 (c, 3H), 3,77 (c, 3H), 3,48–3,40 (м, 2H), 3,00 (дд, J=15,3, 4,8 Гц, 1H), 2,92 (д,

J=5,4  $\Gamma$ ц, 2H), 2,71 (дд, J=15,3, 10,1  $\Gamma$ ц, 1H), 2,46 (д, J=14,9  $\Gamma$ ц, 1H), 2,34 (с, 3H), 2,26 (с, 3H), 2,21 (д, J=15,0  $\Gamma$ ц, 1H),2,15 (с, 3H), 2,07 (с, 3H).

ИЭР-МС m/z: 838,8 (M+H)<sup>+</sup>.

К раствору **28–R** (50 мг, 0,06 ммоль) в  $CH_3CN:H_2O$  (2:1, 4,2 мл, 0,015М) добавляют AgNO<sub>3</sub> (304 мг, 1,80 ммоль). Через 3 ч при 23°C добавляют смесь 1:1 насыщенных водных растворов NaCl и NaHCO<sub>3</sub>, перемешивают в течение 15 мин, разбавляют  $CH_2Cl_2$ , перемешивают в течение 30 мин и экстрагируют  $CH_2Cl_2$ . Объединенные органические слои сушат над безводным  $Na_2SO_4$ , фильтруют и концентрируют в вакууме. Полученный остаток очищают флэш–хроматографией ( $CH_2Cl_2:CH_3OH$  от 99:1 до 70:30) с получением **29–R** (30 мг, 60%).

 $R_f=0.15$  (CH<sub>2</sub>Cl<sub>2</sub>:CH<sub>3</sub>OH, 9:1).

<sup>1</sup>Н ЯМР (400 МГц, CDCl<sub>3</sub>): 7,68 (c, 1H), 7,14 (д, J=8,8 Гц, 1H), 6,80 (д, J=2,4 Гц, 1H), 6,76 (дд, J=8,8, 2,4 Гц, 1H), 6,57 (c, 1H), 6,17 (д, J=1,3 Гц, 1H), 5,95 (д, J=1,3 Гц, 1H), 5,75 (с, 1H), 5,12 (д, J=11,5 Гц, 1H), 4,85 (с, 1H), 4,56–4,46 (м, 2H), 4,17 (с, 1H), 4,10 (дд, J=9,9, 4,9 Гц, 1H), 4,05 (дд, J=11,4, 2,0 Гц, 1H), 3,78 (с, 3H), 3,76 (с, 3H), 3,51 (с, 1H), 3,48–3,42 (м, 2H), 3,23 (с, 1H), 3,00 (дд, J=15,3, 4,9 Гц, 1H), 2,90–2,77 (м, 2H), 2,71 (дд, J=15,2, 9,9 Гц, 1H), 2,48 (д, J=14,6 Гц, 1H), 2,34 (с, 3H), 2,25 (с, 3H), 2,20 (д, J=14,6 Гц, 1H), 2,14 (с, 3H), 2,05 (с, 3H).

<sup>13</sup>С ЯМР (101 МГц, CDCl<sub>3</sub>): 175,6, 171,0, 168,7, 154,1, 147,3, 145,6, 143,1, 141,3, 140,8, 131,1, 130,4, 126,5, 121,9, 121,5, 121,3, 115,5, 112,9, 112,7, 112,0, 109,1, 101,9, 100,2, 81,5, 62,8, 61,7, 60,4, 57,9, 57,8, 56,0, 55,8, 54,8, 53,4, 42,5, 41,2, 40,3, 29,7, 24,6, 23,8, 20,5, 15,9, 9,8.

ИЭР-МС m/z: 811,6 (M-H<sub>2</sub>O+H)<sup>+</sup>.

(+)–HR–ИЭР–ВП–МС m/z: 811,2687 [M–H $_2$ O+H $]^+$  (Рассч. для  $C_{42}$ H $_43$ N $_4$ O $_{11}$ S 811,2644).

# Пример 17.

A)

OMe

$$AcO$$
 $AcO$ 
 $AcO$ 

К раствору соединения **1** (2,0 г, 3,21 ммоль) в ацетонитриле (200 мл, 0,01 М) добавляют гидрохлорид 2-бензофуран–3-ил-этиламина (**30**) (1,90 г, 9,65 ммоль, Sigma Aldrich) и цианурхлорид (TCT) (200 мг, 10%). Реакционную смесь перемешивают при  $85^{\circ}$ С в течение 24 ч и затем добавляют водный насыщенный раствор NaHCO<sub>3</sub> и смесь экстрагируют CH<sub>2</sub>Cl<sub>2</sub>. Объединенные органические слои сушат над безводным Na<sub>2</sub>SO<sub>4</sub>, фильтруют и концентрируют в вакууме. Флэш–хроматография (Гексан:EtOAc, от 9:1 до 1:9) дает соединение **31** (1,95 г, 79%).

 $R_f = 0.5$  (Гексан: EtOAc, 1:1).

 $^{1}$ Н ЯМР (400 МГц, CDCl<sub>3</sub>):  $\delta$  7,38–7,36 (м, 2H), 7,19–7,10 (м, 2H), 6,64 (с, 1H), 6,20 (д, J=1,5 Гц, 1H), 6,05 (д, J=1,5 Гц, 1H), 5,76 (с, 1H), 5,05 (д, J=11,7 Гц, 1H), 4,54 (с, 1H), 4,33–4,24 (м, 2H), 4,23–4,16 (м, 2H), 3,81 (с, 3H), 3,49–3,38 (м, 2H), 3,28–3,21 (м, 1H), 3,06–2,78 (м, 5H), 2,57–2,50 (м, 2H), 2,37 (с, 3H), 2,27 (с, 3H), 2,21 (м, 3H), 2,08 (с, 3H).

ИЭР-МС m/z: 765,3 (M+H)<sup>+</sup>.

К раствору соединения **31** (380 мг, 0,49 ммоль) в CH<sub>3</sub>CN:H<sub>2</sub>O (1,39:1, 25 мл, 0,015 М) добавляют AgNO<sub>3</sub> (1,30 г, 7,45 ммоль). Через 5 ч при 23°C добавляют смесь 1:1 насыщенных водных растворов NaCl и NaHCO<sub>3</sub>, перемешивают в течение 15 мин, разбавляют CH<sub>2</sub>Cl<sub>2</sub>, перемешивают в течение 5 мин и экстрагируют CH<sub>2</sub>Cl<sub>2</sub>. Объединенные органические слои сушат над безводным Na<sub>2</sub>SO<sub>4</sub>, фильтруют и концентрируют в вакууме. Полученный остаток очищают флэш–хроматографией (CH<sub>2</sub>Cl<sub>2</sub>:CH<sub>3</sub>OH, от 99:1 до 85:15) дает соединение **32** (175 мг, 47%).

 $R_f = 0.40$  (CH<sub>2</sub>Cl<sub>2</sub>:CH<sub>3</sub>OH, 9:1).

<sup>1</sup>Н ЯМР (400 МГц, CDCl<sub>3</sub>):  $\delta$  7,35 (ддд, J=10,7, 7,6, 1,1 Гц, 2H), 7,14 (дтд, J=19,7, 7,3, 1,3 Гц, 2H), 6,65 (c, 1H), 6,16 (д, J=1,5 Гц, 1H), 6,01 (д, J=1,5 Гц, 1H), 5,75 (c, 1H), 5,15 (дд, J=11,5, 1,2 Гц, 1H), 4,80 (c, 1H), 4,48 (д, J=3,2 Гц, 1H), 4,44 (c, 1H), 4,20–4,06 (м, 2H),

3,81 (c, 1H), 3,50 (д, J=18,8  $\Gamma$ ц, 1H), 3,30 (ддд, J=12,6, 7,9, 5,1  $\Gamma$ ц, 1H), 3,22 (д, J=9,1  $\Gamma$ ц, 1H), 2,99 (д, J=17,9  $\Gamma$ ц, 1H), 2,84 (дд, J=19,2, 12,0  $\Gamma$ ц, 3H), 2,59–2,49 (м, 2H), 2,36 (с, 3H), 2,27 (с, 3H), 2,21–2,14 (м, 1H), 2,18 (с, 3H), 2,06 (с, 3H).

<sup>13</sup>C ЯМР (101 МГц, CDCl<sub>3</sub>): δ 171,2, 168,7, 154,4, 150,0, 147,9, 145,5, 142,9, 140,9, 140,8, 131,3, 129,0, 127,7, 123,7, 122,2, 121,2, 120,8, 118,9, 118,3, 115,5, 113,5, 111,7, 101,7, 82,1, 62,7, 61,7, 60,3, 57,8, 57,4, 55,9, 55,0, 42,2, 41,3, 39,7, 38,2, 29,7, 23,7, 21,3, 20,6, 15,9, 9,7.

ИЭР-MC m/z: 738,6 (M-H<sub>2</sub>O+H)<sup>+</sup>.

(+)–HR–ИЭР–ВП–МС m/z: 756,2654  $[M+H]^+$  (Рассч. для  $C_{40}H_{42}N_3O_{10}S$  756,2585).

## Пример 18.

К раствору **1** (500 мг, 0,80 ммоль) в уксусной кислоте (10 мл, 0,08 М) добавляют гидрохлорид 2–(5-метоксибензофуран–3-ил)этиламина (**33**) (Diverchim, ссыл: DW04590) (444 мг, 1,60 ммоль). Реакционную смесь перемешивают при 50°С в течение 6 дней, и затем уксусную кислоту выпаривают. Добавляют водный насыщенный раствор NaHCO<sub>3</sub> и смесь экстрагируют CH<sub>2</sub>Cl<sub>2</sub>. Объединенные органические слои сушат над безводным Na<sub>2</sub>SO<sub>4</sub>, фильтруют и концентрируют в вакууме. Флэш–хроматография (Гексан:EtOAc, 1:1) дает **34** (270 мг, 43%).

R<sub>f</sub>=0,3 (Гексан:EtOAc, 1:1).

 $^{1}$ Н ЯМР (400 МГц, CDCl<sub>3</sub>):  $\delta$  7,25 (д, J=9,1 Гц, 1H), 6,80–6,73 (м, 2H), 6,63 (с, 1H), 6,18 (д, J=1,4 Гц, 1H), 6,03 (д, J=1,4 Гц, 1H), 5,78 (с, 1H), 5,03 (дд, J=11,5, 1,3 Гц, 1H), 4,52 (с, 1H), 4,29 (с, 1H), 4,26 (дд, J=4,7, 1,5 Гц, 1H), 4,23–4,16 (м, 2H), 3,80 (с, 3H), 3,78 (с, 3H), 3,46–3,43 (м, 1H), 3,43–3,37 (м, 1H), 3,24 (с, 1H), 3,03 (д, J=18,0 Гц, 1H), 2,91 (дд, J=17,9, 9,2 Гц, 1H), 2,87–2,72 (м, 2H), 2,53–2,47 (м, 2H), 2,36 (с, 3H), 2,27 (с, 3H), 2,20 (с, 3H), 2,06 (с, 3H).

ИЭР-МС m/z: 795,8 (M+H)<sup>+</sup>.

К раствору **34**(345 мг, 0,43 ммоль) в CH<sub>3</sub>CN:H<sub>2</sub>O (1,39:1, 30 мл, 0,015 М) добавляют AgNO<sub>3</sub> (2,20 г, 13,0 ммоль). Через 3 ч при 23°C добавляют смесь 1:1 насыщенных водных растворов NaCl и NaHCO<sub>3</sub>, перемешивают в течение 15 мин, разбавляют CH<sub>2</sub>Cl<sub>2</sub>, перемешивают в течение 5 мин и экстрагируют CH<sub>2</sub>Cl<sub>2</sub>. Объединенные органические слои сушат над безводным Na<sub>2</sub>SO<sub>4</sub>, фильтруют и концентрируют в вакууме. Полученный остаток очищают флэш–хроматографией (CH<sub>2</sub>Cl<sub>2</sub>:CH<sub>3</sub>OH, от 99:1 до 85:15) с получением **35** (175 мг, 51%).

 $R_f = 0.35$  (CH<sub>2</sub>Cl<sub>2</sub>:CH<sub>3</sub>OH, 9:1).

<sup>1</sup>Н ЯМР (500 МГц, CD<sub>3</sub>OD): δ 7,27 (д, J=9,0 Гц, 1H), 6,90 (д, J=2,6 Гц, 1H), 6,80 (дд, J=9,0, 2,6 Гц, 1H), 6,57 (с, 1H), 6,23 (д, J=1,2 Гц, 1H), 6,05 (д, J=1,2 Гц, 1H), 5,23 (д, J=11,5 Гц, 1H), 4,27–4,08 (м, 4H), 3,77 (с, 3H), 3,75 (с, 3H), 3,63 (д, J=14,1 Гц, 2H), 3,40–3,34 (м, 2H), 2,93–2,87 (м, 5H), 2,80 (д, J=15,5 Гц, 1H), 2,57–2,54 (м, 2H), 2,34 (с, 3H), 2,30 (с, 3H), 2,14 (с, 3H), 2,05 (с, 3H).

<sup>13</sup>C ЯМР (126 МГц, CD<sub>3</sub>OD): δ 171,9, 170,6, 157,5, 147,0, 145,0, 142,3, 141,0, 132,2, 131,1, 129,1, 122,2, 120,9, 120,2, 116,3, 115,1, 114,0, 112,7, 111,4, 103,5, 102,7, 92,9, 62,0, 60,3, 59,8, 59,4, 56,5, 56,2, 56,0, 54,0, 43,8, 41,2, 40,7, 30,8, 30,3, 28,7, 24,5, 21,6, 20,6, 16,2, 9,6.

ИЭР-МС m/z: 768,6 (M-H<sub>2</sub>O+H)<sup>+</sup>.

(+)–HR–ИЭР–ВП–МС m/z: 768,2630  $[M-H_2O+H]^+$  (Рассч. для  $C_{41}H_{42}N_3O_{10}S$  768,2585).

К раствору LiAlH<sub>4</sub> (148 мл, 1,0 М в ТГФ, 148 ммоль) при -40°C осторожно добавляют  $H_2SO_4$  (7,14 мл, 72,9 ммоль) и суспензию (*S*)–2–амино–3–(бензофуран–3–ил)пропановой кислоты (**36–S**) (полученной, как описано в *Tetrahedron Asymmetry* **2008**, 19, 500–511) (5,54 г, 26,9 ммоль) в ТГФ (85 мл, 0,003 М). Реакционную смесь оставляют выделять газ при 23°C, нагревают при 80°C в течение 3 ч и 18 ч при 23°C. Охлаждая при – 21°C, реакционную смесь осторожно гасят NaOH 2N до щелочного pH. Добавляют EtOAc,

и смесь фильтруют через Celite® и промывают CH<sub>3</sub>OH. Неочищенный продукт концентрируют в вакууме с получением соединения **37–S** (3,93  $\Gamma$ , >100%).

R<sub>f</sub>=0,1 (CH<sub>2</sub>Cl<sub>2</sub>:CH<sub>3</sub>OH, 4:1).

 $^{1}$ Н ЯМР (400 МГц, CD<sub>3</sub>OD):  $\delta$  7,67–7,62 (м, 1H), 7,61 (с, 1H), 7,51–7,41 (м, 1H), 7,34–7,18 (м, 2H), 3,69–3,48 (м, 1H), 3,44 (дд, J=10,8, 6,6 Гц, 1H), 3,18 (дтд, J=7,4, 6,4, 4,6 Гц, 1H), 2,88 (ддд, J=14,4, 6,1, 1,0 Гц, 1H), 2,68 (ддд, J=14,4, 7,5, 0,9 Гц, 1H).

### Пример 20

К раствору LiAlH<sub>4</sub> (118 мл, 1,0 М в ТГФ, 118 ммоль) при  $-40^{\circ}$ С осторожно добавляют  $H_2SO_4$  (3,1 мл, 57,8 ммоль) и суспензию (R)–2–амино–3–(бензофуран–3–ил)пропановой кислоты (**36–R**) (полученной, как описано в *Tetrahedron Asymmetry* **2008**, 19, 500–511) (4,4 г, 21,4 ммоль) в ТГФ (67,4 мл, 0,003 М). Реакционную смесь оставляют выделять газ при 23°С, нагревают при 80°С в течение 3 ч и 18 ч при 23°С. Охлаждая при – 21°С, реакционную смесь осторожно гасят NaOH 2N до щелочного рН. Добавляют EtOAc, и смесь фильтруют через Celite® и промывают CH<sub>3</sub>OH. Неочищенный продукт концентрируют в вакууме. Флэш–хроматография (CH<sub>2</sub>Cl<sub>2</sub>:CH<sub>3</sub>OH, от 99:1 до 85:15, кремнеземовый амин) дает соединение **37–R** (2,77 г, 68%).

 $R_f=0,1$  (CH<sub>2</sub>Cl<sub>2</sub>:CH<sub>3</sub>OH, 4:1).

 $^{1}$ Н ЯМР (400 МГц, CD<sub>3</sub>OD):  $\delta$  7,63–7,52 (м, 1H), 7,56 (с, 1H), 7,46–7,33 (м, 1H), 7,21 (дтд, J=19,9, 7,3, 1,3 Гц, 2H), 3,57 (дд, J=10,7, 4,6 Гц, 1H), 3,42 (дд, J=10,8, 6,6 Гц, 1H), 3,15 (дтд, J=7,6, 6,3, 4,6 Гц, 1H), 2,84 (ддд, J=14,4, 6,0, 1,0 Гц, 1H), 2,64 (ддд, J=14,4, 7,5, 0,9 Гц, 1H).

### Пример 21

К раствору соединения **1** (850 мг, 1,36 ммоль) в CH<sub>3</sub>CN (136 мл, 0,01 M) добавляют (S)—2—амино—3—(бензофуран—3—ил)пропан—1—ол (**37—S**) (1,30 г, 6,83 ммоль) и цианурхлорид (ТСТ) (170 мг, 20%). Реакционную смесь перемешивают при 85°C в течение 24 ч и затем добавляют водный насыщенный раствор NaHCO<sub>3</sub> и смесь экстрагируют CH<sub>2</sub>Cl<sub>2</sub>. Объединенные органические слои сушат над безводным Na<sub>2</sub>SO<sub>4</sub>, фильтруют и концентрируют в вакууме. Флэш—хроматография (Гексан:EtOAc, от 9:1 до

1:9) дает соединение **38–S** (750 мг, 69%).

R<sub>f</sub>=0,25 (Гексан:ЕtOAc, 1:1).

<sup>1</sup>Н ЯМР (400 МГц, CDCl<sub>3</sub>):  $\delta$  7,39–7,33 (м, 1H), 7,33–7,29 (м, 1H), 7,20 (ддд, J=8,3, 7,2, 1,4 Гц, 1H), 7,14 (тд, J=7,4, 1,0 Гц, 1H), 6,61 (с, 1H), 6,21 (д, J=1,4 Гц, 1H), 6,06 (д, J=1,4 Гц, 1H), 5,74 (с, 1H), 5,08 (д, J=11,2 Гц, 1H), 4,58 (с, 1H), 4,37 (с, 1H), 4,32–4,23 (м, 2H), 4,19 (д, J=2,7 Гц, 1H), 3,81 (с, 3H), 3,52–3,41 (м, 3H), 3,36–3,29 (м, 1H), 3,13 (д, J=9,8 Гц, 1H), 3,00–2,81 (м, 3H), 2,57 (дд, J=15,7, 4,9 Гц, 1H), 2,50 (д, J=15,2 Гц, 1H),2,37 (с, 3H), 2,31–2,25 (м, 1H), 2,29 (с, 3H), 2,16 (с, 3H), 2,10 (д, J=7,2 Гц, 1H), 2,05 (с, 3H).

ИЭР-МС m/z: 795,2 (M)<sup>+</sup>.

К раствору соединения **38–S** (890 мг, 1,12 ммоль) в CH<sub>3</sub>CN:H<sub>2</sub>O (1,39:1, 75 мл, 0,015 M) добавляют AgNO<sub>3</sub> (4,70 г, 28,0 ммоль). Через 18 ч при 23°C добавляют смесь 1:1 насыщенных водных растворов NaCl и NaHCO<sub>3</sub>, перемешивают в течение 15 мин, разбавляют CH<sub>2</sub>Cl<sub>2</sub>, перемешивают в течение 5 мин и экстрагируют CH<sub>2</sub>Cl<sub>2</sub>. Объединенные органические слои сушат над безводным Na<sub>2</sub>SO<sub>4</sub>, фильтруют и концентрируют в вакууме. Полученный остаток очищают флэш–хроматографией (CH<sub>2</sub>Cl<sub>2</sub>:CH<sub>3</sub>OH, от 99:1 до 85:15) дает соединение **39–S** (500 мг, 57%).

R<sub>f</sub>=0,30 (CH<sub>2</sub>Cl<sub>2</sub>:CH<sub>3</sub>OH, 9:1).

<sup>1</sup>Н ЯМР (400 МГц, CDCl<sub>3</sub>):  $\delta$  7,38–7,33 (м, 1H), 7,33–7,28 (м, 1H), 7,23–7,16 (м, 1H), 7,16–7,09 (м, 1H), 6,62 (с, 1H), 6,18 (д, J=1,4 Гц, 1H), 6,03 (д, J=1,4 Гц, 1H), 5,71 (с, 1H), 5,19 (д, J=11,2 Гц, 1H), 4,85 (с, 1H), 4,49 (с, 2H), 4,24–4,10 (м, 3H), 3,81 (с, 3H), 3,54 (д, J=4,9 Гц, 1H), 3,49 (д, J=2,3 Гц, 3H), 3,33 (т, J=10,1 Гц, 2H), 3,22 (с, 1H), 2,98 (с, 1H), 2,84 (д, J=7,6 Гц, 2H), 2,62–2,53 (м, 2H), 2,37 (с, 3H),2,30–2,24 (м, 1H), 2,28 (с, 3H), 2,14 (с, 3H), 2,04 (с, 3H).

<sup>13</sup>C ЯМР (126 МГц, CDCl<sub>3</sub>): δ 172,0, 170,7, 156,1, 150,6, 149,9, 147,1, 145,0, 142,4, 142,2, 132,0, 131,4, 128,7, 125,5, 123,8, 122,6, 121,6, 120,1, 116,5, 114,4, 112,3, 103,5, 92,6, 66,0, 65,1, 62,2, 60,4, 59,7, 56,6, 56,1, 54,8, 54,1, 51,6, 44,0, 41,3, 38,3, 30,8, 24,8, 20,6, 16,3, 9,6.

ИЭР-МС *m/z*: 768,2 (М-H<sub>2</sub>O+H)<sup>+</sup>.

(+)–HR–ИЭР–ВП–МС m/z:768,2652 [M–H $_2$ O+H $]^+$  (Рассч. дляС $_{41}$ H $_{42}$ N $_3$ O $_{10}$ S 768,2585) **Пример 22.** 

К раствору соединения **1** (100 мг, 0,16 ммоль) в CH<sub>3</sub>CN (16 мл, 0,01 М) добавляют (R)–2–амино–3–(бензофуран–3–ил)пропан–1–ол (**37–R**) (307 мг, 1,6 ммоль) и цианурхлорид (ТСТ) (40 мг, 40%). Реакционную смесь перемешивают при 85°C в течение 44 ч и затем добавляют водный насыщенный раствор NaHCO<sub>3</sub> и смесь экстрагируют CH<sub>2</sub>Cl<sub>2</sub>. Объединенные органические слои сушат над безводным Na<sub>2</sub>SO<sub>4</sub>, фильтруют и концентрируют в вакууме. Флэш–хроматография (Гексан:EtOAc, от 9:1 до 1:9) дает соединение **38–R** (95 мг, 75%).

 $R_f$ =0,3 (Гексан:EtOAc, 1:1).

<sup>1</sup>Н ЯМР (400 МГц, CDCl<sub>3</sub>):  $\delta$  7,42–7,27 (м, 2H), 7,28–7,09 (м, 2H), 6,58 (с, 1H), 6,20 (д, J=1,4 Гц, 1H), 6,05 (д, J=1,4 Гц, 1H), 5,79 (с, 1H), 5,00 (д, J=11,4 Гц, 1H), 4,59 (с, 1H), 4,34 (с, 1H), 4,31–4,16 (м, 4H), 3,80 (с, 3H), 3,79–3,76 (м, 1H), 3,63 (с, 1H), 3,54–3,40 (м, 4H), 2,99–2,87 (м, 2H), 2,68 (д, J=15,0 Гц, 1H), 2,56–2,47 (м, 1H), 2,38 (с, 3H), 2,27 (с, 3H), 2,17 (с, 3H), 2,07 (с, 3H).

ИЭР-МС m/z: 795,2 (M+H)<sup>+</sup>.

B) 
$$\begin{array}{c} & & & & & \\ & & & & \\ & & & & \\ & & & \\ & & & \\ & & & \\ & & & \\ & & & \\ &$$

К раствору соединения **38–R** (95 мг, 0,11 ммоль) в CH<sub>3</sub>CN:H<sub>2</sub>O (1,39:1, 11 мл, 0,015 М) добавляют AgNO<sub>3</sub> (601 мг, 3,58 ммоль). Через 18 ч при 23°C добавляют смесь 1:1 насыщенных водных растворов NaCl и NaHCO<sub>3</sub>, перемешивают в течение 15 мин, разбавляют CH<sub>2</sub>Cl<sub>2</sub>, перемешивают в течение 5 мин и экстрагируют CH<sub>2</sub>Cl<sub>2</sub>. Объединенные органические слои сушат над безводным Na<sub>2</sub>SO<sub>4</sub>, фильтруют и концентрируют в вакууме. Полученный остаток очищают флэш–хроматографией (CH<sub>2</sub>Cl<sub>2</sub>:CH<sub>3</sub>OH, от 99:1 до 85:15) с получением соединения **39–R** (66 мг, 70%).

R<sub>f</sub>=0,3 (CH<sub>2</sub>Cl<sub>2</sub>:CH<sub>3</sub>OH, 9:1).

<sup>1</sup>H ЯМР (400 МГц, CDCl<sub>3</sub>):  $\delta$  7,39–7,31 (м, 2H), 7,23–7,07 (м, 2H), 6,59 (с, 1H), 6,17

(д, J=1,4  $\Gamma$ ц, 1H), 6,01 (д, J=1,4  $\Gamma$ ц, 1H), 5,75 (с, 1H), 5,12 (дд, J=11,3, 1,2  $\Gamma$ ц, 1H), 4,84 (с, 1H), 4,56–4,43 (м, 2H), 4,19–4,07 (м, 3H), 3,79 (с, 3H), 3,83–3,74 (м, 1H), 3,66–3,51 (м, 3H), 3,24 (с, 1H), 2,99–2,79 (м, 2H), 2,75–2,64 (м, 1H), 2,59–2,43 (м, 2H), 2,38 (с, 3H), 2,27 (с, 3H), 2,16 (с, 3H), 2,07 (с, 3H).

<sup>13</sup>C ЯМР (101 МГц, CD<sub>3</sub>OD): δ 170,5, 169,1, 154,9, 148,9, 148,5, 145,7, 143,6, 141,1, 140,8, 130,6, 129,9, 127,1, 124,1, 122,4, 122,4, 121,2, 120,3, 118,7, 118,2, 115,1, 113,6, 110,9, 102,1, 91,1, 65,0, 63,3, 60,2, 59,0, 58,4, 55,4, 54,5, 52,7, 52,3, 42,5, 38,7, 29,4, 23,5, 23,2, 19,1, 14,8, 8,3.

ИЭР-МС m/z: 768,2 (M-H<sub>2</sub>O+H)<sup>+</sup>.

(+)–HR–ИЭР–ВП–МС m/z: 767,2628  $[M-H_2O+H]^+$  (Рассч. для  $C_{41}H_{42}N_3O_{10}S$  768,2585).

**Пример 23.** Синтез аллил-N–[(S)–2–амино–3–(бензофуран–3–ил)пропил]карбамата (44–**S**).

К раствору соединения **37–S** (1,0 г, 5,22 ммоль) в CH<sub>3</sub>CN (21 мл, 4 мл/ммоль) добавляют ди*-трет*-бутилдикарбонат (2,28 г, 10,4 ммоль). Реакционную смесь перемешивают при 23°C в течение 2 ч, концентрируют в вакууме. Флэш–хроматография (CH<sub>2</sub>Cl<sub>2</sub>:CH<sub>3</sub>OH, от 99:1 до 85:15) дает соединение **40–S** (0,5 г, 33%).

 $R_f=0.7$  (CH<sub>2</sub>Cl<sub>2</sub>:CH<sub>3</sub>OH, 9:1).

 $^{1}$ Н ЯМР (400 МГц, CDCl<sub>3</sub>):  $\delta$  7,64 (д, J=7,6 Гц, 1H), 7,49 (с, 1H), 7,46 (д, J=7,6 Гц, 1H), 7,36–7,19 (м, 2H), 4,94 (с, 1H), 3,98 (с, 1H), 3,71–3,56 (м, 2H), 2,93 (д, J=6,9 Гц, 2H), 1,41 (с, 9H).

К раствору соединения **40–S** (0,5 г, 1,71 ммоль) в  $CH_2Cl_2$  (11 мл, 6 мл/ммоль) добавляют фталимид (0,55 г, 3,77 ммоль), трифенилфосфин (0,99 г, 3,77 ммоль), и смесь охлаждают при 0°С. Добавляют раствор 40% диэтилазодикарбоксилата в  $CH_2Cl_2$  (1,26 мл, 4,29 ммоль) в течение 15 мин. Реакционную смесь перемешивают при 23°С в течение 18 ч, концентрируют в вакууме. Полученный остаток очищают флэш–хроматографией (Гексан:EtOAc, от 99:1 до 40:60) дает соединение **41–S** (0,68 г, 94%).

R<sub>f</sub>=0,8 (CH<sub>2</sub>Cl<sub>2</sub>:CH<sub>3</sub>OH, 9:1).

 $^{1}$ Н ЯМР (400 МГц, CDCl<sub>3</sub>):  $\delta$  7,89–7,79 (м, 2H), 7,83–7,62 (м, 2H), 7,65–7,55 (м, 2H), 7,49–7,42 (м, 1H), 7,33–7,20 (м, 2H), 4,83 (д, J=9,0 Гц, 1H), 4,39 (ддт, J=12,1, 6,3, 2,9 Гц, 1H), 3,88–3,70 (м, 2H), 2,96 (д, J=6,4 Гц, 2H), 1,24 (с, 9H).

К раствору соединения **41–S** (345 мг, 0,82 ммоль) в этаноле (25 мл, 30 мл/ммоль) добавляют моногидрат гидразина (3,6 мл, 73,8 ммоль). Реакционную смесь перемешивают при  $80^{\circ}$ C в герметично закрытой пробирке в течение 2 ч, концентрируют в вакууме. Флэш–хроматография (CH<sub>2</sub>Cl<sub>2</sub>:CH<sub>3</sub>OH, от 100:1 до 50:50) дает соединение **42–S** (233 мг, 98%).

R<sub>f</sub>=0,1 (CH<sub>2</sub>Cl<sub>2</sub>:CH<sub>3</sub>OH, 8:2).

<sup>1</sup>Н ЯМР (400 МГц, CDCl<sub>3</sub>): δ 7,62 (д, *J*=7,5 Гц, 1H), 7,49–7,42 (м, 2H), 7,33–7,18 (м, 2H), 4,85 (д, *J*=8,8 Гц, 1H), 3,91 (с, 1H), 2,91–2,76 (м, 3H), 2,67 (дд, *J*=13,1, 6,8 Гц, 1H), 1,25 (с, 9H).

К раствору соединения **42–S** (280 мг, 0,96 ммоль) в CH<sub>3</sub>CN(10 мл, 10 мл/ммоль) и ДМФ (16 мл, 1 мл/ммоль) добавляют N, N–диизопропилэтиламин (0,14 мл, 0,77 ммоль) и аллилхлорформиат (1,02 мл, 9,64 ммоль). Реакционную смесь перемешивают при 23°C в течение 2 ч. Смесь разбавляют EtOAc и добавляют NH<sub>4</sub>Cl, и смесь экстрагируют EtOAc. Объединенные органические слои сушат над безводным Na<sub>2</sub>SO<sub>4</sub>, фильтруют и концентрируют в вакууме. Полученный остаток очищают флэш–хроматографией (Гексан:EtOAc, от 100:1 до 1:100) с получением соединения **43–S** (445 мг, >100%).

 $R_f=0.5$  (Гексан:EtOAc, 1:1).

<sup>1</sup>Н ЯМР (400 МГц, CDCl<sub>3</sub>): δ 7,60 (д, *J*=7,6 Гц, 1H), 7,52–7,43 (м, 2H), 7,34–7,20 (м, 2H), 5,90 (ддт, *J*=16,4, 10,8, 5,6 Гц, 1H), 5,32–5,17 (м, 2H), 4,93–4,86 (м, 1H), 4,56 (д, *J*=5,6 Гц, 2H), 4,08–3,98 (м, 1H), 3,40–3,21 (м, 2H), 2,88 (м, 2H), 1,25 (с, 9H).

К раствору соединения **43–S** (160 мг, 0,43 ммоль) в  $CH_2Cl_2$  (8 мл, 16,6 мл/ммоль) добавляют трифторуксусную кислоту (4 мл, 8,3 мл/ммоль). Реакционную смесь перемешивают при 23°C в течение 1,5 ч, концентрируют в вакууме. Флэш–хроматография ( $CH_2Cl_2:CH_3OH$ , от 100:1 до 50:50) дает соединение **44–S** (175 мг, >100%).

 $R_f=0,2$  (CH<sub>2</sub>Cl<sub>2</sub>:CH<sub>3</sub>OH, 9:1).

<sup>1</sup>Н ЯМР (400 МГц, CD<sub>3</sub>OD): δ 7,72 (c, 1H), 7,64 (дт, J=8,4, 0,9 Гц, 1H), 7,49 (дт, J=8,4, 0,9 Гц, 1H), 7,37–7,22 (м, 2H), 5,94 (ддт, J=16,3, 10,7, 5,5 Гц, 1H), 5,32 (дкв, J=17,3, 1,7 Гц, 1H), 5,19 (дкв, J=10,6, 1,5 Гц, 1H), 4,56 (дт, J=5,7, 1,5 Гц, 2H), 3,56 (квд, J=7,0, 4,4 Гц, 1H), 3,46–3,32 (м, 1H), 3,32–3,24 (м, 1H), 3,03 (дд, J=14,8, 6,9 Гц, 1H), 2,91 (ддд, J=14,8, 7,1, 0,9 Гц, 1H).

**Пример 24.** Синтез аллил–N–[(R)–2–амино–3–(бензофуран–3–ил)пропил]карбамата (**44–R**).

К раствору соединения **37–R** (2,75 г, 14,4 ммоль) в CH<sub>3</sub>CN(58 мл, 4 мл/ммоль) добавляют ди–*трет*—бутилдикарбонат (6,27 г, 28,76 ммоль). Реакционную смесь перемешивают при 23°C в течение 2,5 ч, концентрируют в вакууме. Флэш–хроматография (CH<sub>2</sub>Cl<sub>2</sub>:CH<sub>3</sub>OH, от 99:1 до 85:15) дает соединение **40–R** (3,7 г, 88%).

R<sub>f</sub>=0,6 (CH<sub>2</sub>Cl<sub>2</sub>:CH<sub>3</sub>OH, 9:1).

<sup>1</sup>H ЯМР (400 МГц, CDCl<sub>3</sub>): δ 7,64 (д, *J*=7,6 Гц, 1H), 7,52–7,43 (м, 2H), 7,35–7,20 (м, 2H), 4,85 (д, *J*=8,2 Гц, 1H), 4,00 (шс, 1H), 3,69 (дд, *J*=11,0, 4,0 Гц, 1H), 3,62 (дд, *J*=10,9, 5,1 Гц, 1H), 2,94 (д, *J*=6,9 Гц, 2H), 1,42 (с, 9H).

К раствору соединения **40–R** (3,7 г, 12,7 ммоль) в  $CH_2Cl_2$  (76 мл, 6 мл/ммоль) добавляют фталимид (4,1 г, 28 ммоль), трифенилфосфин (7,3 г, 28 ммоль), и смесь охлаждают при 0°С. Добавляют раствор 40% диэтилазодикарбоксилата в  $CH_2Cl_2$  (9,4 мл, 31,7 ммоль) в течение 15 мин. Реакционную смесь перемешивают при 23°С в течение 16 ч, концентрируют в вакууме. Полученный остаток очищают флэш–хроматографией ( $CH_2Cl_2:CH_3OH$ , от 99:1 до 85:15) с получением соединения **41–R** (4,05 г, 76%).

R<sub>f</sub>=0,8 (CH<sub>2</sub>Cl<sub>2</sub>:CH<sub>3</sub>OH, 9:1).

 $^{1}$ Н ЯМР (400 МГц, CDCl<sub>3</sub>):  $\delta$  7,67–7,68 (м, 4H), 7,61 (д, J=7,5 Гц, 1H), 7,58 (с, 1H), 7,46 (д, J=7,5 Гц, 1H), 7,27 (дтд, J=17,2, 7,3, 1,4 Гц, 2H), 4,84 (д, J=9,0 Гц, 1H), 4,46–4,30 (м, 1H), 3,89–3,66 (м, 2H), 2,97 (д, J=6,4 Гц, 2H), 1,24 (с, 9H).

К раствору соединения **41–R** (4,0 г, 9,5 ммоль) в этаноле (285 мл, 30 мл/ммоль) добавляют моногидрат гидразина (41,5 мл, 856 ммоль). Реакционную смесь перемешивают при  $80^{\circ}$ С в герметично закрытой пробирке в течение 2 ч, концентрируют в вакууме. Флэш–хроматография (CH<sub>2</sub>Cl<sub>2</sub>:CH<sub>3</sub>OH, от 100:1 до 50:50) дает соединение **42–R** (2,2 г, 80%).

R<sub>f</sub>=0,1 (CH<sub>2</sub>Cl<sub>2</sub>:CH<sub>3</sub>OH, 8:2).

 $^{1}$ Н ЯМР (400 МГц, CDCl<sub>3</sub>):  $\delta$  7,60 (д, J=7,5 Гц, 1H), 7,45 (с, 1H), 7,44 (д, J=7,1 Гц, 1H), 7,25 (дтд, J=18,8, 7,3, 1,3 Гц, 2H), 4,94 (д, J=8,8 Гц, 1H), 3,98–3,78 (м, 1H), 2,90–2,77 (м, 2H), 2,65 (дд, J=13,1, 7,0 Гц, 1H), 1,40 (с, 9H).

К раствору соединения **42–R** (2,2 г, 7,6 ммоль) в CH<sub>3</sub>CN (76 мл, 10 мл/ммоль) и ДМФ (7,6 мл, 1 мл/ммоль) добавляют N, N–диизопропилэтиламин (1,1 мл, 6,08 ммоль) и аллилхлорформиат (8,05 мл, 76 ммоль). Реакционную смесь перемешивают при 23°C в течение 7 ч. Смесь разбавляют EtOAc и добавляют NH<sub>4</sub>Cl, и смесь экстрагируют EtOAc. Объединенные органические слои сушат над безводным Na<sub>2</sub>SO<sub>4</sub>, фильтруют и концентрируют в вакууме. Полученный остаток очищают флэш–хроматографий (Гексан:EtOAc, от 100:1 до 1:100) с получением соединения **43–R** (2,3 г, 81%).

 $R_f=0,7$  (Гексан:EtOAc, 1:1).

<sup>1</sup>Н ЯМР (400 МГц, CDCl<sub>3</sub>):  $\delta$  7,60 (д, J=7,5 Гц, 1H), 7,52–7,43 (м, 2H), 7,34–7,20 (м, 2H), 5,90 (ддт, J=17,3, 10,8, 5,6 Гц, 1H), 5,29 (д, J=17,2, 1H), 5,20 (д, J=10,4, 1H), 5,10 (т, J=6,2 Гц, 1H), 4,86 (д, J=8,4 Гц, 1H), 4,56 (д, J=5,4, 2H), 4,08–3,97 (м, 1H), 3,36 (дт, J=10,7, 4,7 Гц, 1H), 3,30–3,23 (м, 1H), 2,87 (тд, J=14,8, 6,5 Гц, 2H), 1,41 (с, 9H).

К раствору соединения **43–R** (1,32 г, 3,52 ммоль) в  $CH_2Cl_2$  (60 мл, 16,6 мл/ммоль) добавляют трифторуксусную кислоту (30 мл, 8,3 мл/ммоль). Реакционную смесь перемешивают при 23°C в течение 1,5 ч, концентрируют в вакууме. Флэш–хроматография ( $CH_2Cl_2:CH_3OH$ , от 100:1 до 50:50) дает соединение **44–R** (0,90 г, 94%).

R<sub>f</sub>=0,2 (CH<sub>2</sub>Cl<sub>2</sub>:CH<sub>3</sub>OH, 9:1).

 $^{1}$ Н ЯМР (400 МГц, CDCl<sub>3</sub>):  $\delta$  7,75 (c, 1H), 7,69–7,61 (м, 1H), 7,54–7,46 (м, 1H), 7,39–7,24 (м, 2H), 5,95 (ддт, J=16,3, 10,8, 5,5 Гц, 1H), 5,32 (дд, J=17,3, 1,8 Гц, 1H), 5,24–5,16 (м, 1H), 4,57 (дт, J=5,7, 1,5 Гц, 2H), 3,68 (квд, J=7,1, 4,2 Гц, 1H), 3,48 (дд, J=14,8, 4,2 Гц, 1H), 3,42–3,30 (м, 1H), 3,14–2,95 (м, 2H).

## Пример 25

К раствору соединения **1** (750 мг, 1,2 ммоль) в CH<sub>3</sub>CN (120 мл, 0,01 M) добавляют соединение **44–S** (1370 мг, 6 ммоль) и цианурхлорид (ТСТ) (184 мг, 20%). Реакционную смесь перемешивают при  $85^{\circ}$ C в течение 23 ч и затем добавляют водный насыщенный раствор NaHCO<sub>3</sub> и смесь экстрагируют CH<sub>2</sub>Cl<sub>2</sub>. Объединенные органические слои сушат над безводным Na<sub>2</sub>SO<sub>4</sub>, фильтруют и концентрируют в вакууме. Флэш–хроматография (Гексан:EtOAc, от 9:1 до 1:9) дает соединение **45–S** (755 мг, 72%).

 $R_f$ =0,36 (Гексан:EtOAc, 1:1).

 $^{1}$ Н ЯМР (400 МГц, CDCl<sub>3</sub>):  $\delta$  7,38–7,28 (м, 2H), 7,23–7,08 (м, 2H), 6,67 (с, 1H), 6,19 (д, J=1,4 Гц, 1H), 6,09–5,95 (м, 1H), 6,04 (д, J=1,4 Гц, 1H), 5,92 (с, 1H), 5,80 (с, 1H), 5,44–5,34 (м, 1H), 5,26 (дкв, J=10,4, 1,3 Гц, 1H), 5,08 (дд, J=11,4, 1,1 Гц, 1H), 4,70–4,63 (м, 2H), 4,56 (с, 1H), 4,34 (с, 1H), 4,31–4,18 (м, 3H), 3,80 (с, 3H), 3,50–3,39 (м, 2H), 3,24–3,15 (м, 1H), 3,00 (дт, J=12,2, 6,0 Гц, 2H), 2,95 (д, J=5,2 Гц, 2H), 2,60 (дд, J=15,4, 4,5 Гц, 2H), 2,44 (дд, J=15,6, 5,2 Гц, 1H), 2,29 (с, 3H), 2,27 (с, 3H), 2,25–2,20 (м, 1H), 2,18 (с, 3H), 2,12 (с, 1H), 2,04 (с, 3H).

ИЭР-МС 
$$m/z$$
: 878,2 (M+H)<sup>+</sup>.

К раствору соединения **45–S** (750 мг, 0,85 ммоль) в  $CH_2Cl_2$  (15,3 мл, 18 мл/ммоль) добавляют дихлорид бис(трифенилфосфин)палладия(II) (96 мг, 0,14 ммоль) и уксусную кислоту (0,5 мл, 8,5 ммоль). Гидрид трибутилолова (1,4 мл, 5,1 ммоль) добавляют при 0°С, и реакционную смесь перемешивают при 0°С в течение 30 минут и концентрируют в вакууме. Флэш–хроматография (Гексан:EtOAc, от 100:1 до 1:100 и  $CH_2Cl_2:CH_3OH$ , от 100:1 до 1:100) дает соединение **46–S** (430 мг, 64%).

 $R_f=0,3$  (CH<sub>2</sub>Cl<sub>2</sub>:CH<sub>3</sub>OH, 1:1).

<sup>1</sup>Н ЯМР (400 МГц, CDCl<sub>3</sub>):  $\delta$  7,37–7,29 (м, 2H), 7,22–7,11 (м, 2H), 6,57 (с, 1H), 6,21 (д, J=1,5 Гц, 1H), 6,06 (д, J=1,5 Гц, 1H), 5,07 (д, J=11,5 Гц, 1H), 4,57 (с, 1H), 4,37 (с, 1H), 4,29–4,23 (м, 2H), 4,14 (с, 1H), 3,79 (с, 3H), 3,50–3,47 (м, 2H), 3,38 (д, J=8,7 Гц, 1H), 2,95–2,71 (м, 4H), 2,68–2,52 (м, 2H), 2,51–2,38 (м, 1H), 2,35 (с, 3H), 2,33–2,26 (м, 1H), 2,29 (с, 3H), 2,17–2,08 (м, 1H), 2,10 (с, 3H), 2,04 (с, 3H).

ИЭР-МС m/z: 794,3 (M+H)<sup>+</sup>.

К раствору соединения **46–S** (550 мг, 0,7 ммоль) в CH<sub>3</sub>CN:H<sub>2</sub>O (1,39:1, 49 мл, 0,015 М) добавляют AgNO<sub>3</sub> (2,4 г, 14 ммоль). Через 16 ч при 23°C реакцию гасят смесью 1:1 насыщенных водных растворов NaCl и NaHCO<sub>3</sub>, перемешивают в течение 15 мин, разбавляют CH<sub>2</sub>Cl<sub>2</sub>, перемешивают в течение 5 мин и экстрагируют CH<sub>2</sub>Cl<sub>2</sub>. Объединенные органические слои сушат над безводным Na<sub>2</sub>SO<sub>4</sub>, фильтруют и концентрируют в вакууме. Полученный остаток очищают флэш–хроматографией (CH<sub>2</sub>Cl<sub>2</sub>:CH<sub>3</sub>OH, от 99:1 до 85:15) с получением соединения **47–S** (53 мг, 10%).

R<sub>f</sub>=0,1 (CH<sub>2</sub>Cl<sub>2</sub>:CH<sub>3</sub>OH, 9:1).

 $^{1}$ Н ЯМР (500 МГц, CDCl<sub>3</sub>):  $\delta$  7,36 (д, 7,9 Гц, 1H), 7,33 (д, 7,4 Гц, 1H), 7,23 (т, J=7,4 Гц, 1H), 7,16 (т, J=7,4 Гц, 1H), 6,77 (с, 1H), 6,20 (с, 1H), 6,04 (с, 1H), 5,92 (с, 1H), 5,20 (д, J=11,1 Гц, 1H), 4,90 (с, 1H), 4,50 (с, 1H), 4,46–4,39 (м, 1H), 4,25 (д, J=11,1 Гц, 1H), 4,20 (с,

1H), 3,84 (c, 3H), 3,81 (д, J=4,2  $\Gamma$ ц, 1H), 3,58 (c, 1H), 3,40–3,14 (м, 3H), 2,90 (т, J=13,0  $\Gamma$ ц, 1H), 2,76 (м, 3H), 2,50 (с, 3H), 2,46–2,37 (м, 1H), 2,32–2,26 (м, 2H), 2,30 (с, 3H), 2,15 (с, 3H), 2,04 (с, 3H).

<sup>13</sup>C ЯМР (126 МГц, CD<sub>3</sub>OD): δ 170,5, 169,2, 154,6, 149,1, 148,7, 145,7, 143,5, 141,0, 140,9, 131,2, 129,6, 126,9, 124,4, 122,5, 121,4, 119,7, 118,7, 115,0, 112,7, 111,0, 110,7, 102,1, 91,2, 63,5, 61,2, 59,2, 58,5, 55,3, 54,7, 53,4, 52,7, 43,3, 42,5, 39,9, 36,9, 29,3, 24,1, 23,6, 19,1, 15,0, 8,2.

ИЭР-МС m/z: 767,2 (M-H<sub>2</sub>O+H)<sup>+</sup>.

(+)–HR–ИЭР–ВП–МС m/z: 767,2794  $[M-H_2O+H]^+$  (Рассч. для  $C_{41}H_{43}N_4O_9S$  767,2745).

## Пример 26.

A)

К раствору соединения **1** (621 мг, 1 ммоль) в CH<sub>3</sub>CN(100 мл, 0,01 M) добавляют соединение **44–R** (825 мг, 3 ммоль) и цианурхлорид (ТСТ) (248 мг, 40%). Реакционную смесь перемешивают при 85°C в течение 66 ч и затем добавляют водный насыщенный раствор NaHCO<sub>3</sub> и смесь экстрагируют CH<sub>2</sub>Cl<sub>2</sub>. Объединенные органические слои сушат над безводным Na<sub>2</sub>SO<sub>4</sub>, фильтруют и концентрируют в вакууме. Флэш–хроматография (Гексан:EtOAc, от 9:1 до 1:9) дает соединение **45–R** (530 мг, 58%).

 $R_f$ =0,4 (Гексан:EtOAc, 1:1).

<sup>1</sup>Н ЯМР (400 МГц, CDCl<sub>3</sub>):  $\delta$  7,42–7,28 (м, 2H), 7,23–7,08 (м, 2H), 6,60 (с, 1H), 6,20 (д, J=1,4 Гц, 1H), 6,04 (д, J=1,4 Гц, 1H),6,01–5,92 (м, 1H), 5,77 (с, 1H), 5,44–5,20 (м, 2H), 5,09 (с, 1H), 5,04–4,96 (м, 1H), 4,71–4,55 (м, 2H), 4,34 (с, 1H), 4,30–4,18 (м, 3H), 3,79 (с, 3H), 3,53 (дд, J=10,2, 4,4 Гц, 1H), 3,46 (м, 2H), 3,50–3,40 (м, 1H), 3,03–2,87 (м, 2H), 2,67 (д, J=15,0 Гц, 1H), 2,47 (дд, J=15,6, 3,7 Гц, 1H), 2,40–2,32 (м, 2H), 2,30 (с, 3H), 2,29 (с, 3H), 2,19–2,12 (м, 2H), 2,16 (с, 3H), 2,09 (с, 3H).

ИЭР-МС m/z: 878,3 (M+H)<sup>+</sup>.

К раствору соединения **45–R** (552 мг, 0,63 ммоль) в  $CH_2Cl_2$  (11,3 мл, 18 мл/ммоль) добавляют дихлорид бис(трифенилфосфин)палладия(II) (70,7 мг, 0,1 ммоль) и уксусную кислоту (0,36 мл, 6,3 ммоль). Гидрид трибутилолова (1,02 мл, 3,8 ммоль) добавляют при 0°С, и реакционную смесь перемешивают при 0°С в течение 0,5 ч и концентрируют в вакууме. Полученный неочищенный продукт разбавляют EtOAc, добавляют насыщенный водный раствор  $NH_4Cl$  и смесь экстрагируют EtOAc. Объединенные органические слои сушат над безводным  $Na_2SO_4$ , фильтруют и концентрируют в вакууме. Флэшхроматография (Гексан:EtOAc, от 100:1 до 1:100 и EtOAc: $CH_3OH$ , от 100:1 до 1:100) дает соединение **46–R** (423 мг, 85%).

R<sub>f</sub>=0,3 (CH<sub>2</sub>Cl<sub>2</sub>:CH<sub>3</sub>OH, 1:1).

<sup>1</sup>Н ЯМР (400 МГц, CDCl<sub>3</sub>):  $\delta$  7,45–7,28 (м, 2H), 7,23–7,08 (м, 2H), 6,56 (с, 1H), 6,19 (д, J=1,4 Гц, 1H), 6,05 (д, J=1,4 Гц, 1H), 4,98 (д, J=11,5 Гц, 1H), 4,59 (с, 1H), 4,34 (с, 1H), 4,27 (дд, J=5,1, 1,7 Гц, 1H), 4,22–4,16 (м, 2H), 3,80 (с, 3H), 3,49–3,39 (м, 2H), 3,31 (дкв, J=9,8, 5,5, 4,5 Гц, 2H), 2,95 (с, 1H), 2,83 (д, J=5,6 Гц, 2H), 2,74–2,51 (м, 3H), 2,35 (с, 3H), 2,32–2,21 (м, 2H), 2,26 (с, 3H); 2,16 (с, 3H), 2,06 (с, 3H).

ИЭР-МС m/z: 794,3 (M+H)<sup>+</sup>.

C) 
$$\begin{array}{c} \text{NH} \\ \text{NH} \\ \text{OMe} \\ \text{AcO} \\ \text{NH} \\ \text{NH} \\ \text{OMe} \\ \text{AcO} \\ \text{NH} \\ \text{NH} \\ \text{OMe} \\$$

К раствору соединения **46–R** (412 мг, 0,52 ммоль) в CH<sub>3</sub>CN:H<sub>2</sub>O (1,39:1, 36 мл, 0,015 M) добавляют AgNO<sub>3</sub> (1,76 г, 10,4 ммоль). Через 22 ч при 23°C реакцию гасят смесью 1:1 насыщенных водных растворов NaCl и NaHCO<sub>3</sub>, перемешивают в течение 15 мин, разбавляют CH<sub>2</sub>Cl<sub>2</sub>, перемешивают в течение 5 мин и экстрагируют CH<sub>2</sub>Cl<sub>2</sub>. Объединенные органические слои сушат над безводным Na<sub>2</sub>SO<sub>4</sub>, фильтруют и концентрируют в вакууме. Полученный остаток очищают флэш–хроматографией (CH<sub>2</sub>Cl<sub>2</sub>:CH<sub>3</sub>OH, от 99:1 до 85:15) с получением соединения **47–R** (175 мг, 43%).

 $R_f=0,1$  (CH<sub>2</sub>Cl<sub>2</sub>:CH<sub>3</sub>OH, 9:1).

<sup>1</sup>Н ЯМР (500 МГц, CDCl<sub>3</sub>):  $\delta$  7,34 (дд, J=11,1, 7,9 Гц, 2H), 7,22–7,07 (м, 2H), 6,57 (с, 1H), 6,17 (д, J=1,2 Гц, 1H), 6,01 (д, J=1,2 Гц, 1H), 5,11 (д, J=11,2 Гц, 1H), 4,84 (с, 1H), 4,53–4,47 (м, 2H), 4,21–4,07 (м, 2H), 3,80 (с, 3H), 3,56 (д, J=5,1 Гц, 1H), 3,43 (с, 1H), 3,24 (д, J=9,1 Гц, 1H), 2,98–2,78 (м, 4H), 2,72–2,58 (м, 2H), 2,38 (с, 3H), 2,35–2,27 (м, 2H), 2,28 (с, 3H), 2,14 (с, 3H), 2,08 (с, 3H).

<sup>13</sup>C ЯМР (101 МГц, CD<sub>3</sub>OD): δ 170,6, 169,1, 155,0, 148,8, 145,6, 143,7, 141,1, 140,8, 130,9, 129,7, 126,9, 124,2, 122,4, 121,1, 119,6, 118,9, 118,7, 115,0, 113,2, 112,5, 111,0, 102,1, 91,3, 63,3, 60,4, 59,0, 58,4, 55,3, 54,6, 52,6, 51,1, 44,9, 42,4, 39,8, 38,7, 29,4, 24,0, 23,2, 19,1,

15,0, 8,3.

ИЭР-МС m/z: 767,2 (M-H<sub>2</sub>O+H)<sup>+</sup>.

(+)–HR–ИЭР–ВП–МС m/z: 767,2806 [M–H $_2$ O+H $]^+$  (Рассч. для  $C_{41}$ H $_{43}$ N $_4$ O $_9$ S 767,2745).

# Пример 27. *In vitro* биоанализы для определения противоопухолевой активности

Целью этого анализа является оценка *in vitro* цитостатической (способность задерживать или останавливать рост опухолевых клеток) или цитотоксической (способность убивать опухолевые клетки) активности тестируемых образцов.

### колонии клеток

| Наименование | № ATCC                                  | Вид     | Ткань                     | Характеристики       |
|--------------|---|---------|---------------------------|----------------------|
| A549         | CCL-185                                 | человек | легкое                    | карцинома легкого    |
| A349         | CCL-183                                 | человек | легкое                    | (НМКРЛ)              |
|              |   |         |                           | аденокарцинома       |
| HT29         | HTB-38                                  | человек | толстая кишка             | прямой и ободочной   |
|              |   |         |                           | кишки                |
| MDA-MB-231   | HTB-26                                  | человек | молочная железа           | аденокарцинома       |
| WIDA-WIB-231 | 111111111111111111111111111111111111111 | человек | молочная железа           | молочной железы      |
| PSN1         | CRM-                                    | человек | поджелудочная             | аденокарцинома       |
| 1 SIVI       | CRL-3211                                | человек | железа                    | поджелудочной железы |
| PC-3         | CRL-1435 человек простата               |         | простата                  | аденокарцинома       |
| 10-5         |   |         | СКС-1455 человек простата |                      |
| 22Rv1        | CRL-2505                                | человек | простата                  | карцинома простаты   |

## ОЦЕНКА ЦИТОТОКСИЧЕСКОЙ АКТИВНОСТИ С ПРИМЕНЕНИЕМ КОЛОРИМЕТИЧЕСКИХ АНАЛИЗОВ SBR и МТТ

Колориметрический анализ с применением реакции сульфородамина В (SRB) адаптируют для получения количественного измерения роста и жизнеспособности клеток (по методике, описанной у Skehan et al. *J. Natl. Cancer Inst.* 1990, 82, 1107–1112). Другой колориметрический анализ, основанный на восстановлении бромида 3–(4,5–диметилтиазол–2–ил)–2,5–дифенилтетрзолия (МТТ) до пурпурного формазана также применяют для оценки антипролиферативного действия (по методике, описанной у Mosmann et al. *J. Immunol. Meth.* 1983, 65, 55–63).

В этих формах анализов применяют 96-луночные микропланшеты для культивирования клеток по стандартам American National Standards Institute и Society for Laboratory Automation and Screening (ANSI SLAS 1–2004 (R2012) 10/12/2011. Все колонии клеток, применяемые в этом исследовании, получают из American Type Culture Collection (ATCC) и получают из различных типов рака человека.

Клетки A549, HT29, MDA-MB-231 и PSN1 выдерживают в модифицированной по

Дульбекко среде Игла (DMEM), а клетки PC-3 и 22Rv1 выдерживают в среде мемориального института Розуэлла Парка (RPMI). Во все колонии клеток добавляют 10% фетальную телячью сыворотку (ФТС), 2 мМ L-глутамина, 100 Ед/мл пенициллина и 100 Ед/мл стрептомицина при 37°C, 5% CO<sub>2</sub> и 98% влажности. Для экспериментов, клетки собирают из субконфлюэнтных культур с применением трипсинизации, и ресуспендируют в свежей среде до подсчета и помещения в планшеты.

Клетки A549, HT29, MDA-MB-231 и PSN1 высевают в 96-луночные титровальные микропланшеты в количестве 5000 клеток на лунку в аликвотах 150 мкл и оставляют присоединяться к поверхности планшета в течение 18 часов (в течение ночи) в не содержащей лекарственное средство среде. После этого фиксируют один контрольный (не обработанный) планшет для каждой колонии клеток (как описано ниже) и применяют для ссылочного значения в нулевое время. Затем культуральные планшеты обрабатывают тестируемыми соединениями (50 мкл аликвот 4× исходных растворов в полной культуральной среде плюс 4% ДМСО) с применением десяти 2/5 серийных разведений (концентрации от 10 до 0,003 мкг/мл) и трех повторов культур (1% конечная концентрация в ДМСО). Через 72 часа обработки противоопухолевое действие измеряют с применением методики SRB: кратко, клетки промывают дважды ФСБ, фиксируют в течение 15 мин в 1% растворе глутарового альдегида при комнатной температуре, промывают дважды в ФСБ и окрашивают в 0,4% растворе SRB в течение 30 мин при комнатной температуре. Клетки затем промывают несколько раз 1% раствором уксусной кислоты и сушат на воздухе при комнатной температуре. Затем SRB экстрагируют в 10 мМ основного раствора тризма и абсорбцию измеряют в автоматизированном спектрофотометрическом планшетном ридере при 490 нм.

Количество клеток PC-3 и 22Rv1, подходящее для достижения конечной плотности клеток в анализе от 5000 до 15000 клеток на лунку, в зависимости от колонии клеток, высевают в 96-луночные планшеты, и оставляют выстаиваться в культуральной среде в течение 24 ч при 37°C под 5% CO<sub>2</sub> и 98% влажности. Затем соединения или ДМСО в культуральной среде добавляют для достижения конечного объема 200 мкл и предполагаемой концентрации соединения в интервале, покрывающем десять серийных 2/5 разведений, начиная с 0,1 мкг/мл в 1% (об./об.) ДМСО. В этот момент ряд "контрольных планшетов на начала отсчета", обработанных 1% (об./об.) ДМСО, обрабатывают МТТ как описано ниже. Оставшиеся планшеты инкубируют в течение 72 ч в указанных выше условиях окружающей среды. Затем 50 мкл 1 мг/мл раствора МТТ в культуральной среде добавляют в лунки и инкубируют в течение 6-8 часов при 37°C для образования кристаллов формазана. Затем культуральную среду удаляют, и 100 мкл чистого ДМСО добавляют в каждую лунку для растворения продукта формазана в окрашенный раствор, абсорбцию которого при 540 нм в конечном итоге измеряют в микропланшетном многоканальном ридере PolarStar Omega (BMG Labtech, Ortenberg, Germany).

Действие на рост и выживание клеток оценивают с применением алгоритма NCI

(Воуd MR и Paull KD. Drug Dev. Res. 1995, 34, 91–104). Значения, полученные для культур в трех экземплярах, подбирают нелинейной регрессией на логистической кривой с четырьмя параметрами путем нелинейного регрессионного анализа. Рассчитывают три ссылочных параметра (согласно указанному выше алгоритму NCI) автоматической интерполяцией кривых, полученных таким подбором:  $GI_{50}$ =концентрация соединения, которая дает 50% ингибирование роста клеток, по сравнению с контрольными культурами; TGI=полное ингибирование роста клеток (цитостатическое действие), по сравнению с контрольными культурами, и  $LC_{50}$ =концентрация соединения, которая дает 50% чистый цитотоксический эффект уничтожения клеток).

В таблицах 1–7 показаны данные биологической активности соединений в соответствии с данным изобретением вместе с биологической активностью ссылочных соединений. В таблицах 8–9 представлены данные биологической активности некоторых соединений в соответствии с данным изобретением по сравнению с их аналогами с группой карбоновой кислоты. Соединения **A**, **B**, **E**, **F**, **ET**–736, **PM01183**, 14–**S**, 15–**S**, 28–**S**, 28–**R**, 29–**S** и 29–**R** не являются частью данного изобретения.

Таблица 1. Биологическое действие (моль)

|                 |  | аолица 1 |  | единені                            |                     |                                       |  |   | Ссыло  | очное с | оедине | ние    |  |
|-----------------|--|----------|--|------------------------------------|---------------------|---------------------------------------|--|---|--------|---------|--------|--------|--|
|                 |  |          | Aco<br>Me  | R4 NH HO N H N H N H N H N N H R 1 |                     |                                       |  | NH NH   | OMe    |         |        |        |  |
|                 |  |          | $3-S R_1=0$  |                                    |                     |                                       |  | ,<br>Me   |        |         | Me     |        |  |
|                 |  |          | 3a-S R <sub>1</sub> =(                             | ŕ                                  |                     | N N N N N N N N N N N N N N N N N N N |  |   |        |         |        |        |  |
|                 |  | 10       | $-\mathbf{S} \mathbf{R}_1 = \mathbf{C} \mathbf{N}$ | $R_{4} = -C$                       |                     | \_o' Ř <sub>1</sub>                   |  |   |        |         |        |        |  |
|                 |  |          | $11-S R_1=0$                                       | $CN, R_4=$                         | -CH <sub>2</sub> NH | $I_2$                                 |  | $\mathbf{A} \mathbf{R}_1 = \mathbf{C} \mathbf{N}$ |        |         |        |        |  |
|                 |  |          | $4-S R_1=0$  | )H, R <sub>4</sub> =-              | -CH <sub>2</sub> OH | [                                     |  | $\mathbf{C} \mathbf{R}_1 = \mathbf{OH}$           |        |         |        |        |  |
|                 |  | 4        | 4a-S R <sub>1</sub> =0                             | )H, R <sub>4</sub> =-              | -CH <sub>2</sub> OA | C                                     |  |   |        |         |        |        |  |
|                 |  |          | 12–S R <sub>1</sub> =0                             | ΟH, R <sub>4</sub> =-              | -CH <sub>2</sub> NH | $I_2$                                 |  |   |        |         |        |        |  |
|                 |  | 13       | $-\mathbf{S} \mathbf{R}_1 = \mathbf{O}\mathbf{H}$  | I, R₄=–C                           | H <sub>2</sub> NHA  | lloc                                  |  |   |        |         |        |        |  |
|                 |  |          |  | MDA-                               |                     |                                       |  |   |        |         | MDA-   |        |  |
|                 | A549   HT29   MB-   PSN1   PC-3   22Rv |          |  |                                    |                     |                                       |  |   | A549   | HT29    | МВ-    | PSN1   |  |
|                 |  |          |  | 231                                |                     |                                       |  |   |        |         | 231    |        |  |
| GI <sub>5</sub> |  | 4.02E 10 | 2.77E 10   | 4,91E-                             | 9,95E-              |                                       |  |   | 8,36E- | 7,71E-  | 7,07E- | 1,29E- |  |
| 0               | 3–S                                    | 4,03E=10 | 2,77E-10   | 10                                 | 10                  |                                       |  | A   | 09     | 09      | 09     | 08     |  |
| TG              |  | 6,17E-10 | >1,26E-  | 5,29E-                             | 1,64E-              |                                       |  |   | 8,87E- | 8,36E-  | 9,38E- | 1,54E- |  |

| Ι               |              |                       | 07         | 10     | 09     |        |        |              | 09      | 09     | 09     | 08     |
|-----------------|--------------|-----------------------|------------|--------|--------|--------|--------|--------------|---------|--------|--------|--------|
| LC              |              | >1,26E-               | >1,26E-    | 6,17E- | >1,26E |        |        |              | >1,29E- | >1,29  | 1,41E- | 1,93E- |
| 50              |              | 07                    | 07         | 10     | -07    |        |        |              | 07      | E-07   | 08     | 08     |
| GI <sub>5</sub> |              | 2.115.00              | 2 00E 00   | 2,87E- | 2,15E- |        |        |              |         |        |        |        |
| 0               |              | 3,11E-09              | 2,99E-09   | 09     | 09     |        |        |              |         |        |        |        |
| TG              | 3a-          | 3,23E-09              | 2 22E 00   | 3,59E- | 3,59E- |        |        |              |         |        |        |        |
| I               | S            | 3,23E-09              | 3,23E-09   | 09     | 09     |        |        |              |         |        |        |        |
| LC              |              | >1,20E-               | >1,20E-    | 4,90E- | 1,20E- |        |        |              |         |        |        |        |
| 50              |              | 07                    | 07         | 09     | 08     |        |        |              |         |        |        |        |
| GI <sub>5</sub> |              | 2,05E-08              | 1 14E 09   | 4,79E- | 7,64E- |        |        |              |         |        |        |        |
| 0               |              | 2,03E-08              | 1,14E-06   | 09     | 09     |        |        |              |         |        |        |        |
| TG              | 10–          | 2 00E 00              | 1.25E 09   | 8,44E- | 1,25·E |        |        |              |         |        |        |        |
| I               | $\mathbf{S}$ | 3,08E-08              | 1,23E-08   | 09     | -08    |        |        |              |         |        |        |        |
| LC              |              | 7,53E-08              | >1,14E-    | 1,60E- | 2,39E- |        |        |              |         |        |        |        |
| 50              |              | 7,33E-06              | 06         | 08     | 08     |        |        |              |         |        |        |        |
| GI <sub>5</sub> |              | \$ 45E_00             | 3 /1F_00   | 2,27E- | 3,28E- |        |        |              |         |        |        |        |
| 0               | 8,45E-09     | 3, <del>4</del> 1L-09 | 09         | 09     |        |        |        |              |         |        |        |        |
| TG              | 11–          | 2,65E-08              | >1,26E-    | 3,41E- | 4,54E- |        |        |              |         |        |        |        |
| I               | S            | 2,03L-08              | 07         | 09     | 09     |        |        |              |         |        |        |        |
| LC              |              | >1,26E-               | >1,26E-    | 6,43E- | 8,07E- |        |        |              |         |        |        |        |
| 50              |              | 07                    | 07         | 09     | 09     |        |        |              |         |        |        |        |
| GI <sub>5</sub> |              | 1,27E-09              | 1 27F_09   | 1,22E- | 1,78E- | 8,08E- | 3,58E- |              | 2,73E-  | 2,08E- | 2,60E- | 3,64E- |
| 0               |              | 1,272 05              | 1,272 05   | 09     | 09     | 10     | 10     |              | 08      | 08     | 08     | 08     |
| TG              | 4_S          | 1,40E-09              | 1 40F_09   | 2,55E- | 2,29E- |        |        | $\mathbf{C}$ | 6,63E-  | 2,34E- | 5,46E- | 4,42E- |
| Ι               | . 5          |                       |            | 09     | 09     |        |        |              | 08      | 08     | 08     | 08     |
| LC              |              | >1,27E-               | >1,27E-    | 6,50E- | 3,44E- |        |        |              | >1,30E- | >1,30  | >1,30  | 6,50E- |
| 50              |              | 07                    | 07         | 09     | 09     |        |        |              | 07      | E-07   | E-07   | 08     |
| GI <sub>5</sub> |              | 3,99E-09              | 3.14E_09   | 3,39E- | 3,02E- |        |        |              |         |        |        |        |
| 0               |              |                       |            | 09     | 09     |        |        |              |         |        |        |        |
| TG              | 4a-          | 6,17E-09              | 3.39E-09   | 5,44E- | 3,27E- |        |        |              |         |        |        |        |
| I               | S            | ,=,=                  | ,- , - , - | 09     | 09     |        |        |              |         |        |        |        |
| LC              |              | >1,21E-               | >1,21E-    | 1,00E- |        |        |        |              |         |        |        |        |
| 50              |              | 07                    | 07         | 08     | 09     |        |        |              |         |        |        |        |
| GI <sub>5</sub> | 12–          | 2,04E-08              | 4,85E–09   | 5,23E- | 3,44E- |        |        |              |         |        |        |        |

| 0               | S   |          |                       | 09     | 09     |  |
|-----------------|-----|----------|-----------------------|--------|--------|--|
| TG              |     | 5,61E-08 | 8 42E 00              | 8,42E- | 5,49E- |  |
| I               |     | 3,01L-08 | 0, <del>4</del> 2L-02 | 09     | 09     |  |
| LC              |     | >1,28E-  | >1,28E-               | 1,53E- | 1,21E- |  |
| 50              |     | 07       | 07                    | 08     | 08     |  |
| GI <sub>5</sub> |     | 1,15E-08 | 1 15F_08              | 1,15E- | 1,96E- |  |
| 0               |     | 1,132 00 | 1,13E-00              | 08     | 08     |  |
| TG              | 13– | 1.61F_08 | 1,27E-08              | 1,27E- | 2,88E- |  |
| I               | S   | 1,012 00 | 1,272 00              | 08     | 08     |  |
| LC              |     | 2,42E-08 | >1,15E-               | 1,38E- | 4,61E- |  |
| 50              |     | 2,121 00 | 06                    | 08     | 08     |  |

Таблица 2. Биологическое действие (моль)

| Соединение  | Ссылочное соединение                              |  |  |  |  |  |
|---|---|--|--|--|--|--|
| NH OME OME ME ACO S H N ME R 1  | NH OMe OMe Me                                     |  |  |  |  |  |
| <b>3–R</b> $R_1$ = $CN$ , $R_4$ = $-CH_2OH$                               | Me N -Me  |  |  |  |  |  |
| 10- <b>R</b> R <sub>1</sub> =CN, R <sub>4</sub> =-CH <sub>2</sub> NHAlloc |   |  |  |  |  |  |
| 11-R $R_1$ =CN, $R_4$ =-CH <sub>2</sub> NH <sub>2</sub>                   | $\mathbf{B} \mathbf{R}_1 = \mathbf{C} \mathbf{N}$ |  |  |  |  |  |
| <b>4–R</b> R <sub>1</sub> =OH, R <sub>4</sub> =–CH <sub>2</sub> OH        | $\mathbf{p}$ R <sub>1</sub> =OH                   |  |  |  |  |  |
| <b>12–R</b> $R_1$ =OH, $R_4$ =–CH <sub>2</sub> NH <sub>2</sub>            |   |  |  |  |  |  |
| <b>13–R</b> R <sub>1</sub> =OH, R <sub>4</sub> =–CH <sub>2</sub> NHAlloc  |   |  |  |  |  |  |
| A549 HT29 MDA- PSN1   | A549 HT29 MDA- PSN1                               |  |  |  |  |  |

|                 |      | A549          | НТ29          | MDA-<br>MB-231 | PSN1          | A549          | НТ29          | MDA-<br>MB-231 | PSN1     |
|-----------------|------|---------------|---------------|----------------|---------------|---------------|---------------|----------------|----------|
| GI <sub>5</sub> |      | 4,03E-10      | 2,77E–10      | 2,77E–10       | 3,90E-10      | 2,06E-08      | 8,48E–09      | 9,00E–09       | 1,93E-08 |
| TG<br>I         | 3–R  | 5,79E-10      |               |                | 6,05E–10      | 2,19E-08      | 9,13E–09      | 1,67E–08       | 2,06E-08 |
| <b>LC</b> 50    |      | >1,26E-<br>07 | >1,26E-<br>07 | 1,25E-09       | >1,26E-<br>07 | >1,29E-<br>07 | >1,29E-<br>07 | 3,47E–08       | 2,31E-08 |
| GI5             | 10–R | 3,76E-09      | 3,08E-09      | 2,85E-09       | 2,62E–09      |               |               |                |          |

| TG              |       | 5.02E 00  | >1,14E-     | 4 22E 00     | 2 00E 00 |   |          |          |          |          |
|-----------------|-------|-----------|-------------|--------------|----------|---|----------|----------|----------|----------|
| T               |       | 5,93E-09  | 07          | 4,33E-09     | 3,88E-09 |   |          |          |          |          |
| I               |       |           | 07          |              |          |   |          |          |          |          |
| LC              |       | >1,14E-   | >1,14E-     |              |          |   |          |          |          |          |
|                 |       | ,         |             | 7,18E-09     | 6,61E–09 |   |          |          |          |          |
| 50              |       | 07        | 07          |              |          |   |          |          |          |          |
| GI <sub>5</sub> |       |           |             |              |          |   |          |          |          |          |
| G13             |       | 1,77E-09  | 1 39E-09    | 1 01E-09     | 1 39E_09 |   |          |          |          |          |
| 0               |       | 1,7.2     | 1,0 3 2 0 3 | 1,012 05     | 1,0 > 2  |   |          |          |          |          |
| TC              |       |           | > 1.0(F     |              |          |   |          |          |          |          |
| TG              | 11 D  | 4,54E-09  | >1,26E-     | 1.51E 00     | 1,89E-09 |   |          |          |          |          |
| I               | 11-1/ | T,5TL-05  | 07          | 1,5112-09    | 1,691.   |   |          |          |          |          |
|                 |       |           |             |              |          |   |          |          |          |          |
| LC              |       | >1,26E-   | >1,26E-     | 0 (FE 00     | >1,26E-  |   |          |          |          |          |
| 50              |       | 07        | 07          | 2,65E-09     | 07       |   |          |          |          |          |
| 50              |       | 01        | 07          |              | 07       |   |          |          |          |          |
| GI <sub>5</sub> |       |           |             |              |          |   |          |          |          |          |
|                 |       | 1,27E-09  | 1,26E–09    | 1,27E–09     | 4,59E-10 |   | 1,25E-08 | 1,03E–08 | 9,88E–09 | 2,08E-08 |
| 0               |       |           |             |              |          |   |          |          |          |          |
| TG              |       |           |             |              |          |   |          |          |          |          |
|                 | 4–R   | 1,40E-09  | 1,40E-09    | 1,40E-09     | 8,54E-10 | D | 2,86E-08 | 2,34E-08 | 1,95E-08 | 2,21E-08 |
| I               |       |           |             |              |          |   |          |          |          |          |
| LC              |       | > 1,27E-  | >1 27E-     |              |          |   | >1,30E-  | >1,30E-  |          |          |
|                 |       | _         |             | 1,53E-09     | 2,55E-09 |   |          | ,        | 5,33E-08 | 2,47E-08 |
| 50              |       | 07        | 07          |              | Í        |   | 07       | 07       | Í        |          |
| GI <sub>5</sub> |       |           |             |              |          |   |          |          |          |          |
| G15             |       | 1,40E-09  | 5 74E-10    | 3 19E-10     | 4 98E-10 |   |          |          |          |          |
| 0               |       | 1,102 0   | o,, 12 10   | 5,152 10     | 1,502 10 |   |          |          |          |          |
| T.C             |       |           |             |              |          |   |          |          |          |          |
| TG              | 12 D  | 2,93E-09  | 1 10F_00    | 6.76E_10     | 1 22F_00 |   |          |          |          |          |
| I               | 12-11 | 2,7312-07 | 1,101-07    | 0,70L-10     | 1,22107  |   |          |          |          |          |
|                 |       |           |             |              |          |   |          |          |          |          |
| LC              |       | 1,22E-08  | 2 02E 00    | 1 405 00     | >1,28E-  |   |          |          |          |          |
| 50              |       | 1,22E-08  | 2,93E-09    | 1,40E=09<br> | 07       |   |          |          |          |          |
|                 |       |           |             |              | ,        |   |          |          |          |          |
| GI <sub>5</sub> |       | 7.0CE 00  | 601E 00     | 4.05E 00     | 2 00E 00 |   |          |          |          |          |
|                 |       | 7,26E-09  | 0,91E-09    | 4,95E-09<br> | 2,88E-09 |   |          |          |          |          |
| 0               |       |           |             |              |          |   |          |          |          |          |
| TG              |       |           |             |              |          |   |          |          |          |          |
| _               | 13–R  | 7,72E-09  | 7,60E–09    | 7,95E–09     | 3,11E-09 |   |          |          |          |          |
| I               |       |           |             |              |          |   |          |          |          |          |
| LC              |       | >1,15E-   | >1,15E-     |              |          |   |          |          |          |          |
|                 |       | ,         |             | 1,38E-08     | 3,46E-09 |   |          |          |          |          |
| 50              |       | 07        | 07          |              |          |   |          |          |          |          |
| 1               |       |           |             |              |          |   |          |          |          |          |

Таблица 3. Биологическое действие (моль)

|  | Соединение | Ссылочное соединение |
|--|------------|----------------------|
|--|------------|----------------------|

38–S R<sub>1</sub>=CN, R<sub>4</sub>=–CH<sub>2</sub>OH 45–S R<sub>1</sub>=CN, R<sub>4</sub>=–CH<sub>2</sub>NHAlloc 46–S R<sub>1</sub>=CN, R<sub>4</sub>=–CH<sub>2</sub>NH<sub>2</sub> 39–S R<sub>1</sub>=OH, R<sub>4</sub>=–CH<sub>2</sub>OH 47–S R<sub>1</sub>=OH, R<sub>4</sub>=–CH<sub>2</sub>NH<sub>2</sub>

 $\mathbf{A} R_1 = CN$  $\mathbf{C} R_1 = OH$ 

|                  |        |        |         | MDA-   |        |        |        |   |        |        | MDA-   |        |
|------------------|--------|--------|---------|--------|--------|--------|--------|---|--------|--------|--------|--------|
|                  |        | A549   | HT29    | МВ–    | PSN1   | PC-3   | 22Rv1  |   | A549   | HT29   | MB-    | PSN1   |
|                  |        |        |         | 231    |        |        |        |   |        |        | 231    |        |
| GI50             |        | 8,05E- | 4,53E-  | 2,52E- | 5,03E- |        |        |   | 8,36E- | 7,71E- | 7,07E- | 1,29E- |
| G150             |        | 09     | 09      | 09     | 09     |        |        |   | 09     | 09     | 09     | 08     |
| TCI              | 38–S   | 8,55E- | 7,05E-  | 4,28E- | 8,18E- |        |        |   | 8,87E- | 8,36E- | 9,38E- | 1,54E- |
| TGI              | 38-5   | 09     | 09      | 09     | 09     |        |        | A | 09     | 09     | 09     | 08     |
|                  |        | 9,44E- | >1,26E- | 7,80E- | 1,51E- |        |        | - | >1,29  | >1,29E | 1,41E- | 1,93E- |
| LC50             |        | 09     | 07      | 09     | 08     |        |        |   | E-07   | -07    | 08     | 08     |
| CI               |        | 1,82E- | 1,82E-  | 1,71E- | 1,94E- |        |        |   |        |        |        |        |
| GI <sub>50</sub> |        | 08     | 08      | 08     | 08     |        |        |   |        |        |        |        |
| TGI              | - <br> | 1,94E- | 1,94E-  | 2,16E- | 2,62E- |        |        |   |        |        |        |        |
| IGI              | 43-3   | 08     | 08      | 08     | 08     |        |        |   |        |        |        |        |
| LC <sub>50</sub> |        | 2,16E- | >1,14E- | 2,96E- | 3,64E- |        |        |   |        |        |        |        |
| LCSU             |        | 08     | 07      | 08     | 08     |        |        |   |        |        |        |        |
| GI50             |        | 8,19E- | 2,77E-  | 3,65E- | 3,15E- |        |        |   |        |        |        |        |
| G150             |        | 09     | 09      | 09     | 09     |        |        |   |        |        |        |        |
| TGI              | 46–S   | 2,14E- | 6,17E-  | 6,80E- | 4,79E- |        |        | - |        |        |        |        |
| IGI              | 40-5   | 08     | 09      | 09     | 09     |        |        |   |        |        |        |        |
| LC <sub>50</sub> |        | >1,26  | >1,26E- | 1,26E- | 9,20E- |        |        | • |        |        |        |        |
| LC50             |        | E-07   | 07      | 08     | 09     |        |        |   |        |        |        |        |
| GI50             |        | 4,84E- | 3,94E-  | 3,44E- | 8,02E- | 2,78E- | 4,81E– |   | 2,73E- | 2,08E- | 2,60E- | 3,64E- |
| Q120             | 39–S   | 09     | 09      | 09     | 09     | 09     | 10     | C | 08     | 08     | 08     | 08     |
| TGI              |        | 8,27E- | 6,74E-  | 7,13E- | 1,02E- |        |        |   | 6,63E- | 2,34E- | 5,46E- | 4,42E- |

|                  |      | 09     | 09      | 09     | 08     |  | 08    | 08     | 08     | 08     |
|------------------|------|--------|---------|--------|--------|--|-------|--------|--------|--------|
| LC <sub>50</sub> |      | 1,65E- | >1,27E- | 1,78E- | 1,27E- |  | >1,30 | >1,30E | >1,30E | 6,50E- |
| LCSU             |      | 08     | 07      | 08     | 08     |  | E-07  | -07    | -07    | 08     |
| GI <sub>50</sub> |      | 1,40E- | 4,33E-  | 6,24E- | 5,99E- |  |       |        |        |        |
| G150             |      | 08     | 09      | 09     | 09     |  |       |        |        |        |
| TGI              | 47–S | 2,80E- | 6,75E-  | 9,68E- | 8,54E- |  |       |        |        |        |
| IGI              | 4/-3 | 08     | 09      | 09     | 09     |  |       |        |        |        |
| I C              |      | >1,27  | >1,27E- | 1,66E– | 1,27E- |  |       |        |        |        |
| LC <sub>50</sub> |      | E-07   | 07      | 08     | 08     |  |       |        |        |        |

|                 | Таб   | лица 4. Бис                                       |  |                      | ие (моль) |     |  |               |                    |              |
|-----------------|-------|---|--|----------------------|-----------|-----|--|---------------|--------------------|--------------|
|                 |       | (   | Соединен                                       | ие                   |           |     | Ссыл                                   | очное сое     | динени             | <b>)</b>     |
|                 |       | 38-R R 45-R R <sub>1</sub> =0 46-R R <sub>1</sub> | =CN, R <sub>4</sub> =                          | CH2NHAllo<br>-CH2NH2 |           | Me. | $\mathbf{B} \mathbf{R}_1 = \mathbf{C}$ |               |                    |              |
|                 |       |   | =OH, R <sub>4</sub> =<br>=OH, R <sub>4</sub> = |                      |           |     |  |               |                    |              |
|                 |       | A549  | HT29   | MDA-<br>MB-231       | PSN1      |     | A549                                   | HT29          | MDA-<br>MB-<br>231 | PSN1         |
| GI <sub>5</sub> |       | 6,54E-10  | 5,41E-10                                       | 4,53E-10             | 6,54E-10  |     | 2,06E-08                               | 8,48E-09      | 9,00E-<br>09       | 1,93E-<br>08 |
| TG<br>I         | 38–R  | 1,04E-09  | 5,91E-10                                       | 8,43E-10             | 9,94E–10  | В   | 2,19E-08                               | 9,13E-09      | 1,67E-<br>08       | 2,06E-<br>08 |
| LC<br>50        |       | >1,26E-07   | >1,26E-<br>07                                  | 2,01E-09             | 1,76E-09  |     | >1,29E-<br>07                          | >1,29E-<br>07 | 3,47E-<br>08       | 2,31E-<br>08 |
| <b>GI</b> 5     | 45–R  | 1,82E-08  | 1,25E-08                                       | 9,57E–09             | 1,06E-08  |     |  |               |                    |              |
| TG<br>I         | 75-IX | 1,94E-08  | 2,28E-08                                       | 1,94E-08             | 1,94E-08  |     |  |               |                    |              |
|                 |       |   |  |                      |           |     |  |               |                    |              |

| LC 50           |      | 2,39E-08  | >1,14E-<br>07 | 4,33E-08 | 3,76E-08 |   |               |               |              |              |
|-----------------|------|-----------|---------------|----------|----------|---|---------------|---------------|--------------|--------------|
| GI <sub>5</sub> |      | 1,51E-09  | 1,21E-09      | 1,23E-09 | 9,95E–10 |   |               |               |              |              |
| TG<br>I         | 46–R | 2,77E-09  | 1,39E-09      | 1,39E-09 | 1,51E-09 |   |               |               |              |              |
| LC<br>50        |      | >1,26E-07 | >1,26E-<br>07 | 1,51E-09 | 2,65E-09 |   |               |               |              |              |
| GI <sub>5</sub> |      | 2,67E-10  | 2,93E-10      | 2,04E-10 | 3,65E-10 |   | 1,25E-08      | 1,03E-08      | 9,88E-<br>09 | 2,08E-<br>08 |
| TG<br>I         | 39–R | 4,33E-10  | 6,24E–10      | 5,98E-10 | 5,73E-10 | D | 2,86E-08      | 2,34E-08      | 1,95E-<br>08 | 2,21E-<br>08 |
| LC 50           |      | >1,27E-07 | >1,27E-<br>07 | 2,80E-09 | 1,06E-09 | - | >1,30E-<br>07 | >1,30E-<br>07 | 5,33E-<br>08 | 2,47E-<br>08 |
| GI <sub>5</sub> |      | 2,04E-09  | 8,03E-10      | 5,99E-10 | 1,40E-09 |   |               |               |              |              |
| TG<br>I         | 47–R | 3,82E-09  | 1,40E-09      | 1,17E-09 | 2,04E-09 |   |               |               |              |              |
| <b>LC</b> 50    |      | 1,40E-08  | >1,27E-<br>07 | 2,55E-09 | 3,31E-09 |   |               |               |              |              |

Таблица 5. Биологическое действие (моль)

| Соединение   | Ссылочное соединение                       |
|--|--|
| 18-S R <sub>1</sub> =CN, R <sub>4</sub> =-CH <sub>2</sub> OH  25-S R <sub>1</sub> =CN, R <sub>4</sub> =-CH <sub>2</sub> NHAlloc  26-S R <sub>1</sub> =CN, R <sub>4</sub> =-CH <sub>2</sub> NH <sub>2</sub> 19-S R <sub>1</sub> =OH, R <sub>4</sub> =-CH <sub>2</sub> OH  27-S R <sub>1</sub> =OH, R <sub>4</sub> =-CH <sub>2</sub> NH <sub>2</sub> | MeO  NH  NH  NH  NH  NH  NH  NH  NH  NH  N |
| A549 HT29 MDA-<br>MB-231 PSN1  | A549 HT29 MDA-<br>MB-231 PSN1              |

| GI <sub>50</sub> |          | 1,70E-09      | 1.21E 00      | 1,21E-       | 9,59E-10 |             | 3,28E-09  | 3 15F 00 | 2 27E 00  | 2,77E-       |
|------------------|----------|---------------|---------------|--------------|----------|-------------|-----------|----------|-----------|--------------|
| G150             |          | 1,70L-09      | 1,21109       | 09           | 9,39110  |             | 3,2612-09 | 3,13L-09 | 2,2112-09 | 09           |
| TGI              | 18–      | 3,03E-09      | 1,34E-09      | 1,34E-       | 1,34E-09 | ${f E}$     | 3,40E–09  | 3,40E–09 | 3,78E–09  | 4,53E-       |
| LC <sub>5</sub>  | S        | >1,21E-       | >1,21E-       | 09<br>1,58E- | >1,21E-  |             |           | >1,26E-  |           | 09<br>8,94E– |
| 0                |          | 07            | 07            | 09           | 07       |             | 4,41E–09  | 07       | 7,43E–09  | 09           |
| GI50             |          | 7,17E-09      | 7,17E–09      | 5,84E-<br>09 | 6,84E-09 |             |           |          |           |              |
| TGI              | 25–<br>S | 7,61E–09      | 7,72E–09      | 9,04E-<br>09 | 9,26E–09 |             |           |          |           |              |
| LC <sub>5</sub>  |          | >1,10E-<br>07 | >1,10E-<br>07 | 1,54E-<br>08 | 1,43E-08 |             |           |          |           |              |
| GI <sub>50</sub> |          | 1,12E-08      | 2,79E-09      | 1,34E-<br>09 | 3,04E-09 |             |           |          |           |              |
| TGI              | 26–<br>S | 2,19E-08      | 3,16E-09      | 1,94E-<br>09 | 3,28E-09 |             |           |          |           |              |
| LC <sub>5</sub>  |          | >1,22E-<br>07 | >1,22E-<br>07 | 3,89E-<br>09 | 3,52E-09 |             |           |          |           |              |
| GI <sub>50</sub> |          | 3,07E-09      | 1,35E-09      | 1,96E-<br>09 | 2,95E-09 |             | 3,31E-09  | 1,91E–09 | 2,29E–09  | 3,19E-<br>09 |
| TGI              | 19–<br>S | 3,31E-09      | 1,60E-09      | 3,31E-<br>09 | 3,19E-09 | PM011<br>83 | 3,57E-09  | 4,46E–09 | 3,95E-09  | 3,95E-<br>09 |
| LC <sub>5</sub>  |          | >1,23E-       | >1,23E-       | 1,10E-       | >1,23E-  |             | >1,27E-   | >1,27E-  | 1,02E-08  | 5,73E-       |
| 0                |          | 07            | 07            | 08           | 07       |             | 07        | 07       | ,         | 09           |
| GI <sub>50</sub> |          | 6,02E-09      | 1,23E-09      | 1,19E–<br>09 | 1,97E-09 |             |           |          |           |              |
| TGI              | 27–<br>S | 1,12E-08      | 1,35E-09      | 1,23E-<br>09 | 2,83E-09 |             |           |          |           |              |
| LC5              |          | >1,23E-<br>07 | >1,23E-<br>07 | 1,35E-<br>09 | 4,55E-09 |             |           |          |           |              |

Таблица 6. Биологическое действие (моль)

| Соединение | Ссылочное соединение |
|------------|----------------------|
|            |                      |

18-R R<sub>1</sub>=CN, R<sub>4</sub>=-CH<sub>2</sub>OH 25-R R<sub>1</sub>=CN, R<sub>4</sub>=-CH<sub>2</sub>NHAlloc 26-R R<sub>1</sub>=CN, R<sub>4</sub>=-CH<sub>2</sub>NH<sub>2</sub> 19-R R<sub>1</sub>=OH, R<sub>4</sub>=-CH<sub>2</sub>OH 27-R R<sub>1</sub>=OH, R<sub>4</sub>=-CH<sub>2</sub>NH<sub>2</sub>

|                 |          | A549          | НТ29          | MDA-<br>MB-231 | PSN1     |       | A549     | HT29     | MDA-<br>MB-231 | PSN1     |
|-----------------|----------|---------------|---------------|----------------|----------|-------|----------|----------|----------------|----------|
| GI <sub>5</sub> |          | 1,21E-09      | 1,21E-09      | 1,21E–<br>09   | 5,70E-10 |       | 3,28E-09 | 3,15E–09 | 2,27E-09       | 2,77E-09 |
| TG<br>I         | 18–<br>R | 1,34E-09      | 1,34E-09      | 1,34E-<br>09   | 1,06E-09 | E     | 3,40E-09 | 3,40E-09 | 3,78E-09       | 4,53E-09 |
| LC              |          | >1,21E-       | >1,21E-       | 1,46E-         | >1,21E-  |       | 4 415 00 | >1,26E-  | 7 42E 00       | 0.045.00 |
| 50              |          | 07            | 07            | 09             | 07       |       | 4,41E–09 | 07       | 7,43E–09       | 8,94E-09 |
| GI <sub>5</sub> |          | 1,32E-09      | 1,54E-09      | 1,21E-<br>09   | 1,21E-09 |       |          |          |                |          |
| TG<br>I         | R        | 2,43E-09      | 2,76E-09      | 2,54E-<br>09   | 2,32E-09 |       |          |          |                |          |
| LC<br>50        |          | 9,92E-09      | >1,10E-<br>07 | 8,38E-<br>09   | 6,73E–09 |       |          |          |                |          |
| GI <sub>5</sub> |          | 1,94E-09      | 7,29E–10      | 1,17E–<br>09   | 9,72E–10 |       |          |          |                |          |
| TG<br>I         | 26–<br>R | 3,40E-09      | 1,58E-09      | 1,22E-<br>09   | 1,70E-09 |       |          |          |                |          |
| <b>LC</b> 50    |          | >1,22E-<br>07 | >1,22E-<br>07 | 1,46E–<br>09   | 3,52E-09 |       |          |          |                |          |
| GI <sub>5</sub> | 19–      | 1,47E-09      | 1,72E-09      | 1,23E-<br>09   | 1,23E-09 | PM011 | 3,31E-09 | 1,91E–09 | 2,29E–09       | 3,19E-09 |
| TG<br>I         | R        | 3,56E-09      | 1,72E-09      | 1,35E-<br>09   | 1,35E-09 | 83    | 3,57E-09 | 4,46E–09 | 3,95E-09       | 3,95E-09 |

| LC              |          | >1,23E-  | >1,23E-       | >1,23E-      | 1,47E-09 | >1,27E- | >1,27E- | 1 02E 08 | 5,73E-09 |
|-----------------|----------|----------|---------------|--------------|----------|---------|---------|----------|----------|
| 50              |          | 07       | 07            | 07           | 1,47E=09 | 07      | 07      | 1,02E-08 | 3,73E-09 |
| GI <sub>5</sub> |          | 2,09E-09 | 5,04E-10      | 3,07E-<br>10 | 6,39E–10 |         |         |          |          |
| TG<br>I         | 27–<br>R | 3,93E-09 | 5,53E-10      | 5,41E–<br>10 | 1,17E-09 |         |         |          |          |
| LC 50           |          | 1,01E-08 | >1,23E-<br>07 | 8,60E-<br>10 | 2,46E-09 |         |         |          |          |

Таблица 7. Биологическое действие (моль)

| Гаолица 7. Виологическое действие (м              |  |
|---|--|
| Соединение  | Ссылочное соединение   |
| NH OMe Aco S H N Me R <sub>1</sub>                | R3 NH OMe O ACO SH NMe R1  |
| <b>31</b> $R_1$ = $CN$ , $R_3$ = $H$              | $\mathbf{F} \mathbf{R}_1 = \mathbf{CN}, \mathbf{R}_3 = \mathbf{H}$ |
| <b>32</b> R <sub>1</sub> =OH, R <sub>3</sub> =H   | <b>ET</b> – <b>736</b> R <sub>1</sub> =OH, R <sub>3</sub> =H       |
| <b>34</b> R <sub>1</sub> =CN, R <sub>3</sub> =OMe | E R <sub>1</sub> =CN, R <sub>3</sub> =OMe                          |
| <b>35</b> R <sub>1</sub> =OH, R <sub>3</sub> =OMe | <b>PM01183</b> R <sub>1</sub> =OH, R <sub>3</sub> =OMe             |
| MDA   | MDA  |

|                 |    | A549     | НТ29     | MDA-     | PSN1       |              | A549      | HT29             | MDA-   | PSN1   |
|-----------------|----|----------|----------|----------|------------|--------------|-----------|------------------|--------|--------|
|                 |    | AST      | 11125    | MB-231   | 15111      |              | AST       | 11123            | MB-231 | 15111  |
| GI <sub>5</sub> |    | 1.06E 08 | 1,05E-08 | 8 80E 00 | 6 80F 00   |              | 3,80E-08  | 2 00F 08         | 1,96E- | 3,27E- |
| 0               |    | 1,90L-08 | 1,03L-08 | 6,69L-09 | 0,80L-09   |              | 5,60L-08  | 2,09L-08         | 08     | 08     |
| TG              | 31 | 2,09E-08 | 1.57E 08 | 1.70F.08 | 1.57E 08   | $\mathbf{F}$ | 7,20E-08  | 2.36E 08         | 3,40E- | 6,02E- |
| I               | 31 | 2,09L-08 | 1,57E-08 | 1,70L-08 | 1,37E-08   | r            | 7,20L-08  | 2,50E-08         | 08     | 08     |
| LC              |    | 2,35E-08 | >1,31E-  | 3 53F_08 | 4,31E-08   |              | >1,31E-   | >1,31E-          | 7,33E- | 1,07E- |
| 50              |    | 2,331 00 | 07       | 3,33L 00 | 1,512 00   |              | 07        | 07               | 08     | 07     |
| GI <sub>5</sub> |    | 6 88F_09 | 6,88E-09 | 4 76F_09 | 6.09F_09   |              | 2,25E-08  | 2 12F_08         | 2,12E- | 3,97E- |
| 0               |    | 0,002 03 | 0,002 03 | 1,701 05 | 0,001      |              | 2,231 00  | 2,122 00         | 08     | 08     |
| TG              | 32 | >1,32E-  | >1,32E-  | 1.05F_08 | 8,34E-09   | <br>  FT_736 | 4 77F_08  | 2 25F_08         | 2,52E- | 5,96E- |
| I               | 32 | 08       | 08       | 1,031 00 | 0,3 112 09 | ET 750       | 1,7712 00 | 2,23 <u>L</u> 00 | 08     | 08     |
| LC              |    | >1,32E-  | >1,32E-  | >1,32E-  | 1,20E-08   |              | >1,32E-   | >1,32E-          | 4,77E- | 1,02E- |
| 50              |    | 08       | 08       | 08       | 1,201-08   |              | 07        | 07               | 08     | 07     |
| GI <sub>5</sub> | 34 | 5,91E-08 | 5,41E-08 | 4,53E-08 | 5,41E-08   | E            | 3,28E-09  | 3,15E-09         | 2,27E- | 2,77E- |

| 0               |    |           |                  |           |           |       |                       |           | 09     | 09     |
|-----------------|----|-----------|------------------|-----------|-----------|-------|-----------------------|-----------|--------|--------|
| TG              |    | 8.05F_08  | .05E-08 8,55E-08 | 7 67F_08  | 5 01F_08  |       | 3,40E-09              | 3 40F_09  | 3,78E- | 4,53E- |
| I               |    | 0,032 00  | 0,332 00         | 7,0712 00 | 3,7112 00 |       | 5, TOL 05             | 5, IOL 07 | 09     | 09     |
| LC              |    | >1,26E-   | 1,25E-07         | 1 12F_07  | >1,26E-   |       | 4,41E–09              | >1,26E-   | 7,43E- | 8,94E- |
| 50              |    | 07        | 1,23107          | 1,12107   | 07        |       | <del> </del>  ,+1L-02 | 07        | 09     | 09     |
| GI <sub>5</sub> |    | 8,14E-09  | 7 89F_09         | 4 58F_09  | 6.24F_09  |       | 3,31E-09              | 1 91F_09  | 2,29E- | 3,19E- |
| 0               |    | 0,112 0   | 7,001            | 1,301 05  | 0,2 12 09 |       | 3,311 07              | 1,5112 05 | 09     | 09     |
| TG              | 35 | 8,78E-09  | 8 65F_09         | 8 27F_09  | 9.03F_09  | PM011 | 3,57E-09              | 4 46F_09  | 3,95E- | 3,95E- |
| I               | 33 | 0,7012 09 | 0,031 07         | 0,2712 09 | ),03L 0)  | 83    | 3,3712 07             | 1, 10E 02 | 09     | 09     |
| LC              | >  | >1,27E-   | >1,27E-          | 1.65F_08  | 1,40E-08  |       | >1,27E-               | >1,27E-   | 1,02E- | 5,73E- |
| 50              |    | 07        | 07               | 1,00100   | 1,40C-08  |       | 07                    | 07        | 08     | 09     |

Ссылочное соединение

Таблица 8. Биологическое действие (моль)

Соединение

|                 |                               | 18-           | $R_1$ | I, R <sub>3</sub> =H I, R <sub>3</sub> =H R <sub>3</sub> =OMe |           | 14–S R <sub>1</sub> =CN, R <sub>3</sub> =H  15–S R <sub>1</sub> =CN, R <sub>3</sub> =H  28–S R <sub>1</sub> =CN, R <sub>3</sub> =OMe  29–S R <sub>1</sub> =OH, R <sub>3</sub> =OMe |               |               |                |               |
|-----------------|-------------------------------|---------------|---|---|-----------|--|---------------|---------------|----------------|---------------|
|                 | A549 HT29 MDA-<br>MB-231 PSN1 |               |   |   | PSN1      |  | A549          | НТ29          | MDA-<br>MB-231 | PSN1          |
| GI <sub>5</sub> |                               | 4,03E–<br>10  | 2,77E-10  | 4,91E–10  | 9,95E-10  |  | >1,24E-<br>07 | 1,21E–07      | 5,45E-08       | >1,24E-<br>07 |
| TG<br>I         | 3–S                           | 6,17E–<br>10  | >1,26E-<br>07   | 5,29E–10  | 1,64E-09  | 14–<br>S   | >1,24E-<br>07 | >1,24E-<br>07 | 1,13E-07       | >1,24E-<br>07 |
| LC<br>50        |                               | >1,26E–<br>07 | >1,26E-<br>07   | 6,17E–10  | >1,26E–07 |  | >1,24E-<br>07 | >1,24E-<br>07 | >1,24E-<br>07  | >1,24E-<br>07 |
| GI <sub>5</sub> | 4-8                           | 1,27E-<br>09  | 1,27E-09  | 1,22E-09  | 1,78E-09  | 15–  | >1,25E-<br>06 | 3,00E-07      | 1,63E-07       | 2,38E-07      |
| TG<br>I         |                               | 1,40E-<br>09  | 1,40E–09  | 2,55E-09  | 2,29E-09  | S  | >1,25E-<br>06 | 5,13E-07      | 2,13E-07       | 4,63E–07      |

| LC              |      | >1,27E-      | >1,27E-  | 6.50E 00  | 3,44E-09  |          | >1,25E-       | 0 14E 07          | 2,75E-07 | 8 30E 07 |
|-----------------|------|--------------|----------|-----------|-----------|----------|---------------|-------------------|----------|----------|
| 50              |      | 07           | 07       | 0,3012-09 | 3,44L-09  |          | 06            | 9,1 <b>4L</b> -07 | 2,73E=07 | 0,39L-07 |
| GI <sub>5</sub> |      | 1,70E-       | 1,21E-09 | 1,21E-09  | 9,59E-10  |          | 4,89E–07      | 2,51E–07          | 1,67E–07 | 2,51E-07 |
| 0<br>TC         |      | 09           |          |           |           | 28-<br>S | >1.10E        |                   |          |          |
| TG<br>I         | 18–S | 3,03E-<br>09 | 1,34E-09 | 1,34E-09  | 1,34E-09  |          | >1,19E-<br>06 | 3,46E–07          | 2,51E-07 | 3,94E-07 |
| LC              |      | >1,21E-      | >1,21E-  |           |           | ~        | >1,19E-       |                   |          |          |
| 50              |      | 07           | 07       | 1,58E-09  | >1,21E-07 |          | 06            | 6,33E–07          | 3,94E-07 | 6,92E–07 |
| GI <sub>5</sub> |      | 3,07E-       | 1,35E-09 | 1,96E-09  | 2,95E-09  |          | 6,15E-07      | 3.62E–07          | 2.17E-07 | 3.86E–07 |
| 0               |      | 09           | ,        | ,         | ,         |          | ,             | ,                 | ,        | ,        |
| TG              | 19–S | 3,31E-       | 1,60E–09 | 3,31E-09  | 3,19E-09  | 29–      |               | 5,31E–07          | 3,74E-07 | 5,07E–07 |
| I               |      | 09           | -        | 3,31L-09  | ,         | S        | 06            | ,                 |          |          |
| LC              |      | >1,23E–      | >1,23E-  | 1,10E–08  | >1,23E-07 |          | >1,21E-       | <br>8,32E–07      | 6,88E-07 | 6,88E–07 |
| 50              |      | 07           | 07       | ,         | Ź         |          | 06            | ,                 | ĺ        | ,        |

Таблица 9. Биологическое действие (моль)

|                 |      | 1                                      | Соедине               |                | TENC (MOJI    |  | Ссы           | лочное со     | единение       |              |  |
|-----------------|------|--|-----------------------|----------------|---------------|--|---------------|---------------|----------------|--------------|--|
|                 |      | MeO<br>M                               | 18-R R <sub>1</sub> = | NMe<br>R1      |               | MeO  NH  NH  NH  NH  OME  NH  NH  NH  OME  NH  NH  NH  NH  NH  ACO  SH  NH  NH  NH  NH  ACO  SH  NH  NH  NH  ACO  SH  ACO |               |               |                |              |  |
|                 |      | A549                                   | HT29                  | MDA-<br>MB-231 | PSN1          |  | A549          | HT29          | MDA-<br>MB-231 | PSN1         |  |
| GI <sub>5</sub> |      | 1,21E-09                               | 1,21E-09              | 1,21E-09       | 5,71E-10      |  | 1,67E-<br>07  | 3,10E-08      | 1,91E-08       | 2,15E-<br>08 |  |
| TG<br>I         | 18–R | <b>18–R</b> 1,34E–09 1,34E–09 1,06E–09 |                       | 1,06E-09       | 28–<br>R      | 3,58E-<br>07   | 3,34E-08      | 3,22E-08      | 3,58E-<br>08   |              |  |
| <b>LC</b> 50    |      | >1,21E-<br>07                          | >1,21E-<br>07         | 1,46E-09       | >1,21E-<br>07 |  | >1,19E-<br>06 | >1,19E-<br>06 | 9,19E-08       | 6,68E–<br>08 |  |
| GI <sub>5</sub> | 19–R | 1,47E–09                               | 1,72E-09              | 1,23E-09       | 1,23E-09      | 29–<br>R   | 9,05E-<br>08  | 3,02E-08      | 1,69E-08       | 3,02E-<br>08 |  |
| TG              |      | 3,56E-09                               | 1,72E-09              | 1,35E-09       | 1,35E-09      | 1  | 1,93E-        | 3,26E-08      | 2,77E-08       | 3,14E-       |  |

| I  |   |         |         |         |           | 07      |         |           | 08     |
|----|---|---------|---------|---------|-----------|---------|---------|-----------|--------|
| L  | 7 | >1,23E- | >1,23E- | >1,23E- | 1,47E-09  | >1,21E- | >1,21E- | 1,57E-07  | 3,50E- |
| 50 |   | 07      | 07      | 07      | 1,4712-09 | 06      | 06      | 1,5712-07 | 08     |

Было показано, что соединения в соответствии с данным изобретением обладают высокой мощностью *in vitro*, по сравнению со ссылочными соединениями. Это демонстрирует, что соединения в соответствии с данным изобретением обладают высокой цитотоксичностью в отношении раковых клеток и полезны при лечении рака.

## Пример 28. Определение МПД и МПМД

Самок nu/nu мышей CD-1 или Athymic Nude-Fox1 (Envigo) используют во всех экспериментах. (N=10/клетку) помещают в клетки с индивидуальной вентиляцией (Sealsafe Plus®, Techniplast S.P.A.) в 12-часовой цикл дня и ночи при 21-23°С и влажности 40-60%. Мышам дают свободный доступ к облученному стандартному корму для грызунов (Tecklad 2914C) и стерилизованной воде. Животных акклиматизируют в течение пяти дней до нанесения индивидуальной идентифицирующей татуировки. Протоколы для животных были рассмотрены и утверждены в соответствии с региональными комитетами по уходу за животными и их использованию.

Мышей произвольно разделяют на экспериментальные группы и внутривенно вводят один раз для определения МПД (максимальной переносимой дозы) или делают одно введение в неделю в течение трех последовательных недель для определения МПМД (максимальной переносимой многократной дозы). Животным вводят белый состав или соединение, растворенное в экспериментальном составе в разных концентрациях. Вводимый объем всегда составлял 10 мл/кг. При введении у животных отслеживают клинические признаки системной токсичности, изменения массы тела и смертность вплоть до 14 дней после введения.

Результаты МПД суммируют в Таблице 10

Таблица 10

| таоли     | цато        |   |         |
|-----------|-------------|---|---------|
| Соединени | Способ/схем | Дозы (мг/кг)  | МПД     |
| e         | a           | дозы (мі/кі)  | (мг/кг) |
| 4–S       |             |   | 1,0     |
| 4–R       |             | 0,00, 0,25, 0,50, 1,00, 1,50, 2,00, 2,50, 5,00                | 0,25    |
| 19–S      |             |   | 0,5     |
| 19–R      | в.в./о.р.с  | 0,00, 0,10, 0,15, 0,25, 0,50, 1,00, 1,50, 2,00, 2,50,<br>5,00 | 0,15    |
| Соед. С   |             | 0,00, 0,25, 0,50, 1,00, 1,50, 2,00, 2,50, 3,00, 4,00,<br>5,00 | 3,0     |
| Соед. D   |             | 0,00, 0,25, 0,50, 1,00, 2,00, 4,00, 6,00, 8,00                | 0,5     |
| 32        |             | 0,00, 0,25, 0,50, 1,00, 1,50, 2,00, 2,50, 5,00                | 0,5     |

Результаты МПМД суммированы в Таблице 11

Таблица 11

| C             |             |   | МПМ     |
|---------------|-------------|---|---------|
| Соединени     | Способ/схем | Дозы (мг/кг)  | Д       |
| e             | a           |   | (мг/кг) |
| 4–S           |             | 0,00, 0,50, 0,75, 1,00, 1,25                            | 1,25    |
| 4–R           |             | 0,00, 0,15, 0,20, 0,25, 0,30                            | 0,30    |
| 12.0          |             | 0,00, 0,10, 0,25, 0,50, 0,75, 1,00, 1,25, 1,50, 2,00,   | 0.25    |
| 12-S          |             | 2,50, 5,00  | 0,25    |
| 12–R          |             | 0,00, 0,010, 0,025, 0,050, 0,075, 0,10, 0,25, 0,50,     | 0,05    |
| 12-K          |             | 0,75, 1,00, 1,25, 1,50, 2,00, 2,50, 5,00                | 0,03    |
| 19–S          |             | 0,00, 0,10, 0,25, 0,50, 0,75                            | 0,75    |
| 19–R          |             | 0,00, 0,025, 0,075, 0,10, 0,15                          | 0,15    |
| Соед. С       | в.в./Q7dx3  | 0,0, 1,0, 1,5, 2,0, 3,0, 4,0                            | 3,0     |
| Соед. D       |             | 0,00, 0,10, 0,25, 0,50, 0,75                            | 0,5     |
| 32            |             | 0,00, 0,10, 0,25, 0,50, 0,75                            | 0,5     |
| 35            |             | 0,00, 0,10, 0,25, 0,50, 0,75                            | 0,25    |
| 39–S          |             | 0,00, 0,01, 0,025, 0,05, 0,075, 0,10, 0,25, 0,50, 0,75, | 1,25    |
| 39-3          |             | 1,00, 1,25, 1,50, 2,00, 2,50, 5,00                      | 1,23    |
| 47–R          |             | 0,00, 0,01, 0,025, 0,05, 0,075, 0,10, 0,25, 0,50, 0,75, | 0,1     |
| 4 / <b>-K</b> |             | 1,00, 1,25, 1,50, 2,00, 2,50, 5,00                      | 0,1     |
| ET-736        |             | 0,00, 0,10, 0,25, 0,50, 0,75                            | 0,5     |
| PM01183       |             | 0,00, 0,14, 0,18  | 0,18    |

в.в., внутривенно

Q7dx3, три кумулятивных дозы, вводимых еженедельно.

### **Примеры 29–40.** *In vivo* ксенотрансплантаты

Самок безтимусных мышей nu/nu mice (Harlan Laboratories Models, S.L. Barcelona, Spain или Envigo, Spain) используют во всех экспериментах. Животных помещают в клетки с отдельной вентиляцией Sealsafe® Plus, Techniplast S.P.A.), вплоть до десяти в клетку, при 12–часовом цикле дня и ночи при 21–23°С и влажности 40–60%. Мышам дают свободный доступ к облученному стандартному корму для грызунов (Tecklad 2914С) и стерилизованной воде. Животных акклиматизируют в течение, по крайней мере, 5 дней до имплантации опухоли с суспензией клеток опухоли.

## КОЛОНИИ КЛЕТОК

| Наименова | №    | No    | D   | TC.   | W.             |
|-----------|------|-------|-----|-------|----------------|
| ние       | ATCC | ECCC* | Вид | Ткань | Характеристика |

| HT1080         | CCL-<br>121  | _       | челове      | соединительная                              | фибросаркома                      |
|----------------|--------------|---------|-------------|---|-----------------------------------|
| MDA-MB-<br>231 | HTB-26       | _       | челове<br>к | молочная железа                             | аденокарцинома<br>молочной железы |
| H460           | HTB-<br>177  | _       | челове<br>к | легкое,<br>плевральный выпот                | НМКРЛ                             |
| A2780          | _            | 9311251 | челове<br>к | яичник                                      | карцинома яичника                 |
| HGC27          | _            | 9404225 | челове<br>к | желудок                                     | карцинома желудка                 |
| H526           | CRL-<br>5811 | _       | челове<br>к | легкое                                      | МКРЛ                              |
| H82            | HTB-<br>175  | _       | челове<br>к | легкое                                      | МКРЛ                              |
| PC3            | CLR-<br>1435 | -       | челове<br>к | простата; получена из места метастаз: кость | аденокарцинома<br>простаты        |
| DU145          | HTB-81       |         | челове<br>к | простата; получена из места метастаз: мозг  | карцинома<br>простаты             |
| 22Rv1          | CRL-<br>2505 |         | челове<br>к | простата                                    | карцинома<br>простаты             |

<sup>\*</sup>Европейская коллекция клеточных культур

Клетки HT1080 выдерживают *in vitro* при  $37^{\circ}$ C с 5% CO<sub>2</sub> в минимальной поддерживающей среде Игла (MEME) (Sigma–Aldrich, Co). Каждому животному ортотопически имплантируют в икроножную мышцу внутримышечной инъекцией с применением иглы 26G и шприца 1 см<sup>3</sup> в возрасте 4–6 недель  $10\times10^6$  HT1080 клетки, суспендированные в бессывороточной среде, без антибиотиков.

Клетки MDA–MB–231 выдерживают *in vitro* при 37°C с 5% CO<sub>2</sub> в модифицированной по методу Дульбекко среде Игла (Sigma–Aldrich, Co). Культуру клеток пассируют каждые 3–5 дней при достижении конфлюэнтности. Каждому животному подкожно имплантируют (в правый бок, с применением иглы 26G и шприца 1 см<sup>3</sup>) в возрасте 4–6 недель  $7.5 \times 10^6$  MDA–MB–231 клетки, суспендированные в 0,05 мл раствора, состоящего из 50% Matrigel® (Corning Incorporated Life Sciences) и 50% среды без сыворотки или антибиотиков.

Клетки H460 выдерживают in vitro при 37°C с 5% CO2 в модифицированной по

методу Дульбекко среде Игла (Sigma–Aldrich, Co). Культуру клеток пассируют каждые 3–5 дней при достижении конфлюэнтности. Каждому животному подкожно имплантируют (в правый бок, с применением иглы 26G и шприца 1 см $^3$ ) в возрасте 4–6 недель  $5\times10^6$  H460 клетки, суспендированные в 0,05 мл раствора, состоящего из 50% Matrigel® (Corning Incorporated Life Sciences) и 50% среды без сыворотки или антибиотиков.

Клетки A2780 выдерживают *in vitro* при 37°C с 5% CO<sub>2</sub> в RPMI–1640 (Sigma–Aldrich, Co). Культуру клеток пассируют каждые 3–5 дней при достижении конфлюэнтности. Каждому животному подкожно имплантируют (в правый бок, с применением иглы 26G и шприца 1 см<sup>3</sup>) в возрасте 4–6 недель  $10\times10^6$  A2780 клетки, суспендированные в 0,05 мл раствора, состоящего из 50% Matrigel® (Corning Incorporated Life Sciences) и 50% среды без сыворотки или антибиотиков.

Клетки HGC27 выдерживают *in vitro* при 37°C с 5% CO<sub>2</sub> в среде Дульбекко в модификации Искова (Sigma–Aldrich, Co). Культуру клеток пассируют каждые 3–5 дней при достижении конфлюэнтности. Каждому животному подкожно имплантируют (в правый бок, с применением иглы 26G и шприца 1 см<sup>3</sup>) в возрасте 4–6 недель  $5\times10^6$  HGC–27 клетки, суспендированные в 0,05 мл раствора, состоящего из 50% Matrigel® (Corning Incorporated Life Sciences) и 50% среды без сыворотки или антибиотиков.

Клетки H526 выдерживают *in vitro* при 37°C с 5% CO<sub>2</sub> в среде RPMI–1640 (Sigma–Aldrich, Co). Клетки H526 выращивают в виде суспензии и сохраняют добавлением свежей среды, при повышении плотности клеток, каждые 2–3 дня. Каждую неделю культуру восстанавливают центрифугированием суспензии с последующим ресуспендированием в свежей среде в концентрации  $1 \times 10^5$  клеток/мл. Каждому животному подкожно имплантируют (в правый бок, с применением иглы 26G и шприца 1 см³) в возрасте 4–6 недель  $5 \times 10^6$  H526 клетки, суспендированные в 0,05 мл раствора, состоящего из 50% Matrigel® (Corning Incorporated Life Sciences) и 50% среды без сыворотки или антибиотиков.

Клетки H82 выдерживают *in vitro* при 37°C с 5% CO<sub>2</sub> в среде RPMI–1640 (Sigma–Aldrich, Co). Клетки H82 выращивают в виде суспензии и сохраняют добавлением свежей среды, при повышении плотности клеток, каждые 2–3 дня. Каждую неделю культуру восстанавливают центрифугированием суспензии с последующим ресуспендированием в свежей среде в концентрации  $1\times10^5$  клеток/мл. Каждому животному подкожно имплантируют (в правый бок, с применением иглы 26G и шприца 1 см³) в возрасте 4–6 недель  $5\times10^6$  H82 клетки, суспендированные в 0,05 мл раствора, состоящего из 50% Matrigel® (Corning Incorporated Life Sciences) и 50% среды без сыворотки или антибиотиков.

Клетки PC3 выдерживают *in vitro* при 37°C с 5% CO<sub>2</sub> в среде RPMI–1640 (Sigma–Aldrich, Co). Культуру клеток пассируют каждые 3–5 дней при достижении конфлюэнтности. Каждой самке безтимусной мыши подкожно имплантируют (в правый бок, с применением иглы 26G и шприца 1 см<sup>3</sup>) в возрасте 4–6 недель  $3\times10^6$  HGC–27 PC3 клетки, суспендированные в 0,05 мл раствора, состоящего из 50% Matrigel® Matrix

(Corning Incorporated Life Sciences) и 50% среды без сыворотки или антибиотиков. В этой модели, вместо самцов, используют самок, так как рост РС–3 не зависит от гормонов.

Клетки DU–145 выдерживают *in vitro* при 37°C с 5% CO<sub>2</sub> в среде RPMI–1640 (Sigma–Aldrich, Co). Культуру клеток пассируют каждые 3–5 дней при достижении конфлюэнтности. Каждому самцу безтиусной мыши подкожно имплантируют (в правый бок, с применением иглы 26G и шприца 1 см<sup>3</sup>) в возрасте 4–6 недель  $5 \times 10^6$  DU–145 клетки, суспендированные в 0,05 мл раствора, состоящего из 50% Matrigel® (Corning Incorporated Life Sciences) и 50% среды без сыворотки или антибиотиков.

Клетки 22Rv1 выдерживают *in vitro* при 37°C с 5% CO<sub>2</sub> в среде RPMI–1640 (Sigma–Aldrich, Co). Культуру клеток пассируют каждые 3–5 дней при достижении конфлюэнтности. Каждому самцу безтиусной мыши подкожно имплантируют (в правый бок, с применением иглы 26G и шприца 1 см³) в возрасте 4–6 недель  $5\times10^6$  22Rv1 клетки, суспендированные в 0,05 мл раствора, состоящего из 50% Matrigel® (Corning Incorporated Life Sciences) и 50% среды без сыворотки или антибиотиков.

Переносимость лечения оценивали путем мониторинга изменения массы тела, клинических признаков системной токсичности, а также свидетельств локального повреждения в месте инъекции.

В исследованиях ксенотрансплантата с колонией клеток НТ1080:

- Измерение общего диаметра (опухоль+нога) проводят с применением цифрового штангенциркуля (Fowler Sylvac, S235PAT). Этот общий диаметр и массы тела измеряют 2–3 раза в неделю, начиная с первого дня лечения (день 0).
- Когда общий диаметр достигает длины около 7,0–8,0 мм, мышей произвольно делят на группы лечения и контрольные (N=8–10/группу) на основе массы тела и измерений опухоли с применением программы NewLab Oncology Software (версия 2.25.06.00).
- Сравнение среднего общего диаметра (опухоль+нога) в группах лечения со средним общим диаметром (опухоль+нога) в контрольной группе применяют для оценки противоопухолевой эффективности.
  - Животных умерщвляют, когда общий диаметр ноги достигает около 18 мм.

В исследованиях трансплантата с другими колониями клеток:

- Объем опухоли рассчитывают с применением уравнения (a·b²)/2, где а: длина (наибольший диаметр) и b: ширина (наименьший диаметр), измеренные в мм с применением цифрового штангенциркуля (Fowler Sylvac, S235PAT). Измерения опухоли и массы тела записывают 2−3 раза в неделю, начиная с первого дня лечения.
- Когда опухоли достигают около 150–250 мм<sup>3</sup>, животных с опухолью (N=8–10/группу) произвольно делят на группы лечения, на основе массы тела и измерений опухоли с применением программы NewLab Oncology Software (version 2.25.06.00).
- Сравнение среднего объема опухоли в группах лечения и в контрольной группе применяют для оценки противоопухолевой эффективности.
  - Животных умерщвляют, когда их опухоли достигают около 2000  $\mathrm{mm}^3$  и/или виден

тяжелый некроз.

Лечение, вызывающее >20% смертность и/или 20% чистую потерю массы тела считается токсичным.

В таблицах и чертежах суммированы данные, полученные из полных экспериментальных групп, т.е. групп, сохранивших исходное количество животных, n=8—10. Однако, как только первое животное умерщвляют из—за длины опухоли >18 мм или размера опухоли >2000 мм<sup>3</sup>, экспериментальная группа считается неполной. Поэтому данные, полученные после умерщвления и далее, не будут представлены (т.е. ни в таблицах, ни на чертежах).

**Пример 29.***In vivo* исследования для определения действия **4–S** и **12–S** в некоторых моделях ксенотрансплантатов

**4–S**, **12–S** и соединение **C** представлены в виде высушенных вымораживанием флаконов лиофилизированного продукта. Каждый флакон восстанавливают водой для инъекций до концентрации 0,5 мг/мл. Дальнейшие разведения проводят 5% раствором декстрозы для инъекций до концентрации дозирующего состава. Вводимая доза **4–S**, **12–S** и соединения **C** составляет 1,25 мг/кг, 0,25 мг/кг и 3,0 мг/кг, соответственно.

Плацебо предоставляют в форме лиофилизированной лепешки, содержащей 100 мг сахарозы+дигидрофосфат калия 6,8 мг+фосфорная кислота д.к., рН 3,8–4,5, которую восстанавливают водой для вливаний.

В этих экспериментах, 4–S, 12–S и соединение C, а также плацебо, вводят внутривенно один раз в неделю в течение 3 последовательных недель, в дни Days 0, 7 и 14, когда бы это ни было возможно.

**Пример 29а.** *In vivo* исследования для определения действия **4–S** и **12–S** в ксенотрансплантатах фибросаркомы человека.

Целью этого исследования является сравнение противоопухолевой активности 4–S и 12–S с противоопухолевой активностью соединения C с применением модели ксенотрансплантата саркомы человека.

Моделью опухоли, применяемой в этом исследовании, является колония клеток HT1080.

В **таблице 12** показана оценка общего диаметра (опухоль+нога) HT1080 опухолей у мышей, леченных плацебо, соединением **C**, **4–S** и **12–S**. Эти результаты также показаны на фигуре 1.

Таблица 12

| Дни | Общий диаметр (опухоль+нога) (мм) |              |     |      |  |
|-----|-----------------------------------|--------------|-----|------|--|
| дни | Контроль                          | Соединение С | 4–S | 12-S |  |
| 0,0 | 7,5                               | 7,5          | 7,5 | 7,5  |  |
| 2,0 | 9,4                               | 8,8          | 7,7 | 8,2  |  |
| 5,0 | 11,4                              | 9,0          | 8,3 | 8,6  |  |
| 7,0 | 12,1                              | 9,6          | 8,8 | 9,5  |  |

| (        | Общий диаметр (опухоль+нога) (мм)                    |   |   |  |
|----------|--|---|---|--|
| Контроль | Соединение С   | 4–S   | 12-S  |  |
| 13,2     | 10,2   | 8,4   | 10,0  |  |
| 14,5     | 10,2   | 8,4   | 11,2  |  |
| 15,2     | 11,2   | 9,6   | 11,7  |  |
| 15,9     | 12,4   | 10,0  | 12,7  |  |
| 18,0     | 13,3   | 10,4  | 13,5  |  |
|          | 15,2   | 12,1  | 14,4  |  |
|          | 18,0   | 12,7  | 16,5  |  |
|          |  | 13,5  | 15,2  |  |
|          |  | 15,6  | 16,4  |  |
|          |  | 18,0  |   |  |
|          | Контроль       13,2       14,5       15,2       15,9 | Контроль         Соединение С           13,2         10,2           14,5         10,2           15,2         11,2           15,9         12,4           18,0         13,3           15,2         15,2 | Контроль         Соединение С         4-S           13,2         10,2         8,4           14,5         10,2         8,4           15,2         11,2         9,6           15,9         12,4         10,0           18,0         13,3         10,4           15,2         12,1           18,0         12,7           13,5         15,6 |  |

**Пример 29b.** *In vivo* исследования для определения действия **4–S** и **12–S** в ксенотрансплантатах молочной железы человека.

Целью этого исследования является сравнение противоопухолевой активности 4–S и 12–S с противоопухолевой активностью соединения C с применением модели ксенотрансплантата молочной железы человека.

Моделью опухоли, применяемой в этом исследовании, является колония клеток MDA-MB-231.

В **таблице 13** показана средняя оценка объема опухоли для MDA–MB–231 опухолей у мышей, леченных плацебо, соединением **C**, **4–S** и **12–S**. Эти результаты также показаны на фигуре 2.

Таблица 13

| П    | Средний объем опухоли (мм <sup>3</sup> ) |              |       |        |  |
|------|--|--------------|-------|--------|--|
| Дни  | Контроль                                 | Соединение С | 4–S   | 12-S   |  |
| 0,0  | 149,4                                    | 149,4        | 150,6 | 150,2  |  |
| 2,0  | 240,0                                    | 217,1        | 197,3 | 229,9  |  |
| 5,0  | 325,1                                    | 281,3        | 250,9 | 290,5  |  |
| 7,0  | 407,8                                    | 338,6        | 265,0 | 398,2  |  |
| 9,0  | 514,8                                    | 385,1        | 272,5 | 508,9  |  |
| 12,0 | 648,1                                    | 400,4        | 270,6 | 602,5  |  |
| 14,0 | 799,0                                    | 436,9        | 281,3 | 751,0  |  |
| 16,0 | 1002,5                                   | 585,7        | 293,6 | 977,7  |  |
| 19,0 | 1233,9                                   | 774,7        | 322,1 | 1252,6 |  |
| 21,0 | 1539,1                                   | 965,9        | 324,4 | 1560,7 |  |

| Л    |          | Средний объем опу | ухоли (мм³) |        |
|------|----------|-------------------|-------------|--------|
| Дни  | Контроль | Соединение С      | 4–S         | 12-S   |
| 23,0 | 2006,5   | 1215,2            | 326,6       | 2005,9 |
| 26,0 | 2027,7   | 1503,2            | 398,8       | 2066,2 |
| 28,0 |          | 1785,3            | 501,8       |        |
| 30,0 |          | 2037,1            | 654,8       |        |
| 33,0 |          |                   | 856,7       |        |
| 35,0 |          |                   | 1147,1      |        |
| 37,0 |          |                   | 1635,9      |        |

**Пример 29с.** *In vivo* исследования для определения действия **4–S** и **12–S** в ксенотрансплантатах опухоли легкого человека.

Целью этого исследования является сравнение противоопухолевой активности **4–S** и **12–S** с противоопухолевой активностью соединения **C** с применением трех различных моделей ксенотрансплантатов рака легкого человека. Эти модели соответствуют немемкоклеточному раку легкого (колония клеток H–460) и мелкоклеточному раку легкого (колонии клеток H526 и H82).

В **таблице 14** представлена средняя оценка объема опухоли для H460 опухолей у мышей, леченных плацебо, соединением **C**, **4–S** и **12–S**. Эти результаты также показаны на фигуре 3.

Таблица 14

| 1400 | тица 14  |                             |        |        |  |
|------|----------|-----------------------------|--------|--------|--|
| Дни  |          | Средний объем опухоли (мм³) |        |        |  |
| ДПИ  | Контроль | Соединение С                | 4–S    | 12-S   |  |
| 0,0  | 187,4    | 186,1                       | 185,9  | 186,0  |  |
| 2,0  | 577,5    | 395,4                       | 310,9  | 460,5  |  |
| 5,0  | 1352,0   | 665,9                       | 634,6  | 922,4  |  |
| 7,0  | 1642,9   | 929,5                       | 959,1  | 1252,1 |  |
| 9,0  | 2025,0   | 1063,7                      | 1064,9 | 1409,4 |  |
| 12,0 |          | 1436,5                      | 1421,0 | 1531,7 |  |
| 14,0 |          | 2025,0                      | 1845,5 | 2025,0 |  |
| 16,0 |          | 2025,0                      | 2025,0 |        |  |

В **таблице 15** представлена средняя оценка объема опухоли для H526 опухолей у мышей, леченных плацебо, соединением **C**, **4–S** и **12–S**. Эти результаты также показаны на фигуре 4.

Таблица 15

| Дни     |          | Средний объем опухоли (мм³) |     |      |  |  |
|---------|----------|-----------------------------|-----|------|--|--|
| <b></b> | Контроль | Соединение С                | 4–S | 12–S |  |  |

| Дни  |          | Средний объем опухо | оли (мм <sup>3</sup> ) |        |
|------|----------|---------------------|------------------------|--------|
| дни  | Контроль | Соединение С        | 4–S                    | 12-S   |
| 0,0  | 217,2    | 217,9               | 211,8                  | 212,7  |
| 2,0  | 410,7    | 262,4               | 279,0                  | 412,7  |
| 4,0  | 778,5    | 108,3               | 98,8                   | 637,9  |
| 7,0  | 1083,2   | 129,8               | 56,7                   | 968,5  |
| 9,0  | 1371,0   | 85,9                | 62,5                   | 1250,3 |
| 11,0 | 1782,0   | 52,3                | 32,0                   | 1568,0 |
| 14,0 | 2025,0   | 54,1                | 18,0                   | 2025,0 |
| 16,0 |          | 47,3                | 32,0                   |        |
| 21,0 |          | 4,0                 | 4,0                    |        |
| 28,0 |          | 4,0                 | 4,0                    |        |
| 35,0 |          | 4,0                 | 4,0                    |        |
| 42,0 |          | 62,5                | 4,0                    |        |
| 49,0 |          | 53,5                | 4,0                    |        |

В **таблице 16** представлена средняя оценка объема опухоли для H82 опухолей у мышей, леченных плацебо, соединением **C**, **4–S** и **12–S**. Эти результаты также показаны на фигуре 5.

Таблица 16

| П    |          | Средний объем опу | холи (мм <sup>3</sup> ) |        |  |  |  |
|------|----------|-------------------|-------------------------|--------|--|--|--|
| Дни  | Контроль | Соединение С      | 4–S                     | 12-S   |  |  |  |
| 0,0  | 171,6    | 170,5             | 168,3                   | 174,0  |  |  |  |
| 2,0  | 439,4    | 265,3             | 215,2                   | 360,1  |  |  |  |
| 5,0  | 1024,7   | 488,7             | 253,6                   | 899,7  |  |  |  |
| 7,0  | 1422,0   | 760,0             | 341,4                   | 1398,6 |  |  |  |
| 9,0  | 1923,8   | 899,5             | 349,4                   | 1847,6 |  |  |  |
| 12,0 | 2025,0   | 1038,5            | 436,4                   | 2089,7 |  |  |  |
| 14,0 |          | 1213,4            | 516,0                   |        |  |  |  |
| 16,0 |          | 1256,4            | 521,8                   |        |  |  |  |
| 19,0 |          | 1741,5            | 560,9                   |        |  |  |  |
| 21,0 |          | 1878,8            | 627,7                   |        |  |  |  |
| 23,0 |          | 2057,0            | 690,9                   |        |  |  |  |
| 26,0 |          |                   | 953,4                   |        |  |  |  |
| 28,0 |          |                   | 847,1                   |        |  |  |  |

| Пин  |          | Средний объем опухоли (мм³) |        |      |
|------|----------|-----------------------------|--------|------|
| Дни  | Контроль | Соединение С                | 4–S    | 12-S |
| 30,0 |          |                             | 1067,5 |      |
| 33,0 |          |                             | 1200,6 |      |
| 35,0 |          |                             | 1257,7 |      |
| 37,0 |          |                             | 1497,7 |      |
| 41,0 |          |                             | 2014,2 |      |

**Пример 29d**. *In vivo* исследования для определения действия **4–S** и **12–S** в ксенотрансплантатах яичников человека

Целью этого исследования является сравнение противоопухолевой активности 4–S и 12–S с противоопухолевой активностью соединения C с применением модели ксенотрансплантата рака яичников человека.

Моделью опухоли, применяемой в этом исследовании, является А2780.

**В таблице 17** представлена оценка опухоли A2780 опухолей у мышей, леченных плацебо, соединением **C**, **4–S** и **12–S**. Эти результаты также показаны на фигуре 6.

Таблина 17

|      | Средний объем опухоли (мм <sup>3</sup> ) |              |        |        |
|------|--|--------------|--------|--------|
| Дни  | Контроль                                 | Соединение С | 4–S    | 12-S   |
| 0,0  | 169,5                                    | 169,6        | 168,3  | 168,5  |
| 2,0  | 317,5                                    | 206,3        | 150,6  | 262,1  |
| 5,0  | 758,9                                    | 372,7        | 175,9  | 628,6  |
| 7,0  | 1351,9                                   | 607,6        | 317,7  | 976,3  |
| 9,0  | 1675,8                                   | 696,2        | 281,9  | 1387,5 |
| 12,0 | 2025,0                                   | 855,6        | 372,1  | 1666,0 |
| 14,0 |  | 1293,9       | 709,2  | 2025,0 |
| 16,0 |  | 1683,5       | 870,9  |        |
| 19,0 |  | 2137,5       | 1235,4 |        |
| 21,0 |  |              | 1453,3 |        |
| 23,0 |  |              | 1666,0 |        |
| 26,0 |  |              | 2025,0 |        |

**Пример 29е**. *In vivo* исследования для определения действия **4–**S и **12–**S в ксенотрансплантатах желудка человека

Целью этого исследования является сравнение противоопухолевой активности **4–S** и **12–S** с противоопухолевой активностью соединения **C** с применением модели ксенотрансплантата рака желудка человека.

Моделью опухоли, применяемой в этом исследовании, является HGC27.

**В таблице 18** представлен рост объема опухоли HGC27 опухолей у мышей, леченных плацебо, соединением **C**, **4–S** и **12–S**. Эти результаты также показаны на фигуре 7.

Таблица 18

| Л    |          | Средний объем о | пухоли (мм³) |        |
|------|----------|-----------------|--------------|--------|
| Дни  | Контроль | Соединение С    | 4–S          | 12-S   |
| 0,0  | 200,7    | 195,0           | 194,8        | 196,6  |
| 2,0  | 429,0    | 391,0           | 358,6        | 411,9  |
| 5,0  | 835,5    | 578,6           | 515,3        | 834,1  |
| 7,0  | 1256,5   | 708,2           | 589,2        | 1176,6 |
| 9,0  | 1602,2   | 937,7           | 779,4        | 1531,6 |
| 12,0 | 2040,7   | 1169,5          | 980,8        | 2030,2 |
| 14,0 |          | 1496,8          | 1153,3       |        |
| 16,0 |          | 1690,6          | 1346,2       |        |
| 19,0 |          | 2004,0          | 1643,4       |        |
| 21,0 |          |                 | 2004,7       |        |

**Пример 30.***In vivo* исследования для определения действия **4–R** в нескольких моделях ксенотрансплантата

**4–R** представлено в форме высушенных вымораживанием флаконов. Лепешку **4–R** восстанавливают водой для вливания до концентрации 0,5 мг/мл. Исходный раствор **4–R** далее разводят в 5% растворе декстрозы для инъекций до концентрации дозирующего состава. Вводимая доза **4–R** составляет 0,30 мг/кг.

Соединение **D** представлено в форме флаконов с лекарственным веществом. Каждый флакон восстанавливают сначала полным растворением в ДМСО и затем добавлением Kolliphor ELP (BASF)/абсолютного этанола (1:1, об./об.) до концентрации 0,8 мг/мл. Дальнейшие разведения проводят раствором лактатного буфера (pH=4,0) до концентрации дозирующего состава. Вводимая доза соединения **D** составляет 0,5 мг/кг.

**РМ01183** представлено в форме флаконов лиофилизированного продукта. Каждый флакон восстанавливают водой для вливаний до концентрации 0,2 мг/мл. Дальнейшие разведения проводят 5% раствором глюкозы или 0,9% раствором хлорида натрия для инъекций до концентраций дозирующего состава. Вводимая доза составляет 0,18 мг/кг.

Плацебо предоставляют в форме лиофилизированной лепешки, содержащей 100 мг сахарозы+дигидрофосфат калия 6,8 мг+фосфорная кислота д.к., рН 3,8–4,5, которую восстанавливают водой для вливаний.

В этих экспериментах, **4–R**, Соединение **D** и **PM01183**, а также плацебо, внутривенно вводят один раз в неделю в течение 3 последовательных недель, в дни 0, 7 и 14, когда бы это ни было возможно.

**Пример 30а.** *In vivo* исследования для определения действия **4–R** в

ксенотрансплантатах фибросаркомы человека.

Целью этого исследования является сравнение противоопухолевой активности **4–R и** Соединения **D** с противоопухолевой активностью **PM01183** с применением модели ксенотрансплантата саркомы человека.

Моделью опухоли, применяемой в этом исследовании, является колония клеток HT1080.

**В таблице 19** представлена оценка общего диаметра (опухоль+нога) HT1080 опухолей у мышей, леченных плацебо, **PM01183 и 4–R.** Эти результаты также показаны на фигуре 8.

Таблица 19

| П   | Общи     | ий диаметр (опухоль+нога | a) (MM) |
|-----|----------|--------------------------|---------|
| Дни | Контроль | PM01183                  | 4–R     |
| 0   | 8,1      | 8,1                      | 8,1     |
| 2   | 11,2     | 9,7                      | 8,6     |
| 7   | 13,6     | 11,2                     | 8,7     |
| 9   | 15,2     | 12,3                     | 9,0     |
| 14  | 16,9     | 14,6                     | 9,3     |
| 18  | 18,1     | 15,6                     | 10,3    |
| 21  |          | 15,1                     | 11,5    |
| 23  |          | 16,3                     | 13,3    |
| 25  |          | 18,0                     | 15,8    |
| 28  |          |                          | 18,0    |

**В таблице 20** представлена оценка общего диаметра (опухоль+нога) HT1080 опухолей у мышей, леченных плацебо, **PM01183** и Соединением **D**. Эти результаты также показаны на фигуре 9.

Таблица 20

| П   | Об       | Общий диаметр (опухоль+нога) (мм) |              |  |
|-----|----------|-----------------------------------|--------------|--|
| Дни | Контроль | PM01183                           | Соединение D |  |
| 0   | 7,8      | 7,7                               | 7,7          |  |
| 2   | 11,0     | 9,2                               | 9,5          |  |
| 5   | 14,0     | 9,8                               | 8,8          |  |
| 7   | 15,0     | 12,2                              | 8,7          |  |
| 9   | 18,0     | 12,6                              | 9,4          |  |
| 12  |          | 13,1                              | 9,4          |  |
| 14  |          | 14,6                              | 10,1         |  |
| 16  |          | 14,5                              | 10,9         |  |

| Дни | Общий диаметр (опухоль+нога) (мм) |         |              |  |
|-----|-----------------------------------|---------|--------------|--|
|     | Контроль                          | PM01183 | Соединение D |  |
| 19  |                                   | 15,0    | 11,2         |  |
| 21  |                                   | 18,0    | 12,1         |  |
| 23  |                                   |         | 13,0         |  |
| 26  |                                   |         | 15,0         |  |
| 28  |                                   |         | 18,0         |  |

**Пример 30b.** *In vivo* исследования для определения действия **4–R** в ксенотрансплантатах молочной железы человека.

Целью этого исследования является сравнение противоопухолевой активности **4–R** и Соединения **D** с противоопухолевой активностью **PM01183** с применением модели ксенотрансплантата рака молочной железы человека.

Моделью опухоли, применяемой в этом исследовании, является колония клеток MDA-MB-231.

**В таблице 21** представлена средняя оценка объема опухоли для MDA–MB–231 опухолей у мышей, леченных плацебо, **PM01183** и **4–R.** Эти результаты также показаны на фигуре 10.

Таблина 21

| π   |          | Средний объем опухоли | I (MM <sup>3</sup> ) |
|-----|----------|-----------------------|----------------------|
| Дни | Контроль | PM01183               | 4–R                  |
| 0   | 130,6    | 129,3                 | 129,3                |
| 7   | 230,7    | 189,0                 | 151,9                |
| 14  | 422,2    | 230,1                 | 164,1                |
| 21  | 687,7    | 305,9                 | 136,8                |
| 28  | 1114,9   | 535,8                 | 195,9                |
| 35  | 1555,3   | 819,7                 | 294,2                |
| 42  | 2138,5   | 962,7                 | 494,4                |
| 49  |          | 1301,3                | 843,8                |
| 52  |          | 2199,4                | 1042,5               |

**В таблице 22** представлена оценка опухоли MDA–MB–231 опухолей у мышей, леченных плацебо, **PM01183** и Соединением **D**. Эти результаты также показаны на фигуре 11.

Таблица 22

| Дни | Средний объем опухоли (мм³) |         |              |
|-----|-----------------------------|---------|--------------|
|     | Контроль                    | PM01183 | Соединение D |
| 0   | 129,2                       | 129,6   | 129,5        |

| Дни | Средний объем опухоли (мм³) |         |              |  |
|-----|-----------------------------|---------|--------------|--|
|     | Контроль                    | PM01183 | Соединение D |  |
| 7   | 284,0                       | 185,9   | 147,9        |  |
| 14  | 564,3                       | 290,8   | 186,4        |  |
| 21  | 686,0                       | 337,9   | 136,5        |  |
| 28  | 1068,6                      | 507,4   | 290,7        |  |
| 35  | 1359,4                      | 796,1   | 431,7        |  |
| 42  | 1533,7                      | 1062,5  | 770,1        |  |
| 49  | 1653,1                      | 1416,3  | 970,0        |  |
| 56  | 2029,3                      | 1673,3  | 1461,9       |  |
| 63  | 2060,8                      | 1811,9  | 1526,4       |  |

**Пример 30с.** *In vivo* исследования для определения действия **4–R** в ксенотрансплантатах опухоли легкого человека.

Целью этого исследования является сравнение противоопухолевой активности **4–R** и Соединения **D** с противоопухолевой активностью **PM01183** с применением модели ксенотрансплантата рака легкого человека.

Моделью опухоли, применяемой в этом исследовании, является колония клеток H—460.

**Таблица 23** представлена оценка опухоли H460 опухолей у мышей, леченных плацебо, **PM01183** и **4–R.** Эти результаты также показаны на фигуре 12.

Таблица 23

| П   |          | Средний объем опухо | ли (мм³) |
|-----|----------|---------------------|----------|
| Дни | Контроль | PM01183             | 4–R      |
| 0   | 156,2    | 156,7               | 155,5    |
| 2   | 290,9    | 227,3               | 223,3    |
| 7   | 1323,8   | 940,4               | 737,8    |
| 9   | 1816,9   | 1210,3              | 861,0    |
| 11  | 2120,9   | 1433,8              | 1102,9   |
| 14  |          | 1529,5              | 1638,0   |
| 16  |          |                     | 2028,6   |

**В таблице 24** представлена оценка опухоли H460 опухолей у мышей, леченных плацебо, **PM01183** и Соединением **D.** Эти результаты также показаны на фигуре 13.

Таблица 24

| Дни | Средний объем опухоли (мм³) |         |              |
|-----|-----------------------------|---------|--------------|
| ДШ  | Контроль                    | PM01183 | Соединение D |
| 0   | 205,2                       | 204,5   | 203,4        |

| Дни |          | Средний объем опухо. | ли (мм <sup>3</sup> ) |
|-----|----------|----------------------|-----------------------|
|     | Контроль | PM01183              | Соединение D          |
| 2   | 508,0    | 418,1                | 367,3                 |
| 7   | 1355,8   | 1004,0               | 792,0                 |
| 9   | 1682,1   | 1211,3               | 854,6                 |
| 12  | 1938,6   | 1515,4               | 1026,7                |
| 14  | 2275,9   | 1633,3               | 1175,8                |
| 16  |          | 1723,9               | 1322,1                |
| 19  |          | 2112,3               | 1581,1                |
| 21  |          | 2409,4               | 1789,3                |
| 23  |          |                      | 1966,5                |
| 26  |          |                      | 2080,7                |

**Пример 30d**. *In vivo* исследования для определения действия **4–R** в ксенотрансплантатах опухоли яичников человека.

Целью этого исследования является сравнение противоопухолевой активности **4–R** и Соединения **D** с противоопухолевой активностью **PM01183** с применением модели ксенотрансплантата рака яичников человека.

Моделью опухоли, применяемой в этом исследовании, является А2780.

**В таблице 25** представлена оценка опухоли A2780 опухолей у мышей, леченных плацебо, **PM01183** и **4–R.** Эти результаты также показаны на фигуре 14.

Таблица 25

| Дни | Средний объем опухоли (мм³) |         |        |  |
|-----|-----------------------------|---------|--------|--|
|     | Контроль                    | PM01183 | 4–R    |  |
| 0   | 172,8                       | 175,5   | 175,2  |  |
| 5   | 896,6                       | 671,2   | 611,4  |  |
| 7   | 1415,3                      | 1048,9  | 1036,5 |  |
| 12  | 2205,3                      | 2020,3  | 1992,0 |  |
| 14  |                             |         | 2165,3 |  |

**В таблице 26** представлена оценка опухоли A2780 опухолей у мышей, леченных плацебо, **PM01183** и Соединением **D.** Эти результаты также показаны на фигуре 15.

Таблица 26

| Дни | Средний объем опухоли (мм³) |         |              |  |
|-----|-----------------------------|---------|--------------|--|
|     | Контроль                    | PM01183 | Соединение D |  |
| 0   | 189,4                       | 191,2   | 190,1        |  |
| 3   | 588,5                       | 454,5   | 319,6        |  |
| 5   | 1086,0                      | 772,1   | 514,4        |  |

| Л   | Средний объем опухоли (мм³) |         |              |  |
|-----|-----------------------------|---------|--------------|--|
| Дни | Контроль                    | PM01183 | Соединение D |  |
| 7   | 1428,6                      | 1161,5  | 897,4        |  |
| 10  | 2077,1                      | 1615,6  | 1239,8       |  |
| 12  | 2163,1                      | 1703,0  | 1656,2       |  |
| 14  |                             | 2029,3  | 1951,7       |  |
| 17  |                             |         | 2121,7       |  |
| 19  |                             |         | 2068,6       |  |

**Пример 30e**. *In vivo* исследования для определения действия **4–R** в ксенотрансплантатах опухоли желудка человека.

Целью этого исследования является сравнение противоопухолевой активности **4–R** и Соединения **D** с противоопухолевой активностью **PM01183** с применением модели ксенотрансплантата рака желудка человека.

Моделью опухоли, применяемой в этом исследовании, является HGC27.

**В таблице 27** представлен рост объема опухоли HGC27 опухолей у мышей, леченных плацебо, **PM01183** и **4–R**. Эти результаты также показаны на фигуре 16.

Таблица 27

| П   | Средний объем опухоли (мм <sup>3</sup> ) |         |        |
|-----|--|---------|--------|
| Дни | Контроль                                 | PM01183 | 4–R    |
| 0   | 174,6                                    | 171,6   | 173,0  |
| 2   | 319,1                                    | 317,5   | 266,8  |
| 5   | 632,5                                    | 404,0   | 370,7  |
| 7   | 1046,0                                   | 485,7   | 418,5  |
| 9   | 1359,1                                   | 604,6   | 627,8  |
| 12  | 1863,8                                   | 760,8   | 713,5  |
| 14  | 2115,0                                   | 789,6   | 837,0  |
| 16  |  | 719,5   | 867,1  |
| 19  |  | 895,9   | 1040,2 |
| 21  |  | 1051,3  | 1229,8 |
| 26  |  | 1901,2  | 1784,5 |
| 28  |  | 2028,9  | 2073,6 |

**В таблице 28** представлен рост объема опухоли HGC27 опухолей у мышей, леченных плацебо, **PM01183** и Соединением **D**. Эти результаты также показаны на фигуре 17.

Таблица 28

| 1   | 1 <sup></sup>               |
|-----|-----------------------------|
| Дни | Средний объем опухоли (мм³) |

|    | Контроль | PM01183 | Соединение D |
|----|----------|---------|--------------|
| 0  | 142,3    | 169,5   | 157,4        |
| 2  | 286,5    | 372,4   | 327,6        |
| 5  | 527,7    | 474,1   | 439,6        |
| 7  | 821,4    | 571,8   | 418,7        |
| 9  | 1130,9   | 787,9   | 567,9        |
| 12 | 1547,8   | 951,1   | 537,0        |
| 14 | 1868,5   | 1064,4  | 654,6        |
| 16 | 1887,0   | 1346,1  | 672,4        |
| 19 | 2162,3   | 1691,8  | 843,0        |
| 21 |          | 1920,0  | 842,7        |
| 23 |          | 2011,4  | 963,7        |
| 26 |          | 2102,2  | 1203,3       |
| 28 |          |         | 1589,7       |
| 30 |          |         | 1777,6       |
| 33 |          |         | 2146,2       |

**Пример 31.** *In vivo* исследования для определения действия **12–R** в нескольких моделях ксенотрансплантатов.

**12–R** представлено в форме высушенных вымораживанием флаконов. **12–R** лепешку восстанавливают водой для вливаний до концентрации 0,5 мг/мл. Исходный раствор **12–R** далее разводят в 5% растворе декстрозы для инъекций до концентрации дозирующего состава. Вводимая доза **12–R** составляет 0,05 мг/кг.

Соединение **D** представлено в форме флаконов с лекарственным веществом. Каждый флакон восстанавливают сначала полным растворением в ДМСО с последующим добавлением Kolliphor ELP (BASF)/абсолютного этанола (1:1, об./об.) до концентрации 0,8 мг/мл. Дальнейшие разведения проводят раствором лактатного буфера (pH=4,0) до концентрации дозирующего состава. Вводимая доза соединения **D** составляет 0,5 мг/кг.

Плацебо предоставляют в форме лиофилизированной лепешки, содержащей 100 мг сахарозы+дигидрофосфат калия 6,8 мг+фосфорная кислота д.к., рН 3,8–4,5, которую восстанавливают водой для вливаний.

В этих экспериментах, **12–R**, Соединение **D**, а также плацебо, внутривенно вводят один раз в неделю в течение 3 последовательных недель, в дни 0, 7 и 14, когда бы это ни было возможно.

**Пример 31а**. *In vivo* исследования для определения действия **12–R** в ксенотрансплантатах фибросаркомы человека.

Целью этого исследования является сравнение противоопухолевой активности 12—  $\mathbf{R}$  с противоопухолевой активностью соединения  $\mathbf{D}$  с применением модели

ксенотрансплантата саркомы человека.

Моделью опухоли, применяемой в этом исследовании, является колония клеток HT1080.

**В таблице 29** представлено оценка общего диаметра (опухоль+нога) HT1080 опухолей у мышей, леченных плацебо, соединением **D** и **12–R**. Эти результаты также показаны на фигуре 18.

Таблица 29

| П    | Общий диаметр (опухоль+нога) (мм) |              |      |
|------|-----------------------------------|--------------|------|
| Дни  | Контроль                          | Соединение D | 12-R |
| 0,0  | 7,5                               | 7,5          | 7,5  |
| 2,0  | 9,4                               | 8,2          | 8,9  |
| 5,0  | 11,4                              | 7,5          | 8,8  |
| 7,0  | 12,1                              | 7,4          | 9,5  |
| 9,0  | 13,2                              | 8,1          | 9,5  |
| 12,0 | 14,5                              | 7,9          | 11,0 |
| 14,0 | 15,2                              | 7,7          | 11,7 |
| 16,0 | 15,9                              | 8,8          | 12,9 |
| 19,0 | 18,0                              | 10,2         | 13,5 |
| 21,0 |                                   | 11,2         | 15,5 |
| 23,0 |                                   | 12,2         | 18,0 |
| 27,0 |                                   | 13,2         |      |
| 30,0 |                                   | 14,6         |      |
| 33,0 |                                   | 16,3         |      |
| 35,0 |                                   | 18,0         |      |

**Пример 31b**. *In vivo* исследования для определения действия **12–R** в ксенотрансплантатах молочной железы человека.

Целью этого исследования является сравнение противоопухолевой активности 12- **R** с противоопухолевой активностью соединения **D** с применением модели ксенотрансплантата рака молочной железы человека.

Моделью опухоли, применяемой в этом исследовании, является колония клеток MDA-MB-231.

**В таблице 30** представлена средняя оценка объема опухоли для MDA–MB–231 опухолей у мышей, леченных плацебо, соединением **D** и **12–R**. Эти результаты также показаны на фигуре 19.

Таблица 30

| Дни | Средний объем опухоли (мм³) |              |      |
|-----|-----------------------------|--------------|------|
|     | Контроль                    | Соединение D | 12–R |

| Дни  | Средний объем опухоли (мм³) |              |        |
|------|-----------------------------|--------------|--------|
| дни  | Контроль                    | Соединение D | 12-R   |
| 0,0  | 149,4                       | 149,6        | 149,8  |
| 2,0  | 240,0                       | 217,2        | 223,0  |
| 5,0  | 325,1                       | 284,5        | 296,1  |
| 7,0  | 407,8                       | 310,0        | 378,3  |
| 9,0  | 514,8                       | 325,5        | 472,7  |
| 12,0 | 648,1                       | 268,4        | 609,9  |
| 14,0 | 799,0                       | 237,7        | 782,5  |
| 16,0 | 1002,5                      | 261,2        | 972,4  |
| 19,0 | 1233,9                      | 251,3        | 1211,0 |
| 21,0 | 1539,1                      | 219,9        | 1463,4 |
| 23,0 | 2006,5                      | 221,8        | 1756,5 |
| 26,0 | 2027,7                      | 245,5        | 2028,6 |
| 28,0 |                             | 320,3        |        |
| 30,0 |                             | 401,6        |        |
| 33,0 |                             | 545,8        |        |
| 35,0 |                             | 629,2        |        |
| 37,0 |                             | 670,7        |        |
| 40,0 |                             | 669,9        |        |
| 42,0 |                             | 696,3        |        |
| 44,0 |                             | 798,1        |        |
| 47,0 |                             | 857,7        |        |

**Пример 31с**. *In vivo* исследования для определения действия **12–R** в ксенотрансплантатах опухоли легкого человека.

Целью этого исследования является сравнение противоопухолевой активности 12— $\mathbf{R}$  с противоопухолевой активностью соединения  $\mathbf{D}$  с применением трех различных моделей ксенотрансплантатов рака легкого человека. Эти модели соответствуют немелкоклеточному раку легких (колония клеток H460) и мелкоклеточному раку легких (колонии клеток H526 и H82).

**В таблице 31** представлена оценка опухоли H460 опухолей у мышей, леченных плацебо, соединением **D** и **12–R**. Эти результаты также показаны на фигуре 20.

Таблица 31

|     | \ <del></del>                            | ~            | , 2 <sub>0</sub> |
|-----|--|--------------|------------------|
| Дни | Средний объем опухоли (мм <sup>3</sup> ) |              |                  |
|     | Контроль                                 | Соединение D | 12–R             |
|     |  |              |                  |

| П    | Средний объем опухоли (мм <sup>3</sup> ) |              |        |
|------|--|--------------|--------|
| Дни  | Контроль                                 | Соединение D | 12–R   |
| 0,0  | 187,4                                    | 187,2        | 187,0  |
| 2,0  | 577,5                                    | 329,7        | 410,7  |
| 5,0  | 1352,0                                   | 559,4        | 796,7  |
| 7,0  | 1642,9                                   | 756,5        | 1167,9 |
| 9,0  | 2025,0                                   | 971,9        | 1360,3 |
| 12,0 |  | 1370,9       | 1666,0 |
| 14,0 |  | 1626,8       | 2025,0 |
| 16,0 |  | 2025,0       |        |

**В таблице 32** представлена средняя оценка объема опухоли для H526 опухолей у мышей, леченных плацебо, соединением **D** и **12–R**. Результаты также показаны на фигуре 21.

Таблина 32

| П    | Средний объем опухоли (мм³) |              |         |
|------|-----------------------------|--------------|---------|
| Дни  | Контроль                    | Соединение D | 12-R    |
| 0,0  | 217,20                      | 216,1        | 214,20  |
| 2,0  | 410,70                      | 240,9        | 404,50  |
| 4,0  | 778,50                      | 99,3         | 680,50  |
| 7,0  | 1083,20                     | 56,7         | 995,20  |
| 9,0  | 1371,00                     | 62,5         | 1290,50 |
| 11,0 | 1782,00                     | 62,5         | 1568,00 |
| 14,0 | 2025,00                     | 32,0         | 2025,00 |
| 16,0 |                             | 4,0          |         |
| 21,0 |                             | 4,0          |         |
| 28,0 |                             | 4,0          |         |
| 35,0 |                             | 4,0          |         |
| 12,0 |                             | 4,0          |         |
| 49,0 |                             | 4,0          |         |

**В таблице 33** представлена средняя оценка объема опухоли для H82 опухолей у мышей, леченных плацебо, соединением **D** и **12–R**. Результаты также показаны на фигуре 22.

Таблица 33

| Дни     | Средний объем опухоли (мм³) |              |      |
|---------|-----------------------------|--------------|------|
| <b></b> | Контроль                    | Соединение D | 12–R |

| Л    | Средний объем опухоли (мм³) |              |         |
|------|-----------------------------|--------------|---------|
| Дни  | Контроль                    | Соединение D | 12-R    |
| 0,0  | 171,60                      | 169,4        | 170,50  |
| 2,0  | 439,40                      | 340,6        | 381,40  |
| 5,0  | 1024,70                     | 443,3        | 793,20  |
| 7,0  | 1422,00                     | 496,2        | 1187,20 |
| 9,0  | 1923,80                     | 614,1        | 1699,30 |
| 12,0 | 2025,00                     | 665,5        | 2125,60 |
| 14,0 |                             | 1041,6       |         |
| 16,0 |                             | 1151,2       |         |
| 19,0 |                             | 1516,7       |         |
| 21,0 |                             | 1748,0       |         |

**Пример 31d**. *In vivo* исследования для определения действия **12–R** в ксенотрансплантатах опухоли яичников человека.

Целью этого исследования является сравнение противоопухолевой активности 12— ${\bf R}$  с противоопухолевой активностью соединения  ${\bf D}$  с применением модели ксенотрансплантата рака яичников человека.

Моделью опухоли, применяемой в этом исследовании, является А2780.

**В таблице 34** представлена оценка опухоли A2780 опухолей у мышей, леченных плацебо, соединением **D** и **12–R**. Эти результаты также показаны на фигуре 23.

Таблица 34

|      | Средний объем опухоли (мм³) |              |         |
|------|-----------------------------|--------------|---------|
| Дни  |                             |              |         |
|      | Контроль                    | Соединение D | 12–R    |
| 0,0  | 169,5                       | 168,8        | 169,6   |
| 2,0  | 317,5                       | 225,7        | 302,8   |
| 5,0  | 758,9                       | 256,6        | 786,5   |
| 7,0  | 1351,9                      | 473,8        | 1113,3  |
| 9,0  | 1675,8                      | 633,6        | 1490,6  |
| 12,0 | 2025,0                      | 822,8        | 2025,00 |
| 14,0 |                             | 1129,3       | 2025,00 |
| 16,0 |                             | 1198,6       |         |
| 19,0 |                             | 1649,6       |         |
| 21,0 |                             | 2025,0       |         |

**Пример 31е**. *In vivo* исследования для определения действия **12–R** в ксенотрансплантатах опухоли желудка человека.

Целью этого исследования является сравнение противоопухолевой активности 12-

**R** с противоопухолевой активностью соединения **D** с применением модели ксенотрансплантата рака желудка человека.

Моделью опухоли, применяемой в этом исследовании, является HGC27.

**В таблице 35** представлен рост объема опухоли HGC27 опухолей у мышей, леченных плацебо, соединением **D** и **12–R**. Эти результаты также показаны на фигуре 24.

Таблица 35

| П    | Средний объем опухоли (мм <sup>3</sup> ) |              |        |
|------|--|--------------|--------|
| Дни  | Контроль                                 | Соединение D | 12–R   |
| 0,0  | 200,7                                    | 194,0        | 193,3  |
| 2,0  | 429,0                                    | 324,2        | 413,3  |
| 5,0  | 835,5                                    | 561,6        | 809,1  |
| 7,0  | 1256,5                                   | 504,2        | 1261,5 |
| 9,0  | 1602,2                                   | 584,2        | 1589,5 |
| 12,0 | 2040,7                                   | 767,7        | 2017,9 |
| 14,0 |  | 1056,8       | 2034,9 |
| 16,0 |  | 1440,2       |        |
| 19,0 |  | 1717,9       |        |
| 21,0 |  | 2043,4       |        |

**Пример 32.***In vivo* исследования для определения действия **19–S** в нескольких моделях ксенотрансплантатов

**19–S** представлено в виде высушенных вымораживанием флаконов. **19–S** лепешку восстанавливают водой для вливаний до концентрации 0,5 мг/мл. Исходный раствор **19–S** далее разводят в 5% растворе декстрозы для инъекций до концентрации дозирующего состава. Вводимая доза **19–S** составляет 0,75 мг/кг.

**РМ01183** представлено в форме флаконов с лиофилизированным продуктом. Каждый флакон восстанавливают водой для вливания до концентрации 0,2 мг/мл. Исходный раствор **РМ01183** далее разводят в 5% растворе глюкозы для инъекций до концентраций дозирующего состава. Вводимая доза составляет 0,18 мг/кг.

Плацебо предоставляют в форме лиофилизированной лепешки, содержащей 100 мг сахарозы+дигидрофосфат калия 6,8 мг+фосфорная кислота д.к., рН 3,8–4,5, которую восстанавливают водой для вливаний.

В этих экспериментах, **19–S** и **PM0118312–R**, а также плацебо, внутривенно вводят один раз в неделю в течение 3 последовательных недель, в дни 0, 7 и 14, когда бы это ни было возможно.

**Пример 32а.** *In vivo* исследования для определения действия **19–S** в ксенотрансплантатах фибросаркомы человека.

Целью этого исследования является сравнение противоопухолевых действий **19–S** и **PM01183** с применением модели ксенотрансплантата саркомы человека.

Моделью опухоли, применяемой в этом исследовании, является колония клеток HT1080.

**В таблице 36** представлена оценка общего диаметра (опухоль+нога) HT1080 опухолей у мышей, леченных плацебо, **PM01183** и **19–S.** Эти результаты также показаны на фигуре 25.

Таблица 36

| П   | Общий диаметр (опухоль+нога) (мм) |         |      |
|-----|-----------------------------------|---------|------|
| Дни | Контроль                          | PM01183 | 19-S |
| 0   | 8,4                               | 8,4     | 8,2  |
| 2   | 10,9                              | 9,8     | 8,4  |
| 5   | 14,8                              | 9,7     | 7,8  |
| 7   | 15,9                              | 11,4    | 9,5  |
| 9   | 18,0                              | 12,7    | 9,9  |
| 12  |                                   | 13,7    | 10,7 |
| 14  |                                   | 14,6    | 11,3 |
| 16  |                                   | 15,5    | 11,9 |
| 19  |                                   | 15,6    | 13,4 |
| 21  |                                   | 18,0    | 14,4 |
| 23  |                                   |         | 18,0 |

**Пример 32b.** *In vivo* исследования для определения действия **19–S** в ксенотрансплантатах аденокарциномы молочной железы человека.

Целью этого исследования является сравнение противоопухолевых действий **19–S** и **PM01183** с применением модели ксенотрансплантата рака молочной железы человека.

Моделью опухоли, применяемой в этом исследовании, является колония клеток MDA-MB-231.

**В таблице 37** представлена средняя оценка объема опухоли для MDA–MB–231 опухолей у мышей, леченных плацебо, **PM01183** и **19–S.** Эти результаты также показаны на фигуре 26.

Таблица 37

| Дни | Средний объем опухоли (мм³) |         |       |
|-----|-----------------------------|---------|-------|
| дни | Контроль                    | PM01183 | 19–S  |
| 0   | 132,6                       | 134,3   | 133,6 |
| 4   | 194,1                       | 177,2   | 157,2 |
| 7   | 248,2                       | 186,3   | 142,6 |
| 11  | 377,6                       | 250,7   | 133,9 |
| 14  | 461,3                       | 266,1   | 117,3 |

| П   | Средний объем опухоли (мм³) |         |        |
|-----|-----------------------------|---------|--------|
| Дни | Контроль                    | PM01183 | 19-S   |
| 18  | 679,2                       | 327,7   | 79,3   |
| 21  | 753,2                       | 391,0   | 89,2   |
| 25  | 909,2                       | 493,1   | 120,6  |
| 28  | 1090,7                      | 627,3   | 144,4  |
| 32  | 1433,4                      | 789,0   | 246,1  |
| 36  | 1887,5                      | 1022,0  | 419,3  |
| 39  | 1785,2                      | 1294,2  | 593,7  |
| 42  | 2081,5                      | 1643,3  | 945,9  |
| 46  | 2137,5                      | 1658,9  | 985,3  |
| 49  |                             | 1938,0  | 1211,5 |
| 53  |                             |         | 1324,3 |
| 56  |                             |         | 1703,9 |
| 60  |                             |         | 1793,3 |
| 63  |                             |         | 1603,0 |
| 70  |                             |         | 2324,2 |

**Пример 32с.** *In vivo* исследования для определения действия **19–S** в ксенотрансплантатах рака легкого человека.

Целью этого исследования является сравнение противоопухолевых действий **19–S** и **PM01183** с применением модели ксенотрансплантата рака легкого человека.

Моделью опухоли, применяемой в этом исследовании, является колония клеток H– 460.

**В таблице 38** представлена средняя оценка объема опухоли для H–460 опухолей у мышей, леченных плацебо, **PM01183** и **19–S.** Эти результаты также показаны на фигуре 27.

Таблица 38

| Л   | Средний объем опухоли (мм³) |         |        |
|-----|-----------------------------|---------|--------|
| Дни | Контроль                    | PM01183 | 19-S   |
| 0   | 197,0                       | 196,3   | 196,9  |
| 2   | 529,5                       | 457,0   | 364,0  |
| 4   | 1057,4                      | 861,5   | 624,9  |
| 7   | 1582,5                      | 1280,2  | 966,5  |
| 9   | 2094,8                      | 1424,9  | 1078,2 |
| 11  |                             | 1969,9  | 1449,0 |

| Дни | Средний объем опухоли (мм³) |         |        |
|-----|-----------------------------|---------|--------|
|     | Контроль                    | PM01183 | 19-S   |
| 14  |                             |         | 1761,5 |

**Пример 32d.** *In vivo* исследования для определения действия **19–S** в ксенотрансплантатах опухоли яичников человека.

Целью этого исследования является сравнение противоопухолевых действий **19–S** и **PM01183** с применением модели ксенотрансплантата рака яичников человека.

Моделью опухоли, применяемой в этом исследовании, является А2780.

**В таблице 39** представлена средняя оценка объема опухоли для A2780 опухолей у мышей, леченных плацебо, **PM01183** и **19–S.** Эти результаты также показаны на фигуре 28.

Таблица 39

| П   | Средний объем опухоли (мм <sup>3</sup> ) |         |        |
|-----|--|---------|--------|
| Дни | Контроль                                 | PM01183 | 19-S   |
| 0   | 163,4                                    | 163,6   | 164,4  |
| 2   | 287,1                                    | 235,5   | 187,9  |
| 4   | 568,7                                    | 463,2   | 205,4  |
| 7   | 1211,3                                   | 986,3   | 513,6  |
| 9   | 1633,7                                   | 1451,4  | 650,6  |
| 11  | 2047,8                                   | 2062    | 659,8  |
| 14  |  |         | 1236,2 |
| 18  |  |         | 1575,9 |
| 23  |  |         | 1895,7 |
| 25  |  |         | 2177,0 |

**Пример 32е.** *In vivo* исследования для определения действия **19–S** в ксенотрансплантатах опухоли желудка человека.

Целью этого исследования является сравнение противоопухолевых действий **19–S** и **PM01183** с применением модели ксенотрансплантата рака желудка человека.

Моделью опухоли, применяемой в этом исследовании, является HGC27.

**В таблице 40** представлена средняя оценка объема опухоли для HGC27 опухолей у мышей, леченных плацебо, **PM01183** и **19–S.** Эти результаты также показаны на фигуре 29.

Таблица 40

| Дни | Средний объем опухоли (мм³) |         |       |
|-----|-----------------------------|---------|-------|
|     | Контроль                    | PM01183 | 19-S  |
| 0   | 178,3                       | 177,6   | 181,5 |
| 2   | 409                         | 395,6   | 404,6 |

| П   | Средний объем опухоли (мм <sup>3</sup> ) |         |        |
|-----|--|---------|--------|
| Дни | Контроль                                 | PM01183 | 19-S   |
| 5   | 907,4                                    | 572,4   | 600,3  |
| 7   | 1283,6                                   | 766,6   | 660,3  |
| 9   | 1664                                     | 950,7   | 787,5  |
| 14  | 2102,8                                   | 1199,4  | 864,4  |
| 16  |  | 1353,1  | 882,4  |
| 19  |  | 1294,3  | 925,2  |
| 21  |  | 1335,1  | 893,6  |
| 23  |  | 1320,3  | 874,4  |
| 26  |  | 1364,5  | 932,1  |
| 30  |  | 1671,9  | 1547,8 |
| 33  |  | 2009,2  | 2020,4 |

**Пример 33.** *In vivo* исследования для определения действия **19–R** в нескольких моделях ксенотрансплантатов

**19–R** представлено в виде высушенных вымораживанием флаконов. **19–R** лепешку восстанавливают водой для вливаний до концентрации 0,5 мг/мл. Исходный раствор **19–R** далее разводят в 5% растворе декстрозы для инъекций до концентрации дозирующего состава. Вводимая доза **19–R** составляет 0,15 мг/кг.

**РМ01183** представлено в форме флаконов с лиофилизированным продуктом. Каждый флакон восстанавливают водой для вливания до концентрации 0,2 мг/мл. Исходный раствор **РМ01183** далее разводят в 5% растворе глюкозы для инъекций до концентраций дозирующего состава. Вводимая доза составляет 0,18 мг/кг.

Плацебо предоставляют в форме лиофилизированной лепешки, содержащей 100 мг сахарозы+дигидрофосфат калия 6,8 мг+фосфорная кислота д.к., pH 3,8–4,5, которую восстанавливают водой для вливаний.

В этих экспериментах, **19–R и PM01183**, а также плацебо, внутривенно вводят один раз в неделю в течение 3 последовательных недель, в дни 0, 7 и 14, когда бы это ни было возможно.

**Пример 33а**. *In vivo* исследования для определения действия **19–R** в ксенотрансплантатах фибросаркомы человека.

Целью этого исследования является сравнение противоопухолевой активности 19- **R** с противоопухолевой активностью **PM01183** с применением модели ксенотрансплантата саркомы человека.

Моделью опухоли, применяемой в этом исследовании, является колония клеток HT1080.

**В таблице 41** представлена оценка общего диаметра (опухоль+нога) HT–1080 опухолей у мышей, леченных плацебо, **PM01183** и **19–R.** Эти результаты также показаны

на фигуре 30.

Таблица 41

| П   | Общий диаметр (опухоль+нога) (мм) |         |      |
|-----|-----------------------------------|---------|------|
| Дни | Контроль                          | PM01183 | 19–R |
| 0   | 8,4                               | 8,4     | 8,3  |
| 2   | 10,9                              | 9,8     | 9,4  |
| 5   | 14,8                              | 9,7     | 8,0  |
| 7   | 15,9                              | 11,4    | 7,2  |
| 9   | 18,0                              | 12,7    | 7,8  |
| 12  |                                   | 13,7    | 7,8  |
| 14  |                                   | 14,6    | 8,4  |
| 16  |                                   | 15,5    | 8,2  |
| 19  |                                   | 15,6    | 11,3 |
| 21  |                                   | 18,0    | 12,2 |
| 23  |                                   |         | 13,3 |
| 26  |                                   |         | 15,2 |
| 28  |                                   |         | 18,0 |

**Пример 33b**. *In vivo* исследования для определения действия **19–R** в ксенотрансплантатах аденокарциномы молочной железы человека.

Целью этого исследования является сравнение противоопухолевой активности 19- **R** с противоопухолевой активностью **PM01183** с применением модели ксенотрансплантата рака молочной железы человека.

Моделью опухоли, применяемой в этом исследовании, является колония клеток MDA-MB-231.

**В таблице 42** представлена средняя оценка объема опухоли для MDA–MB–231 опухолей у мышей, леченных плацебо, **PM01183** и **19–R.** Эти результаты также показаны на фигуре 31.

Таблица 42

| I tournate 12               |   |  |
|-----------------------------|---|--|
| Средний объем опухоли (мм³) |   |  |
| Контроль                    | PM01183                                   | 19–R   |
| 132,6                       | 134,3                                     | 132,5  |
| 194,1                       | 177,2                                     | 189,3  |
| 248,2                       | 186,3                                     | 151,9  |
| 377,6                       | 250,7                                     | 167,5  |
| 461,3                       | 266,1                                     | 152,6  |
| 679,2                       | 327,7                                     | 162,2  |
|                             | 132,6<br>194,1<br>248,2<br>377,6<br>461,3 | Контроль     PM01183       132,6     134,3       194,1     177,2       248,2     186,3       377,6     250,7       461,3     266,1 |

| Дни | Средний объем опухоли (мм³) |         |        |  |
|-----|-----------------------------|---------|--------|--|
|     | Контроль                    | PM01183 | 19–R   |  |
| 21  | 753,2                       | 391,0   | 201,2  |  |
| 25  | 909,2                       | 493,1   | 208,5  |  |
| 28  | 1090,7                      | 627,3   | 274,8  |  |
| 32  | 1433,4                      | 789,0   | 355,8  |  |
| 36  | 1887,5                      | 1022,0  | 513,8  |  |
| 39  | 1785,2                      | 1294,2  | 793,7  |  |
| 42  | 2081,5                      | 1643,3  | 1012,2 |  |
| 46  | 2137,5                      | 1658,9  | 1188,5 |  |
| 49  |                             | 1938,0  | 1380,7 |  |
| 53  |                             |         | 1568,0 |  |
| 56  |                             |         | 1862,6 |  |
| 60  |                             |         | 2129,4 |  |

**Пример 33с**. *In vivo* исследования для определения действия **19–R** в ксенотрансплантатах опухоли легкого человека.

Целью этого исследования является сравнение противоопухолевой активности 19- **R** с противоопухолевой активностью **PM01183** с применением модели ксенотрансплантата рака легкого человека.

Моделью опухоли, применяемой в этом исследовании, является колония клеток H- 460

**В таблице 43** представлена средняя оценка объема опухоли для Н460 опухолей у мышей, леченных плацебо, **PM01183** и **19–R.** Эти результаты также показаны на фигуре 32.

Таблица 43

| Средний объем опухоли (мм³) |                                    |  |
|-----------------------------|------------------------------------|--|
| Контроль                    | PM01183                            | 19–R   |
| 197,0                       | 196,3                              | 196,8  |
| 529,5                       | 457,0                              | 418,7  |
| 1057,4                      | 861,5                              | 697,2  |
| 1582,5                      | 1280,2                             | 911,7  |
| 2094,8                      | 1424,9                             | 1111,5   |
|                             | 1969,9                             | 1281,3   |
|                             |                                    | 1478,7   |
|                             |                                    | 1594,0   |
|                             | 197,0<br>529,5<br>1057,4<br>1582,5 | КонтрольPM01183197,0196,3529,5457,01057,4861,51582,51280,22094,81424,9 |

**Пример 33d.** *In vivo* исследования для определения действия 19–R в

ксенотрансплантатах опухоли яичников человека.

Целью этого исследования является сравнение противоопухолевой активности 19- **R** с противоопухолевой активностью **PM01183** с применением модели ксенотрансплантата рака яичников человека.

Моделью опухоли, применяемой в этом исследовании, является А2780.

**В таблице 44** представлена средняя оценка объема опухоли для A2780 опухолей у мышей, леченных плацебо, **PM01183** и **19–R.** Эти результаты также показаны на фигуре 33.

Таблица 44

| Дни | Средний объем опухоли (мм <sup>3</sup> ) |         |        |  |
|-----|--|---------|--------|--|
|     | Контроль                                 | PM01183 | 19–R   |  |
| 0   | 163,4                                    | 163,6   | 162,8  |  |
| 2   | 287,1                                    | 236,5   | 212,9  |  |
| 4   | 568,7                                    | 463,2   | 368,5  |  |
| 7   | 1211,3                                   | 986,3   | 841,3  |  |
| 9   | 1633,7                                   | 1451,4  | 1138,9 |  |
| 11  | 2047,8                                   | 2062,0  | 1519,9 |  |
| 14  |  |         | 2056,0 |  |

**Пример 33е.** *In vivo* исследования для определения действия **19–R** в ксенотрансплантатах опухоли желудка человека.

Целью этого исследования является сравнение противоопухолевой активности 19- **R** с противоопухолевой активностью **PM01183** с применением модели ксенотрансплантата рака желудка человека.

Моделью опухоли, применяемой в этом исследовании, является HGC27.

**В таблице 45** представлена средняя оценка объема опухоли для HGC–27 опухолей у мышей, леченных плацебо, **PM01183** и **19–R**. Эти результаты также показаны на фигуре 34.

Таблица 45

| Дни | Средний объем опухоли (мм <sup>3</sup> ) |         |        |  |
|-----|--|---------|--------|--|
|     | Контроль                                 | PM01183 | 19–R   |  |
| 0   | 178,3                                    | 177,6   | 182,0  |  |
| 2   | 409,0                                    | 395,6   | 414,9  |  |
| 5   | 907,4                                    | 572,4   | 735,0  |  |
| 7   | 1283,6                                   | 766,6   | 901,2  |  |
| 9   | 1664,0                                   | 950,7   | 1048,1 |  |
| 14  | 2102,8                                   | 1199,4  | 1293,9 |  |
| 16  |  | 1353,1  | 1488,8 |  |

| Л   | Средний объем опухоли (мм³) |         |        |
|-----|-----------------------------|---------|--------|
| Дни | Контроль                    | PM01183 | 19–R   |
| 19  |                             | 1294,3  | 1668,3 |
| 21  |                             | 1335,1  | 1845,0 |
| 23  |                             | 1320,3  | 2025,0 |
| 26  |                             | 1364,5  |        |
| 30  |                             | 1671,9  |        |
| 33  |                             | 2009,2  |        |

**Пример 34.** *In vivo* исследования для определения действия **39–S** в нескольких моделях ксенотрансплантатов.

Соединение **39–S** и **C** представлены в форме высушенных вымораживанием флаконов лиофилизированного продукта. Каждый флакон восстанавливают стерильной водой для инъекций до концентрации 0,5 мг/мл. Дальнейшие разведения проводят 5% раствором декстрозы для инъекций до концентрации дозирующего состава. Вводимые дозы **39–S** и **C** составляют 1,25 и 3 мг/кг, соответственно.

Плацебо предоставляют в форме флаконов лиофилизированного продукта. Каждый флакон (сахароза 200 мг+дигидрофосфат калия 13,6 мг+фосфорная кислота д.к., рН 3,8–4,5) восстанавливают стерильной водой для инъекций (2 мл). Дальнейшие разведения проводят 5% раствором декстрозы для инъекций.

В этих экспериментах, **39–S** и соединение  $\mathbf{C}$ , а также плацебо, внутривенно вводят один раз в неделю в объеме 10 мл/кг.

**Пример 34а**. *In vivo* исследования для определения действия **39–S** в ксенотрансплантатах фибросаркомы человека.

Целью этого исследования является оценка противоопухолевой активности соединения **39–S** сравнением с противоопухолевой активностью соединения **C** с применением модели ксенотрансплантата саркомы человека.

Моделью опухоли, применяемой в этом исследовании, является колония клеток HT1080.

**В таблице 46** представлена оценка общего диаметра (опухоль+нога) HT1080 опухолей у мышей, леченных плацебо, соединением **С** и **39–S**. Эти результаты также показаны на фигуре **35**.

Таблица 46

| Дни | Общий диаметр (опухоль+нога) (мм) |      |              |
|-----|-----------------------------------|------|--------------|
|     | Контроль                          | 39–S | Соединение С |
| 0   | 7,5                               | 7,5  | 7,5          |
| 2   | 9,4                               | 7,9  | 8,8          |
| 5   | 11,4                              | 6,4  | 9,0          |

| Дни | Обш      | ий диаметр (оп | ухоль+нога) (мм) |
|-----|----------|----------------|------------------|
| дни | Контроль | 39-S           | Соединение С     |
| 7   | 12,1     | 6,8            | 9,6              |
| 9   | 13,2     | 6,9            | 10,2             |
| 12  | 14,5     | 6,6            | 10,2             |
| 14  | 15,2     | 6,4            | 11,2             |
| 16  | 15,9     | 6,8            | 12,4             |
| 19  | 18,0     | 7,0            | 13,3             |
| 21  |          | 7,0            | 15,2             |
| 23  |          | 8,5            | 18,0             |
| 27  |          | 10,8           |                  |
| 30  |          | 12,5           |                  |
| 33  |          | 14,3           |                  |
| 35  |          | 15,3           |                  |
| 37  |          | 18,0           |                  |

**Пример 34b**. *In vivo* исследования для определения действия **39–S** в ксенотрансплантатах аденокарциномы молочной железы человека.

Целью этого исследования является сравнение противоопухолевых действий 39–S и соединения C с применением модели ксенотрансплантата рака молочной железы человека.

Моделью опухоли, применяемой в этом исследовании, является колония клеток MDA-MB-231.

**В таблице 47** представлена средняя оценка объема опухоли для MDA–MB–231 опухолей у мышей, леченных плацебо, соединением **С** и **39–S**. Эти результаты также показаны на фигуре **36**.

Таблица 47.

| Дни | Средний объем опухоли (мм³) |       |              |
|-----|-----------------------------|-------|--------------|
| дни | Контроль                    | 39–S  | Соединение С |
| 0   | 149,4                       | 151,0 | 149,4        |
| 2   | 240,0                       | 209,3 | 217,1        |
| 5   | 325,1                       | 290,9 | 281,3        |
| 7   | 407,8                       | 301,8 | 338,6        |
| 9   | 514,8                       | 300,8 | 385,1        |
| 12  | 648,1                       | 278,7 | 400,4        |
| 14  | 799,0                       | 249,7 | 436,9        |

| П   | Средний объем опухоли (мм³) |        |              |  |
|-----|-----------------------------|--------|--------------|--|
| Дни | Контроль                    | 39–S   | Соединение С |  |
| 16  | 1002,5                      | 243,6  | 585,7        |  |
| 19  | 1233,9                      | 248,3  | 774,7        |  |
| 21  | 1539,1                      | 250,0  | 965,9        |  |
| 23  | 2006,5                      | 260,3  | 1215,2       |  |
| 26  | 2027,7                      | 304,9  | 1503,2       |  |
| 28  |                             | 337,1  | 1785,3       |  |
| 30  |                             | 451,3  | 2037,1       |  |
| 33  |                             | 584,1  |              |  |
| 35  |                             | 683,4  |              |  |
| 37  |                             | 784,7  |              |  |
| 40  |                             | 937,4  |              |  |
| 42  |                             | 1060,5 |              |  |
| 44  |                             | 1170,5 |              |  |
| 47  |                             | 1112,9 |              |  |
| 49  |                             | 1138,6 |              |  |
| 51  |                             | 1283,2 |              |  |
| 54  |                             | 1415,1 |              |  |
| 56  |                             | 1518,7 |              |  |
| 58  |                             | 1728,5 |              |  |
| 61  |                             | 2017,9 |              |  |

**Пример 34с**. *In vivo* исследования для определения действия **39–S** в ксенотрансплантатах рака легкого человека.

Целью этого исследования является сравнение противоопухолевой активности **39**— **S** с противоопухолевой активностью соединения **C** с применением трех различных моделей ксенотрансплантата рака легкого человека. Эти модели соответствуют немелкоклеточному раку легкого (колония клеток H–460) и мелкоклеточному раку легкого (колонии клеток H526 и H82).

**В таблице 48** представлена средняя оценка объема опухоли для H460 опухолей у мышей, леченных плацебо, соединением **С** и **39–S**. Эти результаты также показаны на фигуре **37**.

Таблица 48

| Средний объем опухоли (мм³)<br>Дни |          |      | ухоли (мм <sup>3</sup> ) |
|------------------------------------|----------|------|--------------------------|
| дни                                | Контроль | 39–S | Соединение С             |

| 0  | 187,4  | 187,8  | 186,1  |
|----|--------|--------|--------|
| 2  | 577,5  | 314,4  | 395,4  |
| 5  | 1352,0 | 584,1  | 665,9  |
| 7  | 1642,9 | 831,2  | 929,5  |
| 9  | 2025,0 | 841,0  | 1063,7 |
| 12 |        | 1008,0 | 1436,5 |
| 14 |        | 1309,8 | 2025,0 |
| 16 |        | 1470,0 | 2025,0 |
| 19 |        | 2025,0 |        |

**В таблице 49** представлена средняя оценка объема опухоли для H526 опухолей у мышей, леченных плацебо, соединением C и **39–S**. Эти результаты также показаны на фигуре **38**.

Таблица 49

|       | iųa 42   | Средний объем опухоли (мм <sup>3</sup> ) |              |  |  |  |
|-------|----------|--|--------------|--|--|--|
| Дни _ | Контроль | 39–S                                     | Соединение С |  |  |  |
| 0     | 217,2    | 214,5                                    | 217,9        |  |  |  |
| 2     | 410,7    | 260,3                                    | 262,4        |  |  |  |
| 4     | 778,5    | 80,0                                     | 108,3        |  |  |  |
| 7     | 1083,2   | 46,2                                     | 129,8        |  |  |  |
| 9     | 1371,0   | 32,0                                     | 85,9         |  |  |  |
| 11    | 1782,0   | 32,0                                     | 52,3         |  |  |  |
| 14    | 2025,0   | 4,0                                      | 54,1         |  |  |  |
| 16    |          | 4,0                                      | 47,3         |  |  |  |
| 21    |          | 4,0                                      | 4,0          |  |  |  |
| 28    |          | 4,0                                      | 4,0          |  |  |  |
| 35    |          | 4,0                                      | 4,0          |  |  |  |
| 42    |          | 4,0                                      | 62,5         |  |  |  |
| 49    |          | 4,0                                      | 53,5         |  |  |  |
| 56    |          | 4,0                                      | 70,0         |  |  |  |
| 63    |          | 4,0                                      | 132,3        |  |  |  |
| 70    |          | 4,0                                      | 368,5        |  |  |  |
| 77    |          | 4,0                                      | 465,8        |  |  |  |
| 84    |          | 4,0                                      | 107,4        |  |  |  |
| 91    |          | 4,0                                      | 130,0        |  |  |  |

| Л   | Средний объем опухоли (мм³) |      |              |
|-----|-----------------------------|------|--------------|
| Дни | Контроль                    | 39–S | Соединение С |
| 98  |                             | 4,0  | 4,0          |
| 105 |                             | 4,0  | 4,0          |
| 112 |                             | 4,0  | 4,0          |
| 119 |                             | 4,0  | 4,0          |
| 126 |                             | 4,0  | 4,0          |
| 133 |                             | 4,0  | 4,0          |
| 140 |                             | 4,0  | 4,0          |
| 147 |                             | 4,0  | 4,0          |
| 165 |                             | 4,0  | 4,0          |
| 175 |                             | 4,0  | 4,0          |
| 191 |                             | 4,0  | 4,0          |
| 205 |                             | 4,0  | 4,0          |

**В таблице 50** представлена средняя оценка объема опухоли для H82 опухолей у мышей, леченных плацебо, соединением C и **39–S**. Эти результаты также показаны на фигуре **39**.

Таблица 50.

| Л   | Средний объем опухоли (мм³) |        |              |  |
|-----|-----------------------------|--------|--------------|--|
| Дни | Контроль                    | 39–S   | Соединение С |  |
| 0   | 171,6                       | 170,3  | 170,5        |  |
| 2   | 439,4                       | 325,2  | 265,3        |  |
| 5   | 1024,7                      | 430,8  | 488,7        |  |
| 7   | 1422,0                      | 466,2  | 760,0        |  |
| 9   | 1923,8                      | 544,3  | 899,5        |  |
| 12  | 2025,0                      | 640,3  | 1038,5       |  |
| 14  |                             | 711,2  | 1213,4       |  |
| 16  |                             | 802,7  | 1256,4       |  |
| 19  |                             | 916,0  | 1741,5       |  |
| 21  |                             | 1047,2 | 1878,8       |  |
| 23  |                             | 1189,1 | 2057,0       |  |
| 26  |                             | 1497,2 |              |  |
| 28  |                             | 1741,8 |              |  |
| 30  |                             | 1731,7 |              |  |

| Дни      | Средний объем опухоли (мм <sup>3</sup> ) |        |              |
|----------|--|--------|--------------|
| <b>Д</b> | Контроль                                 | 39–S   | Соединение С |
| 33       |  | 2029,4 |              |

**Пример 34d**. *In vivo* исследования для определения действия **39–S** в ксенотрансплантатах опухоли яичников человека.

Целью этого исследования является сравнение противоопухолевой активности 39– S с противоопухолевой активностью соединения C с применением модели ксенотрансплантата рака яичников человека.

Моделью опухоли, применяемой в этом исследовании, является А2780.

**В таблице 51** представлена оценка опухоли A2780 опухолей у мышей, леченных плацебо, соединением **С** и **39–S**. Эти результаты также показаны на фигуре **40**.

Таблица 51

| таолица эт |                             |        |              |
|------------|-----------------------------|--------|--------------|
| Лохи       | Средний объем опухоли (мм³) |        |              |
| День       | Контроль                    | 39–S   | Соединение С |
| 0          | 169,5                       | 170,5  | 169,6        |
| 2          | 317,5                       | 206,5  | 206,3        |
| 5          | 758,9                       | 163,4  | 372,7        |
| 7          | 1351,9                      | 298,6  | 607,6        |
| 9          | 1675,8                      | 317,4  | 696,2        |
| 12         | 2025,0                      | 378,2  | 855,6        |
| 14         |                             | 668,5  | 1293,9       |
| 16         |                             | 853,5  | 1683,5       |
| 19         |                             | 1415,5 | 2137,5       |
| 21         |                             | 1519,2 |              |
| 23         |                             | 1666,0 |              |
| 30         |                             | 2025,0 |              |

**Пример 34e**. *In vivo* исследования для определения действия **39–S** в ксенотрансплантатах опухоли желудка человека.

Целью этого исследования является сравнение противоопухолевой активности 39– S с противоопухолевой активностью соединения C с применением модели ксенотрансплантата рака желудка человека.

Моделью опухоли, применяемой в этом исследовании, является HGC27.

**В таблице 52** представлен рост объема опухоли HGC27 опухолей у мышей, леченных плацебо, соединением **С** и **39–S**. Эти результаты также показаны на фигуре **41**.

Таблица 52

| Дни | Средний объем опухоли (мм <sup>3</sup> ) |      |              |
|-----|--|------|--------------|
|     | Контроль                                 | 39–S | Соединение С |

| Дни | Средний объем опухоли (мм³) |        |              |  |
|-----|-----------------------------|--------|--------------|--|
| Дни | Контроль                    | 39–S   | Соединение С |  |
| 0   | 200,7                       | 195,6  | 195,0        |  |
| 2   | 429,0                       | 356,3  | 391,0        |  |
| 5   | 835,5                       | 469,7  | 578,6        |  |
| 7   | 1256,5                      | 467,8  | 708,2        |  |
| 9   | 1602,2                      | 575,2  | 937,7        |  |
| 12  | 2040,7                      | 611,1  | 1169,5       |  |
| 14  |                             | 637,3  | 1496,8       |  |
| 16  |                             | 690,4  | 1690,6       |  |
| 19  |                             | 701,8  | 2004,0       |  |
| 21  |                             | 697,4  | 1741,4       |  |
| 23  |                             | 715,5  | 2056,4       |  |
| 26  |                             | 898,1  |              |  |
| 28  |                             | 1163,4 |              |  |
| 30  |                             | 1409,3 |              |  |
| 33  |                             | 1450,5 |              |  |
| 35  |                             | 1708,5 |              |  |
| 37  |                             | 1804,4 |              |  |
| 40  |                             | 2075,2 |              |  |

**Пример 35.***In vivo* исследования для определения действия **47–R** в нескольких моделях ксенотрансплантатов.

Соединение **47–R** представлено в виде высушенных вымораживанием флаконов лиофилизированного продукта. Каждый флакон восстанавливают стерильной водой для инъекций до концентрации 0,5 мг/мл. Дальнейшие разведения проводят 5% раствором декстрозы для инъекций до концентрации дозирующего состава. Вводимая доза **47–R** составляет 0,1 мг/кг.

Соединение **D** представлено в форме порошкового лекарственного вещества. Каждый флакон восстанавливают сначала полным растворением в ДМСО (Fisher) и затем добавлением Kolliphor ELP (Basf)/абсолютного этанола (Merk) (1:1, об./об.) до концентрации  $0.8\,$  мг/мл. Дальнейшие разведения проводят раствором лактатного буфера (рH=4,0) до концентрации дозирующего состава. Вводимая доза соединения **D** составляет  $0.5\,$  мг/кг.

Плацебо предоставляют в форме флаконов лиофилизированного продукта. Каждый флакон (сахароза 200 мг+дигидрофосфат калия 13,6 мг+фосфорная кислота д.к., рН 3,8–4,5) восстанавливают стерильной водой для инъекций (2 мл). Дальнейшие разведения

проводят 5% раствором декстрозы для инъекций.

В этих экспериментах, **47–R** и соединение **D**, а также плацебо, внутривенно вводят один раз в неделю в объеме 10 мл/кг.

**Пример 35а.** *In vivo* исследования для определения действия **47–R** в ксенотрансплантатах фибросаркомы человека.

Целью этого исследования является оценка противоопухолевой активности соединения 47– $\mathbf{R}$  сравнением с противоопухолевой активностью соединения  $\mathbf{D}$  с применением модели ксенотрансплантата саркомы человека.

Моделью опухоли, применяемой в этом исследовании, является колония клеток HT1080.

**В таблице 53** представлена оценка общего диаметра (опухоль+нога) HT1080 опухолей у мышей, леченных плацебо, соединением **D** и **47–R**. Эти результаты также показаны на фигуре **42**.

Таблина 53

| 1 аолица 53 |                                   |      |              |  |
|-------------|-----------------------------------|------|--------------|--|
| Пин         | Общий диаметр (опухоль+нога) (мм) |      |              |  |
| Дни         | Контроль                          | 47–R | Соединение D |  |
| 0           | 7,5                               | 7,5  | 7,5          |  |
| 2           | 9,4                               | 8,9  | 8,2          |  |
| 5           | 11,4                              | 10,1 | 7,5          |  |
| 7           | 12,1                              | 10,5 | 7,4          |  |
| 9           | 13,2                              | 11,5 | 8,1          |  |
| 12          | 14,5                              | 13,5 | 7,9          |  |
| 14          | 15,2                              | 13,9 | 7,7          |  |
| 16          | 15,9                              | 14,6 | 8,8          |  |
| 19          | 18,0                              | 18,0 | 10,2         |  |
| 21          |                                   |      | 11,2         |  |
| 23          |                                   |      | 12,2         |  |
| 27          |                                   |      | 13,2         |  |
| 30          |                                   |      | 14,6         |  |
| 33          |                                   |      | 16,3         |  |
| 35          |                                   |      | 18,0         |  |
| 1           |                                   |      |              |  |

**Пример 35b.***In vivo* исследования для определения действия **47–R** в ксенотрансплантатах аденокарциномы молочной железы человека.

Целью этого исследования является сравнение противоопухолевых действий **47–R** и соединение **D** с применением модели ксенотрансплантата рака молочной железы человека.

Моделью опухоли, применяемой в этом исследовании, является колония клеток

## MDA-MB-231.

**В таблице 54** представлена средняя оценка объема опухоли для MDA–MB–231 опухолей у мышей, леченных плацебо, соединением **D** и **47–R**. Эти результаты также показаны на фигуре 43.

Таблица 54

| Таблица 54 |  |        |              |  |  |
|------------|--|--------|--------------|--|--|
| Дни _      | Средний объем опухоли (мм <sup>3</sup> ) |        |              |  |  |
|            | Контроль                                 | 47–R   | Соединение D |  |  |
| 0          | 149,4                                    | 150,5  | 149,6        |  |  |
| 2          | 240,0                                    | 225,3  | 217,2        |  |  |
| 5          | 325,1                                    | 323,2  | 284,5        |  |  |
| 7          | 407,8                                    | 405,0  | 310,0        |  |  |
| 9          | 514,8                                    | 495,9  | 325,5        |  |  |
| 12         | 648,1                                    | 594,1  | 268,4        |  |  |
| 14         | 799,0                                    | 769,5  | 237,7        |  |  |
| 16         | 1002,5                                   | 1009,5 | 261,2        |  |  |
| 19         | 1233,9                                   | 1298,0 | 251,3        |  |  |
| 21         | 1539,1                                   | 1580,7 | 219,9        |  |  |
| 23         | 2006,5                                   | 2006,5 | 221,8        |  |  |
| 26         | 2027,7                                   | 2032,1 | 245,5        |  |  |
| 28         |  |        | 320,3        |  |  |
| 30         |  |        | 401,6        |  |  |
| 33         |  |        | 545,8        |  |  |
| 35         |  |        | 629,2        |  |  |
| 37         |  |        | 670,7        |  |  |
| 40         |  |        | 669,9        |  |  |
| 42         |  |        | 696,3        |  |  |
| 44         |  |        | 798,1        |  |  |
| 47         |  |        | 857,7        |  |  |
| 49         |  |        | 870,7        |  |  |
| 51         |  |        | 925,8        |  |  |
| 54         |  |        | 1005,4       |  |  |
| 56         |  |        | 1064,2       |  |  |
| 58         |  |        | 1235,6       |  |  |
| 61         |  |        | 1367,8       |  |  |
| 63         |  |        | 1553,7       |  |  |

| Дни | Средний объем опухоли (мм³) |  |              |
|-----|-----------------------------|--|--------------|
|     | Контроль 47-R               |  | Соединение D |
| 65  |                             |  | 2017,9       |

**Пример 35с**. *In vivo* исследования для определения действия **47–R** в ксенотрансплантатах рака легкого человека.

Целью этого исследования является сравнение противоопухолевой активности 47— ${\bf R}$  с противоопухолевой активностью соединения  ${\bf D}$  с применением трех различных моделей ксенотрансплантата рака легкого человека. Эти модели соответствуют немелкоклеточному раку легкого (колония клеток H-460) и мелкоклеточному раку легкого (колонии клеток H526 и H82).

**В таблице 55** представлена средняя оценка объема опухоли для Н460 опухолей у мышей, леченных плацебо, соединением **D** и **47–R**. Эти результаты также показаны на фигуре **44**.

Таблица 55

| П     | Средний объем опухоли (мм³) |        |              |
|-------|-----------------------------|--------|--------------|
| Дни _ | Контроль                    | 47–R   | Соединение D |
| 0     | 187,4                       | 185,8  | 187,2        |
| 2     | 577,5                       | 508,1  | 329,7        |
| 5     | 1352,0                      | 979,3  | 559,4        |
| 7     | 1642,9                      | 1280,0 | 756,5        |
| 9     | 2025,0                      | 1543,1 | 971,9        |
| 12    |                             | 1764,0 | 1370,9       |
| 14    |                             | 1845,5 | 1626,8       |
| 16    |                             |        | 2025,0       |

**В таблице 56** представлена средняя оценка объема опухоли для H526 опухолей у мышей, леченных плацебо, соединением **D** и **47–R**. Эти результаты также показаны на фигуре **45**.

Таблица 56

| П   | Средний объем опухоли (мм³) |        |              |
|-----|-----------------------------|--------|--------------|
| Дни | Контроль                    | 47–R   | Соединение D |
| 0   | 217,2                       | 211,5  | 216,1        |
| 2   | 410,7                       | 367,9  | 240,9        |
| 4   | 778,5                       | 583,7  | 99,3         |
| 7   | 1083,2                      | 941,7  | 56,7         |
| 9   | 1371,0                      | 1305,2 | 62,5         |
| 11  | 1782,0                      | 1484,7 | 62,5         |

| П     | Средний объем опухоли (мм³) |        |              |  |
|-------|-----------------------------|--------|--------------|--|
| Дни _ | Контроль                    | 47–R   | Соединение D |  |
| 14    | 2025,0                      | 2025,0 | 32,0         |  |
| 16    |                             |        | 4,0          |  |
| 21    |                             |        | 4,0          |  |
| 28    |                             |        | 4,0          |  |
| 35    |                             |        | 4,0          |  |
| 42    |                             |        | 4,0          |  |
| 49    |                             |        | 4,0          |  |
| 56    |                             |        | 4,0          |  |
| 63    |                             |        | 4,0          |  |
| 70    |                             |        | 4,0          |  |
| 77    |                             |        | 4,0          |  |
| 84    |                             |        | 4,0          |  |
| 91    |                             |        | 4,0          |  |
| 98    |                             |        | 4,0          |  |
| 105   |                             |        | 4,0          |  |
| 112   |                             |        | 4,0          |  |
| 119   |                             |        | 4,0          |  |
| 126   |                             |        | 4,0          |  |
| 133   |                             |        | 4,0          |  |
| 140   |                             |        | 4,0          |  |
| 147   |                             |        | 4,0          |  |
| 165   |                             |        | 4,0          |  |
| 175   |                             |        | 4,0          |  |
| 191   |                             |        | 4,0          |  |
| 205   |                             |        | 4,0          |  |

**В таблице 57** представлена средняя оценка объема опухоли для H82 опухолей у мышей, леченных плацебо, соединением **D** и **47–R**. Эти результаты также показаны на фигуре **46**.

Таблица 57.

| Дни |          | Средний объем опухоли (мм³) |              |
|-----|----------|-----------------------------|--------------|
| 7   | Контроль | 47–R                        | Соединение D |
| 0   | 171,6    | 169,0                       | 169,4        |

| 2  | 439,4  | 371,6  | 340,6  |
|----|--------|--------|--------|
| 5  | 1024,7 | 888,8  | 443,3  |
| 7  | 1422,0 | 1314,2 | 496,2  |
| 9  | 1923,8 | 1811,0 | 614,1  |
| 12 | 2025,0 | 2055,4 | 665,5  |
| 14 |        |        | 1041,6 |
| 16 |        |        | 1151,2 |
| 19 |        |        | 1516,7 |
| 21 |        |        | 1748,0 |

**Пример 35d**. *In vivo* исследования для определения действия **47–R** в ксенотрансплантатах опухоли яичников человека.

Целью этого исследования является сравнение противоопухолевой активности **47**– **R** с противоопухолевой активностью соединения **D** с применением модели ксенотрансплантата рака яичников человека.

Моделью опухоли, применяемой в этом исследовании, является А2780.

**В таблице 58** представлена оценка опухоли A2780 опухолей у мышей, леченных плацебо, соединением **D** и 47–**R**. Эти результаты также показаны на фигуре 47.

Таблица 58

| П   | . (      | Средний объем опухо | оли (мм³)    |
|-----|----------|---------------------|--------------|
| Дни | Контроль | 47–R                | Соединение D |
| 0   | 169,5    | 170,6               | 168,8        |
| 2   | 317,5    | 280,6               | 225,7        |
| 5   | 758,9    | 653,9               | 256,6        |
| 7   | 1351,9   | 848,7               | 473,8        |
| 9   | 1675,8   | 1569,1              | 633,6        |
| 12  | 2025,0   | 1764,0              | 822,8        |
| 14  |          | 1666,0              | 1129,3       |
| 16  |          | 2025,0              | 1198,6       |
| 19  |          |                     | 1649,6       |
| 21  |          |                     | 2025,0       |

**Пример 35е**. *In vivo* исследования для определения действия **47–R** в ксенотрансплантатах опухоли желудка человека.

Целью этого исследования является сравнение противоопухолевой активности **47**– **R** с противоопухолевой активностью соединения **D** с применением модели ксенотрансплантата рака желудка человека.

Моделью опухоли, применяемой в этом исследовании, является HGC27.

**В таблице 59** представлен рост объема опухоли HGC27 опухолей у мышей, леченных плацебо, соединением **D** и **47–R**. Эти результаты также показаны на фигуре **48**.

Таблица 59

|              | ingu ey  | Средний объем опухоли (мм³) |              |  |  |
|--------------|----------|-----------------------------|--------------|--|--|
| Дни <u> </u> | Контроль | 47–R                        | Соединение D |  |  |
| 0            | 200,7    | 194,0                       | 194,0        |  |  |
| 2            | 429,0    | 359,4                       | 324,2        |  |  |
| 5            | 835,5    | 774,8                       | 561,6        |  |  |
| 7            | 1256,5   | 1155,4                      | 504,2        |  |  |
| 9            | 1602,2   | 1474,7                      | 584,2        |  |  |
| 12           | 2040,7   | 1870,2                      | 767,7        |  |  |
| 14           |          | 2031,3                      | 1056,8       |  |  |
| 16           |          | 2075,2                      | 1440,2       |  |  |
| 19           |          |                             | 1717,9       |  |  |
| 21           |          |                             | 2043,4       |  |  |

**Пример 36**. *In vivo* исследования для определения действия 32в нескольких моделях ксенотрансплантатов.

Соединения **32** и **ET**–**736** представлены в форме высушенных вымораживанием флаконов лиофилизированного продукта. Каждый флакон восстанавливают стерильной водой для инъекций до концентрации 0,5 мг/мл. Дальнейшие разведения проводят 5% раствором декстрозы для инъекций до концентрации дозирующего состава. Вводимая доза **32** и **ET**–**736** составляет 0,5 мг/кг.

Плацебо предоставляют в форме флаконов лиофилизированного продукта. Каждый флакон (сахароза 200 мг+дигидрофосфат калия 13,6 мг+фосфорная кислота д.к., рН 3,8–4,5) восстанавливают стерильной водой для инъекций (2 мл). Дальнейшие разведения проводят 5% раствором декстрозы для инъекций.

В этих экспериментах, **32** и **ET**–**736**, а также плацебо, внутривенно вводят один раз в неделю в объеме 10 мл/кг.

**Пример 36а.** *In vivo* исследования для определения действия 32в ксенотрансплантатах фибросаркомы человека.

Целью этого исследования является оценка противоопухолевой активности соединения **32** сравнением с противоопухолевой активностью **ET**–**736** с применением модели ксенотрансплантата саркомы человека.

Моделью опухоли, применяемой в этом исследовании, является колония клеток HT-1080.

В **таблице 60** представлена оценка общего диаметра (опухоль+нога) HT1080 опухолей у мышей, леченных плацебо, **ET**–**736** и **32**. Эти результаты также показаны на фигуре **49**.

Таблица 60

| Дни | Оби      | Общий диаметр (опухоль+нога) (мм) |        |  |  |  |
|-----|----------|-----------------------------------|--------|--|--|--|
|     | Контроль | 32                                | ET-736 |  |  |  |
| 0   | 7,5      | 7,5                               | 7,4    |  |  |  |
| 2   | 9,4      | 8,9                               | 8,3    |  |  |  |
| 5   | 11,4     | 8,2                               | 7,1    |  |  |  |
| 7   | 12,1     | 8,8                               | 7,6    |  |  |  |
| 9   | 13,2     | 10,0                              | 7,4    |  |  |  |
| 12  | 14,5     | 8,8                               | 7,0    |  |  |  |
| 14  | 15,2     | 10,8                              | 7,1    |  |  |  |
| 16  | 15,9     | 11,8                              | 7,4    |  |  |  |
| 19  | 18,0     | 12,0                              | 8,4    |  |  |  |
| 21  |          | 14,0                              | 8,6    |  |  |  |
| 23  |          | 13,8                              | 10,0   |  |  |  |
| 27  |          | 13,6                              | 10,9   |  |  |  |
| 30  |          | 15,5                              | 13,2   |  |  |  |
| 33  |          | 18,0                              | 14,3   |  |  |  |
| 35  |          |                                   | 15,2   |  |  |  |
| 37  |          |                                   | 15,8   |  |  |  |
| 40  |          |                                   | 16,6   |  |  |  |
| 42  |          |                                   | 18,0   |  |  |  |

**Пример 36b**. *In vivo* исследования для определения действия **32**в ксенотрансплантатах аденокарциномы молочной железы человека.

Целью этого исследования является сравнение противоопухолевых действий **32** и **ET**–**736** с применением модели ксенотрансплантата рака молочной железы человека.

Моделью опухоли, применяемой в этом исследовании, является колония клеток MDA-MB-231.

**В таблице 61** представлена средняя оценка объема опухоли для MDA–MB–231 опухолей у мышей, леченных плацебо, **ET**–736 и 32. Эти результаты также показаны на фигуре 50.

Таблица 61

| Дни | Средний объем опухоли (мм³) |       |        |
|-----|-----------------------------|-------|--------|
| дпи | Контроль                    | 32    | ET-736 |
| 0   | 149,4                       | 150,2 | 150,0  |
| 2   | 240,0                       | 233,6 | 237,7  |

| П   | Средний объем опухоли (мм³) |        |        |
|-----|-----------------------------|--------|--------|
| Дни | Контроль                    | 32     | ET-736 |
| 5   | 325,1                       | 310,6  | 302,1  |
| 7   | 407,8                       | 386,1  | 364,9  |
| 9   | 514,8                       | 437,5  | 404,6  |
| 12  | 648,1                       | 493,4  | 395,4  |
| 14  | 799,0                       | 560,3  | 398,3  |
| 16  | 1002,5                      | 649,5  | 447,2  |
| 19  | 1233,9                      | 853,0  | 485,0  |
| 21  | 1539,1                      | 1017,5 | 536,3  |
| 23  | 2006,5                      | 1263,2 | 669,8  |
| 26  | 2027,7                      | 1487,7 | 778,9  |
| 28  |                             | 1726,6 | 1046,1 |
| 30  |                             | 1892,6 | 1315,9 |
| 33  |                             | 2082,8 | 1664,9 |
| 35  |                             |        | 2007,7 |

**Пример 36с**. *In vivo* исследования для определения действия **32**в ксенотрансплантатах рака легкого человека.

Целью этого исследования является сравнение противоопухолевых действий **32** и **ET**–**736** с применением трех различных моделей ксенотрансплантата рака легкого человека. Эти модели соответствуют немелкоклеточному раку легкого (колония клеток H–460) и мелкоклеточному раку легкого (колонии клеток H526 и H82).

**В таблице 62** представлена средняя оценка объема опухоли для H460 опухолей у мышей, леченных плацебо, **ET**–**736** и **32**. Эти результаты также показаны на фигуре **51**.

Таблица 62

| П   | Средний объем опухоли (мм³) |        |        |
|-----|-----------------------------|--------|--------|
| Дни | Контроль                    | 32     | ET-736 |
| 0   | 187,4                       | 183,9  | 185,8  |
| 2   | 577,5                       | 455,2  | 457,8  |
| 5   | 1352,0                      | 784,8  | 732,8  |
| 7   | 1642,9                      | 837,4  | 930,1  |
| 9   | 2025,0                      | 1044,3 | 1207,2 |
| 12  | 2025,0                      | 1452,4 | 1568,0 |
| 14  |                             | 1845,5 | 1845,5 |
| 16  |                             | 2025,0 | 2025,0 |

**В таблице 63** представлена средняя оценка объема опухоли для H526 опухолей у мышей, леченных плацебо, **ET**–**736** и **32**. Эти результаты также показаны на фигуре **52**.

Таблица 63

| T.,,,, | Средний объем опухоли (мм <sup>3</sup> ) |        |        |
|--------|--|--------|--------|
| Дни    | Контроль                                 | 32     | ET-736 |
| 0      | 217,2                                    | 212,1  | 213,5  |
| 2      | 410,7                                    | 277,3  | 240,5  |
| 4      | 778,5                                    | 127,0  | 97,2   |
| 7      | 1083,2                                   | 95,0   | 48,8   |
| 9      | 1371,0                                   | 63,1   | 62,5   |
| 11     | 1782,0                                   | 62,5   | 62,5   |
| 14     | 2025,0                                   | 62,5   | 47,3   |
| 16     |  | 62,5   | 32,0   |
| 21     |  | 4,0    | 4,0    |
| 28     |  | 4,0    | 4,0    |
| 35     |  | 55,3   | 4,0    |
| 42     |  | 85,3   | 4,0    |
| 49     |  | 185,6  | 4,0    |
| 56     |  | 169,1  | 4,0    |
| 63     |  | 62,5   | 4,0    |
| 70     |  | 88,9   | 4,0    |
| 77     |  | 280,6  | 4,0    |
| 84     |  | 694,2  | 199,8  |
| 91     |  | 1150,9 | 786,5  |

**В таблице 64** представлена средняя оценка объема опухоли для H82 опухолей у мышей, леченных плацебо, **ET**–736 и 32. Эти результаты также показаны на фигуре 53.

Таблица 64

| Дни | Средний объем опухоли (мм³) |        |        |
|-----|-----------------------------|--------|--------|
|     | Контроль                    | 32     | ET-736 |
| 0   | 171,6                       | 171,6  | 170,0  |
| 2   | 439,4                       | 309,4  | 334,4  |
| 5   | 1024,7                      | 485,0  | 539,4  |
| 7   | 1422,0                      | 708,4  | 836,4  |
| 9   | 1923,8                      | 972,6  | 1013,1 |
| 12  | 2025,0                      | 1101,6 | 1290,9 |

| Дни | Средний объем опухоли (мм³) |        |        |
|-----|-----------------------------|--------|--------|
|     | Контроль                    | 32     | ET-736 |
| 14  |                             | 1339,6 | 1648,0 |
| 16  |                             | 1430,3 |        |
| 19  |                             | 1885,7 |        |

**Пример 36d**. *In vivo* исследования для определения действия **32**в ксенотрансплантатах опухоли яичников человека.

Целью этого исследования является сравнение противоопухолевых действий **32** и **ET**–**736** с применением модели ксенотрансплантата рака яичников человека.

Моделью опухоли, применяемой в этом исследовании, является А2780.

**В таблице 65** представлена оценка опухоли A2780 опухолей у мышей, леченных плацебо, **ET**–736 и 32. Эти результаты также показаны на фигуре 54.

Таблица 65

| П   | Средн    | ий объем опухоли (мм³ | <del></del> |
|-----|----------|-----------------------|-------------|
| Дни | Контроль | 32                    | ET-736      |
| 0   | 169,5    | 168,6                 | 168,8       |
| 2   | 317,5    | 262,9                 | 251,2       |
| 5   | 758,9    | 572,7                 | 382,6       |
| 7   | 1351,9   | 997,5                 | 676,1       |
| 9   | 1675,8   | 1359,9                | 959,4       |
| 12  | 2025,0   | 1715,0                | 1241,5      |
| 14  |          | 2025,0                | 1582,7      |
| 16  |          | 2025,0                | 1646,4      |
| 19  |          |                       | 1845,5      |
| 21  |          |                       | 2025,0      |

**Пример 36е**. *In vivo* исследования для определения действия **32**в ксенотрансплантатах опухоли желудка человека.

Целью этого исследования является сравнение противоопухолевых действий **32** и **ET**–**736** с применением модели ксенотрансплантата рака желудка человека.

Моделью опухоли, применяемой в этом исследовании, является HGC27.

**В таблице 66** представлен рост объема опухоли HGC27 опухолей у мышей, леченных плацебо, **ET**–**736** и **32**. Эти результаты также показаны на фигуре **55**.

Таблица 66

| Дни | Средний объем опухоли (мм³) |       |        |
|-----|-----------------------------|-------|--------|
|     | Контроль                    | 32    | ET-736 |
| 0   | 200,7                       | 194,8 | 195,9  |

| Дни | Сред     | Средний объем опухоли (мм³) |        |  |  |
|-----|----------|-----------------------------|--------|--|--|
| Дни | Контроль | 32                          | ET-736 |  |  |
| 2   | 429,0    | 386,3                       | 359,2  |  |  |
| 5   | 835,5    | 551,3                       | 537,6  |  |  |
| 7   | 1256,5   | 579,2                       | 553,5  |  |  |
| 9   | 1602,2   | 665,8                       | 604,7  |  |  |
| 12  | 2040,7   | 701,1                       | 627,4  |  |  |
| 14  |          | 814,5                       | 648,0  |  |  |
| 16  |          | 959,9                       | 687,6  |  |  |
| 19  |          | 1312,4                      | 760,0  |  |  |
| 21  |          | 1626,8                      | 792,4  |  |  |
| 23  |          | 1737,3                      | 818,9  |  |  |
| 26  |          |                             | 1026,1 |  |  |
| 28  |          |                             | 1354,9 |  |  |

**Пример 37**. *In vivo* исследования для определения действия **35**в нескольких моделях ксенотрансплантатов.

Соединение 35 представлено в форме высушенных вымораживанием флаконов лиофилизированного продукта. Каждый флакон восстанавливают стерильной водой для инъекций до концентрации 0,5 мг/мл. Дальнейшие разведения проводят 5% раствором декстрозы для инъекций до концентрации дозирующего состава. Вводимая доза 35 составляет 0,25 мг/кг.

РМ01183 представлено в форме флаконов с лиофилизированным продуктом. Каждый флакон восстанавливают стерильной водой для инъекций до концентрации 0,5 мг/мл. Дальнейшие разведения проводят 5% глюкозой или 0,9% раствором хлорида натрия для инъекций до концентрации дозирующего состава. Вводимая доза РМ01183 составляет 0,18 мг/кг.

Плацебо предоставляют в форме флаконов лиофилизированного продукта. Каждый флакон (сахароза 200 мг+дигидрофосфат калия 13,6 мг+фосфорная кислота д.к., рН 3,8–4,5) восстанавливают стерильной водой для инъекций (2 мл). Дальнейшие разведения проводят 5% раствором декстрозы для инъекций.

В этих экспериментах, **35** и **PM01183**, а также плацебо, внутривенно вводят один раз в неделю в объеме 10 мл/кг.

**Пример 37а**. *In vivo* исследования для определения действия **35**в ксенотрансплантатах фибросаркомы человека.

Целью этого исследования является оценка противоопухолевых действий соединения **35** и **PM01183** с применением модели ксенотрансплантата саркомы человека.

Моделью опухоли, применяемой в этом исследовании, является колония клеток

HT-1080.

**В таблице** 67 представлена оценка общего диаметра (опухоль+нога) HT1080 опухолей у мышей, леченных плацебо, **PM01183** и **35**. Эти результаты также показаны на фигуре **56**.

Таблица 67

| П   | Общий диаметр (опухоль+нога) (мм) |         |      |  |
|-----|-----------------------------------|---------|------|--|
| Дни | Контроль                          | PM01183 | 35   |  |
| 0   | 8,4                               | 8,4     | 8,3  |  |
| 2   | 10,9                              | 9,8     | 9,4  |  |
| 5   | 14,8                              | 9,7     | 8,7  |  |
| 7   | 15,9                              | 11,4    | 8,0  |  |
| 9   | 18,0                              | 12,7    | 9,9  |  |
| 12  |                                   | 13,7    | 11,4 |  |
| 14  |                                   | 14,6    | 12,5 |  |
| 16  |                                   | 15,5    | 13,2 |  |
| 19  |                                   | 15,6    | 14,6 |  |
| 21  |                                   | 18,0    | 15,7 |  |
| 23  |                                   |         | 18,0 |  |

**Пример 37b**. *In vivo* исследования для определения действия **35**в ксенотрансплантатах аденокарциномы молочной железы человека.

Целью этого исследования является сравнение противоопухолевых действий **35** и **PM01183** с применением модели ксенотрансплантата рака молочной железы человека.

Моделью опухоли, применяемой в этом исследовании, является колония клеток MDA-MB-231.

**В таблице 68** представлена средняя оценка объема опухоли для MDA–MB–231 опухолей у мышей, леченных плацебо, **PM01183** и **35**. Эти результаты также показаны на фигуре **57**.

Таблица 68

| П   | Средний объем опухоли (мм³) |       |         |
|-----|-----------------------------|-------|---------|
| Дни | Контроль                    | 35    | PM01183 |
| 0   | 132,6                       | 132,7 | 134,3   |
| 4   | 194,1                       | 193,6 | 177,2   |
| 7   | 248,2                       | 179,1 | 186,3   |
| 11  | 377,6                       | 276,7 | 250,7   |
| 14  | 461,3                       | 286,0 | 266,1   |
| 18  | 679,2                       | 384,5 | 327,7   |

| П   | Средний объем опухоли (мм³) |        |         |
|-----|-----------------------------|--------|---------|
| Дни | Контроль                    | 35     | PM01183 |
| 21  | 753,2                       | 436,8  | 391,0   |
| 25  | 909,2                       | 554,3  | 493,1   |
| 28  | 1090,7                      | 647,0  | 627,3   |
| 32  | 1433,4                      | 817,5  | 789,0   |
| 36  | 1887,5                      | 1156,7 | 1022,0  |
| 39  | 1785,2                      | 1387,6 | 1294,2  |
| 42  | 2081,5                      | 1595,3 | 1643,3  |
| 46  | 2137,5                      | 1689,9 | 1658,9  |
| 49  |                             | 2044,2 | 1938,0  |

**Пример 37с**. *In vivo* исследования для определения действия **35**в ксенотрансплантатах рака легкого человека.

Целью этого исследования является сравнение противоопухолевых действий **35** и **PM01183** с применением модели ксенотрансплантата рака легкого человека.

Моделью опухоли, применяемой в этом исследовании, является колония клеток Н460

**В таблице 69** представлена средняя оценка объема опухоли для H460 опухолей у мышей, леченных плацебо, **PM01183** и **35**. Эти результаты также показаны на фигуре **58**.

Таблица 69

| П   | Средний объем опухоли (мм³) |         |        |
|-----|-----------------------------|---------|--------|
| Дни | Контроль                    | PM01183 | 35     |
| 0   | 197,0                       | 196,3   | 197,2  |
| 2   | 529,5                       | 457,0   | 415,3  |
| 4   | 1057,4                      | 861,5   | 750,8  |
| 7   | 1582,5                      | 1280,2  | 1242,3 |
| 9   | 2094,8                      | 1424,9  | 1536,3 |
| 11  |                             | 1969,9  | 1728,7 |
| 14  |                             |         | 2080,9 |

**Пример 37d**. *In vivo* исследования для определения действия **35**в ксенотрансплантатах опухоли яичников человека.

Целью этого исследования является сравнение противоопухолевых действий **35** и **PM01183** с применением модели ксенотрансплантата рака яичников человека.

Моделью опухоли, применяемой в этом исследовании, является А2780.

**В таблице 70** представлена оценка опухоли A2780 опухолей у мышей, леченных плацебо, **PM01183** и **35**. Эти результаты также показаны на фигуре **59**.

Таблица 70

| П   | Средний объем опухоли (мм <sup>3</sup> ) |         |        |
|-----|--|---------|--------|
| Дни | Контроль                                 | PM01183 | 35     |
| 0   | 163,4                                    | 163,6   | 163,6  |
| 2   | 287,1                                    | 236,5   | 189,9  |
| 4   | 568,7                                    | 463,2   | 284,3  |
| 7   | 1211,3                                   | 986,3   | 606,4  |
| 9   | 1633,7                                   | 1451,4  | 946,9  |
| 11  | 2047,8                                   | 2062,0  | 1394,2 |
| 14  |  |         | 2067,7 |

**Пример 37е**. *In vivo* исследования для определения действия **35**в ксенотрансплантатах опухоли желудка человека.

Целью этого исследования является сравнение противоопухолевых действий **35** и **PM01183** с применением модели ксенотрансплантата рака желудка человека.

Моделью опухоли, применяемой в этом исследовании, является HGC27.

**В таблице 71** представлен рост объема HGC27 опухолей у мышей, леченных плацебо, **PM01183** и **35**. Эти результаты также показаны на фигуре **60**.

Таблина 71

| 1400 | пца / 1  |                             |         |  |
|------|----------|-----------------------------|---------|--|
| Дни  | Сре      | Средний объем опухоли (мм³) |         |  |
|      | Контроль | 35                          | PM01183 |  |
| 0    | 178,3    | 182,3                       | 177,6   |  |
| 2    | 409,0    | 382,2                       | 395,6   |  |
| 5    | 907,4    | 610,8                       | 572,4   |  |
| 7    | 1283,6   | 775,5                       | 766,6   |  |
| 9    | 1664,0   | 988,0                       | 950,7   |  |
| 12   | 1692,4   | 1005,6                      | 972,0   |  |
| 14   | 2102,8   | 1531,7                      | 1199,4  |  |
| 16   |          | 1866,3                      | 1353,1  |  |

**Пример 38.***In vivo* исследования для определения действия **12–S** и **12–R** в ксенотрансплантатах простаты человека.

**12–S** и **12–R** представлены в форме высушенных вымораживанием флаконов лиофилизированного продукта. Каждый флакон восстанавливают водой для вливания до концентрации 0,5 мг/мл. Дальнейшие разведения проводят 5% раствором декстрозы для инъекций до концентрации дозирующего состава. Введенные дозы **12–S** и **12–R** составляют 0,25 мг/кг и 0,05 мг/кг, соответственно.

Плацебо предоставляют в форме лиофилизированной лепешки, содержащей 100 мг сахарозы+дигидрофосфат калия 6,8 мг+фосфорная кислота д.к., pH 3,8–4,5, которую

восстанавливают водой для вливаний.

В этих экспериментах, 12–S и 12–R, а также плацебо, внутривенно вводят один раз в неделю в течение 3 последовательных недель, в дни 0, 7 и 14, когда бы это ни было возможно.

Целью этого исследования является сравнение противоопухолевой активности 12— **S** и 12–**R** с применением модели ксенотрансплантата рака простаты человека.

Моделью опухоли, применяемой в этом исследовании, является колония клеток PC-3.

**В таблице 72** представлена средняя оценка объема опухоли для PC-3 опухолей у мышей, леченных плацебо, **12–S** и **12–R**. Эти результаты также показаны на фигуре 61.

Таблица 72

| Таолица 72<br>Средний объем опухоли (мм <sup>3</sup> ) |          |        |        |  |
|--|----------|--------|--------|--|
| Дни  | Контроль | 12–R   | 12-S   |  |
| 0  | 128,0    | 129,0  | 128,0  |  |
| 2  | 149,6    | 136,2  | 141,5  |  |
| 4  | 197,0    | 144,2  | 143,7  |  |
| 7  | 250,9    | 172,2  | 183,9  |  |
| 11   | 291,6    | 183,6  | 208,1  |  |
| 14   | 326,5    | 205,2  | 270,7  |  |
| 16   | 361,9    | 256,0  | 286,3  |  |
| 18   | 397,0    | 325,7  | 336,1  |  |
| 21   | 476,9    | 322,2  | 357,1  |  |
| 23   | 506,1    | 407,8  | 400,8  |  |
| 25   | 526,7    | 419,9  | 443,6  |  |
| 29   | 593,6    | 459,1  | 523,4  |  |
| 32   | 769,5    | 512,1  | 652,6  |  |
| 35   | 875,3    | 579,2  | 689,7  |  |
| 37   | 900,0    | 613,8  | 692,2  |  |
| 39   | 977,8    | 764,1  | 726,9  |  |
| 42   | 1061,5   | 785,0  | 823,7  |  |
| 44   | 1463,4   | 845,5  | 864,2  |  |
| 46   | 1612,8   | 748,0  | 1182,8 |  |
| 49   | 1809,2   | 808,7  | 1219,2 |  |
| 51   | 2030,9   | 855,8  | 1331,9 |  |
| 56   |          | 1125,2 | 1335,2 |  |

**Пример 39.** *In vivo* исследования для определения действия **4–S** в

ксенотрансплантатах простаты человека.

Целью этого исследования является сравнение противоопухолевой активности **4–S** с применением трех разных моделей ксенотрансплантатов рака простаты человека. Эти модели соответствуют колониям клеток PC–3, DU–145 и 22Rv1.

Соединение **4–S** представлено в форме высушенных вымораживанием флаконов лиофилизированного продукта. Каждый флакон восстанавливают стерильной водой для инъекций до концентрации 0,5 мг/мл. Дальнейшие разведения проводят 5% раствором декстрозы для инъекций до концентрации дозирующего состава. Вводимая доза **4–S** варьируется в зависимости от исследования, и составляет 1,25 мг/кг для модели опухоли PC–3, 1,00 мг/кг для модели опухоли DU–145 и 0,75 мг/кг для модели опухоли 22Rv1, соответственно.

Плацебо предоставляют в форме лиофилизированной лепешки, содержащей 100 мг сахарозы+дигидрофосфат калия 6,8 мг+фосфорная кислота д.к., рН 3,8–4,5, которую восстанавливают водой для вливаний.

В этих экспериментах, 4—S, а также плацебо, внутривенно вводят один раз в неделю в течение 3 последовательных недель, в дни 0, 7 и 14, когда бы это ни было возможно.

В **таблице** 73 представлена средняя оценка объема опухоли для PC-3 опухолей у мышей, леченных плацебо и 4-S. Эти результаты также показаны на фигуре 62.

Таблица 73

| Таблица 73  Средний объем опухоли (мм <sup>3</sup> ) |        |       |
|--|--------|-------|
|  |        |       |
| 0  | 140,5  | 141,3 |
| 2  | 178,6  | 130,7 |
| 4  | 233,1  | 147,6 |
| 7  | 284,6  | 157,7 |
| 9  | 331,7  | 200,9 |
| 11   | 433,7  | 192,8 |
| 14   | 500,4  | 210,8 |
| 16   | 570,8  | 255,5 |
| 18   | 680,3  | 261,1 |
| 21   | 850,1  | 282,4 |
| 23   | 928,5  | 382,2 |
| 25   | 915,7  | 451,6 |
| 28   | 1187,5 | 611,1 |
| 30   | 1270,1 | 762,3 |
| 32   | 1327,1 | 821,6 |

| 35 1373,6 1045,6 |
|------------------|
|------------------|

**В таблице 74** представлена средняя оценка объема опухоли для DU–145 опухолей у мышей, леченных плацебо и **4–S.** Эти результаты также показаны на фигуре **63**.

Таблица 74

| 1аолица /4                  |          |       |
|-----------------------------|----------|-------|
| Средний объем опухоли (мм³) |          |       |
| Дни                         | Контроль | 4–S   |
| 0                           | 127,4    | 126,2 |
| 3                           | 180,9    | 102,4 |
| 5                           | 248,8    | 119,5 |
| 7                           | 320,4    | 149,5 |
| 10                          | 384,6    | 216,8 |
| 12                          | 441,0    | 181,4 |
| 14                          | 519,6    | 237,7 |
| 17                          | 601,0    | 204,4 |
| 19                          | 660,8    | 210,9 |
| 24                          | 740,7    | 300,0 |
| 26                          | 798,6    | 378,4 |
| 28                          |          | 587,0 |
| 31                          |          | 650,3 |

В **таблице** 75 представлена средняя оценка объема опухоли для 22Rv1 опухолей у мышей, леченных плацебо и **4–S**. Эти результаты также показаны на фигуре **64**.

Таблица 75

| Средний объем опухоли (мм³) |          |       |
|-----------------------------|----------|-------|
| Дни                         | Контроль | 4–S   |
| 0                           | 174,6    | 173,6 |
| 3                           | 307,2    | 70,3  |
| 5                           | 511,5    | 63,1  |
| 7                           | 739,1    | 76,7  |
| 10                          | 955,2    | 49,1  |
| 12                          | 1286,1   | 59,8  |
| 14                          | 1385,8   | 74,9  |
| 17                          | 1791,1   | 55,1  |
| 19                          | 2025,0   | 64,9  |
| 24                          |          | 138,4 |
| 26                          |          | 186,9 |

| 28 | 242,0  |
|----|--------|
| 31 | 392,5  |
| 33 | 561,8  |
| 35 | 799,3  |
| 38 | 1107,0 |
| 40 | 1426,4 |
| 42 | 1685,5 |
| 45 | 2025,0 |

**Пример 40.***In vivo* исследования для определения действия **39–S** в ксенотрансплантатах простаты человека.

Целью этого исследования является сравнение противоопухолевой активности **39**— **S** с применением трех разных моделей ксенотрансплантатов рака простаты человека. Эти модели соответствуют колониям клеток PC–3, DU–145 и 22Rv1.

Соединение **39–S** представлено в форме высушенных вымораживанием флаконов лиофилизированного продукта. Каждый флакон восстанавливают стерильной водой для инъекций до концентрации 0,5 мг/мл. Дальнейшие разведения проводят 5% раствором декстрозы для инъекций до концентрации дозирующего состава. Вводимая доза **39–S** варьируется в зависимости от исследования, и составляет 1,25 мг/кг для модели опухоли PC–3, 1,00 мг/кг для модели опухоли DU–145 и 0,75 мг/кг для модели опухоли 22Rv1, соответственно.

Плацебо предоставляют в форме лиофилизированной лепешки, содержащей 100 мг сахарозы+дигидрофосфат калия 6,8 мг+фосфорная кислота д.к., рН 3,8–4,5, которую восстанавливают водой для вливаний.

В этих экспериментах, 39–S, а также плацебо, внутривенно вводят один раз в неделю в течение 3 последовательных недель, в дни 0, 7 и 14, когда бы это ни было возможно.

**В таблице** 76 представлена средняя оценка объема опухоли для PC-3 опухолей у мышей, леченных плацебо и **39–S.** Эти результаты также показаны на фигуре **65**.

Таблица 76

| Средний объем опухоли (мм³) |          |       |
|-----------------------------|----------|-------|
| Дни                         | Контроль | 39-S  |
| 0                           | 181,9    | 182,3 |
| 2                           | 254,8    | 222,6 |
| 4                           | 308,7    | 244,0 |
| 7                           | 344,5    | 269,3 |
| 9                           | 396,8    | 295,8 |
| 11                          | 439,2    | 315,0 |

| 14 | 542,7  | 356,9  |
|----|--------|--------|
| 16 | 619,0  | 388,0  |
| 18 | 721,3  | 400,1  |
| 21 | 908,1  | 503,3  |
| 23 | 1039,1 | 556,0  |
| 25 | 1117,0 | 579,6  |
| 28 | 1232,3 | 694,9  |
| 30 | 1778,6 | 811,1  |
| 32 | 2018,1 | 1027,1 |
| 35 |        | 1194,3 |
| 37 |        | 1495,0 |
| 39 |        | 1710,7 |
| 42 |        | 2066,2 |

**В таблице** 77 представлена средняя оценка объема опухоли для DU–145 опухолей у мышей, леченных плацебо и **39–S.** Эти результаты также показаны на фигуре **66**.

Таблица 77

| Средний объем опухоли (мм³) |          |       |
|-----------------------------|----------|-------|
| Дни                         | Контроль | 39–S  |
| 0                           | 156,8    | 179,9 |
| 2                           | 198,3    | 199,9 |
| 4                           | 253,9    | 222,2 |
| 7                           | 325,8    | 340,5 |
| 9                           | 385,1    | 354,1 |
| 11                          | 462,2    | 349,7 |
| 14                          | 483,8    | 429,1 |
| 16                          | 599,0    | 454,8 |
| 18                          | 664,0    | 449,7 |
| 21                          | 816,9    | 517,5 |
| 23                          | 861,3    | 568,5 |
| 25                          | 977,9    | 629,4 |
| 28                          | 973,6    | 775,7 |
|                             |          |       |

В **таблице 78** представлена средняя оценка объема опухоли для 22Rv1 опухолей у мышей, леченных плацебо и **39–S**. Эти результаты также показаны на фигуре **67**.

Таблина 78

| тиолици то |                             |
|------------|-----------------------------|
|            | Средний объем опухоли (мм³) |

| Дни | Контроль | 39–S   |
|-----|----------|--------|
| 0   | 174,6    | 173,5  |
| 3   | 307,2    | 93,0   |
| 5   | 511,5    | 96,8   |
| 7   | 739,1    | 115,2  |
| 10  | 955,2    | 108,2  |
| 12  | 1286,1   | 128,4  |
| 14  | 1385,8   | 155,6  |
| 17  | 1791,1   | 173,4  |
| 19  | 2025,0   | 210,2  |
| 24  |          | 358,8  |
| 26  |          | 456,5  |
| 28  |          | 645,2  |
| 31  |          | 1049,5 |
| 33  |          | 1439,4 |
| 35  |          | 2025,0 |

### Части формулы изобретения

1. Соединение формулы I или его фармацевтически приемлемая соль или сложный эфир:

I

где:

Х является – NH – или – О – ;

 $R_1$  является -OH или -CN;

 $R_2$  является  $-C(=O)R^a$  группой;

 $R_3$  является водородом или  $-OR^b$  группой;

 $R_4$  выбирают из водорода,  $-CH_2OH$ ,  $-CH_2O-(C=O)R^c$ ,  $-CH_2NH_2$  и  $-CH_2NHProt^{NH}$ ;

 $R^a$  выбирают из водорода, замещенного или незамещенного  $C_1$ – $C_{12}$  алкила, замещенного или незамещенного  $C_2$ – $C_{12}$  алкинила и замещенного или незамещенного  $C_2$ – $C_{12}$  алкинила;

 $R^b$  выбирают из замещенного или незамещенного  $C_1$ – $C_{12}$  алкила, замещенного или незамещенного  $C_2$ – $C_{12}$  алкинила и замещенного или незамещенного  $C_2$ – $C_{12}$  алкинила;

 $R^c$  выбирают из замещенного или незамещенного  $C_1$ – $C_{12}$  алкила, замещенного или незамещенного  $C_2$ – $C_{12}$  алкинила и замещенного или незамещенного  $C_2$ – $C_{12}$  алкинила; и  $Prot^{NH}$  является защитной группой для амино;

при условии, что если R<sub>4</sub> является водородом, то X является –O-.

2. Соединение по пункту 1 формулы **IA** или его фармацевтически приемлемая соль или сложный эфир:

#### IA

где:

Х является – NH – или – О – ;

 $R_1$  является -OH или -CN;

 $R_2$  является  $-C(=O)R^a$  группой;

R<sub>3</sub> является водородом;

 $R_4$  выбирают из водорода,  $-CH_2OH$ ,  $-CH_2O-(C=O)R^c$ ,  $-CH_2NH_2$  и  $-CH_2NHProt^{NH}$ ;

 $R^a$  выбирают из водорода, замещенного или незамещенного  $C_1$ – $C_{12}$  алкила, замещенного или незамещенного  $C_2$ – $C_{12}$  алкинила и замещенного или незамещенного  $C_2$ – $C_{12}$  алкинила;

 $R^c$  выбирают из замещенного или незамещенного  $C_1$ – $C_{12}$  алкила, замещенного или незамещенного  $C_2$ – $C_{12}$  алкинила и замещенного или незамещенного  $C_2$ – $C_{12}$  алкинила; и

 $\operatorname{Prot}^{\operatorname{NH}}$  является защитной группой для амино;

при условии, что если R4 является водородом, то X является -О-.

3. Соединение по пункту 1 формулы **IB** или его фармацевтически приемлемая соль или сложный эфир:

### ΙB

где:

Х является – NH – или – О – ;

 $R_1$  является -OH или -CN;

 $R_2$  является  $-C(=O)R^a$  группой;

 $R_3$  является  $-OR^b$  группой;

 $R_4$  выбирают из водорода,  $-CH_2OH$ ,  $-CH_2O-(C=O)R^c$ ,  $-CH_2NH_2$  и  $-CH_2NHProt^{NH}$ ;

 $R^a$  выбирают из водорода, замещенного или незамещенного  $C_1$ – $C_{12}$  алкила, замещенного или незамещенного  $C_2$ – $C_{12}$  алкинила и замещенного или незамещенного  $C_2$ – $C_{12}$  алкинила;

 $R^b$  выбирают из замещенного или незамещенного  $C_1$ – $C_{12}$  алкила, замещенного или незамещенного  $C_2$ – $C_{12}$  алкинила и замещенного или незамещенного  $C_2$ – $C_{12}$  алкинила;

 $R^c$  выбирают из замещенного или незамещенного  $C_1$ – $C_{12}$  алкила, замещенного или незамещенного  $C_2$ – $C_{12}$  алкинила и замещенного или незамещенного  $C_2$ – $C_{12}$  алкинила; и  $Prot^{NH}$  является защитной группой для амино;

при условии, что если R<sub>4</sub> является водородом, то X является –О–.

4. Соединение по пункту 1, выбранное из формулы **Ia** или **Ib** или его фармацевтически приемлемая соль или сложный эфир:

$$R_3$$
 $R_4$ 
 $R_4$ 
 $R_4$ 
 $R_4$ 
 $R_4$ 
 $R_5$ 
 $R_6$ 
 $R_7$ 
 $R_8$ 
 $R_8$ 
 $R_9$ 
 $R_9$ 

где:

Х является – NH – или – О – ;

 $R_1$  является -OH или -CN;

 $R_2$  является  $-C(=O)R^a$  группой;

 $R_3$  является водородом или  $-OR^b$  группой;

 $R_4$  выбирают из  $-CH_2OH$ ,  $-CH_2OC(=O)R^c$ ,  $-CH_2NH_2$  и  $-CH_2NHProt^{NH}$ ;

 $R^a$  выбирают из водорода, замещенного или незамещенного  $C_1$ – $C_{12}$  алкила, замещенного или незамещенного  $C_2$ – $C_{12}$  алкинила и замещенного или незамещенного  $C_2$ – $C_{12}$  алкинила;

 $R^b$  выбирают из замещенного или незамещенного  $C_1$ – $C_{12}$  алкила, замещенного или незамещенного  $C_2$ – $C_{12}$  алкинила и замещенного или незамещенного  $C_2$ – $C_{12}$  алкинила;

 $R^c$  выбирают из замещенного или незамещенного  $C_1$ – $C_{12}$  алкила, замещенного или незамещенного  $C_2$ – $C_{12}$  алкинила; и  $Prot^{NH}$  является защитной группой для амино.

5. Соединение по пункту 2, выбранное из формулы **IAa** или **IAb** или его фармацевтически приемлемая соль или сложный эфир:

$$R_3$$
 $R_4$ 
 $R_4$ 
 $R_4$ 
 $R_5$ 
 $R_6$ 
 $R_7$ 
 $R_8$ 
 $R_9$ 
 $R_9$ 

где:

Х является – NH – или – О – ;

 $R_1$  является -OH или -CN;

 $R_2$  является  $-C(=O)R^a$  группой;

R<sub>3</sub> является водородом;

 $R_4$  выбирают из -CH<sub>2</sub>OH, -CH<sub>2</sub>OC(=O) $R^c$ , -CH<sub>2</sub>NH<sub>2</sub> и -CH<sub>2</sub>NHProt<sup>NH</sup>;

 $R^a$  выбирают из водорода, замещенного или незамещенного  $C_1$ – $C_{12}$  алкила, замещенного или незамещенного  $C_2$ – $C_{12}$  алкинила и замещенного или незамещенного  $C_2$ – $C_{12}$  алкинила;

 $R^c$  выбирают из замещенного или незамещенного  $C_1$ – $C_{12}$  алкила, замещенного или незамещенного  $C_2$ – $C_{12}$  алкинила и замещенного или незамещенного  $C_2$ – $C_{12}$  алкинила; и

Prot<sup>NH</sup> является защитной группой для амино.

6. Соединение по пункту 3 выбранное из формулы **IBa** или **IBb** или его фармацевтически приемлемая соль или сложный эфир:

$$R_3$$
 $R_4$ 
 $R_5$ 
 $R_6$ 
 $R_7$ 
 $R_8$ 
 $R_9$ 
 $R_9$ 

где:

X является –NH– или –O-;

 $R_1$  является –OH или –CN;

 $R_2$  является  $-C(=O)R^a$  группой;

 $R_3$  является  $-OR^b$  группой;

 $R_4$  выбирают из -CH<sub>2</sub>OH, -CH<sub>2</sub>OC(=O) $R^c$ , -CH<sub>2</sub>NH<sub>2</sub> и -CH<sub>2</sub>NHProt<sup>NH</sup>;

 $R^a$  выбирают из водорода, замещенного или незамещенного  $C_1$ – $C_{12}$  алкила, замещенного или незамещенного  $C_2$ – $C_{12}$  алкенила и замещенного или незамещенного  $C_2$ –

С12 алкинила;

 $R^b$  выбирают из замещенного или незамещенного  $C_1$ – $C_{12}$  алкила, замещенного или незамещенного  $C_2$ – $C_{12}$  алкинила и замещенного или незамещенного  $C_2$ – $C_{12}$  алкинила;

 $R^c$  выбирают из замещенного или незамещенного  $C_1$ – $C_{12}$  алкила, замещенного или незамещенного  $C_2$ – $C_{12}$  алкинила; и  $Prot^{NH}$  является защитной группой для амино.

- 7. Соединение по любому из представленных выше пунктов, где X является –NH-.
- 8. Соединение по любому из представленных выше пунктов, где Х является -О-.
- 9. Соединение по любому из представленных выше пунктов, где  $R_4$  выбирают из  $CH_2OH$ ,  $-CH_2O(C=O)R^c$ ,  $-CH_2NH_2$  и  $-CH_2NHProt^{NH}$ , где  $R^c$  является замещенным или незамещенным  $C_1$ – $C_6$  алкилом.
  - 10. Соединение по пункту 9, где  $R^c$  является метилом.
  - 11. Соединение по пункту 9, где R<sub>4</sub> является CH<sub>2</sub>OH.
  - 12. Соединение по пункту 9, где R<sub>4</sub> является –СH<sub>2</sub>NH<sub>2</sub>.
- 13. Соединение по пункту 1 формулы **Ic** или его фармацевтически приемлемая соль или сложный эфир

где:

 $R_1$  является –OH или –CN;

 $R_2$  является  $-C(=O)R^a$  группой;

 $R_3$  является водородом или  $-OR^b$  группой;

 $R^a$  выбирают из водорода, замещенного или незамещенного  $C_1$ – $C_{12}$  алкила, замещенного или незамещенного  $C_2$ – $C_{12}$  алкинила и замещенного или незамещенного  $C_2$ – $C_{12}$  алкинила; и

 $R^b$  выбирают из замещенного или незамещенного  $C_1$ – $C_{12}$  алкила, замещенного или незамещенного  $C_2$ – $C_{12}$  алкинила и замещенного или незамещенного  $C_2$ – $C_{12}$  алкинила.

14. Соединение по пункту 2 формулы **IAc** или его фармацевтически приемлемая соль или сложный эфир

где:

 $R_1$  является -OH или -CN;

 $R_2$  является  $-C(=O)R^a$  группой;

R<sub>3</sub> является водородом;

 $R^a$  выбирают из водорода, замещенного или незамещенного  $C_1$ – $C_{12}$  алкила, замещенного или незамещенного  $C_2$ – $C_{12}$  алкенила и замещенного или незамещенного  $C_2$ – $C_{12}$  алкинила.

15. Соединение по пункту 3 формулы **IBc** или его фармацевтически приемлемая соль или сложный эфир

где:

 $R_1$  является -OH или -CN;

 $R_2$  является  $-C(=O)R^a$  группой;

 $R_3$  является  $-OR^b$  группой;

 $R^a$  выбирают из водорода, замещенного или незамещенного  $C_1$ – $C_{12}$  алкила, замещенного или незамещенного  $C_2$ – $C_{12}$  алкинила и замещенного или незамещенного  $C_2$ – $C_{12}$  алкинила; и

 $R^b$  выбирают из замещенного или незамещенного  $C_1$ – $C_{12}$  алкила, замещенного или незамещенного  $C_2$ – $C_{12}$  алкинила и замещенного или незамещенного  $C_2$ – $C_{12}$  алкинила.

- 16. Соединение по любому из представленных выше пунктов, где  $R_1$  является –OH.
- 17. Соединение по любому из представленных выше пунктов, где  $R_2$  является  $C(=O)R^a$  группой, где  $R^a$  является замещенным или незамещенным  $C_1$ – $C_6$  алкилом.
  - 18. Соединение по пункту 17, где  $R_2$  является ацетилом.
- 19. Соединение по пункту 1, где  $R_3$  является водородом или  $-OR^b$ , где  $R^b$  является замещенным или незамещенным  $C_1-C_6$  алкилом.

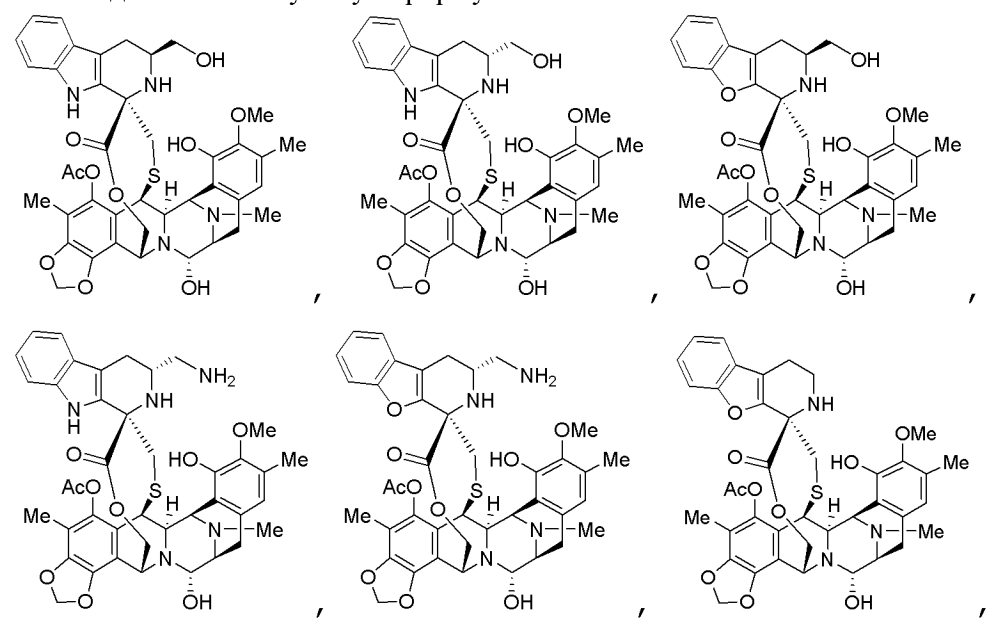
- 20. Соединение по пункту 19, где  $R_3$  выбирают из водорода и метокси.
- 21. Соединение по пункту 20, где  $R_3$  является водородом.
- 22. Соединение по пункту 20, где  $R_3$  является метокси.
- 23. Соединение по любому из пунктов 1, 2, 4, 5, 13 или 14, где  $\mathbf{R}_3$  является водородом.
- 24. Соединение по любому из пунктов 1, 3, 4, 6, 13 или 15, где  $R_3$  является  $-OR^b$ , где  $R^b$  является замещенным или незамещенным  $C_1-C_6$  алкилом.
  - 25. Соединение по пункту 24, где  $R_3$  является метокси.
  - 26. Соединение по пункту 1 формулы:

27. Соединение по пункту 1 формулы:

### 28. Соединение по пункту 1 формулы:

его фармацевтически приемлемая соль или сложный эфир.

# 29. Соединение по пункту 2 формулы:



или его фармацевтически приемлемая соль или сложный эфир.

### 30. Соединение по пункту 2 формулы:

31. Соединение по пункту 3 формулы:

или его фармацевтически приемлемая соль или сложный эфир.

32. Соединение по пункту 3 формулы:

или его фармацевтически приемлемая соль или сложный эфир.

- 33. Фармацевтическая композиция, содержащая соединение по любому из пунктов 1–32 или его фармацевтически приемлемую соль или сложный эфир и фармацевтически приемлемый носитель.
- 34. Соединение по любому из пунктов 1–32 или его фармацевтически приемлемая соль или сложный эфир или композиция по пункту 33 для применения в качестве лекарственного средства.
- 35. Соединение по любому из пунктов 1–32 или его фармацевтически приемлемая соль или сложный эфир или композиция по пункту 33 для применения в лечении рака.
- 36. Способ лечения рака у пациента, нуждающегося в таковом, включающий введение указанному пациенту терапевтически эффективного количества соединения по любому из пунктов 1–32 или его фармацевтически приемлемой соли или сложного эфира или композиции по пункту 33.
- 37. Соединение по пункту 35 или способ по пункту 36, где рак выбирают из рака легких, включая немелкоклеточный рак легких и мелкоклеточный рак легких, рака толстой кишки, рака молочной железы, рака поджелудочной железы, саркомы, рака яичников и рака желудка.
- 38. Соединение или способ по пункту 37, где рак выбирают из рака легких, включая немелкоклеточный рак легких и мелкоклеточный рак легких, рака молочной железы, карциномы поджелудочной железы и рака прямой и ободочной кишки.
- 39. Способ получения соединения формулы **I,** определенного в пункте 1, или его фармацевтически приемлемой соли или сложного эфира, соединения формулы **IA**,

определенного в пункте 2, или его фармацевтически приемлемой соли или сложного эфира, или соединения формулы **IB**, определенного в пункте 3, или его фармацевтически приемлемой соли или сложного эфира:

включающий стадию взаимодействия соединения формулы  ${f II}$  с соединением формулы  ${f IV}$ :

где:

X является –NH– или –O-;

 $R_2$  является  $-C(=O)R^a$  группой;

 $R_3$  является водородом или  $-OR^b$  группой;

 $R_4$  выбирают из водорода,  $-CH_2OH$ ,  $-CH_2OC(=O)R^c$  и  $-CH_2NHProt^{NH}$ ;

 $R^a$  выбирают из водорода, замещенного или незамещенного  $C_1$ – $C_{12}$  алкила, замещенного или незамещенного  $C_2$ – $C_{12}$  алкинила, замещенного или незамещенного  $C_2$ – $C_{12}$  алкинила;

 $R^b$  выбирают из замещенного или незамещенного  $C_1$ – $C_{12}$  алкила, замещенного или незамещенного  $C_2$ – $C_{12}$  алкинила и замещенного или незамещенного  $C_2$ – $C_{12}$  алкинила;

 $R^c$  выбирают из замещенного или незамещенного  $C_1$ – $C_{12}$  алкила, замещенного или незамещенного  $C_2$ – $C_{12}$  алкинила и замещенного или незамещенного  $C_2$ – $C_{12}$  алкинила; и

Prot<sup>NH</sup> является защитной группой для амино;

при условии, что если R<sub>4</sub> является водородом, то X является -O-.

- 40. Способ по пункту 39, включающий стадию замещения цианогруппы в соединении формулы IV гидроксигруппой с получением соединения формулы I или IA или IB, где  $R_1$  является OH.
- 41. Набор, содержащий терапевтически эффективное количество соединения по любому из пунктов 1–32 и фармацевтически приемлемый носитель.
- 42. Набор по пункту 41, дополнительно содержащий инструкции по применению соединения в лечении рака и, более предпочтительно, рака, выбранного из рака легких, включая немелкоклеточный рак легких и мелкоклеточный рак легких, рака толстой кишки, рака молочной железы, рака поджелудочной железы, саркомы, рака яичников и рака желудка.
- 43. Соединение формулы **I** или его фармацевтически приемлемая соль или сложный эфир:

I

где:

Х является – NH – или – О – ;

 $R_1$  является -OH или -CN;

 $R_2$  является  $-C(=O)R^a$  группой;

 $R_3$  является водородом или  $-OR^b$  группой;

 $R_4$  выбирают из водорода,  $-CH_2OH$ ,  $-CH_2O-(C=O)R^c$ ,  $-CH_2NH_2$  и  $-CH_2NHProt^{NH}$ ;

 $R^a$  выбирают из водорода, замещенного или незамещенного  $C_1$ – $C_{12}$  алкила, замещенного или незамещенного  $C_2$ – $C_{12}$  алкинила и замещенного или незамещенного  $C_2$ – $C_{12}$  алкинила;

 $R^b$  выбирают из замещенного или незамещенного  $C_1$ – $C_{12}$  алкила, замещенного или незамещенного  $C_2$ – $C_{12}$  алкинила;

 $R^c$  выбирают из замещенного или незамещенного  $C_1$ – $C_{12}$  алкила, замещенного или незамещенного  $C_2$ – $C_{12}$  алкинила и замещенного или незамещенного  $C_2$ – $C_{12}$  алкинила; и

Prot<sup>NH</sup> является защитной группой для амино;

при условии, что если R4 является водородом, то X является -О-.

44. Соединение по пункту 43, выбранное из формулы **Ia** или **Ib** или его фармацевтически приемлемая соль или сложный эфир:

$$R_3$$
 $R_4$ 
 $R_6$ 
 $R_7$ 
 $R_8$ 
 $R_9$ 
 $R_9$ 

где:

Х является – NH – или – О – ;

 $R_1$  является -OH или -CN;

 $R_2$  является  $-C(=O)R^a$  группой;

 $R_3$  является водородом или  $-OR^b$  группой;

 $R_4$  выбирают из  $-CH_2OH$ ,  $-CH_2OC(=O)R^c$ ,  $-CH_2NH_2$  и  $-CH_2NHProt^{NH}$ ;

 $R^a$  выбирают из водорода, замещенного или незамещенного  $C_1$ – $C_{12}$  алкила, замещенного или незамещенного  $C_2$ – $C_{12}$  алкинила и замещенного или незамещенного  $C_2$ – $C_{12}$  алкинила;

 $R^b$  выбирают из замещенного или незамещенного  $C_1$ – $C_{12}$  алкила, замещенного или незамещенного  $C_2$ – $C_{12}$  алкинила и замещенного или незамещенного  $C_2$ – $C_{12}$  алкинила;

 $R^c$  выбирают из замещенного или незамещенного  $C_1$ – $C_{12}$  алкила, замещенного или незамещенного  $C_2$ – $C_{12}$  алкинила и замещенного или незамещенного  $C_2$ – $C_{12}$  алкинила; и

Prot<sup>NH</sup> является защитной группой для амино.

- 45. Соединение по пункту 43 или пункту 44, где X является –NH-.
- 46. Соединение по пункту 43 или пункту 44, где Х является –О-.
- 47. Соединение по любому из пунктов 43–46, где  $R_4$  выбирают из  $-CH_2OH$ ,  $-CH_2O(C=O)R^c$ ,  $-CH_2NH_2$  и  $-CH_2NHProt^{NH}$ , где  $R^c$  является замещенным или незамещенным  $C_1-C_6$  алкилом, предпочтительно, метилом; особенно предпочтительно, где  $R_4$  является  $-CH_2OH$  или  $-CH_2NH_2$ .
- 48. Соединение по пункту 43 формулы **Ic** или его фармацевтически приемлемая соль или сложный эфир

где:

 $R_1$  является -OH или -CN;

 $R_2$  является  $-C(=O)R^a$  группой;

 $R_3$  является водородом или  $-OR^b$  группой;

 $R^a$  выбирают из водорода, замещенного или незамещенного  $C_1$ – $C_{12}$  алкила, замещенного или незамещенного  $C_2$ – $C_{12}$  алкинила и замещенного или незамещенного  $C_2$ – $C_{12}$  алкинила; and

 $R^b$  выбирают из замещенного или незамещенного  $C_1$ – $C_{12}$  алкила, замещенного или незамещенного  $C_2$ – $C_{12}$  алкинила и замещенного или незамещенного  $C_2$ – $C_{12}$  алкинила.

- 49. Соединение по любому из пунктов 43–48, где  $R_1$  является –OH; и/или где  $R_2$  является – $C(=O)R^a$  группой, где  $R^a$  является замещенным или незамещенным  $C_1$ – $C_6$  алкилом, предпочтительно, ацетилом.
  - 50. Соединение по любому из пунктов 43-49, где  $R_3$  является водородом.
- 51. Соединение по любому из пунктов 43–49, где  $R_3$  является  $-OR^b$ ; предпочтительно, где  $R^b$  является замещенным или незамещенным  $C_1$ – $C_6$  алкилом, более предпочтительно, где  $R^b$  является метокси.

## 52. Соединение по пункту 43 формулы:

или его фармацевтически приемлемая соль или сложный эфир; предпочтительно, формулы:

или его фармацевтически приемлемая соль или сложный эфир.

## 53. Соединение по пункту 43 формулы:

54. Соединение по пункту 45 формулы:

или его фармацевтически приемлемая соль или сложный эфир; предпочтительно, формулы:

или его фармацевтически приемлемая соль или сложный эфир.

- 55. Фармацевтическая композиция, содержащая соединение по любому из пунктов 43–53 или его фармацевтически приемлемую соль или сложный эфир и фармацевтически приемлемый носитель.
- 56. Соединение по любому из пунктов 43–54 или его фармацевтически приемлемая соль или сложный эфир или композиция по пункту 55 для применения в качестве лекарственного средства; или

соль или сложный эфир или композиция по пункту 55 для применения в лечении рака; предпочтительно, где рак выбирают из рака легких, включая немелкоклеточный рак легких и мелкоклеточный рак легких, рака толстой кишки, рака молочной железы, рака поджелудочной железы, саркомы, рака яичников и рака желудка; даже более предпочтительно, где рак выбирают из рака легких, включая немелкоклеточный рак легких и мелкоклеточный рак легких, рака молочной железы, карциномы поджелудочной железы и рака прямой и ободочной кишки.

57. Способ получения соединения формулы **I**, определенного в пункте 43, или его фармацевтически приемлемой соли или сложного эфира:

включающий стадию взаимодействия соединения формулы **II** с соединением формулы **IV**:

где:

X является –NH– или –O-;

 $R_2$  является  $-C(=O)R^a$  группой;

 $R_3$  является водородом или  $-OR^b$  группой;

 $R_4$  выбирают из водорода,  $-CH_2OH$ ,  $-CH_2OC(=O)R^c$  и  $-CH_2NHProt^{NH}$ ;

 $R^a$  выбирают из водорода, замещенного или незамещенного  $C_1$ – $C_{12}$  алкила, замещенного или незамещенного  $C_2$ – $C_{12}$  алкинила, замещенного или незамещенного  $C_2$ – $C_{12}$  алкинила;

 $R^b$  выбирают из замещенного или незамещенного  $C_1$ – $C_{12}$  алкила, замещенного или незамещенного  $C_2$ – $C_{12}$  алкинила и замещенного или незамещенного  $C_2$ – $C_{12}$  алкинила;

 $R^c$  выбирают из замещенного или незамещенного  $C_1$ – $C_{12}$  алкила, замещенного или незамещенного  $C_2$ – $C_{12}$  алкинила и замещенного или незамещенного  $C_2$ – $C_{12}$  алкинила; и

 $\operatorname{Prot}^{\operatorname{NH}}$  является защитной группой для амино;

при условии, что если R<sub>4</sub> является водородом, то X является -O-;

где способ необязательно включает дополнительную стадию замещения цианогруппы в соединении формулы IV гидроксигруппой с получением соединения формулы I или IA или IB, где  $R_1$  является OH.

1. Соединение формулы **I** или его фармацевтически приемлемая соль или сложный эфир:

$$R_3$$
 $NH$ 
 $OMe$ 
 $HO$ 
 $Me$ 
 $R_2O$ 
 $S$ 
 $R_1$ 

где:

Х является – NH – или – О – ;

 $R_1$ является -OH или -CN;

 $R_2$ является  $-C(=O)R^a$  группой;

 $R_3$  является водородом или  $-OR^b$  группой;

 $R_4$  выбирают из водорода,  $-CH_2OH$ ,  $-CH_2O-(C=O)R^c$ ,  $-CH_2NH_2$  и  $-CH_2NHProt^{NH}$ ;

 $R^a$  выбирают из водорода, замещенного или незамещенного  $C_1$ – $C_{12}$  алкила, замещенного или незамещенного  $C_2$ – $C_{12}$  алкинила и замещенного или незамещенного  $C_2$ – $C_{12}$  алкинила;

 $R^b$  выбирают из замещенного или незамещенного  $C_1$ – $C_{12}$  алкила, замещенного или незамещенного  $C_2$ – $C_{12}$  алкинила и замещенного или незамещенного  $C_2$ – $C_{12}$  алкинила;

 $R^c$  выбирают из замещенного или незамещенного  $C_1$ – $C_{12}$  алкила, замещенного или незамещенного  $C_2$ – $C_{12}$  алкинила; и

 $\operatorname{Prot}^{\operatorname{NH}}$  является защитной группой для амино;

при условии, что если R4 является водородом, то X является -О-.

2. Соединение по пункту 1, выбранное из формулы **Ia** или **Ib** или его фармацевтически приемлемая соль или сложный эфир:

$$R_3$$
 $R_4$ 
 $R_6$ 
 $R_7$ 
 $R_8$ 
 $R_9$ 
 $R_9$ 

где:

Х является – NH – или – О – ;

 $R_1$  является –OH или –CN;

 $R_2$  является  $-C(=O)R^a$  группой;

 $R_3$  является водородом или  $-OR^b$  группой;

 $R_4$  выбирают из  $-CH_2OH$ ,  $-CH_2OC(=O)R^c$ ,  $-CH_2NH_2$  и  $-CH_2NHProt^{NH}$ ;

 $R^a$  выбирают из водорода, замещенного или незамещенного  $C_1$ – $C_{12}$  алкила, замещенного или незамещенного  $C_2$ – $C_{12}$  алкинила и замещенного или незамещенного  $C_2$ – $C_{12}$  алкинила;

 $R^b$  выбирают из замещенного или незамещенного  $C_1$ – $C_{12}$  алкила, замещенного или незамещенного  $C_2$ – $C_{12}$  алкинила и замещенного или незамещенного  $C_2$ – $C_{12}$  алкинила;

 $R^c$  выбирают из замещенного или незамещенного  $C_1$ – $C_{12}$  алкила, замещенного или незамещенного  $C_2$ – $C_{12}$  алкинила; и  $Prot^{NH}$  является защитной группой для амино.

3. Соединение по любому из пунктов 1–2, где X является –NH–.

- 4. Соединение по любому из пунктов 1–2, где X является –О–.
- 5. Соединение по любому из пунктов 1–4, где  $R_4$  выбирают из  $-CH_2OH$ ,  $-CH_2O(C=O)R^c$ ,  $-CH_2NH_2$  и  $-CH_2NHProt^{NH}$ , где  $R^c$  является замещенным или незамещенным  $C_1-C_6$  алкилом.
- 6. Соединение по пункту 5, где  $R^c$  выбирают из замещенного или незамещенного метила, замещенного или незамещенного этила, замещенного или незамещенного H-пропила, замещенного или незамещенного изопропила, замещенного или незамещенного H-бутила, замещенного или незамещенного изобутила, замещенного или незамещенного H-бутила и замещенного H-бутила H-бу
- 7. Соединение по любому из пунктов 1 или 3, если зависит от пункта 1, или 4, если зависит от пункта 1, где  $R_4$  является H,  $-CH_2OH$  или  $-CH_2NH_2$ .
  - 8. Соединение по пункту 5, где  $R_4$  является – $CH_2OH$ .
  - 9. Соединение по пункту 5, где R<sub>4</sub> является –CH<sub>2</sub>NH<sub>2</sub>.
- 10. Соединение по пункту 1 формулы **Ic** или его фармацевтически приемлемая соль или сложный эфир

где:

 $R_1$  является –OH или –CN;

 $R_2$  является  $-C(=O)R^a$  группой;

 $R_3$  является водородом или  $-OR^b$  группой;

 $R^a$  выбирают из водорода, замещенного или незамещенного  $C_1$ – $C_{12}$  алкила, замещенного или незамещенного  $C_2$ – $C_{12}$  алкинила и замещенного или незамещенного  $C_2$ – $C_{12}$  алкинила; и

 $R^b$  выбирают из замещенного или незамещенного  $C_1$ – $C_{12}$  алкила, замещенного или незамещенного  $C_2$ – $C_{12}$  алкинила и замещенного или незамещенного  $C_2$ – $C_{12}$  алкинила.

- 11. Соединение по любому из пунктов 1-10, где  $R_1$  является -OH.
- 12. Соединение по любому из пунктов 1–11, где  $R_2$  является  $-C(=O)R^a$  группой, где  $R^a$  является замещенным или незамещенным  $C_1$ – $C_6$  алкилом; предпочтительно, где  $R^a$  выбирают из замещенного или незамещенного метила, замещенного или незамещенного этила, замещенного или незамещенного или незамещенного изопропила, замещенного или незамещенного или

незамещенного трет-бутила.

- 13. Соединение по пункту 12, где  $R_2$  является ацетилом.
- 14. Соединение по любому из пунктов 1–13, где  $R_3$  является водородом или  $-OR^b$ , где  $R^b$  является замещенным или незамещенным  $C_1$ – $C_6$  алкилом; предпочтительно, где  $R^b$  выбирают из замещенного или незамещенного метила, замещенного или незамещенного этила, замещенного или незамещенного изопропила, замещенного или незамещенного изобутила, замещенного или незамещенного изобутила, замещенного или незамещенного или
  - 15. Соединение по пункту 14, где  $R_3$  является водородом.
- 16. Соединение по пункту 14, где  $R_3$  является  $-OR^b$ , где  $R^b$  является замещенным или незамещенным  $C_1$ – $C_6$  алкилом; предпочтительно, где  $R^b$  выбирают из замещенного или незамещенного метила, замещенного или незамещенного этила, замещенного или незамещенного изопропила, замещенного или незамещенного изобутила, замещенного или незамещенного изобутила, замещенного или незамещенного изобутила, замещенного или незамещенного *втор*–бутила и замещенного или незамещенного *трет* 
  - 17. Соединение по пункту 16, где  $R_3$  является метокси.
  - 18. Соединение по пункту 1 формулы:

19. Соединение по пункту 1 формулы:

или его фармацевтически приемлемая соль или сложный эфир.

20. Соединение по пункту 1 формулы:

или его фармацевтически приемлемая соль или сложный эфир.

21. Соединение по пункту 1 формулы:

22. Соединение по пункту 1 формулы:

или его фармацевтически приемлемая соль или сложный эфир.

- 23. Соединение по любому из пунктов 1–22, где соль выбирают из гидрохлорида, гидробромида, гидройодида, сульфата, нитрата, фосфата, ацетата, трифторацетата, малеата, фумарата, цитрата, оксалата, сукцината, тартрата, малата, миндалята, метансульфоната, n–толуолсульфоната, натрия, калия, кальция, аммония, этилендиамина, этаноламина, N, N–диалкиленэтаноламина, триэтаноламина и основных аминокислот.
- 24. Соединение по пункту 1 формулы **IC** или его фармацевтически приемлемая соль или сложный эфир:

$$R_3$$
 $NH$ 
 $OMe$ 
 $HO$ 
 $Me$ 
 $R_2O$ 
 $S$ 
 $R_1$ 

IC

где:

Х является – NH-;

 $R_1$  является -OH или -CN;

 $R_2$  является  $-C(=O)R^a$  группой;

 $R_3$  является водородом или  $-OR^b$  группой;

 $R_4$  выбирают из -CH<sub>2</sub>OH, -CH<sub>2</sub>O-(C=O) $R^c$ , -CH<sub>2</sub>NH<sub>2</sub> и -CH<sub>2</sub>NHProt<sup>NH</sup>;

 $R^a$  выбирают из водорода, замещенного или незамещенного  $C_1$ – $C_{12}$  алкила, замещенного или незамещенного  $C_2$ – $C_{12}$  алкенила и замещенного или незамещенного  $C_2$ –

 $C_{12}$  алкинила;

 $R^b$  выбирают из замещенного или незамещенного  $C_1$ – $C_{12}$  алкила, замещенного или незамещенного  $C_2$ – $C_{12}$  алкинила и замещенного или незамещенного  $C_2$ – $C_{12}$  алкинила;

 $R^c$  выбирают из замещенного или незамещенного  $C_1$ – $C_{12}$  алкила, замещенного или незамещенного  $C_2$ – $C_{12}$  алкинила и замещенного или незамещенного  $C_2$ – $C_{12}$  алкинила; и  $Prot^{NH}$  является защитной группой для амино.

25. Соединение по пункту 24, выбранное из формулы **ICa** или **ICb** или его фармацевтически приемлемая соль или сложный эфир:

$$R_3$$
 $R_4$ 
 $R_4$ 
 $R_4$ 
 $R_5$ 
 $R_6$ 
 $R_7$ 
 $R_8$ 
 $R_9$ 
 $R_9$ 

где:

Х является –NH-;

 $R_1$  является -OH или -CN;

 $R_2$  является  $-C(=O)R^a$  группой;

 $R_3$  является водородом или  $-OR^b$  группой;

 $R_4$  выбирают из –CH<sub>2</sub>OH, –CH<sub>2</sub>OC(=O) $R^c$ , –CH<sub>2</sub>NH<sub>2</sub> и –CH<sub>2</sub>NHProt<sup>NH</sup>;

 $R^a$  выбирают из водорода, замещенного или незамещенного  $C_1$ – $C_{12}$  алкила, замещенного или незамещенного  $C_2$ – $C_{12}$  алкинила и замещенного или незамещенного  $C_2$ – $C_{12}$  алкинила;

 $R^b$  выбирают из замещенного или незамещенного  $C_1$ – $C_{12}$  алкила, замещенного или незамещенного  $C_2$ – $C_{12}$  алкинила и замещенного или незамещенного  $C_2$ – $C_{12}$  алкинила;

 $R^c$  выбирают из замещенного или незамещенного  $C_1$ – $C_{12}$  алкила, замещенного или незамещенного  $C_2$ – $C_{12}$  алкинила; и  $Prot^{NH}$  является защитной группой для амино.

- 26. Соединение по любому из пунктов 24–25, где  $R_4$  выбирают из  $-CH_2OH$ ,  $-CH_2O(C=O)R^c$ ,  $-CH_2NH_2$  и  $-CH_2NHProt^{NH}$ , где  $R^c$  является замещенным или незамещенным  $C_1$ – $C_6$  алкилом.
- 27. Соединение по пункту 26, где  $R^c$  выбирают из замещенного или незамещенного метила, замещенного или незамещенного этила, замещенного или незамещенного H-пропила, замещенного или незамещенного изопропила, замещенного или незамещенного H-бутила, замещенного или незамещенного изобутила, замещенного или незамещенного H-бутила и замещенного H-бутила H-бутила и замещенного H-бутила H-бу
  - 28. Соединение по пункту 26, где R<sub>4</sub> является –CH<sub>2</sub>OH или –CH<sub>2</sub>NH<sub>2</sub>.

- 29. Соединение по пункту26, где R<sub>4</sub> является CH<sub>2</sub>OH.
- 30. Соединение по пункту 26, где  $R_4$  является  $-CH_2NH_2$ .
- 31. Соединение по любому из пунктов 24–30, где R<sub>1</sub> является –ОН.
- 32. Соединение по любому из пунктов 24–31, где  $R_2$  является  $-C(=O)R^a$  группой, где  $R^a$  является замещенным или незамещенным  $C_1$ – $C_6$  алкилом; предпочтительно, где  $R^a$  выбирают из замещенного или незамещенного метила, замещенного или незамещенного этила, замещенного или незамещенного изопропила, замещенного или незамещенного или незамещенного изобутила, замещенного или незамещенного втор—бутила и замещенного или незамещенного ил
  - 33. Соединение по пункту 32, где  $R_2$  является ацетилом.
- 34. Соединение по любому из пунктов 24–33, где  $R_3$  является водородом или  $-OR^b$ , где  $R^b$  является замещенным или незамещенным  $C_1$ – $C_6$  алкилом; предпочтительно, где  $R^b$  выбирают из замещенного или незамещенного метила, замещенного или незамещенного этила, замещенного или незамещенного или незамещенного изопропила, замещенного или незамещенного или незамещенного изобутила, замещенного или незамещенного втор—бутила и замещенного или незамещенного или
  - 35. Соединение по пункту 34, где  $R_3$  является водородом.
- 36. Соединение по пункту 34, где  $R_3$  является  $-OR^b$ , где  $R^b$  является замещенным или незамещенным  $C_1$ – $C_6$  алкилом; предпочтительно, где  $R^b$  выбирают из замещенного или незамещенного метила, замещенного или незамещенного этила, замещенного или незамещенного изопропила, замещенного или незамещенного изобутила, замещенного или незамещенного изобутила, замещенного или незамещенного изобутила, замещенного или незамещенного или незамещенного *втор*–бутила и замещенного или незамещенного *трет* 
  - 37. Соединение по пункту 36, где  $R_3$  является метокси.
  - 38. Соединение по пункту 24 формулы:

39. Соединение по пункту 24 формулы:

40. Соединение по пункту 24 формулы:

или его фармацевтически приемлемая соль или сложный эфир.

41. Соединение по пункту 24 формулы:

или его фармацевтически приемлемая соль или сложный эфир.

42. Соединение по пункту 24 формулы:

или его фармацевтически приемлемая соль или сложный эфир.

43. Соединение по пункту 1 формулы **ID** или его фармацевтически приемлемая соль или сложный эфир:

#### ID

где:

Х является -О-;

 $R_1$  является -OH или -CN;

 $R_2$  является  $-C(=O)R^a$  группой;

 $R_3$  является водородом или  $-OR^b$  группой;

 $R_4$  выбирают из водорода,  $-CH_2OH$ ,  $-CH_2O-(C=O)R^c$ ,  $-CH_2NH_2$  и  $-CH_2NHProt^{NH}$ ;

 $R^a$  выбирают из водорода, замещенного или незамещенного  $C_1$ – $C_{12}$  алкила, замещенного или незамещенного  $C_2$ – $C_{12}$  алкенила и замещенного или незамещенного  $C_2$ – $C_{12}$  алкинила;

 $R^b$  выбирают из замещенного или незамещенного  $C_1$ – $C_{12}$  алкила, замещенного или незамещенного  $C_2$ – $C_{12}$  алкинила и замещенного или незамещенного  $C_2$ – $C_{12}$  алкинила;

 $R^c$  выбирают из замещенного или незамещенного  $C_1$ – $C_{12}$  алкила, замещенного или незамещенного  $C_2$ – $C_{12}$  алкинила; и

 $\operatorname{Prot}^{\operatorname{NH}}$  является защитной группой для амино.

44. Соединение по пункту 43, выбранное из формулы **IDa** или **IDb** или его фармацевтически приемлемая соль или сложный эфир:

$$R_3$$
 $R_4$ 
 $R_4$ 
 $R_4$ 
 $R_5$ 
 $R_6$ 
 $R_7$ 
 $R_8$ 
 $R_9$ 
 $R_9$ 

где:

Х является -О-;

 $R_1$  является -OH или -CN;

 $R_2$  является  $-C(=O)R^a$  группой;

 $R_3$  является водородом или  $-OR^b$  группой;

 $R_4$  выбирают из – $CH_2OH$ , – $CH_2OC(=O)R^c$ , – $CH_2NH_2$  и – $CH_2NHProt^{NH}$ ;

R<sup>а</sup> выбирают из водорода, замещенного или незамещенного C<sub>1</sub>-C<sub>12</sub> алкила,

замещенного или незамещенного  $C_2$ — $C_{12}$  алкенила и замещенного или незамещенного  $C_{2-}$   $C_{12}$  алкинила;

 $R^b$  выбирают из замещенного или незамещенного  $C_1$ – $C_{12}$  алкила, замещенного или незамещенного  $C_2$ – $C_{12}$  алкинила и замещенного или незамещенного  $C_2$ – $C_{12}$  алкинила;

 $R^c$  выбирают из замещенного или незамещенного  $C_1$ – $C_{12}$  алкила, замещенного или незамещенного  $C_2$ – $C_{12}$  алкинила и замещенного или незамещенного  $C_2$ – $C_{12}$  алкинила; и  $Prot^{NH}$  является защитной группой для амино.

- 45. Соединение по любому из пунктов 43–44, где  $R_4$  выбирают из  $-CH_2OH$ ,  $-CH_2O(C=O)R^c$ ,  $-CH_2NH_2$  и  $-CH_2NHProt^{NH}$ , где  $R^c$  является замещенным или незамещенным  $C_1$ – $C_6$  алкилом.
- 46. Соединение по пункту 45, где  $R^c$  выбирают из замещенного или незамещенного метила, замещенного или незамещенного этила, замещенного или незамещенного  $\mu$ -пропила, замещенного или незамещенного изопропила, замещенного или незамещенного  $\mu$ -бутила, замещенного или незамещенного изобутила, замещенного или незамещенного  $\mu$ -бутила и замещенного  $\mu$ -бутила и за
  - 47. Соединение по пункту 43, где R<sub>4</sub> является H, -CH<sub>2</sub>OH или -CH<sub>2</sub>NH<sub>2</sub>.
  - 48. Соединение по пункту 45, где R<sub>4</sub> является CH<sub>2</sub>OH.
  - 49. Соединение по пункту 45, где R<sub>4</sub> является –CH<sub>2</sub>NH<sub>2</sub>.
- 50. Соединение по пункту 43 формулы **IDc** или его фармацевтически приемлемая соль или сложный эфир

где:

 $R_1$  является -OH или -CN;

 $R_2$  является  $-C(=O)R^a$  группой;

 $R_3$  является водородом или  $-OR^b$  группой;

 $R^a$  выбирают из водорода, замещенного или незамещенного  $C_1$ – $C_{12}$  алкила, замещенного или незамещенного  $C_2$ – $C_{12}$  алкинила и замещенного или незамещенного  $C_2$ – $C_{12}$  алкинила; и

 $R^b$  выбирают из замещенного или незамещенного  $C_1$ – $C_{12}$  алкила, замещенного или незамещенного  $C_2$ – $C_{12}$  алкинила и замещенного или незамещенного  $C_2$ – $C_{12}$  алкинила.

- 51. Соединение по любому из пунктов 43–50, где  $R_1$  является –OH.
- 52. Соединение по любому из пунктов 43–51, где  $R_2$  является  $-C(=O)R^a$  группой,

где  $R^a$  является замещенным или незамещенным  $C_1$ – $C_6$  алкилом; предпочтительно, где  $R^a$  выбирают из замещенного или незамещенного метила, замещенного или незамещенного этила, замещенного или незамещенного или незамещенного изопропила, замещенного или незамещенного изобутила, замещенного или незамещенного или

- 53. Соединение по пункту 52, где  $R_2$  является ацетилом.
- 54. Соединение по любому из пунктов 43–53, где  $R_3$  является водородом или  $-OR^b$ , где  $R^b$  является замещенным или незамещенным  $C_1$ – $C_6$  алкилом; предпочтительно, где  $R^b$  выбирают из замещенного или незамещенного метила, замещенного или незамещенного этила, замещенного или незамещенного или незамещенного изопропила, замещенного или незамещенного или незамещенного изобутила, замещенного или незамещенного втор–бутила и замещенного или незамещенного или
  - 55. Соединение по пункту 54, где  $R_3$  является водородом.
- 56. Соединение по пункту 54, где  $R_3$  является  $-OR^b$ , где  $R^b$  является замещенным или незамещенным  $C_1$ – $C_6$  алкилом; предпочтительно, где  $R^b$  выбирают из замещенного или незамещенного метила, замещенного или незамещенного этила, замещенного или незамещенного изопропила, замещенного или незамещенного изобутила, замещенного или незамещенного изобутила, замещенного или незамещенного изобутила, замещенного или незамещенного *втор*–бутила и замещенного или незамещенного *трет* 
  - 57. Соединение по пункту 56, где  $R_3$  является метокси.
  - 58. Соединение по пункту 43 формулы:

или его фармацевтически приемлемая соль или сложный эфир.

59. Соединение по пункту 43 формулы:

или его фармацевтически приемлемая соль или сложный эфир.

60. Соединение по пункту 43 формулы:

61. Соединение по пункту 43 формулы:

или его фармацевтически приемлемая соль или сложный эфир.

62. Соединение по пункту 1 формулы **IE** или его фармацевтически приемлемая соль или сложный эфир:

$$R_3$$
 $R_4$ 
 $NH$ 
 $OMe$ 
 $HO$ 
 $Me$ 
 $R_2O$ 
 $S$ 
 $R_1$ 

IE

где:

Х является – NH – или – О – ;

 $R_1$  является -OH или -CN;

 $R_2$  является  $-C(=O)R^a$  группой;

R<sub>3</sub> является водородом или а –OR<sup>b</sup> группой;

 $R_4$  выбирают из  $-CH_2NH_2$  и  $-CH_2NHProt^{NH}$ ;

 $R^a$  выбирают из водорода, замещенного или незамещенного  $C_1$ – $C_{12}$  алкила, замещенного или незамещенного  $C_2$ – $C_{12}$  алкенила и замещенного или незамещенного  $C_2$ – $C_{12}$  алкинила;

 $R^b$  выбирают из замещенного или незамещенного  $C_1$ – $C_{12}$  алкила, замещенного или незамещенного  $C_2$ – $C_{12}$  алкинила; и

Prot<sup>NH</sup> является защитной группой для амино.

63. Соединение по пункту 62, выбранное из формулы ІЕа или ІЕв или его

$$R_3$$
 $R_4$ 
 $R_4$ 
 $R_4$ 
 $R_5$ 
 $R_6$ 
 $R_7$ 
 $R_8$ 
 $R_9$ 
 $R_9$ 

где:

Х является – NH – или – О – ;

 $R_1$  является -OH или -CN;

 $R_2$  является  $-C(=O)R^a$  группой;

 $R_3$  является водородом или  $-OR^b$  группой;

R<sub>4</sub> выбирают из -CH<sub>2</sub>NH<sub>2</sub> и -CH<sub>2</sub>NHProt<sup>NH</sup>;

 $R^a$  выбирают из водорода, замещенного или незамещенного  $C_1$ – $C_{12}$  алкила, замещенного или незамещенного  $C_2$ – $C_{12}$  алкинила и замещенного или незамещенного  $C_2$ – $C_{12}$  алкинила;

 $R^b$  выбирают из замещенного или незамещенного  $C_1$ – $C_{12}$  алкила, замещенного или незамещенного  $C_2$ – $C_{12}$  алкинила и замещенного или незамещенного  $C_2$ – $C_{12}$  алкинила; и

 $\operatorname{Prot}^{\operatorname{NH}}$  является защитной группой для амино.

- 64. Соединение по любому из пунктов 62 или 63, где X является –NH-.
- 65. Соединение по любому из пунктов 62 или 63, где X является –О–.
- 66. Соединение по любому из пунктов 62–65, где  $R_4$  является – $CH_2NH_2$ .
- 67. Соединение по любому из пунктов 62–66, где  $R_1$  является –OH.
- 68. Соединение по любому из пунктов 62–67, где  $R_2$  является  $-C(=O)R^a$  группой, где  $R^a$  является замещенным или незамещенным  $C_1$ – $C_6$  алкилом; предпочтительно, где  $R^a$  выбирают из замещенного или незамещенного метила, замещенного или незамещенного этила, замещенного или незамещенного изопропила, замещенного или незамещенного или незамещенного изобутила, замещенного или незамещенного втор—бутила и замещенного или незамещенного ил
  - 69. Соединение по пункту 68, где  $R_2$  является ацетилом.
- 70. Соединение по любому из пунктов 62–69, где  $R_3$  является водородом или  $-OR^b$ , где  $R^b$  является замещенным или незамещенным  $C_1$ – $C_6$  алкилом; предпочтительно, где  $R^b$  выбирают из замещенного или незамещенного метила, замещенного или незамещенного этила, замещенного или незамещенного или незамещенного изопропила, замещенного или незамещенного или незамещенного изобутила, замещенного или незамещенного втор—бутила и замещенного или незамещенного или

- 71. Соединение по пункту 70, где  $R_3$  является водородом.
- 72. Соединение по пункту 70, где  $R_3$  является  $-OR^b$ , где  $R^b$  является замещенным или незамещенным  $C_1$ – $C_6$  алкилом; предпочтительно, где  $R^b$  выбирают из замещенного или незамещенного метила, замещенного или незамещенного этила, замещенного или незамещенного изопропила, замещенного или незамещенного изобутила, замещенного или незамещенного изобутила, замещенного или незамещенного изобутила, замещенного или незамещенного или незамещенного *втор*–бутила и замещенного или незамещенного *трет* 
  - 73. Соединение по пункту 72, где  $R_3$  является метокси.
  - 74. Соединение по пункту 62 формулы:

75. Соединение по пункту 62 формулы:

или его фармацевтически приемлемая соль или сложный эфир.

76. Соединение по пункту 1 формулы **IA** или его фармацевтически приемлемая соль или сложный эфир:

#### IA

где:

Х является – NH – или – О – ;

 $R_1$  является -OH или -CN;

 $R_2$  является  $-C(=O)R^a$  группой;

 $R_3$  является водородом;

 $R_4$  выбирают из водорода,  $-CH_2OH$ ,  $-CH_2O-(C=O)R^c$ ,  $-CH_2NH_2$  и  $-CH_2NHProt^{NH}$ ;

 $R^a$  выбирают из водорода, замещенного или незамещенного  $C_1$ – $C_{12}$  алкила, замещенного или незамещенного  $C_2$ – $C_{12}$  алкинила и замещенного или незамещенного  $C_2$ – $C_{12}$  алкинила;

 $R^c$  выбирают из замещенного или незамещенного  $C_1$ – $C_{12}$  алкила, замещенного или незамещенного  $C_2$ – $C_{12}$  алкинила и замещенного или незамещенного  $C_2$ – $C_{12}$  алкинила; и

Prot<sup>NH</sup> является защитной группой для амино;

при условии, что если R4 является водородом, то X является -О-.

77. Соединение по пункту 76, выбранное из формулы **IAa** или **IAb** или его фармацевтически приемлемая соль или сложный эфир:

$$R_3$$
 $R_4$ 
 $R_4$ 
 $R_4$ 
 $R_5$ 
 $R_6$ 
 $R_7$ 
 $R_8$ 
 $R_9$ 
 $R_9$ 

где:

Х является – NH – или – О – ;

 $R_1$  является –OH или –CN;

 $R_2$  является  $-C(=O)R^a$  группой;

R<sub>3</sub> является водородом;

 $R_4$  выбирают из  $-CH_2OH$ ,  $-CH_2OC(=O)R^c$ ,  $-CH_2NH_2$  и  $-CH_2NHProt^{NH}$ ;

 $R^a$  выбирают из водорода, замещенного или незамещенного  $C_1$ – $C_{12}$  алкила, замещенного или незамещенного  $C_2$ – $C_{12}$  алкинила и замещенного или незамещенного  $C_2$ – $C_{12}$  алкинила;

 $R^c$  выбирают из замещенного или незамещенного  $C_1$ – $C_{12}$  алкила, замещенного или незамещенного  $C_2$ – $C_{12}$  алкинила; и

Prot<sup>NH</sup> является защитной группой для амино.

- 78. Соединение по любому из пунктов 76–77, где X является –NH-.
- 79. Соединение по любому из пунктов 76–77, где X является –О-.
- 80. Соединение по любому из пунктов 76–79, где  $R_4$  выбирают из  $-CH_2OH$ ,  $-CH_2O(C=O)R^c$ ,  $-CH_2NH_2$  и  $-CH_2NHProt^{NH}$ , где  $R^c$  является замещенным или незамещенным  $C_1$ – $C_6$  алкилом.
- 81. Соединение по пункту 80, где  $\mathbb{R}^c$  выбирают из замещенного или незамещенного метила, замещенного или незамещенного этила, замещенного или незамещенного или пропила, замещенного или незамещенного или не

втор–бутила и замещенного или незамещенного mpem–бутила; предпочтительно, где  $\mathbf{R}^{\mathsf{c}}$  является метилом.

- 82. Соединение по пункту 76 или 78, если зависит от пункта 76, или 79, если зависит от пункта 76, где  $R_4$  является H,  $-CH_2OH$  или  $-CH_2NH_2$ .
  - 83. Соединение по пункту 80, где  $R_4$  является – $CH_2OH$ .
  - 84. Соединение по пункту 80, где  $R_4$  является – $CH_2NH_2$ .
- 85. Соединение по пункту 76 формулы **IAc** или его фармацевтически приемлемая соль или сложный эфир

где:

 $R_1$  является -OH или -CN;

 $R_2$  является  $-C(=O)R^a$  группой;

R<sub>3</sub> является водородом;

 $R^a$  выбирают из водорода, замещенного или незамещенного  $C_1$ – $C_{12}$  алкила, замещенного или незамещенного  $C_2$ – $C_{12}$  алкинила и замещенного или незамещенного  $C_2$ – $C_{12}$  алкинила.

- 86. Соединение по любому из пунктов 76–85, где R<sub>1</sub> является ОН.
- 87. Соединение по любому из пунктов 76–86, где  $R_2$  является  $-C(=O)R^a$  группой, где  $R^a$  является замещенным или незамещенным  $C_1$ – $C_6$  алкилом; предпочтительно, где  $R^a$  выбирают из замещенного или незамещенного метила, замещенного или незамещенного этила, замещенного или незамещенного или незамещенного изопропила, замещенного или незамещенного или незамещенного изобутила, замещенного или незамещенного втор—бутила и замещенного или незамещенного ил
  - 88. Соединение по пункту 87, где  $R_2$  является ацетилом.
  - 89. Соединение по пункту 76 формулы:

или его фармацевтически приемлемая соль или сложный эфир.

90. Соединение по пункту 76 формулы:

или его фармацевтически приемлемая соль или сложный эфир.

91. Соединение по пункту 76 формулы:

или его фармацевтически приемлемая соль или сложный эфир.

92. Соединение по пункту 76 формулы:

или его фармацевтически приемлемая соль или сложный эфир.

93. Соединение по пункту 76 формулы:

или его фармацевтически приемлемая соль или сложный эфир.

94. Соединение по пункту 76 формулы:

или его фармацевтически приемлемая соль или сложный эфир.

95. Соединение по пункту 1 формулы **IB** или его фармацевтически приемлемая соль или сложный эфир:

#### ΙB

где:

Х является – NH – или – О – ;

 $R_1$  является –OH или –CN;

 $R_2$  является  $-C(=O)R^a$  группой;

 $R_3$  является  $-OR^b$  группой;

 $R_4$  выбирают из водорода,  $-CH_2OH$ ,  $-CH_2O-(C=O)R^c$ ,  $-CH_2NH_2$  и  $-CH_2NHProt^{NH}$ ;

 $R^a$  выбирают из водорода, замещенного или незамещенного  $C_1$ – $C_{12}$  алкила, замещенного или незамещенного  $C_2$ – $C_{12}$  алкинила и замещенного или незамещенного  $C_2$ – $C_{12}$  алкинила;

 $R^b$  выбирают из замещенного или незамещенного  $C_1$ – $C_{12}$  алкила, замещенного или незамещенного  $C_2$ – $C_{12}$  алкинила и замещенного или незамещенного  $C_2$ – $C_{12}$  алкинила;

 $R^c$  выбирают из замещенного или незамещенного  $C_1$ – $C_{12}$  алкила, замещенного или незамещенного  $C_2$ – $C_{12}$  алкинила и замещенного или незамещенного  $C_2$ – $C_{12}$  алкинила; и

Prot<sup>NH</sup> является защитной группой для амино;

при условии, что если R<sub>4</sub> является водородом, то X является -O-.

96. Соединение по пункту 95, выбранное из формулы **IBa** или **IBb** или его фармацевтически приемлемая соль или сложный эфир:

$$R_3$$
 $R_4$ 
 $R_4$ 
 $R_5$ 
 $R_6$ 
 $R_7$ 
 $R_8$ 
 $R_8$ 
 $R_9$ 
 $R_9$ 

где:

Х является – NH – или – О – ;

 $R_1$  является -OH или -CN;

 $R_2$  является  $-C(=O)R^a$  группой;

 $R_3$  является  $-OR^b$  группой;

 $R_4$  выбирают из  $-CH_2OH$ ,  $-CH_2OC(=O)R^c$ ,  $-CH_2NH_2$  и  $-CH_2NHProt^{NH}$ ;

 $R^a$  выбирают из водорода, замещенного или незамещенного  $C_1$ – $C_{12}$  алкила, замещенного или незамещенного  $C_2$ – $C_{12}$  алкинила и замещенного или незамещенного  $C_2$ – $C_{12}$  алкинила;

 $R^b$  выбирают из замещенного или незамещенного  $C_1$ – $C_{12}$  алкила, замещенного или незамещенного  $C_2$ – $C_{12}$  алкинила и замещенного или незамещенного  $C_2$ – $C_{12}$  алкинила;

 $R^c$  выбирают из замещенного или незамещенного  $C_1$ – $C_{12}$  алкила, замещенного или незамещенного  $C_2$ – $C_{12}$  алкинила; и

Prot<sup>NH</sup> является защитной группой для амино.

- 97. Соединение по любому из пунктов 95–96, где X является –NH-.
- 98. Соединение по любому из пунктов 95–96, где X является –О-.
- 99. Соединение по любому из пунктов 95–98, где  $R_4$  выбирают из  $-CH_2OH$ ,  $-CH_2O(C=O)R^c$ ,  $-CH_2NH_2$  и  $-CH_2NHProt^{NH}$  где  $R^c$  является замещенным или незамещенным  $C_1-C_6$  алкилом.
- 100. Соединение по пункту 99, где  $R^c$  выбирают из замещенного или незамещенного метила, замещенного или незамещенного этила, замещенного или незамещенного изопропила, замещенного или незамещенного изобутила, замещенного или незамещенного изобутила, замещенного или незамещенного изобутила, замещенного или незамещенного или незамещенного *втор*—бутила и замещенного или незамещенного *трет*—бутила; предпочтительно, где  $R^c$  является метилом.
- 101. Соединение по пункту 95 или 97, если зависит от пункта 95, или 98, если зависит от пункта 95, где  $R_4$  является H,  $-CH_2OH$  или  $-CH_2NH_2$ .
  - 102. Соединение по пункту 99, где R<sub>4</sub> является CH<sub>2</sub>OH.
  - 103. Соединение по пункту 99, где R<sub>4</sub> является –CH<sub>2</sub>NH<sub>2</sub>.
- 104. Соединение по пункту 95, формулы **IBc** или его фармацевтически приемлемая соль или сложный эфир

где:

 $R_1$  является –OH или –CN;

 $R_2$  является  $-C(=O)R^a$  группой;

 $R_3$  является  $-OR^b$  группой;

 $R^a$  выбирают из водорода, замещенного или незамещенного  $C_1$ – $C_{12}$  алкила, замещенного или незамещенного  $C_2$ – $C_{12}$  алкинила и замещенного или незамещенного  $C_2$ – $C_{12}$  алкинила; и

 $R^b$  выбирают из замещенного или незамещенного  $C_1$ – $C_{12}$  алкила, замещенного или незамещенного  $C_2$ – $C_{12}$  алкинила и замещенного или незамещенного  $C_2$ – $C_{12}$  алкинила.

- 105. Соединение по любому из пунктов 95–104, где  $R_1$  является –OH.
- 106. Соединение по любому из пунктов 95–105, где  $R_2$  является  $-C(=O)R^a$  группой, где  $R^a$  является замещенным или незамещенным  $C_1$ – $C_6$  алкилом; предпочтительно, где  $R^a$  выбирают из замещенного или незамещенного метила, замещенного или незамещенного этила, замещенного или незамещенного или незамещенного изопропила, замещенного или незамещенного или незамещенного изобутила, замещенного или незамещенного втор—бутила и замещенного или незамещенного или незамещенного
  - 107. Соединение по пункту 106, где  $R_2$  является ацетилом.
- 108. Соединение по любому из пунктов 95–107, где  $R_3$  является  $-OR^b$ , где  $R^b$  является замещенным или незамещенным  $C_1$ – $C_6$  алкилом; предпочтительно, где  $R^b$  выбирают из замещенного или незамещенного метила, замещенного или незамещенного этила, замещенного или незамещенного изопропила, замещенного или незамещенного изобутила, замещенного или незамещенного ил
  - 109. Соединение по пункту 108, где  $R_3$  является метокси.
  - 110. Соединение по пункту 95 формулы:

или его фармацевтически приемлемая соль или сложный эфир.

111. Соединение по пункту 95 формулы:

или его фармацевтически приемлемая соль или сложный эфир.

112. Соединение по пункту 95 формулы:

или его фармацевтически приемлемая соль или сложный эфир.

- 113. Соединение по любому из пунктов 24–112, где соль выбирают из гидрохлорида, гидробромида, гидройодида, сульфата, нитрата, фосфата, ацетата, трифторацетата, малеата, фумарата, цитрата, оксалата, сукцината, тартрата, малата, миндалята, метансульфоната, n-толуолсульфоната, натрия, калия, кальция, аммония, этилендиамина, этаноламина, N, N-диалкиленэтаноламина, триэтаноламина и основных аминокислот.
- 114. Фармацевтическая композиция, содержащая соединение по любому из пунктов 1–113 или его фармацевтически приемлемую соль или сложный эфир и фармацевтически приемлемый носитель.
- 115. Дозированная форма, содержащая фармацевтическую композицию по пункту 114.
- 116. Соединение по любому из пунктов 1–113 или его фармацевтически приемлемая соль или сложный эфир, или композиция по пункту 114, или дозированная форма по пункту 115 для применения в качестве лекарственного средства.

- 117. Соединение по любому из пунктов 1–113 или его фармацевтически приемлемая соль или сложный эфир, или композиция по пункту 114, или дозированная форма по пункту 115 для применения в лечении рака.
- 118. Соединение, композиция или дозированная форма по пункту 117, где рак выбирают из рака легких, включая немелкоклеточный рак легких и мелкоклеточный рак легких, рака толстой кишки, рака молочной железы, рака поджелудочной железы, саркомы, рака яичников, рака простаты и рака желудка.
- 119. Соединение, композиция или дозированная форма по пункту 118, где рак выбирают из рака легких, включая немелкоклеточный рак легких и мелкоклеточный рак легких, рака молочной железы, рака поджелудочной железы и рака прямой и ободочной кишки.
- 120. Применение соединения по любому из пунктов 1–113 или его фармацевтически приемлемой соли или сложного эфира или композиции по пункту 114 или дозированной формы по пункту 115 в производстве лекарственного средства для лечения рака.
- 121. Применение по пункту 120, где рак выбирают из рака легких, включая немелкоклеточный рак легких и мелкоклеточный рак легких, рака толстой кишки, рака молочной железы, рака поджелудочной железы, саркомы, рака яичников, рака простаты и рака желудка.
- 122. Применение по пункту 121, где рак выбирают из рака легких, включая немелкоклеточный рак легких и мелкоклеточный рак легких, рака молочной железы, рака поджелудочной железы и рака прямой и ободочной кишки.
- 123. Способ лечения рака у пациента, нуждающегося в таковом, включающий введение указанному пациенту терапевтически эффективного количества соединения по любому из пунктов 1–113 или его фармацевтически приемлемой соли или сложного эфира или композиции по пункту 114 или дозированной формы по пункту 115.
- 124. Способ по пункту 123, где рак выбирают из рака легких, включая немелкоклеточный рак легких и мелкоклеточный рак легких, рака толстой кишки, рака молочной железы, рака поджелудочной железы, саркомы, рака яичников, рака простаты и рака желудка.
- 125. Способ по пункту 124, где рак выбирают из рака легких, включая немелкоклеточный рак легких и мелкоклеточный рак легких, рака молочной железы, рака поджелудочной железы и рака прямой и ободочной кишки.
- 126. Способ получения соединения, определенного в любом из пунктов 1–113 или его фармацевтически приемлемой соли или сложного эфира:

включающий стадию взаимодействия соединения формулы  $\mathbf{H}$  с соединением формулы  $\mathbf{I}\mathbf{V}$ :

где (где позволено возможными группами заместителей):

X является –NH– или –O–;

 $R_2$  является  $-C(=O)R^a$  группой;

 $R_3$  является водородом или  $-OR^b$  группой;

 $R_4$  выбирают из водорода,  $-CH_2OH$ ,  $-CH_2OC(=O)R^c$  и  $-CH_2NHProt^{NH}$ ;

 $R^a$  выбирают из водорода, замещенного или незамещенного  $C_1$ – $C_{12}$  алкила, замещенного или незамещенного  $C_2$ – $C_{12}$  алкинила;

 $R^b$  выбирают из замещенного или незамещенного  $C_1$ – $C_{12}$  алкила, замещенного или незамещенного  $C_2$ – $C_{12}$  алкинила и замещенного или незамещенного  $C_2$ – $C_{12}$  алкинила;

 $R^c$  выбирают из замещенного или незамещенного  $C_1$ – $C_{12}$  алкила, замещенного или незамещенного  $C_2$ – $C_{12}$  алкинила и замещенного или незамещенного  $C_2$ – $C_{12}$  алкинила; и

Prot<sup>NH</sup> является защитной группой для амино;

при условии, что если R<sub>4</sub> является водородом, то X является –O–.

- 127. Способ по пункту 126, включающий дополнительную стадию замещения цианогруппы в соединении формулы IV гидроксигруппой с получением соединения формулы I, где  $R_1$  является OH.
- 128. Набор, содержащий терапевтически эффективное количество соединения по любому из пунктов 1–113 и фармацевтически приемлемый носитель.
- 129. Набор по пункту 128 дополнительно содержащий инструкции по применению соединения в лечении рака, и более предпочтительно, рака, выбранного из рака легких, включая немелкоклеточный рак легких и мелкоклеточный рак легких, рака толстой кишки, рака молочной железы, рака поджелудочной железы, саркомы, рака яичников, рака простаты и рака желудка.

#### СКОРРЕКТИРОВАННАЯ ФОРМУЛА ИЗОБРЕТЕНИЯ

1. Соединение формулы **IE** или его фармацевтически приемлемая соль или сложный эфир:

$$R_3$$
 $R_4$ 
 $NH$ 
 $OMe$ 
 $HO$ 
 $Me$ 
 $R_2O$ 
 $S$ 
 $R_1$ 

 $\mathbf{IE}$ 

где:

Х является – NH – или – О – ;

 $R_1$  является -OH или -CN;

 $R_2$  является  $-C(=O)R^a$  группой;

 $R_3$  является водородом или а  $-OR^b$  группой;

 $R_4$  выбирают из  $-CH_2NH_2$  и  $-CH_2NHProt^{NH}$ ;

 $R^a$  выбирают из водорода, замещенного или незамещенного  $C_1$ – $C_{12}$  алкила, замещенного или незамещенного  $C_2$ – $C_{12}$  алкинила и замещенного или незамещенного  $C_2$ – $C_{12}$  алкинила;

 $R^b$  выбирают из замещенного или незамещенного  $C_1$ – $C_{12}$  алкила, замещенного или незамещенного  $C_2$ – $C_{12}$  алкинила и замещенного или незамещенного  $C_2$ – $C_{12}$  алкинила; и

 $Prot^{NH}$  является защитной группой для амино.

2. Соединение по пункту 1, выбранное из формулы **IEa** или **IEb** или его фармацевтически приемлемая соль или сложный эфир:

$$R_3$$
 $R_4$ 
 $R_4$ 
 $R_4$ 
 $R_4$ 
 $R_4$ 
 $R_4$ 
 $R_4$ 
 $R_4$ 
 $R_5$ 
 $R_4$ 
 $R_5$ 
 $R_6$ 
 $R_7$ 
 $R_8$ 
 $R_9$ 
 $R_9$ 

где:

Х является – NH – или – О – ;

 $R_1$  является -OH или -CN;

 $R_2$  является  $-C(=O)R^a$  группой;

 $R_3$  является водородом или  $-OR^b$  группой;

 $R_4$  выбирают из  $-CH_2NH_2$  и  $-CH_2NHProt^{NH}$ ;

 $R^a$  выбирают из водорода, замещенного или незамещенного  $C_1$ – $C_{12}$  алкила, замещенного или незамещенного  $C_2$ – $C_{12}$  алкинила и замещенного или незамещенного  $C_2$ – $C_{12}$  алкинила;

 $R^{b}$  выбирают из замещенного или незамещенного  $C_{1}$ – $C_{12}$  алкила, замещенного или незамещенного  $C_{2}$ – $C_{12}$  алкинила; и

 $Prot^{NH}$  является защитной группой для амино.

- 3. Соединение по любому из пунктов 1 или 2, где X является –NH-.
- 4. Соединение по любому из пунктов 1 или 2, где X является -О-.
- 5. Соединение по любому из пунктов 1–4, где  $R_4$  является – $CH_2NH_2$ .
- 6. Соединение по любому из пунктов 1-5, где  $R_1$  является -OH.
- 7. Соединение по любому из пунктов 1–6, где  $R_2$  является  $-C(=O)R^a$  группой, где  $R^a$  является замещенным или незамещенным  $C_1$ – $C_6$  алкилом; предпочтительно, где  $R^a$  выбирают из замещенного или незамещенного метила, замещенного или незамещенного этила, замещенного или незамещенного или незамещенного изопропила, замещенного или незамещенного или незамещенного изобутила, замещенного или незамещенного втор—бутила и замещенного или незамещенного или н
  - 8. Соединение по пункту 7, где  $R_2$  является ацетилом.
- 9. Соединение по любому из пунктов 1–8, где  $R_3$  является водородом или  $-OR^b$ , где  $R^b$  является замещенным или незамещенным  $C_1$ – $C_6$  алкилом; предпочтительно, где  $R^b$  выбирают из замещенного или незамещенного метила, замещенного или незамещенного этила, замещенного или незамещенного изопропила, замещенного или незамещенного или незамещенного изобутила, замещенного или незамещенного втор—бутила и замещенного или незамещенного или
  - 10. Соединение по пункту 9, где  $R_3$  является водородом.
- 11. Соединение по пункту 9, где  $R_3$  является  $-OR^b$ , где  $R^b$  является замещенным или незамещенным  $C_1$ – $C_6$  алкилом; предпочтительно, где  $R^b$  выбирают из замещенного или незамещенного этила, замещенного или незамещенного этила, замещенного или незамещенного изопропила, замещенного или незамещенного изобутила, замещенного или незамещенного изобутила, замещенного или незамещенного изобутила, замещенного или незамещенного или незамещенного *втор*—бутила и замещенного или незамещенного *трет* 
  - 12. Соединение по пункту 11, где  $R_3$  является метокси.
  - 13. Соединение по пункту 1 формулы:

или его фармацевтически приемлемая соль или сложный эфир.

14. Соединение по пункту 1 формулы:

или его фармацевтически приемлемая соль или сложный эфир.

15. Соединение по пункту 1 формулы:

или его фармацевтически приемлемая соль или сложный эфир.

16. Соединение по пункту 1 формулы:

или его фармацевтически приемлемая соль или сложный эфир.

17. Соединение по пункту 1 формулы:

или его фармацевтически приемлемая соль или сложный эфир.

18. Соединение по любому из пунктов 1–17, где соль выбирают из гидрохлорида, гидробромида, гидройодида, сульфата, нитрата, фосфата, ацетата, трифторацетата, малеата, фумарата, цитрата, оксалата, сукцината, тартрата, малата, миндалята,

метансульфоната, n—толуолсульфоната, натрия, калия, кальция, аммония, этилендиамина, этаноламина, N, N—диалкиленэтаноламина, триэтаноламина и основных аминокислот.

- 19. Фармацевтическая композиция, содержащая соединение по любому из пунктов 1–18 или его фармацевтически приемлемую соль или сложный эфир и фармацевтически приемлемый носитель.
- 20. Дозированная форма, содержащая фармацевтическую композицию по пункту 19.
- 21. Лекарственное средство, содержащее соединение по любому из пунктов 1–18 или его фармацевтически приемлемую соль или сложный эфир.
- 22. Применение соединения по любому из пунктов 1–18 или его фармацевтически приемлемой соли или сложного эфира, или композиции по пункту 19, или дозированной формы по пункту 20 в лечении рака.
- 23. Применение соединения по любому из пунктов 1–18 или его фармацевтически приемлемой соли или сложного эфира или композиции по пункту 19 или дозированной формы по пункту 20 в производстве лекарственного средства для лечения рака.
- 24. Способ лечения рака у пациента, нуждающегося в таковом, включающий введение указанному пациенту терапевтически эффективного количества соединения по любому из пунктов 1–18 или его фармацевтически приемлемой соли или сложного эфира или композиции по пункту 19 или дозированной формы по пункту 20.
- 25. Способ по пункту 24, где рак выбирают из рака легких, включая немелкоклеточный рак легких и мелкоклеточный рак легких, рака толстой кишки, рака прямой и ободочной кишки, рака молочной железы, рака поджелудочной железы, саркомы, рака яичников и рака желудка.
- 26. Способ по пункту 25, где рак выбирают из рака легких, включая немелкоклеточный рак легких и мелкоклеточный рак легких, рака молочной железы, рака поджелудочной железы и рака прямой и ободочной кишки.
  - 27. Способ по пункту 24, где рак представляет собой рак простаты.
- 28. Способ получения соединения, определенного в любом из пунктов 1–18 или его фармацевтически приемлемой соли или сложного эфира:

включающий стадию взаимодействия соединения формулы II с соединением формулы IV:

где (где позволено возможными группами заместителей):

Х является – NH – или – О – ;

 $R_2$  является  $-C(=O)R^a$  группой;

 $R_3$  является водородом или  $-OR^b$  группой;

 $R_4$  является  $-CH_2NHProt^{NH}$ ;

 $R^a$  выбирают из водорода, замещенного или незамещенного  $C_1$ – $C_{12}$  алкила, замещенного или незамещенного  $C_2$ – $C_{12}$  алкинила, замещенного или незамещенного  $C_2$ – $C_{12}$  алкинила;

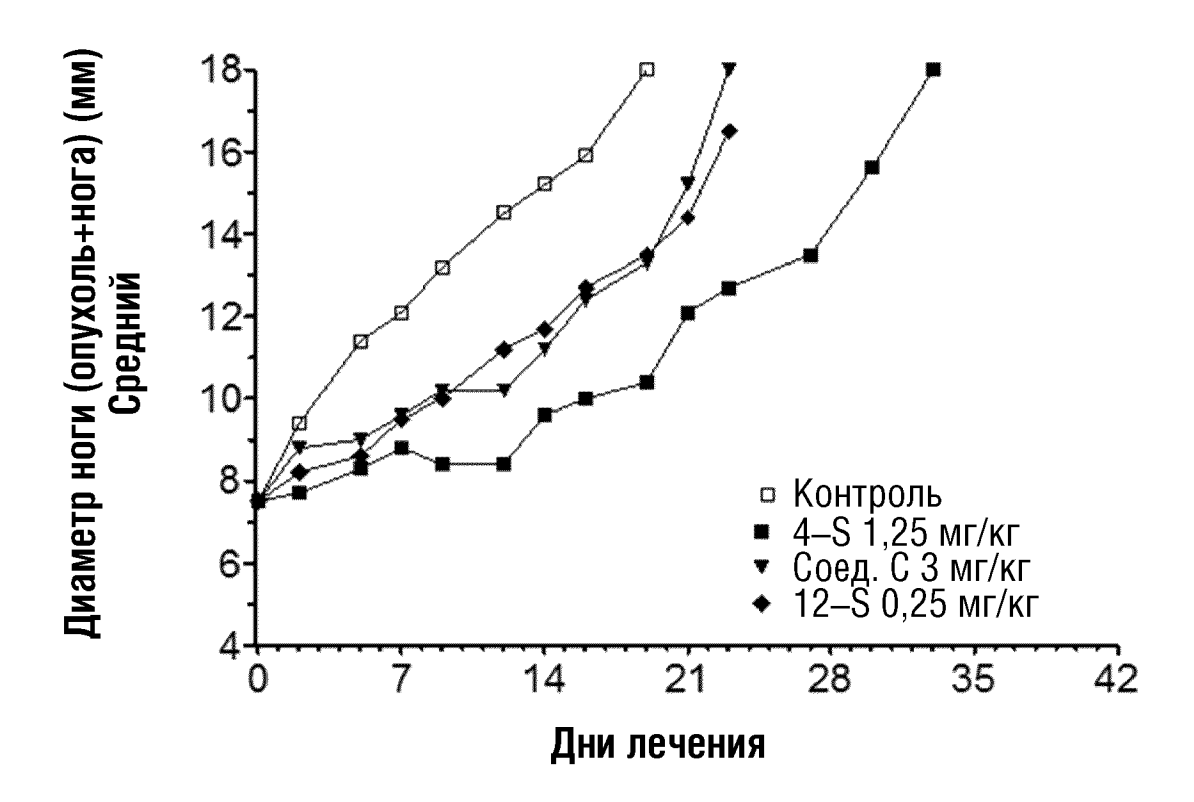
 $R^b$  выбирают из замещенного или незамещенного  $C_1$ – $C_{12}$  алкила, замещенного или незамещенного  $C_2$ – $C_{12}$  алкинила;

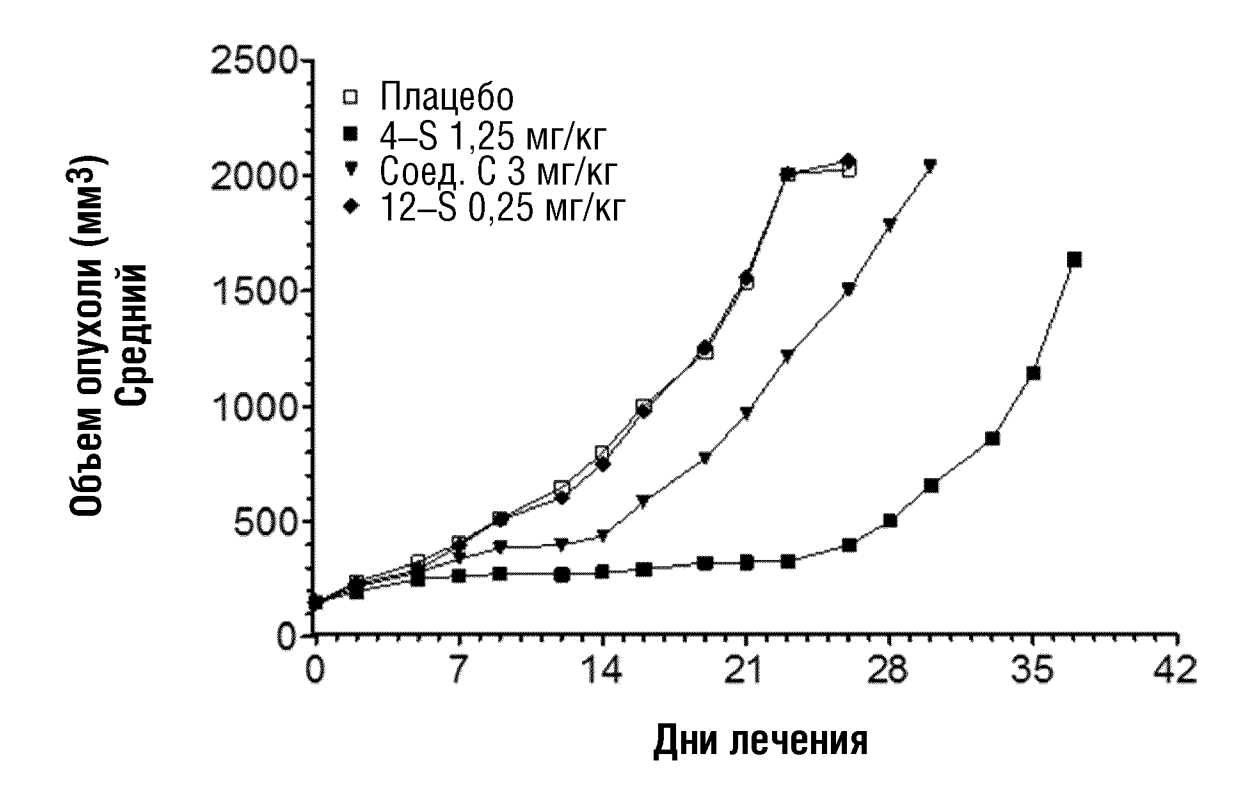
И

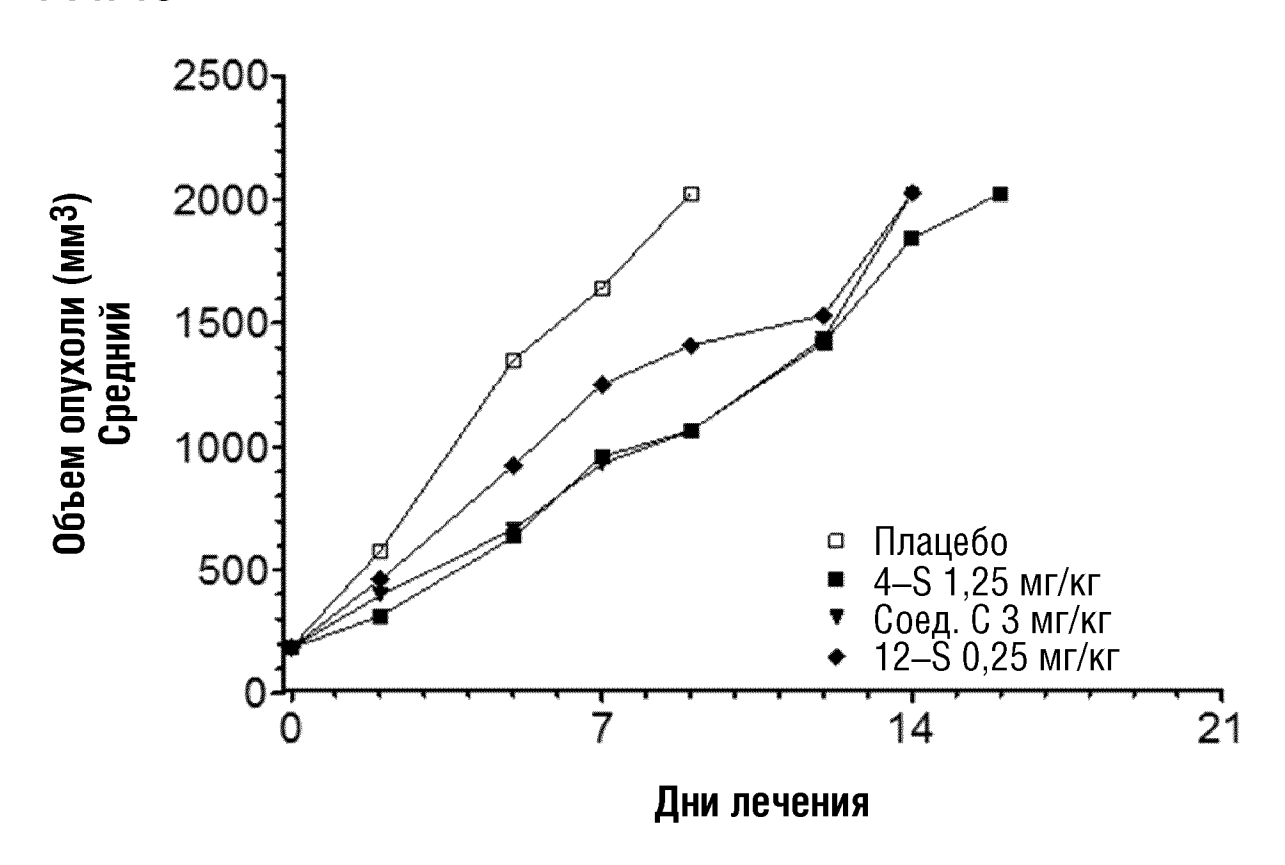
 $Prot^{NH}$  является защитной группой для амино.

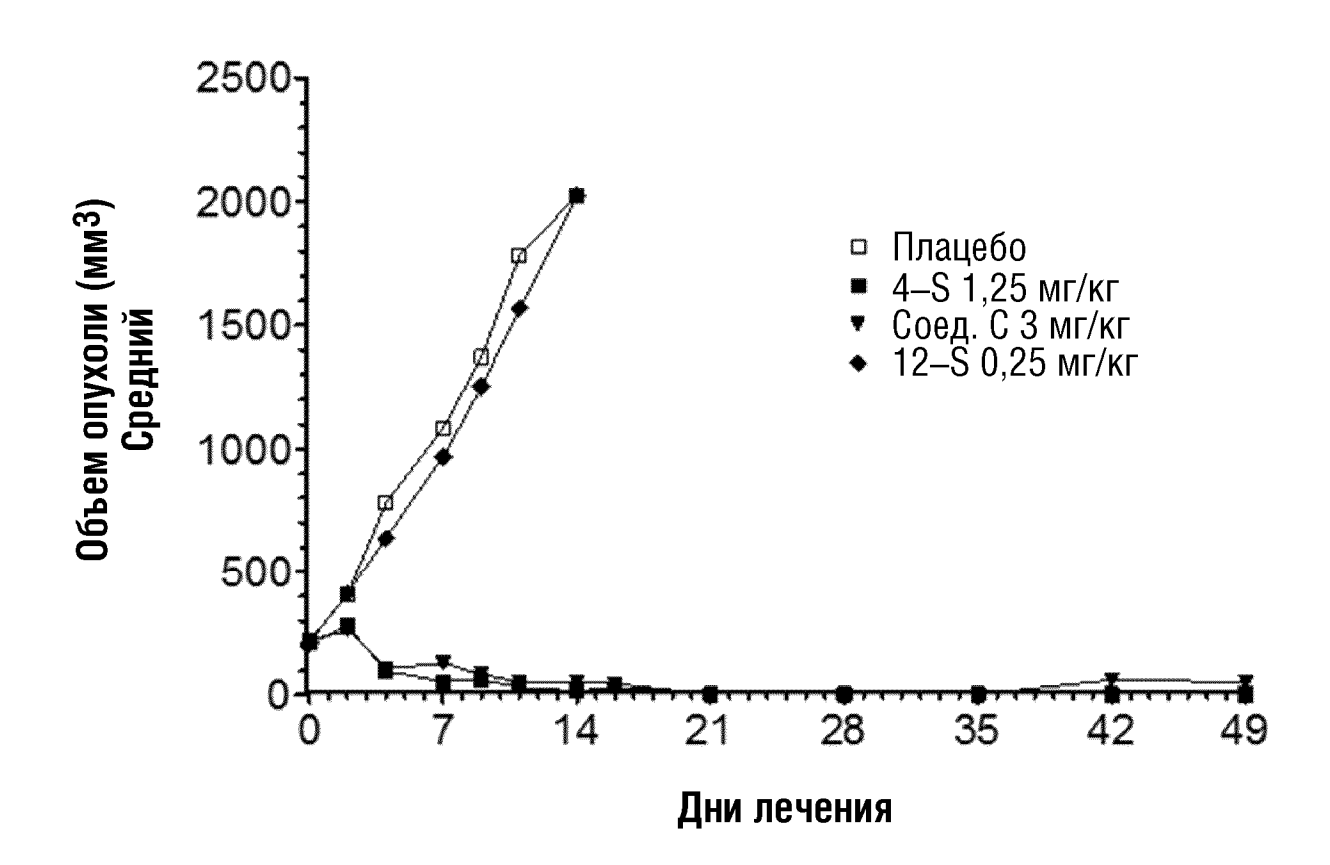
- 29. Способ по пункту 28, включающий дополнительную стадию замещения цианогруппы в соединении формулы IV гидроксигруппой с получением соединения формулы IE, где  $R_1$  является OH.
- 30. Набор, содержащий терапевтически эффективное количество соединения по любому из пунктов 1–18 и фармацевтически приемлемый носитель.
- 31. Набор по пункту 30 дополнительно содержащий инструкции по применению соединения в лечении рака, выбранного из рака легких, включая немелкоклеточный рак легких и мелкоклеточный рак легких, рака толстой кишки, рака прямой и ободочной кишки, рака молочной железы, рака поджелудочной железы, саркомы, рака яичников, рака простаты и рака желудка.

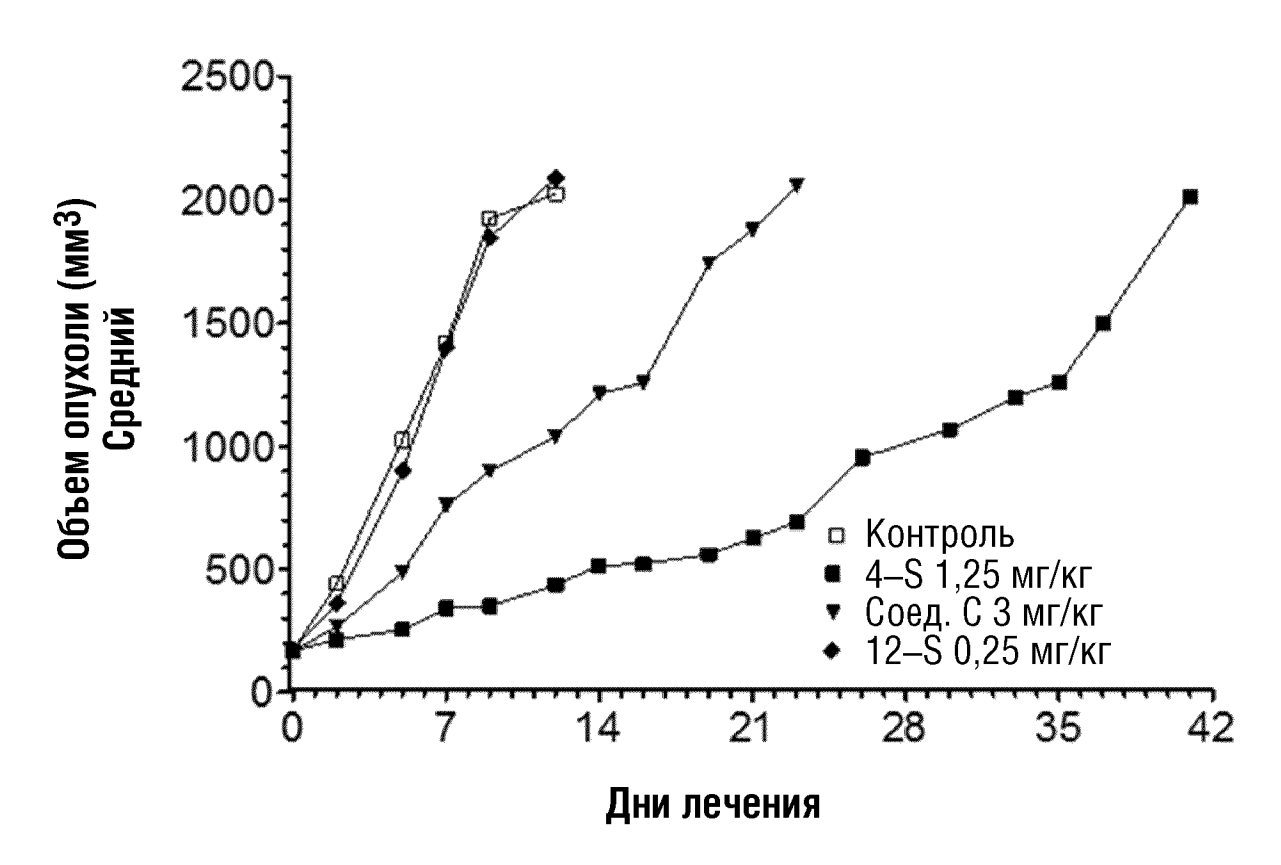
По доверенности

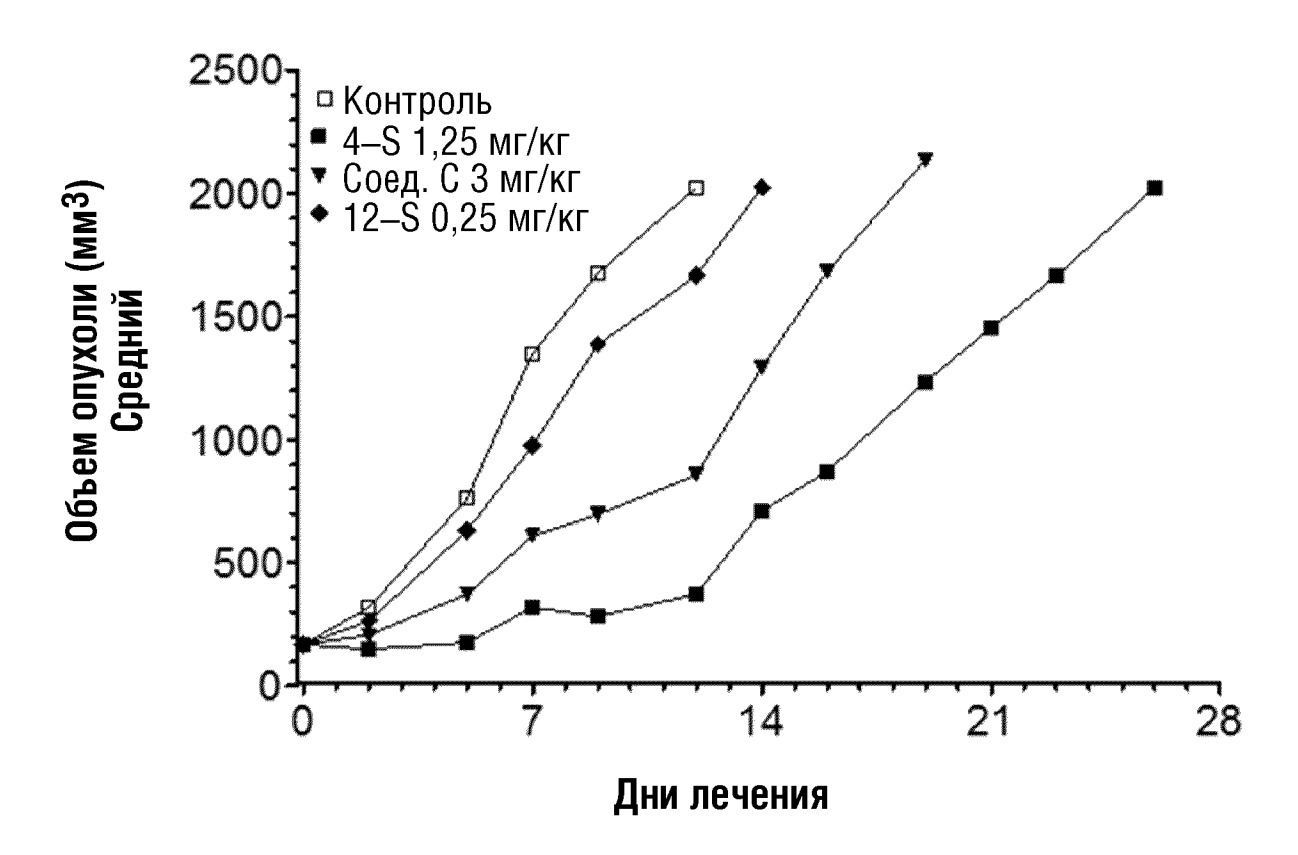


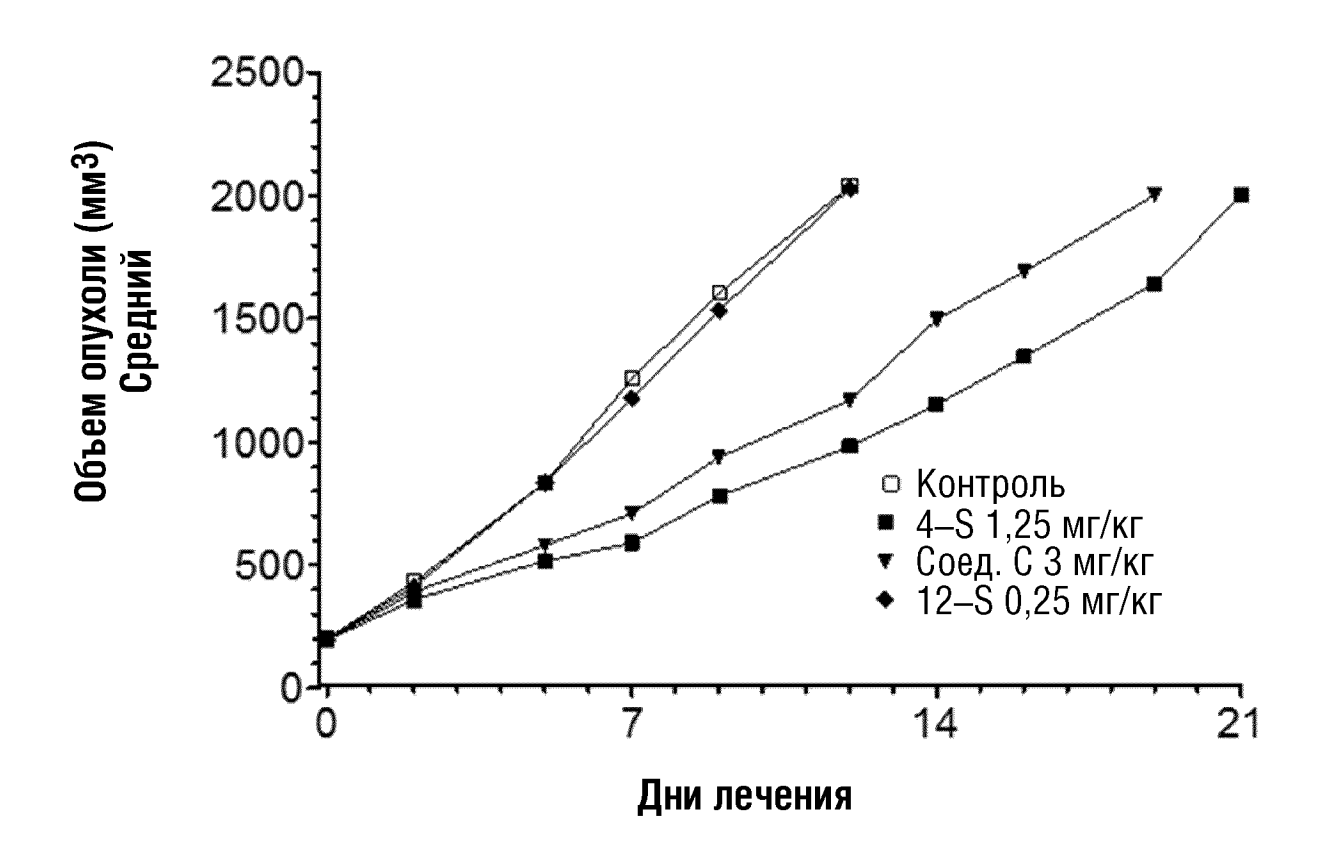




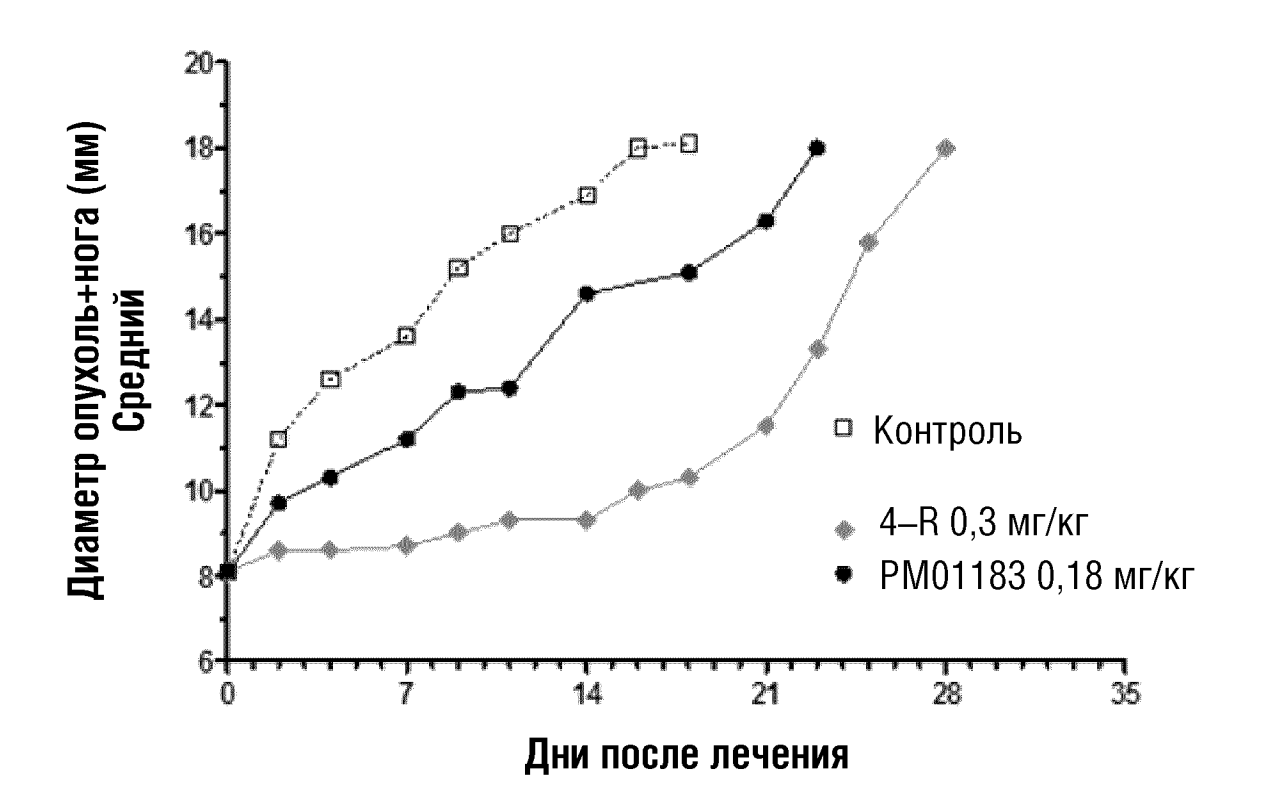


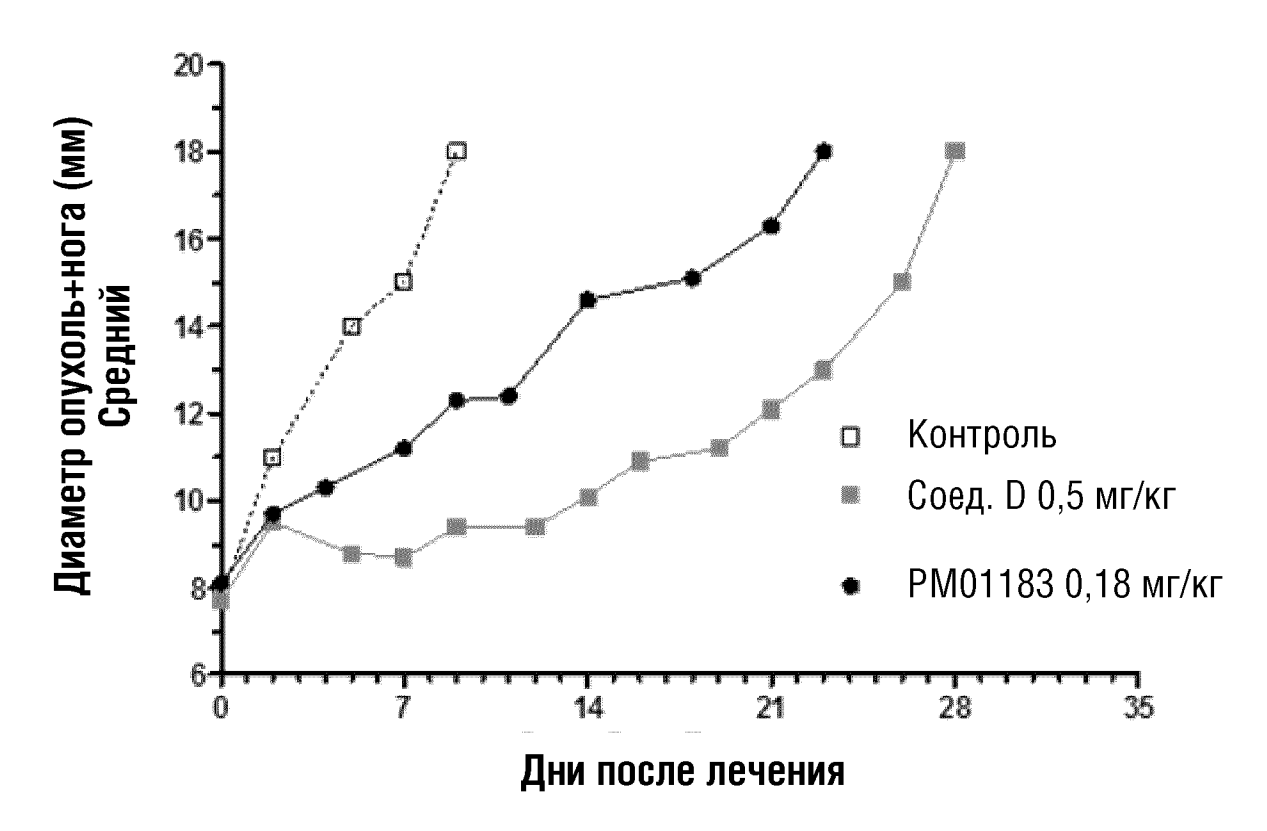


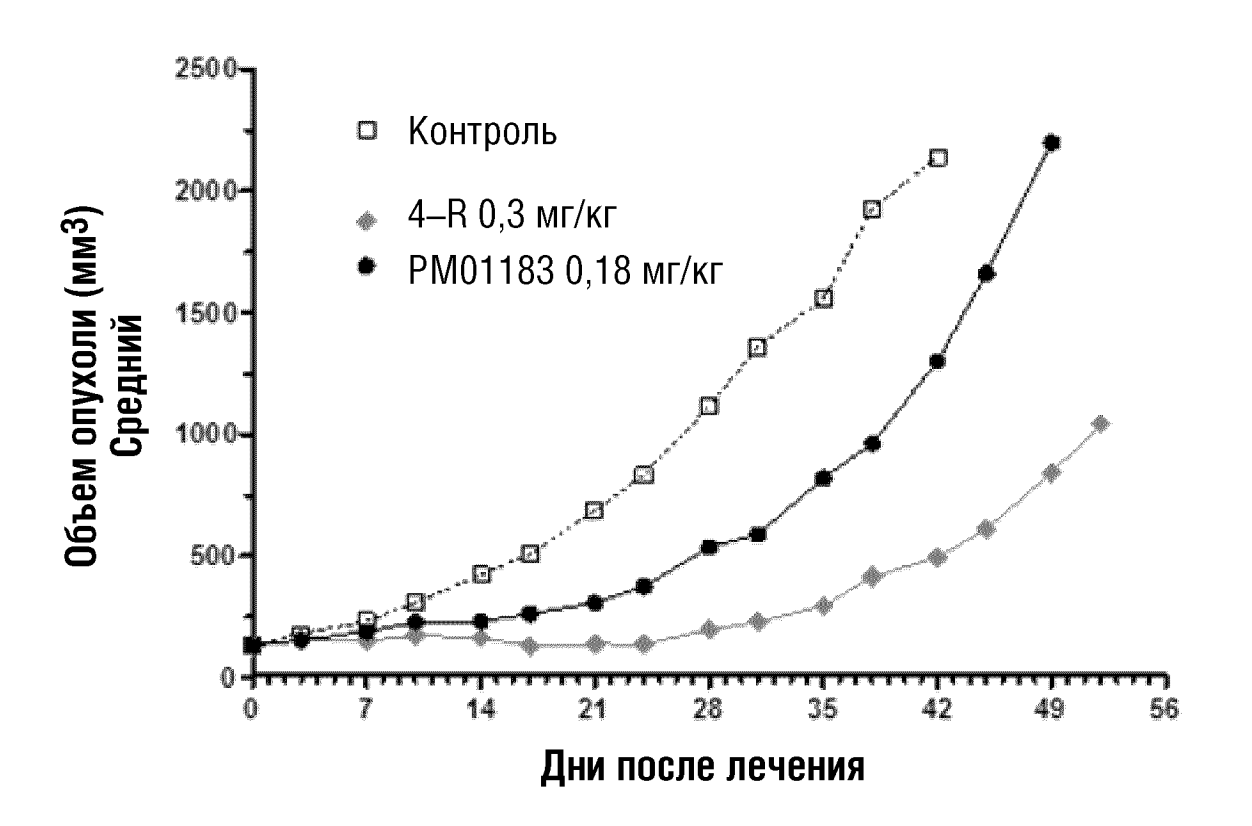




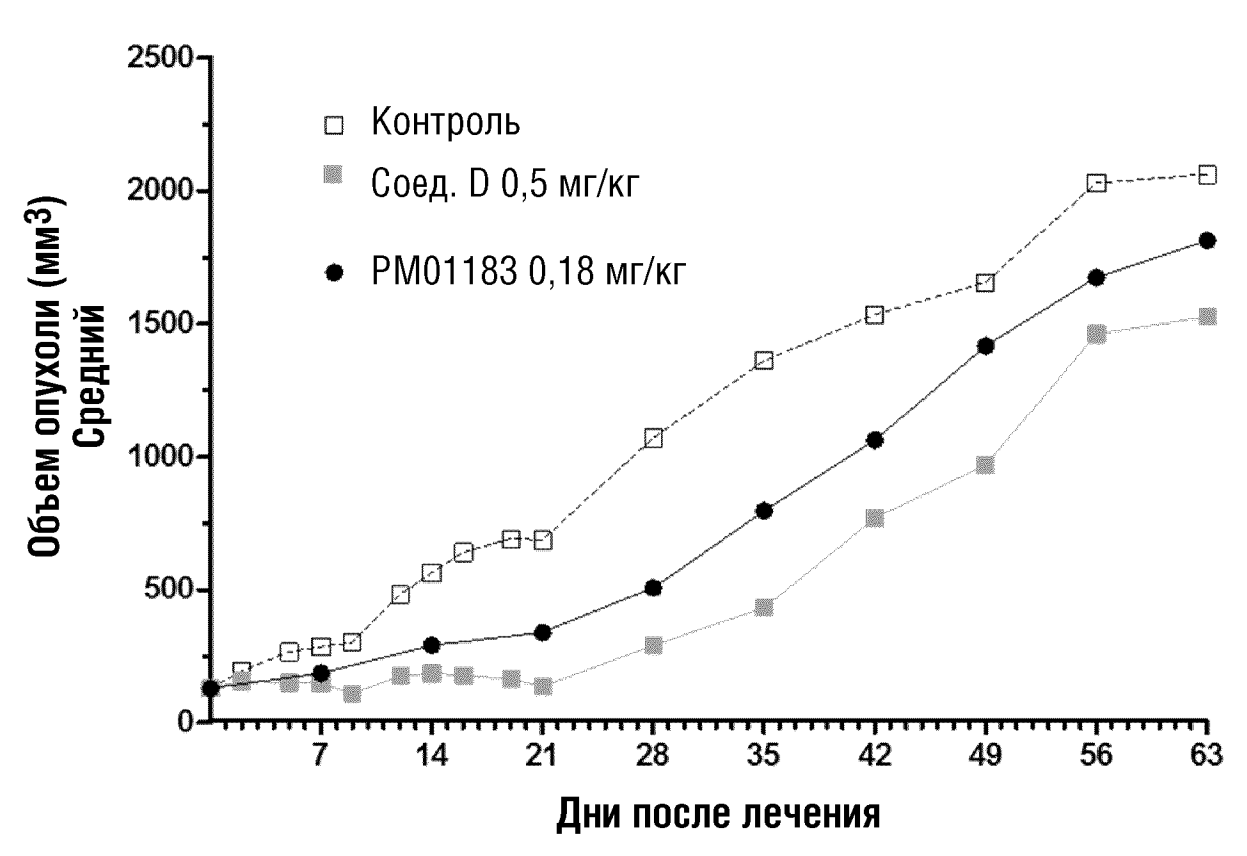
### 8. П МФ

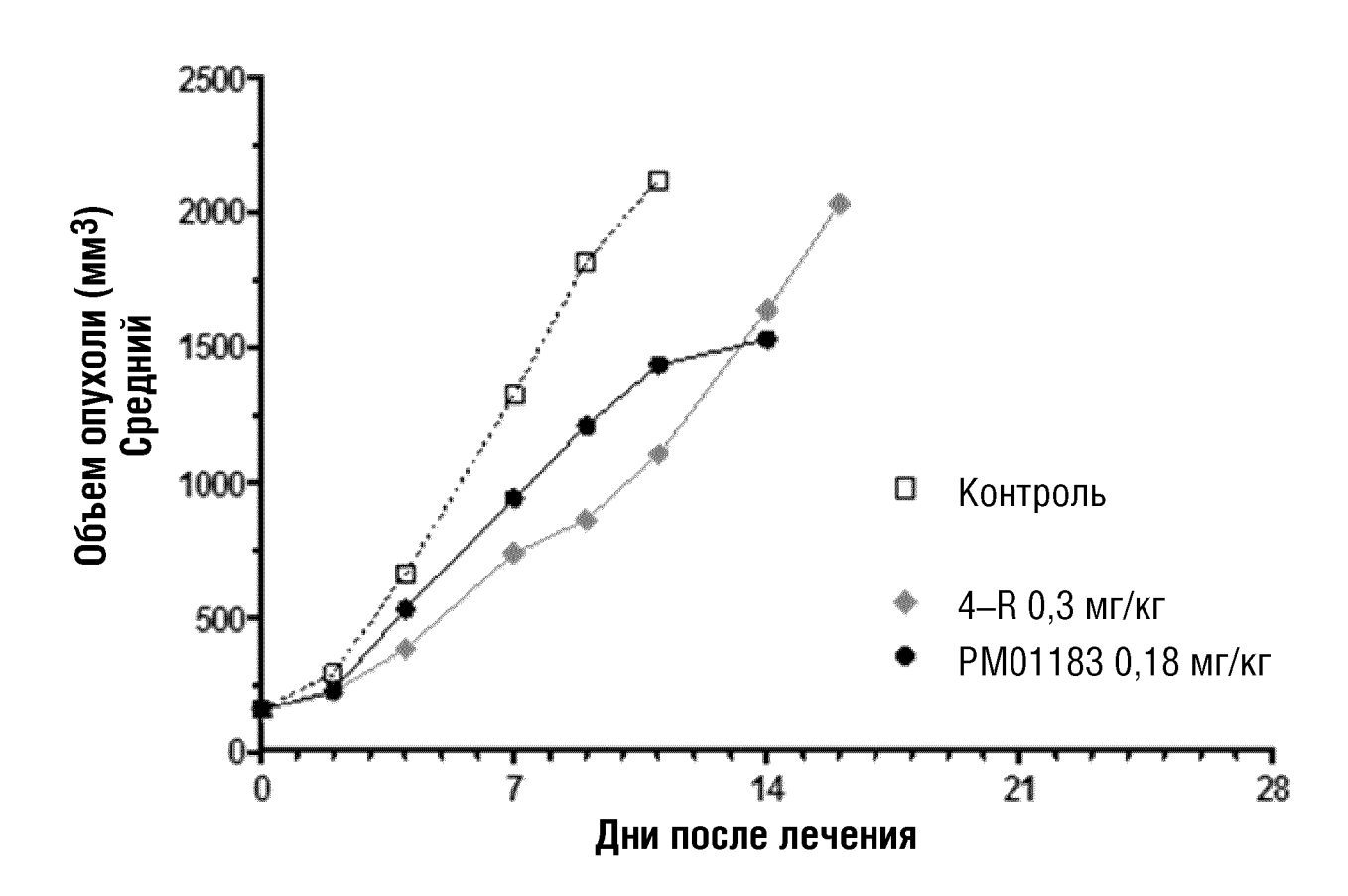


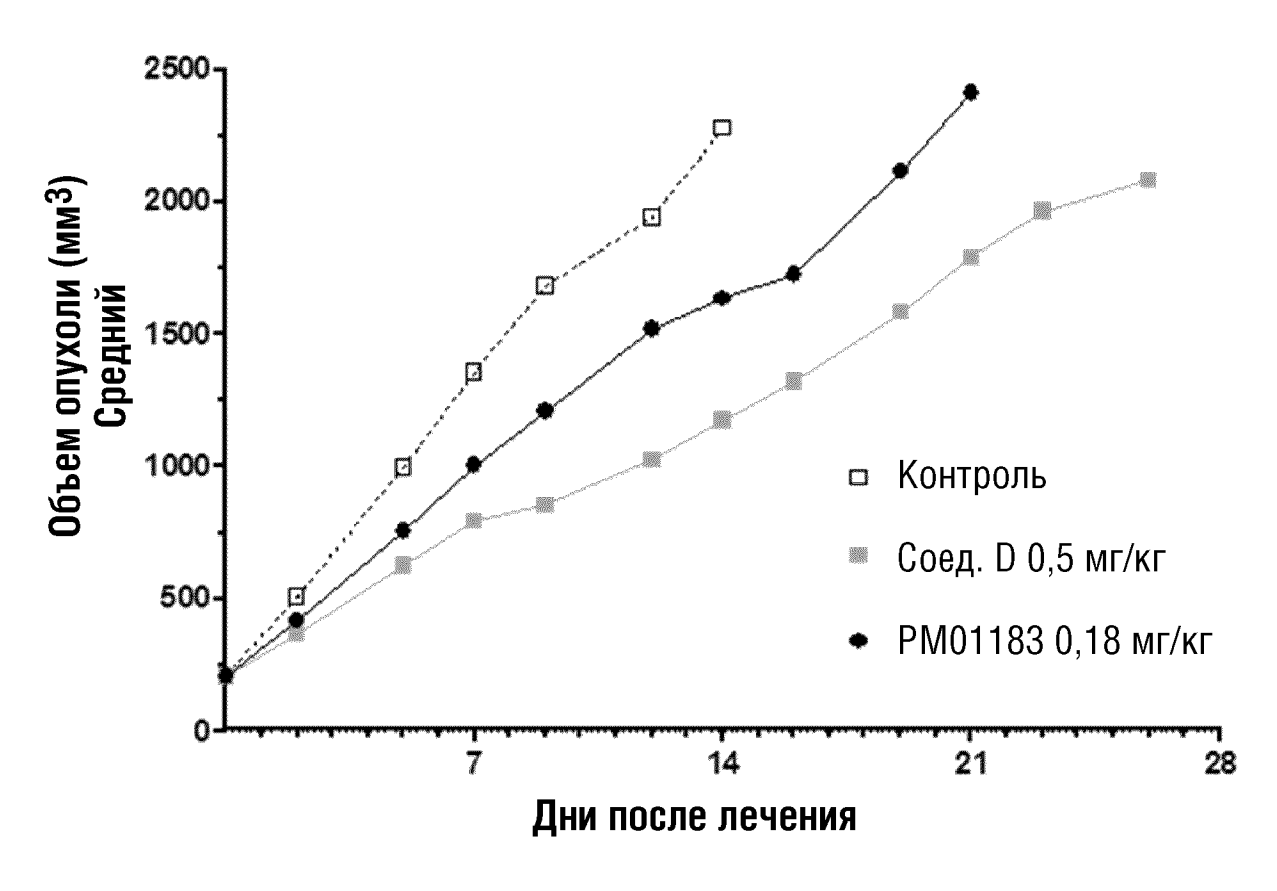




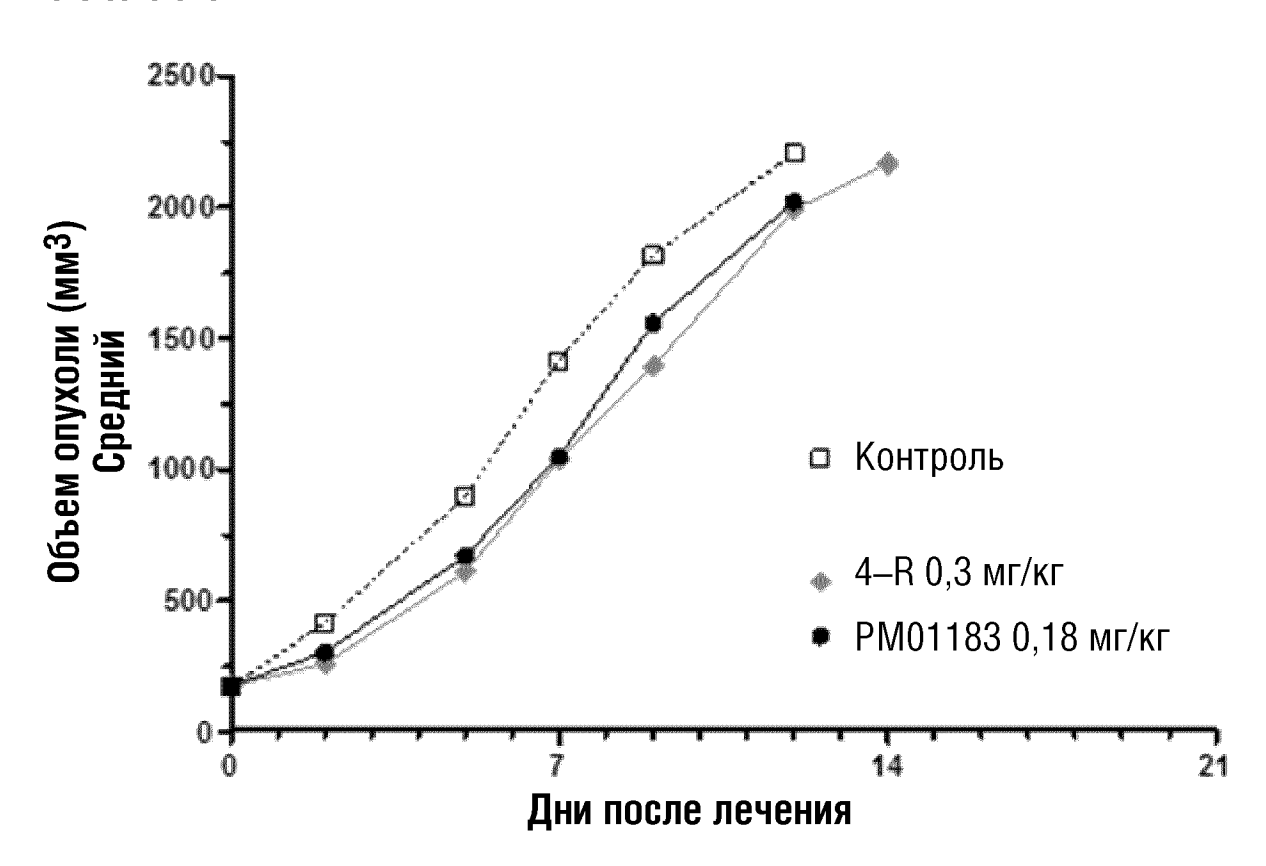


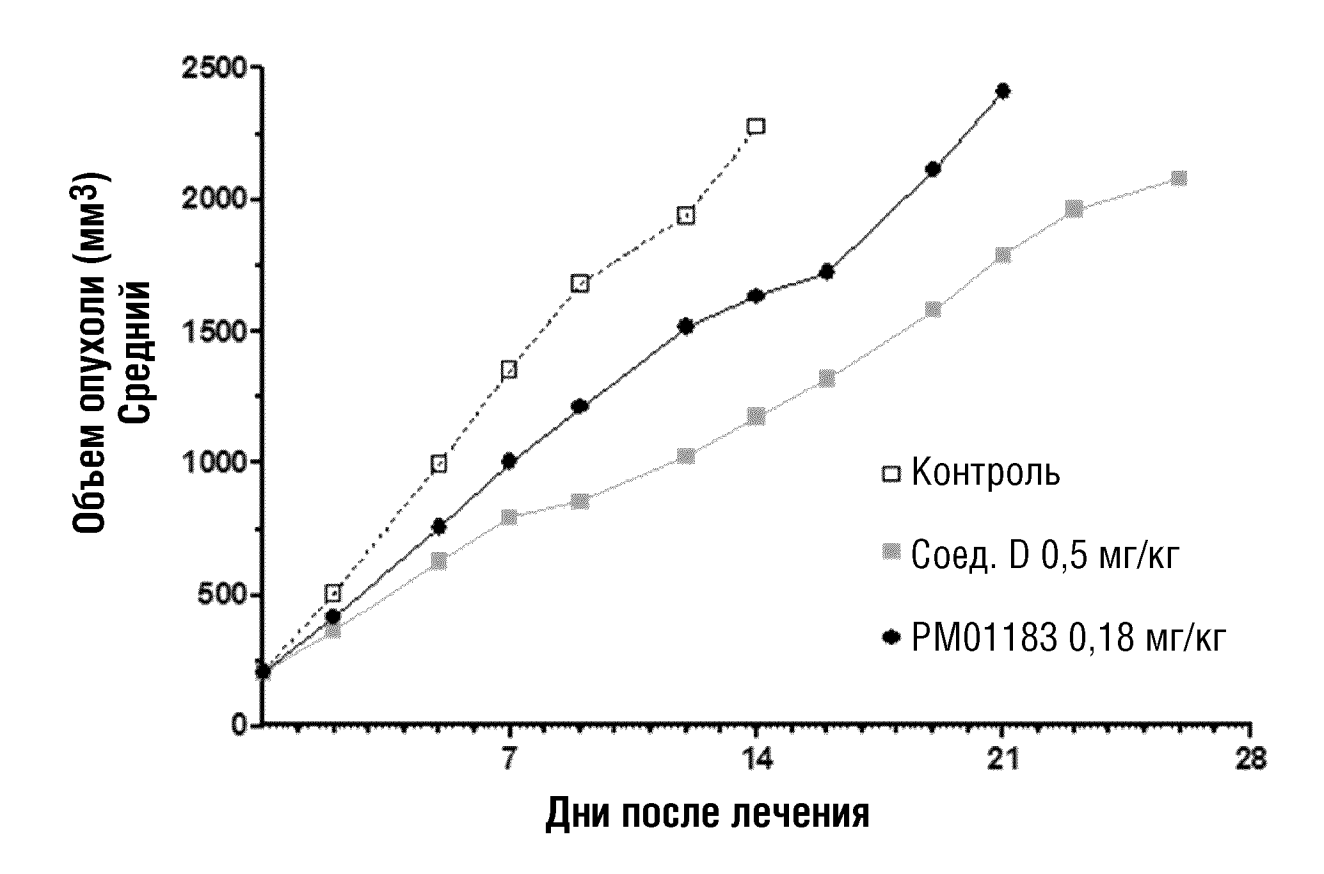


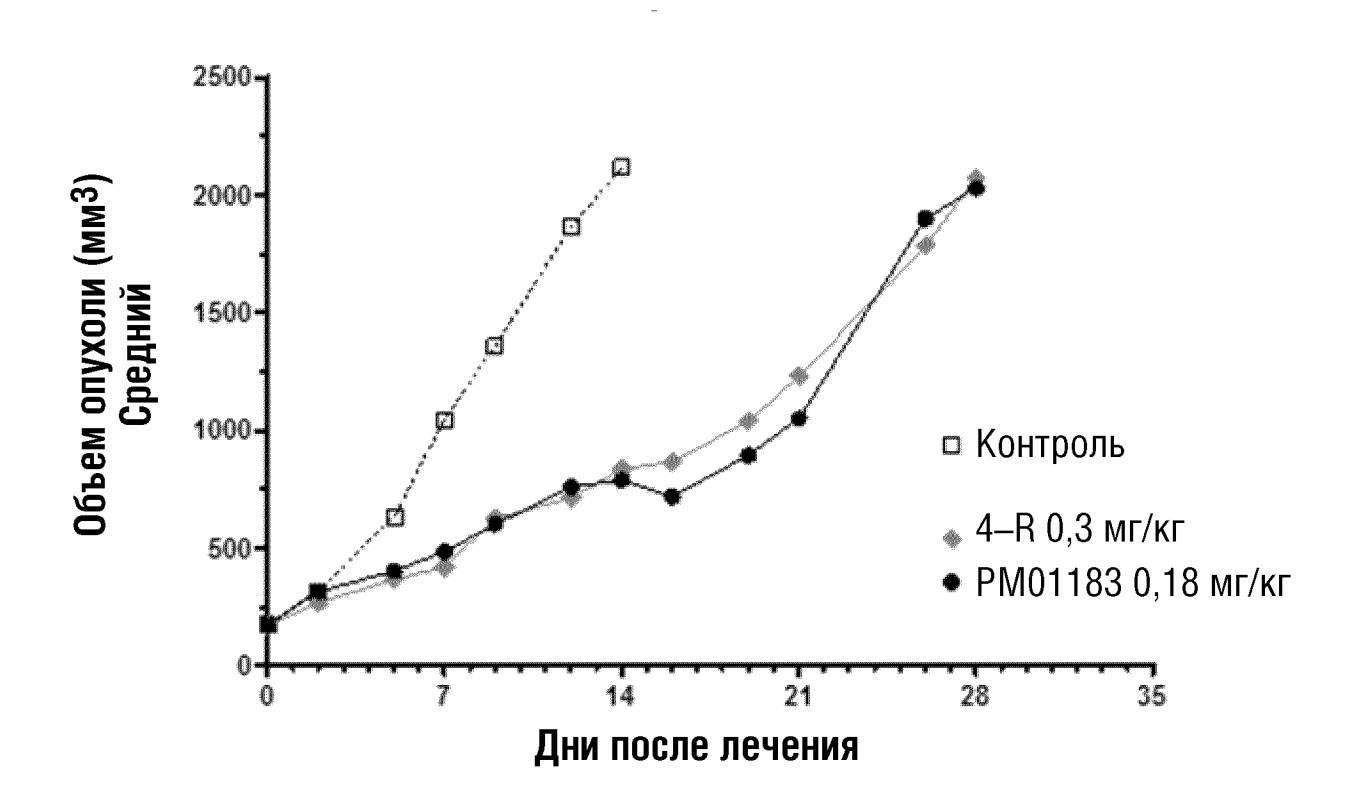


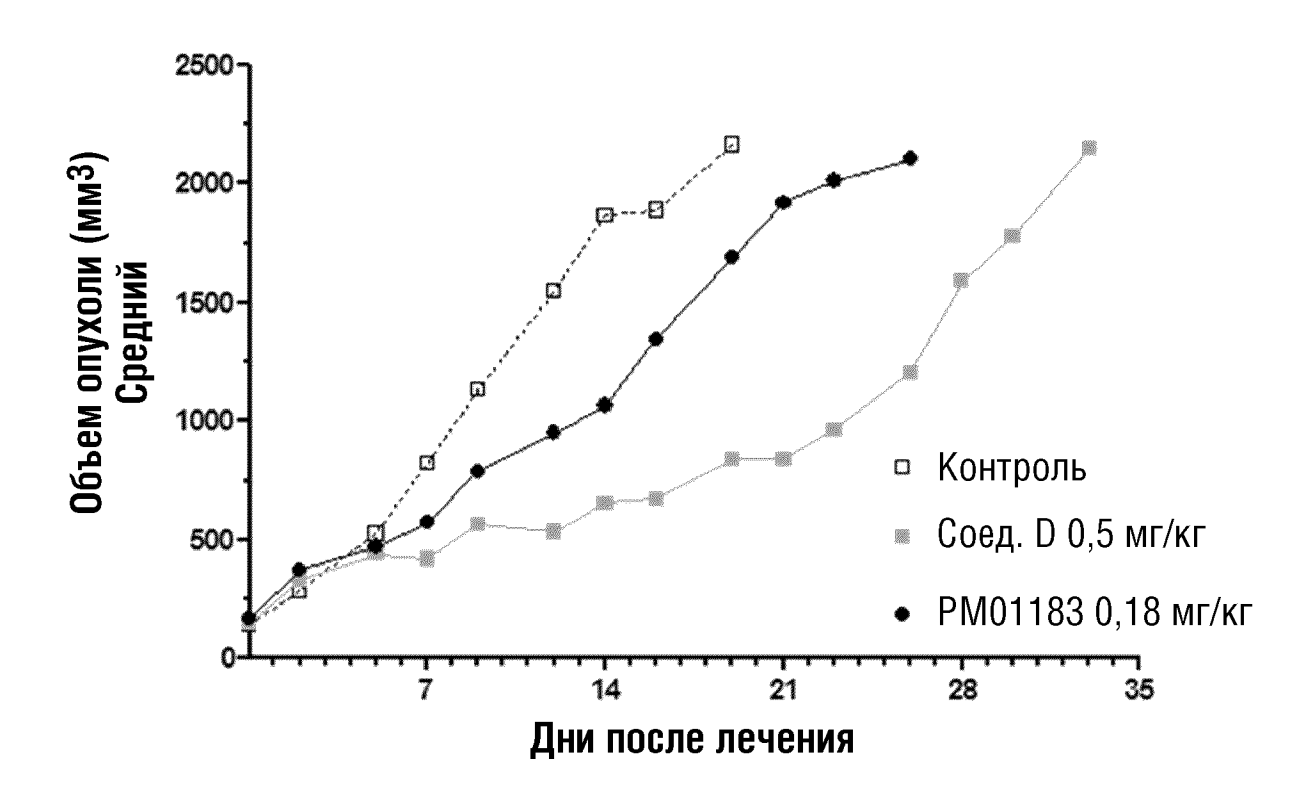


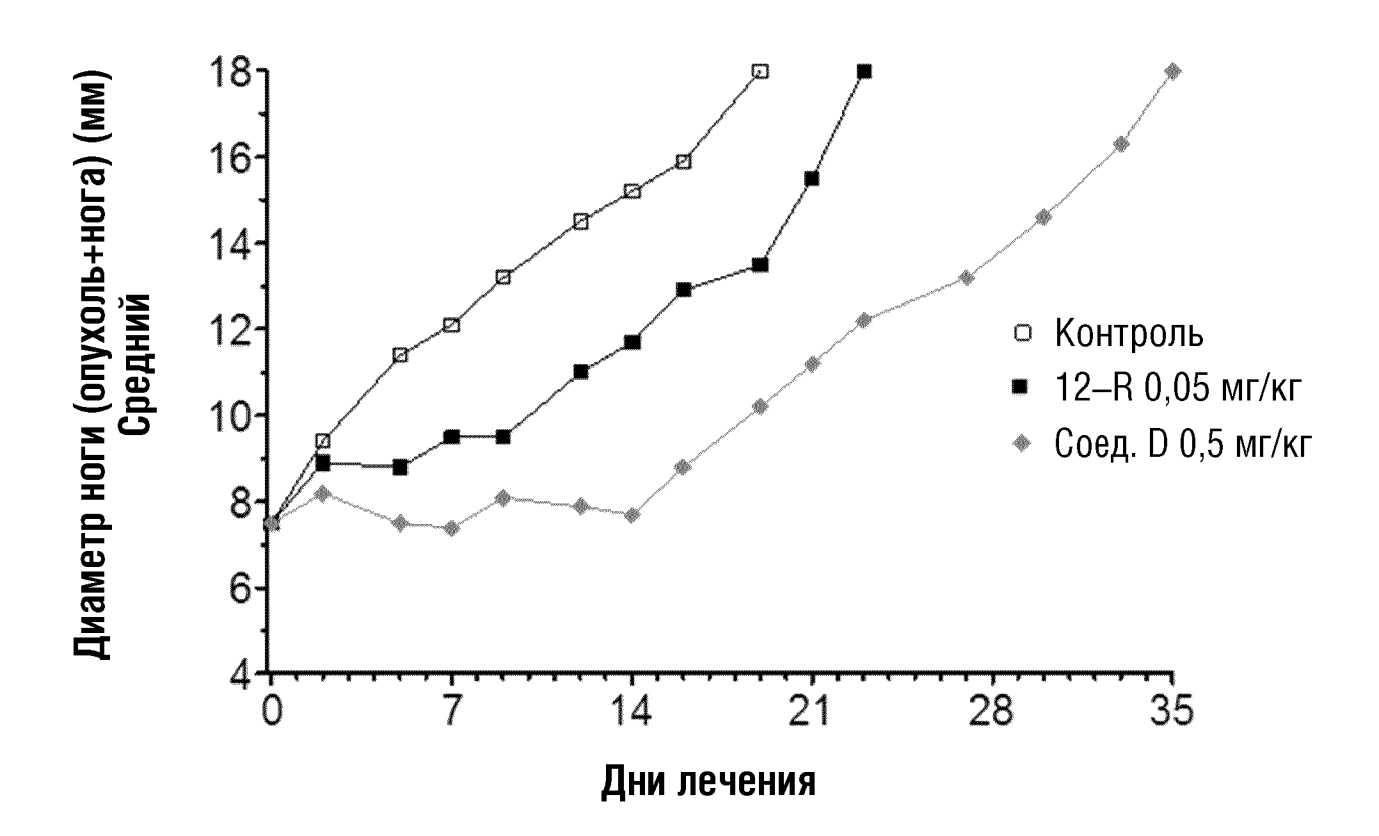


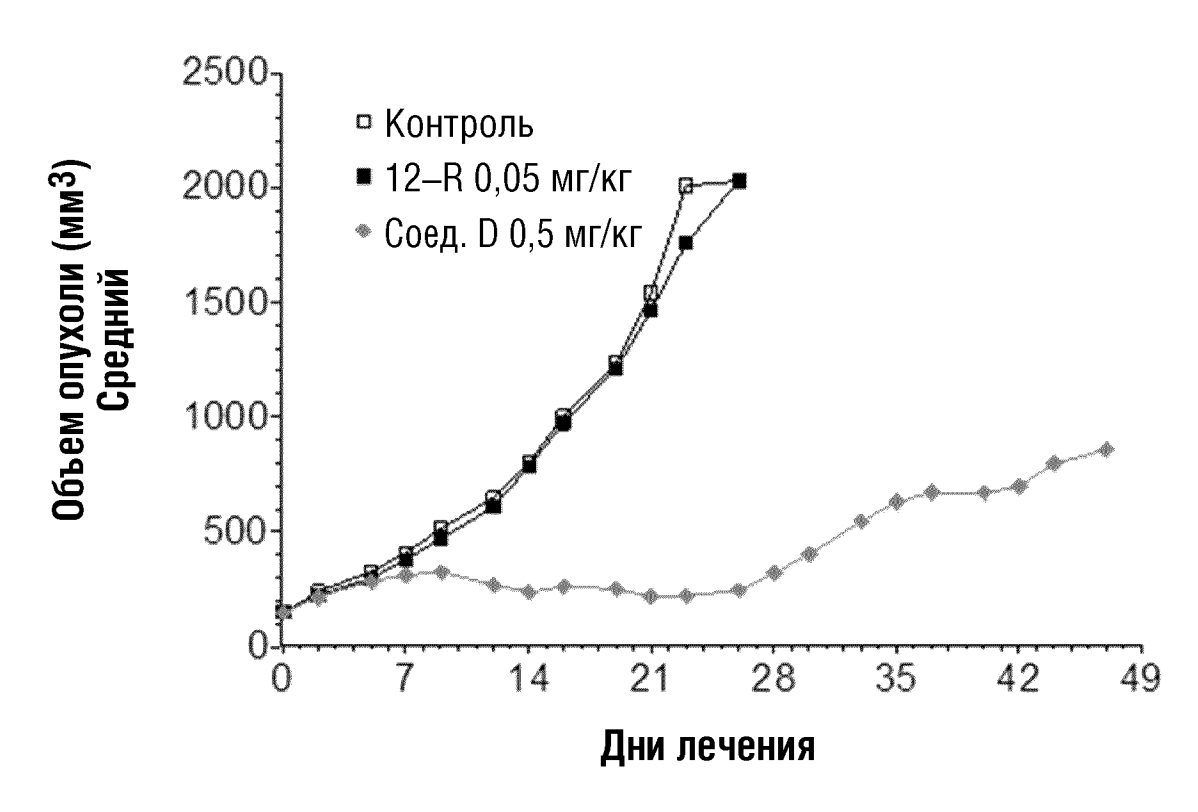


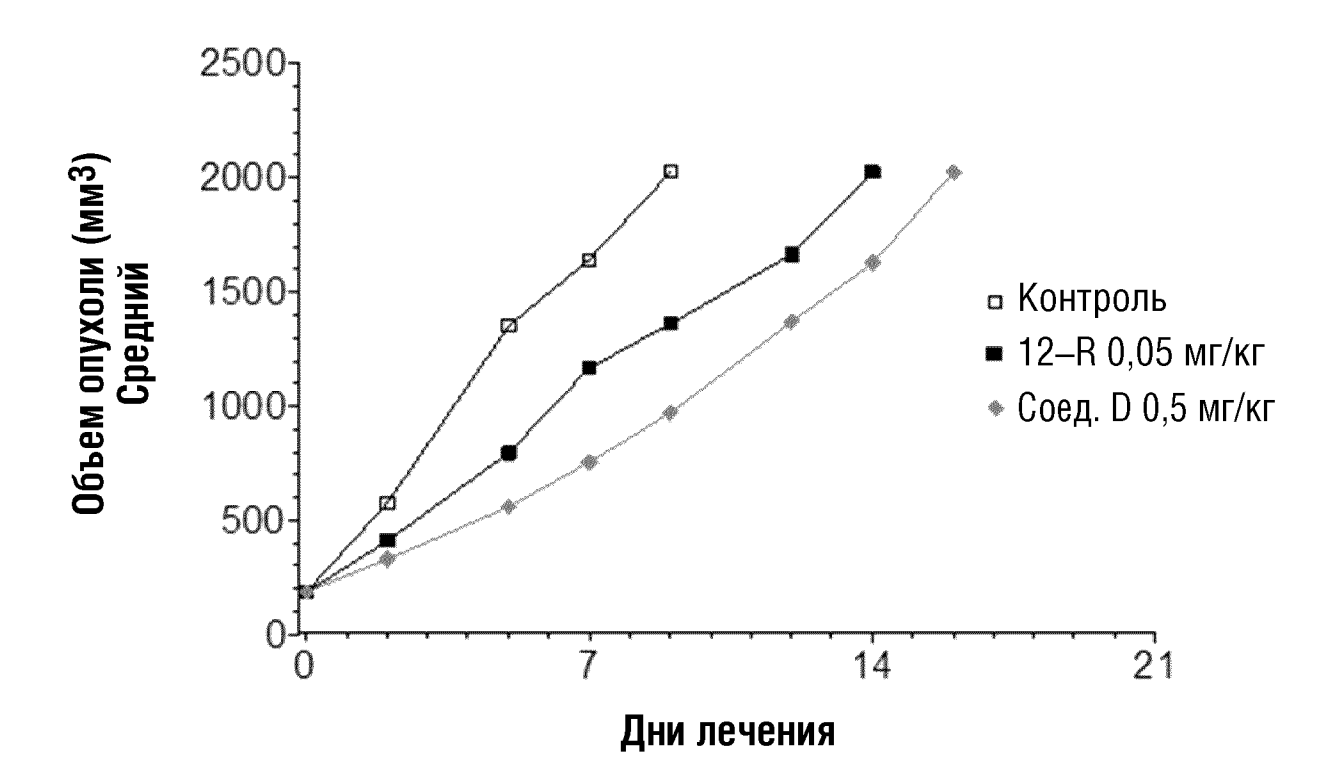


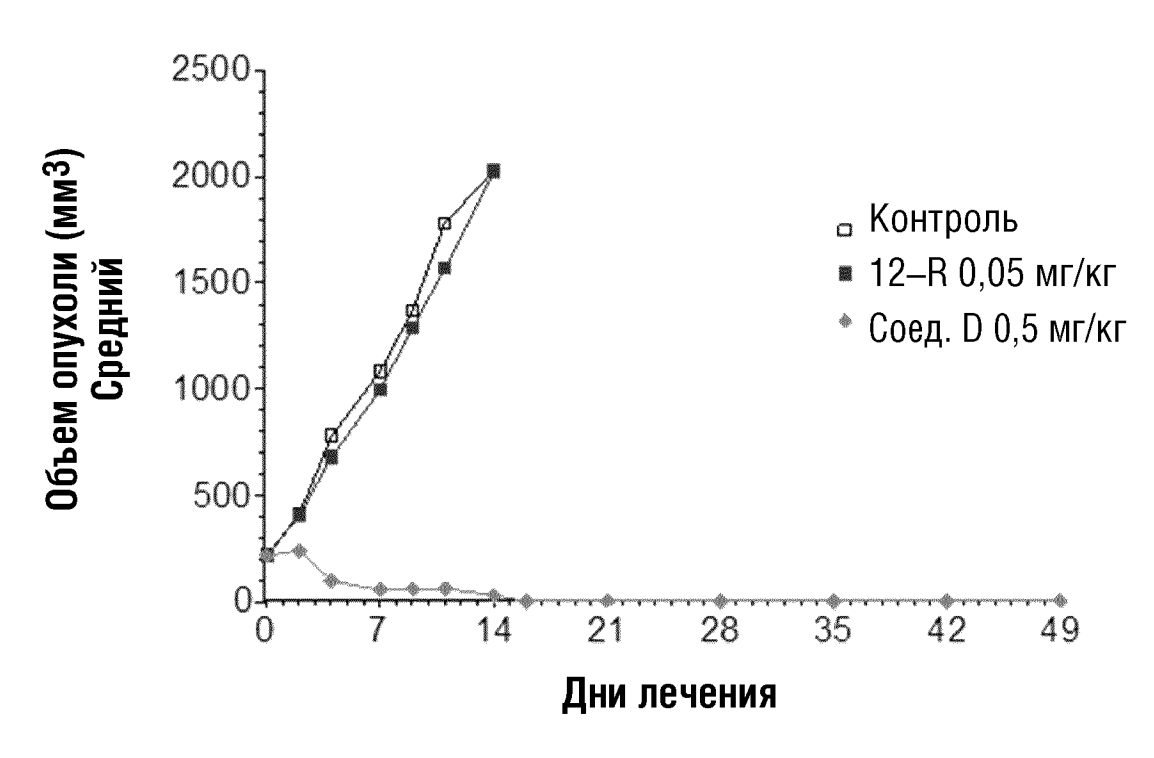


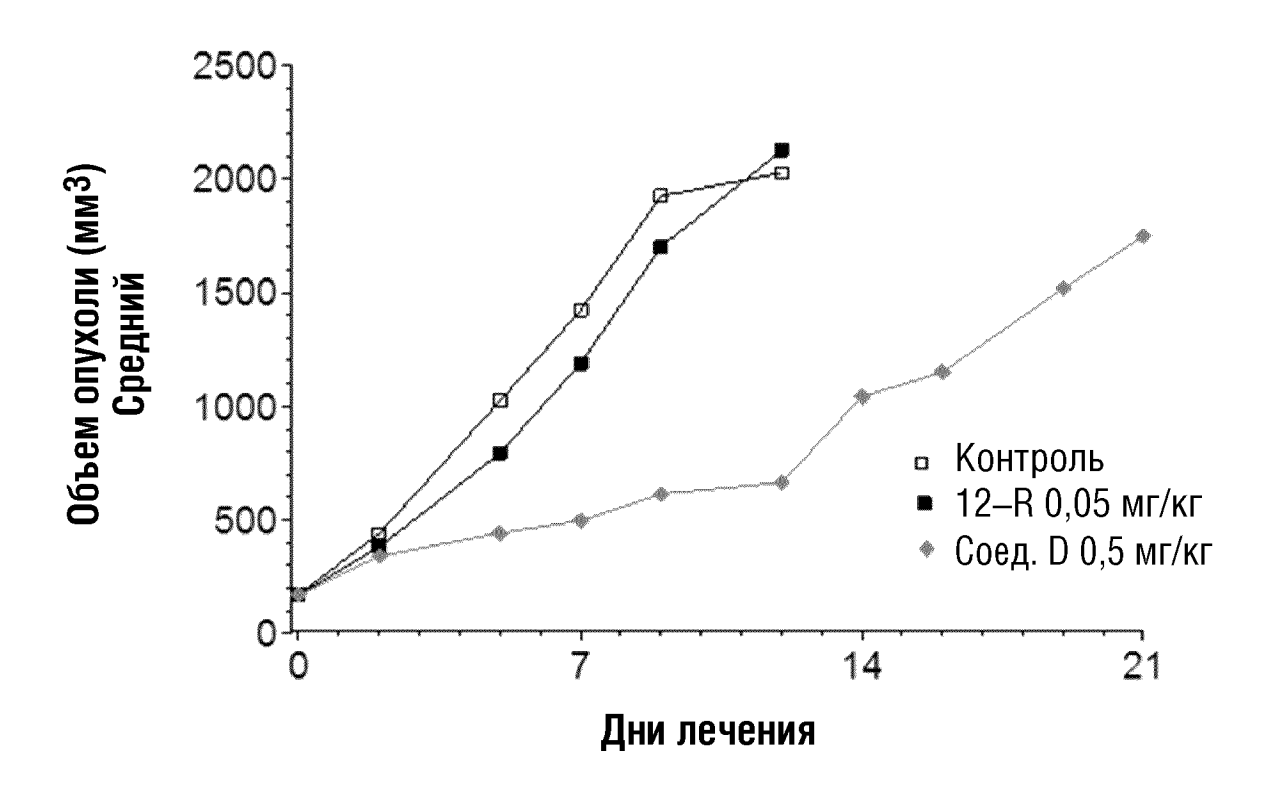


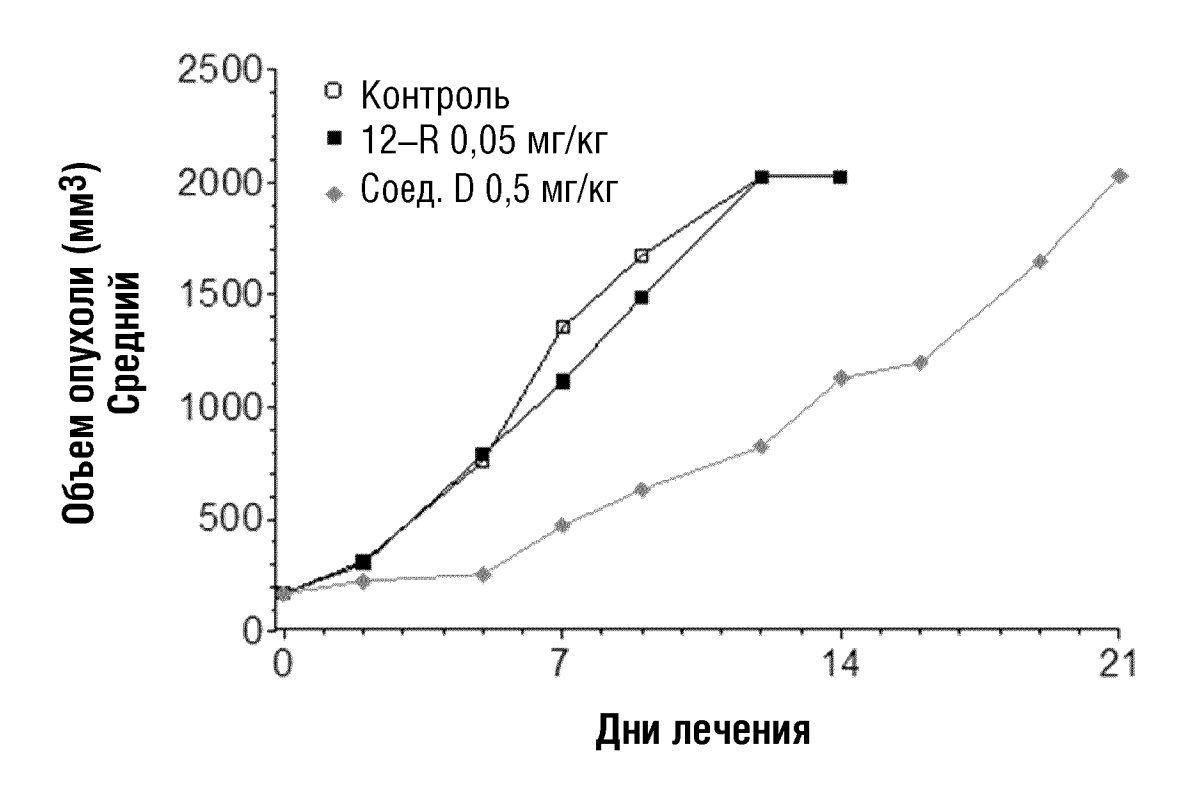


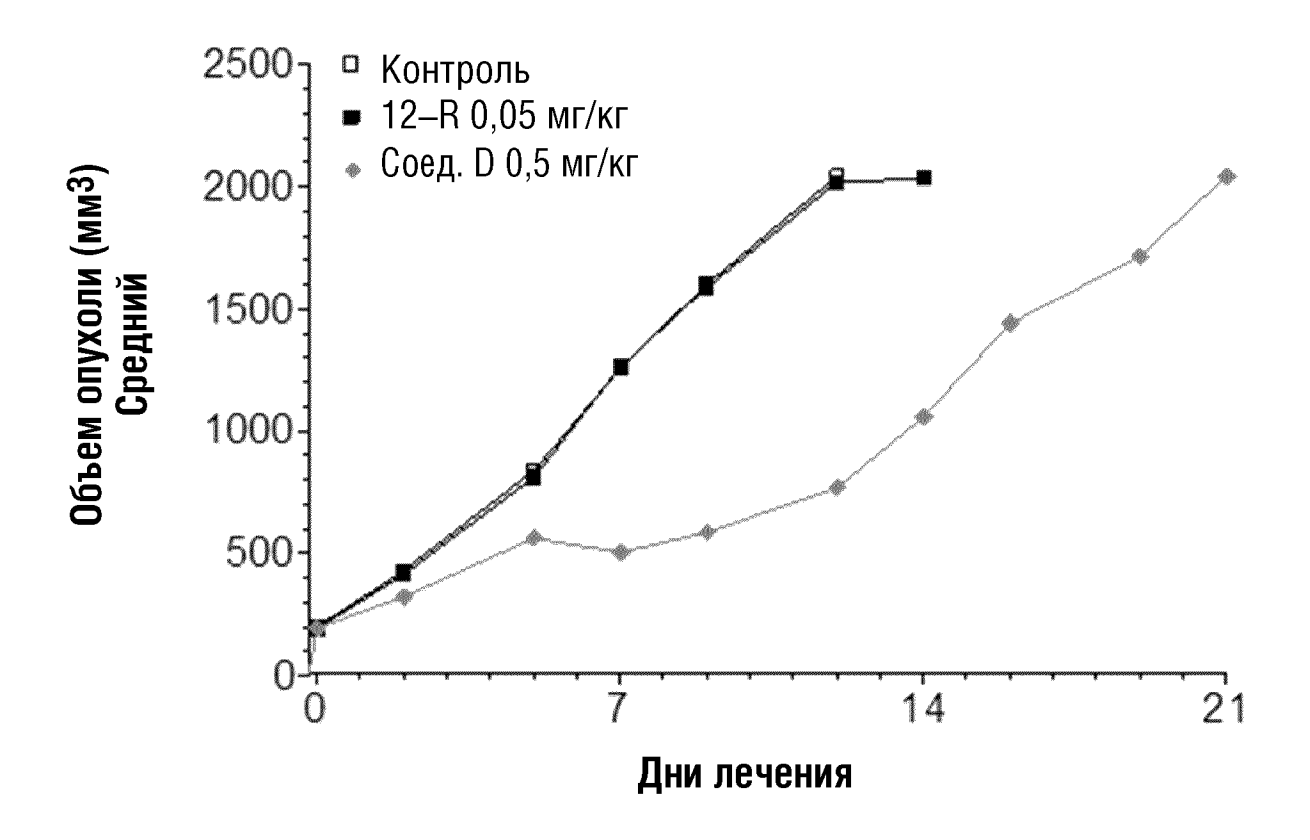




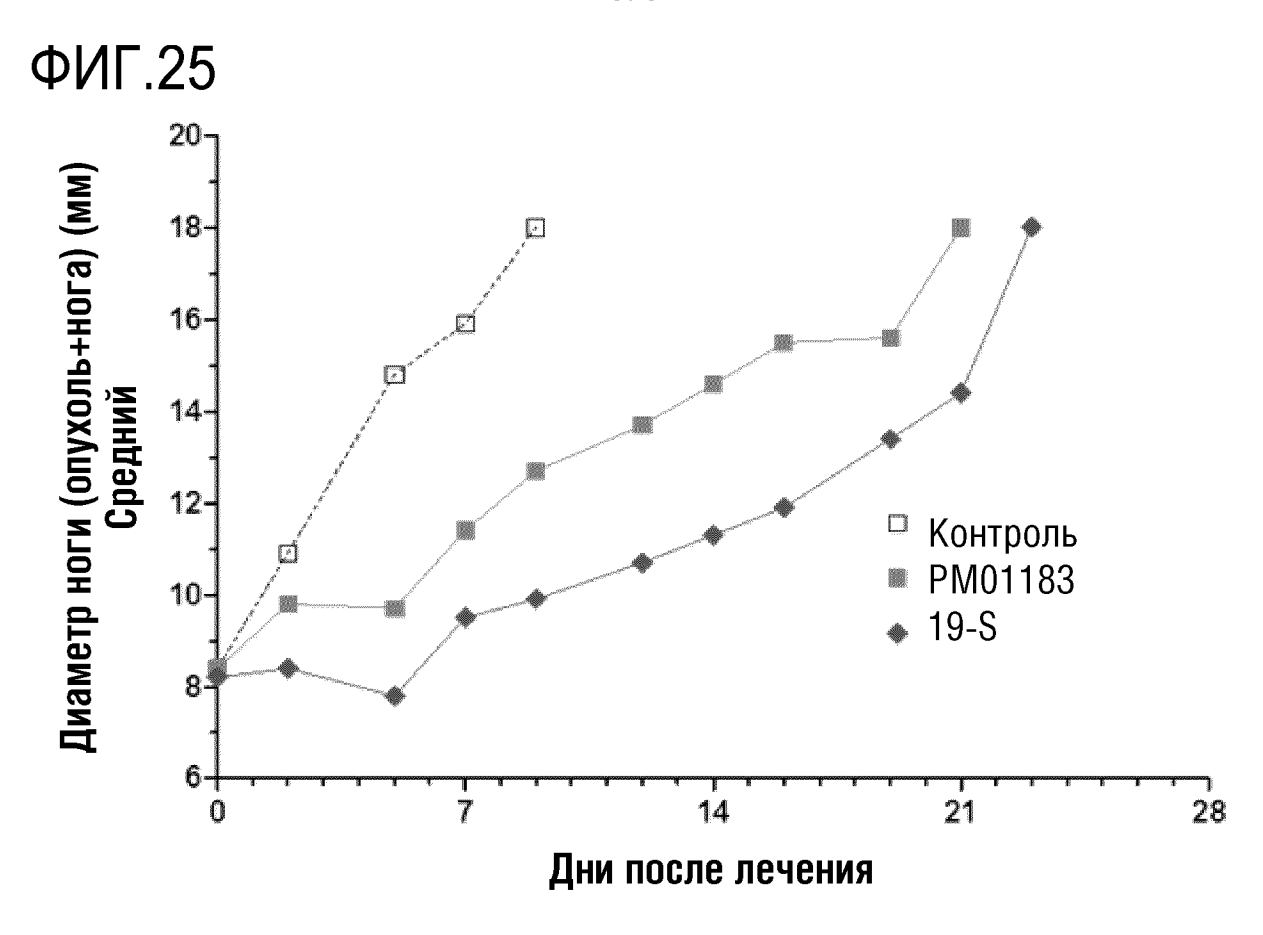


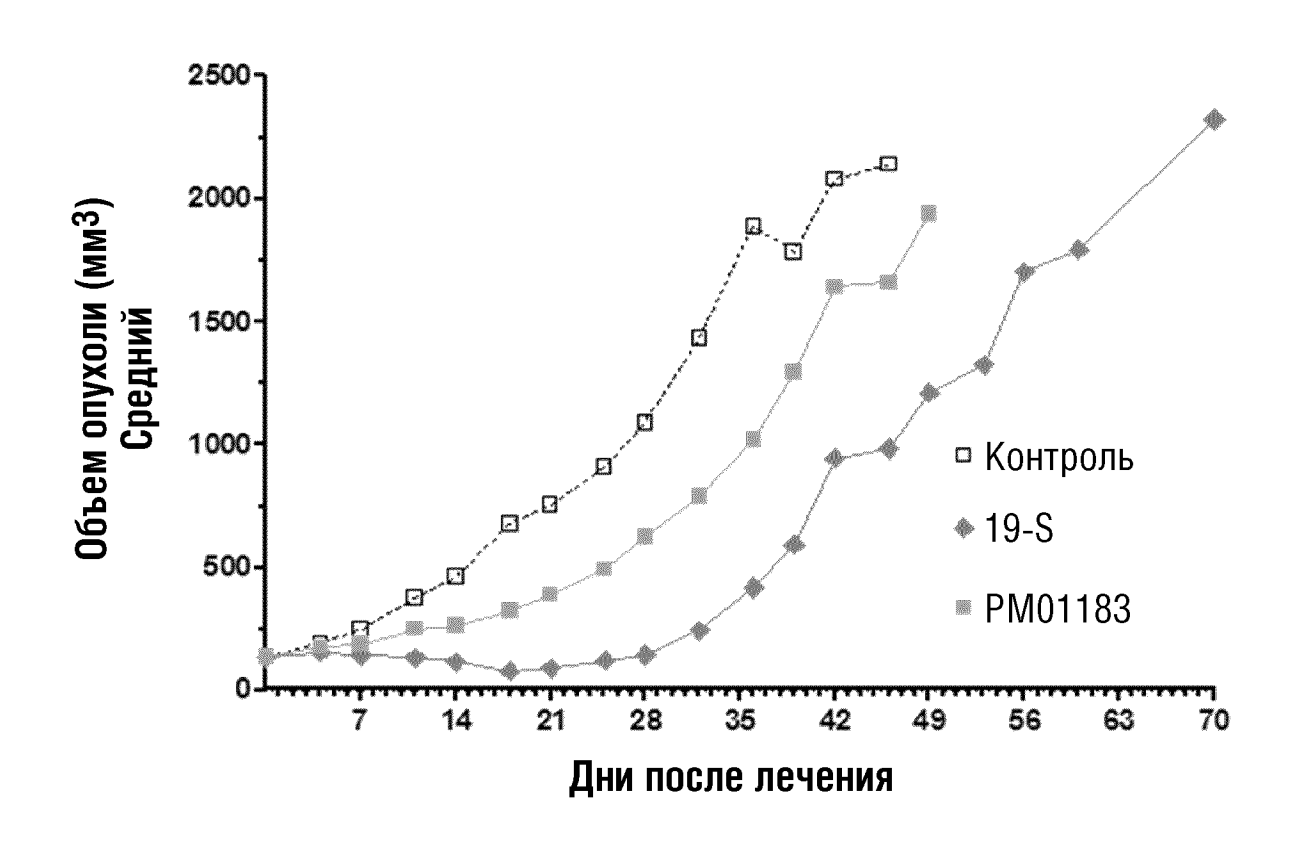




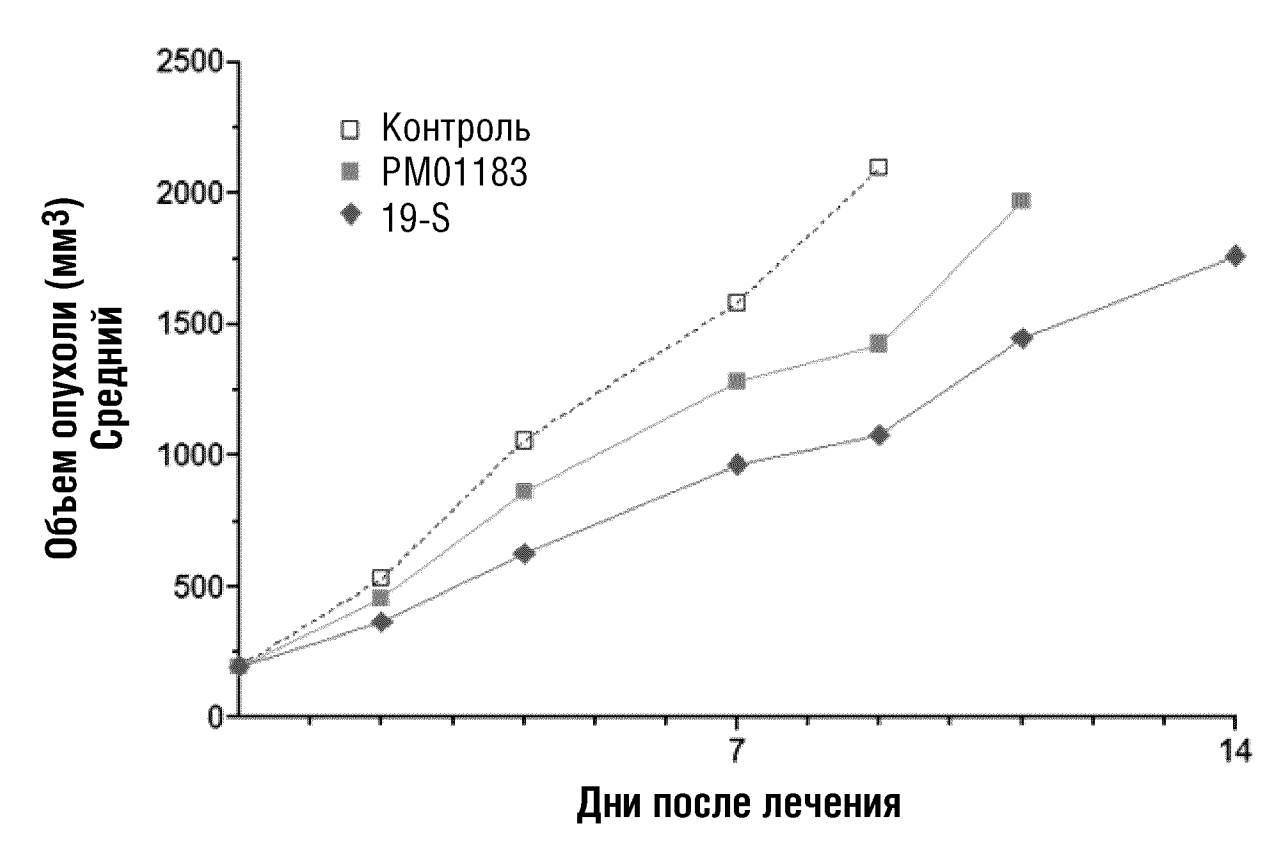


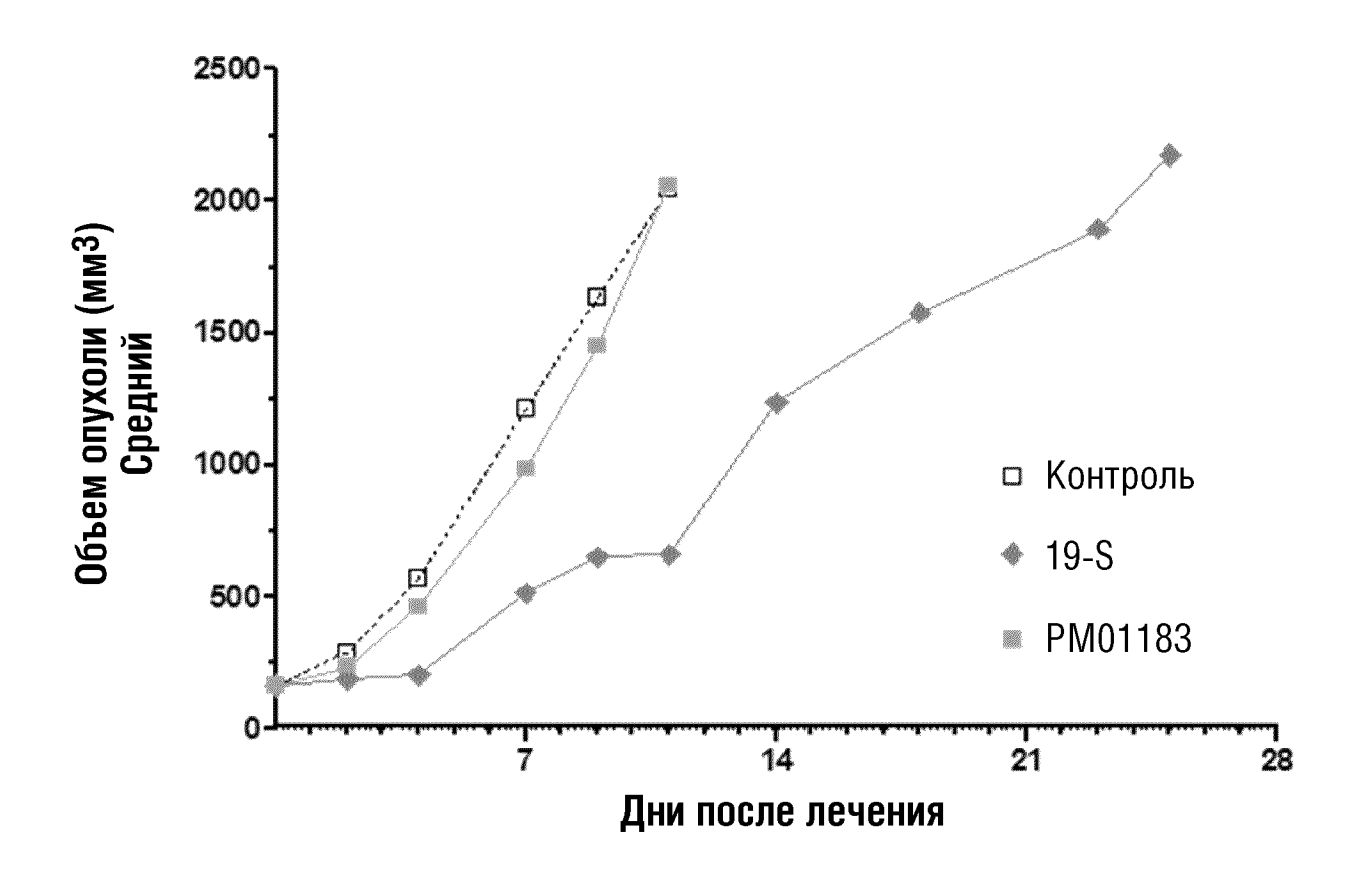




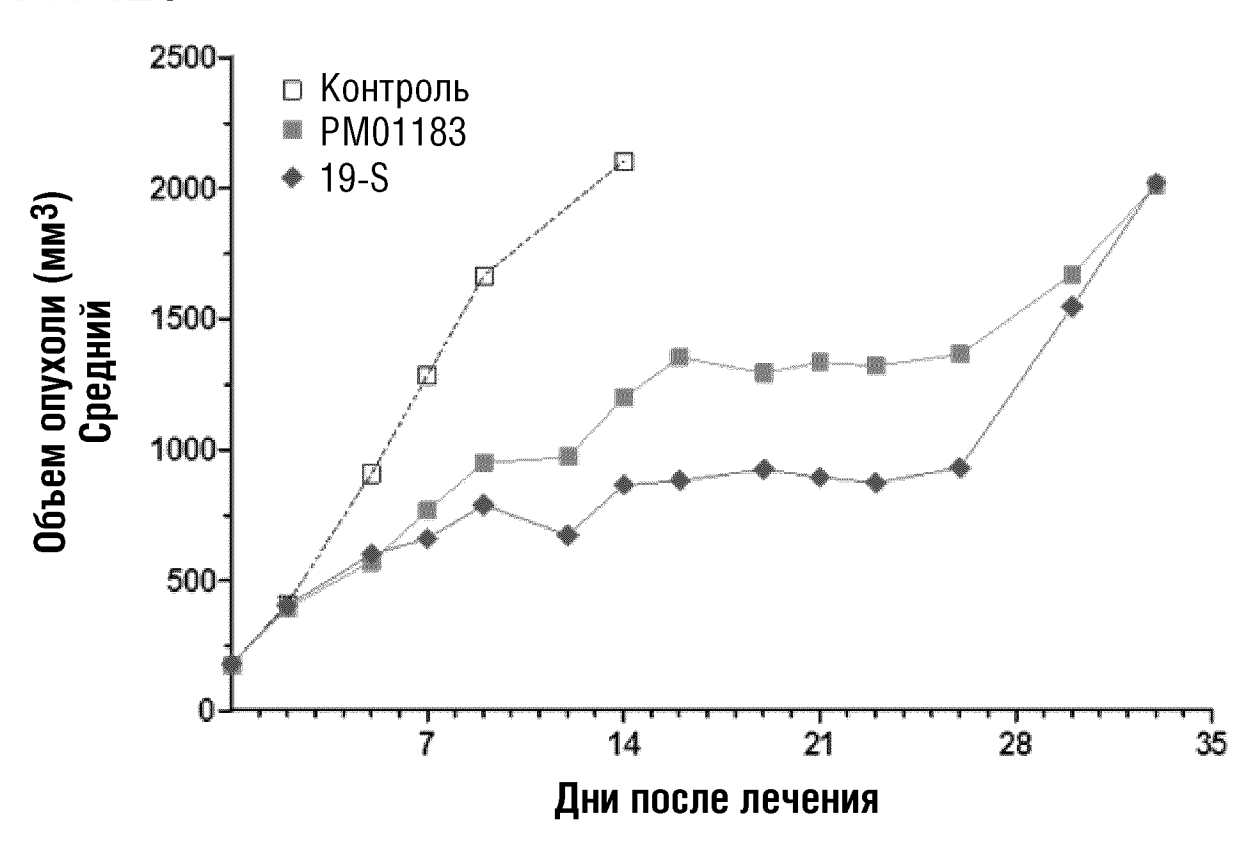


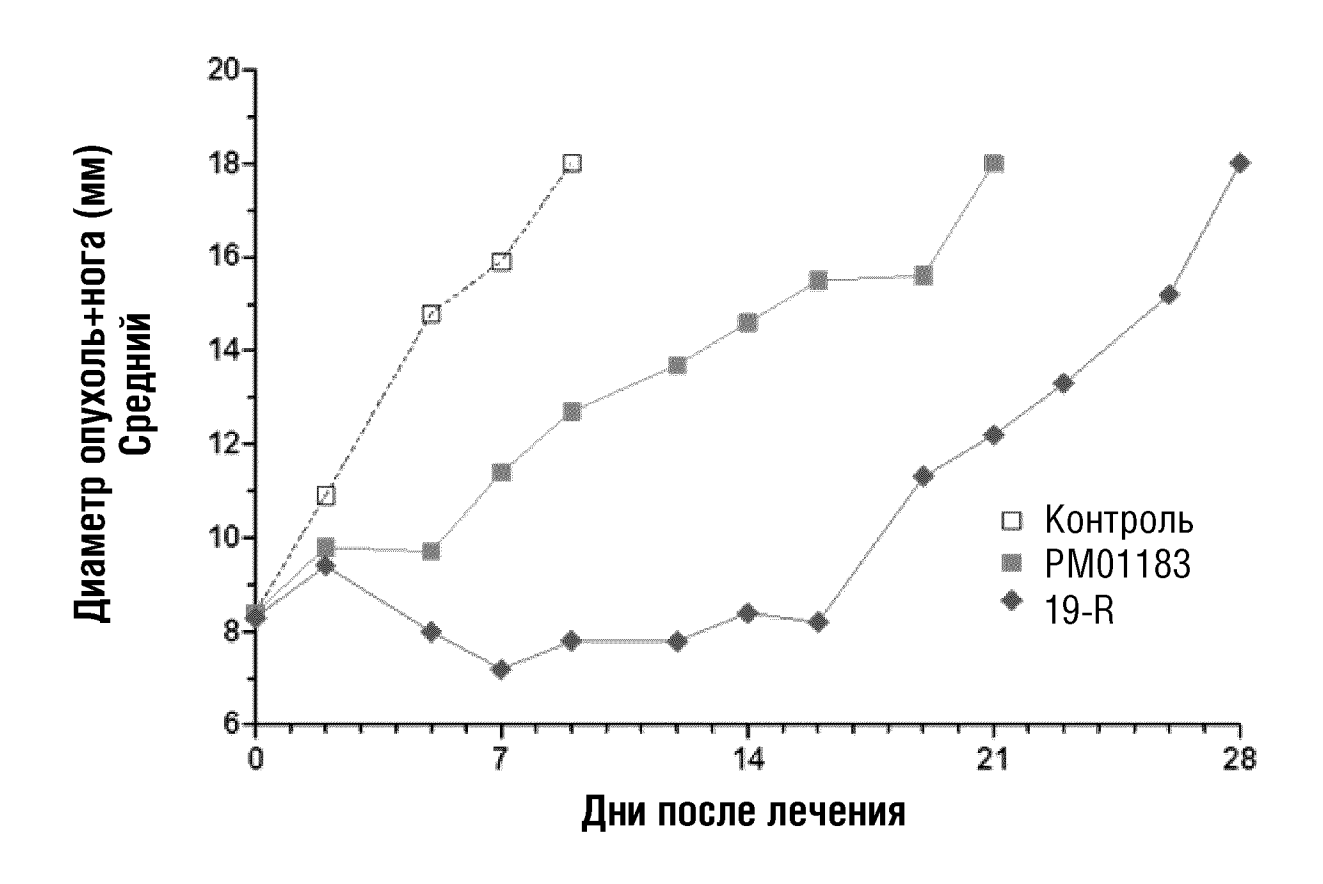




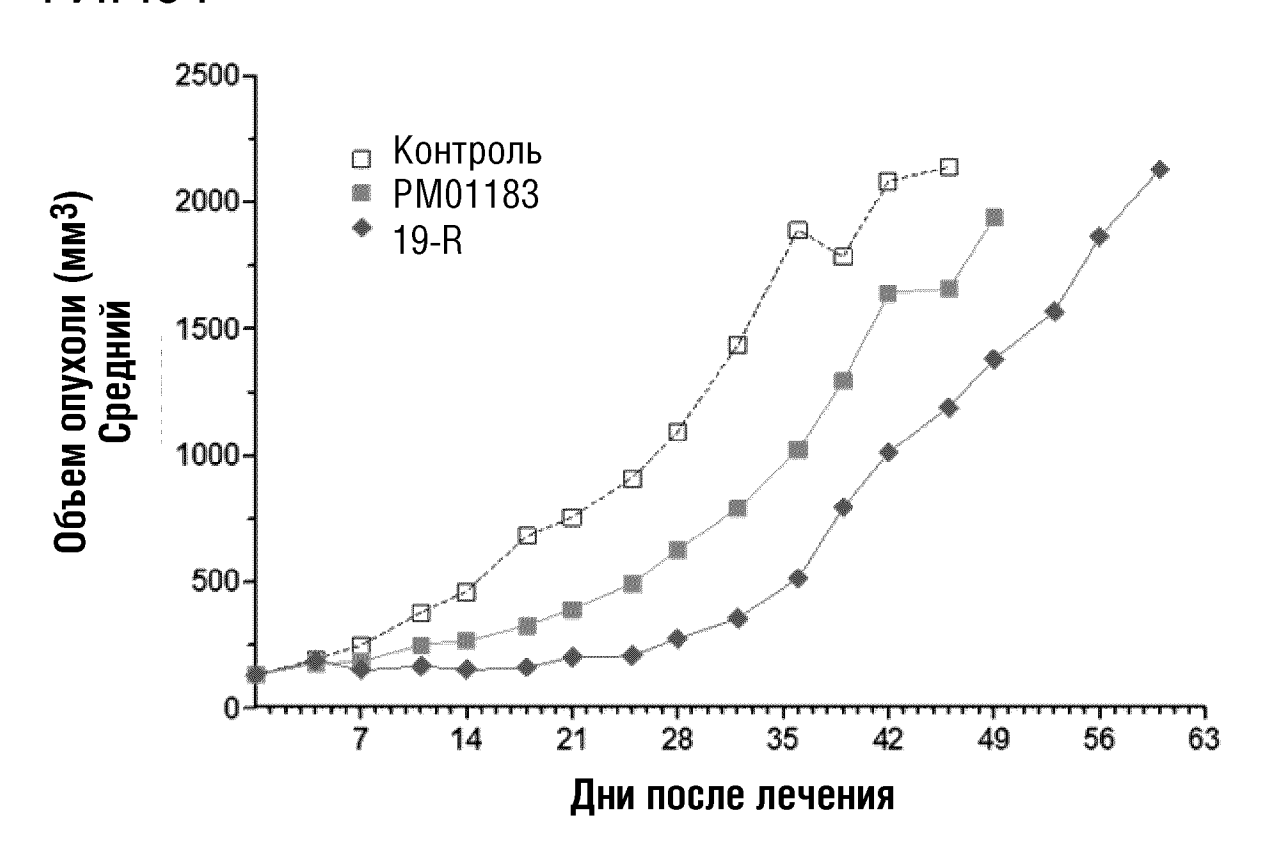




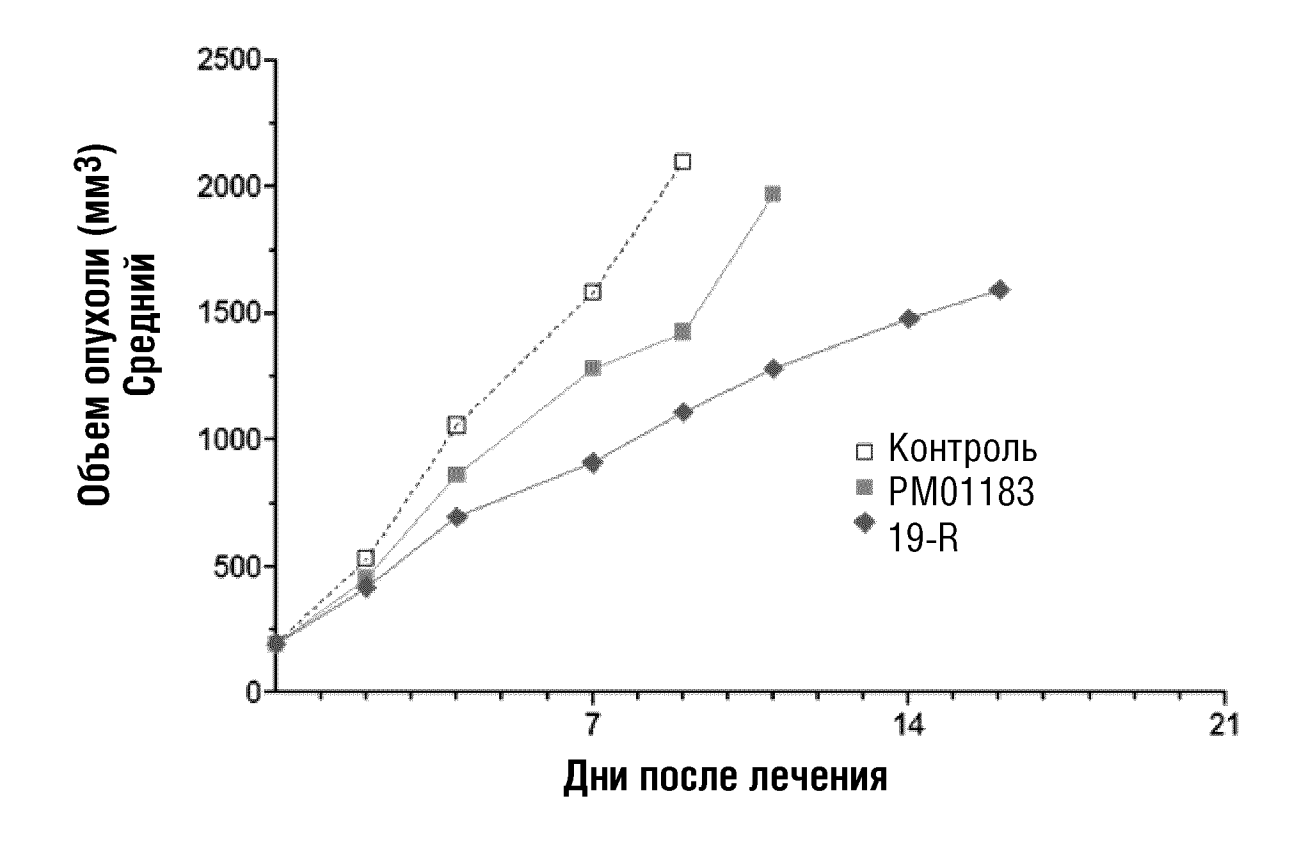




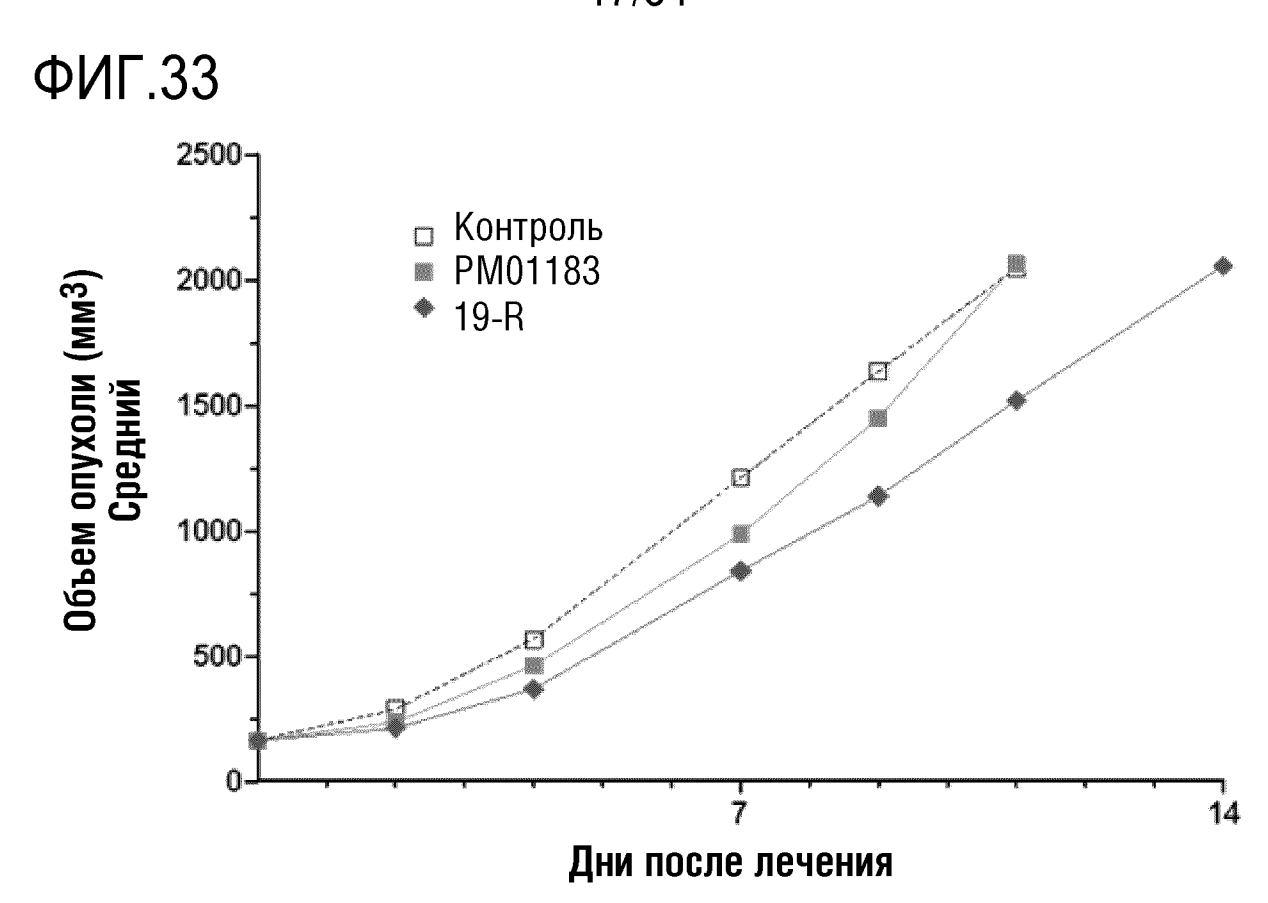
ФИГ.31

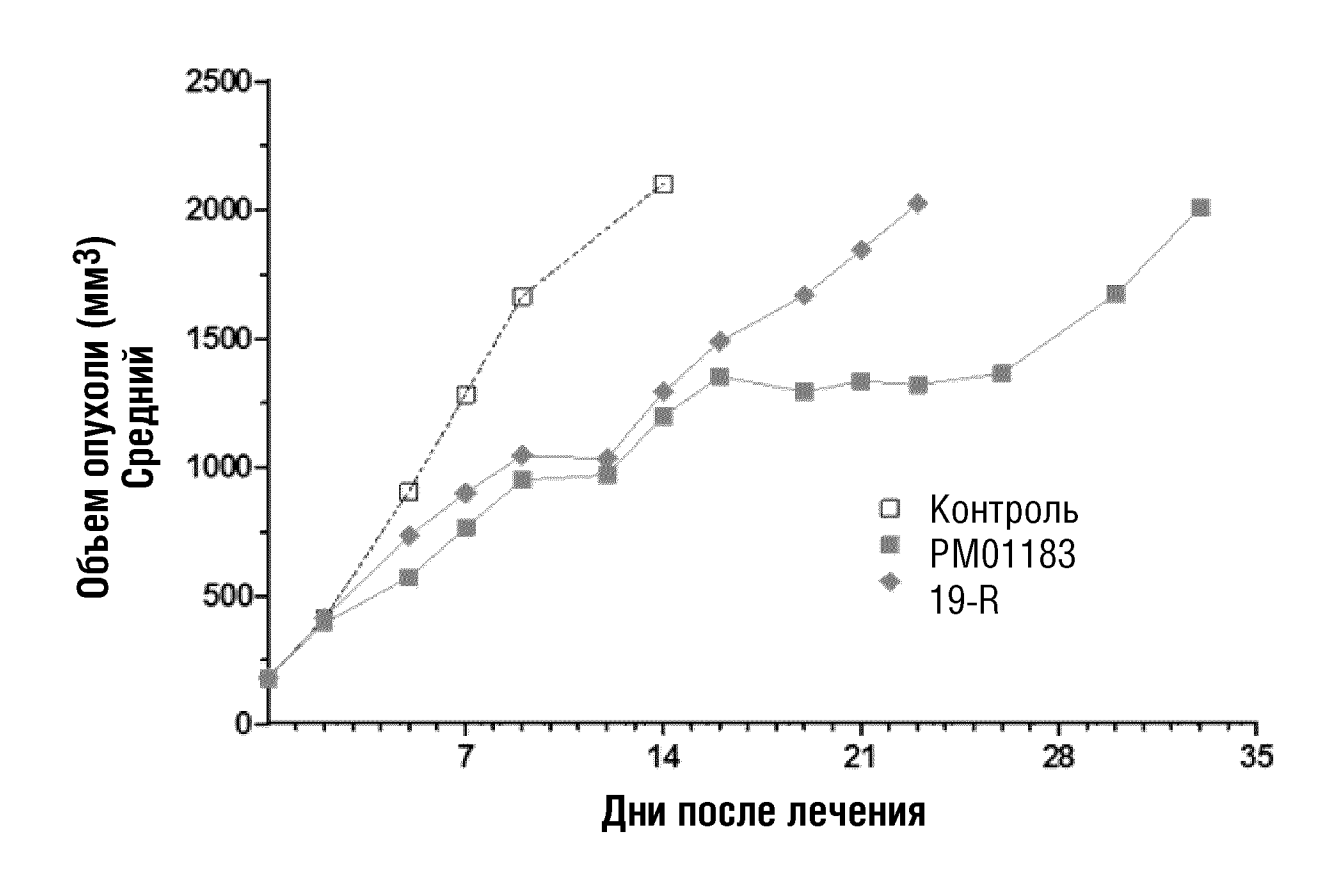


ФИГ.32

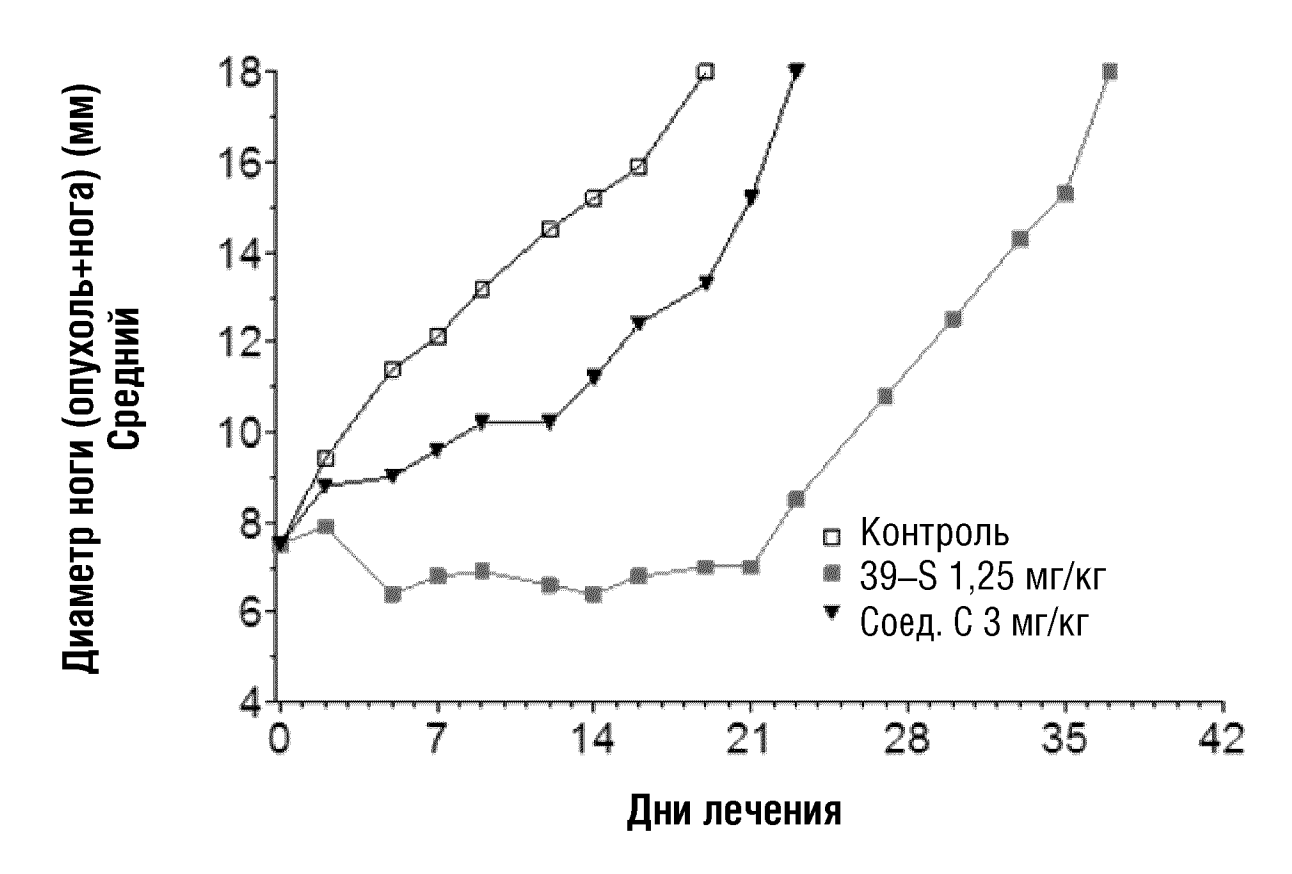




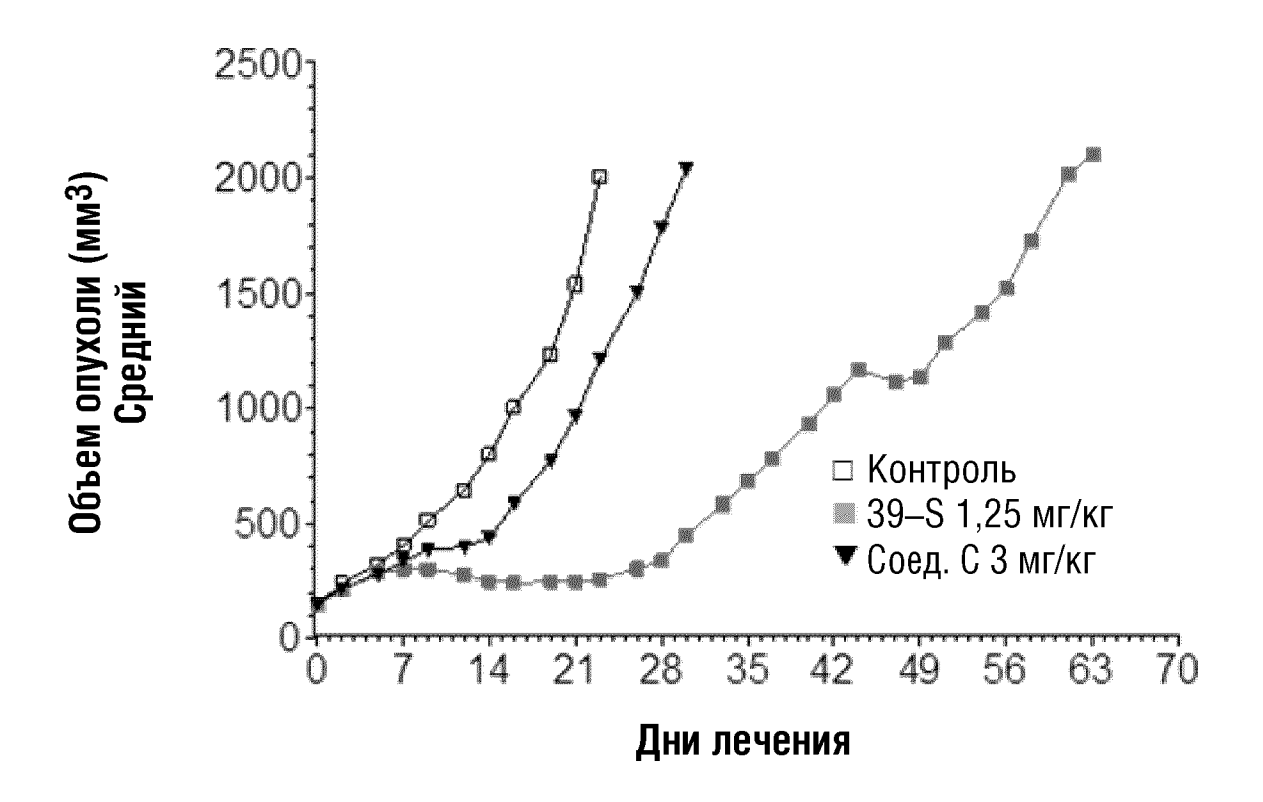




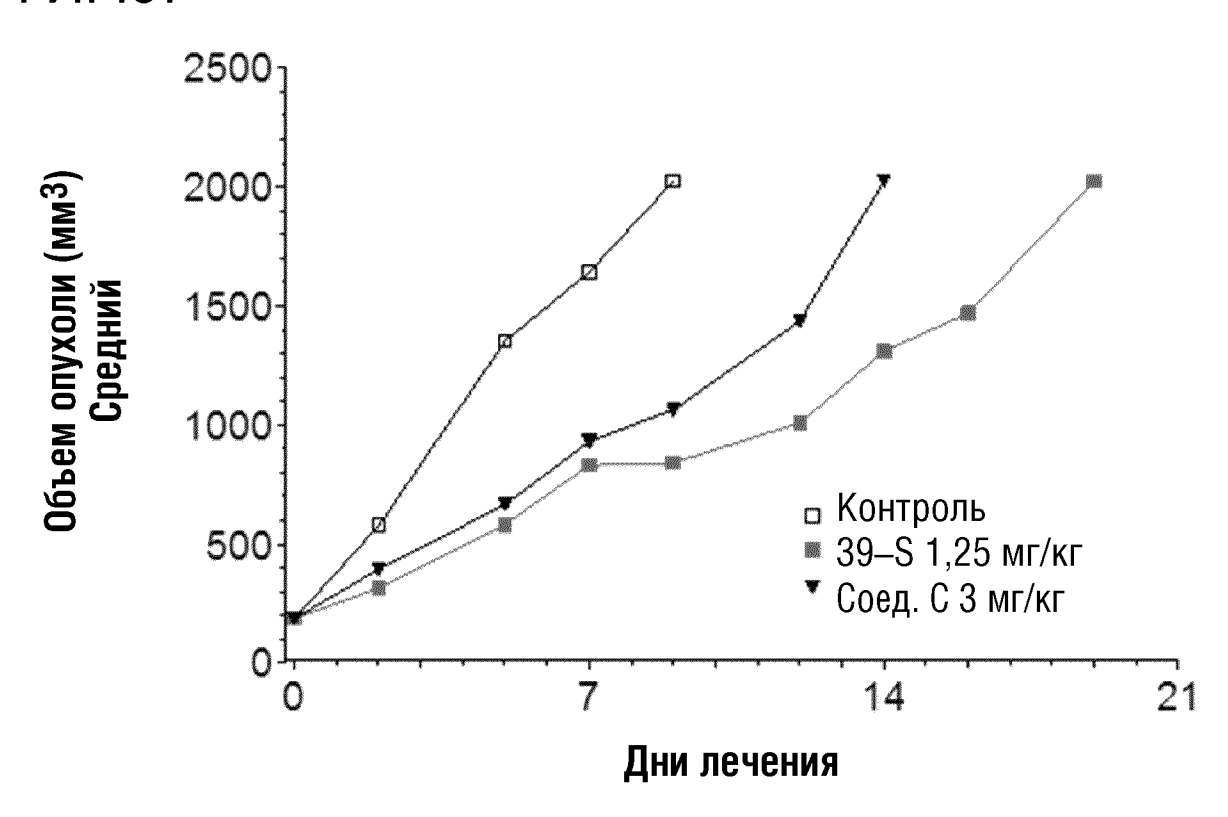
ФИГ.35

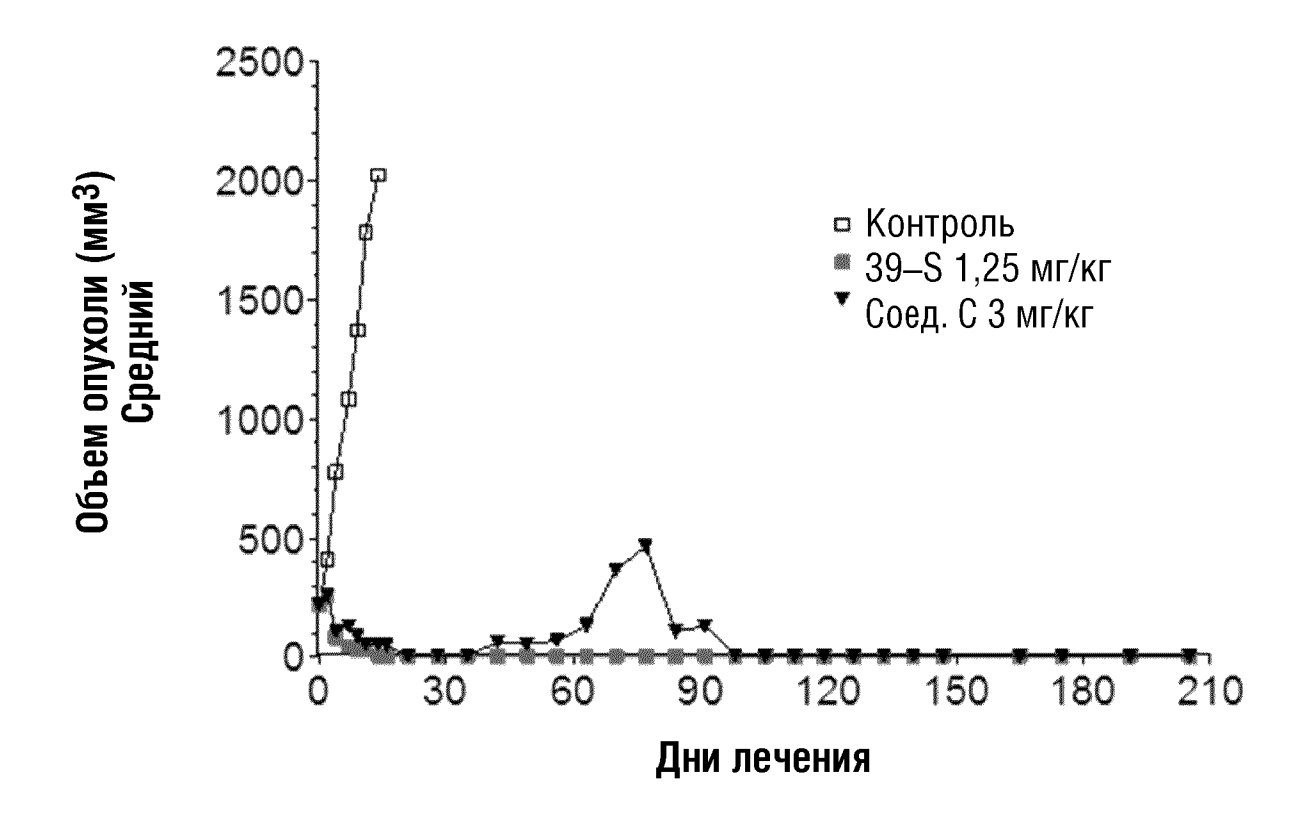


ФИГ.36

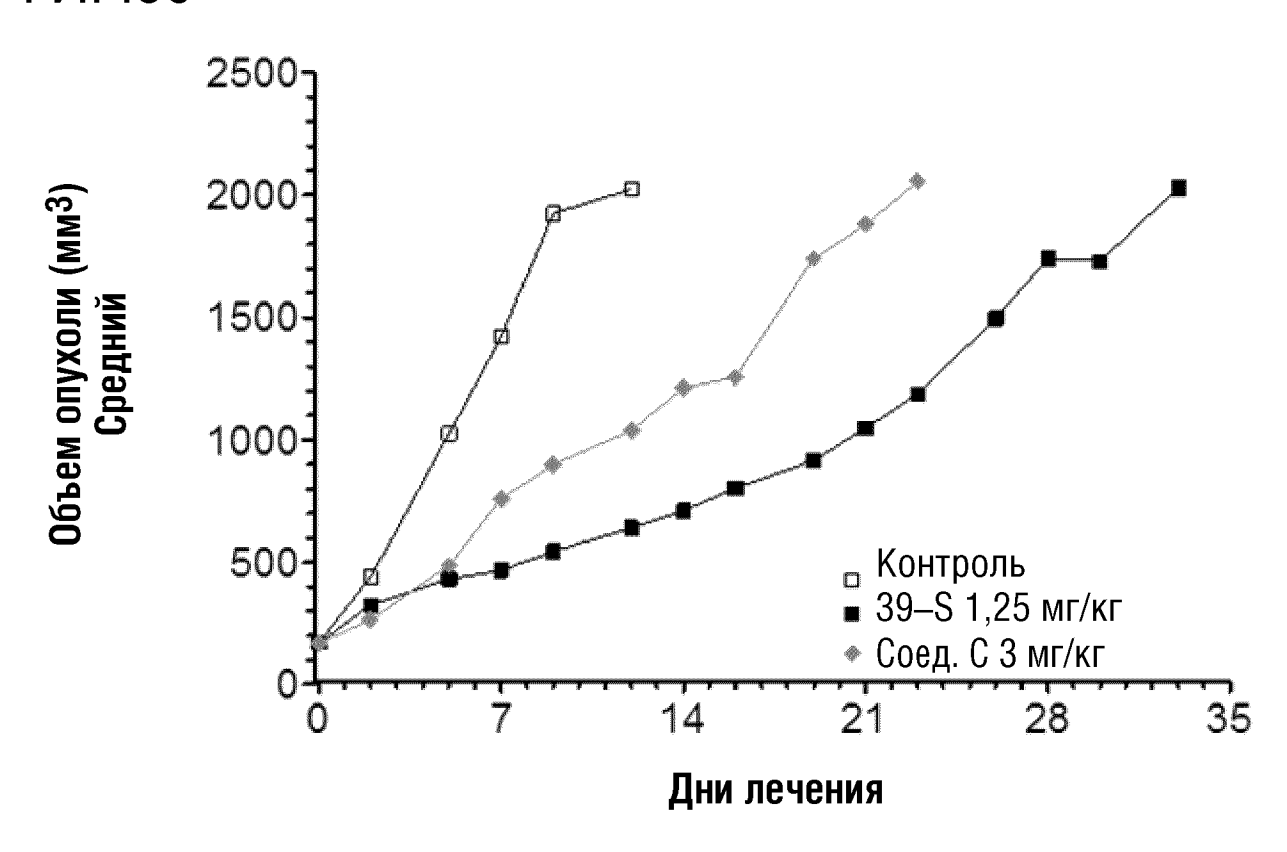


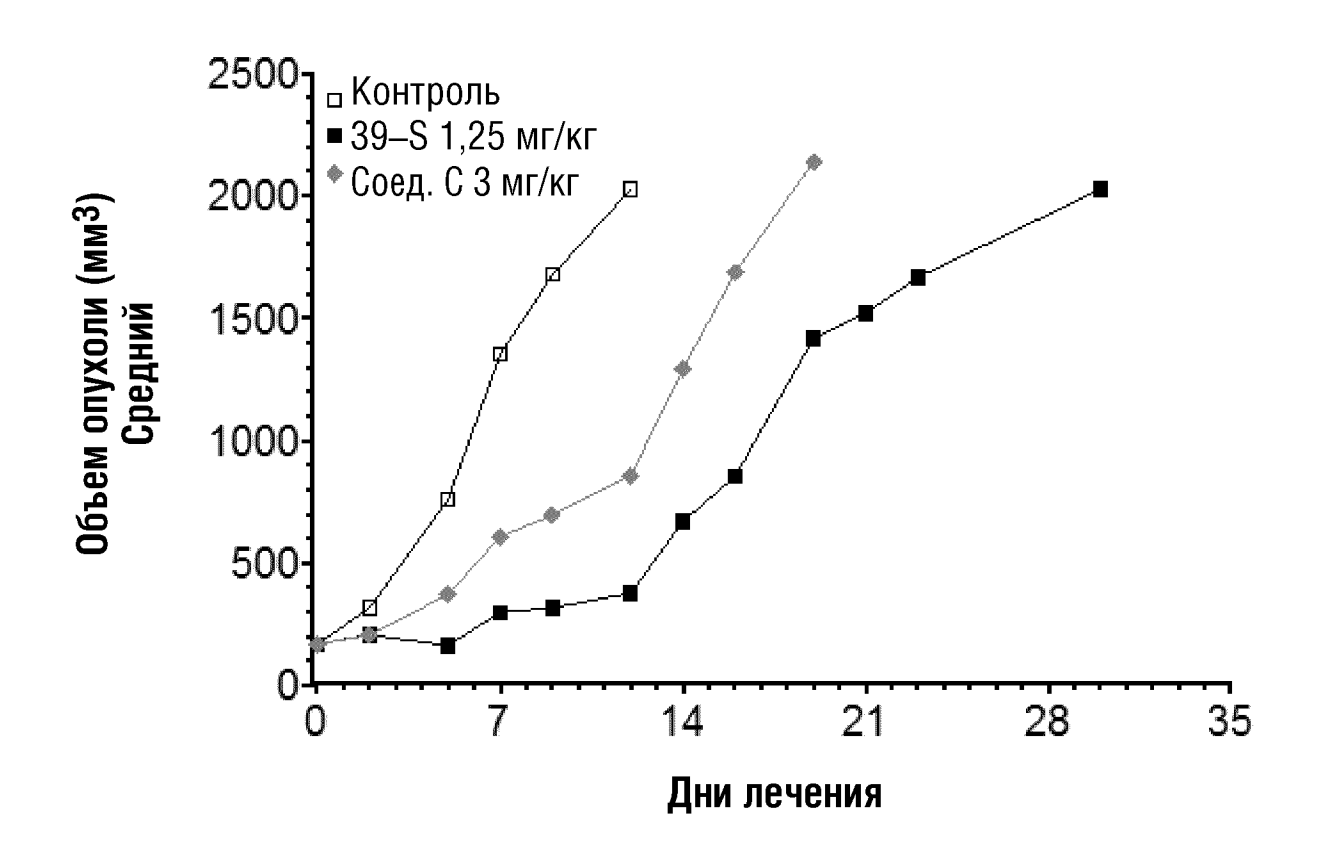




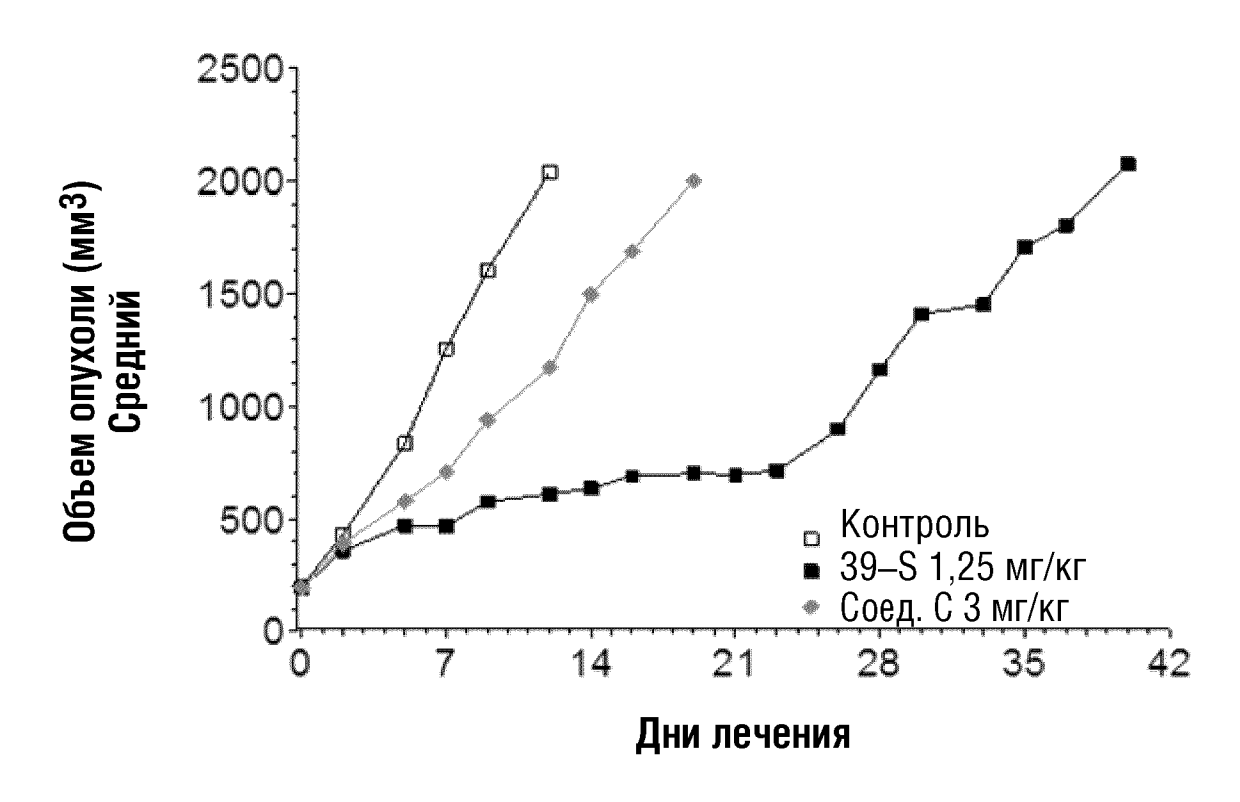


ФИГ.39

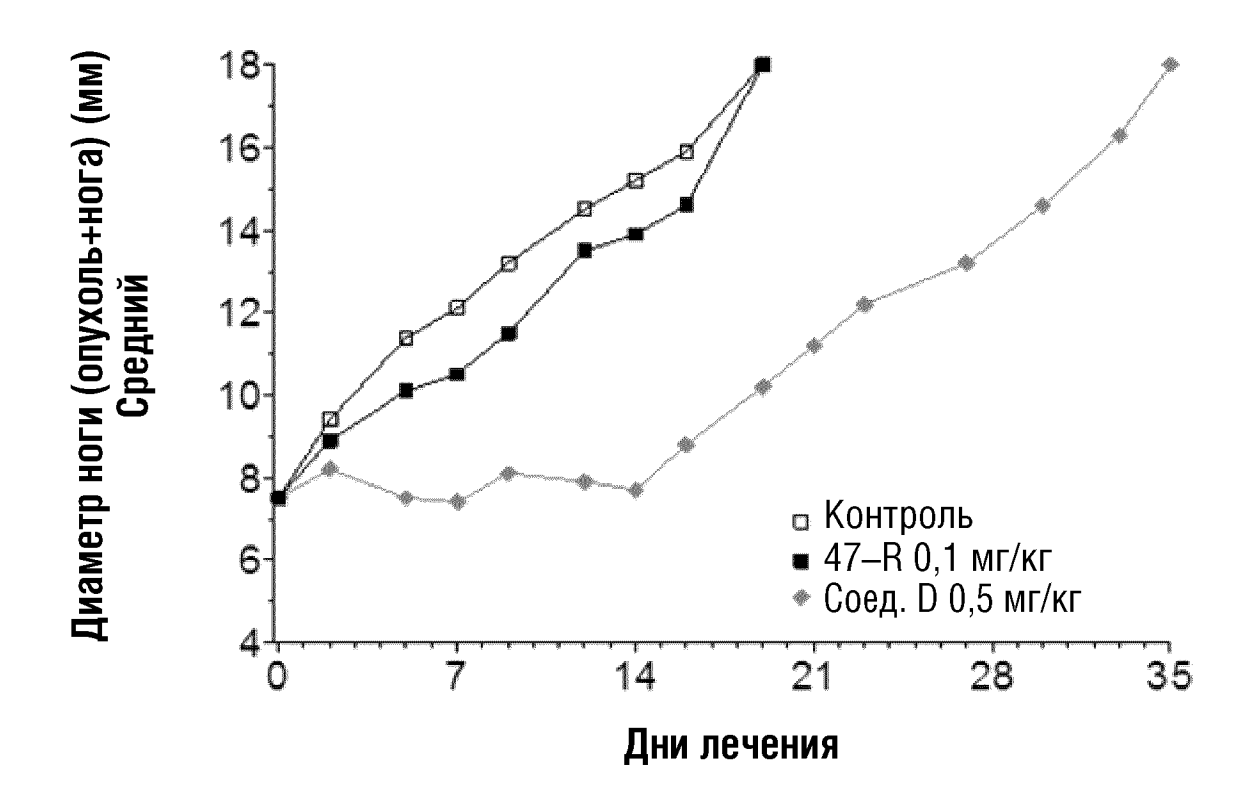




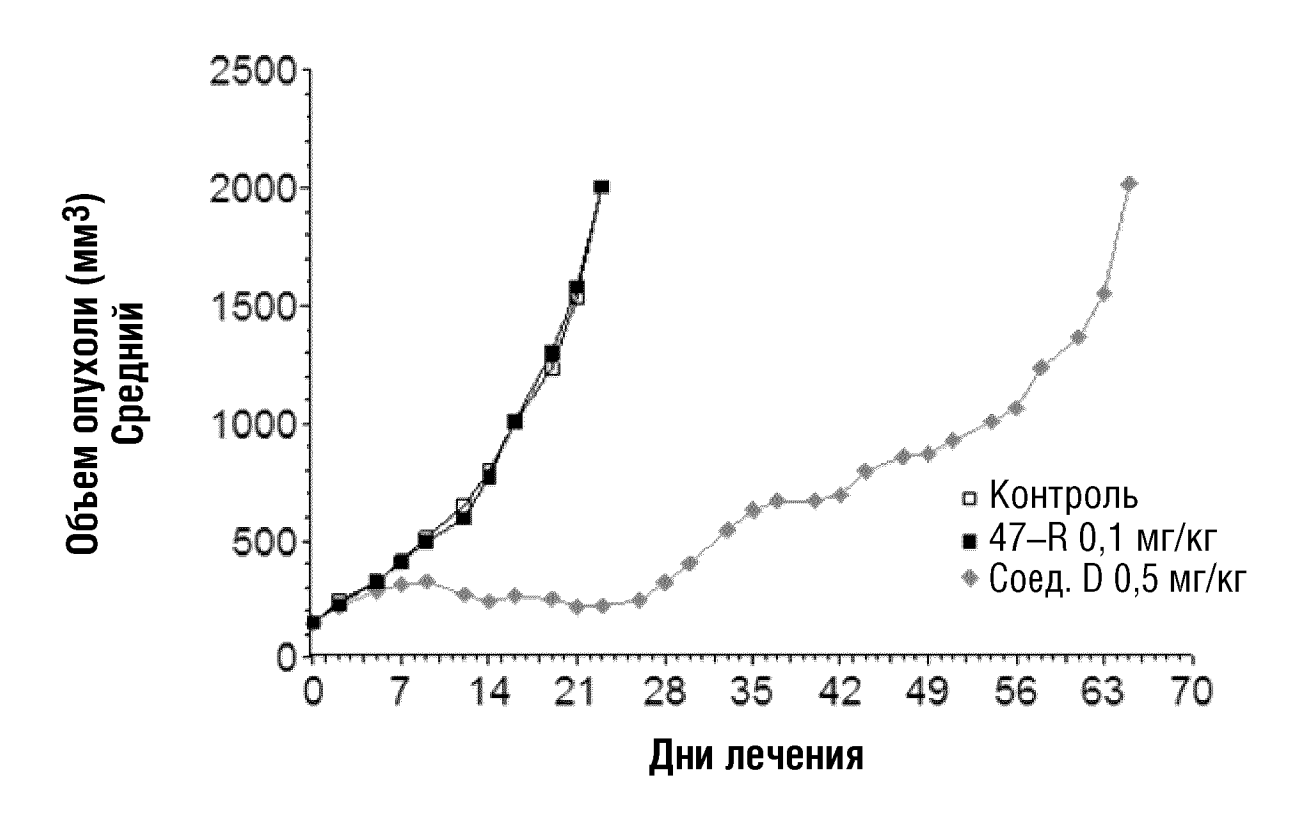
ФИГ.41



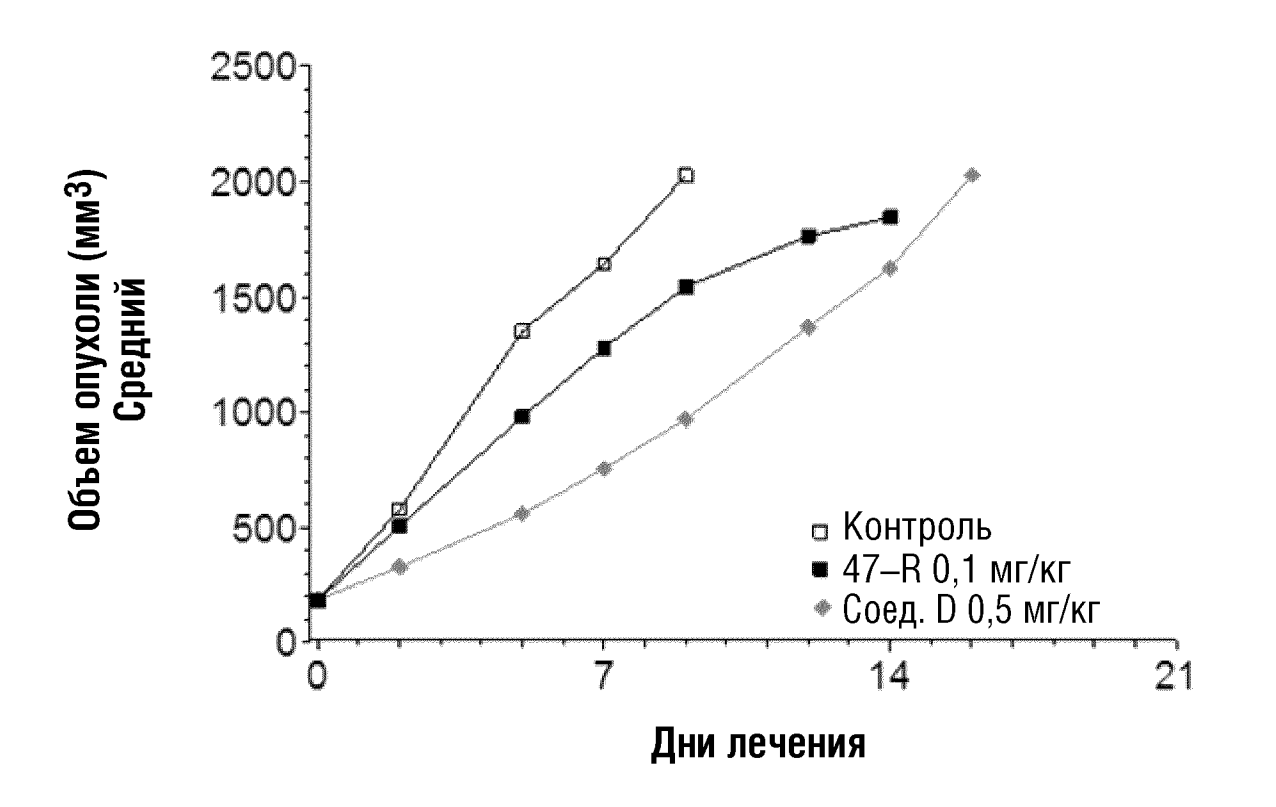
ФИГ.42



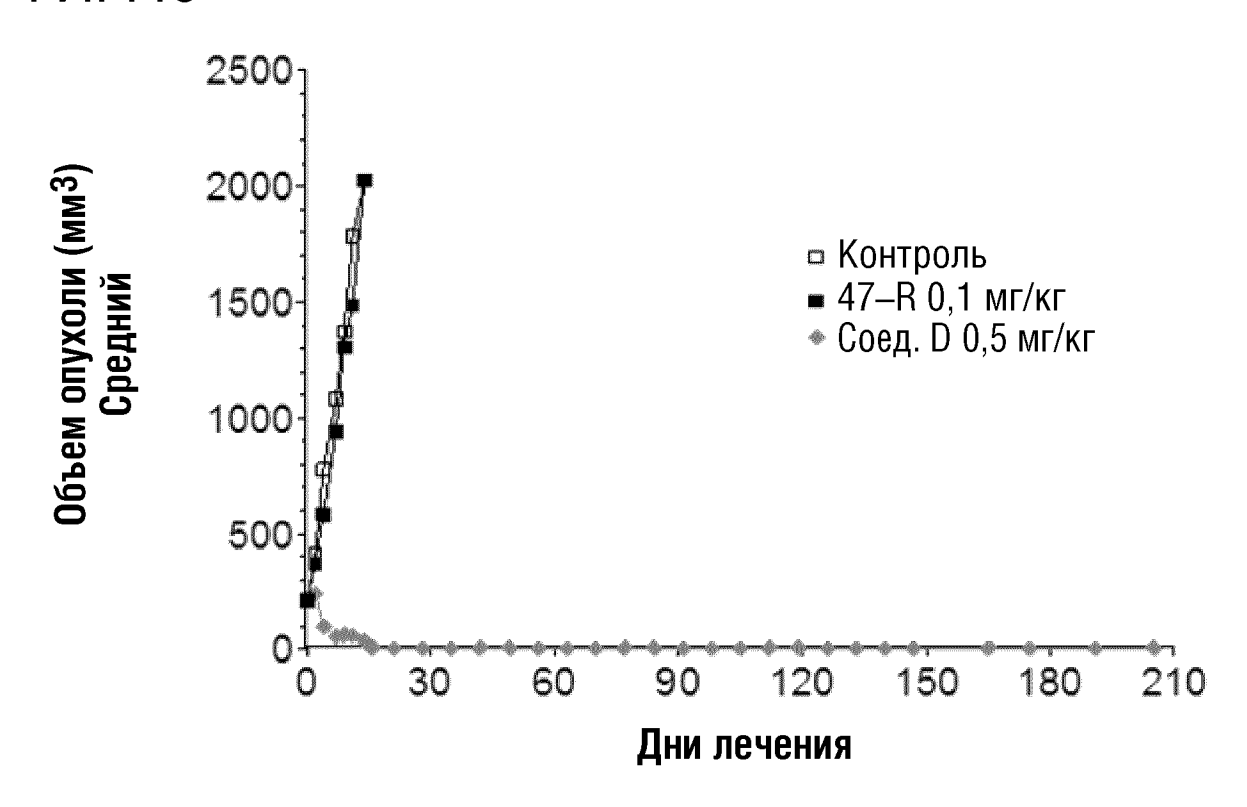
ФИГ.43

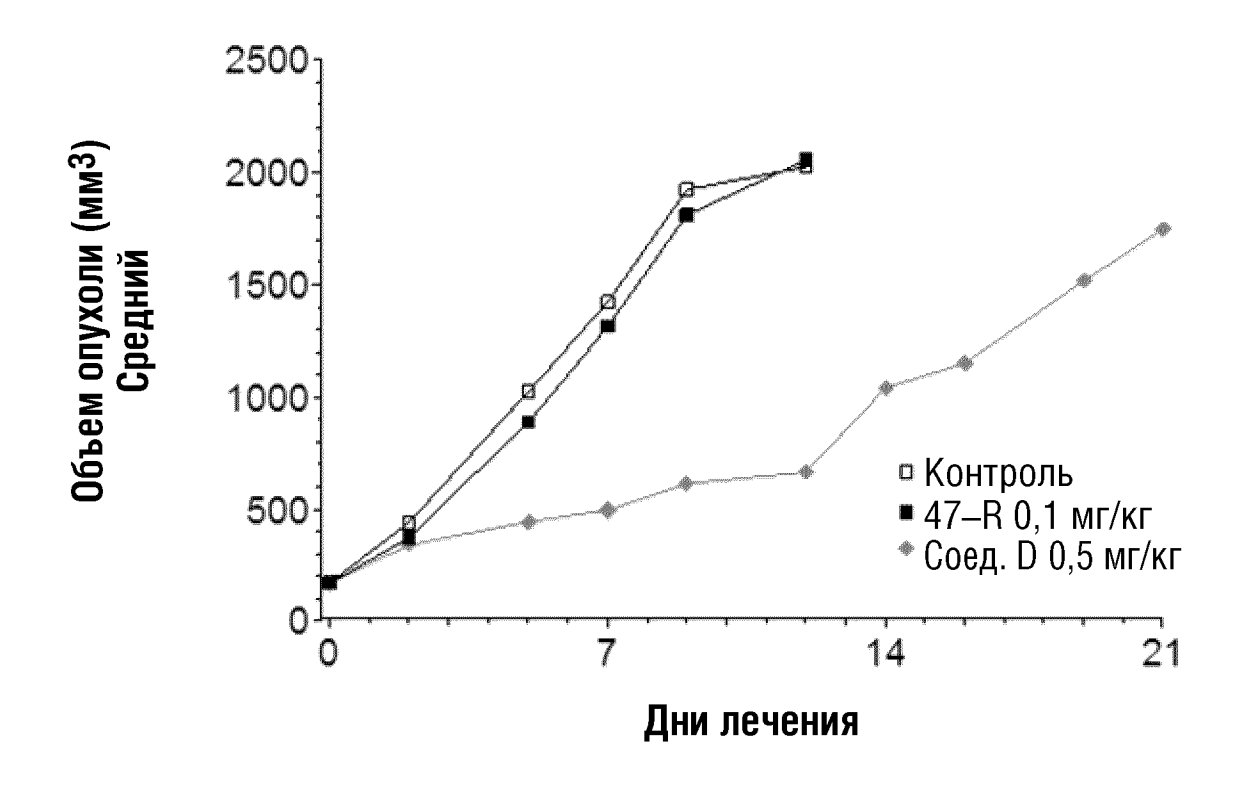


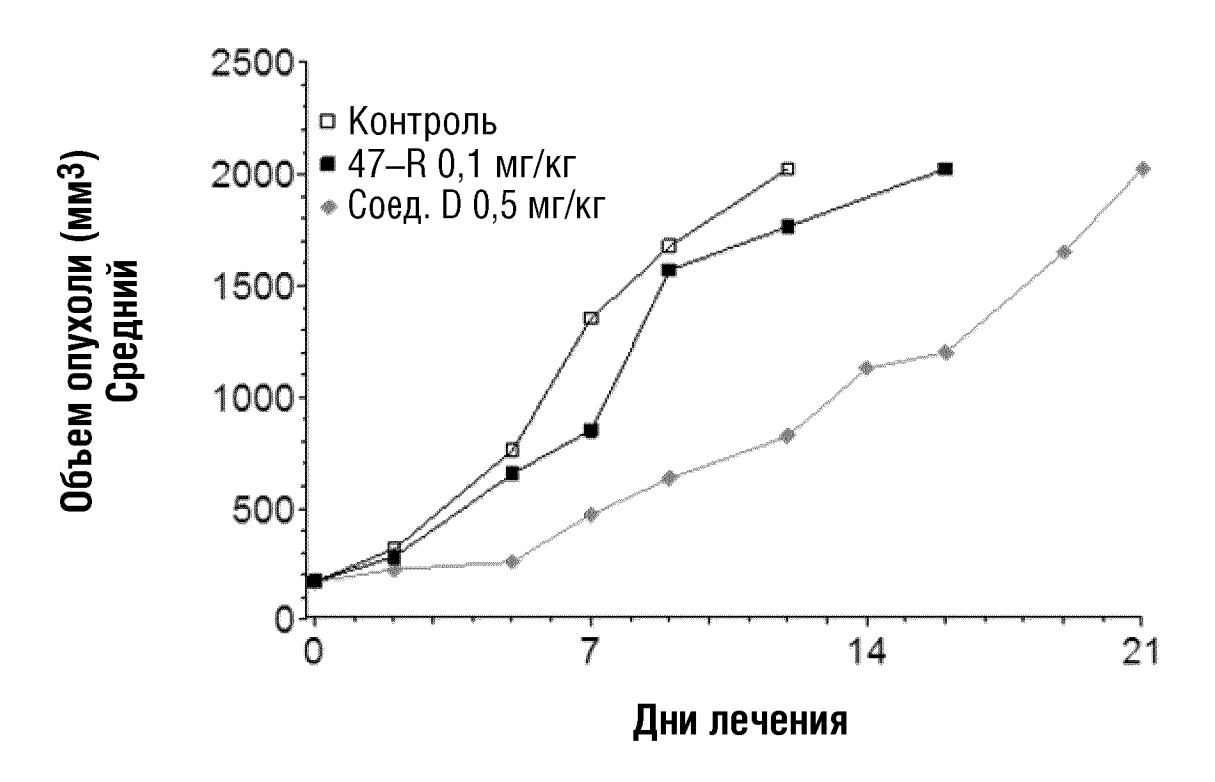
ФИГ.44

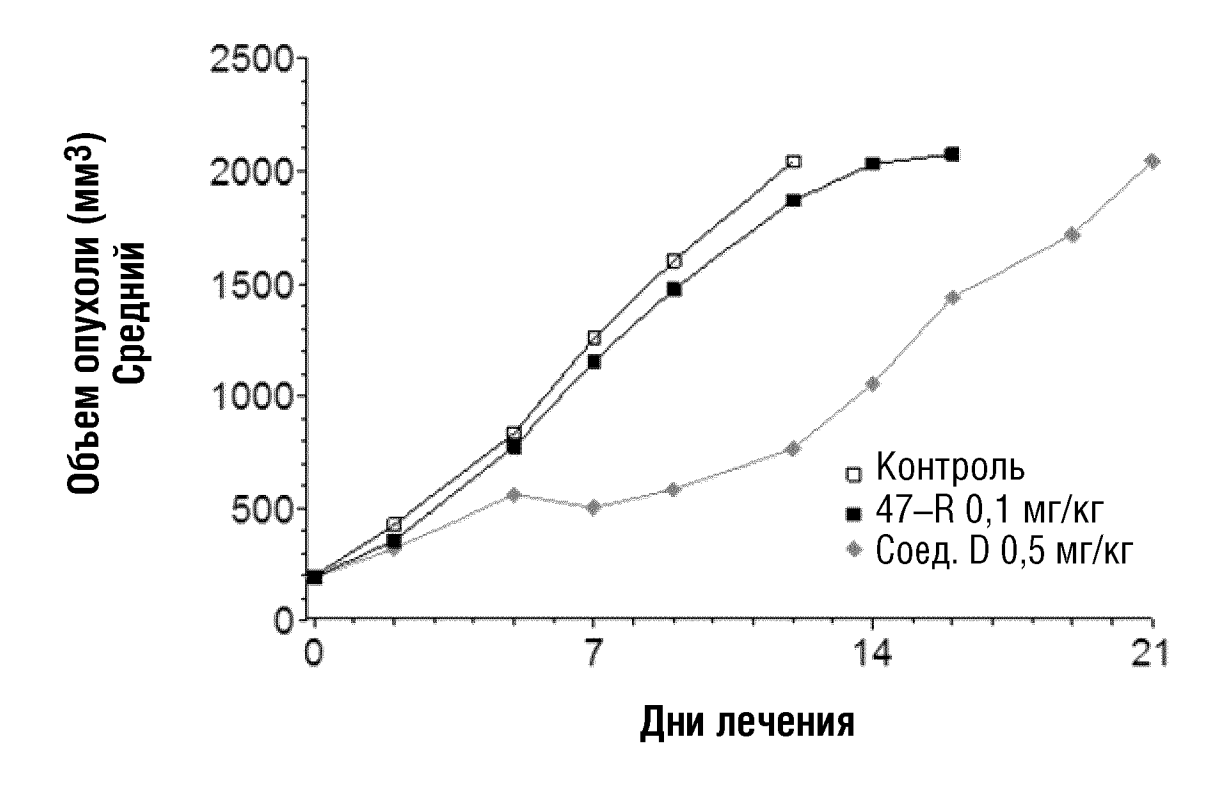


ФИГ.45

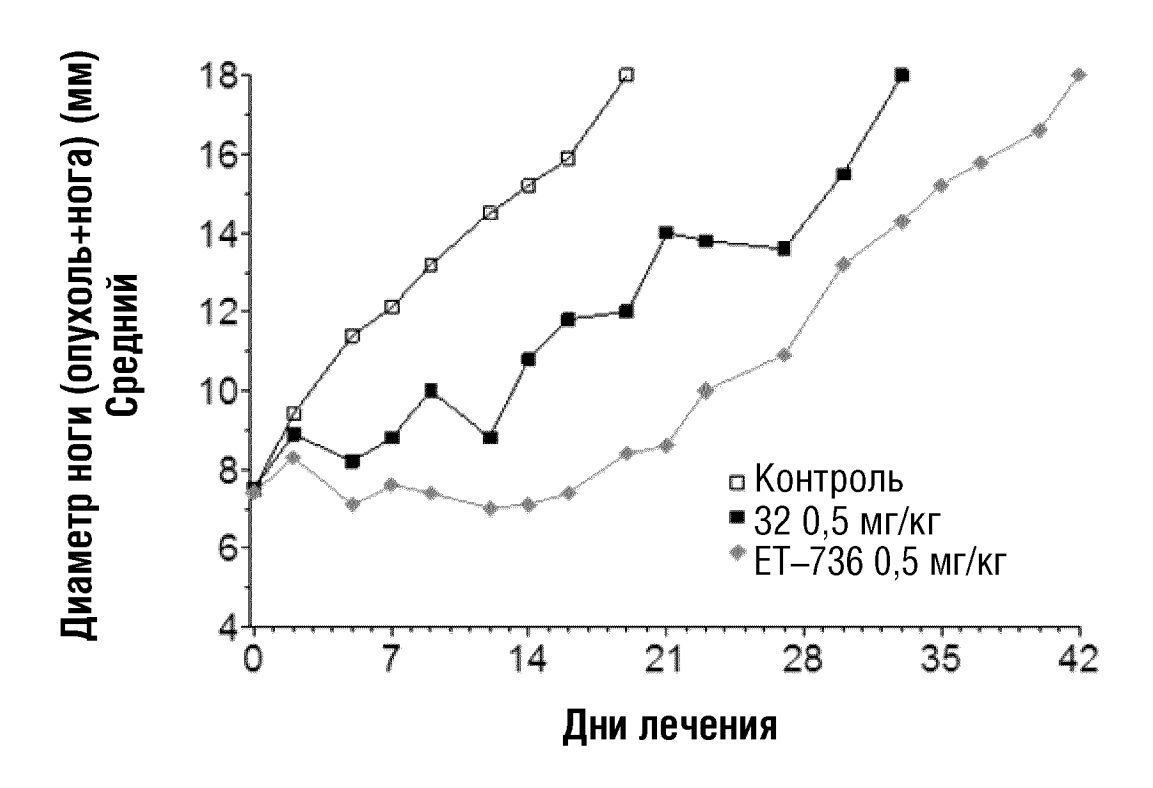




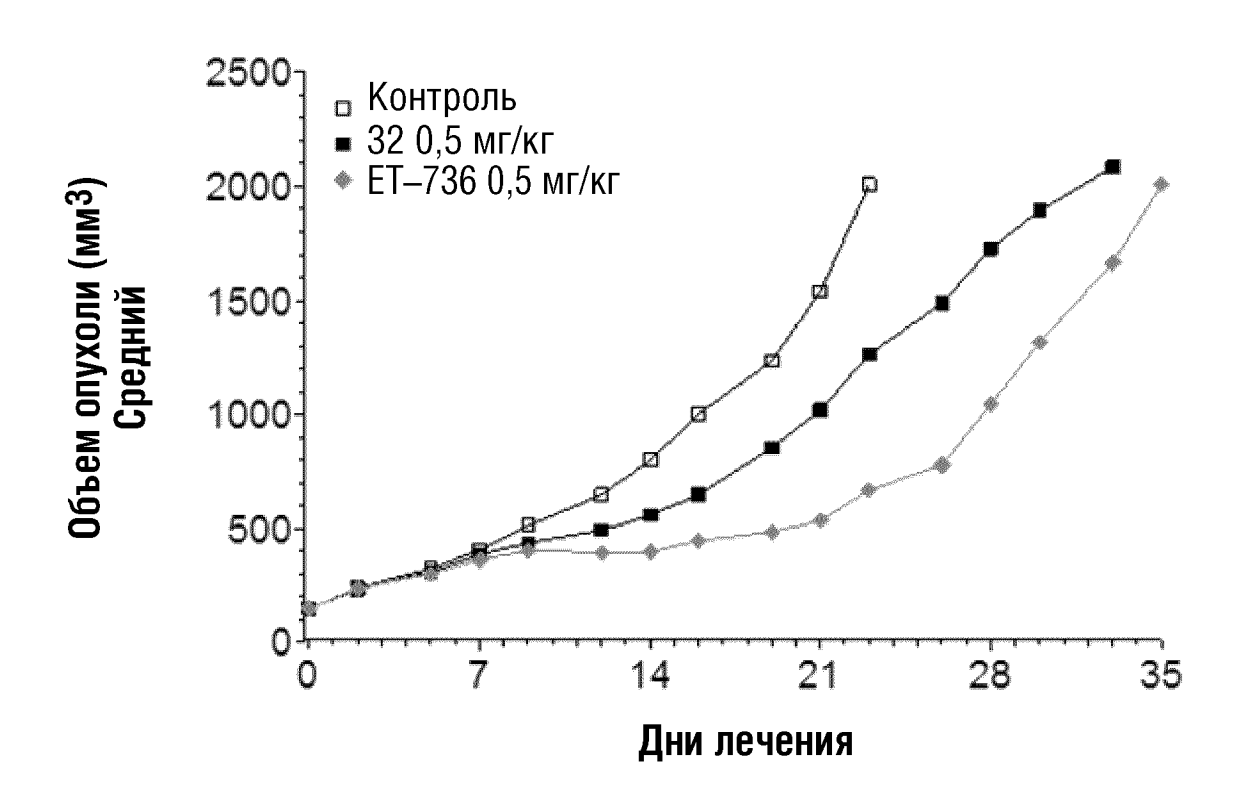




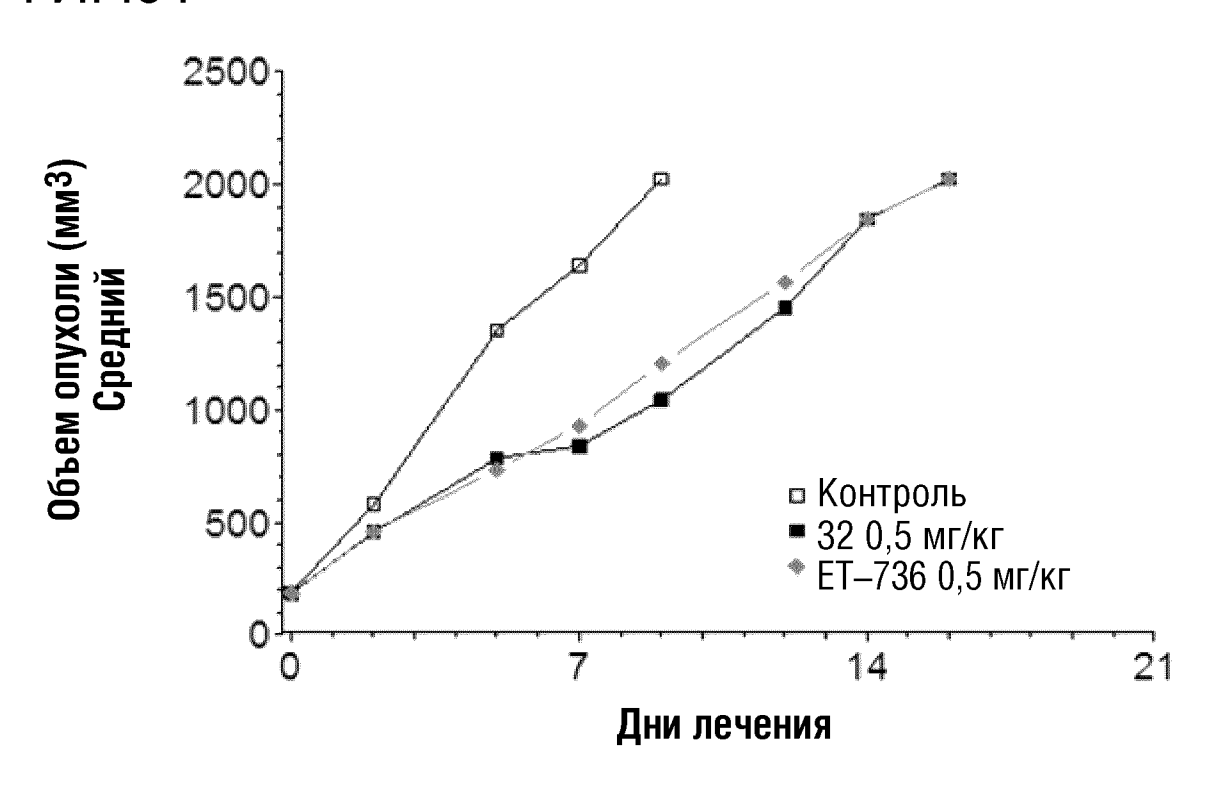
ФИГ.49

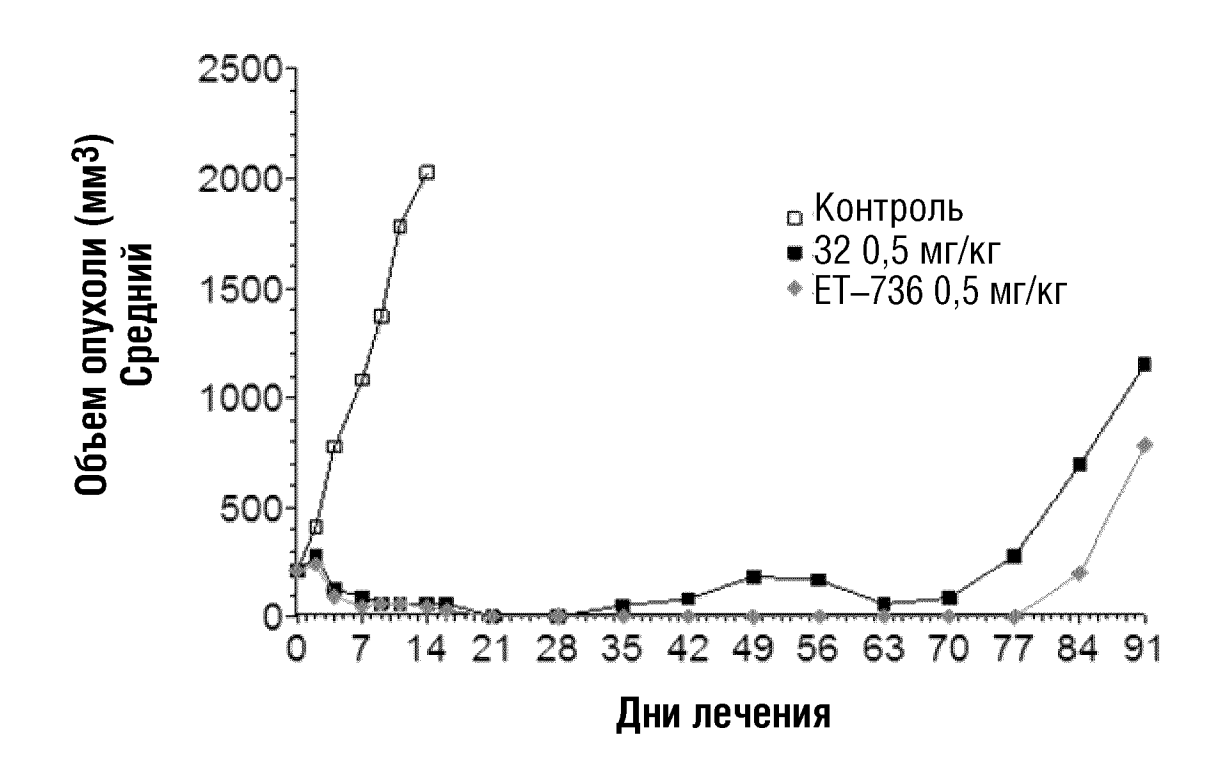


ФИГ.50

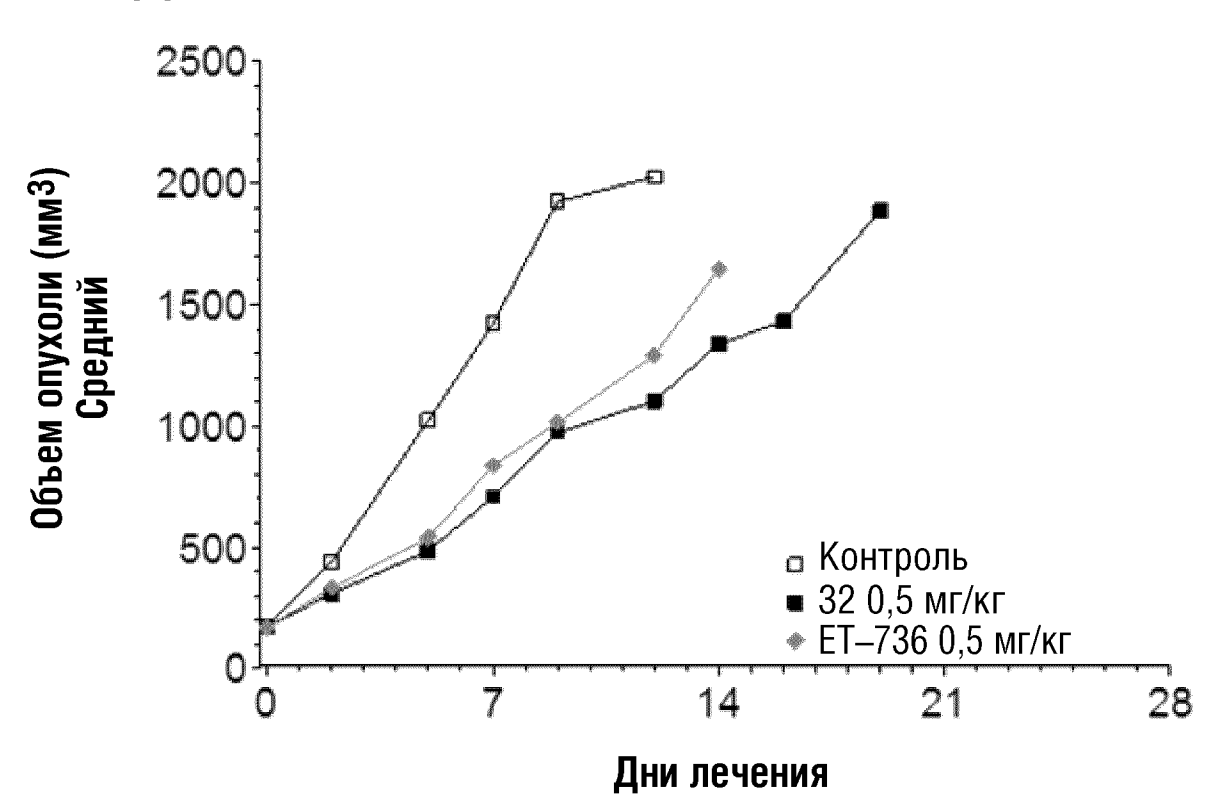


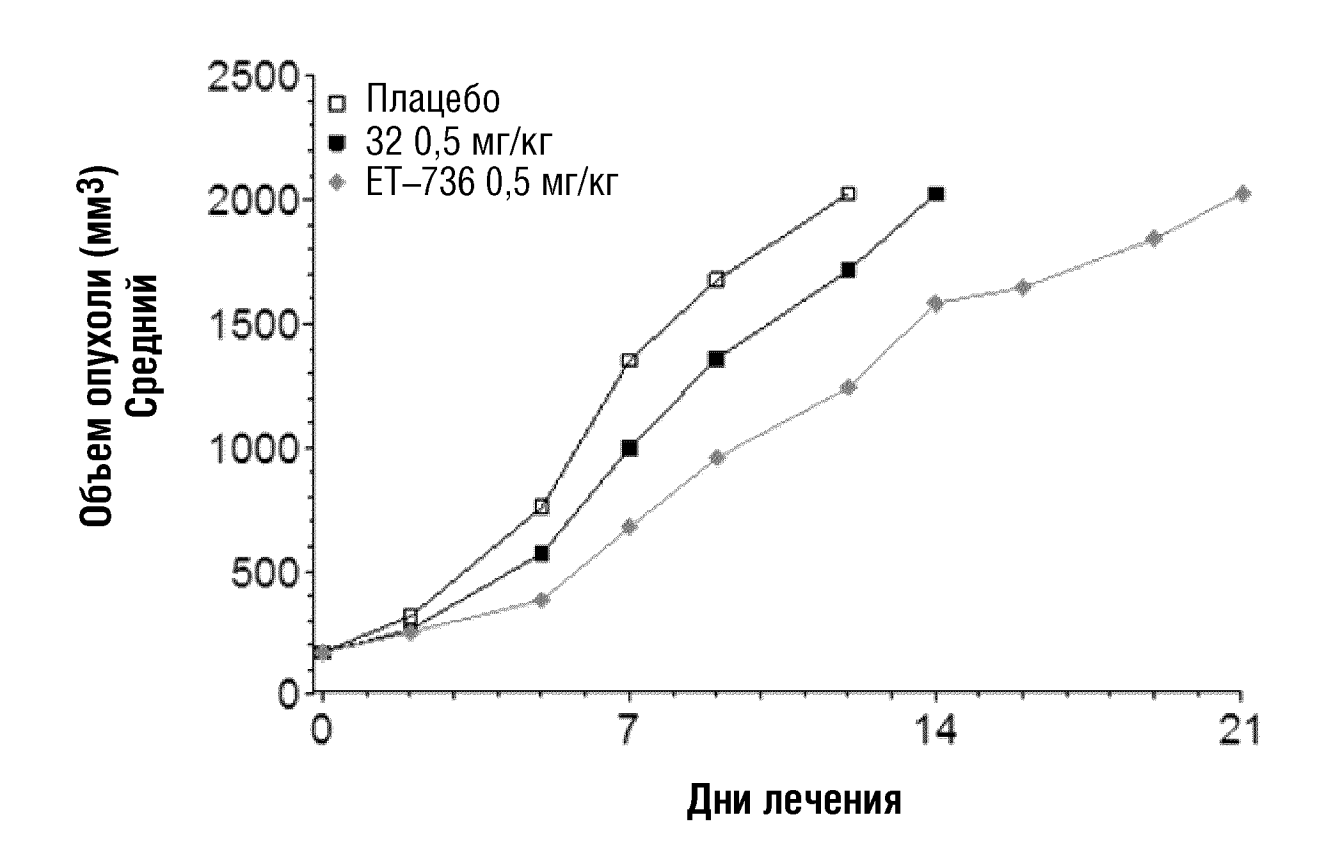
ФИГ.51



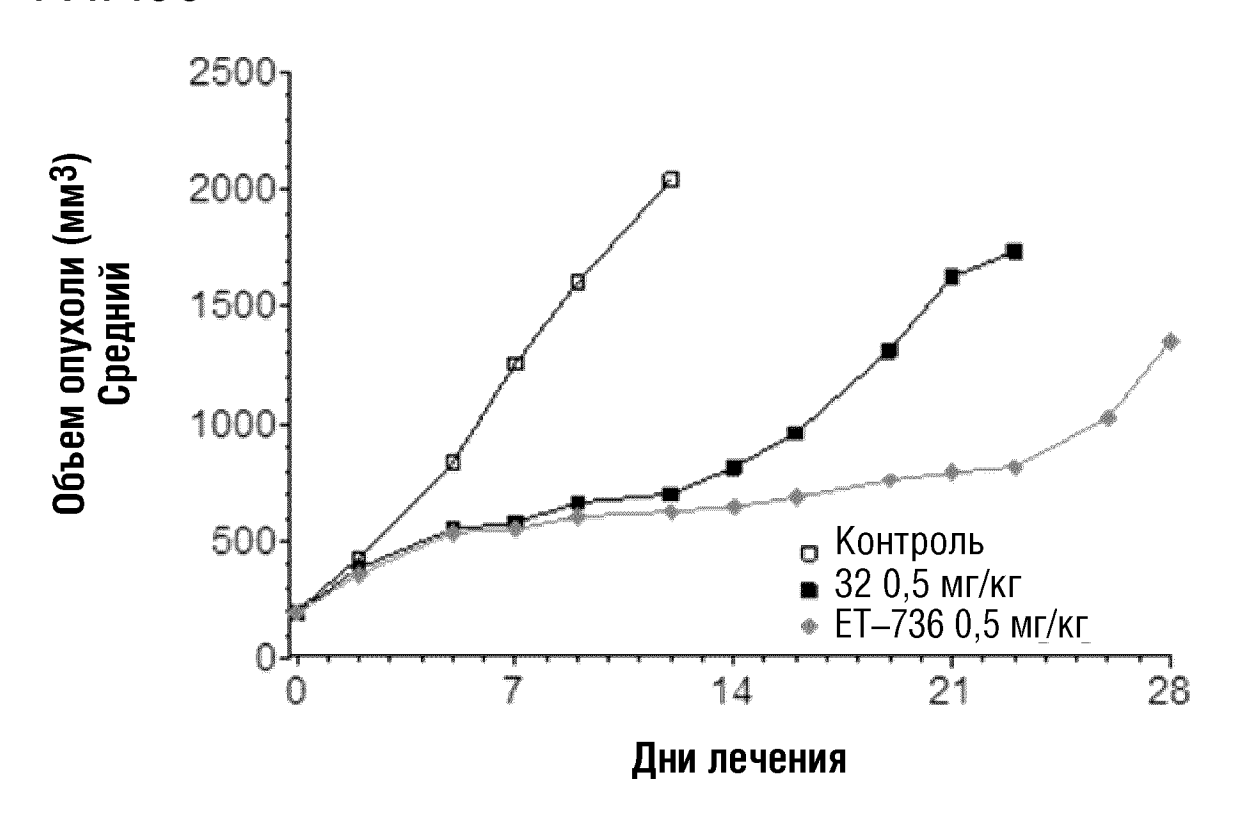


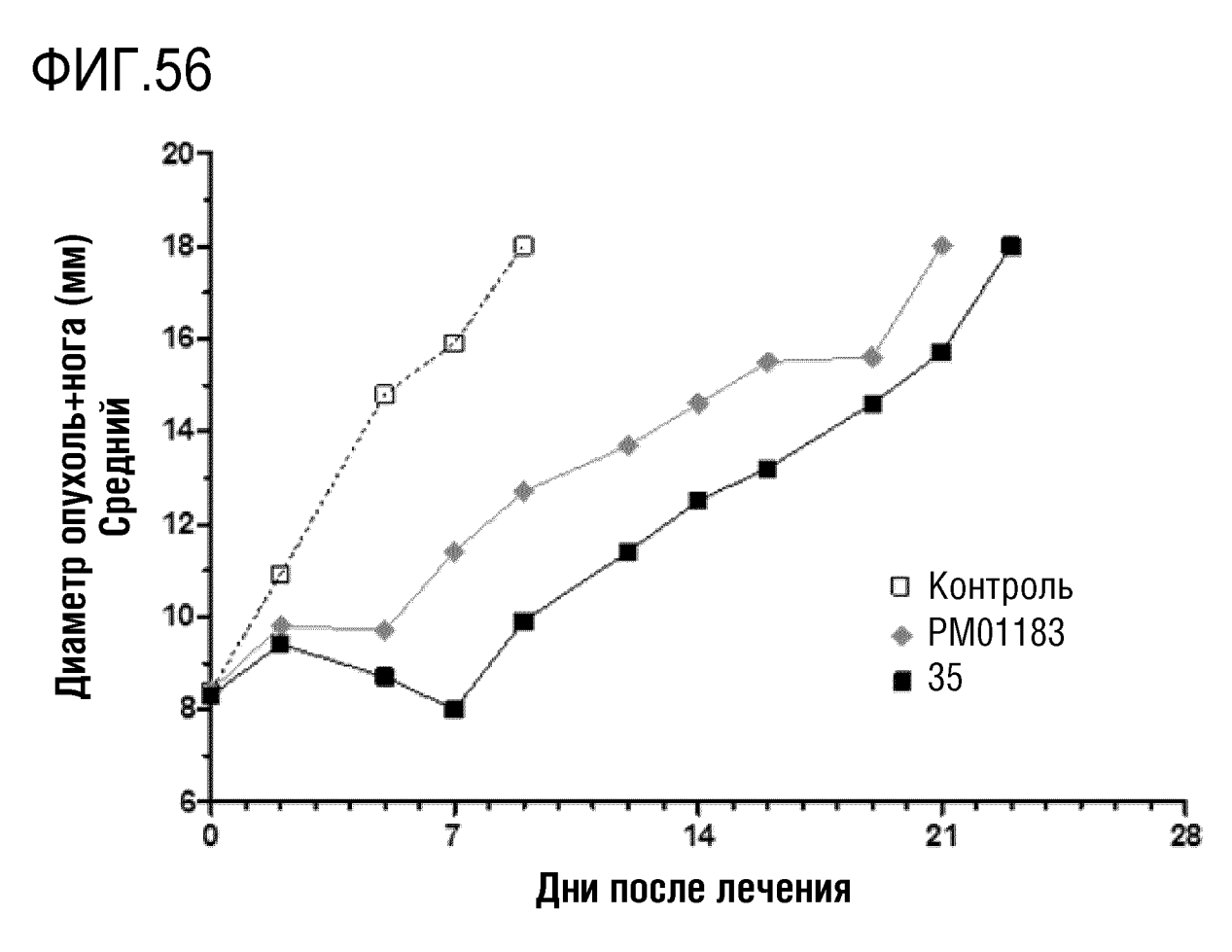




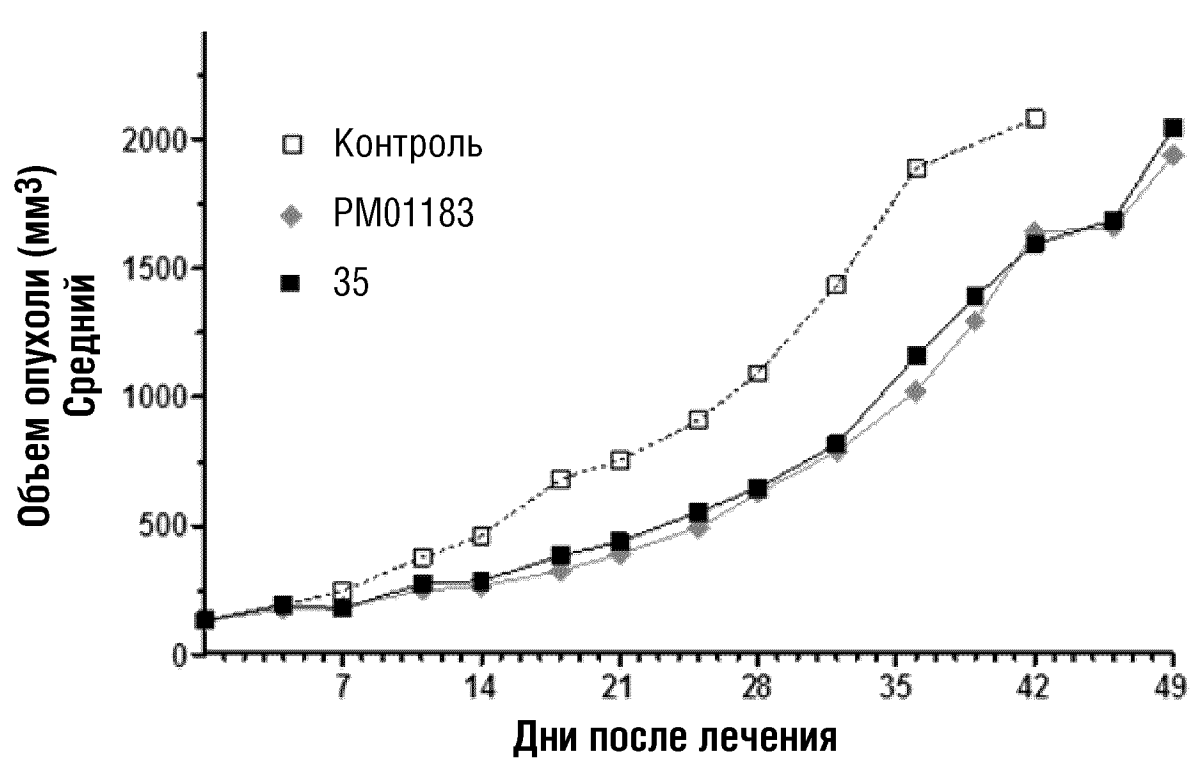


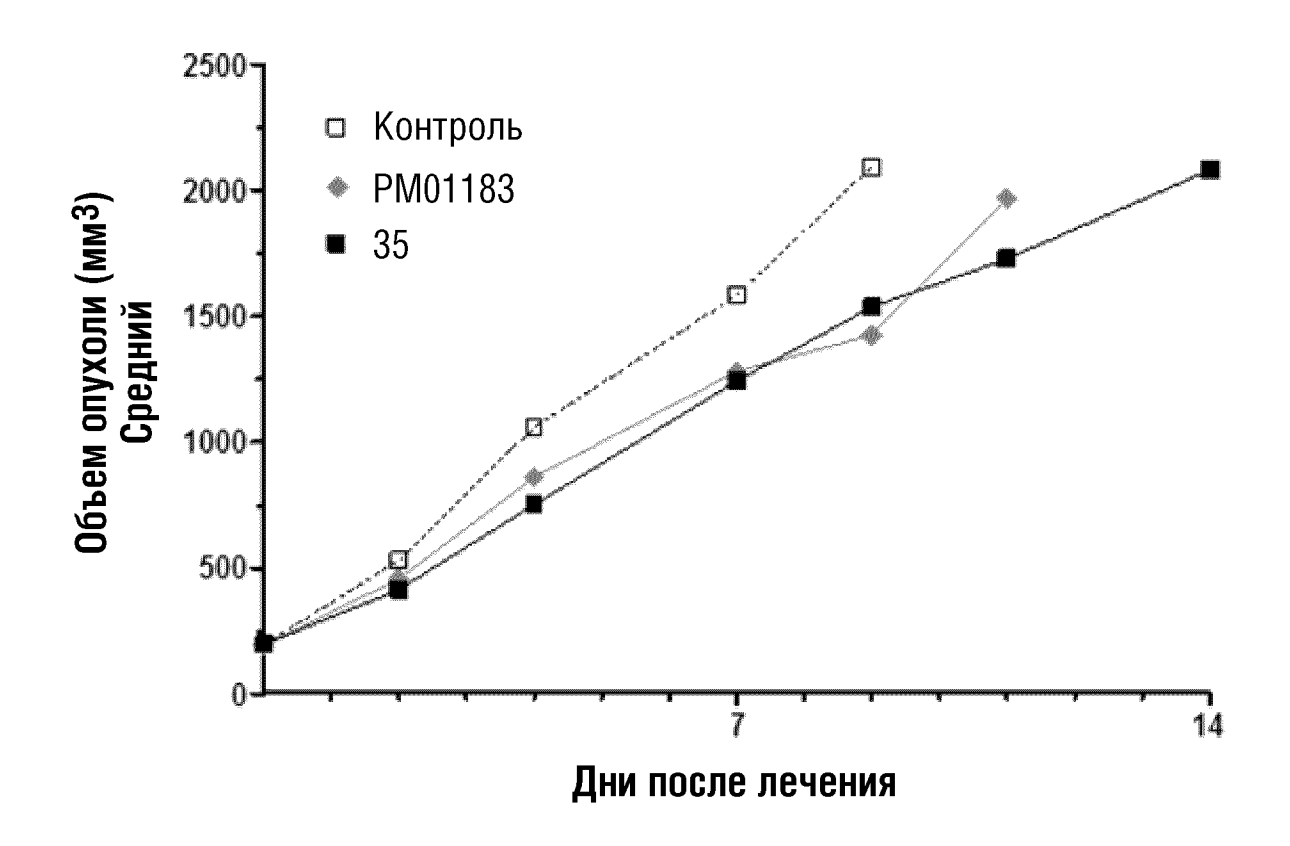
ФИГ.55



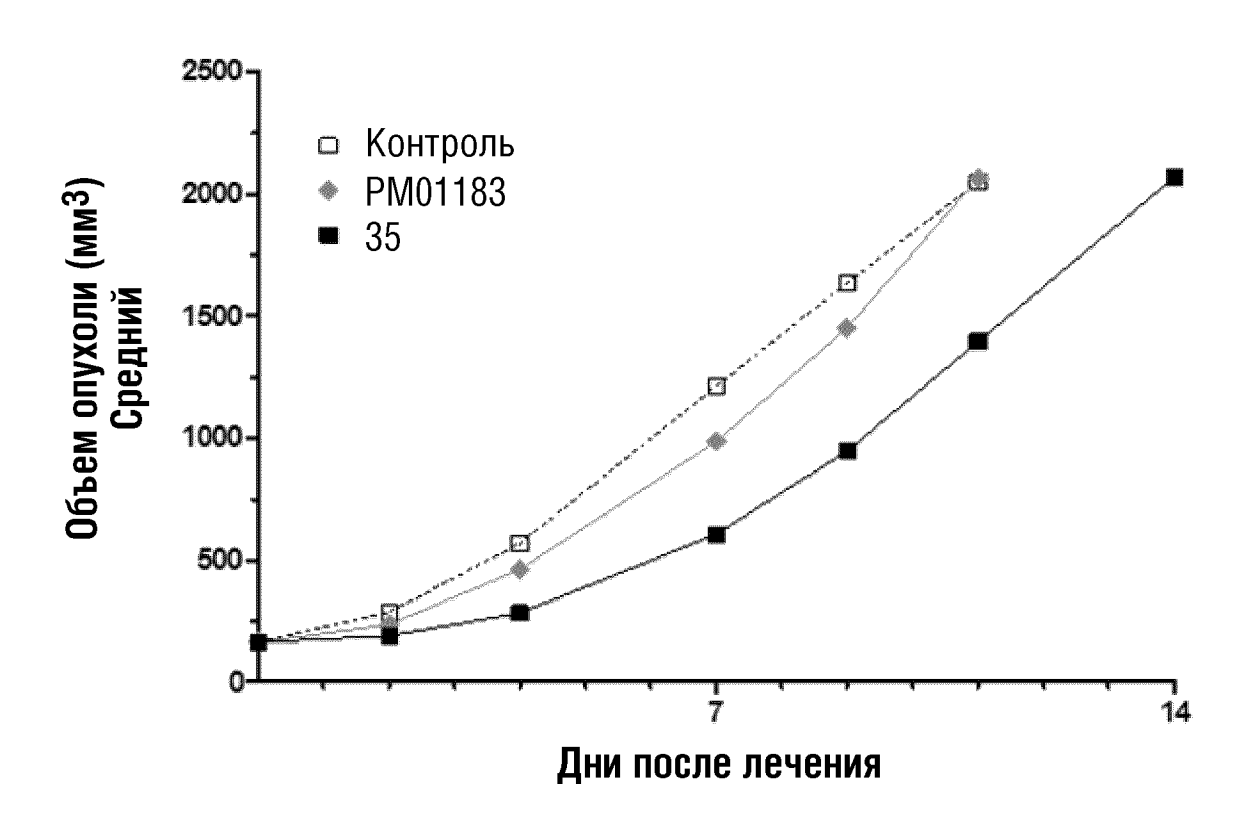


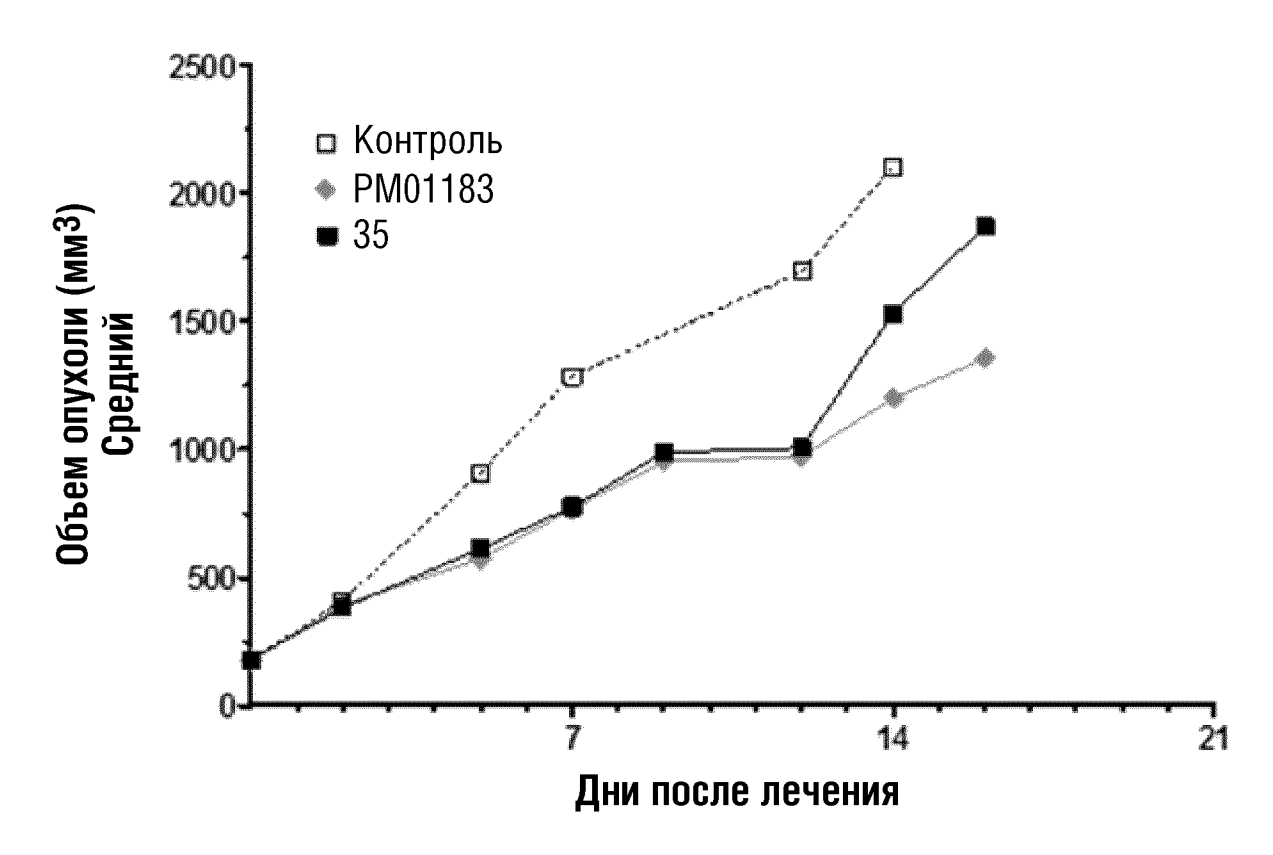


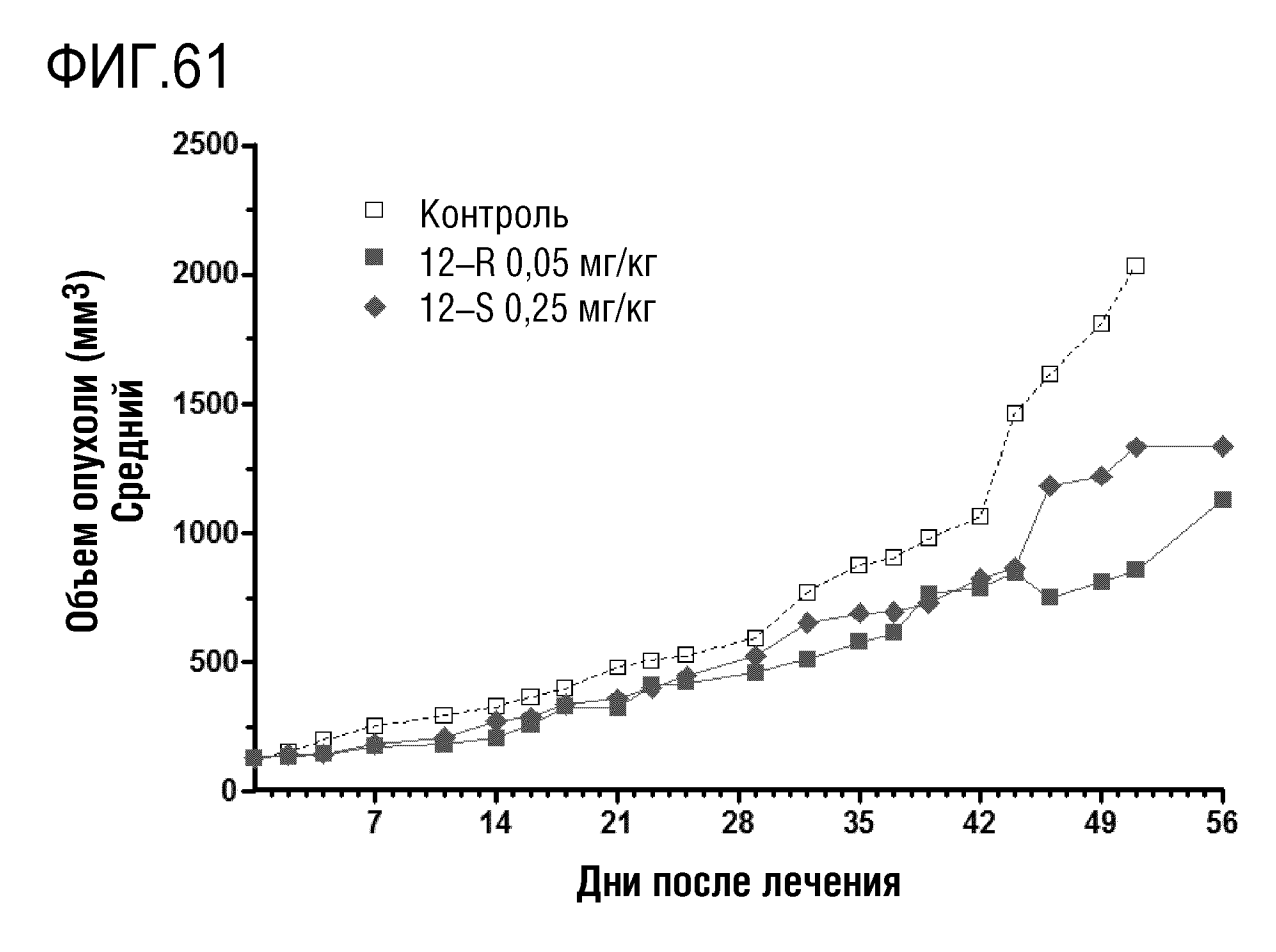




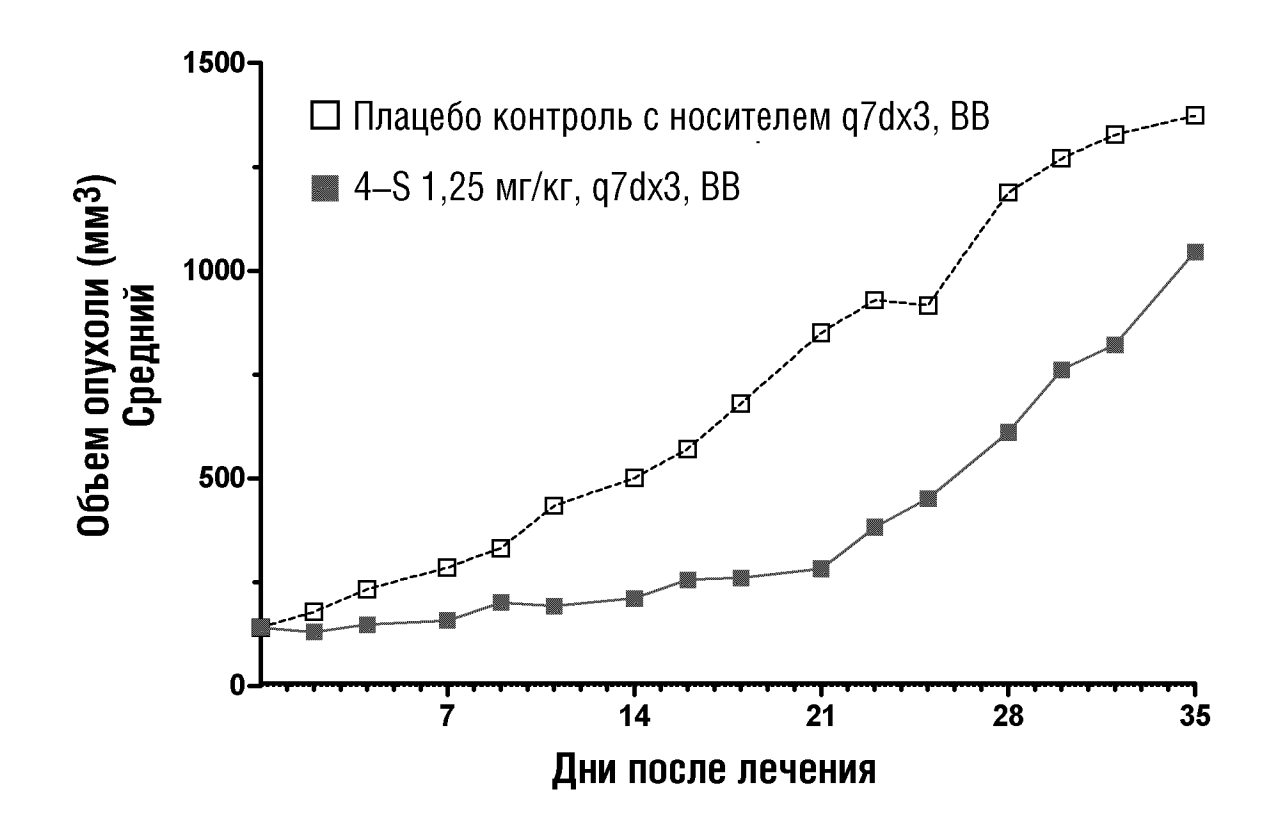
ФИГ.59

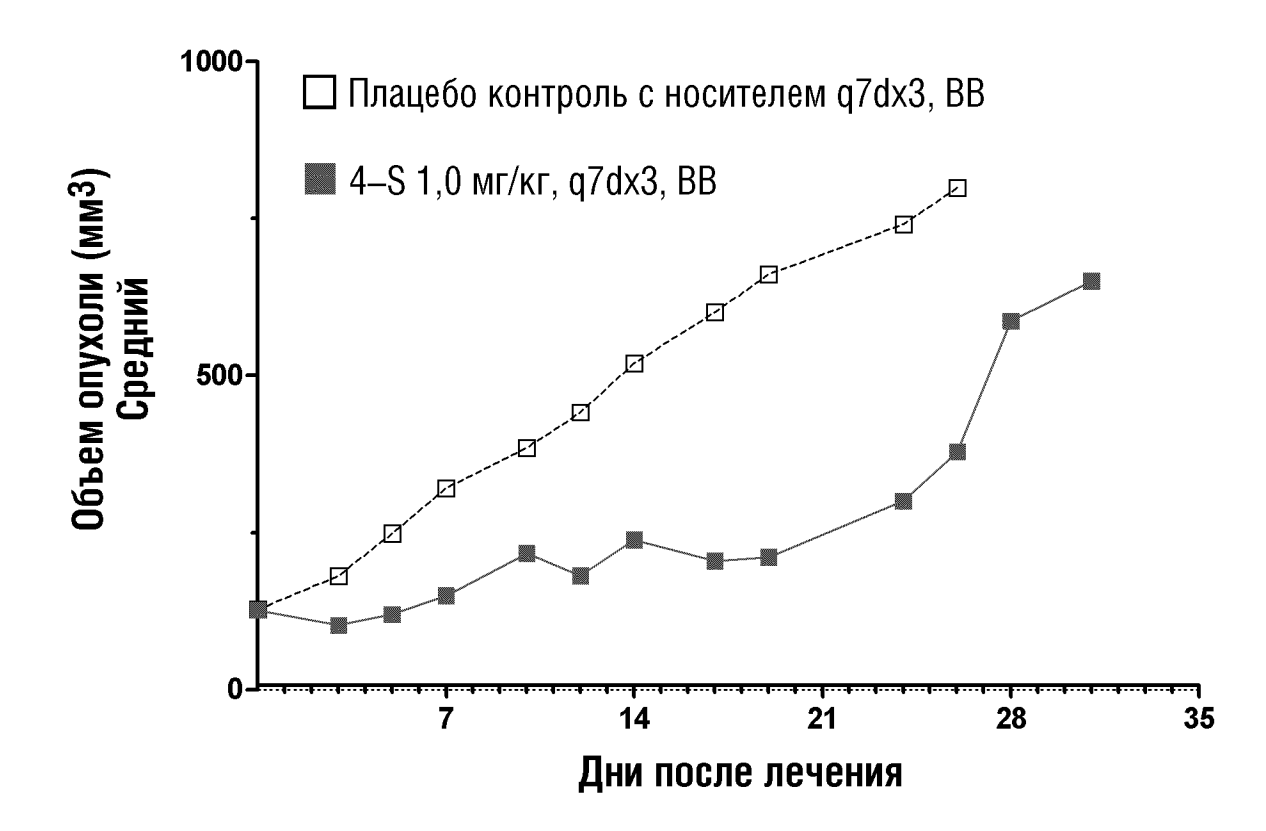


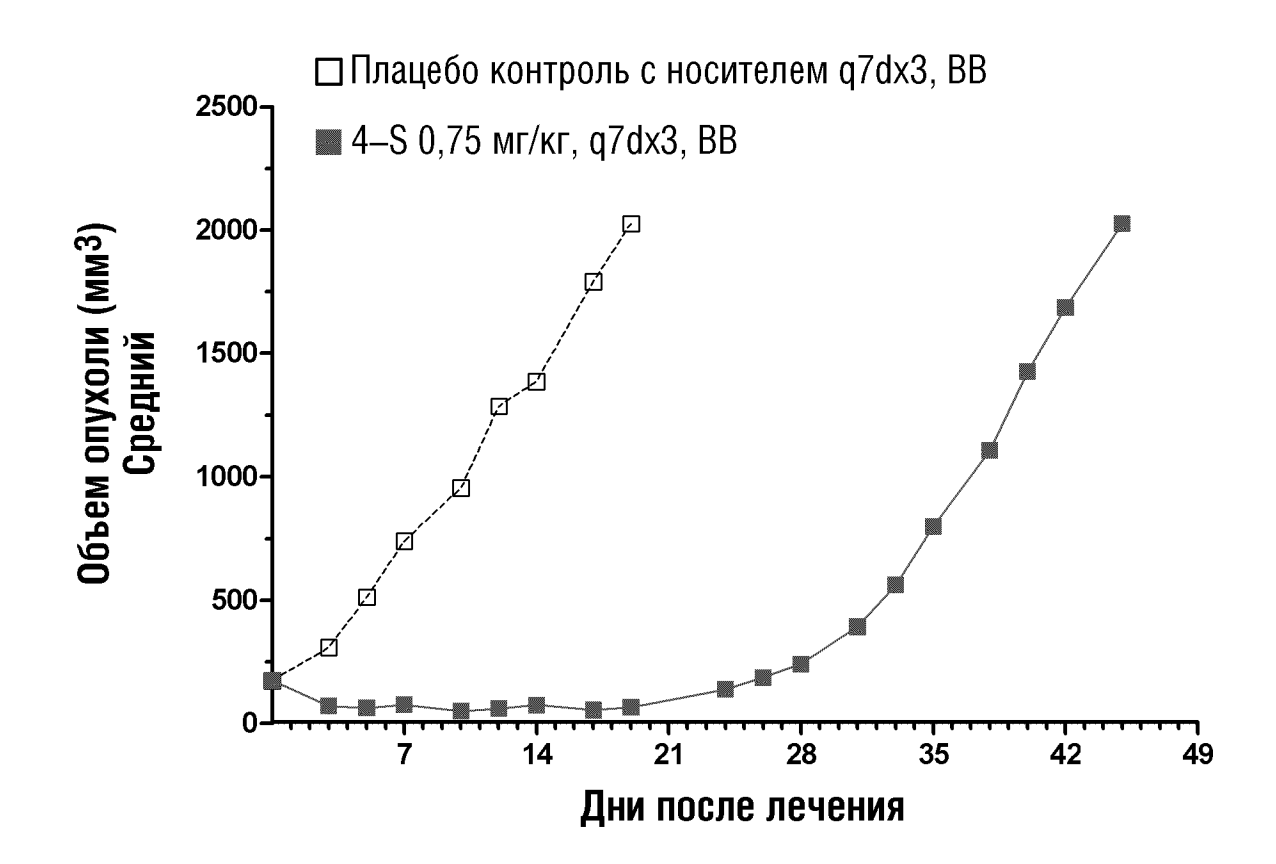


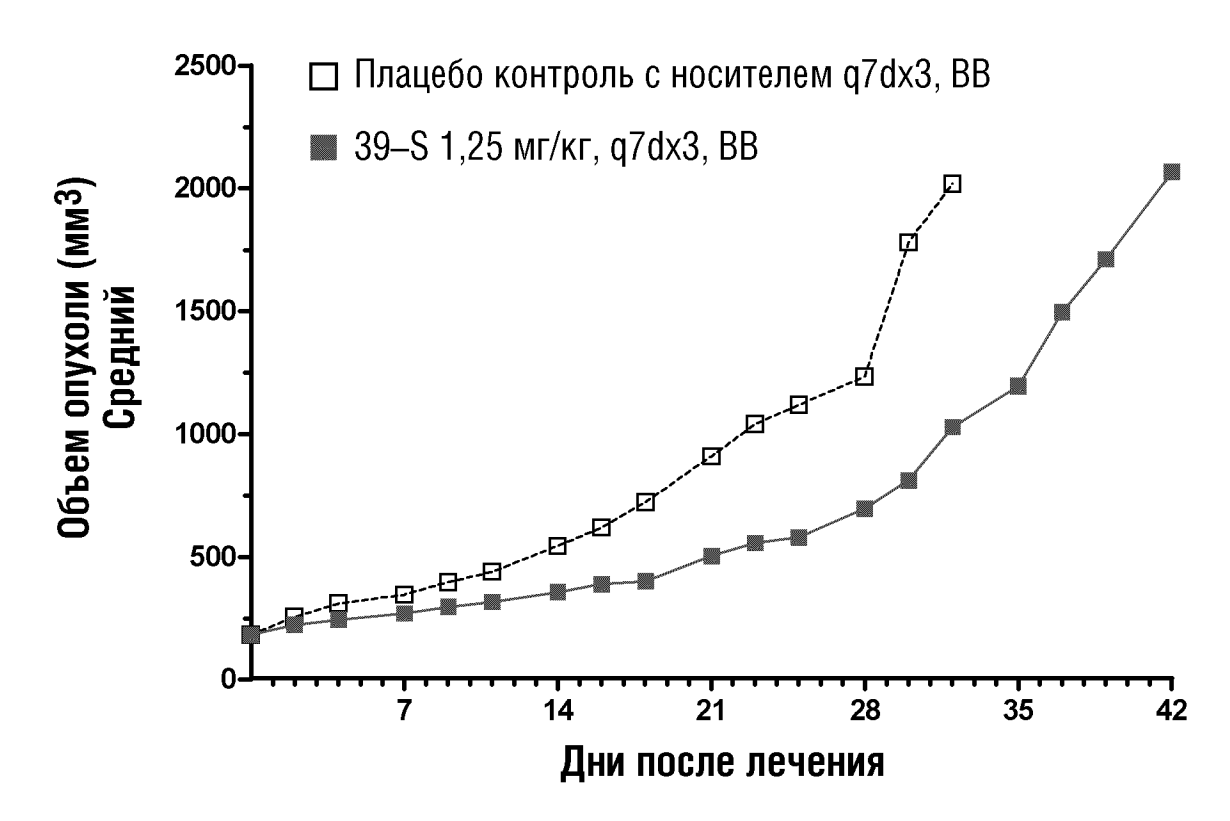


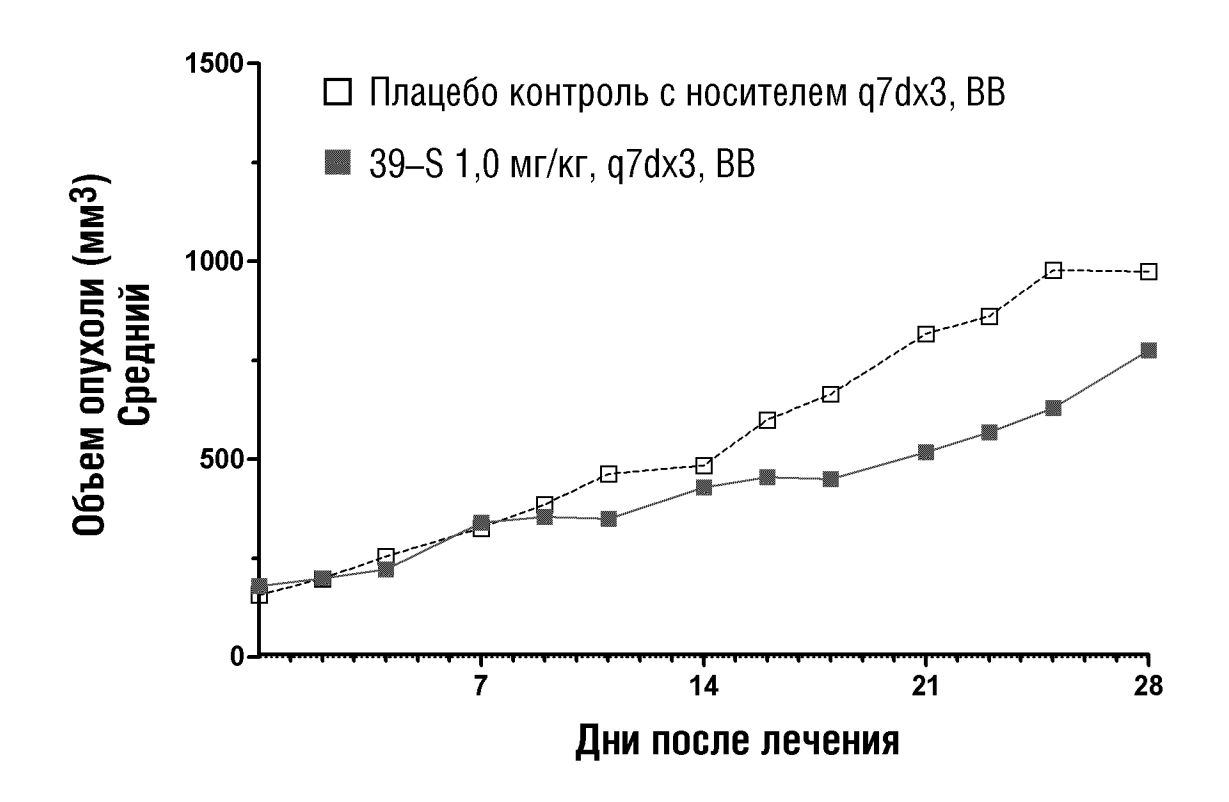
ФИГ.62

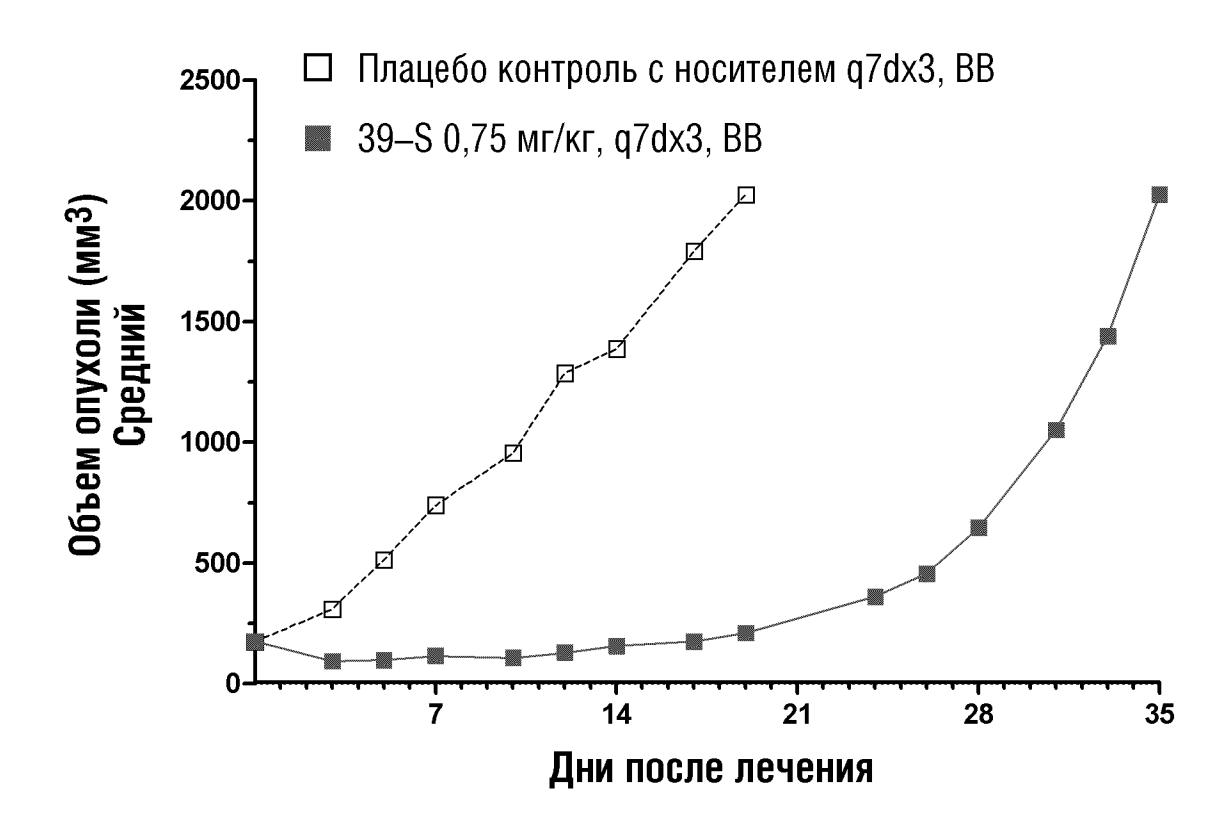












#### INTERNATIONAL SEARCH REPORT

International application No PCT/EP2018/060868

A. CLASSIFICATION OF SUBJECT MATTER INV. C07D515/22 A61P3

A61P35/00

A61K31/4995

According to International Patent Classification (IPC) or to both national classification and IPC

#### B. FIELDS SEARCHED

ADD.

Minimum documentation searched (classification system followed by classification symbols) C07D

Documentation searched other than minimum documentation to the extent that such documents are included in the fields searched

Electronic data base consulted during the international search (name of data base and, where practicable, search terms used)

EPO-Internal, WPI Data

| Category* | Citation of document, with indication, where appropriate, of the relevant passages  | Relevant to claim No.  |
|-----------|---|--|
| Calegory  | Citation of document, with indication, where appropriate, of the relevant passages  | Helevant to daim No.   |
| Υ         | WO 03/014127 A1 (PHARMA MAR SA [ES]; MARTINEZ VALENTIN [ES]; GALLEGO PILAR [ES]; CUEVAS) 20 February 2003 (2003-02-20) cited in the application   | 1-3,5-9,<br>11-18,<br>23-37,<br>39-42,<br>62-64,<br>66-78,<br>80-84,<br>86-88,<br>90,92,<br>95-97,<br>99-103,<br>105-111,<br>113-129 |
| Α         | the whole document; in particular the claims; page 12, last paragraph; page 13, paragraphs 2-5; examples 1, 2, 4, 6, 12, 13, 18, 19, 26, 27, 29, 31, 37, 38, 43, 44, 51-57, 59, 61-65, 67 | 4,10,<br>19-22,<br>38,<br>43-61,<br>65,79,<br>85,89,   |

|   | Χ  | Further documents are listed in the continuation of Box C. |
|---|----|--|
| * | Sp | ecial categories of cited documents :                      |

See patent family annex.

- "A" document defining the general state of the art which is not considered to be of particular relevance
- "E" earlier application or patent but published on or after the international filing date
- "L" document which may throw doubts on priority claim(s) or which is cited to establish the publication date of another citation or other special reason (as specified)
- "O" document referring to an oral disclosure, use, exhibition or other
- document published prior to the international filing date but later than the priority date claimed
- "T" later document published after the international filing date or priority date and not in conflict with the application but cited to understand the principle or theory underlying the invention
- "X" document of particular relevance; the claimed invention cannot be considered novel or cannot be considered to involve an inventive step when the document is taken alone
- "Y" document of particular relevance; the claimed invention cannot be considered to involve an inventive step when the document is combined with one or more other such documents, such combination being obvious to a person skilled in the art
- "&" document member of the same patent family

Date of the actual completion of the international search Date of mailing of the international search report 11 June 2018 27/06/2018 Name and mailing address of the ISA/ Authorized officer European Patent Office, P.B. 5818 Patentlaan 2 NL - 2280 HV Rijswijk Tel. (+31-70) 340-2040, Hanisch, Inken

Form PCT/ISA/210 (second sheet) (April 2005)

Fax: (+31-70) 340-3016

1

#### **INTERNATIONAL SEARCH REPORT**

International application No
PCT/EP2018/060868

| Category* Citation of document, with indication, where appropriate, of the relevant passages  91,93, 94,98, 104,112  WO 2011/147828 A1 (PHARMA MAR SA [ES]; MARTIN LOPEZ MA JESUS [ES]; FRANCESCH SOLLOSO ANDR) 1 December 2011 (2011-12-01)  23-37, 39-42, 62-64, 66-78, 80-84, 86-88, 90,92, 95-97, 99-103, 105-111, 113-129   | Category* Citation of document, with indication, where appropriate, of the relevant passages  91,93, 94,98, 104,112  WO 2011/147828 A1 (PHARMA MAR SA [ES]; MARTIN LOPEZ MA JESUS [ES]; FRANCESCH SOLLOSO ANDR) 1 December 2011 (2011-12-01)  23-37, 39-42, 62-64, 66-78, 80-84, 86-88, 90,92, 95-97, 99-103, 105-111, 113-129 4,10, claims; page 12, lines 10-16; page 13, line 31 to page 14, line 14; page 20, line 1 to page 25, line 9  Relevant to claim No.  91,93, 94,98,   | C(Continua | tion). DOCUMENTS CONSIDERED TO BE RELEVANT   |  |
|--|---|------------|--|--|
| WO 2011/147828 A1 (PHARMA MAR SA [ES]; MARTIN LOPEZ MA JESUS [ES]; FRANCESCH SOLLOSO ANDR) 1 December 2011 (2011-12-01)  A the whole document; in particular the claims; page 12, lines 10-16; page 13, line 31 to page 14, line 14; page 20, line 1 to page 25, line 9  94,98, 104,112  1-3,5-9, 11-18, 23-37, 39-42, 62-64, 66-78, 80-84, 86-88, 90,92, 95-97, 99-103, 105-111, 113-129  4,10, 113-129  4,10, 19-22, 38, 19-22, 38, 19-22, 38, 19-23, 94,98, 91,93, 94,98, | WO 2011/147828 A1 (PHARMA MAR SA [ES]; MARTIN LOPEZ MA JESUS [ES]; FRANCESCH SOLLOSO ANDR) 1 December 2011 (2011-12-01)  A the whole document; in particular the claims; page 12, lines 10-16; page 13, line 31 to page 25, line 9  94,98, 104,112  1-3,5-9, 11-18, 23-37, 39-42, 62-64, 66-78, 80-84, 86-88, 90,92, 95-97, 99-103, 105-111, 113-129 4,10, 19-22, 38, 19-22, 38, 19-22, 85,89, 91,93, 94,98,  | Category*  | ·  | Relevant to claim No.  |
| the whole document; in particular the claims; page 12, lines 10-16; page 13, line 31 to page 14, line 14; page 20, line 1 to page 25, line 9  95-97, 99-103, 105-111, 113-129  4,10, 19-22, 38, 19-22, 38, 43-61, 65,79, 85,89, 91,93, 94,98,  | ## State of the whole document; in particular the claims; page 12, lines 10-16; page 13, line 31 to page 14, line 14; page 20, line 1 to page 25, line 9 ## 105-97, 99-103, 105-111, 113-129 ## 4,10, 19-22, | Y          | MARTIN LOPEZ MA JESUS [ES]; FRANCESCH  | 94,98,<br>104,112<br>1-3,5-9,<br>11-18,<br>23-37,<br>39-42,<br>62-64,<br>66-78,<br>80-84,<br>86-88,                  |
|  |   | 4          | claims; page 12, lines 10-16; page 13,<br>line 31 to page 14, line 14; page 20, line | 95-97,<br>99-103,<br>105-111,<br>113-129<br>4,10,<br>19-22,<br>38,<br>43-61,<br>65,79,<br>85,89,<br>91,93,<br>94,98, |
| ·  |   |            |  |  |
|  |   |            |  |  |
|  |   |            |  |  |
|  |   |            |  |  |
|  |   |            |  |  |
|  |   |            |  |  |
|  |   |            |  |  |
|  |   |            |  |  |

1

#### **INTERNATIONAL SEARCH REPORT**

Information on patent family members

International application No
PCT/EP2018/060868

| Patent document        | Publication |  | Patent family   |  | Publication  |
|------------------------|-------------|--|---|--|--|
| cited in search report | date        |  | member(s)   |  | date   |
| WO 03014127 A1         | 20-02-2003  | AT AU CA CN CY DE K EP EP ES K HU L JP KRX NO NZ PT US WO            | 60222775<br>1414828<br>1414828<br>1806349<br>2270018<br>2294151<br>1065786<br>0401174<br>160051<br>4684552<br>2005501093<br>2011026331<br>20040032150<br>PA04001240<br>337476<br>530837<br>218295 | B2<br>A1<br>A T1<br>T2<br>T3<br>A1<br>A1<br>A1<br>A2<br>A A<br>A A<br>B1<br>E C2<br>A1 | 15-10-2007<br>22-05-2008<br>20-02-2003<br>12-01-2005<br>19-06-2013<br>17-07-2008<br>04-02-2008<br>06-05-2004<br>11-07-2007<br>05-01-2011<br>01-04-2008<br>28-09-2005<br>31-01-2012<br>18-05-2011<br>13-01-2005<br>10-02-2011<br>14-04-2004<br>03-06-2004<br>18-04-2016<br>29-07-2005<br>28-11-2014<br>27-12-2007<br>20-09-2006<br>15-06-2006<br>20-02-2003 |
| W0 2011147828 A1       | 01-12-2011  | AU<br>CA<br>CN<br>CN<br>EP<br>ES<br>HK<br>IL<br>JP<br>JP<br>US<br>WO | 2011257277<br>2800097<br>103038240<br>107033164<br>2576569<br>2534331<br>1184440<br>223220<br>6037337<br>2013526599<br>2013066067<br>2011147828   | A1<br>A1<br>A<br>A<br>A1<br>T3<br>A1<br>A<br>B2<br>A                                   | 06-12-2012<br>01-12-2011<br>10-04-2013<br>11-08-2017<br>10-04-2013<br>21-04-2015<br>14-08-2015<br>31-03-2016<br>07-12-2016<br>24-06-2013<br>14-03-2013<br>01-12-2011   |